

مجلس إدارتنا (الرياض)

# المنغيران المركبة وتطبيقات

تأليف

دويلف . تشرشل

چيمس و . براوت

روجر ف . فيرهي

أساتذة الرياضيات بجامعة ميلشجان

دار ماكجرو هيل للنشر



هسبى يوسف اللورى

متاح للتحميل ضمن مجموعة كبيرة من المطبوعات من صفحة

مكتبتي الخاصة

على موقع ارشيف الانترنت

الرابط

[https://archive.org/details/@hassan\\_ibrahem](https://archive.org/details/@hassan_ibrahem)

# المنغيرات المركبة وتطبيقات

جيس يوسفت اللومبي

تأليف

دويل ف. تشرشل

چيمس و. براوت

روجر ف. فيرهى

أساتذة الرياضيات بجامعة ميتشجان

ترجمة ومراجعة

دكتور

بديع توفيق محمد حسن

استاذ الرياضيات

كلية العلوم - جامعة القاهرة

دكتور

اسماعيل عبد الرحمن امين

استاذ الرياضيات المساعد

كلية العلوم - جامعة القاهرة

دار ماكجرو هيل للنشر



نيويورك . سانت لويس . سان فرانسيسكو . اوكلاند . بوجونا . دوسلدورف . جوهانسبرج . لندن . مدريد . مكسيكو . مونتريال . نيودلهى . بناما . باريس . ساوباولو . ستغافورة . سيدنى . طوكيو . تورنتو .

هـسـن ابرهـم

حقوق التأليف ١٩٤٨ ، ١٩٦٠ ، ١٩٧٤ . دار ماكجروهيل  
للنشر ، انك . جميع الحقوق محفوظة

**Complex Variables  
And  
Application**

الطبعة العربية ١٩٨٢ تصدر بالتعاون مع المكتبة الأكاديمية بالقاهرة  
ABC ودار المريح للنشر المملكة العربية السعودية - الرياض  
ص.ب ١٠٧٢٠

لا يجوز نشر أى جزء من هذا الكتاب أو اختزان مادته بطريقة  
الاسترجاع أو نقله على أى وجه أو بأى طريقة سواء كانت الكترونية أو  
ميكانيكية أو بالتصوير أو بالتسجيل أو خلاف ذلك إلا بموافقة الناشر  
على هذا كتابة ومقديماً .

ISBN 0-07-010855-2

متاح للتحميل ضمن مجموعة كبيرة من المطبوعات من صفحة

مكتبتي الخاصة

على موقع ارشيف الانترنت

الرابط

[https://archive.org/details/@hassan\\_ibrahem](https://archive.org/details/@hassan_ibrahem)

## مقدمة

هذا الكتاب هو الصورة المنقحة من الطبعة الثانية التي صدرت سنة ١٩٦٠ من تأليف المؤلف الأول ر. في تشرشل R.V. Churchill . وقد استخدمت تلك الطبعة ، تماماً كما استخدمت الطبعة الأولى من نفس المؤلف ، ككتاب دراسي لمقرر تمهيدى لمدة فصل دراسي واحد في نظرية وتطبيقات دوال المتغير المركب . في هذه الطبعة المنقحة حافظنا على المستوى الأساسى والهيكلى العام للطبعتين السابقتين .

وقد تركز الجهد الأساسى للمؤلفين عند إعداد هذه الطبعة المنقحة فى تطوير أسلوب العرض وزيادة إيضاح التعريفات ونصوص النتائج . وقد قمنا أحياناً بتبديل ترتيب بعض الموضوعات وذلك من أجل تحقيق تسلسل أفضل لمادة الموضوع ، كما أننا قد أضفنا عدداً من التذييلات التى تشير إلى بعض النتائج من حساب التفاضل والتكامل للمتغير الحقيقى . علاوة على ذلك فقد أضفنا عدداً من التمارين الجديدة وذلك من أجل زيادة تطوير موضوعات معينة فى الكتاب ، كما أنه تم تغيير تمارين أخرى من أجل زيادة الإيضاح .

من بين التغييرات المحددة الأكثر جلاءً هو التقديم المبكر لصيغة أولير ، وتقديم بند جديد عن كرة ريمان ، الباعث المباشر لتقديم الدالة الأسية للمتغير المركب كدالة شاملة مساوية لمشتقتها ، واستخدام أكثر حرصاً لنقطة اللانهاية عند دراسة التحويلات الخطية الكسرية ، وإضافة بند جديد عن متتابعات الأعداد المركبة ، ومعالجة مستفيضة لمبدأ السعة ونظرية روشيه .

الهدف الأول - تماماً كما كان الحال فى الطبعتين السابقتين - من هذا التنقيح هو أن نقدم بأسلوب دقيق ومتكامل ذاتياً تلك الأجزاء من النظرية التى تلعب دوراً رئيسياً فى تطبيقات هذا الموضوع . أما الهدف الثانى فهو تغطية تمهيدية لتطبيقات البواقى والرواسم الحافظة للزوايا الموجهة . وقد أعطي اهتمام خاص لاستخدام الرواسم الحافظة للزوايا

الموجهة في حل مسائل الشروط الحدية التي تظهر عند دراسة التوصيل الحرارى ، وجهد الكهرباء الساكنة ، وسريان السوائل . بهذا يمكن اعتبار هذا الكتاب كمجلد مصاحب لكتاى ر . فى . تشرشل المعنونين "Fourier Series and Boundary Value Problems" و"Operational Mathematics" حيث عولجت طرق تقليدية أخرى لحل مسائل الشروط الحدية . والكتاب الثانى المذكور هنا يحوى أيضاً تطبيقات للبواقى تتعلق بتحويلات لابلاس .

الأبواب التسع الأولى من هذا الكتاب ، مع تبديلات متعددة من الأبواب الباقية ، شكلت لعدد من السنين المحتوى الدراسى لمقرر يعطى كل فصل دراسى لمدة ثلاث ساعات أسبوعياً بجامعة ميتشجان . وكانت هذه الفصول الدراسية تشكل أساساً من طلبة السنوات النهائية وطلبة الدراسات العليا الذين سيتخصصون فى الرياضيات ، أو الهندسة ، أو أحد العلوم الطبيعية . وكانت المتطلبات هى أن يكون الطلبة قد أكملوا فصلاً دراسياً واحداً فى حساب التفاضل والتكامل المتقدم . ويجب ملاحظة أن جزءاً من مادة الكتاب لا يعطى فى المحاضرات وإنما يترك للطلبة ليقراوه معتمدين على أنفسهم . وإذا كان من المرغوب فيه اعطاء تطبيقات الرواسم الحافظة للزوايا الموجهة على مسائل الشروط الحدية فى وقت مبكر خلال المنهج ، فيمكن اعطاء البابين الثامن والتاسع مباشرة بعد الباب الرابع الخاص بدراسة دوال بسيطة .

وقد تم النص على معظم النتائج الأساسية كـ نظريات متبوعة بأمثلة وتمارين توضح هذه النتائج . وقد ذيلنا هذا الكتاب بقائمة من المراجع البديلة ، والبعض الكثير من المراجع المتقدمة ، وذلك بملحق (١) . كذلك يحوى ملحق (٢) قائمة من التحويلات الحافظة للزوايا الموجهة المفيدة فى التطبيقات .

عند إعداد هذه الطبعة المنقحة ، استعان المؤلفون باقتراحات التحسين التى اقترحها عدد من الطلبة والزملاء ونود أن نعبر هنا عن تقديرنا لكل منهم . كذلك نود أن نعبر عن عظيم تقديرنا إلى كاترين أ . ريدر Catherine A. Rader لمهارتها الفائقة وعنايتها بنسخ هذا المؤلف .

المؤلفون

## المحتويات

الصفحة

- ٩ - ١ الأعداد المركبة .  
تعريف . الخصائص الجبرية . الاحداثيات الكارتيزية . المتباينة المثلثية . الاحداثيات القطبية . قوى وجذور الاعداد المركبة . المناطق فى المستوى المركب . نقطة اللانهاية .
- ٣٣ - ٢ الدوال التحليلية  
دوال المتغير المركب . الرواسم . النهايات . نظريات على النهايات . الاتصال . المشتقات . صيغ الاشتقاق . معادلتنا كوشى - ريمان . الشروط الكافية . معادلتنا كوشى - ريمان فى الصورة القطبية . الدوال التحليلية . الدوال التوافقية .
- ٦٥ - ٣ دوال بسيطة  
الدالة الأسية . خواص اخرى للدالة الأسية . الدوال المثلثية . خواص أخرى للدوال المثلثية . الدوال الزائدية . الدالة اللوغاريتمية . فروع الدالة  $\text{Log } z$  خواص أخرى للوغاريتمات . الأسس المركبة . الدوال المثلثية العكسية .
- ٨٧ - ٤ الرسم بدوال بسيطة  
الدوال الخطية . الدالة  $1/z$  . التحويلات الخطية الكسرية . بعض التحويلات الخطية الكسرية الخاصة . الدالة  $z^n$  . الدالة  $z^{1/2}$  . دوال أخرى غير قياسية . التحويلة  $w = \exp z$  . التحويلة  $w = \sin z$  التحويلات المتتابعة . جدول تحويلات المناطق .
- ١٢١ - ٥ التكاملات  
التكاملات المحددة . الكفافات . التكاملات الخطية . أمثلة . نظرية كوشى - جورساه . تمهيدية . برهان نظرية كوشى - جورساه . النطاقات بسيطة ومتعددة الترابط . التكاملات غير المحددة . صيغة تكامل كوشى . مشتقات الدوال التحليلية . نظرية موريرا . القيم العظمى لمقاييس الدوال . النظرية الاساسية للجبر .
- ١٦١ - ٦ المتسلسلات  
تقارب المتتابعات والمتسلسلات . متسلسلة تايلور . ملاحظات وامثلة . متسلسلة لوران . خواص أخرى للمتسلسلات . التقارب المنتظم . تكامل وتفاضل متسلسلات القوى . تفرد التمثيل . الضرب والقسمة . أمثلة . اصفار الدوال التحليلية .

١٨٩

## ٧ - البواق والاقطاب

البواق . نظرية الباقي . الجزء الاساسى من دالة . الاقطاب . قسمة الدوال التحليلية . حساب التكاملات الحقيقية المعتلة . التكاملات المعتلة المشتملة على دوال مثلثية . التكاملات المحددة للدوال المثلثية . التكامل حول نقطة تفرع .

٢١٥

## ٨ - الراسم الحافظ للزاوية الموجهة

خواص أساسية . خواص اضافية وامثلة . المرافقات التوافقية . تحويلات الدوال التوافقية . تحويلات الشروط الحدية .

٢٣١

## ٩ - تطبيقات الرواسم الحافظة للزوايا الموجهة .

درجات الحرارة المستقرة . تطبيقات الحرارة المستقرة في نصف مستوى . مسألة ذات صلة بالمسألة السابقة . درجات الحرارة في ربع مستوى جزء من أحد حافته معزول حراريا . جهد الكهرباء الساكنة . الجهد في فراغ اسطوانى . السريان ثنائى البعد لسائل . دالة التيار . السريان حول زاوية . السريان حول اسطوانة .

٢٦٣

## ١٠ - تحويلة شفارتز - كريستوفل

رسم المحور الحقيقى فوق مضلع . تحويلة شفارتز - كريستوفل . المثلثات والمستطيلات . المضلعات المنحلة . الشريحة اللانهائية . سريان سائل في مجرى من خلال شق . السريان في مجرى ذى نتوء . جهد الكهرباء الساكنة حول حافة صفيحة موصلة .

٢٨٩

## ١١ - صيغ التكامل من نوع بواسون

صيغة تكامل بواسون . مسألة دريشلت لقرص . مسائل القيم الحدية المرتبطة . صيغ التكامل لنصف مستوى . مسألة دريشلت لنصف المستوى . مسألة نويمان للقرص . مسألة نويمان لنصف المستوى .

٣١١

## ١٢ - افاضة في نظرية الدوال

(أ) امتداد تحليلي : الشروط التى في ظلها يكون  $f(z) \equiv 0$  . اثبات الصيغ للمتطابقات الدالية وحدانية الامتداد التحليلي . مبدأ الانعكاس .  
 (ب) النقط الشاذة والأصفار : النقط الشاذة الاساسية - عدد الأصفار والأقطاب . مبدأ السعة .  
 (ج) سطوح ريمان : سطوح ريمان للدالة  $\log z$  سطوح ريمان للدالة  $z^{1/2}$  - سطوح لدوال غير قياسية أخرى .

٣٤١

ملحق ١ ( المراجع )

٣٤٤

ملحق ٢ ( جدول تحويلات المناطق )

٣٥٥

قائمة المصطلحات العلمية



# الفصل الأول

## الأعداد المركبة Complex Numbers

في هذا الباب سنستعرض البنية الجبرية والهندسية الأساسية لنظام الأعداد المركبة .  
وسنفترض إلمام القارئ بالخصائص المناظرة للأعداد الحقيقية .

### ١ - تعريف

يمكن تعريف الأعداد المركبة  $z$  على أنها أزواج مرتبة

$$z = (x, y) \quad (1)$$

من الأعداد الحقيقية  $x, y$ ، مع عمليتي جمع وضرب ستعرفان فيما يلي . الأعداد المركبة التي على الصورة  $(0, y)$  تسمى أعداد تخيلية *Pure imaginary numbers* . في الصيغة (١) ، العدد الحقيقي  $x$  يسمى الجزء الحقيقي *Real part* للعدد  $z$  ، العدد الحقيقي  $y$  يسمى الجزء التخيلي *Imaginary part* للعدد  $z$  ، ونكتب

$$\text{Re } z = x \quad \text{و} \quad \text{Im } z = y. \quad (2)$$

يقال لعددین مرکبیین  $(x_1, y_1)$  ،  $(x_2, y_2)$  أنهما متساويان عندما يكون لهما نفس الأجزاء الحقيقية ونفس الأجزاء التخيلية ، أي أن

$$(x_1, y_1) = (x_2, y_2) \quad \iff \quad x_1 = x_2 \quad \text{و} \quad y_1 = y_2. \quad (3)$$

ملحوظة :  $\iff$  تعني إذا وفقط إذا كان

تعرف عمليتي الجمع  $(z_1 + z_2)$  والضرب  $(z_1 z_2)$  للعددین المركبیین

$$z_1 = (x_1, y_1) \quad \text{و} \quad z_2 = (x_2, y_2) \quad \text{كما يلي .}$$

$$(x_1, y_1) + (x_2, y_2) = (x_1 + x_2, y_1 + y_2), \quad (4)$$

$$(x_1, y_1)(x_2, y_2) = (x_1 x_2 - y_1 y_2, y_1 x_2 + x_1 y_2). \quad (5)$$

وعلى سبيل الخصوص ،

$$(x, 0) + (0, y) = (x, y)$$

$$(0, 1)(y, 0) = (0, y).$$

إذن ،

$$(x,y) = (x,0) + (0,1)(y,0). \quad (٦)$$

فيما يلي سنقرن كل زوج مرتب على الصورة  $(x,0)$  بالعدد الحقيقي  $x$  ، وبالتالي فإنه يمكن اعتبار أن فئة الأعداد المركبة تحوى فئة الأعداد الحقيقية ( أى أن فئة الأعداد الحقيقية يمكن النظر إليها على أنها فئة جزئية من فئة الأعداد المركبة ) . بالإضافة إلى هذا ، فإن عمليتي الجمع والضرب المعرفتين كما في (٤) ، (٥) تؤولان عند قصرهما على الأعداد الحقيقية إلى عمليتي الجمع والضرب المألوفتين :

$$(x_1,0) + (x_2,0) = (x_1 + x_2,0),$$

$$(x_1,0)(x_2,0) = (x_1x_2,0).$$

من هذا ينتج أن نظام الأعداد المركبة يشكل امتدادا طبيعيا لنظام الأعداد الحقيقية . فإذا ما نظرنا إلى العدد الحقيقي على أنه إما  $x$  أو  $(x,0)$  ، وإذا رمزنا للعدد التخيلي

$(0,1)$  بالرمز  $i$  ، فإنه يمكننا إعادة كتابة (٦) على الصورة

$$(x,y) = x + iy. \quad (٧)$$

وإذا ما اصطحنا على أن ...  $z^2 = zz, z^3 = zz^2$  ، فإننا نلاحظ أن

$$i^2 = (0,1)(0,1) = (-1,0);$$

$$i^2 = -1.$$

أى أن

باستخدام (٧) يمكننا كتابة (٤) ، (٥) على الصورة

$$(x_1 + iy_1) + (x_2 + iy_2) = (x_1 + x_2) + i(y_1 + y_2). \quad (٨)$$

$$(x_1 + iy_1)(x_2 + iy_2) = (x_1x_2 - y_1y_2) + i(y_1x_2 + x_1y_2). \quad (٩)$$

لاحظ أن الأطراف اليمنى من هذه المعادلات يمكن الحصول عليها بمعاملة حدود الأطراف اليسرى كما لو كانت تشكل فقط من أعداد حقيقية وبوضع -1 بدلا من  $i^2$  كلما ظهرت .

## ٢ - الخصائص الجبرية Algebraic Properties

بعض خصائص عمليتي جمع وضرب الأعداد المركبة تماثل نظيراتها في حالة الأعداد الحقيقية . وسندون هنا بعض الخصائص الجبرية الأساسية وستتحقق من صحة بعض منها .

قوانين الإبدال

$$z_1 + z_2 = z_2 + z_1, \quad z_1z_2 = z_2z_1 \quad (١)$$

وقوانين الدمج ( أو التجميع )

$$(z_1 + z_2) + z_3 = z_1 + (z_2 + z_3), \quad (z_1z_2)z_3 = z_1(z_2z_3) \quad (٢)$$

يمكن إثبات صحتها مباشرة وبسهولة من تعريفى عمليتى جمع وضرب الأعداد المركبة وحقيقة أن هذه القوانين متحققة بالنسبة لعمليتى جمع وضرب الأعداد الحقيقية . مثال

$$z_1 + z_2 = (x_1, y_1) + (x_2, y_2) = (x_1 + x_2, y_1 + y_2) = (x_2 + x_1, y_2 + y_1) \quad \text{ذلك}$$

$$= (x_2, y_2) + (x_1, y_1) = z_2 + z_1.$$

سنترك للقارىء مهمة إثبات صحة بقية القوانين المذكورة أعلاه وكذلك إثبات صحة قانون التوزيع

$$z_1(z_2 + z_3) = z_1z_2 + z_1z_3 \quad (3)$$

من قانون الإبدال لعملية الضرب ينتج أن  $iy = yi$  ، وبالتالي فإنه يمكننا كتابة

$$z = x + iy \quad \text{أو} \quad z = x + yi.$$

العنصر المحايد صفر = ( صفر ، صفر ) ، أى  $0 = (0,0)$  ، لعملية الجمع على الأعداد الحقيقية يكون عنصرا محايدا لعملية الجمع على الأعداد المركبة ، العنصر المحايد  $1 = (1,0)$  لعملية الضرب على الأعداد الحقيقية يكون عنصرا محايدا لعملية الضرب على الأعداد المركبة ، أى أن

$$z + 0 = z \quad \text{و} \quad z \cdot 1 = z \quad (4)$$

لكل عدد مركب  $z$  . وفى الحقيقة ، فإن ١ و صفر هما العددا المركبان الوحيديان اللذان يحققان هذه الخصائص ، وستترك مهمة إثبات صحة ذلك للقارىء .

لكل عدد مركب  $z = (x, y)$  يوجد معكوس جمعى هو

$$-z = (-x, -y); \quad (5)$$

أى أن  $z$  - يكون عددا مركبا بحيث

$$z + (-z) = 0.$$

ويجب ملاحظة أن العدد  $z$  - المناظر للعدد  $z$  يكون وحيدا ، أى أن المعكوس الجمعى لأى عدد مركب  $z$  يكون وحيدا . ويستخدم مفهوم المعكوس الجمعى لتعريف عملية الطرح كما يلى :

$$z_1 - z_2 = z_1 + (-z_2) \quad (6)$$

وبالتالى فإنه إذا كان  $z_1 = (x_1, y_1)$  و  $z_2 = (x_2, y_2)$  فإن

$$z_1 - z_2 = (x_1 - x_2, y_1 - y_2) = (x_1 - x_2) + i(y_1 - y_2) \quad (7)$$

بالمثل ، لكل عدد مركب غير صفرى  $z = (x, y)$  يوجد عدد مركب  $z^{-1}$  . بحيث  $zz^{-1} = 1$  . العدد المركب  $z^{-1}$  ، الذى يسمى المعكوس الضربى للعدد  $z$  ، أقل وضوحا من المعكوس الجمعى للعدد  $z$  . ولتعيين العدد  $z^{-1}$  ، نفرض أن  $z^{-1} = (u, v)$  ونبحث عن الأعداد  $u, v$  أى أن المطلوب هو إيجاد الأعداد  $u, v$  بدلالة الأعداد  $x, y$  بحيث

$$(x, y)(u, v) = (1, 0).$$

من هذا نرى أن  $u, v$  هما حلول المعادلتين الآتيتين

$$xu - yv = 1, \quad yu + xv = 0$$

وبعمليات حسابية بسيطة نحصل على الحل الوحيد لهاتين المعادلتين على الصورة

$$u = \frac{x}{x^2 + y^2}, \quad v = \frac{-y}{x^2 + y^2}.$$

أى أن المعكوس الضربى للعدد  $z = (x, y)$  هو

$$z^{-1} = \left( \frac{x}{x^2 + y^2}, \frac{-y}{x^2 + y^2} \right) \quad (8)$$

يمكننا الآن تعريف القسمة على عدد مركب غير صفري على النحو التالي :

$$\frac{z_1}{z_2} = z_1 z_2^{-1} \quad (z_2 \neq 0). \quad (9)$$

ويجب ملاحظة أنه إذا كان  $z_1 = (x_1, y_1)$  ،  $z_2 = (x_2, y_2)$  ، فمن معادلتى (8) ، (9) ،

$$\frac{z_1}{z_2} = \left( \frac{x_1 x_2 + y_1 y_2}{x_2^2 + y_2^2}, \frac{y_1 x_2 - x_1 y_2}{x_2^2 + y_2^2} \right) \quad \text{ينتج أن}$$

$$= \frac{x_1 x_2 + y_1 y_2}{x_2^2 + y_2^2} + i \frac{y_1 x_2 - x_1 y_2}{x_2^2 + y_2^2} \quad (z_2 \neq 0) \quad (10)$$

ويجب ملاحظة أن عملية القسمة غير معرفة عندما  $z_2 = 0$  ، وذلك حيث أن  $z_2 = 0$

تعنى أن  $x_2^2 + y_2^2 = 0$  ، وهذا غير مسموح به في العلاقة (10) .

ويمكننا الآن أن نتبين وأن نتحقق بسهولة من بعض الخصائص الأخرى لعمليتي جمع

وضرب الأعداد المركبة . فعلى سبيل الخصوص إذا كان  $z_1 = 1$  فمن (9) ينتج أن

$$\frac{1}{z_2} = z_2^{-1}.$$

وبالتالي فإن (9) يمكن إعادة كتابتها على الصورة

$$\frac{z_1}{z_2} = z_1 \left( \frac{1}{z_2} \right) \quad (z_2 \neq 0) \quad (11)$$

بمستخدام صيغتي ضرب وقسمة الأعداد المركبة أو حقيقة أن المعكوس الضربى لعدد

مركب يكون وحيدا فإنه يمكننا استنتاج أن

$$\frac{1}{z_1 z_2} = \left( \frac{1}{z_1} \right) \left( \frac{1}{z_2} \right) \quad (z_1 \neq 0, z_2 \neq 0, z_1 z_2 \neq 0) \quad (12)$$

وباستخدام معادلتى (11) ، (12) يمكننا أيضاً استنتاج أن

$$\frac{z_1 + z_2}{z_3} = \frac{z_1}{z_3} + \frac{z_2}{z_3}, \quad \frac{z_1 z_2}{z_3 z_4} = \left( \frac{z_1}{z_3} \right) \left( \frac{z_2}{z_4} \right) \quad (13)$$

حيث  $z_3 \neq 0, z_4 \neq 0, z_3 z_4 \neq 0$

ماسبق يمكننا من إجراء الحسابات على الصورة التالية :

$$\left( \frac{1}{2-3i} \right) \left( \frac{1}{1+i} \right) = \frac{1}{5-i} \frac{5+i}{5+i} = \frac{5+i}{26} = \frac{5}{26} + \frac{1}{26} i.$$

خاصية هامة أخرى هي : إذا كان حاصل الضرب  $z_1 z_2$  يساوى صفرا فإن واحدا

على الأقل من العددين  $z_1, z_2$  يساوى صفرا . ولإثبات ذلك نفرض أن

$z_1 \neq 0, z_1 z_2 = 0$  . بكتابة  $z_1 = (x_1, y_1), z_2 = (x_2, y_2)$  فإنه ينتج أن

$$x_1 x_2 - y_1 y_2 = 0 \quad \text{و} \quad y_1 x_2 + x_1 y_2 = 0 \quad (14)$$

حيث واحد على الأقل من العددين  $x_1, y_1$  لا يساوى صفر . المعادلتان في (١٤) معادلتان آتيتان متجانستان في  $x_2, y_2$  . محدد المعاملات هو  $x_1^2 + y_1^2$  . وحيث أن هذا المحدد لا ينعدم فإنه ينتج أن الحل الوحيد لهاتين المعادلتين هو  $x_2 = y_2 = 0$  ، أى أن  $z_2 = 0$  . وبالتالي فإنه إذا كان  $z_1 z_2 = 0$  فإنه إما  $z_1 = 0$  أو  $z_2 = 0$  أو أن ينعدم كل من  $z_1, z_2$  .

ويمكن التعبير عن هذه الخاصية المذكورة أعلاه بصورة أخرى على النحو التالي :

$$z_1 \neq 0, z_2 \neq 0 \implies^* z_1 z_2 \neq 0$$

الشرط  $z_1 z_2 \neq 0$  في (١٢) والشرط  $z_3 z_4 \neq 0$  في المعادلة الثانية من (١٣) لا لزوم لهما بالتالى . أخيراً ، يجب ملاحظة أن عملية الترتيب المألوفة للأعداد الحقيقية لا يمكن تطويعها لتشمل نظام الأعداد المركبة . وبالتالي فإن العبارة  $z_1 < z_2$  يكون لها معنى فقط إذا كان كل من  $z_1, z_2$  عدداً حقيقياً .

### تمارين

١ - تحقق من أن : (أ)  $(\sqrt{2} - i) - i(1 - \sqrt{2}i) = -2i$  ; (ب)  $(2, -3)(-2, 1) = (-1, 8)$

(ج)  $(3, 1)(3, -1)(\frac{1}{2}, \frac{1}{2}) = (2, 1)$  ; (د)  $\frac{1+2i}{3-4i} + \frac{2-i}{5i} = -\frac{2}{5}$

(هـ)  $\frac{5}{(1-i)(2-i)(3-i)} = \frac{1}{2}i$  ; (و)  $(1-i)^4 = -4$

٢ - اثبت أن كلا من العددين  $z = 1 \pm i$  يحقق المعادلة  $z^2 - 2z + 2 = 0$  .

٣ - حل المعادلة  $z^2 + z + 1 = 0$  وذلك بكتابة  $z = (x, y)$  وحل المعادلة

$$(x, y)^2 + (x, y) + (1, 0) = (0, 0)$$

لإيجاد  $x, y$  . تحقق من صحة الحل .

اقترح : لاحظ أن  $y \neq 0$  وذلك حيث أنه لا يوجد عدد حقيقى  $x$  يحقق المعادلة

$$x^2 + x + 1 = 0.$$

٤ - اثبت أن عملية الضرب إبدالية ( أى تحقق خاصية الابدال ) كما هو مذكور في المعادلة

الثانية من (١) ، بند (٢) .

٥ - اثبت صحة قوانين التجميع (٢) ، بند (٢) .

٦ - اثبت صحة قانون التوزيع (٣) ، بند (٢) .

\*  $\implies$  تعنى إذا كان .... فإن ، أى أن التقرير المعطى يعنى إذا كان  $z_1 \neq 0, z_2 \neq 0$  فإن  $z_1 z_2 \neq 0$

٧ - اثبت أن

$$z(z_1 + z_2 + z_3) = zz_1 + zz_2 + zz_3.$$

٨ - اثبت أن العددين المركبين صفر و 1 هما عنصرا الجمع والضرب المحايدان الوحيدان .

اقتراح : إكتب  $z = (x, y)$  وابحث عن الأعداد المركبة  $(u, v)$  بحيث

$$(x, y) + (u, v) = (x, y)$$

. بالمثل ابحث عن الأعداد المركبة  $(u, v)$  بحيث

$$(x, y)(u, v) = (x, y) \text{ عندما } z \neq 0.$$

٩ - استخدم الفكرة المعطاة في الاقتراح المدون بمسألة (٨) لإثبات أن  $-z$  هو المعكوس

الجمعي الوحيد للعدد المركب  $z$ .

١٠ - اثبت أن (أ)  $\text{Im}(iz) = \text{Re } z$  و (ب)  $\text{Re}(iz) = -\text{Im } z$  و (ج)  $1/(1/z) = z (z \neq 0)$

١١ - اثبت صحة العلاقة (١٢) ، بند (٢) .

١٢ - اثبت صحة العلاقة الأولى من (١٣) ، بند (٢) .

١٣ - اثبت صحة العلاقة الثانية من (١٣) ، بند (٢) ، واستخدمها لإثبات أن

$$\frac{zz_1}{zz_2} = \frac{z_1}{z_2} \quad (z \neq 0, z_2 \neq 0).$$

١٤ - اثبت أن  $(z_1 z_2)(z_3 z_4) = (z_1 z_3)(z_2 z_4)$

١٥ - اثبت أنه إذا كان  $z_1 z_2 z_3 = 0$  فإن واحداً على الأقل من الأعداد  $z_1, z_2, z_3$  يساوى

صفرأ .

١٦ - اثبت أن  $(1 + z)^2 = 1 + 2z + z^2$

١٧ - استخدم الاستنتاج الرياضى لإثبات صحة مفكوك صيغة ذات الحدين

$$(1 + z)^n = 1 + \frac{n}{1!} z + \frac{n(n-1)}{2!} z^2 + \dots + \frac{n(n-1)(n-2) \dots (n-k+1)}{k!} z^k + \dots + z^n$$

حيث  $n$  عدد صحيح موجب .

### ٣ - الإحداثيات الكارتيزية Cartesian Coordinates

من الطبيعي أن نقرن العدد المركب  $z = x + iy$  بنقطة في المستوى احداثياتها

الكارتيزية  $x, y$  . وكل عدد مركب يناظر نقطة وحيدة من نقط المستوى ، وبالعكس كل

نقطة من نقط المستوى يناظرها عدد مركب وحيد . فمثلا العدد المركب  $i - 2$  يمثل

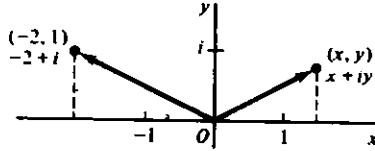
بالنقطة  $(-2, 1)$  (شكل (١) ) . ويمكن النظر أيضاً للعدد المركب  $z = x + iy$  على أنه

القطعة المستقيمة الموجهة ، أو المتجه ، من نقطة الأصل للنقطة  $(x, y)$  . وعند استخدام

المستوى تمثيل الأعداد المركبة  $z = x + iy$  هندسياً فإن المستوى  $xy$  يسمى المستوى

المركب **Complex plane** أو **z plane** . وفي هذه الحالة يسمى محور السينات المحور الحقيقي **Real axis** كما يسمى محور الصادات المحور التخيلي **Imaginary axis** .

من تعريف تجمع عددين مركبين  $z_1 = (x_1, y_1)$  ,  $z_2 = (x_2, y_2)$  ، ينتج أن العدد المركب  $z_1 + z_2$  يناظر النقطة  $(x_1 + x_2, y_1 + y_2)$  ، كما أنه يناظر أيضاً متجهه مركباته



( شكل ١ )

و  $x_1 + x_2$  و  $y_1 + y_2$  . وبالتالي فإن  $z_1 + z_2$  يمكن الحصول عليه باستخدام المتجهات كما في شكل (٢) ( أى أن  $z_1 + z_2$  هو العدد المركب المناظر لمتجه محصلة المتجهين المناظرين للعددين  $(z_1, z_2)$  . العدد المركب  $z_1 - z_2$  يمثل أيضاً بقطعة مستقيمة من النقطة  $(x_2, y_2)$  للنقطة  $(x_1, y_1)$  كما في شكل (٣) .

يعرف المقياس **Modulus** ( أو القيمة المطلقة **Absolute value** ) لعدد مركب

$z = x + iy$  على أنه العدد الحقيقي الغير سالب  $\sqrt{x^2 + y^2}$  ويرمز له بالرمز  $|z|$  ، أى أن

$$|z| = \sqrt{x^2 + y^2} . \quad (١)$$

العدد  $|z|$  يمثل البعد بين النقطة  $(x, y)$  ونقطة الأصل . ويجب ملاحظة أن  $|z|$  يؤول إلى القيمة المطلقة المألوفة في نظام الأعداد الحقيقية عندما تكون  $y = 0$  . ويجب كذلك ملاحظة أنه بينما لا يكون للعبارة  $z_1 < z_2$  معنى بصفة عامة فإن  $|z_1| < |z_2|$  تعنى أن النقطة المناظرة للعدد  $z_1$  تكون أقرب لنقطة الأصل من النقطة المناظرة للعدد  $z_2$  .

البعد بين النقطتين المناظرتين للعددين المركبين  $z_1, z_2$  يعطى بالعدد  $|z_1 - z_2|$  . وهذا يتضح مباشرة من العلاقة (٧) من بند (٢) وكذلك تعريف (١) أعلاه والذي يعطى

$$|z_1 - z_2| = \sqrt{(x_1 - x_2)^2 + (y_1 - y_2)^2} .$$

فمثلا الأعداد المركبة المناظرة للنقط الواقعة على محيط الدائرة التي مركزها  $(0, 1)$  ونصف قطرها 3 تحقق المعادلة  $|z - i| = 3$  ، والعكس أيضاً صحيح . وسنشير دائماً إلى هذه الفئة من النقط على أنها الدائرة  $|z - i| = 3$  .

الأعداد الحقيقية  $|z|$ ,  $\text{Re } z$ ,  $\text{Im } z$  ترتبط مع بعضها بالعلاقة

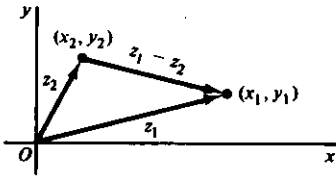
$$|z|^2 = (\text{Re } z)^2 + (\text{Im } z)^2 \quad (٢)$$

كما أنها ترتبط أيضاً بالمتباينات

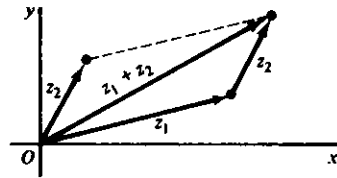
$$|z| \geq |\text{Re } z| \geq \text{Re } z \quad , \quad |z| \geq |\text{Im } z| \geq \text{Im } z \quad (٣)$$

العدد المركب المرافق **Complex conjugate** لعدد مركب  $z = x + iy$  يعرف على أنه العدد المركب  $x - iy$  ويرمز له بالرمز  $\bar{z}$  ، أى أن

$$\bar{z} = x - iy. \quad (٤)$$



(شكل ٣)



(شكل ٢)

العدد المركب  $\bar{z}$  يمثل هندسياً بالنقطة  $(x, -y)$ . وهذه النقطة هي صورة النقطة  $(x, y)$  بالانعكاس بالنسبة لمحور السينات. ويجب ملاحظة أن  $\bar{\bar{z}} = z$  ،  $|\bar{z}| = |z|$  لكل عدد مركب  $z$ .

إذا كان  $z_1 = x_1 + iy_1$  ،  $z_2 = x_2 + iy_2$  فإن

$$\overline{z_1 + z_2} = \overline{(x_1 + x_2) - i(y_1 + y_2)} = (x_1 - iy_1) + (x_2 - iy_2).$$

أى أن العدد المركب المرافق لمجموع عددين يساوى مجموع العددين المركبين المرافقين :

$$\overline{z_1 + z_2} = \bar{z}_1 + \bar{z}_2. \quad (٥)$$

بالمثل يمكن بسهولة إثبات أن :

$$\overline{z_1 - z_2} = \bar{z}_1 - \bar{z}_2, \quad (٦)$$

$$\overline{z_1 z_2} = \bar{z}_1 \bar{z}_2, \quad (٧)$$

$$\overline{\left(\frac{z_1}{z_2}\right)} = \frac{\bar{z}_1}{\bar{z}_2} \quad (٨)$$

المجموع  $z + \bar{z}$  لعدد مركب ومرافقه هو العدد الحقيقي  $2 \text{Re } z$  ، الفرق  $z - \bar{z}$  هو العدد

التخيل  $i 2 \text{Im } z$ . وبالتالي فإننا نحصل على المتطابقات

$$\text{Re } z = \frac{z + \bar{z}}{2}, \quad \text{Im } z = \frac{z - \bar{z}}{2i}. \quad (٩)$$

المتطابقة التالية ، متطابقة هامة وهى تربط بين العدد المركب ومرافقه ومقياسه

كالتالى :

$$z\bar{z} = |z|^2, \quad (١٠)$$



وكل طرف في هذه المتطابقة يساوى  $x^2 + y^2$  . وعلى سبيل المثال ، هذه المتطابقة يمكن استخدامها لتعيين خارج القسمة في المعادلة (١٠) من بند (٢) . والطريق إلى ذلك هو ضرب كل من البسط والمقام في  $\bar{z}_2$  وبالتالي يصبح المقام هو العدد المركب  $|z_2|^2$  .

فمثلا

$$\frac{-1+3i}{2-i} = \frac{-1+3i}{2-i} \frac{2+i}{2+i} = \frac{-5+5i}{5} = -1+i.$$

#### ٤ - المتباينة المثلثية The Triangle Inequality

من المعادلة (١٠) في البند السابق يمكن بسهولة استنباط بعض خصائص المقياس وكذلك بعض العلاقات المعروفة التي تتعلق بالمقياس ومرافق العدد المركب .

فعلى سبيل المثال

$$|z_1 z_2| = |z_1| |z_2|, \quad (1)$$

$$\left| \frac{z_1}{z_2} \right| = \frac{|z_1|}{|z_2|} \quad (z_2 \neq 0) \quad (2)$$

ولإثبات خاصية (١) ، نكتب

$$|z_1 z_2|^2 = (z_1 z_2) \overline{(z_1 z_2)} = (z_1 \bar{z}_1)(z_2 \bar{z}_2) = |z_1|^2 |z_2|^2 = (|z_1| |z_2|)^2$$

وبمراعاة أن المقياس يكون دائماً غير سالب فإننا نحصل على النتيجة المطلوبة . بالمثل يمكن إثبات خاصية (٢) .

باتباع هذا الأسلوب سنقوم بتقديم برهاناً جبرياً للمتباينة المثلثية :

$$|z_1 + z_2| \leq |z_1| + |z_2|, \quad (3)$$

التي تتضح هندسياً من شكل (٢) . وهذه المتباينة ما هي إلا العلاقة الهندسية التي تنص على أن طول أى ضلع من أضلاع مثلث يكون أقل من أو يساوى مجموع طولي الضلعين الآخرين .

سنبدأ برهان هذه المتباينة بكتابة

$$|z_1 + z_2|^2 = (z_1 + z_2) \overline{(z_1 + z_2)} = (z_1 + z_2)(\bar{z}_1 + \bar{z}_2).$$

ومنها ينتج - بإجراء عمليات الضرب في الطرف الأيمن - أن

$$|z_1 + z_2|^2 = z_1 \bar{z}_1 + (z_1 \bar{z}_2 + \bar{z}_1 z_2) + z_2 \bar{z}_2.$$

ولكن ،

$$z_1 \bar{z}_2 + \bar{z}_1 z_2 = 2 \operatorname{Re}(z_1 \bar{z}_2) \leq 2|z_1 \bar{z}_2| = 2|z_1| |z_2|;$$

وبالتالى فإن

$$|z_1 + z_2|^2 \leq |z_1|^2 + 2|z_1| |z_2| + |z_2|^2,$$

أو

$$|z_1 + z_2|^2 \leq (|z_1| + |z_2|)^2.$$

وبمراجعة أن المقياس يكون دائماً غير سالب فإننا نحصل على النتيجة المطلوبة (٣) .  
ويجب ملاحظة أنه يمكن بسهولة تعميم المتباينة المثلثية لأي عدد من الأعداد المركبة .  
أي أنه يمكننا كتابة

$$|z_1 + z_2 + z_3| \leq |z_1 + z_2| + |z_3| \leq |z_1| + |z_2| + |z_3|$$

والتي يمكن تعميمها ، وإثباتها باستخدام الاستنتاج الرياضي ، على الصورة

$$\left| \sum_{k=1}^n z_k \right| \leq \sum_{k=1}^n |z_k| \quad (n = 1, 2, \dots). \quad (٤)$$

لاحظ أن العدد  $||z_1| - |z_2||$  هو قيمة حدية سفلى Lower bound للعدد  $|z_1 + z_2|$  ، أي

أن

$$||z_1| - |z_2|| \leq |z_1 + z_2|. \quad (٥)$$

ولإثبات ذلك ، نكتب

$$|z_1| = |(z_1 + z_2) + (-z_2)| \leq |z_1 + z_2| + |-z_2|,$$

وهذا يعنى أن

$$|z_1| - |z_2| \leq |z_1 + z_2|. \quad (٦)$$

وهذا يثبت المتباينة (٥) عندما  $|z_1| \geq |z_2|$  إذا كان  $|z_1| < |z_2|$  فبإبدال  $z_1$  ,  $z_2$  كل مكان

الآخر في المتباينة (٦) نحصل على أن

$$-(|z_1| - |z_2|) \leq |z_1 + z_2|,$$

ومنها نحصل على النتيجة المطلوبة .

من المتباينة (٥) والمتباينة المثلثية نحصل على

$$||z_1| - |z_2|| \leq |z_1 + z_2| \leq |z_1| + |z_2|. \quad (٧)$$

## تمارين

١ - عين المتجهات الممثلة للأعداد  $z_1 + z_2$  ,  $z_1 - z_2$  عندما

$$z_1 = (-\sqrt{3}, 1), z_2 = (\sqrt{3}, 0) \quad (ب) ; \quad z_1 = 2i, z_2 = 1 - i \quad (أ)$$

$$z_1 = x_1 + iy_1, z_2 = x_1 - iy_1 \quad (د) ; \quad z_1 = (-3, 1), z_2 = (1, 4) \quad (ج)$$

٢ - اثبت أن النقطة الممثلة للعدد  $(z_1 + z_2)/2$  هي النقطة المتوسطة للقطعة المستقيمة الواصلة للنقطتين  $z_1, z_2$  .

$$\bar{z} + 3i = z - 3i \quad (أ) ; \quad \bar{iz} = -i\bar{z} \quad (ب)$$

$$|(2z + 5)(\sqrt{2} - i)| = \sqrt{3}|2z + 5| \quad (د) ; \quad \frac{(2+i)^2}{3-4i} = 1 \quad (ج)$$

٤ - اثبت صحة العلاقات (٢) ، (٣) من بند (٣) جبرياً ثم فسر هذه العلاقات هندسياً .

$$\sqrt{2}|z| \geq |\operatorname{Re} z| + |\operatorname{Im} z| \quad (٥)$$

٦ - اثبت صحة العلاقات (٦) ، (٧) ، (٨) من بند (٣)

٧ - اثبت أن :

(أ) العدد  $z$  يكون حقيقيا إذا وفقط إذا كان  $\bar{z} = z$  ،

(ب) العدد  $z$  يكون حقيقيا أو تخيليا إذا وفقط إذا كان  $(\bar{z})^2 = z^2$  .

٨ - اثبت أن : (أ)  $\overline{z_1 z_2 z_3} = \bar{z}_1 \bar{z}_2 \bar{z}_3$  ; (ب)  $(z^*)^* = z$  .

٩ - اثبت صحة العلاقة (٢) من بند (٤) .

١٠ - اثبت أنه إذا كان  $z_2 z_3 \neq 0$  فإن

$$\left| \frac{z_1}{z_2 z_3} \right| = \frac{|z_1|}{|z_2| |z_3|} \quad (\text{ب}) \quad ; \quad \left( \frac{z_1}{z_2 z_3} \right) = \frac{\bar{z}_1}{\bar{z}_2 \bar{z}_3} \quad (\text{أ})$$

١١ - اثبت صحة : (أ) المتباينة (٤) من بند (٤) ،

(ب) المتباينات

$$||z_1| - |z_2|| \leq |z_1 - z_2| \leq |z_1| + |z_2| .$$

١٢ - في كل حالة عين فئة النقط التي تحقق الشروط المعطاة :

$$|z + i| \leq 3 \quad (\text{ب}) \quad ; \quad |z - 1 + i| = 1 \quad (\text{أ})$$

$$|z - i| = |z + i| \quad (\text{د}) \quad ; \quad \text{Re}(\bar{z} - i) = 2 \quad (\text{ج})$$

١٣ - اثبت أنه إذا كان  $|z_2| \neq |z_3|$  فإن

$$\left| \frac{z_1}{z_2 + z_3} \right| \leq \frac{|z_1|}{||z_2| - |z_3||} .$$

١٤ - نفرض أن  $R$  مقدار ثابت موجب ، وأن  $z_0$  عدد مركب معين . اثبت أن معادلة الدائرة

التي نصف قطرها  $R$  ومركزها  $-z_0$  تكون على الصورة

$$|z|^2 + 2 \text{Re}(\bar{z}_0 z) + |z_0|^2 = R^2 .$$

١٥ - باستخدام المعادلات (٩) من بند (٣) اثبت أن القطع الزائد  $x^2 - y^2 = 1$  يمكن كتابته

$$\text{على الصورة } z^2 + \bar{z}^2 = 2 .$$

١٦ - تحقق هندسيا من أن العلاقة  $|z - 4i| + |z + 4i| = 10$  تمثل قطعاً ناقصاً ثم اثبت هذا جبرياً .

## ٥ - الإحداثيات القطبية Polar Coordinates

نفرض أن  $r, \theta$  هي الإحداثيات القطبية للنقطة  $(x, y)$  المناظرة لعدد مركب غير

صفرى  $z = x + iy$  . حيث أن

$$x = r \cos \theta \quad , \quad y = r \sin \theta , \quad (١)$$

فإن العدد المركب  $z$  يمكن كتابته على الصورة القطبية Polar form كالتالى :

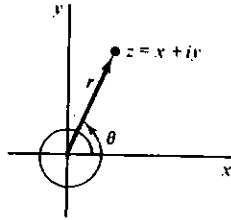
$$z = r(\cos \theta + i \sin \theta) . \quad (٢)$$

مثال ذلك ،

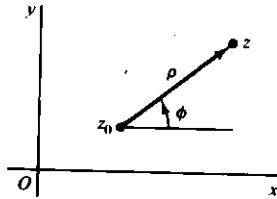
$$1 + i = \sqrt{2} \left[ \cos \left( \frac{\pi}{4} \right) + i \sin \left( \frac{\pi}{4} \right) \right] = \sqrt{2} \left[ \cos \left( -\frac{7\pi}{4} \right) + i \sin \left( -\frac{7\pi}{4} \right) \right] .$$

والعدد  $r$  هو طول المتجه الممثل للعدد المركب  $z$  ، أى أن  $r = |z|$  . العدد  $\theta$  يسمى **سعة Argument** العدد المركب  $z$  ، ونكتب  $\theta = \arg z$  . وهندسيا ، سعة العدد المركب  $z$  هي أى زاوية ، مقدره بالتقدير الدائرى ، يصنعها المتجه الممثل للعدد المركب  $z$  مع الاتجاه الموجب للمحور الحقيقي ( شكل ( ٤ ) ) . وبالتالي فإن  $\theta$  تأخذ أى قيمة من عدد لا نهائى من القيم الحقيقية التى تختلف عن بعضها بمقدار  $2n\pi$  حيث  $n$  عدد صحيح . هذه القيم يمكن تعيينها من العلاقة

$$\tan \theta = \frac{y}{x} \quad (3)$$



( شكل ٤ )



( شكل ٥ )

مع ملاحظة أنه يجب أولاً تحديد ربع المستوى الذى تقع فيه النقطة المناظرة للعدد  $z$  . لأى عدد مركب غير صفري  $z$  تعرف القيمة الأساسية **Principal value** لسعة العدد  $z$  على أنها القيمة الوحيدة لسعة العدد المركب  $z$  التى تحقق العلاقة

$$-\pi < \arg z \leq \pi ,$$

ويرمز لها بالرمز  $\text{Arg } z$  .

إذا كان  $z = 0$  فإن المعادلة (٣) لا يمكن استخدامها وتكون  $\theta$  غير معرفة . فى بقية هذا البند ، سيكون من المفهوم ، دون ما حاجة إلى ذكر ، أن الأعداد المركبة التى سنستخدم صورها القطبية ليست أعداداً صفرية .

عندما  $z \neq z_0$  فإن التمثيل

$$z - z_0 = \rho(\cos \phi + i \sin \phi)$$

للعدد  $z - z_0$  على الصورة القطبية يمكن تفسيره هندسيا كما في شكل (٥).

أى أن  $\rho = |z - z_0|$ ، وهى تمثل البعد بين النقطة المناظرة للعدد  $z$  والنقطة المناظرة للعدد

$z_0$ ، بينما  $\phi = \arg(z - z_0)$  هى زاوية ميل المتجه الممثل للعدد المركب  $z - z_0$ .

المتطابقة التالية هامة جدا وهى تربط بين ساعات الأعداد المركبة  $z_1, z_2, z_1 z_2$ :

$$\arg(z_1 z_2) = \arg z_1 + \arg z_2. \quad (٤)$$

أى أن: أى سعة للعدد المركب  $z_1 z_2$  تساوى مجموع ساعتين إحداهما للعدد  $z_1$

والأخرى للعدد  $z_2$ ، وبالعكس مجموع سعة ما للعدد  $z_1$  وسعة ما للعدد  $z_2$  يكون سعة

للعدد  $z_1 z_2$ . المتطابقة (٤) ليست دائماً صحيحة إذا ما وضعنا  $Arg$  بدلا من  $arg$ .

لنتبين هذا يكفى فقط أن نعتبر العددين  $z_1 = -1, z_2 = i$ .

لإثبات صحة المتطابقة (٤) سنكتب أولا  $z_1, z_2$  على الصورة القطبية:

$$z_1 = r_1(\cos \theta_1 + i \sin \theta_1), \quad z_2 = r_2(\cos \theta_2 + i \sin \theta_2).$$

إذن،

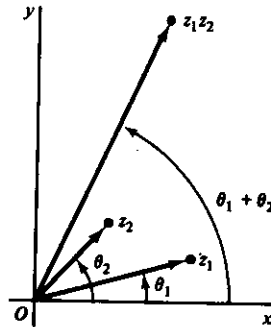
$$z_1 z_2 = r_1 r_2 [(\cos \theta_1 \cos \theta_2 - \sin \theta_1 \sin \theta_2) + i(\sin \theta_1 \cos \theta_2 + \cos \theta_1 \sin \theta_2)],$$

والتي يمكن كتابتها على الصورة المختزلة

$$z_1 z_2 = r_1 r_2 [\cos(\theta_1 + \theta_2) + i \sin(\theta_1 + \theta_2)]. \quad (٥)$$

وبالتالى فإن مجموع أى سعة للعدد  $z_1$  وأى سعة للعدد  $z_2$  يكون سعة للعدد  $z_1 z_2$

شكل (٦).



(شكل ٦)

من ناحية أخرى ، اعتبر أى سعة للعدد المركب  $z_1 z_2$  . من المتطابقة (٥) ينتج أن هذه السعة لا بد وأن تكون على الصورة  $\theta_1 + \theta_2 + 2n\pi$  ، حيث  $n$  عدد صحيح . وبالتالي فإنه يمكننا أن نأخذ في المتطابقة (٤) سعة  $z_1$  ، سعة  $z_2$  على سبيل المثال على الصورة

$$\arg z_1 = \theta_1 \quad , \quad \arg z_2 = \theta_2 + 2n\pi,$$

وبهذا يكتمل برهان المتطابقة (٤)

لاحظ أنه إذا ضرب عدد مركب غير صفري  $z = r(\cos \theta + i \sin \theta)$  في العدد التخيلي  $i$  فإن القطعة المستقيمة الموجهة المثلثة للعدد  $iz$  ( ونقطة بدايتها نقطة الأصل ) نحصل عليها من القطعة المستقيمة الموجهة المثلثة للعدد  $z$  ( ونقطة بدايتها نقطة الأصل ) بدوران الأخيرة حول نقطة الأصل زاوية قائمة في الاتجاه الموجب ( أى ضد اتجاه عقارب الساعة ) . وذلك حيث إنه من المعادلة (٥) ينتج أن :

$$\begin{aligned} iz &= \left( \cos \frac{\pi}{2} + i \sin \frac{\pi}{2} \right) r(\cos \theta + i \sin \theta) \\ &= r \left[ \cos \left( \theta + \frac{\pi}{2} \right) + i \sin \left( \theta + \frac{\pi}{2} \right) \right]. \end{aligned}$$

من المعادلة (٥) يمكننا بسهولة الحصول على الصورة القطبية للمعكوس الضربي لعدد مركب غير صفري

$$z = r(\cos \theta + i \sin \theta)$$

على الصورة

$$z^{-1} = \frac{1}{r} [\cos (-\theta) + i \sin (-\theta)], \quad (6)$$

ويجب ملاحظة أن حاصل ضرب هاتين الصورتين القطبيتين يساوى  $1$  . وحيث إن  $z_1/z_2 = z_1 z_2^{-1}$  فإنه يمكننا كتابة الصورة القطبية لخارج قسمة عددين مركبين غير صفريين على النحو التالي :

$$\frac{z_1}{z_2} = \frac{r_1}{r_2} [\cos (\theta_1 - \theta_2) + i \sin (\theta_1 - \theta_2)]. \quad (7)$$

من المفيد دائماً أن نرمز للمقدار  $\cos \theta + i \sin \theta$  بالرمز  $e^{i\theta}$  ، أى أن

$$e^{i\theta} = \cos \theta + i \sin \theta. \quad (8)$$

وهذه العلاقة الأخيرة تعرف بإسم صيغة أويلر Euler's formula . وكما سنرى فيما بعد في بند (٢١) فإن اختيار الرمز  $e^{i\theta}$  لم يكن عشوائياً بل له ما يبرره . ويجب ملاحظة أن

$$e^{i\theta_1} e^{i\theta_2} = e^{i(\theta_1 + \theta_2)} \quad (9)$$

والتي يمكن الحصول عليها بسهولة من المعادلة (٥) عندما  $r_1 = r_2 = 1$  . أى أنه عندما  $z_1 z_2 = e^{i(\theta_1 + \theta_2)}$  فإن  $z_1 = e^{i\theta_1}$  و  $z_2 = e^{i\theta_2}$  والخاصية رقم (٩) هي بطبيعة الحال المماثلة للخاصية المناظرة للدالة  $e^x$  عندما يكون  $x$  عدداً حقيقياً .  
من المعادلة (٩) نلاحظ أن  $e^{i\theta} e^{-i\theta} = 1$  . وبالتالي فإن العدد المركب  $e^{-i\theta}$  هو المعكوس الضربى للعدد المركب  $e^{i\theta}$  ، وبالتالي فإن

$$1/e^{i\theta} = e^{-i\theta}.$$

من المعادلات (٢) ، (٨) ينتج أن أى عدد مركب غير صفري  $z$  يمكن كتابته على الصورة

$$z = r e^{i\theta}; \quad (10)$$

ومن المعادلة (٦) ينتج أن المعكوس الضربى للعدد  $z$  هو

$$z^{-1} = \frac{1}{r} e^{-i\theta}. \quad (11)$$

كذلك ، إذا كان  $z_1 = r_1 e^{i\theta_1}$  ،  $z_2 = r_2 e^{i\theta_2}$  ، فمن المعادلات (٥) ، (٧) ينتج أن

$$z_1 z_2 = r_1 r_2 e^{i(\theta_1 + \theta_2)} \quad (12)$$

و

$$\frac{z_1}{z_2} = \frac{r_1}{r_2} e^{i(\theta_1 - \theta_2)}, \quad (13)$$

## ٦ - قوى وجذور Powers and Roots الأعداد المركبة

إذا كان  $z = r e^{i\theta}$  عدد مركب غير صفري فإن  $z^n$  حيث  $n$  عدد صحيح يعطى بالعلاقة

$$z^n = r^n e^{in\theta} \quad (n = 0, \pm 1, \pm 2, \dots). \quad (1)$$

وهذه العلاقة يمكن إثباتها بسهولة باستخدام الاستنتاج الرياضى والعلاقة (٩) من البند السابق عندما يكون  $n$  عدداً طبيعياً . وهذه العلاقة تكون صحيحة أيضاً عندما  $n = 0$  وذلك مع ملاحظة أننا سنعتبر أن  $z^0 = 1$  . إذا كان  $n = 1, -2, \dots$  فإننا نعرف  $z^n$  بالعلاقة

$$z^n = (z^{-1})^{-n}.$$

من هذا ينتج باستخدام العلاقة (١١) من بند (٥) وحقيقة أن العلاقة (١) صحيحة عندما يكون  $n$  عدداً صحيحاً موجباً

$$z^n = \left(\frac{1}{r}\right)^{-n} e^{i(-n)(-\theta)} = r^n e^{in\theta}.$$

إذن العلاقة (١) صحيحة عندما يكون  $n$  عدداً صحيحاً .

لاحظ أنه عندما تكون  $r = 1$  فإن العلاقة (١) تصبح

$$(e^{i\theta})^n = e^{in\theta} \quad (n = 0, \pm 1, \pm 2, \dots), \quad (2)$$

أو

$$(\cos \theta + i \sin \theta)^n = \cos n\theta + i \sin n\theta \quad (n = 0, \pm 1, \pm 2, \dots), \quad (3)$$

وهذه النتيجة الأخيرة تعرف بنظرية ديموارتر **de Moivre's theorem**.

العلاقة (١) مفيدة جدا ، فعلى سبيل المثال عند حساب جذور الأعداد المركبة الغير

صفيرية . ولتوضيح ذلك ، سنقوم بحل المعادلة

$$z^n = 1 \quad (n = 1, 2, \dots) \quad (4)$$

أى أننا سنوجد الجذور النونية للوحدة . وحيث أن  $z \neq 0$  فإنه يمكننا كتابة  $z = re^{i\theta}$

ونبحث عن قيم  $\theta$  ،  $r$  التي تحقق العلاقة

$$(re^{i\theta})^n = 1,$$

أو

$$r^n e^{in\theta} = 1e^{i0}.$$

من المعلوم أنه إذا تساوى عددان مركبان فإنه يكون لهما نفس المقياس ، وإذا كان

هذان العددان على الصورة القطبية فإن سعتيهما تختلفان بالمقدار  $2k\pi$  حيث  $k$  عدد

صحيح . إذن

$$r^n = 1 \quad \text{و} \quad n\theta = 0 + 2k\pi$$

حيث  $k$  عدد صحيح  $(k = 0, \pm 1, \pm 2, \dots)$  وبالتالي فإن

$$r = 1 \quad , \quad \theta = 2k\pi/n,$$

وبذلك يكون لدينا  $n$  من الحلول المختلفة

$$z = e^{i(2k\pi/n)} \quad (k = 0, 1, 2, \dots, n-1)$$

للمعادلة (٤) . أى أن الأعداد المركبة

$$\cos \frac{2k\pi}{n} + i \sin \frac{2k\pi}{n} \quad (k = 0, 1, 2, \dots, n-1) \quad (5)$$

هى الجذور النونية للوحدة . ويجب ملاحظة أنه لا يمكن الحصول على أى جذور

إضافية مختلفة بإعطاء  $k$  قيما أخرى خلاف تلك المذكورة أعلاه وذلك حيث أن الدالتين

**Sine** ، **Cosine** دالتان دوريتان .

من هذا ينتج أن الجذور النونية للوحدة عددها  $n$  . وهذه الجذور تناظر هندسيا النقط

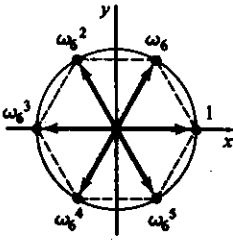
الواقعة عند رؤوس مضلع منتظم عدد أضلاعه  $n$  . وهذا المضلع يقع داخل دائرة نصف

قطرها الوحدة ومركزها نقطة الأصل ، إحدى رؤوس هذا المضلع هى النقطة المناظرة

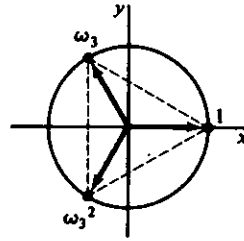
للجذر  $z = 1$  . وإذا كتبنا

$$\omega_n = \cos \frac{2\pi}{n} + i \sin \frac{2\pi}{n}, \quad (6)$$





( شكل ٨ )



( شكل ٧ )

فمن نظرية دي موافر ينتج أن الجذور النونية للوحدة هي  $1, \omega_n, \omega_n^2, \dots, \omega_n^{n-1}$  . ويجب ملاحظة أن  $\omega_n^n = 1$  . شكل (٧) يوضح أن الجذور التكعيبة للوحدة تقع على رؤوس مثلث متساوي الأضلاع . وشكل (٨) يوضح مواقع الجذور عندما  $n = 6$  .

وما ذكرناه آنفا يمكن تعميمه لإيجاد الجذور النونية لأي عدد مركب غير صفري

$$w = \rho(\cos \phi + i \sin \phi).$$

وهذه الجذور هي

$$\sqrt[n]{\rho} \left( \cos \frac{\phi + 2k\pi}{n} + i \sin \frac{\phi + 2k\pi}{n} \right) \quad (k = 0, 1, 2, \dots, n-1) \quad (٧)$$

حيث  $\sqrt[n]{\rho}$  الجذر النوني الموجب للعدد الحقيقي  $\rho$  . والعدد  $\sqrt[n]{\rho}$  يمثل هندسيا طول كل من المتجهات المناظرة للجذور النونية . وسعة أحد هذه الجذور النونية تساوي  $\phi/n$  وللحصول على سعات الجذور النونية الأخرى فإنه يضاف للمقدار  $\phi/n$  مضاعفات صحيحة للمقدار  $2\pi/n$  . ويجب ملاحظة أنه إذا كان  $z_0$  أي جذر نوني للعدد  $w$  فإن الجذور النونية للعدد  $w$  تكون

$$z_0, z_0 \omega_n, z_0 \omega_n^2, \dots, z_0 \omega_n^{n-1}$$

حيث  $\omega_n$  كما هي معطاة في العلاقة (٦) . وهذا يرجع إلى أن ضرب أي عدد مركب غير صفري في العدد المركب  $\omega_n$  يناظر زيادة قدرها  $2\pi/n$  في سعة هذا العدد .

سنرمز لأي جذر نوني لعدد مركب غير صفري  $w$  بالرمز  $w^{1/n}$  . على سبيل الخصوص ، إذا كان  $w$  عددا حقيقيا موجبا ، فإن  $w^{1/n}$  يرمز إلى أي جذر من الجذور وسنحتفظ بالرمز  $\sqrt[n]{\rho}$  المستخدم في (٧) للدلالة على الجذر الوحيد الموجب .

## تمارين

١ - اوجد قيمة  $\arg z$  عندما

$$z = (\sqrt{3} - i)^6 \quad (\text{أ}), \quad z = \frac{i}{-2 - 2i} \quad (\text{ب}), \quad z = \frac{-2}{1 + i\sqrt{3}} \quad (\text{ج})$$

الأجوبة :  $\pi$  (أ) ،  $2\pi/3$  (ب) ،  $\pi$  (ج)

٢ - استخدم الصورة القطبية لإثبات أن

$$5i(2+i) = 1+2i \quad (\text{أ}), \quad i(1-i\sqrt{3})(\sqrt{3}+i) = 2+i2\sqrt{3} \quad (\text{ب})$$

$$(1+i\sqrt{3})^{-10} = 2^{-11}(-1+i\sqrt{3}) \quad (\text{أ}), \quad (-1+i)^7 = -8(1+i) \quad (\text{ب})$$

٣ - في كل حالة اوجد جذور الأعداد المركبة المعطاة ومثلهم هندسيا :

$$8^{1/6} \quad (\text{أ}), \quad (-1)^{1/3} \quad (\text{ب}), \quad (-i)^{1/3} \quad (\text{ج}), \quad (-1)^{1/3} \quad (\text{د})$$

الأجوبة :  $\pm(1+i)$  (أ) ،  $i, (\pm\sqrt{3}-i)/2$  (ب) ،  $i, (\pm\sqrt{3}-i)/\sqrt{2}, (-1 \pm i\sqrt{3})/\sqrt{2}$  (د)

٤ - إثبت صحة العلاقة (١) من بند (٦) عندما تكون  $n=1, 2, \dots$

٥ - اوجد قيمة من قيم سعة  $z$  عندما  $z_1 \neq 0$  ،  $z_2 \neq 0$  :

$$z = z_1/z_2 \quad (\text{أ}), \quad z = z_1^n \quad (n=1, 2, \dots) \quad (\text{ب}), \quad z = z_1^{-1} \quad (\text{ج})$$

الأجوبة :  $\arg z_1 - \arg z_2$  (أ) ،  $n \arg z_1$  (ب) ،  $-\arg z_1$  (ج)

٦ - اثبت أن  $\arg \bar{z} = -\arg z$  حيث  $z \neq 0$ . عين الشروط الأخرى التي يجب توافرها

في العدد  $z$  حتى يكون  $\text{Arg } \bar{z} = -\text{Arg } z$ .

الإجابة :  $z$  لا تكون عددا حقيقيا سالبا .

٧ - نفرض أن  $z$  عدد مركب غير صفري وأن  $n$  عدد صحيح سالب ( $n = -1, -2, \dots$ ).

باستخدام التعريف  $z^n = (z^{-1})^{-n}$  المعطى في بند (٦) اثبت أنه يمكننا كذلك كتابة

$$z^n = (z^{-n})^{-1}$$

٨ - اوجد الجذور الأربعة للمعادلة  $z^4 + 4 = 0$  واستخدم ذلك لتحليل المقدار  $z^4 + 4$

إلى مقادير من الدرجة الثانية ذات معاملات حقيقية.

$$(z^2 + 2z + 2)(z^2 - 2z + 2) \quad \text{الإجابة :}$$

٩ - استخدم نظرية دي موافر لإثبات المتطابقات المثلثة التالية :

$$\sin 3\theta = 3 \cos^2 \theta \sin \theta - \sin^3 \theta. \quad (\text{أ}), \quad \cos 3\theta = \cos^3 \theta - 3 \cos \theta \sin^2 \theta \quad (\text{ب})$$

١٠ - استنتج العلاقة (٧) من بند (٦) .

١١ - بفرض أن  $z_1 z_2 \neq 0$ ، استخدم الصورة القطبية لإثبات أن

$$\text{Re}(z_1 z_2) = |z_1| |z_2| \iff \theta_1 - \theta_2 = 2n\pi \quad (n=0, \pm 1, \pm 2, \dots)$$

حيث  $\theta_1 = \arg z_1$  ،  $\theta_2 = \arg z_2$

١٢ - بفرض أن  $z_1 z_2 \neq 0$  ، استخدم مسألة (١١) لإثبات أن

$$|z_1 + z_2| = |z_1| + |z_2| \iff \theta_1 - \theta_2 = 2n\pi \quad (n=0, \pm 1, \pm 2, \dots)$$

حيث  $\theta_1 = \arg z_1$  ،  $\theta_2 = \arg z_2$  . تحقق من هذا هندسيا .

١٣ - بفرض أن  $z_1 z_2 \neq 0$ ، استخدم مسألة (١١) لإثبات

$$|z_1 - z_2| = ||z_1| - |z_2|| \iff \theta_1 - \theta_2 = 2n\pi \quad (n=0, \pm 1, \pm 2, \dots)$$

حيث  $\theta_1 = \arg z_1$  ،  $\theta_2 = \arg z_2$ .

١٤ - أثبت صحة المتطابقة

$$1 + z + z^2 + \dots + z^n = \frac{1 - z^{n+1}}{1 - z} \quad (z \neq 1);$$

ثم استنتج متطابقة لاجرانج المثلثية **Lagrange's trigonometric identity** :

$$1 + \cos \theta + \cos 2\theta + \dots + \cos n\theta = \frac{1}{2} + \frac{\sin [(n + \frac{1}{2})\theta]}{2 \sin (\theta/2)} \quad (0 < \theta < 2\pi).$$

اقترح : للحصول على المتطابقة الأولى ضع  $S = 1 + z + z^2 + \dots + z^n$

واعتبر الفرق  $S - zS$ .

١٥ - إذا كان  $z$  أى جذر من الجذور النونية للوحدة بحث  $z \neq 1$  فإثبت أن

$$1 + z + z^2 + \dots + z^{n-1} = 0.$$

اقترح : استخدم المتطابقة الأولى في مسألة (١٤).

١٦ - اثبت أن الصيغة المألوفة لحل معادلة الدرجة الثانية يمكن استخدامها لحل المعادلة

$$az^2 + bz + c = 0 \quad \text{عندما تكون المعاملات } a, b, c \text{ أعدادا مركبة.}$$

### ٧ - المناطق في المستوى المركب Regions in the Complex Plane

في هذا البند سنقوم بدراسة فئات من الأعداد المركبة ( أى من النقط ) ومدى قربها من بعضها . ووسيلتنا الأساسية في هذا هو مفهوم جوار  $\varepsilon$ -neighborhood أو ببساطة الجوار neighborhood. ويعرف جوار  $\varepsilon$  لنقطة معينة  $z_0$  على أنه فئة النقط  $z$  التي تحقق العلاقة

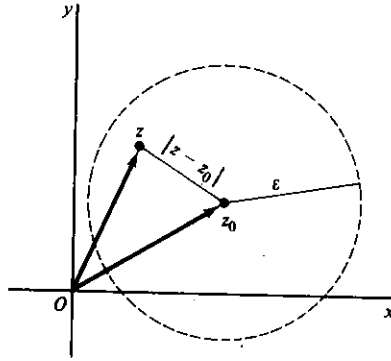
$$|z - z_0| < \varepsilon \quad (١)$$

أى فئة النقط  $z$  التي تقع داخل ( وليس على محيط ) دائرة مركزها  $z_0$  ونصف قطرها عدد موجب معين  $\varepsilon$  ( شكل (٩) ).

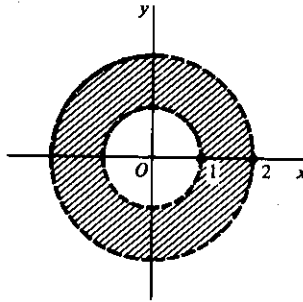
يقال لنقطة  $z_0$  أنها نقطة داخلية Interior point لفئة  $S$  إذا وجد جوار للنقطة  $z_0$  يكون فئة جزئية من  $S$  ، ويقال للنقطة  $z_0$  أنها نقطة خارجية Exterior point للفئة  $S$  إذا وجد جوار للنقطة  $z_0$  لا يحوى أى نقطة من نقط  $S$  . إذا لم تكن  $z_0$  نقطة خارجية أو داخلية للفئة  $S$  فإنه يقال أن  $z_0$  نقطة حدية أو نقطة حدود Boundary point للفئة  $S$  . أى أن النقطة الحدية هي تلك النقطة التي يحوى كل جوار لها نقط من  $S$  ونقط لا تنتمي للفئة  $S$  . فئة كل النقط الحدية للفئة  $S$  يقال لها حد Boundary الفئة  $S$  . فمثلا الدائرة

$$|z| = 1 \text{ هي حد لكل من الفئتين}$$

$$|z| < 1 \quad \text{و} \quad |z| \leq 1. \quad (٢)$$



( شكل ٩ )



( شكل ١٠ )

يقال لفئة ما أنها مفتوحة Open إذا كانت لا تحوى أى نقطة من نقطها الحدية .  
 وسنترك للقارئ مهمة إثبات أن الفئة تكون مفتوحة إذا وفقط إذا كانت كل نقطة من  
 نقطها نقطة داخلية لها . ويقال لفئة ما أنها مغلقة Closed إذا كانت تحوى كل نقطة من  
 نقطها الحدية . الفئة المغلقة التى تتكون من اتحاد الفئة S وفئة نقطها الحدية تسمى مُغلقة  
 Closure الفئة S ويرمز لها بالرمز  $\bar{S}$  . ويجب ملاحظة أن الفئة  $|z| < 1$  تكون مفتوحة ، أن  
 الفئة  $|z| \leq 1$  هى مُغلقة كل من الفئتين  $|z| < 1$  ،  $|z| \leq 1$

وبطبيعة الحال فإن بعض الفئات لا تكون مفتوحة أو مغلقة . ولكى لا تكون فئة ما  
 مفتوحة فإنها لا بد وأن تحوى إحدى نقطها الحدية ، ولكى لا تكون فئة ما مغلقة فإنه  
 لا بد وأن نجد إحدى نقطها الحدية الغير منتمية لها . فالفئة  $0 < |z| \leq 1$  ليست مفتوحة أو  
 مغلقة ؛ بينما فئة جميع الأعداد المركبة تكون مفتوحة ومغلقة فى نفس الوقت وذلك لعدم  
 وجود نقط حدية .

يقال لفئة مفتوحة S أنها مترابطة Connected إذا كان بالإمكان أن نصل أى نقطتين  
 من نقطها بمسار مضلعى Polygonal path ، يتكون من عدد محدود من القطع المستقيمة

المتصلة نهاية بنهاية ويقع بأكمله في الفئة S . فالفئة المفتوحة  $|z| < 1$  مترابطة . والحلقة  $1 < |z| < 2$  Annulus هي بطبيعة الحال فئة مفتوحة وأيضاً مترابطة ( شكل (١٠) ) .  
 الفئة المفتوحة المترابطة يقال لها نطاق Domain . ويجب ملاحظة أن كل جوار يكون نطاقاً تسمى الفئة منطقة Region إذا كانت نطاقاً أو نطاقاً مضافاً إليه بعض أو كل نقطه الحدية .

يقال لفئة S أنها محدودة Bounded إذا كانت كل نقطة من نقط S تقع داخل دائرة ما  $|z| = R$  ، وإذا لم تكن الفئة كذلك فإنه يقال لها فئة غير محدودة Unbounded . في البند التالي سنتعرض لمفهوم الفئة الغير محدودة بتفصيل أكثر .

أخيراً ، يقال لنقطة  $z_0$  أنها نقطة تراكم Accumulation point لفئة S إذا كان كل جوار للنقطة  $z_0$  يحوى نقطة واحدة على الأقل ، مختلفة عن  $z_0$  ، من نقط S . من هذا ينتج أنه إذا كانت S فئة مغلقة فإنها تحوى كل نقطة تراكم لها . وذلك لأنه إذا كانت  $z_0$  نقطة تراكم للفئة S بحيث  $z_0 \notin S$  فإن  $z_0$  لا بد وأن تكون نقطة حدية للفئة S ، ولكن هذا يناقض حقيقة أن الفئة المغلقة تحوى كل نقطة حدية لها . وسيترك للقارئ مهمة إثبات أن عكس هذا يكون أيضاً صحيحاً ، أى أنه إذا كانت الفئة S تحوى كل نقطة تراكم لها فإنها تكون مغلقة . وبالتالي فإن :

الفئة S تكون مغلقة إذا وفقط إذا كانت تحوى كل نقطة تراكم لها .

من الواضح أن النقطة  $z_0$  لا تكون نقطة تراكم للفئة S إذا وجد جوار ما للنقطة  $z_0$  لا يحوى أى نقطة ، مختلفة عن  $z_0$  ، من نقط S . لاحظ أن نقطة الأصل هي نقطة التراكم الوحيدة للفئة  $z_n = i/n$  ( $n = 1, 2, \dots$ )

### ٨ - نقطة اللانهاية The Point at Infinity

من المفيد أحياناً أن نضم للمستوى المركب نقطة اللانهاية ( أو النقطة في مالا نهاية ) ، والتي يرمز لها بالرمز  $\infty$  . المستوى المركب مضافاً إليه هذه النقطة يسمى المستوى المركب الممتد Extended complex plane .

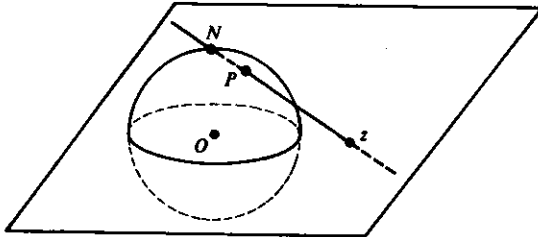
ولنوضح مفهوم نقطة اللانهاية فيمكننا النظر إلى المستوى المركب كما لو كان ماراً بخط استواء كرة نصف قطرها الوحدة ومركزها النقطة  $z=0$  ( شكل (١١) ) . كل نقطة z من نقط المستوى يناظرها نقطة وحيدة P على سطح الكرة . النقطة P هي نقطة تقاطع سطح الكرة مع الخط المستقيم المار بالنقطة z والقطب الشمالى N للكرة . بالمثل ، كل نقطة P على سطح الكرة ، مختلفة عن القطب الشمالى N ، يناظرها نقطة وحيدة z

في المستوى . فإذا ما اعتبرنا أن القطب الشمالى  $N$  للكرة يناظر نقطة اللانهاية ، فإننا بذلك نكون قد حصلنا على تناظر أحادى بين نقط الكرة ونقط المستوى المركب الممتد . هذه الكرة تعرف باسم كرة ريمان  $Riemann sphere$  ، وهذا التناظر يعرف باسم الإسقاط الاستريوجرافى **Stereographic projection** .

لاحظ أن خارجية دائرة الوحدة التى مركزها نقطة الأصل فى المستوى المركب تناظر نصف الكرة الواقع فوق المستوى مع استبعاد خط الاستواء والنقطة  $N$  . بالإضافة إلى ذلك ، فلكل عدد صغير موجب  $\epsilon$  ، تكون نقط المستوى المركب الواقعة خارج الدائرة  $|z| = 1/\epsilon$  مناظرة لنقط الكرة القريبة من  $N$  . لذلك سنسمى الفئة  $|z| > 1/\epsilon$  (جوار  $\epsilon$ ) للنقطة  $\infty$  .

عندما يحوى كل جوار للنقطة  $\infty$  نقطة واحدة على الأقل من نقط فئة معينة  $S$  فى المستوى المركب فإننا نقول أن  $\infty$  نقطة تراكم للفئة  $S$  . وكمثال لتوضيح ذلك ، النقطة  $\infty$  تكون نقطة تراكم للفئة  $z_n = ni$  ، حيث  $n = 0, 1, 2, \dots$  ، كما أنها نقطة تراكم للنطاق  $Im z > 0$  . ويجب ملاحظة أن الفئة  $S$  تكون غير محدودة ( كما فى بند ٧ ) إذا وفقط إذا كانت  $\infty$  إحدى نقط تراكمها .

وستتفق على أنه عندما نقول نقطة  $z$  فإننا سنعنى نقطة فى المستوى المركب النهائى **Finite** . وإذا ما أردنا بحديثنا نقطة اللانهاية فسندكر ذلك صراحة .



( شكل ١١ )

## تمارين

- ١ - في كل حالة ارسم الفئة المعنية ووضح ما إذا كانت نطاقاً :
- (أ)  $|z-2+i| \leq 1$  (ب)  $|2z+3| > 4$  (ج)  $\text{Im } z > 1$  (د)  $|\text{Im } z| > 1$
- (هـ)  $0 < |z-z_0| < 1$  (و)  $|z-4| \geq |z|$  (ز)  $|z| > 0, 0 \leq \arg z \leq \pi/4$
- حيث  $z_0$  نقطة ثابتة ،  $S$  عدد موجب
- الأجوبة : كل من (ب) ، (ج) ، (ز) تكون نطاقاً .
- ٢ - أى الفئات في (١) لا تكون مفتوحة أو مغلقة ؟
- الإجابة : (هـ)
- ٣ - أى الفئات في (١) تكون محدودة ؟
- الأجوبة : (أ) ، (ز)
- ٤ - في كل حالة ارسم
- (أ)  $|z| > 0, -\pi < \arg z < \pi$  (ب)  $|z| < |z|$  (ج)  $\text{Re}(1/z) \leq 1/2$  (د)  $\text{Re}(z^2) > 0$
- ٥ - نفرض أن  $S$  هي الفئة المفتوحة التي تتكون من النقط  $z$  بحيث

$$|z| < 1 \quad \text{أو} \quad |z-2| < 1$$

بين لماذا لا تكون  $S$  مترابطة

- ٦ - بين أن الفئة  $S$  تكون مفتوحة إذا فقط: إذا كانت كل نقطة من نقط  $S$  نقطة داخلية لها .

٧ - عين نقط تراكم كل فئة من الفئات التالية :

(أ)  $z_n = i^n (n=1, 2, \dots)$  (ب)  $z_n = (1/n)i^n (n=1, 2, \dots)$  (ج)  $0 \leq \arg z < \pi/2, |z| > 1$

(د)  $z_n = (-1)^n(1+i)(n-1)/n (n=1, 2, \dots)$

الأجوبة : (أ) لا يوجد ، (ب) 0 ، (د)  $\pm(1+i)$

- ٨ - اثبت أنه إذا كانت فئة تحوى كل نقطة تراكم لها فإنها لابد وأن تكون مغلقة .

٩ - اثبت أن أى نقطة  $z_0$  من نطاق تكون نقطة تراكم لهذا النطاق .

١٠ - اثبت أن أى فئة نهائية من النقط  $z_1, z_2, \dots, z_n$  لا يمكن أن يكون لها نقط تراكم

١١ - فى المستوى المركب الممتد اثبت أن نقطة اللانهاية تكون نقطة تراكم لكل من الفئتين

$$\text{Re } z > 0 \quad , \quad \text{Re } z < 0.$$





# الفصل الثاني

## الدوال التحليلية. Analytic Functions.

سنعتبر الآن دوال المتغير المركب ونعطي نظرية لإيجاد مشتقات مثل هذه الدوال .  
والهدف الأساسي من هذا الباب هو تقديم الدوال التحليلية Analytic functions ، التي  
تلعب دوراً رئيسياً في نظرية التحليل المركب ( أو العقدي ) Complex analysis

### ٩ - دوال المتغير المركب Functions of a Complex Variable

لتكن  $S$  فئة من الأعداد المركبة . «  $f$  دالة Function على  $S$  » تعبير نعني به قاعدة  
تحدد لكل  $z$  في  $S$  عدد مركب  $w$  ، العدد المركب  $w$  يقال له قيمة value للدالة  $f$  عند  $z$   
ويرمز له بالرمز  $f(z)$  ، أى ،  
 $w = f(z)$

الفئة  $S$  يقال لها نطاق تعريف Domain of definition للدالة  $f$  . وبالرغم من أن نطاق  
تعريف دالة ما كثيراً ما يكون نطاقاً ( بحسب تعريف النطاق الوارد في بند (٧) ) ، إلا  
أنه يجب مراعاة أن هذا ليس صحيحاً دائماً .

نرى أنه ليس من الملائم دائماً استخدام تدوينات ( رموز ) مختلفة للتفريق بين الدالة  
وقيمتها . فعلى سبيل المثال الدالة  $r$  المعرفة على الفئة  $Im z > 1$  بالمعادلة  
 $w = 1/z$  يمكن الإشارة إليها على أنها الدالة  $1/z$  المعرفة على  $Im z > 1$  . وعليه  
يمكن وصف الدالة بذكر قيمها عند كل نقطة من نقاط نطاق تعريفها .

عندما لا يذكر نطاق تعريف الدالة ، نتفق على اعتباره أكبر فئة ممكنة لهذا التعريف .  
وعليه فعندما نتحدث عن الدالة ، فإن نطاق تعريفها يكون جميع نقط المستوى غير  
الصفري .

في نظرية المتغيرات المركبة يظهر لدينا ما يسمى بالدوال متعددة القيم  
Multiple-valued functions ، أى الدوال التي يمكن أن تأخذ أكثر من قيمة عند نقطة  
ما . مثال ذلك الدالة  $z^{1/2}$  التي تأخذ قيمتين عند كل نقطة غير صفرية في المستوى

\* حاشية للمترجمين : يلاحظ القارئ أن مفهوم الدالة المستخدم يختلف عن ذلك المستخدم حالياً في فروع  
الرياضيات ؛ بيد أن المفهوم الذي يستخدمه المؤلفون يسمح لنا كما سنرى بالتحدث عن الدوال متعددة القيم .

المركب . ودراستنا للدوال متعددة القيم سوف تتضمن عادة دوال معينة وحيدة القيم يحدد لها قيمة واحدة من القيم الممكنة عند كل نقطة . وستتفق ، ما لم ينص صراحة على غير ذلك ، على اعتبار لفظ دالة مشيراً إلى دالة وحيدة القيم .

نفرض أن  $w = u + iv$  هي قيمة الدالة  $f$  عند  $z = x + iy$ ، أى أن

$$u + iv = f(x + iy).$$

كل من العددين الحقيقيين  $u, v$  يعتمد على المتغيرين الحقيقيين  $x, y$ ؛ فمثلاً إذا كان  $f(z) = z^2$ ، فإن

$$f(z) = (x + iy)^2 = x^2 - y^2 + i2xy;$$

وعليه فإن

$$u = x^2 - y^2 \quad \text{و} \quad v = 2xy.$$

وهذا يوضح كيف يمكن لدالة لمتغير مركب  $z$  أن يعبر عنها بواسطة زوج من الدوال الحقيقية في المتغيرين الحقيقيين  $x, y$ :

$$f(z) = u(x, y) + iv(x, y). \quad (1)$$

وإذا اعطينا من الناحية الأخرى دوال حقيقية  $u(x, y)$  و  $v(x, y)$  في المتغيرين الحقيقيين  $x, y$  فإن المعادلة (1) يمكن استخدامها لتعريف دالة في المتغير المركب  $z = x + iy$ . فمثلاً إذا أعطينا الدالتين الحقيقيتين المشار إليهما فيما يلي ، فإنه يمكننا أن نكتب

$$f(z) = y \int_0^{\infty} e^{-xt} dt + i \sum_{n=0}^{\infty} y^n. \quad (2)$$

ومفهوم هنا أن نطاق تعريف الدالة  $f$  هو الشريحة النصف لا نهائية  $-1 < y < 1, x > 0$ ، وذلك لأن هذه القيم للمتغيرين  $x, y$  هي قيم تقارب كل من التكامل المعتل والمتسلسلة اللانهائية .

إذا كان  $v(x, y)$  في (1) مساوياً دائماً للصفر ، فإن العدد  $f(z)$  يكون حقيقياً دائماً .  
وكمثال لدالة متغير مركب ذات قيم حقيقية نذكر الدالة  $f(z) = |z|^2$  .

إذا كان  $n$  عدداً صحيحاً أكبر من أو يساوى صفر وكانت  $a_0, a_1, \dots, a_n$  ثوابت مركبة ، فإن الدالة

$$P(z) = a_0 + a_1 z + a_2 z^2 + \dots + a_n z^n \quad (a_n \neq 0)$$

يقال لها كثيرة حدود من درجة  $n$  . لاحظ أن المجموع هنا يحتوي على عدد محدود من الحدود وأن نطاق تعريف هذه الدالة هو المستوى المركب  $z$  بأكمله . دوال القسمة  $P(z)/Q(z)$  لكثيرات الحدود  $P(z), Q(z)$  تسمى دوال قياسية **Rational functions** وهي معرفة لجميع قيم  $z$  فيما عدا تلك التي تجعل  $Q(z) = 0$  . كثيرات الحدود والدوال القياسية دوال بسيطة وهامة في نفس الوقت من دوال المتغير المركب .

## ١٠ - الرواسم Mappings

كثيراً ما يُظهر لنا التمثيل البياني لدالة حقيقية لمتغير حقيقي خواص هذه الدالة . أما في الحالة  $w = f(z)$  حيث  $w, z$  متغيران مركبان ، فلا يوجد مثل هذا التمثيل البياني الميسر للدالة  $f$  ، والسبب في ذلك أن كلاً من العددين  $w, z$  له موقع ، أى يمثل بنقطة ، في المستوى وليس على خط مستقيم . إلا أنه يمكننا مع ذلك كشف بعض المعلومات حول الدالة عن طريق تحديد أزواج من النقاط المتناظرة  $z = (x, y), w = (u, v)$  . ولإجراء ذلك نجد أنه من الأيسر رسم مستويين منفصلين لكل من  $w, z$  .

عندما نتصور الدالة في هذا الإطار ، فإننا عادة ما نطلق عليها راسماً ( أحيانا تطبيقاً ) Mapping أو تحويلاً Transformation . صورة النقطة  $z$  في نطاق التعريف  $S$  هي النقطة  $w = f(z)$  ، وفضة صور جميع نقط فئة جزئية  $T$  من  $S$  تسمى صورة  $T$  . وصورة نطاق التعريف  $S$  للدالة  $f$  تسمى مدى  $f$  Range الدالة  $f$  . الصورة العكسية Inverse image للنقطة  $w$  هي فئة جميع النقط  $z$  في نطاق تعريف  $f$  التي لها نفس الصورة  $w$  . الصورة العكسية لنقطة ما قد تحوى نقطة واحدة أو أكثر من نقطة ، أو قد تكون الفئة الخالية ؛ والحالة الأخيرة تنشأ بطبيعة الحال عندما تكون  $w$  غير محتواة في مدى  $f$  .

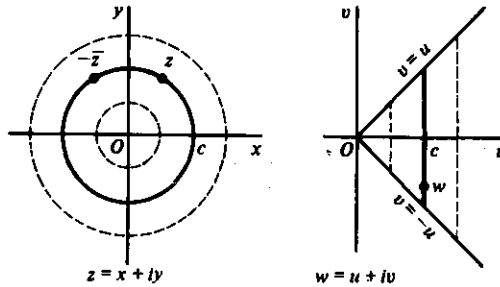
مفاهيم مثل الانتقال Translation ، الدوران Rotation و الانعكاس Reflection تستخدم لإبراز خصائص هندسية غالبية لرواسم معينة . وقد يكون من المفيد في مثل هذه الحالات اعتبار المستويين المركبين  $w, z$  كمستوي واحد . وعلى سبيل المثال الراسم  $w = z + 1$  يمكن اعتباره انتقال مقياسه الوحدة على اليمين لكل نقطة  $z$  . والراسم  $w = iz$  يمكن اعتباره دورانا مقياسه  $\pi/2$  في اتجاه مضاد للدوران عقرب الساعة وذلك لكل عدد مركب غير صفري  $z$  ؛ والراسم  $w = \bar{z}$  هو تحويل يرسم كل نقطة  $z$  إلى صورتها بالانعكاس بالنسبة للمحور الحقيقي .

يمكن في العادة الحصول على معلومات أكثر عن الدوال بعمل مخططات بيانية لصور لمنحنيات أو مناطق ، وذلك بدلا عن الإشارة ببساطة إلى صور بعض النقط المفردة . وكتوضيح لذلك فإن الدالة

$$f(z) = \sqrt{x^2 + y^2} - iy$$

ترسم Maps نقط الدائرة  $x^2 + y^2 = c^2$  ، حيث  $c \geq 0$  ، فوق نقط الخط المستقيم  $u = c$  وذلك لأن  $u = \sqrt{x^2 + y^2}$  . حيث أن  $v = -y$  وحيث أن  $y$  تأخذ قيما تتراوح من  $-c$  إلى  $c$  ، فإن صورة الدائرة هي في الواقع القطعة المستقيمة  $-c \leq v \leq c, u = c$

( شكل ١٢ ) . وحيث أن النقطتين  $z = (x,y)$  ,  $-\bar{z} = (-x,y)$  هما نفس الصورة  $w$  ، فإن كل نقطة على هذه القطعة المستقيمة ، فيما عدا نقطتي النهاية ، تكون صورة لنقطتين على الدائرة .



( شكل ١٢ )

ونطاق تعريف هذه الدالة هو المستوى المركب  $z$  بأكمله ، وكل نقطة  $z$  تقع على دائرة من هذه الدوائر وذلك لأن  $c$  عدد حقيقي ثابت غير سالب . وكما أسلفنا فإن صورة كل دائرة تكون قطعة مستقيمة ، كما أن كل قطعة من هذه القطع المستقيمة هي صورة لواحدة فقط من هذه الدوائر . وعليه فإن مدى هذه الدالة هو ربع المستوى :

$$u \geq 0, \quad -u \leq v \leq u.$$

### ١١ - النهايات Limits

لتكن  $f$  دالة معرفة لجميع نقط جوار ما لنقطة  $z_0$  ، اللهم فيما عدا النقطة  $z_0$  نفسها . التقرير القائل بأن العدد المركب  $w_0$  هو نهاية Limit الدالة  $f$  عندما تقترب  $z$  من  $z_0$  ، والمعبر عنه رمزياً على الصورة

$$\lim_{z \rightarrow z_0} f(z) = w_0, \quad (1)$$

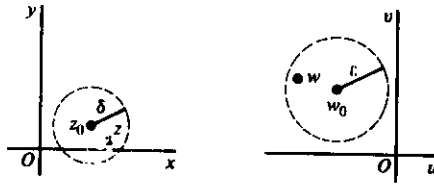
يعنى أن النقطة  $w = f(z)$  يمكن جعلها قريبة قرباً اختيارياً من  $w_0$  وذلك بإختيار مناسب للنقطة  $z$  لتكون قريبة قرباً كافياً من  $z_0$  وعلى أن تكون  $z$  مختلفة عن  $z_0$ . والآن سنقوم بصياغة هذا التعريف للنهية في صورة محددة دقيقة وعملية .

التقرير (١) يعنى أن لكل عدد حقيقي موجب  $\epsilon$  يوجد عدد حقيقي موجب

$\delta$  بحيث

$$0 < |z - z_0| < \delta, \quad \text{طالما كان} \quad |f(z) - w_0| < \epsilon \quad (2)$$

وهذا التعريف يعنى هندسياً أنه لكل جوار  $\varepsilon$  ،  $|w - w_0| < \varepsilon$  ، للنقطة  $w_0$  يوجد جوار  $\delta$  ،  $|z - z_0| < \delta$  ، للنقطة  $z_0$  بحيث تكون صور جميع نقط الجوار  $\delta$  ، مع احتمال إمكانية استبعاد النقطة  $z_0$  ، واقعة جميعاً في الجوار  $\varepsilon$  . ( شكل (١٣) ) . ونشير إلى أنه ليس من الضروري أن تغمر هذه الصور الجوار  $\varepsilon$  بأكمله ؛ وعلى أية حال فإن النقط  $z$  تشمل النطاق  $0 < |z - z_0| < \delta$  بأكمله . لاحظ أيضاً أن  $z$  يمكن لها أن تقترب من  $z_0$  بأية طريقة كانت ، وليس في اتجاه معين خاص .



( شكل ١٣ )

تعريف (٢) يتطلب أن تكون الدالة  $f$  معرفة لجميع نقط جوار ما للنقطة  $z_0$  ، مع احتمال استبعاد  $z_0$  نفسها . مثل هذا الجوار له وجود بطبيعة الحال إذا كانت النقطة  $z_0$  نقطة داخلية لمنطقة في نطاق تعريف  $f$  . ويمكن لنا توسيع تعريف النهاية ليشمل الحالة التي تكون فيها  $z_0$  نقطة حدية لهذه المنطقة وذلك إذا اتفقنا على أن نتحقق المتباينة  $|f(z) - w_0| < \varepsilon$  في (٢) لجميع النقط  $z$  المنتمة لكل من المنطقة والنطاق  $0 < |z - z_0| < \delta$  ( أى لجميع نقط تقاطع الفئتين ) .

التعريف (٢) يمدنا بطريقة لاختبار إمكانية أن تكون نقطة معينة نهاية ما ، إلا أنه مع ذلك لا يعطينا وسيلة لتعيين هذه النهاية . ونظريات النهايات ، التي سنعرضها في هذا الفصل ، ستمكنا بالفعل من حساب العديد من النهايات .

اعتبر الآن الدالة  $f(z) = iz/2$  المعرفة على القرص الدائري المفتوح  $|z| < 1$  . سنبين أن

$$\lim_{z \rightarrow 1} \frac{iz}{2} = \frac{i}{2}$$

النقطة  $z=1$  هي نقطة حدية لنطاق تعريف الدالة . لاحظ أنه إذا كانت  $z$  واقعة في

المنطقة  $|z| < 1$  ( راجع تعريف المنطقة في بند (٧) ) فإن

$$\left| f(z) - \frac{i}{2} \right| = \left| \frac{iz}{2} - \frac{i}{2} \right| = \frac{|z-1|}{2}$$

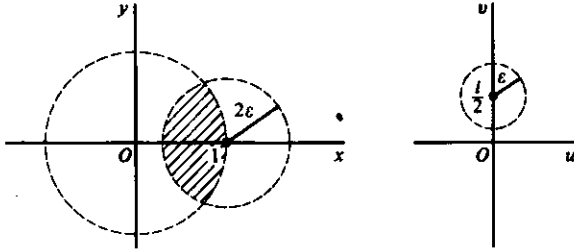
وعليه فإنه لمثل هذه النقطة  $z$  ولكل عدد صحيح موجب  $\varepsilon$  ، يكون ،

$$0 < |z-1| < 2\varepsilon \quad \text{طالما} \quad \left| f(z) - \frac{i}{2} \right| < \varepsilon$$

أى أن الشرط (٢) متحقق إذا أخذنا  $\delta$  مساوية للمقدار  $2\varepsilon$  ( شكل (١٤) ) أو أى عدد موجب أصغر منه .

لإعطاء توضيح أكثر للتعريف (٢) سنبرهن الآن أن

$$\lim_{z \rightarrow 2i} (2x + iy^2) = 4i \quad (z = x + iy) \quad (٣)$$



( شكل ١٤ )

الآن لكل عدد موجب  $\varepsilon$  يتعين علينا إيجاد عدد موجب  $\delta$  بحيث

$$0 < |z - 2i| < \delta \quad \text{طالما} \quad |2x + iy^2 - 4i| < \varepsilon \quad (٤)$$

وللوصول إلى ذلك ، نكتب

$$|2x + iy^2 - 4i| \leq 2|x| + |y^2 - 4| = 2|x| + |y - 2||y + 2|$$

نلاحظ أن المتباينة اليمنى في (٤) تتحقق طالما كان

$$2|x| < \frac{\varepsilon}{2} \quad \text{و} \quad |y - 2||y + 2| < \frac{\varepsilon}{2}$$

المتباينة الأولى ( اليمنى ) متحققة بطبيعة الحال إذا كان  $|x| < \varepsilon/4$  . لإيجاد الشروط التي يجب وضعها على  $y$  حتى تحقق المتباينة الثانية نلاحظ أنه إذا قيدت  $y$  بالشرط  $|y - 2| < 1$  فإن

$$|y + 2| = |(y - 2) + 4| \leq |y - 2| + 4 < 5$$

وعليه يكون

$$|y - 2||y + 2| < \left(\frac{\varepsilon}{10}\right)5 = \frac{\varepsilon}{2}$$

وذلك طالما كان  $|y - 2| < \min \{\varepsilon/10, 1\}$  حيث  $\min \{\varepsilon/10, 1\}$  تعنى صغرى القيمتين  $\varepsilon/10$  و  $1$  . يتبين لنا الآن أن الشرطين  $|x| < \varepsilon/4$  و  $|y - 2| < \min \{\varepsilon/10, 1\}$  يمكننا من إيجاد قيمة مناسبة للمقدار  $\delta$  هي

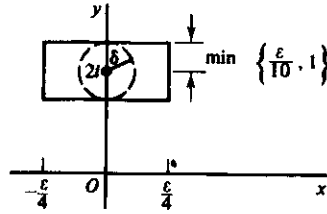
$$\delta = \min \left\{ \frac{\varepsilon}{10}, 1 \right\}$$

( انظر شكل (١٥) ) .

لقد افترضنا ضمناً أنه إذا وجدت لدالة  $f$  نهاية فإن هذه النهاية تكون وحيدة .

والواقع أن هذه حقيقة واقعة ، ولبرهان ذلك نفرض أن

$$\lim_{z \rightarrow z_0} f(z) = w_0 \quad \text{و} \quad \lim_{z \rightarrow z_0} f(z) = w_1$$



( شكل ١٥ )

حيث  $w_0 \neq w_1$  . وعليه فإن لكل عدد حقيقي موجب اختياري  $\epsilon$  توجد أعداد حقيقية موجبة  $\delta_1, \delta_0$  بحيث

$$0 < |z - z_0| < \delta_0 \quad \text{طالما} \quad |f(z) - w_0| < \epsilon$$

$$0 < |z - z_0| < \delta_1 \quad \text{طالما} \quad |f(z) - w_1| < \epsilon \quad \text{و}$$

وعليه فإذا كتبنا  $\epsilon = |w_0 - w_1|/2$  وأخذنا  $\delta$  لتكون صغرى القيمتين

$\delta_0$  و  $\delta_1$  فإن المتباينة التالية تكون صحيحة لجميع  $z$  المحققة للمتباينة  $0 < |z - z_0| < \delta$ :

$$\begin{aligned} |w_0 - w_1| &= |[f(z) - w_1] - [f(z) - w_0]| \\ &\leq |f(z) - w_1| + |f(z) - w_0| < 2\epsilon = |w_0 - w_1|. \end{aligned}$$

لكن استحالة تحقق المتباينة  $|w_0 - w_1| < |w_0 - w_1|$  تجعلنا نستنتج أن نهاية الدالة تكون وحيدة . وفي نهاية هذا البند يجدر بنا أن نشير إلى أنه يمكننا بسهولة إعطاء معنى للتقرير

$$\lim_{z \rightarrow z_0} f(z) = w_0 \quad (٥)$$

وذلك عندما يكون أى من العددين  $w_0, z_0$  أو كلاهما نقطة اللانهاية . وكل ما نفعله هنا هو أن نستبدل الجوارات المناسبة للعددين  $w_0, z_0$  بجوارات لنقطة اللانهاية . وعلى سبيل المثال فالتقرير

$$\lim_{z \rightarrow \infty} f(z) = w_0 \quad (٦)$$

يعنى أنه لكل عدد حقيقي موجب  $\epsilon$  يوجد عدد حقيقي موجب  $\delta$  بحيث

$$|z| > \frac{1}{\delta} \quad \text{طالما} \quad |f(z) - w_0| < \epsilon$$

أى أن النقطة  $f(z)$  تقع في الجوار  $|w - w_0| < \epsilon$  للنقطة  $w_0$  طالما وقعت  $z$  في الجوار  $|z| > 1/\delta$  لنقطة اللانهاية .

ولتوضيح ذلك نلاحظ أن

$$\lim_{z \rightarrow \infty} \frac{1}{z^2} = 0$$

وذلك لأن

$$|z| > \frac{1}{\sqrt{\varepsilon}} \quad \text{طالما} \quad \left| \frac{1}{z^2} - 0 \right| < \varepsilon$$

أى أنه يمكننا أخذ  $\delta = \sqrt{\varepsilon}$  في هذه الحالة

تعريف النهاية في الحالة التي تكون فيها  $w_0$  في (٥) هي نقطة اللانهاية ، وكذلك في الحالة التي تكون فيها كل من  $w_0, z_0$  نقطة اللانهاية ، سنتركه للتمرين التي تشتمل على أمثلة محددة .

## ١٢ - نظريات على النهايات Theorems on Limits

يمكن لنا تسهيل معالجة النهايات عن طريق إيجاد علاقة بين نهاية دالة متغير مركب ونهايتي دالتين حقيقيتين كل منهما دالة متغيرين حقيقيين ، والنهايات من هذا النوع الأخير سبق معالجتها في حساب التفاضل للمتغيرات الحقيقية ، وعليه سنستخدم هنا بحرية تعاريف وخصائص هذه النهايات ( نعني تعاريف وخصائص نهايات الدوال الحقيقية لمتغيرين حقيقيين ) .

نظرية ١ : نفرض أن

$$f(z) = u(x,y) + iv(x,y), \quad z_0 = x_0 + iy_0, \quad w_0 = u_0 + iv_0 \quad \text{إذن}$$

$$\lim_{z \rightarrow z_0} f(z) = w_0 \quad (١)$$

إذا و فقط إذا كان

$$\lim_{(x,y) \rightarrow (x_0,y_0)} u(x,y) = u_0 \quad \text{و} \quad \lim_{(x,y) \rightarrow (x_0,y_0)} v(x,y) = v_0 \quad (٢)$$

لبرهان النظرية سنفرض أولاً صحة التقرير (١) ثم نبرهن صحة الشروط (٢) . وفقاً للتقرير (١) ، يوجد لكل عدد موجب  $\varepsilon$  عدد موجب  $\delta$  بحيث

$$0 < |x - x_0 + i(y - y_0)| < \delta \quad \text{طالما} \quad |u(x,y) - u_0 + i[v(x,y) - v_0]| < \varepsilon$$

وحيث أن

$$|u(x,y) - u_0| \leq |u(x,y) - u_0 + i[v(x,y) - v_0]|$$

و

$$|v(x,y) - v_0| \leq |u(x,y) - u_0 + i[v(x,y) - v_0]|.$$

نجد أن

$$|u(x,y) - u_0| < \varepsilon \quad \text{و} \quad |v(x,y) - v_0| < \varepsilon$$

طالما  $0 < (x - x_0)^2 + (y - y_0)^2 < \delta^2$  وهذا يبين صحة الشروط (٢) .

دعنا الآن نفترض صحة الشروط (٢) . لكل عدد موجب  $\varepsilon$  يوجد عدداً موجبان



بحيث  $\delta_2$  و  $\delta_1$ 

$$\begin{aligned} 0 < (x - x_0)^2 + (y - y_0)^2 < \delta_1^2 & \quad \text{طالما} \quad |v(x,y) - v_0| < \frac{\varepsilon}{2} \\ 0 < (x - x_0)^2 + (y - y_0)^2 < \delta_2^2 & \quad \text{طالما} \quad |u(x,y) - u_0| < \frac{\varepsilon}{2} \end{aligned} \quad \text{و}$$

لتكن  $\delta$  صغرى القيمتين  $\delta_1$  ,  $\delta_2$  . حيث أن

$$|u(x,y) - u_0 + i[v(x,y) - v_0]| \leq |u(x,y) - u_0| + |v(x,y) - v_0|,$$

نجد أن

$$0 < |x + iy - (x_0 + iy_0)| < \delta. \quad \text{طالما} \quad |u(x,y) + iv(x,y) - (u_0 + iv_0)| < \varepsilon$$

وهذا هو التقرير (١) ، ومنه يكون برهان النظرية قد استكمل .

نظرية ٢ : نفرض أن

$$\lim_{z \rightarrow z_0} f(z) = w_0 \quad \text{و} \quad \lim_{z \rightarrow z_0} F(z) = W_0 \quad (٣)$$

إذن

$$\lim_{z \rightarrow z_0} [f(z) + F(z)] = w_0 + W_0. \quad (٤)$$

$$\lim_{z \rightarrow z_0} [f(z)F(z)] = w_0 W_0. \quad (٥)$$

و

$$\lim_{z \rightarrow z_0} \frac{f(z)}{F(z)} = \frac{w_0}{W_0} \quad \text{بشرط أن} \quad W_0 \neq 0 \quad (٦)$$

برهان هذه النظرية الأساسية يمكن الحصول عليه بشكل مباشر من تعريف نهاية دالة متغير مركب ( بند (١١) ) . إلا أنه يمكن الحصول على نظرية (٢) بشكل أسرع وذلك باستخدام نظرية (١) وكذلك نظريات النهايات للدوال الحقيقية لمتغيرين حقيقيين .

حتى نعتبر برهان الخاصية (٥) ، مثلاً ، نكتب

$$f(z) = u(x,y) + iv(x,y), \quad F(z) = U(x,y) + iV(x,y),$$

$$z_0 = x_0 + iy_0, \quad w_0 = u_0 + iv_0, \quad W_0 = U_0 + iV_0.$$

من الغرض (٣) ونظرية (١) ، نرى أنه عندما تقترب  $(x,y)$  من  $(x_0,y_0)$  يكون لنهايات الدوال  $v, u, v, u$  وجود، ألا وهي  $v_0, u_0, v_0, u_0$  على التعاقب . وعليه فتكون نهايتي

الجزئين الحقيقي والتخيلي للدالة

$$f(z)F(z) = u(x,y)U(x,y) - v(x,y)V(x,y) + i[v(x,y)U(x,y) + u(x,y)V(x,y)]$$

هما  $v_0U_0 + u_0V_0, u_0U_0 - v_0V_0$  على التعاقب وذلك عندما تقترب  $(x,y)$  من  $(x_0,y_0)$  . وعليه فإن  $f(z)F(z)$  يكون لها النهاية

$$u_0U_0 - v_0V_0 + i(v_0U_0 + u_0V_0) = w_0W_0.$$

وذلك عندما تقترب  $z$  من  $z_0$  . وبهذا يكتمل برهان خاصية (٥) .

من تعريف النهاية نرى أنه لكل  $z_0$

$$\lim_{z \rightarrow z_0} z = z_0$$

وذلك لأنه يمكن اعتبار  $\delta = \varepsilon$  في حالة ما إذا كانت  $f(z) = z$  . وعليه فمن الخاصية (٥) وباستخدام الاستنتاج الرياضى يكون

$$\lim_{z \rightarrow z_0} z^n = z_0^n \quad (n = 1, 2, \dots).$$

وكمثال آخر نقول إنه عندما يكون  $c$  عدداً مركباً ثابتاً فإن

$$\lim_{z \rightarrow z_0} c = c.$$

من ذلك وعلى ضوء الخاصيتين (٤) ، (٥) نجد أن نهاية كثيرة الحدود

$$P(z) = a_0 + a_1 z + a_2 z^2 + \dots + a_n z^n \quad (a_n \neq 0)$$

عندما تقترب  $z$  من  $z_0$  هي قيمة كثيرة الحدود عند هذه النقطة ، أى أن

$$\lim_{z \rightarrow z_0} P(z) = P(z_0). \quad (٧)$$

خاصية أخرى هامة للنهيات هي

$$\lim_{z \rightarrow z_0} |f(z)| = |w_0| \quad \text{فإن} \quad \lim_{z \rightarrow z_0} f(z) = w_0 \quad \text{إذا كان (٨)}$$

والتي يمكن الحصول على برهانها بسهولة باستخدام التعريف والمتباينة

$$||f(z)| - |w_0|| \leq |f(z) - w_0|.$$

وفي النهاية نشير إلى أن نتائج هذا البند تستخدم فقط فقط نقط المستوى المحدود . وكما أشرنا في بند (٨) ، فلن نعتبر نقطة اللانهاية إلا إذا ذكرنا ذلك صراحة .

## تمارين

١ - لكل من الدوال المعرفة التالية صف نطاق التعريف الممكن

$$f(z) = \frac{1}{1 - |z|^2} \quad (د) ; f(z) = \frac{z}{z + \bar{z}} \quad (ج) ; f(z) = \text{Arg}\left(\frac{1}{z}\right) \quad (ب) ; f(z) = \frac{1}{z^2 + 1} \quad (أ)$$

$$\text{الأجوبة : (أ) } z \neq \pm i \quad ; \quad (ج) \quad \text{Re } z \neq 0$$

٢ - مثل بيانياً نطاق تعريف الدالة

$$g(z) = \frac{y}{x} + \frac{i}{1-y}.$$

اثبت أن  $g(z) = f(z)$  وذلك لجميع  $z$  في نطاق تعريف الدالة  $f$  المبينة في معادلة (٢) من

بند (٩) .

٣ - اكتب الدالة  $f(z) = z^3 + z + 1$  على الصورة  $f(z) = u(x,y) + iv(x,y)$  .

٤ - ليكن  $f(z) = x^2 - y^2 - 2y + i(2x - 2xy)$  . باستخدام المتطابقات (٩) لبند (٣) ، عَبر ، ومن

ثم بَسَط ، عن  $f(z)$  بدلالة  $z$  .

$$\text{الإجابة : } z^2 + 2iz$$

٥ - في شكل (١٢) اعتبر أن النقطة  $z$  تتحرك على الدائرة  $x^2 + y^2 = c^2$  في اتجاه مضاد

لعقرب الساعة وذلك ابتداء من النقطة  $(c,0)$  . صف المسار المناظر للنقطة

$$w = \sqrt{x^2 + y^2} - iy$$

٦ - لتكن  $a, c, z_0$  اعداداً مركبة ثابتة . استخدم تعريف (٢) من بند (١١) لبرهان كل من

$$(أ) \lim_{z \rightarrow z_0} c = c \quad (ب) \lim_{z \rightarrow z_0} (az + c) = az_0 + c \quad (ج) \lim_{z \rightarrow z_0} (z^2 + c) = z_0^2 + c$$

$$(د) \lim_{z \rightarrow z_0} \operatorname{Re} z = \operatorname{Re} z_0 \quad (هـ) \lim_{z \rightarrow z_0} \bar{z} = \bar{z}_0 \quad (و) \lim_{z \rightarrow z_0} [x + i(2x + y)] = 1 + i$$

$$(ز) \lim_{z \rightarrow 0} (z^2/z) = 0$$

٧ - برهن القضية (٤) من نظرية (٢) بند (١٤)

(أ) باستخدام نظرية (١) بند (١٢) وكذلك خواص نهايات الدوال الحقيقية ،

(ب) بالاستخدام المباشر لتعريف (٢) بند (١١) للنهاية .

٨ - ليكن  $n$  عدداً صحيحاً موجباً و  $P(z), Q(z)$  كثيرات حدود حيث  $Q(z_0) \neq 0$  . استخدم

نظرية (٢) بند (١٢) وكذلك النهايات المبرهنة لإيجاد

$$(أ) \lim_{z \rightarrow z_0} \frac{P(z)}{Q(z)} \quad (ب) \lim_{z \rightarrow z_0} \frac{1}{z^n} \quad (z_0 \neq 0) \quad (ج) \lim_{z \rightarrow i} \frac{iz^3 - 1}{z + i}$$

الأجوبة : (أ)  $1/z_0^n$  (ب)  $0$  (ج)  $P(z_0)/Q(z_0)$

٩ - بوضع  $\Delta z = z - z_0$  اثبت أن  $\lim_{z \rightarrow z_0} f(z) = w_0$  إذا وفقط إذا كان  $\lim_{\Delta z \rightarrow 0} f(z_0 + \Delta z) = w_0$

١٠ - بفرض أن  $\lim_{z \rightarrow z_0} f(z) = 0$  برهن أن  $\lim_{z \rightarrow z_0} f(z)g(z) = 0$  إذا أمكن إيجاد عدد

موجب  $M$  بحيث  $|g(z)| \leq M$  لجميع النقط  $z$  في جوار ما يحوى  $z_0$  .

١١ - فسر التقرير (٥) من بند (١١) لكل من الحالتين الآتيتين :

(أ)  $w_0$  هي نقطة اللانهاية ،

(ب) النقطتان  $z_0, w_0$  كلاهما نقطة اللانهاية

١٢ - استخدم تعريفاً للنهاية متضمناً لنقطة اللانهاية لبرهان كل من :

$$(أ) \lim_{z \rightarrow \infty} \frac{1}{z^2 + 1} = 0 \quad (ب) \lim_{z \rightarrow 1} \frac{1}{(z-1)^3} = \infty \quad (ج) \lim_{z \rightarrow \infty} 3z^2 = \infty$$

١٣ - اثبت أن النهاية من نوع (٦) لبند (١١) تكون وحيدة

١٤ - برهن خاصية (٨) بند (١٢) .

١٥ - لتكن الدالة  $f(z) = e^x e^{iy}$  ( $z = x + iy$ ) معرفة على المستوى المركب بأكمله .

(أ) إذا كان  $w_0 \neq 0$  ، اثبت أنه يوجد عدد لانهاى من النقط  $z$  في أى جوار للنقطة

$$f(z) = w_0$$

(ب) بين أن  $\lim_{z \rightarrow \infty} f(z)$  ليس لها وجود (بما في ذلك  $\infty$ ) .

١٦ - تفسر آخر للمعادلة  $w = f(z)$  هو ما يعرف بالمجال الاتجاهى Vector field في نطاق

تعريف الدالة  $f$  . لكل نقطة  $(x, y)$  في نطاق تعريف الدالة تعين هذه المعادلة متجهها  $w$

مركباته  $v(x, y), u(x, y)$  . بين بمخططات بيانية المجالات الاتجاهية المثلة بالمعادلات

$$w = \frac{z}{|z|} \quad (ب) \quad w = iz \quad (أ)$$

### ١٣ - الاتصال Continuity

يقال لدالة  $f$  أنها متصلة  $continuous$  عند النقطة  $z_0$  إذا تحققت الشروط الثلاثة الآتية

مجتمعة :

(١) النهاية  $\lim_{z \rightarrow z_0} f(z)$  لها وجود ،

(٢)  $f(z_0)$  لها وجود ( أى أن  $f$  معرفة عند  $z_0$  ) ،

(٣)  $\lim_{z \rightarrow z_0} f(z) = f(z_0)$

لاحظ أن التقرير (٣) يتضمن بالفعل التقريرين (١) ، (٢) ، ذلك أن الشرط (٣) في كينونته يفترض وجود القيم المعنية في الطرفين . الشرط (٣) يقرر أنه لكل عدد موجب  $\varepsilon$  يوجد عدد موجب  $\delta$  بحيث

$$(٤) \quad |f(z) - f(z_0)| < \varepsilon \quad \text{طالما} \quad |z - z_0| < \delta$$

يقال لدالة متغير مركب أنها متصلة في منطقة  $R$  إذا كانت متصلة عند جميع نقط المنطقة  $R$  .

إذا كانت هناك دالتان متصلتان عند نقطة ، فإن كلا من مجموعهما وحاصل ضربهما دالة متصلة عند نفس النقطة ؛ كما أن حاصل قسمة الدالتين يكون متصلاً عند هذه النقطة بشرط أن يكون المقام مغايراً للصفر عند هذه النقطة . هذه الملاحظات هي نتائج مباشرة لنظرية (٢) بند (١٢) . لاحظ أيضاً أن المعادلة (٧) بند (١٢) تبين أن كثيرة الحدود دالة متصلة في المستوى المركب بأكمله .

دعنا الآن نبين مباشرة من التعريف (٤) أن تحصيل الدوال المتصلة

**Composition of continuous functions** يكون بدوره دالة متصلة . وحتى نكون محددين ، نفرض أن  $f$  دالة معرفة على جوار لنقطة  $z_0$  ، ولنفرض أيضاً أن صورة هذا الجوار محتوى في منطقة في نطاق تعريف الدالة  $g$  . وعليه تكون الدالة المحصلة  $g[f(z)]$  معرفة لجميع  $z$  في هذا الجوار للنقطة  $z_0$  . إذا كانت الآن  $f$  متصلة عند  $z_0$  وكانت  $g$  متصلة عند  $f(z_0)$  ، فإن الدالة المحصلة  $g[f(z)]$  تكون متصلة عند  $z_0$  ؛ ذلك أنه على ضوء اتصال  $g$  ، نعلم أنه لكل عدد موجب  $\varepsilon$  يوجد عدد موجب  $\gamma$  بحيث

$$|g[f(z)] - g[f(z_0)]| < \varepsilon \quad \text{طالما} \quad |f(z) - f(z_0)| < \gamma$$

لكن  $\gamma$  يناظره عدد موجب  $\delta$  تتحقق معه المتباينة اليسرى أعلاه وذلك طالما كان  $|z - z_0| < \delta$  ؛ وهذا يبرهن اتصال الدالة المحصلة .

من نظرية (١) بند (١٢) ، نتبين أن دالة متغير مركب  $f$  تكون متصلة عند النقطة  $z_0 = (x_0, y_0)$  إذا وفقط إذا كانت كل من مركبتها  $v, u$  دالة متصلة هناك .

من هذه النتيجة نرى ، على سبيل المثال ، أن الدالة  $f(z) = xy^2 + i(2x-y)$  دالة متصلة في المستوى المركب بأكمله وذلك لأن مركبتها كثيرتي حدود في  $x, y$  وهي بدورها متصلة عند كل نقطة  $(x, y)$  . بالمثل الدالة  $f(z) = e^{xy} + i \sin(x^2 - 2xy^3)$  دالة متصلة لجميع  $z$  وذلك لاتصال كثيرات الحدود في  $y, x$  وفي نفس الوقت اتصال كل من الدالة الأسية ودالة الجيب .

خصائص عديدة لدوال المتغير المركب المتصلة يمكن استنباطها من الخصائص المناظرة للدوال الحقيقية المتصلة في متغيرين حقيقيين <sup>(١)</sup> .

لنفرض على سبيل المثال أن الدالة  $f(z) = u(x, y) + i v(x, y)$  متصلة في منطقة  $R$  مغلقة ومحدودة الدالة  $\sqrt{[u(x, y)]^2 + [v(x, y)]^2}$  هي إذن متصلة في  $R$  ومن ثم يكون لها قيمة عظمى عند نقطة ما ، أو أكثر ، من  $R$  . وهذا يعني أن الدالة  $f$  تكون محدودة Bounded في  $R$  وأن  $|f(z)|$  تصل إلى قيمة عظمى في  $R$  . وحتى نكون أكثر تحديداً ، فإنه يوجد عدد موجب  $M$  بحيث

$$|f(z)| \leq M \quad \text{لجميع } z \text{ في } R ,$$

$$\text{وأن } |f(z)| = M \quad \text{عند نقطة واحدة على الأقل في } R .$$

ونتيجة أخرى يمكن الحصول عليها من نظيرتها الخاصة بالدوال الحقيقية في متغيرين حقيقيين تنص على أن أى دالة  $f$  متصلة في منطقة مغلقة ومحدودة  $R$  لا بد وأن تكون منتظمة الاتصال Uniformly continuous هناك ؛ وهذا يعني أنه يمكن إيجاد قيمة وحيدة  $\delta$  ، غير معتمدة على  $z_0$  ، ومحقة للشرط (٤) لجميع النقط  $z_0$  في المنطقة  $R$  .

#### ١٤ - المشتقات Derivatives

لتكن  $f$  دالة محتوى نطاق تعريفها على جوار للنقطة  $z_0$  . نعرف مشتقة Derivative الدالة  $f$  عند النقطة  $z_0$  ، والتي يرمز لها بالرمز  $f'(z_0)$  ، على النحو الآتي :

$$f'(z_0) = \lim_{z \rightarrow z_0} \frac{f(z) - f(z_0)}{z - z_0} \quad (١)$$

وذلك بشرط وجود هذه النهاية . يقال أن الدالة  $f$  قابلة للاشتقاق Differentiable عند النقطة  $z_0$  إذا أمكن إيجاد مشتقتها عند  $z_0$  .

إذا عبرنا في التعريف (١) عن المتغير المركب  $z$  بدلالة المتغير المركب الجديد

$$\Delta z = z - z_0,$$

(١) لنظر هذه الخصائص المستخدمة هنا نشر على سبيل المثال إلى كتاب "Advanced Calculus" W.R. Mann و A.E. Taylor الطبعة الثانية ص تأليف ١٣٥ - ١٣٦ ، ١٩٧٢

فإنه يمكننا كتابة التعريف (١) على الصورة

$$f'(z_0) = \lim_{\Delta z \rightarrow 0} \frac{f(z_0 + \Delta z) - f(z_0)}{\Delta z} \quad (2)$$

حيث إن  $f$  معرفة على جوار للنقطة  $z_0$  ، فإننا نلاحظ أن  $f(z_0 + \Delta z)$  دائماً له وجود لجميع قيم  $|\Delta z|$  الصغيرة صغراً كافياً .

إذا اعتبرنا الصيغة (٢) لتعريف المشتقة ، فإننا كثيراً ما نسقط الدليل تحت  $z_0$  ونستخدم المقدار

$$\Delta w = f(z + \Delta z) - f(z)$$

الذى يشير للتغير في  $w = f(z)$  المناظر للتغير  $\Delta z$  في المتغير  $z$  . وعليه فإذا كتبنا  $dw/dz$  ليدل على  $f'(z)$  ، تصبح (٢) على الصورة

$$\frac{dw}{dz} = \lim_{\Delta z \rightarrow 0} \frac{\Delta w}{\Delta z} \quad (3)$$

افرض على سبيل المثال أن  $f(z) = z^2$  . لكل نقطة  $z$  ، يكون

$$\lim_{\Delta z \rightarrow 0} \frac{\Delta w}{\Delta z} = \lim_{\Delta z \rightarrow 0} \frac{(z + \Delta z)^2 - z^2}{\Delta z} = \lim_{\Delta z \rightarrow 0} (2z + \Delta z) = 2z$$

وذلك لأن  $2z + \Delta z$  كثيرة حدود في  $\Delta z$  . وعليه فإن  $dw/dz = 2z$  أو  $f'(z) = 2z$

لنفحص الآن الدالة  $f(z) = |z|^2$  هنا

$$\frac{\Delta w}{\Delta z} = \frac{|z + \Delta z|^2 - |z|^2}{\Delta z} = \frac{(z + \Delta z)(\bar{z} + \overline{\Delta z}) - z\bar{z}}{\Delta z} = \bar{z} + \overline{\Delta z} + z \frac{\overline{\Delta z}}{\Delta z}$$

وعندما تكون  $z = 0$  ، فإن  $\Delta w/\Delta z = \overline{\Delta z}$  ؛ وعليه تكون  $dw/dz = 0$  عند نقطة الأصل .

إذا كانت نهاية  $\Delta w/\Delta z$  لها وجود عندما  $z \neq 0$  فإن هذه النهاية (وحيدة القيمة) يمكن الحصول عليها بأن نترك  $\Delta z$  تقترب من الصفر بأية طريقة شئنا . إذا تركنا ، على

سبيل التخصيص ،  $\Delta z$  تقترب من الصفر خلال قيم حقيقية فإن  $\overline{\Delta z} = \Delta z$  ،

ويتضح أن نهاية  $\Delta w/\Delta z$  هي  $\bar{z} + z$  . أما إذا جعلنا  $\Delta z$  تقترب من الصفر خلال

قيم تخيلية صرفة فإن  $\overline{\Delta z} = -\Delta z$  وعليه تكون النهاية هي  $\bar{z} - z$  . وحيث إن أى نهاية

وحيدة ، فإنه يتبين لنا أن  $dw/dz$  ليس لها وجود عندما  $z \neq 0$  ؛ وبالتالي

فإن  $dw/dz$  لها وجود فقط عند نقطة الأصل .

هذا المثال يبين أن دالة ما قد تكون قابلة للاشتقاق عند نقطة ما ولا تكون قابلة

للاشتقاق عند أى نقطة أخرى في أى جوار لتلك النقطة . كما يبين المثال أيضاً أنه بينما

تكون الأجزاء الحقيقية والتخيلية لدالة ما لمتغير مركب لها مشتقات جزئية متصلة لجميع

الرتب عند نقطة ما ، إلا أنها قد تكون مع ذلك ليست قابلة للاشتقاق عند هذه

النقطة . ففي المثال  $f(z) = |z|^2$  قيد البحث ، نعلم أن الأجزاء الحقيقية والتخيلية هي

$$u(x,y) = x^2 + y^2 \quad \text{و} \quad v(x,y) = 0$$

على التعاقب

لاحظ أن الدالة  $f(z) = |z|^2$  متصلة عند كل نقطة في المستوى . وعليه فإن اتصال دالة عند نقطة ما لا يستلزم بالضرورة وجود المشتقة عند تلك النقطة . إلا أنه ، مع ذلك ، توجد حقيقة واقعة تنص على أن : وجود المشتقة للدالة ما عند نقطة ما يستلزم بالضرورة اتصال هذه الدالة عند تلك النقطة . لبرهان ذلك ، نفرض أن  $f(z_0)$  لها وجود . الآن

$$\lim_{z \rightarrow z_0} [f(z) - f(z_0)] = \lim_{z \rightarrow z_0} \frac{f(z) - f(z_0)}{z - z_0} \lim_{z \rightarrow z_0} (z - z_0) = 0$$

ومنه نستنتج أن

$$\lim_{z \rightarrow z_0} f(z) = f(z_0).$$

وهو شرط اتصال  $f$  عند  $z_0$  .

### ١٥ - صيغ الاشتقاق Differentiation Formulas

تعريفنا للمشتقة يطابق في صورته تعريف مشتقة الدالة الحقيقية في متغير حقيقي . وفي الواقع فإن صيغ الاشتقاق الأساسية المعطاة فيما يلي يمكن الحصول عليها من التعريف بالإضافة إلى نظريات مختلفة عن النهايات وذلك باستخدام نفس الخطوات ، في الأساس ، المستخدمة في حساب التفاضل للدوال المتغير الحقيقي . في هذه الصيغ ، سيرمز لمشتقة الدالة  $f$  عند النقطة  $z$  بأحد الرمزين  $f'(z)$  أو  $d[f(z)]/dz$  وذلك حسبما يكون أى الرمزين أكثر ملائمة .

ليكن  $c$  عددًا مركبًا ثابتًا ، ولنفرض أن  $f$  دالة قابلة للاشتقاق عند نقطة  $z$  . من السهولة إثبات أن

$$\frac{d}{dz} c = 0, \quad \frac{d}{dz} z = 1, \quad \frac{d}{dz} [cf(z)] = cf'(z). \quad (1)$$

وأيضاً ، إذا كانت لمشتقى الدالتين  $F, f$  وجود فإن

$$\frac{d}{dz} [f(z) + F(z)] = f'(z) + F'(z) \quad (2)$$

$$\frac{d}{dz} [f(z)F(z)] = f(z)F'(z) + F(z)f'(z) \quad (3)$$

وعندما تكون  $F(z) \neq 0$  ، فإن

$$\frac{d}{dz} \left[ \frac{f(z)}{F(z)} \right] = \frac{F(z)f'(z) - f(z)F'(z)}{[F(z)]^2}. \quad (4)$$

إذا كان  $n$  عددًا صحيحًا موجبًا فإن

$$\frac{d}{dz} z^n = nz^{n-1}$$

عند كل نقطة  $z$  .

وهذه الصيغة صحيحة أيضاً عندما يكون  $n$  عددًا صحيحًا سالبًا وذلك بشرط أن

تكون  $z \neq 0$  .

لاستنباط الصيغة (٣) ، مثلاً ، نكتب

$$\Delta w = f(z + \Delta z) - f(z), \quad \Delta W = F(z + \Delta z) - F(z)$$

إذن

$$\frac{f(z + \Delta z)F(z + \Delta z) - f(z)F(z)}{\Delta z} = f(z) \frac{\Delta W}{\Delta z} + F(z) \frac{\Delta w}{\Delta z} + \Delta w \frac{\Delta W}{\Delta z}$$

لاحظ أن  $f$  متصلة عند  $z$  وذلك لكونها قابلة للاشتقاق عندها ؛ وعليه فإن  $\Delta w$  تؤول إلى الصفر عندما تؤول  $\Delta z$  إلى الصفر . الآن يمكن الحصول على الصيغة (٣) وذلك في ضوء نظريات النهايات للمجموع وحاصل الضرب .

توجد أيضاً قاعدة السلسلة لمشتقة تحصيل دالتين . لنفرض أن الدالتين  $g, f$  قابلتان للاشتقاق عند النقطتين  $z_0, z_0$  على التابع . إذن الدالة  $F(z) = g[f(z)]$  لها مشتقة عند  $z_0$  ويكون

$$F'(z_0) = g'[f(z_0)]f'(z_0) \quad (٦)$$

إذا كتبنا  $W = g(w)$  ، فإننا نلاحظ أن قاعدة السلسلة للدالة  $F(z) = W$  تصبح

$$\frac{dW}{dz} = \frac{dW}{dw} \frac{dw}{dz}$$

ولتوضيح ذلك دعنا نحسب مشتقة  $(2z^2 + i)^5$  . إذا وضعنا  $w = 2z^2 + i$  فإن  $W = w^5$  ،

$$\frac{d}{dz} (2z^2 + i)^5 = 5w^4 4z = 20z(2z^2 + i)^4$$

لبرهان الصيغة (٦) نختار ابتداء نقطة معينة  $z_0$  بحيث  $f'(z_0)$  لها وجود . ضع

$w_0 = f(z_0)$  وافترض أيضاً أن  $g'(w_0)$  لها وجود . يوجد الآن جوار ما  $|w - w_0| < \epsilon$

بحيث يمكننا تعريف الدالة الآتية ، لجميع النقط  $w$  في هذا الجوار ،

$$\Phi(w) = \begin{cases} \frac{g(w) - g(w_0)}{w - w_0} - g'(w_0) & (w \neq w_0), \\ 0 & (w = w_0). \end{cases} \quad (٧)$$

على ضوء تعريف (١) بند (١٤) للمشتقة ، نلاحظ أن

$$\lim_{w \rightarrow w_0} \Phi(w) = 0 \quad (٨)$$

حيث أن  $f'(z_0)$  لها وجود - ومن ثم فإن  $f(z)$  تكون متصلة عند  $z_0$  - فإنه يمكننا اختيار عدد موجب  $\delta$  بحيث تقع النقطة  $f(z)$  في الجوار  $|w - w_0| < \epsilon$  للنقطة  $w_0$  وذلك إذا وقعت  $z$  في الجوار  $|z - z_0| < \delta$  للنقطة  $z_0$  . وعليه فإنه يحق لنا استبدال  $w$  في التعبير

(٧) بالعدد  $f(z)$  طالما كانت  $z$  نقطة في الجوار  $|z - z_0| < \delta$  . إذن باستخدام التعويضين

$w_0 = f(z_0)$  ،  $w = f(z)$  فإن التعبير (٧) يؤول إلى

$$\frac{g[f(z)] - g[f(z_0)]}{z - z_0} = \{g'[f(z_0)] + \Phi[f(z)]\} \frac{f(z) - f(z_0)}{z - z_0} \quad (٩)$$



حيث  $0 < |z - z_0| < \delta$

مع النص على أن  $z \neq z_0$  وذلك حتى لا يسمح لنا بالقسمة على الصفر. الآن  $f$  متصلة عند  $z_0$  ،  $\Phi$  متصلة عند  $w_0 = F(z_0)$  وذلك بسبب المعادلة (٨) وحقيقة أن  $\Phi(w_0) = 0$  . وعليه فإن الدالة المحصلة  $\Phi[f(z)]$  تكون متصلة عند  $z_0$  و

$$\lim_{z \rightarrow z_0} \Phi[f(z)] = 0$$

وبأخذ النهاية عندما تقترب  $z$  من  $z_0$  ، فإن المعادلة (٩) تتحول إلى

$$F'(z_0) = g'[f(z_0)]f'(z_0)$$

## تمارين

- ١ - اثبت أن الدالة  $f(z) = |z|^2$  متصلة في المستوى المركب بأكمله.
- ٢ - استخدم نتائج بند (١٥) لإثبات أن مشتقة كثيرة الحدود  $P(z) = a_0 + a_1z + a_2z^2 + \dots + a_nz^n$  ( $n \geq 1, a_n \neq 0$ )  
 $P'(z) = a_1 + 2a_2z + \dots + na_nz^{n-1}$  لها وجود عند كل نقطة وبأن
- ٣ - استخدم نتائج بند (١٥) لإيجاد  $f'(z)$  عندما  
 (أ)  $f(z) = 3z^2 - 2z + 4$  (ب)  $f(z) = (1 - 4z^2)^3$   
 (ج)  $f(z) = (z-1)/(2z+1)$  حيث  $z \neq -1/2$   
 (د)  $f(z) = [(1+z^2)^4]/z^2$  حيث  $z \neq 0$
- ٤ - بالتطبيق المباشر لتعريف المشتقة برهن أن  $f'(z) = -1/z^2$  عندما تكون  $f(z) = 1/z$  بشرط  $z \neq 0$
- ٥ - استتبص صيغة (٢) من بند (١٥)
- ٦ - استخدم الاستنتاج الرياضى أو صيغة ذات الحدين (تمرين (١٧) بند (٢)). للحصول على صيغة (٥) بند (١٥) لمشتقة  $z^n$  عندما يكون  $n$  عددا صحيحا موجبا .
- ٧ - عمم نتيجة تمرين (٦) لتشمل الحالة التى يكون فيها  $n$  عددا صحيحا سالبا و  $z \neq 0$ .
- ٨ - طبق تعريف المشتقة لبرهنة أن  $f'(z)$  ليس لها وجود عند أى نقطة وذلك فى الحالة  $f(z) = \operatorname{Re} z$
- ٩ - برهن أن الدالة  $f(z) = \bar{z}$  ليست قابلة للاشتقاق عند أى نقطة .
- ١٠ - بين ما إذا كانت الدالة  $f(z) = \operatorname{Im} z$  قابلة للاشتقاق عند أى نقطة .
- ١١ - اثبت أنه إذا كانت الدالة  $f$  متصلة عند نقطة  $z_0$  فى نطاق ما وكانت  $f(z_0) \neq 0$  فإنه يوجد جوار للنقطة  $z_0$  بحيث تكون  $f(z) \neq 0$  لجميع نقط هذا الجوار .  
 اقتراح : صغ أولا المتباينة الأولى من التعريف (٤) بند (١٣) للاتصال على الصورة  $|f(z_0) - f(z)| < |f(z_0)|/2$  حيث  $\epsilon = |f(z_0)|/2$  ، ومن ثم لاحظ التناقض الناجم عند فرض  $f(z) = 0$  عند نقطة ما لأى جوار للنقطة  $z_0$  .

١٢ - إجر تعديلا لتعريف (٤) بند (١٣) للاتصال ليتناول الحالة التي تكون فيها  $z_0 = \infty$  الفعل نفس الشيء عندما تكون  $f(z_0) = \infty$  وأيضاً عندما تكون كل من  $z_0$  و  $f(z_0)$  نقطة اللانهاية ، ومن ثم بين أن كلا من الدوال الآتية متصلة عند كل نقطة في المستوى المركب الممتد

$$f(z) = \begin{cases} \frac{1}{z} & (z \neq 0, \infty), \quad (١) \\ \infty & (z = 0), \\ 0 & (z = \infty); \end{cases}$$

$$f(z) = \begin{cases} 2z + 1 & (z \neq \infty), \quad (٢) \\ \infty & (z = \infty). \end{cases}$$

### ١٦ - معادلتا كوشي - ريمان The Cauchy-Riemann Equations

لتكن

$$f(z) = u(x, y) + iv(x, y). \quad (١)$$

دالة معرفة على جوار للنقطة  $z_0$  . في هذا البند نحصل على شروط يتعين أن تحققها المركبات  $u, v$  وذلك حتى تكون الدالة  $f$  قابلة للاشتقاق عند  $z_0$  .

لنفرض أن المشتقة

$$f'(z_0) = \lim_{\Delta z \rightarrow 0} \frac{f(z_0 + \Delta z) - f(z_0)}{\Delta z} \quad (٢)$$

لها وجود . بوضع  $z_0 = x_0 + iy_0$  ;  $\Delta z = \Delta x + i \Delta y$ ، نرى أن نظرية (١) بند (١٢) تعطينا

$$\operatorname{Re} [f'(z_0)] = \lim_{(\Delta x, \Delta y) \rightarrow (0, 0)} \operatorname{Re} \left[ \frac{f(z_0 + \Delta z) - f(z_0)}{\Delta z} \right] \quad (٣)$$

$$\operatorname{Im} [f'(z_0)] = \lim_{(\Delta x, \Delta y) \rightarrow (0, 0)} \operatorname{Im} \left[ \frac{f(z_0 + \Delta z) - f(z_0)}{\Delta z} \right] \quad (٤)$$

$$\frac{f(z_0 + \Delta z) - f(z_0)}{\Delta z}$$

حيث

$$= \frac{u(x_0 + \Delta x, y_0 + \Delta y) - u(x_0, y_0) + i[v(x_0 + \Delta x, y_0 + \Delta y) - v(x_0, y_0)]}{\Delta x + i \Delta y}$$

إذا اعتبرنا التغير  $\Delta z = \Delta x + i0$  على وجه التخصيص ، فإن النقطة  $z_0 + \Delta z$  تكون

$(x_0 + \Delta x, y_0)$  (شكل (١٦)) ويكون

$$\operatorname{Re} [f'(z_0)] = \lim_{\Delta x \rightarrow 0} \frac{u(x_0 + \Delta x, y_0) - u(x_0, y_0)}{\Delta x},$$

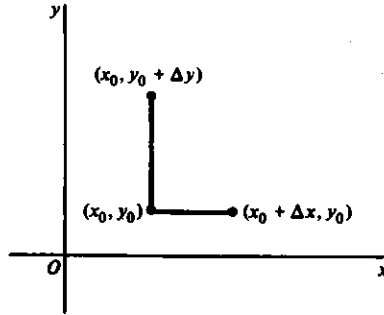
$$\operatorname{Im} [f'(z_0)] = \lim_{\Delta x \rightarrow 0} \frac{v(x_0 + \Delta x, y_0) - v(x_0, y_0)}{\Delta x}.$$

وهذا يعنى أن

$$f'(z_0) = u_x(x_0, y_0) + iv_x(x_0, y_0), \quad (٥)$$

حيث  $v_x(x_0, y_0)$ ,  $u_x(x_0, y_0)$  هما المشتقتان الجزئيتان الأوليان بالنسبة للمتغير  $x$  للدالتين  $v, u$  عند النقطة  $(x_0, y_0)$ .

وإذا اعتبرنا من ناحية أخرى التغير  $\Delta z = 0 + i\Delta y$ ، فإن النقطة  $z_0 + \Delta z$  تكون  $(x_0, y_0 + \Delta y)$  وفي هذه الحالة فإن وجود  $f(z_0)$  يستلزم وجود المشتقتين الجزئيتين الأوليين  $u_x(x_0, y_0)$ ،  $v_y(x_0, y_0)$  وأن



(شكل ١٦)

$$f'(z_0) = v_y(x_0, y_0) - iu_x(x_0, y_0). \quad (٦)$$

المعادلتان (٥)، (٦) لا تعطيان فقط صيغة لإيجاد  $f'(z_0)$  بدلالة المشتقات الجزئية للمركبتين  $v, u$ ؛ بل إنهما تمداننا في نفس الوقت بشروط لازمة لوجود  $f'(z_0)$ . بمساواة الأجزاء الحقيقية في أحد التعبيرين بنظائرها في التعبير الآخر وبمساواة الأجزاء التخيلية في أحد التعبيرين بنظائرها في التعبير الآخر، نجد أن وجود  $f'(z_0)$  يتطلب

$$u_x(x_0, y_0) = v_y(x_0, y_0) \quad \text{و} \quad u_y(x_0, y_0) = -v_x(x_0, y_0). \quad (٧)$$

المعادلتان (٧) يطلق عليهما معادلتا كوشي - ريمان **Cauchy-Riemann equations**.

واطلقت هذه التسمية على شرف كل من الرياضي الفرنسي أ.ل. كوشي **A.L. Cauchy** (١٧٨٩ - ١٨٥٧) الذي اكتشف واستخدم هذه المعادلات، والرياضي الألماني ج.ف.ب. ريمان **G.F.B. Riemann** (١٨٢٦ - ١٨٦٦) الذي بين لهما وضعاً أساسياً في تطوير وتنمية نظرية دوال المتغير المركب.

فيما يلي نلخص النتائج السابقة

**نظرية:** نفرض أن الدالة  $f(z) = u(x, y) + iv(x, y)$  قابلة للاشتقاق عند النقطة  $z_0$ .

إذن المشتقات الجزئية الأولى بالنسبة للمتغيرين  $x, y$  للدالتين  $v, u$  لها وجود عند  $(x_0, y_0)$  وهي تحقق معادلتى كوشي - ريمان (٧) عند هذه النقطة؛ كما أن المشتقة  $f'(z_0)$  يمكن الحصول عليها بدلالة هذه المشتقات وذلك باستخدام أى من المعادلتين (٥) أو (٦).

لتوضيح النظرية اعتبر الدالة

$$f(z) = z^2 = x^2 - y^2 + i2xy.$$

بيننا في بند (١٤) أن هذه الدالة قابلة للاشتقاق عند كل نقطة ؛ في الواقع  $f'(z) = 2z$  وعليه فإن معادلتى كوشي - ريمان متحققتان عند كل نقطة . ولتحقيق ذلك نلاحظ أن  $u(x,y) = x^2 - y^2$  و  $v(x,y) = 2xy$  إذن

$$u_x(x,y) = 2x = v_y(x,y), \quad u_y(x,y) = -2y = -v_x(x,y).$$

وكذلك إذا استخدمنا أيًا من المعادلتين (٥) أو (٦) نحصل على

$$f'(z) = 2x + i2y = 2z.$$

حيث إن معادلتى كوشي - ريمان لازمتان للتأكد من وجود  $f'(z_0)$  فهما كثيرا ما تستخدمان لتعيين نقاط تكون عندها دالة معطاة غير قابلة للاشتقاق . اعتبر على سبيل المثال الدالة  $f(z) = |z|^2$  والتي نوقشت في بند (١٤) . في هذه الحالة  $v(x,y) = 0$  ،  $u(x,y) = x^2 + y^2$  ، وبالتالي فإن  $u_x(x,y) = 2x$  ،  $u_y(x,y) = 2y$  ،  $v_x(x,y) = 0$  ،  $v_y(x,y) = 0$  ، لاحظ أن معادلتى كوشي - ريمان غير متحققتين في هذا المثال وذلك فيما عدا الحالة التي يكون فيها  $x = y = 0$  . من ذلك نجد أن مشتقة الدالة قيد البحث لا يكون لها وجود عند  $z \neq 0$  . ويجب أن يراعى القارىء هنا أن النظرية السابقة لا تضمن لنا وجود  $f'(0)$  ؛ وعلى أية حال فالنظرية المعطاة في البند التالى تعالج هذه النقطة .

### ١٧ - الشروط الكافية Sufficient Conditions

إن صحة معادلتى كوشي - ريمان عند نقطة ما  $z_0 = (x_0, y_0)$  ليس كافيا ( أى لا يستلزم بالضرورة ) للتثبت من وجود مشتقة  $f$  عند هذه النقطة ( انظر تمرين (٦) بند (١٨) ) . إلا أننا مع ذلك يمكننا التحقق من وجود مشتقة لدالة ما إذا تحققت شروط اتصال خاصة وذلك على ضوء النظرية التالية

نظرية : لتكن الدالة

$$f(z) = u(x,y) + iv(x,y)$$

معرفة عند كل نقطة من نقاط جوار ما  $\varepsilon$  لنقطة  $z_0 = x_0 + iy_0$  ؛ ولنفرض أن المشتقات الجزئية الأولى للدالتين  $u, v$  بالنسبة للمتغيرين  $x, y$  لها وجود في هذا الجوار ومتصلة عند  $(x_0, y_0)$  . إذا حققت هذه المشتقات الجزئية الأولى معادلتى كوشي - ريمان عند  $(x_0, y_0)$  ، فإن المشتقة  $f'(z_0)$  يكون لها وجود

للبهران نكتب ابتداءً  $\Delta z = \Delta x + i \Delta y$ ، حيث  $0 < |\Delta z| < \epsilon$ ، ونكتب  $\Delta w = f(z_0 + \Delta z) - f(z_0)$

واضح إذن أن

$$\Delta w = \Delta u + i \Delta v$$

حيث

$$\begin{aligned} \Delta u &= u(x_0 + \Delta x, y_0 + \Delta y) - u(x_0, y_0), \\ \Delta v &= v(x_0 + \Delta x, y_0 + \Delta y) - v(x_0, y_0). \end{aligned} \quad (1)$$

لكن على ضوء اتصال المشتقات الجزئية الأولى للدالتين  $v, u$  عند النقطة  $(x_0, y_0)$  يكون

$$\begin{aligned} \Delta u &= u_x(x_0, y_0) \Delta x + u_y(x_0, y_0) \Delta y + \epsilon_1 \sqrt{(\Delta x)^2 + (\Delta y)^2}, \\ \Delta v &= v_x(x_0, y_0) \Delta x + v_y(x_0, y_0) \Delta y + \epsilon_2 \sqrt{(\Delta x)^2 + (\Delta y)^2} \end{aligned} \quad (2)$$

حيث  $\epsilon_1, \epsilon_2$  تؤولان إلى الصفر عندما تقترب  $(\Delta x, \Delta y)$  من  $(0, 0)$ . وعليه

$$\begin{aligned} \Delta w &= u_x(x_0, y_0) \Delta x + u_y(x_0, y_0) \Delta y + \epsilon_1 \sqrt{(\Delta x)^2 + (\Delta y)^2} \\ &\quad + i[v_x(x_0, y_0) \Delta x + v_y(x_0, y_0) \Delta y + \epsilon_2 \sqrt{(\Delta x)^2 + (\Delta y)^2}]. \end{aligned} \quad (3)$$

استخدام التفاضلات في حساب التفاضل للدوال الحقيقية في متغيرين حقيقيين يمكننا من برهان وجود التعبيرين (٢) بالنسبة للدالتين حقيقيتين لهما مشتقات جزئية أولى متصلة<sup>(١)</sup>.

حيث إن معادلتى كوشى - ريمان متحققتان عند  $(x_0, y_0)$ ، فإنه يمكننا استبدال  $u_y(x_0, y_0)$  بالمقدار  $-v_x(x_0, y_0)$  و  $v_y(x_0, y_0)$  بالمقدار  $u_x(x_0, y_0)$  في المعادلة (٣)، و القسمة على  $\Delta z$  لنحصل على

$$\frac{\Delta w}{\Delta z} = u_x(x_0, y_0) + i v_x(x_0, y_0) + (\epsilon_1 + i \epsilon_2) \frac{\sqrt{(\Delta x)^2 + (\Delta y)^2}}{\Delta z} \quad (4)$$

لكن  $\sqrt{(\Delta x)^2 + (\Delta y)^2} = |\Delta z|$  وعليه  $\left| \frac{\sqrt{(\Delta x)^2 + (\Delta y)^2}}{\Delta z} \right| = 1$ . وهذا يعنى أن الحد الأخير في التعبير عن  $\frac{\Delta w}{\Delta z}$  في (٤) يؤول إلى الصفر عندما يؤول  $\Delta z$  إلى الصفر. وعليه فإن نهاية الطرف الأيسر للمعادلة (٤) لها وجود ويكون

$$f'(z_0) = u_x(x_0, y_0) + i v_x(x_0, y_0).$$

لتوضيح النظرية اعتبر الدالة

$$f(z) = e^{x+iy}$$

حيث  $u(x, y) = e^x \cos y$ ،  $v(x, y) = e^x \sin y$ . يمكن أن نرى بسهولة أن شروط النظرية متحققة عند كل نقطة من نقاط المستوى المركب. وعليه تكون المشتقة  $f'(z)$  موجودة عند كل نقطة ويكون

(١) انظر على سبيل المثال كتاب "Advanced Calculus" تأليف A.E. Taylor و W.R. Mann الطبعة الثانية، ص ١٦١ - ١٦٢، ص ٢١٣ - ٢١٤، ١٩٧٢.

$$f'(z) = e^x \cos y + ie^x \sin y = e^x e^{iy}.$$

لاحظ أن  $f'(z) = f(z)$ .

وكتوضيح آخر ، نرى مباشرة من النظرية أن الدالة  $f(z) = |z|^2$  لها مشتقة عند  $z = 0$  ، وفي الحقيقة فإن  $f'(0) = 0 + i0 = 0$  . وقد رأينا في البندين (١٤) ، (١٦) أن هذه الدالة لا يوجد لها مشتقة عند أى نقطة أخرى من المستوى المركب .

### ١٨ - معادلتا كوشي - ريمان في الصورة القطبية

#### The Cauchy-Riemann Equations in Polar Form

نعرض النتائج الأساسية للبندين السابقين في إطار الاحداثيات القطبية ، وذلك عندما  $z_0 \neq 0$  ، باستخدام التحويلات الأحداثية

$$x = r \cos \theta, \quad y = r \sin \theta. \quad (١)$$

نفرض أن  $w = f(z)$  . الأجزاء الحقيقية والتخيلية للعدد المركب  $w = u + iv$  سيغير عنها بدلالة المتغيرين  $x, y$  أو المتغيرين  $r, \theta$  وذلك وفقاً على أى التعبيرين  $z = x + iy$  أو  $z = re^{i\theta}$  للنقطة  $z$  نعتند . باستخدام قاعدة السلسلة لإيجاد مشتقات الدوال الحقيقية في متغيرين حقيقيين ، فإننا نبين أن المشتقات الجزئية الأولى للدالتين  $u, v$  بالنسبة للمتغيرين  $x, y$  تكون دوالاً متصلة في  $(x, y)$  عند أى نقطة مغايرة للصفر إذا كانت المشتقات الجزئية الأولى لهما بالنسبة للمتغيرين  $r, \theta$  دوالاً متصلة في  $(r, \theta)$  عند نفس النقطة ، وبالعكس . بالإضافة إلى ذلك ، فإن معادلتى كوشي - ريمان ، (٧) بند (١٦) ، تأخذان الصورة

$$u_r(r_0, \theta_0) = \frac{1}{r_0} v_\theta(r_0, \theta_0), \quad \frac{1}{r_0} u_\theta(r_0, \theta_0) = -v_r(r_0, \theta_0) \quad (٢)$$

بدلالة الاحداثيات القطبية ؛ وإذا كانت  $f$  قابلة للاشتقاق عند  $(r_0, \theta_0)$  فإن

$$= \frac{1}{r_0} e^{-i\theta_0} [v_\theta(r_0, \theta_0) - iu_\theta(r_0, \theta_0)]. \quad (٣)$$

برهان هذ الحقائق يشكل محتوى التمارين (٧) ، (٨) ، (٩) ، من هذا البند . نذكر الآن نص الصيغة البديلة لنظرية بند (١٧) وذلك عندما  $z_0 \neq 0$  .

نظرية : التكن الدالة

$$f'(z_0) = e^{-i\theta_0} [u_r(r_0, \theta_0) + iv_r(r_0, \theta_0)]$$

$$f(z) = u(r, \theta) + iv(r, \theta)$$

معرفة لجميع نقط جوار ما  $\varepsilon$  للنقطة الغير صفيرية  $z_0 = r_0 e^{i\theta_0}$  ، ولنفرض أن المشتقات الجزئية الأولى للدالتين  $u, v$  بالنسبة للمتغيرين  $r, \theta$  لها وجود في هذا الجوار وبأنها دوال في  $(r, \theta)$  متصلة عند  $(r_0, \theta_0)$  . إذا حققت هذه المشتقات الجزئية معادلتى

كوشي - ريمان في الصورة القطبية عند  $(r_0, \theta_0)$  ، فإن المشتقة  $f'(z_0)$  يكون لها وجود .

لتوضيح هذه النتائج اعتبر الدالة

$$f(z) = \frac{1}{z} = \frac{1}{re^{i\theta}}.$$

لاحظ أن  $u(r, \theta) = \cos \theta / r$  و  $v(r, \theta) = -\sin \theta / r$  . ولاحظ أيضاً أن شروط النظرية هي بالفعل متحققة عند أى نقطة غير صفرية  $z = re^{i\theta}$  من نقاط المستوى المركب . وعليه تكون الدالة قابلة للاشتقاق عند أى من هذه النقاط غير الصفرية . وباستخدام الصيغة (٣) نجد أن

$$f'(z) = e^{-i\theta} \left( -\frac{\cos \theta}{r^2} + i \frac{\sin \theta}{r^2} \right) = -\frac{1}{(re^{i\theta})^2} = -\frac{1}{z^2}.$$

تمارين

١ - استخدم نظرية بند (١٦) لإثبات أن  $f'(z)$  ليس لها وجود عند أى نقطة وذلك إذا كانت  $f(z)$  هي

$$(أ) \bar{z} ; (ب) z - \bar{z} ; (ج) e^x e^{-iy} ; (د) 2x + ixy^2$$

٢ - استخدم نظرية بند ١٧ والصيغة (٥) من نفس البند لتبين أن كلا من  $f'(z)$  و  $f''(z)$  لها وجود عند كل نقطة من نقاط المستوى المركب ، ثم أوجد كلا من  $f'(z)$  و  $f''(z)$  ، وذلك لكل من الحالات التالية :

$$(أ) f(z) = iz + 2 ; (ب) f(z) = e^{-x} e^{-iy} ; (ج) f(z) = z^3 ; (د) f(z) = \cos x \cosh y - i \sin x \sinh y$$

٣ - باستخدام نتائج البندين ١٦ ، ١٧ بين في كل من الحالات الآتية متى تكون  $f'(z)$  لها وجود ، ثم احسب قيمتها

$$(أ) f(z) = 1/z ; (ب) f(z) = x^2 + iy^2 ; (ج) f(z) = z \operatorname{Im} z$$

الأجوبة (أ)  $f'(z) = -1/z^2$  حيث  $z \neq 0$  (ب)  $f'(z) = 2x$  (ج)  $f'(0) = 0$

٤ - استخدم نظرية بند (١٨) لإثبات أن الدالة  $g(z) = \sqrt{r} e^{i\theta/2}$  حيث  $r > 0$  و  $-\pi < \theta < \pi$  قابلة للاشتقاق عند أى نقطة من نطق نطاق تعريفها وبأن  $g'(z) = 1/[2g(z)]$  .

٥ - إذا كانت  $f(z) = x^3 - i(y-1)^3$  فإن  $u_x(x, y) + iv_x(x, y) = 3x^2$  علل لماذا تكون  $f'(z) = 3x^2$  عند نقطة وحيدة هي  $z = i$  ؟

٦ - اثبت أن الدالة

$$f(z) = \begin{cases} \frac{(z)^2}{z} & (z \neq 0), \\ 0 & (z = 0), \end{cases}$$

غير قابلة للاشتقاق عند  $z=0$  رغم تحقيقها لمعادلتى كوشى - ريمان عند هذه النقطة .  
 اقتراح : استخدم تعريف (١) من بند (١٤) للمشتقة ثم اجعل  $z$  تقترب من  
 الصفر خلال مسارين مختلفين أحدهما أحد المحورين والآخر الخط المستقيم  $y=x$  .

٧ - استخدم التحويل الاحداثى (١) ، من بند (١٨) ، أو معكوسه وكذلك قاعدة السلسلة  
 لإيجاد مشتقات الدوال الحقيقية لمتغيرين حقيقيين للحصول على الصيغ

$$u_x = u_r \cos \theta - \frac{1}{r} u_\theta \sin \theta,$$

$$u_r = u_r \sin \theta + \frac{1}{r} u_\theta \cos \theta$$

وكذلك على صور مماثلة لكل من  $v_y, v_x$  . استنتج أن المشتقات الجزئية الأولى للدالتين  
 $v, u$  بالنسبة للمتغيرين  $y, x$  تكون دوال متصلة في  $(x, y)$  عند أى نقطة غير صفرية إذا  
 فقط إذا كانت المشتقات الجزئية الأولى للدالتين  $v, u$  بالنسبة للمتغيرين  $r$  و  $\theta$  دوال  
 متصلة في  $(r, \theta)$  عند نفس النقطة .

٨ استخدم نتائج تمرين (٧) للحصول على الصورة القطبية (٢) ، من بند (١٨) ، لمعادلتى  
 كوشى ريمان ، (٧) بند (١٦)

اقتراح : حول المعادلات  $u_x = v_r, u_r = -v_x$  إلى

$$\left(u_r - \frac{1}{r} v_\theta\right) \cos \theta = \left(\frac{1}{r} u_\theta + v_r\right) \sin \theta,$$

$$\left(u_r - \frac{1}{r} v_\theta\right) \sin \theta = -\left(\frac{1}{r} u_\theta + v_r\right) \cos \theta.$$

٩ استخدم نتائج تمرين (٧) و (٨) وكذلك الصيغتين (٥) و (٦) من بند (١٦) للحصول  
 على الصورة القطبية (٣) بند (١٨) لمشتقة  $f(z)$  عند  $z_0$  .

### ١٩ - الدوال التحليلية Analytic Functions

يمكننا الآن تقديم مفهوم الدالة التحليلية Analytic function . يقال لدالة  $f$  لمتغير  
 مركب  $z$  أنها تحليلية عند النقطة  $z_0$  إذا كانت مشتقتها موجودة ليس فقط عند النقطة  $z_0$  ،  
 بل عند جميع نقط جوار ما للنقطة  $z_0$  . ويقال أن  $f$  تحليلية في منطقة  $R$  إذا كانت تحليلية  
 عند كل نقطة من نقاط  $R$  (\*).

الدالة  $f(z) = |z|^2$  مثلا دالة غير تحليلية عند أى نقطة ، وذلك لأنها قابلة للاشتقاق  
 عند نقطة واحدة فقط وهى  $z=0$  ( انظر بند (١٤) ) .

إذا كانت  $f$  دالة تحليلية في منطقة  $R$  ، فإنه يوجد حول كل نقطة  $z$  من  $R$  جوار يقع  
 في نطاق تعريف  $f$  . وهذا يعنى أن  $z$  لا بد وأن تكون نقطة داخلية لنطاق تعريف الدالة ،  
 وعليه فإن الدوال التحليلية تكون معرفة دائماً على نطاقات ( ارجع لبند (٧) لمعرفة

\* نشير إلى أن لفظ holomorphic يستخدم في بعض المراجع كبديل للفظ analytic ، وعليه فإن لفظ تحليل  
 لدينا سيعنى أياً من اللفظين المترادفين .



الفرق بين هذه التعريفات) . وعلى أية حال ، فإذا ذكرنا على سبيل المثال أن  $f$  دالة تحليلية على القرص المغلق  $|z| \leq 1$  ، فسيكون مفهوماً ضمناً أن  $f$  دالة تحليلية على نطاق يحتوي هذا القرص .

يقال لدالة أنها شاملة Entire إذا كانت هذه الدالة تحليلية عند كل نقطة من نقاط المستوى . وحيث أن مشتقة كثيرة الحدود لها وجود عند أي نقطة ، نستنتج أن أي كثيرة حدود تكون دالة شاملة

إذا كانت دالة ما ليست تحليلية عند نقطة  $z_0$  وكانت في نفس الوقت تحليلية عند نقطة ما من نقاط أي جوار يحتوي  $z_0$  ، فإننا نسمى  $z_0$  نقطة شاذة Singular point للدالة ( أو نقطة شذوذ Singularity للدالة ) . لاحظ مثلاً ، أنه إذا كان  $f(z) = \frac{1}{z}$  ( $z \neq 0$ ) فإن  $f'(z) = -\frac{1}{z^2}$  وعليه فإن  $f$  تحليلية تكون عند كل نقطة فيما عدا عند  $z=0$  حيث الدالة غير معرفة أصلاً . من هذا يتضح أن  $z=0$  نقطة شاذة لتلك الدالة . ومن ناحية أخرى، الدالة  $f(z) = |z|^2$  ليس لها نقط شاذة ، وذلك لأنها ليست تحليلية عند أي نقطة .

شرط ضروري - وليس بأي سبيل كاف حتى تكون دالة ما  $f$  تحليلية في نطاق  $D$  هو بطبيعة الحال اتصال  $f$  على  $D$  بأكمله . كما أن وجوب تحقيق معادلتى كوشي - ريمان هو أيضاً شرط ضروري ، إلا أنه ليس بكاف . والنظريتان في بند (١٧) وبند (١٨) تمداننا بشروط كافية حتى تكون الدالة تحليلية على  $D$  .

صيغ الاشتقاق الواردة في بند (١٥) تمكننا من الحصول على شروط كافية مفيدة أخرى حتى تكون دالة ما دالة تحليلية . وحيث إن مشتقة حاصل جمع أو حاصل ضرب دالتين له وجود طالما كانت كل من الدالتين قابلة للاشتقاق ، فإننا نستنتج أن حاصل جمع أو حاصل ضرب دالتين كل منهما تحليلية في  $D$  هو دالة تحليلية في  $D$  . وبالمثل حاصل قسمة هاتين الدالتين هو دالة تحليلية في  $D$  بشرط أن الدالة في مقام القسمة لا تأخذ القيمة صفر عند أي نقطة من نقاط  $D$  . وعلى وجه التخصيص فإن حاصل القسمة  $P(z)/Q(z)$  لكثيرتي حدود ، يكون دالة تحليلية في أي نطاق لا تتعدم فيه  $Q(z)$  عند أي نقطة من نقاطه .

من قاعدة السلسلة لمشتقة تحصيل دالتين ( بند (١٥) ) نجد أن تحصيل دالتين تحليليتين هو دالة تحليلية . وحتى نكون أكثر تحديداً ، إفرض أن  $f(z)$  تحليلية في  $D$  وأن  $g(z)$  تحليلية في نطاق يحتوي مدى  $f$  . من هذا نجد أن الدالة المحصلة  $[f(z)]g$  تكون دالة تحليلية في  $D$  .

لتوضيح ذلك اعتبر الدالة الشاملة  $f(z) = z^2$  . وفقا لتمرين (٤) بند (١٨) ، تكون الدالة

$$g(z) = \sqrt{r} e^{i\theta/2} \quad (r > 0, -\pi < \theta < \pi) \quad (1)$$

تحليلية عند كل نقطة من نقاط نطاق التعريف المين والذي يتكون من جميع نقط المستوى فيما عدا نقطة الأصل أو أى نقطة على الجزء السالب من المحور الحقيقي وحتى يمكن تكوين الدالة المحصلة  $g[f(z)]$  ، فإننا نكتفى الآن بنطاق تعريف  $D$  للدالة  $f$  بحيث يكون مدى  $f$  وفقا لهذا التحديد - محتوى في نطاق تعريف  $g$  . أكبر نطاق تعريف ممكن  $D$  له هذه الخاصية هو  $-\pi/2 < \theta < \pi/2$  ، أى النصف الأيمن للمستوى مع استبعاد جميع نقط المحور التخيلي . ويمكن برهنة ذلك بسهولة إذا اعتبرنا الصورة القطبية

$$f(z) = r^2 e^{i2\theta} \quad (2)$$

مع ملاحظة أن  $-\pi < 2\theta < \pi$  عندما  $-\pi/2 < \theta < \pi/2$  . من ذلك نرى أن الدالة  $g[f(z)]$  تكون تحليلية عند أى نقطة  $z$  بحيث  $\text{Re } z > 0$  . وبطبيعة الحال نجد من (١) ، (٢) أن  $g[f(z)] = z$  عند مثل هذه النقطة .

## ٢٠ - الدوال التوافقية Harmonic Functions

يقال لدالة حقيقية - أى ذات قيم حقيقية -  $h$  في متغيرين حقيقيين  $x, y$  أنها دالة توافقية Harmonic في نطاق معطى من المستوى  $xy$  إذا كان لهذه الدالة مشتقات جزئية متصلة أولى وثانية ومحقة لمعادلة لابلاس Laplace's equation التفاضلية الجزئية الآتية :

$$h_{xx}(x,y) + h_{yy}(x,y) = 0 \quad (1)$$

وذلك عند كل نقطة من نقاط النطاق . سنبرهن الآن أن المركبتين  $v, u$  لدالة تحليلية  $f(z) = u(x,y) + iv(x,y)$  في نطاق  $D$  ، هما دالتان توافقيتان في هذا النطاق . وبرهان ذلك يقتضى معرفة نتيجة سنقوم ببرهانها فيما بعد وذلك في بند (٥٢) من الباب الخامس . وتنص هذه النتيجة على أنه إذا كانت دالة متغير مركب دالة تحليلية عند نقطة ما ، فإن كلا من الجزئين الحقيقي والتخيلي لهذه الدالة له مشتقات جزئية متصلة لأى رتبة عند هذه النقطة .

حيث أن  $f$  تحليلية في نطاق ما  $D$  ، فإن المشتقات الجزئية الأولى لمركباتها تحقق معادلتى كوشى - ريمان عند كل نقطة من نقاط  $D$  ، أى أن

$$u_x = v_y, \quad u_y = -v_x. \quad (2)$$

وبأخذ مشتقات الدوال في (٢) بالنسبة للمتغير  $x$  نحصل على

$$u_{xx} = v_{yx}, \quad \text{و} \quad u_{yx} = -v_{xx}. \quad (٣)$$

وبالمثل ، فإن أخذ المشتقات بالنسبة للمتغير  $y$  يعطي

$$u_{xy} = v_{yy}, \quad \text{و} \quad u_{yy} = -v_{xy}. \quad (٤)$$

والآن فإن اتصال المشتقات الجزئية المعنية يسمح لنا باستخدام نظرية في حساب التفاضل للمتغيرات الحقيقية<sup>(١)</sup> ، وعليه فإن  $u_{yx} = u_{xy}$  ،  $v_{yx} = v_{xy}$  ؛ ومن ثم فإننا نحصل من معادلتى (٣) و (٤) على

$$u_{xx}(x,y) + u_{yy}(x,y) = 0 \quad \text{و} \quad v_{xx}(x,y) + v_{yy}(x,y) = 0.$$

كما سبق نجد أن إذا كانت  $f(z) = u(x,y) + iv(x,y)$  تحليلية في نطاق  $D$  ، فإن مركبتها  $v, u$  تكون دالتين توافقيتين في النطاق  $D$  .

إذا كانت  $v, u$  دالتين توافقيتين في نطاق ما  $D$  وكانت مشتقاتهما الجزئية الأولى محققة لمعادلتى كوشى - ريمان في النطاق  $D$  ، فإننا نقول إن  $v$  مرافق توافقى **Harmonic conjugate** للدالة  $u$  .

من الواضح إذن أنه إذا كانت  $f(z) = u(x,y) + iv(x,y)$  دالة تحليلية في نطاق ما  $D$  ، فإن  $v$  تكون مرافقا توافقياً للدالة  $u$  . وعكس ذلك صحيح بمعنى إنه إذا كانت  $v$  مرافقا توافقيا للدالة  $u$  في نطاق ما  $D$  ، فإن الدالة  $f(z) = u(x,y) + iv(x,y)$  تكون تحليلية في  $D$  ، وهذا في الواقع ينتج مباشرة من النظرية الواردة في بند (١٧) . وعليه فإن الشرط الكافي واللازم حتى تكون  $f(z) = u(x,y) + iv(x,y)$  دالة تحليلية في نطاق  $D$  هو أن تكون  $v$  مرافقا توافقيا للدالة  $u$  في النطاق  $D$

يجب أن نلاحظ جيدا أنه إذا كانت  $v$  مرافقا توافقيا للدالة  $u$  في نطاق ما فليس معنى ذلك على - وجه العموم - أن تكون  $u$  مرافقا توافقيا للدالة  $v$  في نفس النطاق. ولتوضيح ذلك ، اعتبر الدوال

$$v(x,y) = 2xy \quad \text{و} \quad u(x,y) = x^2 - y^2$$

حيث أن هاتين الدالتين هما الجزءان الحقيقي والتخيلى ، على التعاقب ، للدالة الشاملة  $f(z) = z^2$  ، فإن  $v$  تكون مرافقا توافقيا للدالة  $u$  في المستوى بأكمله . ومع ذلك فإن  $u$  لا يمكن أن تكون مرافقا توافقيا للدالة  $v$  ، وذلك لأنه على ضوء النظرية الواردة في بند (١٦) فإن الدالة  $2xy + i(x^2 - y^2)$  ليست تحليلية عند أى نقطة . ونترك كتمرين برهان أنه إذا كانت الدالتان  $v, u$  كل منهما مرافق توافقى للآخر ، فإن كلا منهما تكون دالة ثابتة ( تمرين (٨) من هذا البند ) .

(١) انظر على سبيل المثال كتاب "Advanced Calculus" تأليف A.E. Taylor, W.R. Mann طبعة

وعلى أية حال ، فإنه إذا كانت  $v$  مرافقا توافقيا للدالة  $u$  في نطاق  $D$  ، فإن  $u - v$  تكون مرافقا توافقيا للدالة  $v$  في النطاق  $D$  والعكس . وذلك لأن الدالة  $f(z) = u(x,y) + iv(x,y)$  تكون دالة تحليلية في  $D$  إذا فقط إذا كانت  $if(z) = v(x,y) - iu(x,y)$  دالة تحليلية في  $D$  .

سنبرهن فيما بعد وذلك في بند (٧٨) من الباب الثامن أنه إذا كانت  $u$  دالة توافقية في نطاق من نوع خاص ( على وجه التحديد نطاق بسيط الترابط ) ، فإن  $u$  يكون هادئاً مرافق توافقى . وعليه فإن أى دالة توافقية في مثل هذا النطاق تمثل الجزء الحقيقى للدالة تحليلية ونضيف أنه إذا كانت  $u, v$  مرافقين توافقين للدالة  $u$  فإن  $u, v$  يكون دالة ثابتة ( تمرين (١٠) من هذا البند ) .

نوضح الآن طريقة للحصول على مرافق توافقى للدالة توافقية معطاة . واضح أن

الدالة

$$u(x,y) = y^3 - 3x^2y \quad (٥)$$

دالة توافقية في المستوى  $xy$  بأكمله . وحتى نحصل على مرافق توافقى  $v(x,y)$  لهذه الدالة نلاحظ أن

$$u_x(x,y) = -6xy.$$

وعلى ضوء الشرط  $u_x = v_y$  ، فإنه يمكننا أن نخلص إلى

$$v_y(x,y) = -6xy.$$

بإجراء تكامل الطرفين بالنسبة للمتغير  $y$  مع اعتبار  $x$  ثابتة ، نجد أن

$$v(x,y) = -3xy^2 + \phi(x) \quad (٦)$$

حيث  $\phi$  دالة اختيارية في  $x$  . ومن تحقق الشرط  $u_y = -v_x$  فإن المعادلتين (٥) ، (٦) تعطيان

$$3y^2 - 3x^2 = 3y^2 - \phi'(x).$$

وعليه فإن  $\phi'(x) = 3x^2$  ، أى أن  $\phi(x) = x^3 + c$  حيث  $c$  ثابت حقيقى اختيارى . ومن هنا نرى أن الدالة

$$v(x,y) = x^3 - 3xy^2 + c$$

مرافق توافقى للدالة  $u(x,y)$  . وتكون الدالة التحليلية المناظرة هي

$$f(z) = y^3 - 3x^2y + i(x^3 - 3xy^2 + c). \quad (٧)$$

ويمكن التحقق بسهولة من أن

$$f(z) = i(z^3 + c).$$

وهذه الصورة مستوحاة من الحالة التى يكون فيها  $v=0$  ، حيث تؤول المعادلة (٧) إلى

$$f(x) = i(x^3 + c).$$

## تمارين

- ١ - برهن أن كلا من الدوال الآتية دالة شاملة  
 (أ)  $f(z) = 3x + y + i(3y - x)$  (ب)  $f(z) = \sin x \cosh y + i \cos x \sinh y$  ;  
 (ج)  $f(z) = e^{-z} e^{iz}$  (د)  $f(z) = (z^2 - 2)e^{-z} e^{-iz}$
- ٢ - برهن أن كلا من الدوال الآتية ليست تحليلية عند أى نقطة  
 (أ)  $f(z) = xy + iy$  (ب)  $f(z) = e^z e^{iz}$   
 ٣ - أوجد النقاط الشاذة لكل من الدوال الآتية ، واذكر في كل حالة لماذا تكون هذه النقاط  
 هى النقاط الوحيدة التى تكون عندها الدالة غير تحليلية ؟  
 (أ)  $\frac{2z+1}{z(z^2+1)}$  (ب)  $\frac{z^3+i}{z^2-3z+2}$  (ج)  $(z+2)^{-1}(z^2+2z+2)^{-1}$   
 الأجوبة : (أ)  $z=0, \pm i$  (ج)  $z=-2, -1 \pm i$
- ٤ - برهن أن الدالة  $g(z) = \sqrt{r} e^{i\theta/2}$  حيث  $0 < \theta < \pi, r > 0$  دالة تحليلية فى نطاق المشار إليه ،  
 ومن ثم برهن أن الدالة المحصلة  $g(z^2+1)$  تكون تحليلية فى ربع المستوى  $x > 0, y > 0$  .
- ٥ - اثبت أن الدالة  $g(z) = \text{Log} r + i\theta$  حيث  $r > 0$  و  $-\pi/2 < \theta < \pi/2$  - وعلمنا بأن اللوغاريتم  
 المستخدم هو اللوغاريتم الطبيعي ، تكون تحليلية فى نطاق التعريف المبين . واثبت أن  
 $g'(z) = 1/z$  فى هذا النطاق ؛ ومن ثم بين أن المحصلة  $g(2z-2+i)$  تكون تحليلية فى النطاق  
 $x > 1$
- ٦ - اذكر لماذا يكون تحصيل دالتين شاملتين دالة شاملة ؟ واذكر أيضا لماذا يكون أى  
 ارتباط خطى  $cf(z) + dg(z)$  لدالتين شاملتين ، حيث  $d, c$  ثوابت  
 مركبة ، هو بالتالى دالة شاملة ؟
- ٧ - فى كل من الحالات الآتية بين أن  $u$  دالة توافقية فى نطاق ما ، ثم اوجد فى كل حالة  
 مرافقا توافقيا  $v$  للدالة  $u$  .  
 (أ)  $u(x,y) = 2x(1-y)$  (ب)  $u(x,y) = 2x - x^3 + 3xy^2$  ;  
 (ج)  $u(x,y) = \sinh x \sin y$  (د)  $u(x,y) = y/(x^2 + y^2)$
- الأجوبة : (أ)  $v(x,y) = x^2 - y^2 + 2y$  (ج)  $v(x,y) = -\cosh x \cos y$  .
- ٨ - اثبت أنه إذا كانت كل من  $v, u$  مرافقا توافقيا للآخر فى نطاق ما ، فإن كلا منهما لا بد  
 وأن تكون دالة ثابتة .
- ٩ - لتكن  $f$  تكون دالة تحليلية فى نطاق ما  $D$  . برهن أن  $f$  تكون دالة ثابتة إذا كان  
 (أ)  $\overline{f(z)}$  هى أيضاً دالة تحليلية فى  $D$  ،  
 (ب)  $|f(z)|$  دالة ثابتة لجميع  $z$  فى  $D$  ؛  
 (ج)  $f$  دالة ذات قيم حقيقية لجميع  $z$  فى  $D$  .

١٠ - بين أن الفرق بين أى دالتين كل منهما مرافق توافقى لدالة معطاة في نطاق ما هو مقدار ثابت .

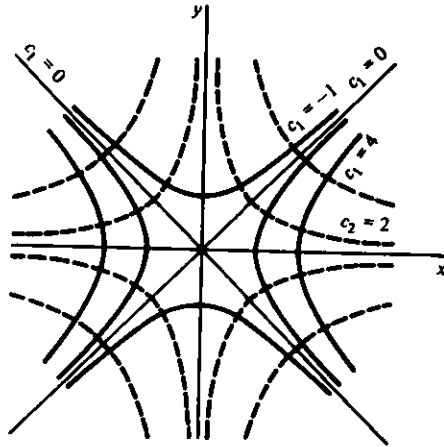
١١ - لتكن  $f(z) = u(r, \theta) + iv(r, \theta)$  دالة تحليلية في نطاق  $D$  لا يحوى النقطة  $z=0$  . باستخدام معادلتى كوشى - ريمان فى الصورة القطبية ( بند (١٨) ) ، اثبت أن الدالة  $u$  تحقق الصورة القطبية

$$r^2 u_{rr}(r, \theta) + ru_r(r, \theta) + u_{\theta\theta}(r, \theta) = 0$$

لمعادلة لابلاس لجميع نقاط  $D$  . وبين أن الدالة  $v$  تحقق أيضاً الصورة القطبية لمعادلة لابلاس على  $D$  .

١٢ - اثبت أن الدالة  $u(r, \theta) = \text{Log} r$  تكون توافقية فى النطاق  $r > 0, 0 < \theta < 2\pi$  . ( انظر تمرين (١١) ) ، ثم اوجد مرافقا توافقيا لها .

١٣ - لتكن  $f(z) = u(x, y) + iv(x, y)$  دالة تحليلية فى نطاق ما  $D$  واعتبر عائلات المنحنيات المستوية  $v(x, y) = c_2, u(x, y) = c_1$  حيث  $c_2, c_1$  ثوابت اختيارية . برهن أن هذه العائلات متعامدة . وبشكل أكثر تحديدا ، اثبت أنه إذا كانت  $z_0 = (x_0, y_0)$  نقطة مشتركة لمنحنيين معينين  $v(x, y) = c_2, u(x, y) = c_1$  وكان  $f'(z_0) \neq 0$  ، فإن المماسين لهذين المنحنيين عند النقطة  $(x_0, y_0)$  يكونان متعامدين .



( شكل ١٧ )

- ١٤ - اثبت أن عائلات المنحنيات المستوية  $u(x,y) = c_1$ ,  $v(x,y) = c_2$  لمركبتى الدالة  $f(z) = z^2$  هي المنحنيات الميئة في شكل (١٧). لاحظ أن تمرين ١٣ يبين تعامد هاتين العائلتين. المنحنيان  $v(x,y) = 0$ ,  $u(x,y) = 0$  يتقاطعان في نقطة الأصل وهما مع ذلك ليسا متعامدين؛ بين لماذا تكون هذه الحقيقة متفقة مع النتيجة المعطاة بتمرين (١٣).
- ١٥ - ارسم مخططا بيانيا لعائلتى المنحنيات المستوية للمركبتين  $v, u$  للدالة  $f(z) = 1/z$  ولاحظ خاصية التعامد المشار إليها في تمرين (١٣).
- ١٦ - حل تمرين (١٥) مستخدما الاحداثيات القطبية.
- ١٧ - ارسم مخططا بيانيا لعائلتى المنحنيات المستوية للمركبتين  $v, u$  للدالة  $f(z) = (z-1)/(z+1)$  وبين كيف يمكن توضيح نتائج تمرين (١٣) في هذه الحالة.





# لفصل الثالث

## Elementary Functions دوال بسيطة

في هذا الباب سنستعرض عددا من الدوال البسيطة التي سبق للقارىء دراستها كدوال للمتغير الحقيقي وسنقوم بتعريف الدوال المناظرة للمتغير المركب . ولكي نكون أكثر تحديداً ، فإننا سنقوم بتعريف دوال تحليلية لمتغير مركب  $z$  بحيث تؤول هذه الدوال للدوال البسيطة المناظرة المألوفة للمتغير الحقيقي عندما تكون  $z = x + i0$  . وسنقوم أولاً بتعريف الدالة الأسية للمتغير المركب ثم نستخدمها بعد ذلك لتعريف دوال أخرى .

### ٢١ - الدالة الأسية The Exponential Function

إذا كان المطلوب تعريف دالة  $f$  للمتغير المركب  $z = x + iy$  بحيث تؤول هذه الدالة إلى الدالة الأسية المألوفة للمتغير الحقيقي عندما يكون  $z$  عددا حقيقيا ، فإن هذه الدالة لابد وأن تحقق العلاقة

$$f(x + i0) = e^x \quad (1)$$

لكل عدد حقيقي  $x$  . حيث أنه من المعلوم أن

$$d(e^x)/dx = e^x$$

لكل عدد حقيقي  $x$  ، فمن الطبيعي أن نتطلب أن تحقق الدالة  $f$  الشروط التالية :

(٢) تكون دالة شاملة ( أى أنها تحليلية لجميع نقط المستوى المركب ) لكل عدد

$$f'(z) = f(z) \text{ مركب } z \text{ يكون}$$

الدالة  $f$  المعرفة بالمعادلة

$$f(z) = e^x \cos y + ie^x \sin y \quad (3)$$

لكل عدد مركب  $z = x + iy$  تحقق الشروط (١) ، (٢) . ويجب ملاحظة أنه عند حساب  $\cos y$  ،  $\sin y$  فمن المتفق عليه أن تكون  $y$  مقيسة بالتقدير الدائري . من الممكن تبيان ( تمرين ١٤ ) من بند (٢٢) ) أن الدالة  $f$  ، المعرفة كما في (٣) ، هي الدالة الوحيدة

التي تحقق الشروط (١) ، (٢) ، وبالتالي فإننا نكتب

$$f(z) = e^z.$$

بذلك تكون الدالة الأسية للمتغير المركب  $z$  معرفة لكل عدد مركب  $z$  كالتالي

$$e^z = e^x(\cos y + i \sin y). \quad (٤)$$

وكما ذكرنا آنفا فإن هذه الدالة تؤول إلى الدالة الأسية المألوفة للمتغير الحقيقي وذلك عندما تكون  $y=0$  ، وهي كذلك دالة شاملة ، وتحقق الصيغة الاشتقاقية

$$\frac{d}{dz} e^z = e^z \quad (٥)$$

لكل عدد مركب  $z$  .

ويجب ملاحظة أنه عندما يكون  $z$  هو العدد التخيلي  $i\theta$  فإن المعادلة (٤) تصبح

$$e^{i\theta} = \cos \theta + i \sin \theta.$$

وهذه هي صيغة أولير السابق ذكرها في بند (٥) . من هذا يتضح أن تعريف الرمز  $e^{i\theta}$  المذكور آنفا في بند (٥) يكون متسقا مع التعريف (٤) من هذا البند .

فيما يلي سنتفق على أنه عندما تكون  $z = 1/n$  ، فإن قيمة  $e^z$  هي الجذر النوني الموجب للمقدار  $e$  المعطى بالمعادلة (٤) ، أى أن  $e^{1/n}$  هي  $\sqrt[n]{e}$  . وهذا تمايز عن الاتفاق ( بند (٦) ) الذى يتطلب منا عادة أن نفسر  $e^{1/n}$  على أنه أحد الجذور النونية للمقدار  $e$  . أخيراً ، يجدر بنا الإشارة إلى أن - وهذا من قبيل التسهيل فقط -  $\exp z$  قد تكتب أحياناً للدلالة على  $e^z$  .

## ٢٢ - خواص أخرى للدالة الأسية

التعريف

$$e^z = e^x(\cos y + i \sin y) \quad (١)$$

للعدد المركب  $e^z$  يعطينا مباشرة الصيغة القطبية له كالتالى :

$$e^z = \rho(\cos \phi + i \sin \phi) \quad (٢)$$

حيث  $\phi = y$  ،  $\rho = e^x$  . من هذا ينتج مباشرة أن مقياس العدد  $e^z$  هو  $e^x$  ، كما أن  $y$  تمثل سعة له ، أى أن :

$$|e^z| = e^x \quad , \quad \arg e^z = y. \quad (٣)$$

باستخدام التحويلة  $w = e^z$  ، فإننا نجد من تعريف (١) أن أى نقطة غير صفرية

$$w = \rho(\cos \phi + i \sin \phi) \quad (٤)$$

تكون صورة العدد

$$z = \text{Log } \rho + i\phi \quad (٥)$$

حيث  $\text{Log}$  هو اللوغاريتم الطبيعي ( أى بالنسبة للأساس  $e$  ) . ولتوضيح ذلك ، دعنا نبحث عن العدد المركب  $z$  الذى يحقق المعادلة  $e^z = -1$  . حيث أن (٤) هى الصيغة القطبية للعدد  $-1$  عندما  $\rho = 1$  ،  $\phi = \pi + 2n\pi$  ( $n = 0, \pm 1, \pm 2, \dots$ ) ، فإنه ينتج من (٥) أن أى عدد مركب  $z = (1 + 2n)\pi i$  يكون حلاً للمعادلة  $e^z = -1$  .

حيث أن  $e^z = e^x + iy$  أو  $e^z > 0$  لكل عدد حقيقى  $x$ ، فإنه ينتج أن  $|e^z| > 0$  لكل عدد مركب  $z$ . إذن

$$e^z \neq 0 \quad \text{لكل عدد مركب } z. \quad (٦)$$

وهذا يعنى أن النقطة  $w = 0$  لا يمكن أن تكون صورة لأى نقطة فى المستوى المركب  $z$  بالتحويلة  $w = e^z$  . بهذا نكون قد أوضحنا أن مدى الدالة الأسية هو المستوى المركب بأكمله عدا نقطة الأصل .

ويجدر بنا الإشارة إلى أنه يجب ملاحظة أن أى نقطة فى مدى الدالة الأسية تكون فى الحقيقة صورة لعدد لا نهائى من نقط المستوى المركب  $z$  . وهذا راجع إلى أن تعريف (١) للدالة الأسية يوضح أن أى نقطتين من نقط المستوى المركب  $z$  يكون لهما نفس الصورة وذلك إذا ما تساوى جزأهما الحقيقيان وكان الفرق بين جزئيهما التخيليين مضاعفاً صحيحاً للمقدار  $2\pi$  . وهذا يعنى أن الدالة الأسية تكون دورية Periodic ، دورتها تخيلية ومقدارها  $2\pi i$  : أى أن لكل عدد مركب  $z$  يكون

$$e^{z+2\pi i} = e^z \quad (٧)$$

إذا ما قصرنا نطاق تعريف الدالة  $e^z$  على الشريحة  $-\pi < \text{Im } z \leq \pi$  ( شكل (١٨) ) فإن الراسم  $w = e^z$  يكون تناظراً أحادياً . أى أنه إذا كانت  $w$  أى نقطة غير صفرية صيغتها القطبية  $w = \rho(\cos \Phi + i \sin \Phi)$  حيث  $\Phi = \text{Arg } w$  فإن النقطة  $z = \text{Log } \rho + i\Phi$  وذلك حسب معادلتى (٤) ، (٥) ) هى النقطة الوحيدة فى الشريحة التى صورتها النقطة  $w$  . وفى الحقيقة فإن هذا الراسم يكون تناظراً أحادياً طالما كان نطاق تعريف الدالة مقصوراً على أى شريحة  $y_0 < \text{Im } z \leq y_0 + 2\pi$  .

ويجدر بنا التنويه إلى أن الخاصية الجمعية للدالة أى

$$(\exp z_1)(\exp z_2) = \exp(z_1 + z_2) \quad (٨)$$

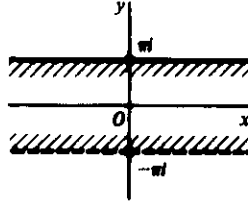
تتحقق تماماً كما فى حالة المتغير الحقيقى. ولإثبات ذلك نفرض أن  $z_1 = x_1 + iy_1$  ،  $z_2 = x_2 + iy_2$  إذن

$$\exp z_1 = \rho_1(\cos \phi_1 + i \sin \phi_1) \quad , \quad \rho_1 = e^{x_1}, \phi_1 = y_1,$$

$$\exp z_2 = \rho_2(\cos \phi_2 + i \sin \phi_2) \quad , \quad \rho_2 = e^{x_2}, \phi_2 = y_2.$$

من المعادلة (٥) بند ٥ لحاصل ضرب عددين مركبين فى الصيغة القطبية ينتج أن

$$\begin{aligned} (\exp z_1)(\exp z_2) &= \rho_1 \rho_2 [\cos(\phi_1 + \phi_2) + i \sin(\phi_1 + \phi_2)] \\ &= e^{x_1} e^{x_2} [\cos(y_1 + y_2) + i \sin(y_1 + y_2)]. \end{aligned}$$



شكل (١٨)

وحيث أن  $e^{x_1} e^{x_2} = e^{x_1 + x_2}$  ،  $x_1 + x_2 + i(y_1 + y_2) = z_1 + z_2$  ، فإننا نكون بهذا قد أثبتنا العلاقة (٨) . ويجب ملاحظة أننا قد حصلنا على العلاقة (٨) في بند (٥) وذلك في الحالة الخاصة التي يكون فيها كل من  $z_1, z_2$  تخيليا .  
باتباع نفس الأسلوب يمكننا بسهولة إثبات أن

$$\frac{\exp z_1}{\exp z_2} = \exp(z_1 - z_2). \quad (٩)$$

من هذه العلاقة الأخيرة وحقيقة أن  $e^0 = 1$  ينتج مباشرة أن  $1/e^z = e^{-z}$  . كذلك يمكن بسهولة إثبات صحة المتطابقة الهامة

$$(e^z)^n = e^{nz} \quad (n = 1, 2, \dots) \quad (١٠)$$

## تقارين

١ - أثبت أن  $e^{2 \pm 3\pi i} = -e^2$  (ب) ؛  $\exp \frac{2 + \pi i}{4} = \sqrt{e} \frac{1 + i}{\sqrt{2}}$  (ج) ؛  $e^{2 + \pi i} = -e^2$  . (د)

٢ - اذكر لماذا تكون الدالة  $2z^2 - 3 - ze^z + e^{-z}$  شاملة .

٣ - اوجد جميع قيم  $z$  التي تحقق :

$$e^z = -2 \quad (ب) \quad ; \quad e^z = 1 + \sqrt{3}i \quad (ج) \quad ; \quad \exp(2z - 1) = 1. \quad (د)$$

الأجوبة :

$$z = \text{Log } 2 + (2n + 1)\pi i \quad (n = 0, \pm 1, \pm 2, \dots) \quad (ب)$$

$$z = \frac{1}{2} + n\pi i \quad (n = 0, \pm 1, \pm 2, \dots). \quad (ج)$$

٤ - عبر عن  $|\exp(iz^2)|$  ،  $|\exp(2z + i)|$  بدلالة  $x, y$  ؛ ومن ثم إثبت أن

$$\exp(2z + i) + \exp(iz^2) \leq e^{2x} + e^{-2xy}.$$

٥ - أثبت أن  $|e^{-2z}| < 1$  إذا وفقط إذا كان  $\text{Re } z > 0$  .

٦ - نفرض أن  $z$  أى عدد مركب غير صفري . إثبت أنه إذا كان  $z = re^{i\theta}$  فإن

$$z = re^{-i\theta} \quad (ب)$$

$$\exp(\text{Log } r + i\theta) = z. \quad (ج)$$

- ٧ - اثبت صحة متطابقتي (٩) ، (١٠) من بند (٢٢) .  
 ٨ - اثبت أن  $e^{-nz} = 1/(e^z)^n$  حيث  $n = 1, 2, \dots$  .  
 ٩ - اثبت أن  
 (أ)  $\exp z = \overline{\exp \bar{z}}$  لكل عدد مركب  $z$   
 (ب)  $\exp (iz) = \overline{\exp (-iz)}$  إذا وفقط إذا كان  $z = n\pi$  حيث  $n = 0, \pm 1, \pm 2, \dots$

- ١٠ - (أ) اثبت أنه إذا كان  $e^z$  عددا حقيقيا ، فإن  $\text{Im } z = n\pi$  حيث  $n = 0, \pm 1, \pm 2, \dots$   
 (ب) ما هي الشروط التي يجب أن تتوفر في العدد  $z$  إذا كان  $e^z$  عددا تخيليا ؟  
 ١١ - بين ماذا يحدث :  
 (أ) للدالة  $\exp (x + iy)$  عندما تؤول  $x$  إلى  $-\infty$  ،  
 (ب) للدالة  $\exp (2 + iy)$  عندما تؤول  $y$  إلى  $\infty$  .  
 ١٢ - اثبت أن الدالة  $\exp \bar{z}$  لا تكون تحليلية عند أى نقطة .  
 ١٣ - بين بطريقتين أن الدالة  $\exp (z^2)$  تكون شاملة . ما هي المشتقة الأولى لهذه الدالة ؟  
 الإجابة :  $2z \exp z^2$  .  
 ١٤ - اثبت أنه إذا كانت الدالة  $f(z) = u(x,y) + iv(x,y)$  تحقق شرطى (١) ، (٢) من بند (٢١) فإنها لا بد وأن تكون الدالة المعرفة بالعلاقة (٣) من نفس البند .  
 اقتراح : استنتج أولا المعادلات  $u_x = u$  ،  $v_x = v$  ثم اثبت أنه يوجد دوال حقيقية  $\phi$  ،  $\psi$  للمتغير الحقيقي  $y$  بحيث  $u(x,y) = e^x \phi(y)$  ،  $v(x,y) = e^x \psi(y)$  . استخدم معادلتى كوشى - ريمان للحصول على المعادلة التفاضلية  $0 = \phi''(y) + \phi(y)$  التي حلها  $\phi(y) = a \cos y + b \sin y$  حيث  $a, b$  أعداد حقيقية . ثم اثبت أن  $\psi(y) = a \sin y - b \cos y$  . استخدم حقيقة أن  $u(x,0) + iv(x,0) = e^x$  لإيجاد قيم  $a, b$  .  
 ١٥ - عبر عن  $\text{Re}(e^{1/z})$  بدلالة  $x, y$  . لماذا تكون هذه الدالة توافقية في كل نطاق لا يحوى نقطة الأصل ؟  
 ١٦ - نفرض أن  $f(z) = u(x,y) + iv(x,y)$  دالة تحليلية في نطاق ما  $D$  . بين لماذا تكون الدوال  

$$U(x,y) = e^{u(x,y)} \cos [v(x,y)]$$
  

$$V(x,y) = e^{u(x,y)} \sin [v(x,y)]$$
  
 توافقية في النطاق  $D$  ، ولماذا تكون الدالة  $V(x,y)$  هي المرافق التوافقي للدالة  $U(x,y)$  .

### ٢٣ - الدوال المثلثية Trigonometric Functions

من المتطابقتين

$$e^{ix} = \cos x + i \sin x \quad \text{و} \quad e^{-ix} = \cos x - i \sin x$$

ينتج أن

$$\sin x = \frac{e^{ix} - e^{-ix}}{2i}, \quad \cos x = \frac{e^{ix} + e^{-ix}}{2}$$

لكل عدد حقيقي  $x$ . من هذا يبدو من الطبيعي أن تعرف دالتى الجيب وجيب التمام لتغير مركب  $z$  على النحو التالى

$$\sin z = \frac{e^{iz} - e^{-iz}}{2i}, \quad \cos z = \frac{e^{iz} + e^{-iz}}{2} \quad (1)$$

ويجب ملاحظة أن دالتى الجيب وجيب التمام تكونان شاملتين وذلك أن كلا منهما تكون ارتباطا خطيا في الدالتين الشاملتين  $e^{iz}, e^{-iz}$  (تمرين (٦) بند (٢٠)). من معرفتنا مشتقات الدوال الأسية الواردة في المعادلات (١)، فإنه يمكننا إثبات أن

$$\frac{d}{dz} \sin z = \cos z, \quad \frac{d}{dz} \cos z = -\sin z \quad (2)$$

الدوال المثلثية الأربعة الأخرى تعرف بدلالة دالتى الجيب وجيب التمام بالصورة المعتادة على النحو التالى :

$$\begin{aligned} \tan z &= \frac{\sin z}{\cos z}, & \cot z &= \frac{\cos z}{\sin z}, \\ \sec z &= \frac{1}{\cos z}, & \csc z &= \frac{1}{\sin z} \end{aligned} \quad (3)$$

ويجب ملاحظة أن كلا من الدالتين  $\tan z, \sec z$  تكون تحليلية في أى نطاق تكون فيه  $\cos z \neq 0$  ، كما أن كلا من الدالتين  $\cot z, \csc z$  تكون تحليلية في أى نطاق تكون فيه  $\sin z \neq 0$  . بأخذ مشتقة الطرف الأيمن لكل من المعادلات (٣) فإننا نحصل على المشتقات الأولى لبقية الدوال المثلثية على النحو التالى :

$$\frac{d}{dz} \tan z = \sec^2 z, \quad \frac{d}{dz} \cot z = -\csc^2 z, \quad (4)$$

$$\frac{d}{dz} \sec z = \sec z \tan z, \quad \frac{d}{dz} \csc z = -\csc z \cot z.$$

من تعريف الدالة  $\sin z$  ينتج أن

$$\begin{aligned} \sin z &= \frac{e^{i(x+iy)} - e^{-i(x+iy)}}{2i} = (\cos x + i \sin x) \frac{e^{-y}}{2i} - (\cos x - i \sin x) \frac{e^y}{2i} \\ &= \sin x \left( \frac{e^y + e^{-y}}{2} \right) + i \cos x \left( \frac{e^y - e^{-y}}{2} \right) \end{aligned}$$

حيث  $z = x + iy$  . وبالتالي يكون الجزآن الحقيقى والتخيل للدالة  $\sin z$  هما على الترتيب  $\sin x \cosh y, \cos x \sinh y$  ، أى أن

$$\sin z = \sin x \cosh y + i \cos x \sinh y \quad (5)$$

بإتباع نفس الأسلوب ، أو باستخدام المعادلة الأولى من المعادلات (٢) ، فإنه يمكننا إستنتاج أن :

$$\cos z = \cos x \cosh y - i \sin x \sinh y \quad (6)$$

من هاتين العلاقتين الأخيرتين يتضح لنا أن

$$\sin(iy) = i \sinh y, \quad \cos(iy) = \cosh y \quad (٧)$$

وأن  $\sin z, \cos z$  هما مرافقتا الدالتين  $\sin z, \cos z$  على الترتيب ، أى أن

$$\sin \bar{z} = \overline{\sin z}, \quad \cos \bar{z} = \overline{\cos z}$$

ويجب ملاحظة أن كون كل من  $\sin z, \cos z$  دالة دورية يتضح من المعادلات (٥) ، (٦)

$$\sin(z + 2\pi) = \sin z, \quad \sin(z + \pi) = -\sin z, \quad (٨)$$

$$\cos(z + 2\pi) = \cos z, \quad \cos(z + \pi) = -\cos z \quad (٩)$$

كذلك فإن كون كل من الدوال المثلثية المتبقية دورية يتبع مباشرة من المتطابقات (٨) ،

(٩) . فعلى سبيل المثال

$$\tan(z + \pi) = \tan z \quad (١٠)$$

#### ٢٤ - خواص أخرى للدوال المثلثية

باستخدام المتطابقتين (١) أو المتطابقتين (٥) ، (٦) من البند السابق يمكن للقارئ

بسهولة إثبات أن

$$|\sin z|^2 = \sin^2 x + \sinh^2 y, \quad (١)$$

$$|\cos z|^2 = \cos^2 x + \sinh^2 y. \quad (٢)$$

من هاتين العلاقتين يتضح لنا أن مقياس كل من الدالتين  $\sin z, \cos z$  ليس محدودا بينما تكون القيمة المطلقة لكل من الدالتين  $\sin x, \cos x$  ، حيث  $x$  متغير حقيقي ، أصغر من أو تساوى ١ .

ويجدر بنا الإشارة إلى أن المتطابقات المثلثية المألوفة تتحقق كذلك للدوال المثلثية ذات

المتغير المركب :

$$\sin^2 z + \cos^2 z = 1, \quad (٣)$$

$$\sin(z_1 + z_2) = \sin z_1 \cos z_2 + \cos z_1 \sin z_2, \quad (٤)$$

$$\cos(z_1 + z_2) = \cos z_1 \cos z_2 - \sin z_1 \sin z_2, \quad (٥)$$

$$\sin(-z) = -\sin z, \quad \cos(-z) = \cos z, \quad (٦)$$

$$\sin\left(\frac{\pi}{2} - z\right) = \cos z, \quad (٧)$$

$$\sin 2z = 2 \sin z \cos z, \quad \cos 2z = \cos^2 z - \sin^2 z,$$

إلخ . واستتاج هذه المتطابقات يمكن أن يبنى كلية على خصائص الدالة الأسية .

يقال لقيمة معينة للمتغير المركب  $z$  أنها قيمة صفرية (أو صفر) zero لدالة معطاة  $f$  إذا كان  $f(z) = 0$ . والقيم الصفرية للدالتى الجيب وجيب التمام تكون كلها حقيقية. وفي الحقيقة فإن

$$\sin z = 0 \iff z = n\pi \quad (n = 0, \pm 1, \pm 2, \dots) \quad (9)$$

$$\cos z = 0 \iff z = (n + \frac{1}{2})\pi \quad (n = 0, \pm 1, \pm 2, \dots) \quad (10)$$

وإثبات صحة (9) سنفرض أولاً أن  $\sin z = 0$ . من العلاقة (1) ينتج أن

$$\sin^2 x + \sinh^2 y = 0$$

وبالتالى فإن  $x, y$  لا بد وأن يحققا المعادلتين

$$\sin x = 0 \quad , \quad \sinh y = 0$$

من المعلوم أن قيم  $x, y$  التى تحقق هاتين المعادلتين هي  $x = n\pi$  حيث  $n = 0, \pm 1, \pm 2, \dots$  ،  $y = 0$  ، أى أن  $z = n\pi$  وبالعكس إذا كانت  $z = n\pi$  ، حيث  $n$  عدد صحيح ، فإنه ينتج بسهولة أن  $\sin z = 0$ . بهذا نكون قد أثبتنا صحة التقرير (9). ويمكن بإتباع نفس الأسلوب إثبات صحة التقرير (10).

من (10) يتضح لنا أن النقط  $z = (n + \frac{1}{2})\pi$  ( $n = 0, \pm 1, \pm 2, \dots$ ) هي النقط الشاذة الوحيدة للدالة  $\tan z$  (أى أن  $\tan z$  تكون تحليلية فيما عدا ذلك).

## تمارين

- ١ - اثبت أن  $e^{iz} = \cos z + i \sin z$  لأي عدد مركب  $z$ .
- ٢ - استنتج صيغ التفاضل (٤) من بند (٢٣).
- ٣ - استنتج صيغتي (٦) ، (٧) من بند (٢٣).
- ٤ - استنتج المطابقة (١) من بند (٢٤) ومن ثم إثبت أن  $|\sinh y| \leq |\sin z| \leq \cosh y$
- ٥ - استنتج المطابقة (٢) من بند (٢٤) ومن ثم إثبت أن  $|\sinh y| \leq |\cos z| \leq \cosh y$
- ٦ - اثبت أن  $|\cos z| \geq |\cos x|$  ،  $|\sin z| \geq |\sin x|$
- ٧ - استنتج صحة متطابقتي (٣) ، (٤) من بند (٢٤).
- ٨ - اثبت أن  $1 + \cot^2 z = \csc^2 z$  (ب) ؛  $1 + \tan^2 z = \sec^2 z$  (د)
- ٩ - إثبت صحة كل من المطابقات الآتية :  
 $2 \sin (z_1 + z_2) \sin (z_1 - z_2) = \cos 2z_2 - \cos 2z_1$  (ب)  
 $2 \cos (z_1 + z_2) \sin (z_1 - z_2) = \sin 2z_1 - \sin 2z_2$  (ب)
- ١٠ - إثبت أن  $\cos(i\bar{z}) = \overline{\cos(iz)}$  لكل عدد مركب  $z$  ، أن  $\sin(i\bar{z}) = \overline{\sin(iz)}$  إذا وفقط إذا كان  $z = n\pi i$  حيث  $n = 0, \pm 1, \pm 2, \dots$
- ١١ - إثبت صحة التقرير (١٠) من بند (٢٤).



١٢ - باستخدام المتطابقة (أ) من تمرين (٩) إثبت أنه إذا كان  $\cos z_1 = \cos z_2$  فإنه إما أن يكون  $z_1 + z_2$  أو  $z_1 - z_2$  مضاعف صحيح للمقدار  $2\pi$ . استنتج النتيجة المناظرة عندما  $\sin z_1 = \sin z_2$

١٣ - أوجد جميع جذور المعادلة  $\sin z = \cosh 4$  وذلك بمساواة الأجزاء الحقيقية والأجزاء التخيلية للدالتين  $\sin z, \cosh 4$ .

الإجابة :  $(2n + \frac{1}{2})\pi \pm 4i$  حيث  $n = 0, \pm 1, \pm 2, \dots$

١٤ - أوجد جميع جذور المعادلة  $\cos z = 2$ .

الإجابة :  $2n\pi + i \cosh^{-1} 2$  ، أى  $(2n + i \text{Log}(2 + \sqrt{3}))$  حيث  $n = 0, \pm 1, \pm 2, \dots$

١٥ - بين بطريقتين أن كل من الدوال الآتية تكون توافقية دائماً :

$$\cos 2x \sinh 2y \quad ; \quad \sin x \sinh y \quad (ب)$$

١٦ - نفرض أن دالة تحليلية في نطاق ما  $D$ . اذكر لماذا تكون الدالتان  $\sin f(z), \cos f(z)$  تحليليتان في نفس النطاق  $D$ . كذلك ، اكتب  $w = f(z)$  واذكر لماذا يكون

$$\frac{d}{dz} \sin f(z) = \cos w \frac{dw}{dz}, \quad \frac{d}{dz} \cos f(z) = -\sin w \frac{dw}{dz}$$

١٧ - اثبت أن أى من الدالتين  $\cos \bar{z}, \sin \bar{z}$  لا تكون تحليلية عند أى نقطة .

## ٢٥ - الدوال الزائدية Hyperbolic Functions

تعرف دالتى الجيب الزائدى وجيب التمام الزائدى لمتغير مركب كنظير تيهما في حالة المتغير الحقيقي ، أى أن

$$\sinh z = \frac{e^z - e^{-z}}{2}, \quad \cosh z = \frac{e^z + e^{-z}}{2} \quad (١)$$

وتعرف دالة الظل الزائدى لمتغير مركب  $z$  بالمعادلة

$$\tanh z = \frac{\sinh z}{\cosh z}$$

ومن ثم تعرف الدوال  $\coth z, \operatorname{sech} z, \operatorname{csch} z$  على أنها مقلوبات الدوال  $\cosh z, \sinh z$  ،  $\tanh z$  على الترتيب .

حيث أن كلا من الدالتين  $e^z, e^{-z}$  دالة شاملة ، فإنه ينتج من تعريف (١) أله كلا من دالتى الجيب الزائدى وجيب التمام الزائدى دالة شاملة . الدالة  $\tanh z$  تكون تحليلية في كل نطاق تكون فيه  $\cosh z \neq 0$ .

ويمكن بسهولة استنباط قواعد جبر ومشتقات الدوال الزائدية من التعريفات المذكورة أعلاه . فبالنسبة لصيغ المشتقات الأولى نجد أنها تماثل نظيراتها في حالة المتغير الحقيقي ، أى أن

$$\frac{d}{dz} \sinh z = \cosh z, \quad \frac{d}{dz} \cosh z = \sinh z, \quad (٢)$$

$$\frac{d}{dz} \tanh z = \operatorname{sech}^2 z, \quad \frac{d}{dz} \coth z = -\operatorname{csch}^2 z, \quad (٣)$$

$$\frac{d}{dz} \operatorname{sech} z = -\operatorname{sech} z \tanh z, \quad \frac{d}{dz} \operatorname{csch} z = -\operatorname{csch} z \coth z \quad (٤)$$

فيما يلي سنذكر بعض المتطابقات التي تستخدم عادة

$$\cosh^2 z - \sinh^2 z = 1 \quad (٥)$$

$$\sinh(z_1 + z_2) = \sinh z_1 \cosh z_2 + \cosh z_1 \sinh z_2 \quad (٦)$$

$$\cosh(z_1 + z_2) = \cosh z_1 \cosh z_2 + \sinh z_1 \sinh z_2 \quad (٧)$$

$$\sinh(-z) = -\sinh z, \quad \cosh(-z) = \cosh z. \quad (٨)$$

ومن البديهي أن تكون الدوال الزائدية وثيقة الصلة بالدوال المثلثية المعروفة في بند (٢٣). وفي الحقيقة فإنه إذا ماتذكرنا كيف أن هذه الدوال كلها قد تم تعريفها باستخدام الدالة الأسية لوجدنا العلاقات التالية :

$$\sinh(iz) = i \sin z, \quad \cosh(iz) = \cos z \quad (٩)$$

$$\sin(iz) = i \sinh z, \quad \cos(iz) = \cosh z. \quad (١٠)$$

والأجزاء الحقيقية والتخيلية لدالتى الجيب الزائدى وجيب التمام الزائدى يمكن تعيينها بسهولة من المتطابقتين

$$\sinh z = \sinh x \cos y + i \cosh x \sin y, \quad (١١)$$

$$\cosh z = \cosh x \cos y + i \sinh x \sin y, \quad (١٢)$$

حيث  $z = x + iy$ . ويمكن للقارىء بسهولة أن يستنبط المتطابقتين

$$|\sinh z|^2 = \sinh^2 x + \sin^2 y, \quad (١٣)$$

$$|\cosh z|^2 = \sinh^2 x + \cos^2 y \quad (١٤)$$

بعده طرق.

ويجب ملاحظة أن كلا من دالتى الجيب الزائدى وجيب التمام الزائدى تكون دورية ودورتها  $2\pi i$ ، كما أن دالة الظل الزائدى تكون دورية ودورتها  $\pi i$ . كذلك فإن  $\sinh z = 0$  عندما  $z = n\pi i$ ،  $\cosh z = 0$  عندما  $z = (n + \frac{1}{2})\pi i$  حيث  $n$  عدد صحيح. وفي الحقيقة فإن هذه هى الأصفار الوحيدة للدالتين  $\sinh z$ ،  $\cosh z$  (انظر معادلتى (٩)، (١٠) أعلاه).

## تمارين

- ١ - إستنتج صيغ التفاضل (٢)، (٤) من بند (٢٥).
- ٢ - اثبت صحة المتطابقتين (٥)، (٧) من بند (٢٥).
- ٣ - اكتب  $\cosh z = \cosh(x + iy)$ ،  $\sinh z = \sinh(x + iy)$  ثم بين كيف أن المتطابقتين (١١)، (١٢) من بند (٢٥) تنتج مباشرة من المتطابقات (٦)، (٧)، (٩) من نفس البند.

- ٤ - اثبت صحة المتطابقة (١٤) من بند (٢٥) ثم بين أن  $|\sinh x| \leq |\cosh z| \leq \cosh x$ .
- ٥ - إثبت أن  $\sinh(z + \pi i) = -\sinh z$ ,  $\cosh(z + \pi i) = -\cosh z$  . استخدم ذلك لإثبات أن  $\tanh(z + \pi i) = \tanh z$ .
- ٦ - إثبت أن  $\sinh 2z = 2 \sinh z \cosh z$ .
- ٧ - باستخدام التقارير (٩)، (١٠) من بند (٢٤) مع العلاقات (١٠) من بند (٢٥) إوجد جميع أصفار كل من الدالتين  $\sinh z$ ,  $\cosh z$ .
- ٨ - باستخدام النتائج التي سبق الحصول عليها في تمرين (٧)، عين كل القيم الصفرية والنقط الشاذة لدالة الظل الزائدى.
- ٩ - عين جميع جذور كل من المعادلات التالية  
 $\cosh z = -2$  (أ) ؛  $\sinh z = i$  (ب) ؛  $\cosh z = 1/2$  (ج)
- الأجوبة: (أ)  $(2n \pm \frac{1}{2})\pi i$  (ب)  $(2n + \frac{1}{2})\pi i$  ( $n = 0, \pm 1, \pm 2, \dots$ )
- ١٠ - لماذا تكون الدالة  $\sinh(e^z)$  شاملة؟ عبر عن الجزء الحقيقى لهذه الدالة كدالة في  $x, y$  ومن ثم وضع لماذا تكون هذه الدالة توافقية عند جميع النقط.

## ٢٦ - الدالة اللوغاريتمية The Logarithmic Function

سنفترض أن  $\text{Logr}$  ترمز للوغاريتم الطبيعي للعدد الحقيقى الموجب  $r$  كما هو معرف فيما سبق عند دراستك للمتغير الحقيقى. الدالة اللوغاريتمية للمتغير المركب  $z$  تعرف بالمعادلة

$$\log z = \text{Log } r + i\theta \quad (1)$$

حيث  $r = |z|$ ،  $\theta = \arg z$ ، ويجب ملاحظة أن هذه الدالة متعددة القيم **Multiple valued**، ومعرفة لجميع الأعداد المركبة الغير صفرية.

والتعريف (١) طبيعى، بمعنى أنه يتضح لأول وهلة حال كتابتنا  $z = re^{i\theta}$  واستخدام الخصائص المألوفة للوغاريتم الطبيعى التى مرت بنا وذلك لكتابة مفكوك  $\log(re^{i\theta})$

إذا كانت  $\Theta$  ترمز للقيمة الأساسية لسعة العدد المركب  $z$  ( $-\pi < \Theta \leq \pi$ ) فمن الممكن أن نكتب ( $n = 0, \pm 1, \pm 2, \dots$ ) ،  $\theta = \Theta + 2n\pi$

وبالتالى فإن الصيغة (١) تأخذ الصورة

$$\log z = \text{Log } r + i(\Theta + 2n\pi) \quad (n = 0, \pm 1, \pm 2, \dots) \quad (2)$$

ويجب ملاحظة أنه لعدد مركب معين  $z$ ، فى نطاق تعريف الدالة  $\log$ ، تكون قيم  $\log z$  لها نفس الأجزاء الحقيقية ولكن أجزائها التخيلية تختلف عن بعضها بمضاعفات صحيحة للمقدار  $2\pi$ .

القيمة الأساسية Principal value للوغاريتم  $\log z$  تعرف على أنها القيمة التي نحصل عليها من الصيغة (٢) عندما تكون  $n=0$ . وسنرمز لهذه القيمة بالرمز  $\text{Log } z$ ، أى أن

$$\text{Log } z = \text{Log } r + i\Theta \quad , \quad (r > 0, -\pi < \Theta \leq \pi) \quad (٣)$$

الراسم  $w = \text{Log } z$  وحيد القيمة ونطاق تعريفه فئة كل الأعداد المركبة الغير صفرية ومداه الشريحة  $-\pi < \text{Im } w \leq \pi$

ويجب ملاحظة أن  $\text{Log } z$  تؤول إلى اللوغاريتم الطبيعي المألوف للمتغير الحقيقي عندما نقصر نطاق تعريفها على الجزء الموجب من المحور الحقيقي. وذلك لأنه إذا كانت  $z$  هى العدد الحقيقي الموجب  $r$  فإن  $|z| = r$   $\Theta = 0$  وبالتالي فإن معادلة (٣) تصبح  $\text{Log } z = \text{Log } r$

رأينا من قبل فى بند (٢٢) مع إحلال كل من  $z, w$  مكان الآخريه أن المعادلة  $z = e^w$  تعين تناظر أحادى بين النقط الغير صفرية فى المستوى  $z$  والنقط التى تنتمى للشريحة  $-\pi < \text{Im } w \leq \pi$  فى المستوى  $w$ . النقطة  $z = r \exp(i\Theta)$  فى المستوى  $z$  تناظر النقطة  $w = \text{Log } r + i\Theta$  فى المستوى  $w$ . وبالتالى، فعندما نقصر نطاق تعريف الدالة  $e^w$  على الشريحة  $-\pi < \text{Im } w \leq \pi$  فإن معكوس الدالة  $e^w$  هو الدالة اللوغاريتمية الأساسية  $\text{Log } z$ . أى أن

$$w = \text{Log } z \quad \iff \quad z = e^w$$

الراسم  $z = e^w$  يعين كذلك تناظراً أحادياً بين النقط الغير صفرية فى المستوى  $z$  ونقط المستوى  $w$  التى تقع فى الشريحة  $(2k+1)\pi < \text{Im } w \leq (2k-1)\pi$ ، حيث  $k$  عدد صحيح معين. وعندما نقصر نطاق تعريف الدالة  $e^w$  على هذه الشريحة فإن الدالة العكسية نحصل عليها من المعادلة (٢) بوضع  $n=k$ .

## ٢٧ - فروع Branches الدالة $\log z$

الدالة

$$\text{Log } z = \text{Log } r + i\Theta \quad , \quad (r > 0, -\pi < \Theta \leq \pi) \quad (١)$$

تكون متصلة فى النطاق  $r > 0$  ،  $-\pi < \Theta < \pi$  وهذا ينتج مباشرة باعتبار مركبتها

$$u(r, \Theta) = \text{Log } r \quad \text{و} \quad v(r, \Theta) = \Theta \quad (٢)$$

كل من الدالتين  $v(r, \Theta)$  ،  $u(r, \Theta)$ ، وبالتالى الدالة  $\text{Log } z$ ، تكون متصلة فى النطاق المعطى. وحقيقة أن هذا هو أكبر نطاق ممكن تكون فيه الدالة  $\text{Log } z$  متصلة تتضح من حقيقة أن الدالة  $u$  غير معرفة عند نقطة الأصل ابتداءً وكذلك من حقيقة أن قيمة الدالة

$v$  عند أى نقطة على الجزء السالب من المحور الحقيقي تساوى دائماً  $\pi$  بينما توجد نقط في كل جوار لهذه النقطة تكون عندها قيمة الدالة  $v$  قريبة جداً من  $-\pi$ .

الدالتين  $u, v$  ( مركبتى الدالة  $\text{Log } z$  ) لهما مشتقات جزئية أولى متصلة بالنسبة إلى  $r, \theta$  في النطاق  $-\pi < \theta < \pi, r > 0$ ، وهذه المشتقات الجزئية تحقق الصورة القطبية (٢)، من بند (١٨)، لمعادلتى كوشي - ريمان عند كل نقطة في هذا النطاق. من هذا نستنتج باستخدام النظرية المعطاة في بند (١٨)، أن الدالة  $\text{Log } z$  تحليلية في النطاق

$-\pi < \theta < \pi, r > 0$ ، بالإضافة إلى هذا، إذا كان  $z = re^{i\theta}$  فإن

$$\frac{d}{dz} \text{Log } z = e^{-i\theta} \left( \frac{1}{r} + i0 \right) = \frac{1}{re^{i\theta}}$$

أى أن

$$\frac{d}{dz} \text{Log } z = \frac{1}{z} \quad (|z| > 0, -\pi < \text{Arg } z < \pi) \quad (٣)$$

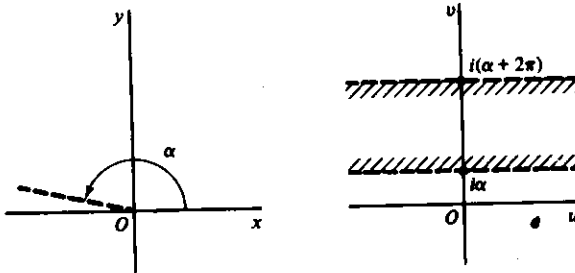
حيث أن الدالة  $\text{Log } z$  ليست متصلة عند نقطة الأصل وكذلك على الجزء السالب من المحور الحقيقي، فإنها لا يمكن أن تكون قابلة للتفاضل هناك.

وعادة تستخدم  $\text{Log } z$  لتعبر عن كل من القيمة الأساسية للدالة  $\log z$  ( كما في المعادلة (١) وكذلك الدالة التحليلية التى نحصل عليها بأن نقصر الدالة  $\text{Log } z$  على النطاق  $-\pi < \theta < \pi, r > 0$ ، وسيتضح من سياق الحديث دائماً ماذا تعنى  $\text{Log } z$ ، أى أن أى اختيار خاص آخر لنطاق تعريف  $\text{Log } z$  سيكون واضحاً من السياق الخاص بها.

إذا قصرنا قيم  $\theta$  في تعريف (١) من البند السابق بحيث  $\alpha < \theta < \alpha + 2\pi$ ، حيث  $\alpha$  قيمة ثابتة اختيارية، فإن الدالة

$$\log z = \text{Log } r + i\theta \quad , \quad (r > 0, \alpha < \theta < \alpha + 2\pi) \quad (٤)$$

تكون وحيدة القيمة ومتصلة في النطاق المعطى. إذا كانت  $w = \log z$  فإن مدى هذه الدالة يكون الشريحة الأفقية  $\alpha < \text{Im } w < \alpha + 2\pi$  (شكل (١٩))



شكل (١٩)

ويجب ملاحظة أنه ، عند كل نقطة من نقاط نطاق تعريف الدالة (٤) ، يكون لمركبتها مشتقات جزئية أولى متصلة بالنسبة للمتغيرين  $\theta$  و  $r$  ، كما أن هذه المشتقات الجزئية تحقق ، عند كل نقطة من نقاط تعريف الدالة (٤) ، الصورة القطبية لمعادلتى كوشى - ريمان . وبالتالي فإن الدالة  $\log z$  ، كما هي معرفة بالمعادلة (٤) ، تكون تحليلية عند كل نقطة من نقاط نطاق تعريفها ، أن

$$\frac{d}{dz} \log z = \frac{1}{z} \quad (|z| > 0, \alpha < \arg z < \alpha + 2\pi) \quad (٥)$$

يقال لدالة وحيدة القيمة  $F$  أنها فرع **Branch** من دالة متعددة القيم  $f$  إذا كانت  $F$  تحليلية في نطاق ما وكانت  $F(z)$  ، لكل  $z$  في هذا النطاق ، هي إحدى قيم  $f(z)$  .

من هذا يتضح لنا أن الدالة  $\text{Log } z$  المعرفة على النطاق  $0 < \theta < \pi, -\pi < r > 0$  تكون فرعاً من الدالة اللوغاريتمية (١) المعرفة في البند السابق . هذا الفرع يسمى **الفرع الأساسي Principal branch** للدالة اللوغاريتمية . الدالة (٤) تكون فرعاً من نفس الدالة اللوغاريتمية المتعددة القيم .

كل نقطة من نقط الجزء السالب من المحور الحقيقي  $\theta = \pi$  وكذلك نقطة الأصل هي نقطة شاذة للفرع الرئيسى للدالة  $\text{Log } z$  ، وذلك حسب تعريفنا للنقطة الشاذة بند (١٩) . الشعاع  $\theta = \pi$  يسمى **الفرع القاطع The branch cut** للفرع الأساسي . الخط المستقيم أو المنحنى المكون من نقط شاذة والذي نستخدمه عند تحديد فرع ما لدالة متعددة القيم يسمى فرعاً قاطعاً **Branch cut** . فمثلاً الشعاع  $\theta = \alpha$  هو فرع قاطع للفرع (٤) من الدالة اللوغاريتمية ، والنقطة الشاذة  $z = 0$  المشتركة لجميع الأفرع القاطعة لهذه الدالة المتعددة القيم تسمى **نقطة تفرع Branch point** لهذه الدالة .

## ٢٨ - خواص أخرى للوغاريتمات Further Properties of Logarithms

يمكن تعميم العديد من خواص اللوغاريتمات التي مرت بنا عند دراستنا للمتغير الحقيقي ، وذلك بعد إجراء بعض التعديلات البسيطة .

سنقوم أولاً بإثبات صحة المتطابقة

$$e^{\log z} = z \quad (z \neq 0) \quad (١)$$

وهذا يعنى أنه أيا كانت القيمة التي نختارها للدالة  $\log z$  فإن العدد  $e^{\log z}$  سيكون دائماً هو  $z$ . لإثبات ذلك سنكتب  $\log z = \text{Log } r + i\theta$ ,  $z = re^{i\theta}$  حيث  $\theta$  إحدى قيم  $\arg z$  وحيث أن دالة  $e$  وحيدة القيمة إذن

$$e^{\log z} = e^{\text{Log } r + i\theta} = e^{\text{Log } r} e^{i\theta} = r e^{i\theta} = z$$

ولكن يجب ملاحظة أنه ليس من الصحيح أن  $\log e^z$  تساوى دائماً  $z$ . وهذا واضح من حقيقة أن  $\log e^z$  تكون متعددة القيم. وفي الحقيقة، فإذا كانت  $z = x + iy$ ، فإن

$$\begin{aligned} \log e^z &= \text{Log } |e^z| + i \arg e^z = x + i(y + 2n\pi) \\ &= z + 2n\pi \end{aligned} \quad (2) \quad (n = 0, \pm 1, \pm 2, \dots)$$

نفرض أن  $z_1, z_2$  عدان مركبان غير صفرين،

$$z_1 = r_1 \exp(i\theta_1), \quad z_2 = r_2 \exp(i\theta_2) \quad \text{حيث}$$

من السهل إثبات أن

$$\log(z_1 z_2) = \log z_1 + \log z_2 \quad (3)$$

وهذا بطبيعة الحال يعنى أن أى قيمة للدالة  $\log(z_1 z_2)$  يمكن التعبير عنها كمجموع قيمة ما للدالة  $\log z_1$  وقيمة أخرى للدالة  $\log z_2$ ، وبالعكس فإن مجموع أى قيمة للدالة  $\log z_1$  وأى قيمة للدالة  $\log z_2$  يكون قيمة للدالة  $\log(z_1 z_2)$ . وإثبات التقرير (3) ينتج مباشرة من حقيقة أن  $\text{Log}(r_1 r_2) = \text{Log } r_1 + \text{Log } r_2$  وحقيقة أن  $\arg(z_1 z_2) = \arg z_1 + \arg z_2$  كما سبق أن أوضحنا في بند (5).

بالمثل يمكن إثبات أن

$$\log \frac{z_1}{z_2} = \log z_1 - \log z_2 \quad (4)$$

ولتوضيح التقرير (3)، دعنا نكتب

$$z_1 = z_2 = -1, \quad \log(z_1 z_2) = \log 1 = 0.$$

المعادلة (3) تتحقق عندما  $\log z_1 = \pi i$ ،  $\log z_2 = -\pi i$  ولكنها لا تتحقق، على سبيل المثال، عندما تكون  $\log z_1 = \log z_2 = \pi i$ . من هذا يتضح لنا أن التقرير (3)، وكذلك التقرير (4)، ليسا صحيحين بصفة عامة إذا وضعنا  $\text{Log } z$  بدلا من  $\log z$ .

نفرض أن  $z = r \exp(i\theta)$  عدد مركب غير صفري، حيث  $\theta$  ترمز للقيمة الأساسية لسعة العدد  $z$ ، ونفرض أن  $n$  أى عدد صحيح موجب. إذا ما أخذنا في اعتبارنا المعادلة التي تعطى الجذور النونية لعدد مركب غير صفري (بند (6)) وتعريف الدالة اللوغاريتمية المتعددة القيم، فإننا نجد أن

$$\begin{aligned} \log(z^{1/n}) &= \log \left[ \sqrt[n]{r} \exp \frac{i(\Theta + 2k\pi)}{n} \right] \\ &= \log \sqrt[n]{r} + i \left( \frac{\Theta + 2k\pi}{n} + 2p\pi \right) \\ &= \frac{1}{n} \text{Log } r + i \frac{\Theta + 2(pn + k)\pi}{n} \end{aligned}$$

حيث  $k$  أى عدد صحيح بحيث  $n-1 \geq k \geq 0$  أى عدد صحيح . من ناحية أخرى ،

$$\frac{1}{n} \log z = \frac{1}{n} \text{Log } r + i \frac{\Theta + 2q\pi}{n}$$

حيث  $q$  أى عدد صحيح . من البديهي ان أى قيمة من قيم  $\log(z^{1/n})$  تكون قيمة من قيم  $(1/n) \log z$  . لإثبات العكس ، تذكر أن باقى قسمة أى عدد صحيح على عدد

صحيح موجب  $n$  يكون دائماً عدداً صحيحاً  $k$  بحيث  $0 \leq k \leq n-1$  ، أى أنه لكل عدد

صحيح  $q$  يوجد عدد صحيح  $p$  وعدد صحيح  $k$  ،  $n-1 \geq k \geq 0$  بحيث  $q = pn + k$  . من هذا ينتج أن

$$\log(z^{1/n}) = \frac{1}{n} \log z \quad (n = 1, 2, \dots) \quad (5)$$

مع مراعاة أنه لقيمة معينة من قيم  $\log(z^{1/n})$  فإن القيمة المناظر الملائمة من قيم  $\log z$  للطرف الأيمن يجب اختيارها ، وبالعكس .

ويجب ملاحظة أن العلاقة (5) والخاصية (1) تؤديان معا إلى العلاقة

$$z^{1/n} = \exp \left( \frac{1}{n} \log z \right) \quad (6)$$

ولقيمة معينة ثابتة  $z$  فإن الطرف الأيمن للعلاقة (6) يكون له  $n$  فقط من القيم المختلفة وهذه القيم هى قيم  $z^{1/n}$  .

ولكى نوضح أكثر كيف تفسر تقارير تشتمل على دوال لوغاريتمية متعددة القيم

( كالتقرير (5) مثلاً ) على أنها علاقات تساوى فئات فإنه يجب ملاحظة أن

$$\log(z^n) \neq n \log z \quad (n = 1, 2, \dots)$$

بصفة عامة . فمثلاً فى الحالة الخاصة التى تكون فيها  $z = i, n = 2$  نجد أن قيم  $\log(i^2)$  هى

الأعداد  $(2k+1)\pi i$  حيث  $k = 0, \pm 1, \pm 2, \dots$  بينما تكون قيم  $2 \log i$  هى الأعداد

$(4k+1)\pi i$  حيث  $k = 0, \pm 1, \pm 2, \dots$  وبالتالي فإن فئة قيم  $\log(i^2)$  لا تساوى فئة قيم

$$2 \log i \text{ وبالتالى فإن } \log(i^2) \neq 2 \log i$$

والتقرير  $\log z^n = n \log z$  قد يكون أولاً يكون صحيحاً لقيم معينة للمتغير المركب  $z$

والاس  $n$  وذلك عند إحلال الدالة اللوغاريتمية المتعددة القيم بأحد الفروع الوحيدة

القيمة للدالة . فمثلاً ، نلاحظ أن  $\text{Log}[(1+i)^2] = 2 \text{Log}(1+i)$

$$\cdot \text{Log}[(-1+i)^2] \neq 2 \text{Log}(-1+i)$$



## تارين

١ - اثبت أن

$$\text{Log}(1-i) = \frac{1}{2} \text{Log} 2 - (\pi/4)i \quad (\text{ب}) \quad ; \quad \text{Log}(-ei) = 1 - (\pi/2)i \quad (\text{أ})$$

٢ - اثبت أنه عندما تكون  $n = 0, \pm 1, \pm 2, \dots$  فإن

$$\log(-1) = (2n+1)\pi i \quad (\text{ب}) \quad ; \quad \log 1 = 2n\pi i \quad (\text{أ})$$

$$\log(i^{1/2}) = (n + \frac{1}{2})\pi i \quad (\text{د}) \quad ; \quad \log i = (2n + \frac{1}{2})\pi i \quad (\text{ج})$$

٣ - أوجد جميع جذور المعادلة  $\log z = (\pi/2)i$  الإجابة :  $z = i$ 

٤ - أوجد جميع جذور المعادلة

$$z = \text{Log} 3 + (2n+1)\pi i \quad \text{حيث} \quad n = 0, \pm 1, \pm 2, \dots$$

٥ - اثبت صحة العلاقة (٤) من بند (٢٨)

٦ - باختيار قيم غير صفرية محددة للعدد  $z_1, z_2$ ، اثبت أن العلاقة (٤) من بند (٢٨)لا تكون دائماً صحيحة إذا وضعنا  $\text{Log}$  بدلاً من  $\log$ .٧ - إذا كان  $\text{Re } z_1 > 0$  و  $\text{Re } z_2 > 0$  فاثبت أن

$$\text{Log}(z_1 z_2) = \text{Log } z_1 + \text{Log } z_2$$

٨ - اثبت أنه إذا كان  $z = re^{i\theta}$  فإن

$$\text{Log}(z^2) = 2 \text{Log } z \quad (r > 0, -\pi/2 < \theta < \pi/2).$$

٩ - اثبت أن (أ) إذا كان

$$\log z = \text{Log } r + i\theta \quad , \quad (r > 0, \pi/4 < \theta < 9\pi/4)$$

$$\log(i^2) = 2 \log i \quad \text{فإن}$$

(ب) إذا كان

$$\log z = \text{Log } r + i\theta \quad , \quad (r > 0, 3\pi/4 < \theta < 11\pi/4)$$

$$\log(i^2) \neq 2 \log i \quad \text{فإن}$$

١٠ - اثبت أنه إذا كان  $z$  أى عدد مركب غير صفرى فإن

$$z^n = \exp(n \log z) \quad , \quad (n = 1, 2, \dots)$$

في بند (٦) قمنا بكتابة  $z^n = (z^{-1})^{-n}$ ،  $z^0 = 1$ ، عندما تكون  $n = -1, -2, \dots$  استخدم ذلكلإثبات أن العلاقة  $z^n = \exp(n \log z)$  تكون صحيحة عندما  $n = 0, \pm 1, \pm 2, \dots$ .١١ - اثبت أنه لكل نقطة  $z$  من نقط نصف المستوى الأيمن  $x > 0$  يمكن كتابة الدالة  $\text{Log } z$ 

على الصورة

$$\text{Log } z = \frac{1}{2} \text{Log}(x^2 + y^2) + i \arctan \frac{y}{x}$$

حيث  $-\pi/2 < \arctan t < \pi/2$  - استخدم هذه الصورة للدالة  $\text{Log } z$  والنظرية المعطاة في بند (١٧) لاعطاء برهان آخر للتقرير « الفرع الرئيسى للدالة  $\text{Log } z$  يكون تحليليا في النطاق  $x > 0$  » وإثبات أن المعادلة (٣) من بند (٢٧) تكون صحيحة في هذا النطاق . لكن يجب ملاحظة أنه ستظهر بعض الصعوبات التي تتعلق بمعكوس دالة الظل ومشتقتها الأولى في الجزء الباقي من النطاق  $-\pi < \theta < \pi$  ،  $r > 0$  ، الذى تكون فيه الدالة  $\text{Log } z$  تحليلية خاصة على الخط المستقيم  $x = 0$  .

١٢ - اثبت بطريقتين مختلفتين أن الدالة  $\text{Log}(x^2 + y^2)$  تكون توافقية في كل نطاق لا يحوى نقطة الأصل .

١٣ - اثبت أن (أ) الدالة  $\text{Log}(z-i)$  تكون تحليلية عند جميع النقط عدا نقط الشعاع  $x \leq 0, y = 1$  .  
(ب) الدالة

$$\frac{\text{Log}(z+4)}{z^2+i}$$

تكون تحليلية عند جميع النقط عدا النقط  $\pm(1-i)/\sqrt{2}$  ونقط الشعاع  $x \leq -4, y = 0$  .

١٤ - بكتابة  $z = r \exp(i\theta)$  اثبت أن  
 $\text{Re}[\log(z-1)] = \frac{1}{2} \text{Log}(1-2r \cos \theta + r^2)$   $(z \neq 1)$

لماذا لا بد وأن تحقق هذه الدالة معادلة لابلاس عندما  $z \neq 1$  ؟

## ٢٩ - الأسس المركبة Complex Exponents

العلاقة (٦) من البند السابق والتمرين (١٠) من نفس البند يوضحان لنا أنه يمكن تعريف  $z^c$  ، حيث  $z$  أى عدد مركب ، بالمعادلة

$$z^c = \exp(c \log z) \quad (z \neq 0) \quad (1)$$

ويجب ملاحظة أن الدالة الأسية المستخدمة في الطرف الأيمن من المعادلة (١) معرفة ، بطبيعة الحال ، وفقا للمعادلة (٤) من بند (٢١) وأن  $\log z$  هى الدالة اللوغاريتمية المتعددة القيم . التعريف (١) يكون إذن متآلفا بمعنى أنه يشمل كل الحالات الخاصة التي

سبق ذكرها عندما  $c = 1/n$  حيث  $n = 1, 2, \dots$  وعندما  $c = n$

حيث  $n = 0, \pm 1, \pm 2, \dots$

ويجب ملاحظة أن هذه القوى المركبة للعدد  $z$  تكون بصفة عامة متعددة القيم . مثال

ذلك

$$i^{-2i} = \exp(-2i \log i) = \exp\left[-2i\left(\frac{\pi}{2} + 2n\pi\right)i\right] \\ = \exp[(4n+1)\pi] \quad (n = 0, \pm 1, \pm 2, \dots)$$

ويجب ملاحظة أن ، وذلك باعتبار الخاصية  $e^{-z} = 1/e^z$  ، فتتى الأعداد  $z^{-c}$  ،  $1/z^c$  متساويتان . وبالتالي فإنه يمكننا كتابة

$$z^{-c} = \frac{1}{z^c} \quad (z \neq 0) \quad (2)$$

وهناك بعض الخواص الأخرى المألوفة للأسس التي تتحقق في حالة المتغير المركب كما تتحقق بالنسبة للمتغير الحقيقي . فمثلاً دعنا نفترض أن  $z = re^{i\theta}$  وأن  $\alpha$  عدد حقيقي .

$$\log z = \text{Log } r + i\theta \quad (r > 0, \alpha < \theta < \alpha + 2\pi) \quad (3)$$

تكون تحليلية ووحيدة القيمة في النطاق المعطى ، وهذا هو الحال كذلك بالنسبة للدالة المحصلة  $\exp(c \log z)$  من هذا نرى أن الدالة  $z^c$  المعرفة بالمعادلة (١) ، حيث  $\log z$  كما هي معطاة في (٣) ، تكون تحليلية ووحيدة القيمة في النطاق  $r > 0, \alpha < \theta < \alpha + 2\pi$  .

المشتقة الأولى لهذا الفرع من الدالة الأسية المتعددة القيم (١) يمكن التعبير عنها بدلالة

$$\frac{d}{dz} z^c = \frac{d}{dz} \exp(c \log z) = \exp(c \log z) \frac{c}{z}$$

$$= c \frac{\exp(c \log z)}{\exp(\log z)} = c \exp[(c-1) \log z].$$

وهذه الصورة الأخيرة ما هي إلا الدالة الوحيدة القيمة  $cz^{c-1}$  ، أى أن

$$\frac{d}{dz} z^c = cz^{c-1} \quad (|z| > 0, \alpha < \arg z < \alpha + 2\pi) \quad (4)$$

عندما تكون  $\alpha = -\pi$  ، وبالتالي  $-\pi < \arg z < \pi$  فإن الدالة

$$z^c = \exp(c \text{Log } z) \quad (z \neq 0) \quad (5)$$

تسمى الفرع الأساسى **Principal branch** للدالة الأسية المتعددة القيم (١) . وهذه الدالة

تحليلية ووحيدة القيمة في النطاق  $|z| > 0, -\pi < \text{Arg } z < \pi$  . وقيمة هذه الدالة عند أى

نقطة  $z_0$  في هذا النطاق تسمى القيمة الأساسية **Principal value** للدالة  $z^c$  عند النقطة  $z_0$

فمثلاً ، الفرع الرئيسى للدالة  $z^i$  يكون

$$z^i = \exp(i \text{Log } z) = \exp\left[i(\text{Log } r + i\theta)\right] \\ = \exp[i \text{Log } r - \theta]$$

حيث  $-\pi < \theta < \pi$  ،  $r > 0$  ، والقيمة الأساسية للدالة  $z^i$  عند  $z = -i$  هي

$$\exp[i \text{Log } (-i)] = \exp\left[i\left(-i\frac{\pi}{2}\right)\right] = \exp\frac{\pi}{2}$$

وكمثال آخر ، الفرع الرئيسى للدالة  $z^{2/3}$  وهو يكون

$$\exp\left(\frac{2}{3} \text{Log } z\right) = \exp\left(\frac{2}{3} \text{Log } r + \frac{2}{3} i\theta\right) = \sqrt[3]{r^2} \exp\left(i\frac{2}{3}\theta\right)$$

وهو يكون دالة تحليلية في النطاق  $r > 0, -\pi < \theta < \pi$  ( يمكن التحقق من هذا أيضاً

باستخدام النظرية المعطاة في بند (١٨) . )

لاحظ أنه عند وضع  $z=e$  في التعريف (١) فإن المقدار  $e^e$  الموجود على الجانب الأيسر يكون بصفة عامة متعدد القيم . ولكننا نحصل على التعريف المألوف للمقدار  $e^e$  عند اعتبار الفرع الرئيسي .

من تعريف (١) يمكننا القول أن الدالة الأسية للأساس  $c$  ، حيث  $c$  عدد مركب ثابت غير صفري ، هي الدالة

$$c^z = \exp(z \log c) \quad (c \neq 0) \quad (٦)$$

عند تحديد قيمة معينة للمقدار  $\log c$  فإن الدالة  $c^z$  تكون دالة شاملة للمتغير المركب  $z$  . من السهل التحقق من أن :

$$\frac{d}{dz} c^z = c^z \log c \quad (c \neq 0) \quad (٧)$$

### ٣٠ - الدوال المثلثية العكسية Inverse Trigonometric Functions

من الممكن دائماً أن نصف الدوال العكسية للدوال المثلثية والزائدية باستخدام الدالة اللوغاريتمية .

فمثلاً لتعريف معكوس دالة الجيب ( أى الدالة  $\sin^{-1}z$  ) فإننا نكتب  $w = \sin^{-1}z$  عندما تكون  $z = \sin w$  . أى أن  $w = \sin^{-1}z$  عندما

$$z = \frac{e^{iw} - e^{-iw}}{2i}$$

للتعبير عن  $w$  بدلالة  $z$  فإننا نعين أولاً  $e^{iw}$  وذلك بحل المعادلة

$$e^{2iw} - 2ize^{iw} - 1 = 0$$

وهذه معادلة من الدرجة الثانية في  $e^{iw}$  وحلها هو

$$e^{iw} = iz + (1 - z^2)^{1/2}$$

حيث  $(1-z^2)^{1/2}$  كما نعلم دالة ثنائية القيمة للمتغير المركب  $z$  . بأخذ لوغاريتم كل طرف ومراعاة أن  $w = \sin^{-1}z$  فإننا نحصل على :

$$\sin^{-1}z = -i \log [iz + (1 - z^2)^{1/2}] \quad (١)$$

ويجب ملاحظة أن الدالة  $\sin^{-1}z$  متعددة القيم وأن لها عدد لا نهائى من القيم عند كل نقطة  $z$  . وإذا استخدمنا فرعين محددتين أحدهما لدالة الجذر التربيعي والآخر للدالة اللوغاريتمية فإن  $\sin^{-1}z$  تصبح دالة تحليلية وحيدة القيمة وذلك لكونها محصلة دالتين تحليليتين

وباتباع نفس الأسلوب يمكننا كتابة معكوس دالة جيب التمام ومعكوس دالة الظل على الصورة

$$\cos^{-1} z = -i \log [z + i(1 - z^2)^{1/2}] \quad (٢)$$

$$\tan^{-1} z = \frac{i}{2} \log \frac{i+z}{i-z} \quad (٣)$$

ومن الممكن إيجاد المشتقات الأولى لهذه الدوال العكسية الثلاث من الصور المذكورة أعلاه مباشرة . فمثلا المشتقة الأولى لكل من الدالتين الأولتين تكون

$$\frac{d}{dz} \sin^{-1} z = \frac{1}{(1 - z^2)^{1/2}}; \quad \frac{d}{dz} \cos^{-1} z = \frac{-1}{(1 - z^2)^{1/2}} \quad (٤)$$

ومن الواضح أن هاتين المشتقتين تتوقفان على القيم المختارة للجذر التربيعي . والمشتقة الأولى للدالة الثالثة تكون

$$\frac{d}{dz} \tan^{-1} z = \frac{1}{1 + z^2}, \quad (٥)$$

وهي لا تتوقف على الطريقة التي تجعل بها الدالة وحيدة القيمة .

يمكن دراسة الدوال الزائدية العكسية باتباع أسلوب مماثل وبالتالي فإننا نجد أن

$$\sinh^{-1} z = \log [z + (z^2 + 1)^{1/2}], \quad (٦)$$

$$\cosh^{-1} z = \log [z + (z^2 - 1)^{1/2}], \quad (٧)$$

$$\tanh^{-1} z = \frac{1}{2} \log \frac{1+z}{1-z}. \quad (٨)$$

أخيرا، يجب أن ننوه إلى أنه من المألوف أن نرسم لمعكوسات هذه الدوال بالرموز البديلة  $\arcsin z$  ، ... إلخ

## تارين

١ - اثبت أنه عندما تكون  $n = 0, \pm 1, \pm 2, \dots$  فإن

$$(1+i)^n = \exp(-\pi/4 + 2n\pi) \exp[(i/2) \text{Log } 2] \quad (أ)$$

$$(-1)^{1/n} = \exp[(2n+1)i]. \quad (ب)$$

٢ - أوجد القيم الأساسية لكل من

$$(1-i)^{4i}, \quad (ج) \quad ; \quad [(e/2)(-1-i\sqrt{3})]^{2ni}, \quad (ب) \quad ; \quad i^i \quad (أ)$$

$$-\exp(2\pi^2), \quad (ب) \quad ; \quad \exp(-\pi/2), \quad (أ)$$

٣ - إثبت أنه إذا كان  $z \neq 0$  عدد مركب وكان  $k$  عدد حقيقي فإن

$$|z^k| = \exp(k \text{Log } |z|) = |z|^k$$

٤ - نفرض أن  $c, d, z$  أعدادا مركبة بحيث  $z \neq 0$  . اثبت أنه إذا كانت كل القوى المستخدمة تكون قيما أساسية فإن :

$$(z^c)^n = z^{cn} \quad (n = 1, 2, \dots) \quad (ب) \quad ; \quad z^{-c} = 1/z^c \quad (أ)$$

$$z^c/z^d = z^{c-d}, \quad (د) \quad ; \quad z^c z^d = z^{c+d} \quad (ج)$$

- ٥ - باستخدام الفرع الأساسي للدالة  $z^a$  أوجد الدالتين  $u(r, \theta)$  و  $v(r, \theta)$  إذا كان  $z^a = u(r, \theta) + iv(r, \theta)$
- ٦ - اثبت صحة العلاقة (٧) من بند (٢٩) .
- ٧ - بفرض تحقق وجود  $f'(z)$  أوجد صيغة للمشتقة  $d[c^{f(z)}]/dz$
- ٨ - أوجد قيم كل من :
- (أ)  $\tan^{-1}(2i)$  ؛ (ب)  $\tan^{-1}(1+i)$
- (ج)  $\cosh^{-1}(-1)$  ؛ (د)  $\tanh^{-1} 0$
- الأجوبة : (أ)  $(n + \frac{1}{2})\pi + \frac{i}{2} \text{Log } 3$  حيث  $(n = 0, \pm 1, \pm 2, \dots)$  ; (ب)  $n\pi i$  حيث  $(n = 0, \pm 1, \pm 2, \dots)$
- ٩ - بفرض أن  $c$  عدد مركب ثابت غير صفري وبمراعاة أن  $i^c$  دالة متعددة القيم . عين الشروط التي يجب وضعها على العدد الثابت  $c$  بحيث تكون جميع قيم  $|i^c|$  متساوية .
- الإجابة :  $c$  لا بد وأن تكون عددا حقيقيا .
- ١٠ - حل المعادلة  $\sin z = 2$  لايجاد قيم  $z$  على النحو التالي :
- (أ) بمساواة الأجزاء الحقيقية والأجزاء التخيلية في الطرفين
- (ب) باستخدام العلاقة (١) من بند (٣٠) .
- الإجابة :  $(2n + \frac{1}{2})\pi \pm i \text{Log}(2 + \sqrt{3})$  حيث  $n = 0, \pm 1, \pm 2, \dots$
- ١١ - حل المعادلة  $\cos z = \sqrt{2}$
- ١٢ - إستنتج العلاقتين (٢) ، (٤) من بند (٣٠)
- ١٣ - إستنتج العلاقتين (٣) ، (٥) من بند (٣٠)
- ١٤ - إستنتج العلاقتين (٦) ، (٨) من بند (٣٠)

# الفصل الرابع

## الرسم بدوال بسيطة

### Mapping by Elementary Functions

قدمنا في بند (١٠) تفسيرا هندسيا لدالة المتغير المركب كراسم أو تحويلة . وقد أشرنا هناك إلى أن السمة الأساسية لمثل هذه الدالة يمكن إبرازها بيانيا - إلى حد ما - من معرفتنا للكيفية التي ترسم بها هذه الدالة منحنيات ومناطق خاصة .

في هذا الباب سنرى كيف يمكن رسم منحنيات ومناطق متنوعة باستخدام دوال تحليلية بسيطة . وسنوضح فيما بعد في البابين التاسع والعاشر تطبيقات لهذه النتائج على مسائل فيزيائية .

### ٣١ - الدوال الخطية Linear Functions

الراسم

$$w = z + C, \quad (1)$$

للمستوى المركب  $z$  فوق المستوى المركب  $w$  ، حيث  $C$  عدد مركب ثابت ، هو إنتقال بالمتجه الممثل للعدد المركب  $C$  \* . أى أنه إذا كان

$$z = x + iy \quad \text{و} \quad C = C_1 + iC_2,$$

فإن صورة النقطة  $(x, y)$  في المستوى المركب  $z$  هي النقطة

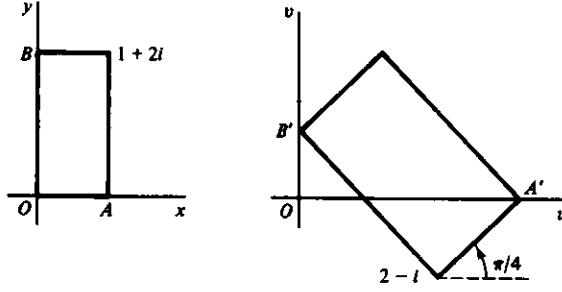
$$(x + C_1, y + C_2).$$

في المستوى المركب  $w$  . حيث أن كل نقطة من نقاط أى منطقة معطاة في المستوى المركب  $z$  ترسم إلى نقطة في المستوى المركب  $w$  بهذا الأسلوب ، فإنه ينتج أن صورة هذه المنطقة تكون متطابقة هندسيا مع المنطقة الأصلية .

من الممكن الحصول على خصائص الراسم المعرف بالعلاقة

$$w = Bz \quad (2)$$

\* أى إنتقال في اتجاه المتجه  $C$  مقياسه يساوى طول المتجه  $C$  .



شكل (٢٠)

حيث  $B$  عدد مركب ثابت ، وذلك باستخدام الصورة القطبية لكل من  $B, z$  .  
 فإذا كانت  $B = be^{i\theta}$  و  $z = re^{i\phi}$  فإن

$$w = bre^{i(\theta+\phi)}$$

أى أن التحويلة المعرفة بالمعادلة (٢) ترسم أى نقطة غير صفرية  $z$  إحداثياتها القطبية  $(r, \theta)$  فوق النقطة الغير صفرية التى إحداثياتها القطبية  $(br, \beta + \theta)$  وهذا الراسم يتكون من دوران للمتجه الممثل للعدد  $z$  حول نقطة الأصل بزاوية  $\beta$  حيث  $\beta = \arg B$  مقرونا بتمدد ( تكبير ) Expansion أو إنكماش ( تصغير ) Contraction\* للمتجه بمعامل  $b$  حيث  $b = |B|$  . وبالتالي فإن صورة أى منطقة فى المستوى المركب  $z$  تكون مشابهة Similar هندسيا لهذه المنطقة .

بتطبيق التحويلة (١) على المتغير المركب  $w$  فى المعادلة (٢) فإننا نحصل على التحويلة

### التحويلة العامة General linear transformation

$$w = Bz + C \quad (B \neq 0) \quad (٣)$$

والتي تتكون من دوران حول نقطة الأصل ومغير للبعد يعقبهما إنتقال .  
 ولتوضيح ذلك سنعتبر التحويلة الخطية التالية :

$$w = (1 + i)z + 2 - i \quad (٤)$$

هذه التحويلة ترسم المنطقة المستطيلة فى المستوى المركب  $z$  ( كما هو موضح بشكل (٢٠) ) فوق المنطقة المستطيلة الموضحة فى المستوى المركب  $w$  . وهذا يمكن ملاحظته بوضوح أكثر إذا ما أدركنا أن التحويلة (٤) هى محصلة التحويلتين

$$w = Z + 2 - i; Z = (1 + i)z$$

وحيث أن  $1 + i = \sqrt{2} \exp(i\pi/4)$  فإن التحويلة  $Z = (1 + i)z$  تمثل دورانا حول نقطة الأصل بزاوية مقدارها  $\pi/4$  مقرونا بتكبير معاملته  $\sqrt{2}$  . أما التحويلة الثانية فتمثل إنتقالا بالمتجه الممثل للعدد المركب  $2-i$  .

\* يقال لراسم أنه مغير للبعد Dilation إذا كان تكبيرا أو تصغيرا له .



٣٢ - الدالة  $\frac{1}{z}$ 

المعادلة

$$w = \frac{1}{z} \quad (١)$$

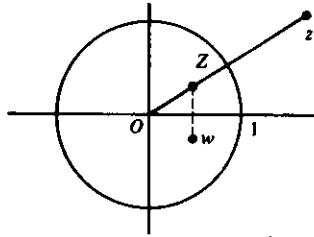
تمثل تناظرا أحاديا بين النقط الغير صفيرية للمستوى المركب  $z$  والنقط الغير صفيرية للمستوى المركب  $w$ . وحيث أن  $z\bar{z} = |z|^2$  فإن هذا الراسم يمكن وصفه تماماً بالتحويلتين الآتيتين على التعاقب

$$w = Z \quad \text{و} \quad Z = \frac{1}{|z|^2} z \quad (٢)$$

التحويل  $Z = \frac{1}{|z|^2} z$  عبارة عن تعاكس **Inversion** بالنسبة للدائرة  $|z|=1$ ؛ أى أن صورة أى نقطة غير صفيرية  $z$  هي النقطة  $Z$  بحيث

$$|Z| = \frac{1}{|z|} \quad \text{و} \quad \arg Z = \arg z.$$

وبالتالى فإن النقط الخارجية للدائرة  $|z|=1$  ترسم فوق النقط الداخلية الغير صفيرية للدائرة وبالعكس ( شكل (٢١) ). أما أى نقطة على هذه الدائرة فإنها ترسم فوق نفسها. وأما التحويل الثانية  $w = Z$  فهي انعكاس **Reflection** بالنسبة للمحور الحقيقي.



التحويل  $w = 1/z$ .  
شكل (٢١)

ويجب ملاحظة أن صورة الدائرة  $|z| = \epsilon$  هي الدائرة  $|w| = 1/\epsilon$ . كذلك، فإن أى جوار  $|z| < \epsilon$  لنقطة الأصل، لا يحوى نقطة الأصل، يناظر الجوار  $|w| > 1/\epsilon$  للنقطة اللانهائية ( بند (٨) ). وعليه فمن الطبيعي أن نعرف تحويلا  $T$  على المستوى المركب الممتد وذلك بكتابة  $T(z) = 1/z, T(0) = \infty, T(\infty) = 0$ . بهذا تكون التحويل  $T$  رسما أحاديا متصلا للمستوى المركب الممتد فوق نفسه. وقد سبق لنا إثبات اتصال هذه التحويله فوق المستوى المركب الممتد وذلك فى تمرين (١٢) (أ) من بند (١٥).

إذا كانت  $a, b, c, d$  أعدادا حقيقية فإن المعادلة

$$a(x^2 + y^2) + bx + cy + d = 0$$

تمثل دائرة أو خط مستقيم وذلك حسبما كانت  $a \neq 0$  أو  $a = 0$  على الترتيب. بوضع  $w = 1/z$  فإن هذه المعادلة تصبح

$$d(u^2 + v^2) + bu - cv + a = 0.$$

والتصور الهندسي لهذه المعادلة يمكن ملاحظته إذا ما استخدمنا الاحداثيات الكارتيزية ومع مراعاة أن المعادلة

$$u + iv = \frac{1}{x + iy}$$

تؤدي إلى العلاقتين

$$u = \frac{x}{x^2 + y^2}, \quad v = -\frac{y}{x^2 + y^2},$$

أو العلاقتين

$$x = \frac{u}{u^2 + v^2}, \quad y = -\frac{v}{u^2 + v^2}.$$

أى أن ، أى دائرة (  $a \neq 0$  ) لا تمر بنقطة الأصل (  $d \neq 0$  ) فى المستوى المركب  $z$  ترسم إلى دائرة لا تمر بنقطة الأصل فى المستوى المركب  $w$  . أما الدائرة المارة بنقطة الأصل فى المستوى المركب  $z$  فإنها ترسم إلى خط مستقيم لا يمر بنقطة الأصل فى المستوى المركب  $w$  . كذلك فكل خط مستقيم لا يمر بنقطة الأصل فى المستوى المركب  $z$  يرسم إلى دائرة مارة بنقطة الأصل فى المستوى المركب  $w$  ، وكل خط مستقيم مار بنقطة الأصل فى المستوى المركب  $z$  يرسم إلى خط مستقيم مار بنقطة الأصل فى المستوى المركب  $w$  . فإذا ما اعتبرنا الخطوط المستقيمة فى المستوى المركب الممتد على أنها دوائر مارة بنقطة اللانهاية فإنه يمكننا القول أن الراسم  $T$  السابق تعريفه يرسم دائماً الدوائر إلى دوائر .

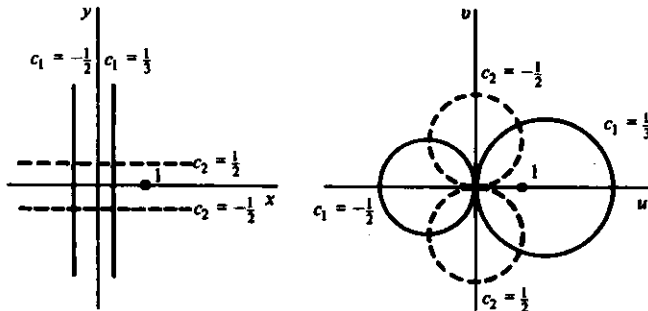
ويجب ملاحظة أن الخط المستقيم  $x = c_1$  ، حيث  $c_1 \neq 0$  ، يرسم إلى الدائرة

$$u^2 + v^2 - \frac{u}{c_1} = 0 \quad (3)$$

التي تمس محور الاحداثيات  $v$  عند نقطة الأصل ، ويجب كذلك ملاحظة أن الخط المستقيم  $v = c_2$  ، حيث  $c_2 \neq 0$  يرسم إلى الدائرة .

$$u^2 + v^2 + \frac{v}{c_2} = 0 \quad (4)$$

التي تمس محور الاحداثيات  $u$  عند نقطة الأصل ( انظر شكل (٢٢) ) .



شكل (٢٢)

نصف المستوى  $x > c_1$  ، حيث  $c_1 > 0$  ، يرسم إلى المنطقة

$$\frac{u}{u^2 + v^2} > c_1, \quad (٥)$$

$$\text{أو} \quad \left(u - \frac{1}{2c_1}\right)^2 + v^2 < \left(\frac{1}{2c_1}\right)^2;$$

أى أن صورة أى نقطة في نصف المستوى المعطى تقع داخل الدائرة المعطاة بالمعادلة (٣) . وبالعكس ، فإن أى نقطة داخلية لهذه الدائرة تحقق المتباينة (٥) وبالتالي فإنها تكون صورة لنقطة في نصف المستوى المعطى . من هذا ينتج أن صورة نصف المستوى المعطى هي داخلية الدائرة ( المنطقة الداخلية للدائرة ) .

الدالة  $1/z$  تلعب دوراً هاماً في دراسة خواص دالة ما  $f$  عندما تشمل هذه الدراسة نقطة اللانهاية . إذا كانت نهاية  $f(z)$  عندما  $z$  تؤول إلى  $\infty$  تساوى العدد المركب  $w_0$  ، فإنه يمكننا تعريف  $f$  عند  $\infty$  على أنها  $w_0$  وبالتالي فإن  $f$  تصبح متصلة عند اللانهاية وبالتالي نكتب  $f(\infty) = w_0$  ويمكن تعيين العدد  $w_0$  أيضاً وذلك بحساب نهاية  $f(1/z)$  عندما  $z$  تؤول إلى الصفر . وذلك لأنه من تعريفات النهايات المعطى في بند (١١)

$$\lim_{z \rightarrow \infty} f(z) = w_0 \quad \iff \quad \lim_{z \rightarrow 0} f\left(\frac{1}{z}\right) = w_0. \quad (٦)$$

بنفس الطريقة يمكننا أن نجعل الدالة  $f$  متصلة عند نقطة ما  $z_0$  وذلك بكتابة  $f(z_0) = \infty$  وذلك في الحالة التي تكون فيها نهاية  $1/f(z)$  تساوى صفراً عندما  $z$  تؤول إلى  $z_0$  . ويجب ملاحظة أن هذا يتفق تماماً مع التعريف المعطى للدالة  $T$  في بداية هذا البند وذلك عند توسيع نطاق تعريف الدالة  $1/z$  ليشمل النقطة  $\infty$

ولتوضيح ذلك دعنا نعتبر الدالة

$$f(z) = \frac{4z^2}{(1-z)^2}.$$

لجعل هذه الدالة متصلة عند  $\infty$  نكتب  $f(\infty) = 4$  وذلك حيث أن الدالة

$$f\left(\frac{1}{z}\right) = \frac{4}{(z-1)^2}$$

تؤول إلى 4 عندما  $z$  تؤول إلى الصفر . من الممكن أيضاً أن نجعل  $f$  متصلة عند النقطة  $z = 1$  وذلك بكتابة  $f(1) = \infty$  حيث أن نهاية الدالة  $1/f(z)$  تساوى صفراً عندما  $z$  تؤول إلى 1

وأخيراً ، فإنه يمكننا كتابة  $f(\infty) = \infty$  إذا كانت نهاية الدالة  $1/f(1/z)$  تساوى الصفر عندما  $z$  تؤول إلى الصفر

## تمارين

- ١ - اثبت أن التحويلة  $w = iz$  تمثل دوراناً للمستوى المركب  $z$  بزاوية مقدارها  $\pi/2$ . أوجد صورة الشريحة اللانهائية  $0 < x < 1$  بهذه التحويلة.  
الإجابة :  $0 < v < 1$
- ٢ - اثبت أن التحويلة  $w = iz + i$  ترسم نصف المستوى  $x > 0$  فوق نصف المستوى  $v > 1$
- ٣ - عين المنطقة التي يرسم فوقها نصف المستوى  $y > 0$  بالتحويلة  $w = (1 + i)z$  وذلك باستخدام :  
(أ) الإحداثيات القطبية (ب) الاحداثيات الكارتيزية  
ارسم هذه المنطقة  
الإجابة :  $v > u$
- ٤ - أوجد صورة المنطقة  $y > 1$  بالتحويلة  $w = (1 - i)z$
- ٥ - أوجد صورة الشريحة نصف اللانهائية  $x > 0, 0 < y < 2$  بالتحويلة  $w = iz + 1$  ارسم هذه الشريحة وكذلك صورتها  
الإجابة  $-1 < u < 1, v > 0$
- ٦ - صف هندسيا التحويلة  $w = B(z + C)$  حيث  $B, C$  اعدادا مركبة ثابتة  $B \neq 0$
- ٧ - اثبت أنه إذا كانت  $c_1 < 0$  فإن صورة نصف المستوى  $x < c_1$  بالتحويلة  $w = 1/z$  هي داخلية دائرة .  
ماذا تكون صورة نصف المستوى عندما  $c_1 = 0$  ؟
- ٨ - إثبت أن صورة نصف المستوى  $y > c_2$  بالتحويلة  $w = 1/z$  تكون داخلية دائرة وذلك بشرط أن  $c_2 > 0$ . أوجد صورة نصف المستوى عندما تكون  $c_2 < 0$  وكذلك عندما  $c_2 = 0$
- ٩ - أوجد صورة الشريحة اللانهائية  $0 < y < 1/(2c)$  بالتحويلة  $w = 1/z$  ارسم هذه الشريحة وصورتها  
الإجابة :  $u^2 + (v + c)^2 > c^2, v < 0$
- ١٠ - أوجد صورة ربع المستوى  $x > 1, y > 0$  بالتحويلة  $w = 1/z$   
الإجابة :  $|w - \frac{1}{2}| < \frac{1}{2}, v < 0$
- ١١ - تحقق من أن صور المناطق والحدود الموضحة في  
(أ) شكل (٤) ملحق (٢) (ب) شكل (٥) ملحق (٢)
- بالرأس  $w = 1/z$  تكون كما هي مبينة هناك .
- ١٢ - صف هندسيا التحويلة  $w = 1/(z - 1)$

١٣ - صف هندسيا التحويلة  $w = i/z$  وبين كذلك أنها ترسم الدوائر إلى دوائر والخطوط المستقيمة إلى خطوط مستقيمة .

١٤ - أوجد صورة الشريحة نصف - اللانهاية  $x \geq 0, 0 \leq y \leq 1$  بالتحويلة  $w = i/z$ . ارسم هذه الشريحة وصورتها

الإجابة :  $0 \leq \phi \leq \pi/2, \rho \geq \cos \phi$  حيث  $w = \rho e^{i\phi}$

١٥ - أوجد صورة القطع الزائد  $x^2 - y^2 = 1$  بالتحويلة  $w = 1/z$

الإجابة :  $\rho^2 = \cos 2\phi$  حيث  $w = \rho e^{i\phi}$

١٦ - اعتبر اتجاهها دورانيا للدائرة  $|z| = 1$  ضد عقارب الساعة . عين الاتجاه الدوراني لصورتها بالتحويلة  $w = 1/z$

١٧ - اثبت أنه عندما ترسم دائرة إلى دائرة بالتحويلة  $w = 1/z$  فإن مركز الدائرة الأصلية لا يمكن أن يرسم فوق مركز الدائرة الصورة .

١٨ - اثبت التقرير (٦) من بند (٣٢) .

١٩ - اثبت أن

$$\lim_{z \rightarrow \infty} f(z) = \infty \iff \lim_{z \rightarrow 0} \frac{1}{f(1/z)} = 0.$$

٢٠ - عين  $f(-1)$  ،  $f(\infty)$  بحيث إذا كانت  $f(z) = \frac{-z+1}{z+1}$  ( $z \neq -1, \infty$ ).

فإن الدالة  $f$  تصبح متصلة في المستوى المركب الممتد بأكمله .

الإجابة :  $f(-1) = \infty, f(\infty) = -1$

### ٣٣ - التحويلات الخطية الكسرية Linear Fractional Transformations

التحويلة

$$w = \frac{az + b}{cz + d} \quad (ad - bc \neq 0) \quad (1)$$

حيث  $a, b, c, d$  اعداد مركبة ثابتة ، تسمى تحويلة خطية كسرية أو تحويلة موبيس **Mobius transformation** . عندما  $c = 0$  فإن هذه التحويلة تصبح تحويلة خطية ( بند

(٣١) . عندما  $c \neq 0$  فإنه يمكن كتابة المعادلة (١) على الصورة

$$w = \frac{a}{c} + \frac{bc - ad}{c} \frac{1}{cz + d} \quad (2)$$

وهذه الصورة الأخيرة توضح كيف أن الشرط  $ad - bc \neq 0$  يضمن لنا أن التحويلة الخطية الكسرية ليست دالة ثابتة .

إذا حررنا المعادلة (١) من الكسور فإنها تأخذ الصورة

$$Azw + Bz + Cw + D = 0 \quad (٣)$$

وهذه المعادلة الأخيرة تكون خطية بالنسبة إلى كل من  $w, z$  ، أى أنها ثنائية الخطية **Bilinear** في  $z, w$  . وبالتالي فإنه يمكننا إعطاء اسم آخر هو التحويلة الثنائية الخطية **Bilinear transformation** للتحويلة الخطية الكسرية .

بحل المعادلة (١) بالنسبة إلى  $z$  فإننا نجد أن

$$z = \frac{-dw + b}{cw - a} \quad (٤)$$

وبالتالى إذا كانت  $c = 0$  فإن كل نقطة من نقط المستوى المركب  $w$  تكون صورة نقطة وحيدة من نقط المستوى المركب  $z$  . وهذا أيضاً صحيح إذا كانت  $c \neq 0$  وذلك فيما عدا عند النقطة  $w = a/c$  . سنقوم الآن بتوسيع نطاق تعريف التحويلة (١) وذلك للحصول على تحويلة خطية كسرية  $T$  معرفة على المستوى المركب الممتد  $z$  بأكمله . لذلك سنكتب أولاً

$$T(z) = \frac{az + b}{cz + d} \quad (٥)$$

وسنكتب بعد ذلك  $T(\infty) = \infty$  إذا كانت  $c = 0$  ، وسنكتب  $T(\infty) = a/c$  ،  $T(-d/c) = \infty$  ، إذا كانت  $c \neq 0$  . وهذا يتفق مع ما اصطللحنا عليه فى نهاية البند السابق .

وبتوسيع نطاق تعريف الدالة الخطية الكسرية بهذه الصورة ، فإنها تصبح راسماً أحادياً من المستوى المركب الممتد فوق نفسه . أى أن ،  $T(z_1) \neq T(z_2)$  طالما كان  $z_1 \neq z_2$  ولكل نقطة  $w$  فى المستوى المركب الممتد يوجد نقطة  $z$  فى نفس المستوى بحيث  $T(z) = w$  . وبالتالي فإنه لا بد وأن تصاحب التحويلة  $T$  تحويلة أخرى  $T^{-1}$  ( تسمى تحويلة عكسية أو معكوس التحويلة  $T$  ) معرفة أيضاً على المستوى المركب الممتد كالتالى :

$$T^{-1}(w) = z \quad \iff \quad T(z) = w.$$

إذا أحللنا كل من  $z, w$  مكان الآخر فى هذا التعريف وفى المعادلة (٤) فإننا نجد

$$T^{-1}(z) = \frac{-dz + b}{cz - a} \quad (ad - bc \neq 0).$$

أى أن  $T^{-1}$  هى أيضاً تحويلة خطية كسرية حيث  $T^{-1}(\infty) = \infty$  إذا كانت  $c = 0$  و  $T^{-1}(a/c) = \infty$  و  $T^{-1}(\infty) = -d/c$  إذا كانت  $c \neq 0$  .

إذا كانت  $T, S$  تحويلتين خطيتين كسريتين فإن محصلتهما  $S [T(z)]$  تكون تحويلة خطية كسرية . وهذا يمكن التحقق منه بسهولة وذلك بتحصيل تعبيرين على شاكلة (٥) .

لقد لاحظنا أنه إذا كانت  $c = 0$  فإن التحويلة الخطية الكسرية (١) تأخذ الصورة الخاصة  $w = Bz + C$  حيث  $B \neq 0$ . من ناحية أخرى، إذا كانت  $c \neq 0$  فإن الصورة (٢) للمعادلة (١) توضح أن التحويلة الخطية الكسرية تكون محصلة التحويلات الخاصة

$$Z = cz + d, \quad W = \frac{1}{Z}, \quad w = \frac{a}{c} + \frac{bc - ad}{c} W.$$

من هذا ينتج أن التحويلة الخطية الكسرية ترسم دائماً الدوائر إلى دوائر وذلك حيث أن كلا من هذه التحويلات الكسرية الخاصة ترسم الدوائر إلى دوائر ( انظر بندى (٣١) ، (٣٢) ). ويجب ملاحظة أننا نعتبر دائماً الخطوط المستقيمة في المستوى المركب الممتد دوائر مارة بنقطة اللانهاية .

ونجد بنا أن نوه إلى أنه توجد تحويلة خطية كسرية وحيدة ترسم أى ثلاث نقط مختلفة معطاة  $z_1, z_2, z_3$  فوق ثلاث نقط مختلفة محددة  $w_1, w_2, w_3$  على الترتيب . وفي الحقيقة فإن المعادلة

$$\frac{(w - w_1)(w_2 - w_3)}{(w - w_3)(w_2 - w_1)} = \frac{(z - z_1)(z_2 - z_3)}{(z - z_3)(z_2 - z_1)} \quad (٦)$$

تعطى هذه التحويلة الوحيدة . ولتوضيح ذلك ، يجب أولاً ملاحظة أنه يمكن كتابة المعادلة (٦) على الصورة المكافئة

$$(z - z_3)(w - w_1)(z_2 - z_1)(w_2 - w_3) = (z - z_1)(w - w_3)(z_2 - z_3)(w_2 - w_1), \quad (٧)$$

وهذه الصورة الأخيرة يمكن وضعها بالتالي على الصورة (٣) وذلك بفك الأقواس . ثانياً يجب ملاحظة أنه إذا كان  $z = z_1$  فإن الطرف الأيمن من المتطابقة (٧) ينعدم وبالتالي فإن  $w = w_1$  . بالمثل ، إذا كان  $z = z_3$  فإن الطرف الأيسر من المتطابقة (٧) ينعدم وبالتالي فإن  $w = w_3$  . إذا كان  $z = z_2$  فإننا نحصل على المعادلة الخطية

$$(w - w_1)(w_2 - w_3) = (w - w_3)(w_2 - w_1).$$

التي حلها الوحيد هو  $w = w_2$  . وكتمرين سنترك للقارئ مهمة إثبات أن المعادلة (٦) تعين التحويلة الخطية الكسرية الوحيدة التي ترسم النقط  $z_1, z_2, z_3$  فوق النقط  $w_1, w_2, w_3$  على الترتيب .

ويمكن دائماً اعتبار نقطة اللانهاية على أنها إحدى النقط المعينة سواء في المستوى المركب  $z$  أو المستوى المركب  $w$  وذلك عند استخدامنا للمعادلة (٦) . فمثلاً إذا كانت  $w_2 = \infty$  فإننا نضع  $1/w_2$  بدلاً من  $w_2$  في هذه المعادلة ثم نكتب  $w_2 = 0$  ، وذلك

بعد إجراء الاختصارات اللازمة في كل من بسط ومقام الطرف الأيسر من المعادلة (٦) . وهذا يؤدي للحصول على المعادلة

$$\frac{w - w_1}{w - w_3} = \frac{(z - z_1)(z_2 - z_3)}{(z - z_3)(z_2 - z_1)} \quad (٨)$$

ولنوضح ما ذكرناه ، دعنا نعين التحويلة الخطية الكسرية  $T$  التي ترسم :  
 فوق  $z_1 = 1$  ،  $z_2 = 0$  ،  $z_3 = -1$   $w_1 = i$  ،  $w_2 = \infty$  ،  $w_3 = 1$  على الترتيب . بالتعويض  
 بالقيم المعطاة  $w_1, w_2, w_3, z_1, z_2, z_3$  في المعادلة (٨) فإننا نجد أن

$$w = \frac{(1+i)z + (i-1)}{2z}$$

ومن السهل التحقق من أن النقط المعطاة في المستوى المركب  $z$  ترسم فوق النقط المحددة في المستوى المركب  $w$  .

### ٣٤ - بعض التحويلات الخطية الكسرية الخاصة

#### Special Linear Fractional Transformations

دعنا نحاول تعيين كل التحويلات الخطية الكسرية التي ترسم نصف المستوى العلوي  $\text{Im } z \geq 0$  فوق القرص الدائري  $|w| \leq 1$  الذي نصف قطره الوحدة حيث أن التحويلة الخطية الكسرية

$$w = \frac{az + b}{cz + d} \quad (ad - bc \neq 0) \quad (١)$$

ترسم دائماً الخطوط المستقيمة في المستوى المركب  $z$  إلى دوائر أو خطوط مستقيمة في المستوى المركب  $w$  ، فإنه ينتج أن حد نصف المستوى  $\text{Im } z \geq 0$  ( أى الخط المستقيم  $\text{Im } z = 0$  ) يرسم إما إلى دائرة أو خط مستقيم . وفي الحقيقة فإن الخط المستقيم  $\text{Im } z = 0$  لا بد وأن يرسم إلى دائرة وذلك لأن صورته تكون محتواة في القرص الدائري  $|w| \leq 1$  وبالتالي فإنها لا بد وأن تكون محدودة . دعنا نفترض الآن أن بعض نقط هذه الدائرة ( أى صورة الخط المستقيم  $\text{Im } z = 0$  ) تنتمي إلى داخلية الدائرة :

$|w| = 1$  ( أى الفئة  $|w| < 1$  ) . حيث أن الدالة المعرفة بالمعادلة (١) دالة متصلة للمتغير  $z$  فإنه لا بد وأن توجد نقطة أسفل محور السينات مباشرة ترسم فوق نقطة بالقرب من هذه الدائرة وتنتمي إلى داخلية الدائرة  $|w| = 1$  . ولكن هذه النقطة ذاتها ستكون أيضاً صورة لنقطة على أو فوق محور السينات وذلك حيث أن التحويلة المطلوبة ترسم نصف المستوى فوق القرص الدائري . ولكن هذا يناقض حقيقة أن التحويلة الخطية الكسرية المعرفة على المستوى بأكمله تمثل راسماً أحادياً . وبالتالي فإن صورة الخط



المستقيم  $\text{Im} z = 0$  ( حد نصف المستوى ) لا بد وأن تكون الدائرة  $|w| = 1$  ( أى حد القرص الدائرى ) .

الآن، التحويلة الخطية الكسرية التى ترسم الخط المستقيم  $\text{Im} z = 0$  فوق الدائرة  $|w| = 1$  تتعين بصورة وحيدة إذا أعطينا ثلاث نقط على الخط المستقيم وصورها على الدائرة . لنفترض أننا اخترنا النقط  $z = 0$  ،  $z = 1$  ،  $z = \infty$  على الخط المستقيم ولنحاول تعيين كل التحويلات الخطية على الصورة (١) التى ترسم هذه النقط فوق نقط تنتمى للدائرة  $|w| = 1$  من المعادلة (١) ، نجد أن

$$|w| = 1 \quad , \quad z = 0 \quad \implies \quad |d| = |b| \quad (٢)$$

$$|w| = 1 \quad , \quad z = \infty \quad \implies \quad |c| = |a| \quad (٣)$$

من المعادلة (٣) وحقيقة أن  $ad - bc \neq 0$  فإنه ينتج أن  $c \neq 0$  ،  $a \neq 0$  . إذن

$$w = \frac{az + b/a}{cz + d/c} ,$$

أو

$$w = e^{i\alpha} \frac{z - z_0}{z - z_1} \quad (٤)$$

، وهذا يرجع إلى أن  $|a/c| = 1$  ، حيث  $\alpha$  ثابت حقيقى اختيارى وحيث  $z_0, z_1$  أعدادا مركبة ثابتة. من معادلتى (٢)، (٣) نعلم أن  $|d/c| = |b/a|$  وبالتالى فإن  $|z_1| = |z_0|$  . المطلوب الآن أن تكون المعادلة (٤) أيضاً متحققة باستيفاء الشرط  $|w| = 1$  عندما  $z = 1$  . وهذا يؤدي إلى أن

$$|1 - z_1| = |1 - z_0| ,$$

أو

$$(1 - z_1)(1 - \bar{z}_1) = (1 - z_0)(1 - \bar{z}_0) .$$

ولكن  $z_1 \bar{z}_1 = z_0 \bar{z}_0$  وذلك حيث أن  $|z_1| = |z_0|$  وبالتالى فإن هذه العلاقة الأخيرة تؤول إلى

$$z_1 + \bar{z}_1 = z_0 + \bar{z}_0 ,$$

أو  $\text{Re} z_1 = \text{Re} z_0$  . من هذا ينتج أنه إما أن يكون  $z_1 = z_0$  أو  $z_1 = \bar{z}_0$  ( هذا راجع مرة أخرى إلى أن  $|z_1| = |z_0|$  ) . والشرط  $z_1 = z_0$  يعنى أن الراسم  $w = e^{i\alpha}$  يرسم المستوى المركب  $z$  بأكمله فوق نقطة واحدة . وبالتالى فلا بد وأن تكون  $z_1 = \bar{z}_0$  . إذن التحويلة المطلوبة لا بد وأن تكون على الصورة

$$w = e^{i\alpha} \frac{z - z_0}{z - \bar{z}_0} . \quad (٥)$$

لاحظ أن النقطة  $w=0$  هي صورة  $z_0$  . وبالتالي فإن النقطة  $z_0$  لابد وأن تقع فوق المحور الحقيقي ، أي

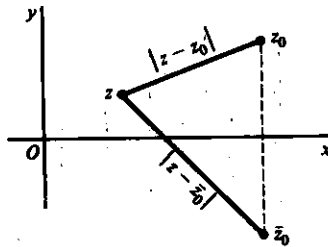
$$\text{Im } z_0 > 0. \quad (6)$$

بقي الآن أن نبين أنه يتحقق الشرط (٦) فإن التحويلة (٥) ترسم فعلا نصف المستوى  $\text{Im } z \geq 0$  فوق القرص الدائري  $|w| \leq 1$  . وسنحقق هذا بتفسير المعادلة

$$|w| = \frac{|z - z_0|}{|z - \bar{z}_0|}$$

هندسيا . إذا كانت النقطة  $z$  تقع فوق المحور الحقيقي ، فمعنى هذا أنها والنقطة  $z_0$  تقعان على جانب واحد من المحور الحقيقي الذي هو في الواقع المنصف العمودي للقطعة المستقيمة الواصلة بين النقطتين  $z_0$  و  $\bar{z}_0$  . من هذا ينتج أن المسافة  $|z - z_0|$  تكون أقل من المسافة  $|z - \bar{z}_0|$  ( شكل (٢٣) ) ، أي أن  $|w| < 1$  . بالمثل ، إذا كانت  $z$  تقع تحت المحور الحقيقي فإن المسافة  $|z - z_0|$  تكون أكبر من المسافة  $|z - \bar{z}_0|$  وبالتالي فإن  $|w| > 1$  حيث أن كل تحويلة خطية كسرية تكون راسم أحادي من المستوى المركب الممتد فوق نفسه فإنه ينتج أن كل نقطة  $w$  بحيث  $|w| < 1$  لابد وأن تكون صورة نقطة وحيدة  $z$  فوق المحور الحقيقي .

مما سبق نستخلص أن أي تحويلة خطية كسرية على الصورة (٥) ، حيث العدد الحقيقي  $\alpha$  اختياري وحيث الجزء التخيلي من العدد المركب  $z_0$  موجب ، تمثل راسما أحاديا يرسم نصف المستوى  $\text{Im } z \geq 0$  فوق القرص الدائري  $|w| \leq 1$  .



شكل (٢٣)

وهذه النتيجة يمكن استخدامها لتوضيح أن التحويلة المحايدة ليست بالضرورة الراسم الوحيد الذى يرسم نطاقا معيناً فوق نفسه . وفي الحقيقة فإن أى تحويل خطية كسرية على الصورة

$$w = e^{i\alpha} \frac{z - z_0}{\bar{z}_0 z - 1}, \quad (7)$$

، حيث  $\alpha$  عدد حقيقي ،  $|z_0| < 1$  ، تمثل راسماً أحادياً يرسم القرص الدائرى  $|z| \leq 1$  فوق القرص الدائرى  $|w| \leq 1$  . وسنترك مهمة إثبات ذلك للقارئ كتمرين .

## تمارين

- ١ - أوجد التحويلة الخطية الكسرية التى ترسم النقط  $z_1 = 2, z_2 = i, z_3 = -2$  فوق النقط  $w_1 = 1, w_2 = i, w_3 = -1$  على الترتيب  
الإجابة :  $w = (3z + 2i)/(iz + 6)$
- ٢ - أوجد التحويلة الخطية الكسرية التى ترسم النقط  $z_1 = -i, z_2 = 0, z_3 = i$  فوق النقط  $w_1 = -1, w_2 = i, w_3 = 1$  على الترتيب . ما هى صورة المحور التخيل بهذه التحويلة ؟
- ٣ - أوجد التحويلة ثنائية الخطية التى ترسم النقط  $z_1 = \infty, z_2 = i, z_3 = 0$  فوق النقط  $w_1 = 0, w_2 = i, w_3 = \infty$   
الإجابة :  $w = -1/z$
- ٤ - أوجد التحويلة ثنائية الخطية التى ترسم النقط  $z_1, z_2, z_3$  فوق النقط  $w_1 = 0, w_2 = 1, w_3 = \infty$   
الإجابة :  $w = [(z - z_1)(z_2 - z_3)] / [(z - z_3)(z_2 - z_1)]$
- ٥ - اثبت أن تحصيل تحويلتين خطيتين كسريتين يكون دائماً تحويل خطية كسرية .
- ٦ - يقال لنقطة  $z_0$  أنها نقطة ثابتة بالنسبة للراسم  $w = f(z)$  إذا كان  $z_0 = f(z_0)$  . إثبت أن كل تحويل ثنائية الخطية ، فيما عدا التحويلة المحايدة  $w = z$  ، يكون لها على الأكثر نقطتان ثابتتان فى المستوى المركب الممتد .
- ٧ - أوجد النقط الثابتة ( تمرين ٦ ) للتحويلات التالية :  
(أ)  $w = (z - 1)/(z + 1)$  ، (ب)  $w = (6z - 9)/z$   
الأجوبة : (أ)  $z = \pm i$  ، (ب)  $z = 3$
- ٨ - عدل معادلة (٦) من بند (٣٣) للحالة التى تكون فيها كل من  $z_2, w_2$  هى نقطة اللانهاية . ثم اثبت أن أى تحويل خطية كسرية لا بد وأن تكون على الصورة  $w = az$  عندما تكون نقطتاها الثابتان ( تمرين ٦ ) هما صفر ،  $\infty$  .
- ٩ - اثبت أنه إذا كانت نقطة الأصل نقطة ثابتة ( تمرين ٦ ) لتحويلة خطية كسرية ، فإن هذه التحويلة يمكن كتابتها على الصورة  $w = z/(cz + d)$  .

١٠ - تحقق من أن الراسم  $w = (z-1)/(z+1)$  يرسم النطاق المعطى بشكل (١٢) ملحق (٢) فوق النطاق المعطى بنفس الشكل.

١١ - عين الكميات الثابتة في التحويلة (٥) من بند (٣٤) التي ترسم نصف المستوى  $\text{Im } z \geq 0$  فوق القرص الدائري  $|w| \leq 1$  بحيث تكون صور النقط  $z = \infty, z = 0, z = 1$  هي النقط  $w = -1, w = 1, w = i$  على الترتيب. اثبت أن صورة الجزء الموجب من محور السينات هي النصف العلوي للدائرة  $|w| = 1$ . ثم حقق صحة الراسم الموضح بشكل (١٣) ملحق (٢).

١٢ - استخدم التحويلة  $w = (i-z)/(i+z)$  بشكل (١٣) ملحق (٢) لإثبات أن القرص الدائري  $|z-1| \leq 1$  يرسم فوق نصف المستوى  $\text{Re } w \leq 0$  بالتحويلة الخطية الكسرية  $w = (z-2)/z$ .

اقتراح : قم أولاً بإجراء انتقال مقياسه الوحدة في اتجاه اليسار للقرص الدائري المعطى. بعد ذلك استخدم معكوس التحويلة المعطاة في بند (٢) لرسم القرص وأتبع ذلك بدوران مقياسه  $\pi/2$ .

١٣ - التحويلة (٥) من بند (٣٤) بالإضافة إلى الشرط (٦) ترسم النقطة  $z = \infty$  فوق النقطة  $w = \exp(i\alpha)$  التي تقع على حد القرص الدائري  $|w| \leq 1$  (أى على الدائرة  $|w| = 1$ ). إثبت أنه إذا كان  $0 < \alpha < 2\pi$  وكانت النقط  $z = 0, z = 1$  ترسم فوق النقط:  $w = 1, w = \exp(i\alpha/2)$  على الترتيب فإنه يمكن كتابة التحويلة على الصورة  $w = \exp(i\alpha) \frac{z + \exp(-i\alpha/2)}{z + \exp(i\alpha/2)}$ .

١٤ - لاحظ أنه عندما تكون  $\alpha = \pi/2$  فإن التحويلة المعطاة في مسألة (١٣) تصبح

$$w = \frac{iz + \exp(i\pi/4)}{z + \exp(i\pi/4)}$$

حقق أن هذه التحويلة الخاصة ترسم نصف المستوى  $\text{Im } z > 0$  وأجزاء من حده كما هو موضح بشكل (٢٤).

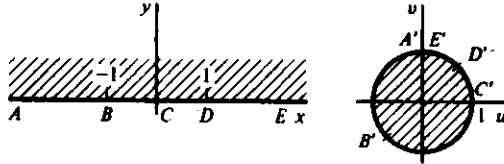
١٥ - اثبت أنه عندما تكون  $\text{Im } z_0 < 0$  فإن التحويلة (٥) من بند (٣٤) ترسم نصف المستوى السفلي  $\text{Im } z \leq 0$  فوق القرص الدائري  $|w| \leq 1$ .

١٦ - استخلص التحويلة (٧) من بند (٣٤).

اقتراح : من الممكن استخدام تحويلتين خطيتين كسريتين متتابعتين الأولى ترسم القرص الدائري  $|z| \leq 1$  فوق نصف المستوى  $\text{Im } Z \geq 0$  والثانية ترسم نصف المستوى الأخير فوق القرص الدائري  $|w| \leq 1$ .

١٧ - اثبت أنه عندما تكون  $z_0 = 0$  فإن التحويلة (٧) من بند (٣٤) تكون دورانا للمستوى حول نقطة الأصل بزاوية مقدارها  $\alpha + \pi$ .

- ١٨ - اثبت أنه لا توجد تحويلة خطية كسرية على الصورة (٧) من بند (٣٤) ترسم القرص الدائري  $|z| \leq 1$  فوق القرص الدائري  $|w| \leq 1$  بحيث ترسم النقط  $z_1 = 1, z_2 = i, z_3 = -1$  فوق النقط  $w_1 = 1, w_2 = -i, w_3 = -1$  على الترتيب .



$$w = \frac{iz + e^{i\pi/4}}{z + e^{i\pi/4}} \quad \text{التحويل}$$

شكل (٢٤)

- ١٩ - اثبت أن معادلة (٦) من بند (٣٣) تعين التحويل الخطية الكسرية الوحيدة التي ترسم ثلاث نقاط مختلفة معطاة  $z_1, z_2, z_3$  فوق ثلاث نقاط مختلفة محددة  $w_1, w_2, w_3$  على الترتيب .

اقتراح : افرض أن تحويلتان خطيتان كسريتان تحققان الشروط المعطاة باستخدام نتيجة مسألة (٦) إثبت أن  $w = S^{-1}[T(z)]$  هي التحويل المحايدة  $w = z$  اثبت أنه إذا رسمت تحويلة ثنائية الختية كل نقطة من نقط محور السينات فوق نقطة من نقط محور الاحداثيات  $u$  فإن المعاملات في هذه التحويلة تكون كلها حقيقية ، فيما عدا ربما لعامل مشترك مركب . ومعكوس هذا التقرير واضح .

### ٣٥ - الدالة $z^n$ The Function

دعنا أولاً نعتبر التحويلة

$$w = z^2 \quad (1)$$

التي يمكن وصفها بسهولة باستخدام الاحداثيات القطبية . إذا كان  $w = \rho e^{i\phi}, z = r e^{i\theta}$  فإن  $\rho e^{i\phi} = r^2 e^{i2\theta}$ .

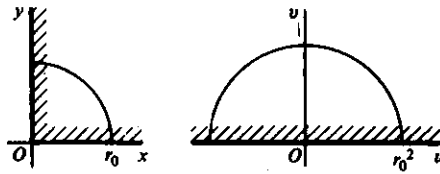
وبالتالي فإن صورة أى نقطة غير صفرية  $z$  يمكن إيجادها بتربيع مقياس العدد  $z$  ومضاعفة سعة العدد  $z$  ، أى أن

$$|w| = |z|^2 \quad \text{و} \quad \arg w = 2 \arg z$$

لاحظ أن التحويلة (١) ترسم المستوى المركب  $z$  بأكمله فوق المستوى المركب  $w$  بأكمله . وهذه التحويلة تكون راسماً أحادياً من الربع الأول  $0 \leq \theta \leq \pi/2, r \geq 0$  من المستوى المركب  $z$  فوق نصف المستوى العلوى  $0 \leq \phi \leq \pi, \rho \geq 0$  من المستوى

المركب  $w$  ( شكل (٢٥) ). كذلك فإنها تكون راسما من نصف المستوى العلوى  $r \geq 0, 0 \leq \theta \leq \pi$  من المستوى المركب  $z$  فوق المستوى المركب  $w$  بأكمله . ولكن يجب ملاحظة أنه في هذه الحالة لا تكون التحويلة أحادية وذلك حيث أن كلا من الجزء الموجب والجزء السالب من المحور الحقيقي في المستوى المركب  $z$  يرسم فوق الجزء الموجب من المحور الحقيقي في المستوى المركب  $w$  .

الدائرة  $r=r_0$  ترسم إلى الدائرة  $\rho = r_0^2$  ، والقطاع  $0 \leq \theta \leq \pi/2$  يرسم فوق المنطقة النصف دائرية  $\rho \leq r_0^2, 0 \leq \phi \leq \pi$  ويكون الراسم أحاديا في هذه الحالة ( شكل (٢٥) ) .



التحويلة  $w = z^2$   
شكل (٢٥)

بدلالة الاحداثيات الكارتيزية تكون التحويلة  $w = z^2$  هي

$$u + iv = x^2 - y^2 + i2xy.$$

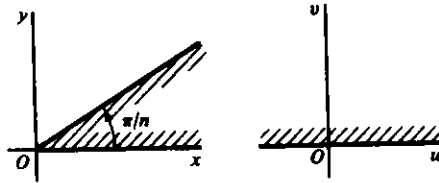
وبالتالى فإن صورة القطع الزائد  $x^2 - y^2 = c_1$  ( $c_1 \neq 0$ ) تكون الخط المستقيم  $u = c_1$  ، كما أن صورة القطع الزائد  $2xy = c_2$  ( $c_2 \neq 0$ ) تكون الخط المستقيم  $v = c_2$  . وهذه القطاعات الزائدة سبق تمثيلها بيانيا بالباب الثانى ( شكل (١٧) ) .

من البديهي أن أى نقطتين غير صفريتين  $z, z'$  يكون لهما دائما نفس الصورة ، كما أن كل نقطة من نقط الخط المستقيم  $u = c_1$  تكون صورة لمثل هاتين النقطتين فقط في المستوى المركب  $z$  . وهاتان النقطتان تقعان على فرعين مختلفين للقطع الزائد  $x^2 - y^2 = c_1$  من هذا ينتج أن النقط الواقعة على فرع معين للقطع الزائد تكون في تناظر أحادى مع نقط الخط المستقيم  $u = c_1$  .

بالمثل ، الراسم الذى يرسم القطع الزائد  $2xy = c_2$  فوق الخط المستقيم يكون راسما أحاديا يرسم كل فرع لهذا القطع فوق هذا الخط المستقيم .

ومن السهل الحصول على صور المناطق التي تحتوي حدودها مثل هذه القطاعات الزائدة . فمثلاً ، لاحظ أن النطاق  $x > 0, y > 0, xy < 1$  يتكون من جميع النقط الواقعة على الأفرع العليا من القطاعات الزائدة التي تنتمي للعائلة  $xy = c$  حيث  $0 < c < 1$  . وبالتالي فإن صور هذا النطاق تتكون من جميع النقط الواقعة على الخطوط المستقيمة  $v = 2c$  . أي أن صورة النطاق المعطى هي الشريحة الأفقية  $0 < v < 2$  . عندما يكون  $n$  عدداً صحيحاً موجباً فإن التحويلة

$$w = z^n \quad \text{أو} \quad \rho e^{i\phi} = r^n e^{in\theta} \quad (٢)$$



التحويلة  $w = z^n$   
شكل (٢٦)

ترسم المنطقة  $0 \leq \theta \leq \pi/n, r \geq 0$  فوق نصف المستوى العلوي  $0 \leq \phi \leq \pi, \rho \geq 0$  ( شكل (٢٦) ) هذه التحويلة ترسم المستوى المركب  $z$  بأكمله فوق المستوى المركب  $w$  بأكمله ، حيث تكون كل نقطة غير صفيرية في المستوى المركب  $w$  صورة  $n$  من النقط المختلفة في المستوى المركب  $z$  . والدائرة  $r = r_0$  ترسم فوق الدائرة  $\rho = r_0^n$  ، كما أن القوس  $0 \leq \theta < 2\pi/n$  من الدائرة  $r = r_0$  يرسم فوق الدائرة  $\rho = r_0^n$  ويكون الراسم في هذه الحالة أحادياً .

### ٣٦ - الدالة $z^{1/2}$

من بند (٦) نعلم أن قيم  $z^{1/2}$  هما الجذران المربعان للعدد المركب  $z$  عندما  $z \neq 0$  . وقد رأينا في بند (٢٨) أن هذه الدالة المتعددة القيم يمكن كتابتها أيضاً على الصورة

$$z^{1/2} = \exp\left(\frac{1}{2} \log z\right) \quad (z \neq 0). \quad (١)$$

إذا استخدمنا الاحداثيات القطبية وراعينا حقيقة أن  $\log z = \text{Log } r + i(\Theta + 2k\pi)$  فإننا يمكننا كتابة معادلة (١) على الصورة

$$z^{1/2} = \sqrt{r} \exp\left(\frac{i(\Theta + 2k\pi)}{2}\right) \quad (r > 0, k = 0, 1) \quad (٢)$$

وحيث أن الدالة الأسية المركبة دورية ودورتها  $2\pi i$  ، فإن (٢) تعطي قيمتي  $z^{1/2}$  لكل عدد مركب غير صفري  $z$  عندما  $k=1$  ،  $k=0$  .

الفرع الأساسي  $F_0$  للدالة المتعددة القيم  $z^{1/2}$  هي الدالة التحليلية التي نحصل عليها من معادلة (١) وذلك باستخدام الفرع الأساسي للدالة  $\log z$  . وبالتالي ، إذا وضعنا  $k=0$  في المعادلة (٢) ، فإننا نجد أن

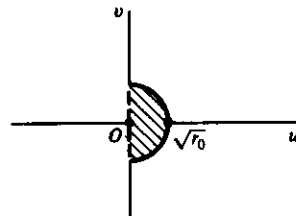
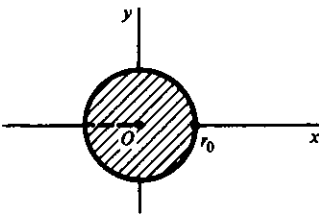
$$F_0(z) = \sqrt{r} \exp \frac{i\Theta}{2} \quad (r > 0, -\pi < \Theta < \pi). \quad (3)$$

الشعاع  $\Theta = \pi$  هو الفرع القاطع للدالة  $F_0$  ، كما أن النقطة  $z=0$  هي نقطة التفرع . ويجب ملاحظة أن الطرف الأيمن من معادلة (٣) معرف للنقط الواقعة على الفرع القاطع للدالة  $F_0$  ، إلا أن الدالة التي نحصل عليها في هذه الحالة بتوسيع نطاق التعريف لا تكون حتى متصلة عند هذه النقط . وهذا يرجع إلى حقيقة أن هناك قيما للمتغير  $\Theta$  قريبة جدا من  $\pi$  وكذلك قيما لنفس المتغير قريبة جدا من  $-\pi$  في أي جوار لنقطة على الجزء السالب من المحور الحقيقي .

التحويلة  $w = F_0(z)$  ترسم النطاق  $r > 0, -\pi < \Theta < \pi$  فوق نصف المستوى الأيمن . كذلك فإن نفس هذه التحويلة ترسم النطاق  $0 < r \leq r_0, -\pi < \Theta < \pi$  فوق نصف القرص الدائري حيث  $w = \rho e^{i\phi}$  من المستوى المركب  $w$  حيث  $\rho > 0, -\pi/2 < \phi < \pi/2$  .  
 هذه التحويلة ترسم النطاق  $0 < \rho \leq \sqrt{r_0}, -\pi/2 < \phi < \pi/2$  ( شكل (٢٧) ) حيث  $\phi = \Theta/2$  ،  $\rho = \sqrt{r}$  .

عند وضع  $k=1$  في المعادلة (٢) فإننا نحصل على الفرع

$$F_1(z) = \sqrt{r} \exp \frac{i(\Theta + 2\pi)}{2} \quad (r > 0, -\pi < \Theta < \pi) \quad (4)$$



$$w = F_0(z) = \sqrt{r} e^{i\Theta/2} \quad (r > 0, -\pi < \Theta < \pi). \quad \text{التحويلة}$$

شكل (٢٧)

حيث أن  $\exp(i\pi) = -1$  فإنه ينتج أن  $F_1(z) = -F_0(z)$  . وبالتالي فإن القيم  $\pm F_0(z)$  تمثل جميع قيم  $z^{1/2}$  لجميع نقط النطاق  $r > 0, -\pi < \Theta < \pi$  . إذا استخدمنا الصيغة (٣) لتوسيع نطاق تعريف  $F_0$  ليشمل الشعاع  $\Theta = \pi$  وإذا كتبنا  $F_0(0) = 0$  فإن القيم  $\pm F_0(z)$  تمثل في هذه الحالة جميع قيم  $z^{1/2}$  على المستوى المركب  $z$  بأكمله .



ومن الممكن الحصول على أفرع أخرى للدالة  $z^{1/2}$  وذلك باستخدام أفرع أخرى متباينة للدالة  $\log z$  في الصيغة (١). فمثلا الفرع الذي فرعه القاطع هو الشعاع  $\theta = \alpha$  يعطى بالعلاقة

$$f_{\alpha}(z) = \sqrt{r} \exp \frac{i\theta}{2} \quad (r > 0, \alpha < \theta < \alpha + 2\pi). \quad (٥)$$

ويجب ملاحظة أنه عندما تكون  $\alpha = -\pi$  فإننا نحصل على الفرع  $F_0(z)$  وعندما تكون  $\alpha = \pi$  فإننا نحصل على الفرع  $F_1(z)$ . كما في حالتى  $F_0, F_1$  فإنه يمكننا توسيع نطاق تعريف  $f_{\alpha}$  ليشمل المستوى المركب بأكمله وذلك باستخدام الصيغة (٥) لتعريف  $f_{\alpha}$  عند النقط الغير صفيرية على الفرع القاطع وكتابة  $f_{\alpha}(0) = 0$  ولكن يجب ملاحظة أن الدوال التى نحصل عليها بتوسيع نطاق التعريف كما هو مذكور أعلاه لا تكون بالطبع متصلة في المستوى المركب بأكمله.

من المفيد أحيانا أن نتذكر أنه إذا كان  $w = f_{\alpha}(z)$  فإن  $z = w^2$ . فمثلا، من المعلوم ( بند (٣٥) ) أن الدالة  $w = z^2$  تمثل راسما أحاديا من فرع القطع الزائد  $2xy = 1$  الواقع في الربع الأول من المستوى المركب  $z$  فوق الخط المستقيم  $v = 1$  في المستوى المركب  $w$ . وبالتالي فإذا ما أبدلنا المستويين المركبين  $z, w$  كل مكان الآخر فإننا نجد أن الفرع  $f_0$ ، للفرع القاطع  $\theta = 0$ ، يكون راسما أحاديا من الخط المستقيم  $y = 1$  في المستوى المركب  $z$  فوق فرع القطع الزائد  $2uv = 1$  الواقع في الربع الأول من المستوى المركب  $w$ .

### ٣٧ - دوال أخرى غير قياسية Other Irrational Functions

نفرض أن  $n$  أى عدد صحيح موجب أكبر من الواحد. القيم  $z^{1/n}$  هي الجذور النونية للعدد المركب  $z$  عندما  $z \neq 0$ ، ومن بند (٢٨) نعلم أن الدالة المتعددة القيم  $z^{1/n}$  يمكن كتابتها على الصورة

$$z^{1/n} = \exp \left( \frac{1}{n} \log z \right) \quad (z \neq 0).$$

حيث أن  $\log z = \text{Log } r + i(\Theta + 2k\pi)$ ، حيث  $\Theta = \text{Arg } z$ ،  $r = |z|$ ،  $k = 0, \pm 1, \pm 2, \dots$

فإننا نجد أن

$$z^{1/n} = \sqrt[n]{r} \exp \frac{i(\Theta + 2k\pi)}{n}, \quad (k = 0, 1, 2, \dots, n-1). \quad (١)$$

وقد تعرضنا في البند السابق للحالة التى فيها  $n = 2$ . فى الحالة العامة، نجد أن كل داله

من الدوال

$$F_k(z) = \sqrt[n]{r} \exp \frac{i(\Theta + 2k\pi)}{n} \quad (٢)$$

$$(r > 0, -\pi < \Theta < \pi, k = 0, 1, 2, \dots, n-1)$$

التي عددها  $n$  تكون فرعاً للدالة  $z^{1/n}$ . التحويلة  $w = F_k(z)$  تكون راسماً أحادياً من النطاق  $0 < \theta < \pi$ ،  $r > 0$  فوق النطاق  $(2k-1)\pi/n < \phi < (2k+1)\pi/n$ ، حيث  $w = \rho e^{i\phi}$ ،  $\rho > 0$ . هذه الأفرع ( $n$  عددها) للدالة  $z^{1/n}$  تعطي الجذور النونية المختلفة لأي عدد مركب  $z$  ينتمي للنطاق  $-\pi < \theta < \pi$ ،  $r > 0$ . ونحصل على الفرع الأساسي لهذه الدالة بوضع  $k=0$  والأفرع الأخرى التي على شاكلة (٥) بالبند السابق يمكن الحصول عليها بسهولة.

ويمكن الحصول على أفرع الدالة  $(z - z_0)^{1/2}$  الثنائية القيمة إذا ما لاحظنا أنها تحصيل الانتقال  $Z = z - z_0$  والدالة  $Z^{1/2}$  الثنائية القيمة. وكل فرع للدالة  $Z^{1/2}$  ينتج عنه فرع للدالة  $(z - z_0)^{1/2}$ . وللحصول على صيغ لأفرع الدالة  $(z - z_0)^{1/2}$  فإننا نكتب  $\theta_0 = \arg(z - z_0)$ ،  $r_0 = |z - z_0|$  بالإضافة إلى  $\Theta_0 = \text{Arg}(z - z_0)$ . فمثلاً فرعين من أفرع الدالة هما

$$G_0(z) = \sqrt{r_0} \exp \frac{i\Theta_0}{2} \quad (r_0 > 0, -\pi < \Theta_0 < \pi) \quad (3)$$

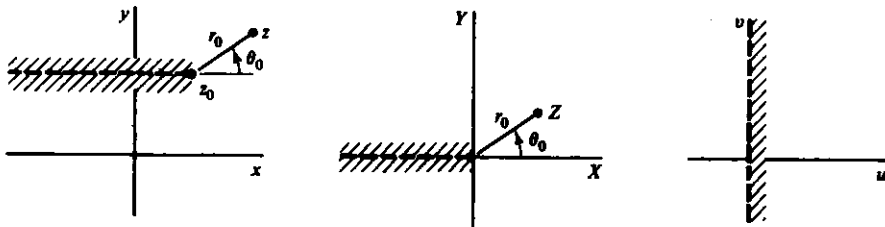
$$g_0(z) = \sqrt{r_0} \exp \frac{i\theta_0}{2} \quad (r_0 > 0, 0 < \theta_0 < 2\pi). \quad (4)$$

ويجب ملاحظة أن فرع الدالة  $Z^{1/2}$  الذي استخدم في كتابة صيغة  $G_0(z)$  معرف لجميع نقط المستوى المركب  $Z$  فيما عدا نقطة الأصل ونقط الشعاع  $\text{Arg } Z = \pi$ . وبالتالي فإن التحويلة  $w = G_0(z)$  تكون راسماً أحادياً من النطاق  $-\pi < \text{Arg}(z - z_0) < \pi$ ،  $|z - z_0| > 0$  فوق نصف المستوى الأيمن  $\text{Re } w > 0$  للمستوى المركب  $w$  (شكل (٢٨)). كما أن التحويلة  $w = g_0(z)$  تمثل راسماً أحادياً من النطاق  $0 < \arg(z - z_0) < 2\pi$ ،  $|z - z_0| > 0$  فوق نصف المستوى العلوى  $\text{Im } w > 0$  للمستوى المركب  $w$ .

وكمثال توضيحي، ولو أنه ليس بمثال أبسط، سنعتبر الآن الدالة  $(z^2 - 1)^{1/2}$  الثنائية القيمة. باستخدام خواص اللوغاريتمات التي سبق الحصول عليها، يمكننا أن نكتب

$$(z^2 - 1)^{1/2} = \exp \left[ \frac{1}{2} \log(z^2 - 1) \right] = \exp \left[ \frac{1}{2} \log(z - 1) + \frac{1}{2} \log(z + 1) \right] \quad (5)$$

$$= (z - 1)^{1/2} (z + 1)^{1/2} \quad (z \neq \pm 1).$$



شكل (٢٨)

فإذا كان  $f_1(z)$  فرعاً للدالة  $(z-1)^{1/2}$  معرف على نطاق ما  $D_1$ ، وكان فرعاً للدالة  $(z+1)^{1/2}$  معرف على نطاق ما  $D_2$ ، فإن حاصل الضرب  $f_1(z)f_2(z)$  يكون فرعاً للدالة  $(z^2-1)^{1/2}$  معرف عند جميع النقط التي تنتمي لكلا النطاقين  $D_1, D_2$  ( أى النقط التي تنتمي إلى  $D_1 \cap D_2$  ).

وللحصول على فرع محدد للدالة  $(z^2-1)^{1/2}$  فإننا نستخدم فرع الدالة  $(z-1)^{1/2}$  وفرع الدالة  $(z+1)^{1/2}$  المعطيان بالمعادلة (٤). إذا كتبنا  $r_1 = |z-1|$ ،  $\theta_1 = \arg(z-1)$  فإن فرع الدالة  $(z-1)^{1/2}$  المطلوب يكون

$$\sqrt{r_1} \exp \frac{i\theta_1}{2} \quad r_1 > 0 \quad 0 < \theta_1 < 2\pi. \quad \text{و}$$

بالمثل فرع الدالة  $(z+1)^{1/2}$  المعطى بالمعادلة (٤) يكون

$$\sqrt{r_2} \exp \frac{i\theta_2}{2} \quad r_2 > 0 \quad 0 < \theta_2 < 2\pi \quad \text{و}$$

حيث  $r_2 = |z+1|$ ،  $\theta_2 = \arg(z+1)$  وحاصل ضرب هذين الفرعين هو إذن الفرع  $f$  للدالة  $(z^2-1)^{1/2}$  المعرف بالمعادلة

$$f(z) = \sqrt{r_1 r_2} \exp \frac{i(\theta_1 + \theta_2)}{2} \quad (r_1 > 0, r_2 > 0, 0 < \theta_k < 2\pi, k = 1, 2). \quad (٦)$$

وكما هو موضح بشكل (٢٩)، فإن الفرع  $f$  يكون معرفاً لجميع نقط المستوى المركب  $z$  عدا نقط الشعاع  $x \geq -1, y = 0$ .

من الممكن أن نوسع نطاق تعريف الفرع  $f$  للدالة  $(z^2-1)^{1/2}$  المعطى بالمعادلة (٦)،

$$F(z) = \sqrt{r_1 r_2} \exp \frac{i(\theta_1 + \theta_2)}{2} \quad \text{لنحصل على الدالة}$$

$$(r_1 > 0, r_2 > 0, r_1 + r_2 > 2, 0 \leq \theta_k < 2\pi, k = 1, 2), \quad (٧)$$

وهذه الدالة تكون تحليلية عند جميع نقط المستوى المركب  $z$  عدا نقط القطعة المستقيمة

$-1 \leq x \leq 1, y = 0$  حيث أن  $F(z) = f(z)$  لجميع النقط  $z$  التي تنتمي إلى نطاق

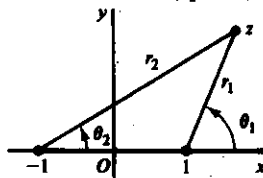
تعريف  $F$  عدا نقط الشعاع  $x > 1, y = 0$  فإنه يكفي فقط أن نبين أن  $F$  تحليلية عند جميع

نقط هذا الشعاع. ولتحقيق ذلك فإننا سنقوم بإجراء حاصل ضرب فرعي

الدالتين  $(z+1)^{1/2}$ ،  $(z-1)^{1/2}$  المعطيان بالمعادلة (٣). أى أننا سنعتبر الدالة

$$G(z) = \left( \sqrt{r_1} \exp \frac{i\theta_1}{2} \right) \left( \sqrt{r_2} \exp \frac{i\theta_2}{2} \right)$$

$$(r_1 > 0, r_2 > 0, -\pi < \theta_k < \pi, k = 1, 2),$$

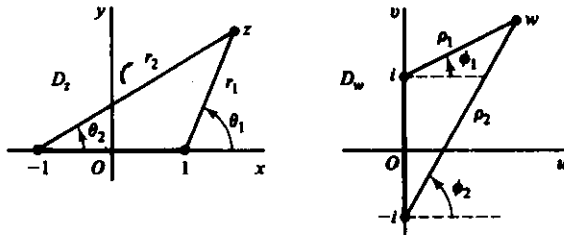


شكل (٢٩)

حيث  $r_1 = |z - 1|$ ,  $r_2 = |z + 1|$ ,  $\Theta_1 = \text{Arg}(z - 1)$ ,  $\Theta_2 = \text{Arg}(z + 1)$  ملاحظة أن الدالة  $G$  تكون تحليلية عند جميع نقط المستوى المركب  $z$  فيما عدا نقط الشعاع  $x \leq 1, y = 0$ . والآن،  $F(z) = G(z)$  لجميع النقط  $z$  الواقعة أعلى أو على الشعاع  $x > 1, y = 0$ ، لأن في هذه الحالة يكون  $\theta_k = \Theta_k$ ،  $(k = 1, 2)$ . وعندما تقع  $z$  أسفل هذا الشعاع يكون  $\theta_k = \Theta_k + 2\pi$ ،  $(k = 1, 2)$  وبالتالي فإن  $\exp(i\theta_k/2) = -\exp(i\Theta_k/2)$  ونحصل مرة أخرى على أن  $F(z) = G(z)$  حيث أن  $F(z) = G(z)$  في نطاق يحوى الشعاع  $x > 1, y = 0$  وحيث أن  $G(z)$  تحليلية في هذا النطاق فإنه ينتج أن  $F(z)$  تكون تحليلية في هذا النطاق. وبالتالي فإن  $F(z)$  تكون تحليلية عند جميع النقط في المستوى المركب  $z$  فيما عدا النقط القطعة المستقيمة  $-1 \leq x \leq 1, y = 0$

الدالة  $F$  المعرفة بالمعادلة (٧) لا يمكن توسيع نطاق تعريفها للحصول على دالة تحليلية عند نقط على القطعة المستقيمة  $-1 \leq x \leq 1, y = 0$ . وهذا راجع إلى أن قيمة الطرف الأيمن من المعادلة (٧) تقفز من  $i\sqrt{r_1 r_2}$  إلى أعداد قريبة من  $-i\sqrt{r_1 r_2}$  وذلك عندما تتحرك النقطة  $z$  عبر هذه القطعة المستقيمة إلى أسفل وبالتالي فإن الدالة التي نحصل عليها في هذه الحالة لا تكون حتى متصلة في هذا النطاق.

التحويلة  $w = F(z)$  تكون راسماً أحادياً من النطاق  $D_z$  المكون من جميع نقط المستوى المركب  $z$  عدا نقط القطعة المستقيمة  $-1 \leq x \leq 1, y = 0$  فوق النطاق  $D_w$  المكون من المستوى المركب  $w$  بأكمله عدا نقط القطعة المستقيمة  $-1 \leq v \leq 1, u = 0$ ، (شكل (٣٠)).



شكل (٣٠)

ولكن قبل أن نبين هذا نلفت النظر إلى أنه إذا كانت

$$r_1 = r_2 > 1, \theta_1 + \theta_2 = \pi, y > 0, z = iy$$

فإن الجزء الموجب من محور الصادات يرسم فوق جزء محور الاحداثيات  $v$  بحيث  $v > 1$  بالإضافة إلى ذلك فإن الجزء السالب من محور الصادات يرسم فوق جزء محور الاحداثيات  $v$  بحيث  $v < -1$ . وكل نقطة في النصف العلوى  $y > 0$  من النطاق  $D_z$  ترسم إلى نقطة في نصف المستوى  $v > 0$  من المستوى المركب  $w$ ، كما أن كل نقطة في النصف السفلى  $y < 0$  من النطاق  $D_z$  ترسم إلى نقطة في نصف المستوى  $v < 0$  من المستوى المركب  $w$ . الشعاع  $x > 1, y = 0$  يرسم فوق الجزء الموجب من المحور الحقيقي للمستوى المركب  $w$ ، والشعاع  $x < -1, y = 0$  يرسم فوق الجزء السالب من المحور الحقيقي للمستوى المركب  $w$ . لإثبات أن التحويلة  $w = F(z)$  تكون أحادية، نلاحظ أنه إذا كان  $F(z_1) = F(z_2)$  فإن  $z_1^2 - 1 = z_2^2 - 1$  من هذا ينتج أن  $z_1 = z_2$  أو  $z_1 = -z_2$ . ولكن من المستحيل أن يكون  $z_1 = -z_2$  بسبب الطريقة التي ترسم بها  $F$  كلا من النصف العلوى والنصف السفلى من النطاق  $D_z$  كذلك أجزاء المحور الحقيقي الواقعة في  $D_z$ . إذن، إذا كان  $F(z_1) = F(z_2)$  فإن  $z_1 = z_2$ . وبالتالي فإن  $F$  تكون أحادية.

سنبين الآن أن  $f$  ترسم النطاق  $D_z$  فوق النطاق  $D_w$  وذلك بإيجاد دالة  $H$  ترسم  $D_w$  إلى  $D_z$  بحيث أنه إذا كان  $z = H(w)$  فإن  $w = F(z)$ . وهذا سيثبت أنه لكل نقطة  $w$  في  $D_w$  يوجد نقطة  $z$  في  $D_z$  بحيث  $F(z) = w$ ، وبالتالي يكون  $F$  راسما فوقيا. الراسم  $H$  الذي حصلنا عليه هو معكوس الراسم  $F$ .

ولإيجاد  $H$ ، فإننا نلاحظ أولا أنه إذا كانت  $w$  إحدى قيم  $(z^2 - 1)^{1/2}$  لعدد معين  $z$ ، فإن  $z$  تكون قيمة من قيم  $(w^2 + 1)^{1/2}$  لهذا العدد  $w$ . الدالة  $H$  ستكون بالتالى فرعاً للدالة المتعددة القيم

$$(w^2 + 1)^{1/2} = (w - i)^{1/2}(w + i)^{1/2}.$$

باتباع نفس الأسلوب الذى اتبعناه للحصول على الفرع  $F(z)$  للدالة  $(z^2 - 1)^{1/2}$ ، فإننا نكتب

$$w - i = \rho_1 \exp(i\phi_1), \quad w + i = \rho_2 \exp(i\phi_2)$$

$$H(w) = \sqrt{\rho_1 \rho_2} \exp \frac{i(\phi_1 + \phi_2)}{2}, \quad (A)$$

$$(\rho_1 > 0, \rho_2 > 0, \rho_1 + \rho_2 > 2, -\pi/2 \leq \phi_k < 3\pi/2, k = 1, 2,)$$

ويكون نطاق تعريف  $H$  هو  $D_w$ . هذا الفرع يرسم نقط  $D_w$  الواقعة أعلى أو أسفل محور الاحداثيات  $u$  فوق نقط أعلى أو أسفل محور الاحداثيات  $x$  على الترتيب. كذلك فإنها ترسم الجزء الموجب من محور الاحداثيات  $u$  إلى الجزء الموجب من محور الاحداثيات  $x$  بحيث  $x > 1$  الجزء السالب من محور الاحداثيات  $u$  إلى الجزء السالب من محور الاحداثيات  $x$  بحيث  $x < -1$ . إذا كان  $z = H(w)$  فإن  $z^2 = w^2 + 1$  وبالتالي فإن  $w^2 = z^2 - 1$ . حيث

أن  $z$  تنتمي إلى  $D_z$  وحيث أن  $F(z), -F(z)$  هما قيمتا  $(z^2 - 1)^{1/2}$  لنقطة ما  $z$  في النطاق

$D_z$  فإنه ينتج أن  $w = -F(z)$  أو  $w = F(z)$ . ولكن من الواضح ، من أسلوب رسم كل من

$F$  و  $H$  لكل من النصف العلوي ، النصف السفلي من نطاق تعريفهما بما في ذلك أجزاء

• ماقين ، أن  $w = F(z)$

أخيرا يجدر بنا التنويه إلى أن أفرع الدوال الثنائية القيمة

$$w = (z^2 + Az + B)^{1/2} = [(z - z_0)^2 - z_1^2]^{1/2} \quad (z_1 \neq 0) \quad (9)$$

حيث  $A = -2z_0$  ،  $B = z_0^2 - z_1^2$  ، والرسم بهذه الأفرع ، يمكن معالجته بمعاونة النتائج التي

حصلنا عليها بالنسبة للدالة  $F$  السالفة الذكر والتحويلات المتابعة

$$Z = \frac{z - z_0}{z_1}, \quad W = (Z^2 - 1)^{1/2}, \quad w = z_1 W. \quad (10)$$

## تمارين

١ - صف النطاق الذي يرسم فوقه القطاع الدائري  $r < 1, 0 < \theta < \pi/4$  بالتحويلة :

$$w = z^2 \quad (أ) \quad w = z^3 \quad (ب) \quad w = z^4 \quad (ج)$$

٢ - اثبت أن التحويلة  $w = z^2$  تمثل راسما أحاديا من الخطوط  $x = c$  ( $c \neq 0$ ) فوق القطاعات

المكافئة  $v^2 = -4c^2(u - c^2)$  ومن الخطوط  $y = d$  ( $d \neq 0$ ) فوق القطاعات المكافئة

$$w = 0 \quad \text{لاحظ أن يؤر جميع هذه القطاعات المكافئة تقع عند النقطة } v^2 = 4d^2(u + d^2)$$

٣ - أوجد منطقة في المستوى المركب  $z$  تكون صورتها بالتحويلة  $w = z^2$  هي النطاق المحدد

بالمستطيل الواقع في المستوى المركب  $w$  والذي حدوده تقع على المستقيمتين

$$u = 1, u = 2, v = 1, v = 2$$

٤ - اثبت أن الفرع الأساسي للدالة  $z^{1/2}$  يرسم النطاق المحدد بمحور الصادات والقطع

المكافئ  $y^2 = -4(x - 1)$  فوق النطاق المثلثي المحدد بالخطوط المستقيمة

$v = u, v = -u, u = 1$ . بين الأجزاء المناظرة لحدود المنطقتين . انظر تمرين (٢).

٥ - اثبت أن الفرع  $w = \sqrt{r} \exp(i\theta/2)$  ، حيث  $r > 0, 0 < \theta < 2\pi$  ، للدالة

المتعددة القيم  $z^{1/2}$  يكون راسما أحاديا للنطاق الواقع بين القطعين المكافئين

$$r = \frac{2a^2}{1 - \cos \theta}, \quad r = \frac{2b^2}{1 - \cos \theta}$$

فوق الشريحة  $a < v < b$  حيث  $b > a > 0$ . انظر تمرين (٢).

٦ - عين صورة النطاق  $r > 0, -\pi < \theta < \pi$  في المستوى المركب  $z$  بكل من التحويلات

المعرفة بالأفرع الأربعة للدالة  $z^{1/4}$  والمعطاة بالمعادلة (٢) من بند (٣٧) عندما  $n = 4$ .

استخدم هذه الأفرع الأربعة للدالة  $z^{1/4}$  لتعيين الجذور الأربعة للمقدار  $i$ .

٧ - في بند (٣٧) عرفنا الفرع  $F$  للدالة  $(z^2 - 1)^{1/2}$  بدلالة الاحداثيات  $r_1, r_2, \theta_1, \theta_2$  ووضح هندسيا لماذا تعين الشروط  $r_1 > 0, 0 < \theta_1 + \theta_2 < \pi$  الربع الأول  $x > 0, y > 0$  من المستوى المركب  $z$ . ثم بين أن التحويلة  $w = F(z)$  ترسم هذا لربع من المستوى المركب  $z$  فوق الربع الأول  $u > 0, v > 0$  من المستوى المركب  $w$ .

اقترح : لإثبات أن الربع الأول  $x > 0, y > 0$  من المستوى المركب  $z$  يعين تماما بالشروط المعطاة لاحظ أن  $\theta_1 + \theta_2 = \pi$  عند كل نقطة تنتمي للجزء الموجب من محور الصادات وأن  $\theta_1 + \theta_2$  تقل كلما تحركت النقطة  $z$  إلى اليمين على امتداد الشعاع  $\theta_2 = c (0 < c < \pi/2)$

٨ - إذا كانت  $w = F(z)$  هي التحويلة من الربع الأول للمستوى المركب  $z$  فوق الربع الأول للمستوى المركب  $w$  (تمرين (٧) ) فإثبت أن

$$u = \frac{1}{\sqrt{2}} \sqrt{r_1 r_2 + x^2 - y^2 - 1}, \quad v = \frac{1}{\sqrt{2}} \sqrt{r_1 r_2 - x^2 + y^2 + 1},$$

حيث  $r_1^2 r_2^2 = (x^2 + y^2 + 1)^2 - 4x^2$  وأن صورة جزء القطع الزائد  $x^2 - y^2 = 1$  الواقع في الربع الأول هي الشعاع  $u > 0, v = u$ .

٩ - في تمرين (٨) إثبت أن النطاق  $D$  الواقع تحت القطع الزائد في الربع الأول للمستوى المركب  $z$  يعين بالشروط  $r_1 > 0, 0 < \theta_1 + \theta_2 < \pi/2$ . ثم إثبت أن صورة النطاق  $D$  هي النمن  $0 < v < u$  من المستوى المركب  $w$ . عين بيانيا النطاق  $D$  وصورته .

١٠ - نفرض أن  $F$  هو فرع الدالة  $(z^2 - 1)^{1/2}$  المعروف في بند (٣٧) ، وأن  $z_0 = r_0 \exp(i\theta_0)$  نقطة ما ثابتة ، حيث  $10 \leq \theta_0 < 2\pi$  ،  $r_0 > 0$  . إثبت أن الفرع  $F_0$  للدالة  $(z^2 - z_0^2)^{1/2}$  الذى فرعه القاطع هو القطعة المستقيمة التى نقطتها نهايتها  $z_0, -z_0$  يعطى بالعلاقة  $F_0(z) = z_0 F(Z)$  حيث  $Z = z/z_0$

١١ - اكتب  $z - 1 = r_1 \exp(i\theta_1)$  ،  $z + 1 = r_2 \exp(i\theta_2)$  حيث  $-\pi < \theta_2 < \pi$  ،  $0 < \theta_1 < 2\pi$  وذلك لتعيين فرع لكل من الدوال

$$(a) (z^2 - 1)^{1/2} ; (b) \left(\frac{z-1}{z+1}\right)^{1/2}$$

في كل حالة لا بد وأن يتكون الفرع القاطع من الشعاعين  $\theta_1 = 0$  ،  $\theta_2 = \pi$

١٢ - باستخدام المصطلحات ببند (٣٧) اثبت أن الدالة  $\left(\frac{z-1}{z+1}\right)^{1/2} = \sqrt{\frac{r_1}{r_2}} \exp \frac{i(\theta_1 - \theta_2)}{2}$

تكون فرع له نفس نطاق التعريف  $D_z$  وله نفس الفرع القاطع للدالة  $F$ . اثبت أن هذه التحويلة ترسم  $D_z$  فوق نصف المستوى الأيمن  $-\pi/2 < \phi < \pi/2$  ،  $\rho > 0$  حيث

النقطة  $w = 1$  هي صورة النقطة  $z = \infty$  أثبت أن التحويلة العكسية هي

$$z = \frac{1+w^2}{1-w^2} \quad (u > 0).$$

١٣ - اثبت أن التحويلة المعطاة في تمرين (١٢) ترسم جزءاً خارجياً للدائرة  $|z|=1$  الواقع في النصف العلوي من المستوى المركب  $z$  فوق المنطقة في الربع الأول من المستوى المركب  $w$  الواقعة بين الخط المستقيم  $v = u$  ومحور الاحداثيات  $u$ . ارسم هذه المناطق.

١٤ - اكتب  $z = r \exp(i\theta)$ ,  $z-1 = r_1 \exp(i\theta_1)$ ,  $z+1 = r_2 \exp(i\theta_2)$ , حيث قيم جميع الزوايا الثلاث تقع بين  $\pi$  و  $-\pi$ ، و أوجد فرع الدالة  $[z(z^2-1)]^{1/2}$  الذي يتكون فرعه القاطع من القطعتين المستقيمتين  $x \leq -1, y=0$  ،  $x \leq 1, y=0$  من محور السينات.

٣٨ - التحويلة  $w = \exp z$

التحويلة

$$w = e^z,$$

أو  $\rho e^{i\phi} = e^x e^{iy}$  ، حيث  $z = x + iy$ ,  $w = \rho \exp(i\phi)$ ، يمكن كتابتها

$$\rho = e^x, \quad \phi = y.$$

هذه التحويلة تكون راسماً أحادياً من الخط المستقيم  $y=c$  فوق الشعاع  $\phi=c$  مع استبعاد نقطة الأصل من الشعاع. الخط المستقيم  $x=c$  يرسم فوق الدائرة  $\rho = e^c$ . ولكن يجب ملاحظة أنه يوجد عدد لا نهائى من نقط الخط المستقيم  $x=c$  التي لها نفس الصورة.

المنطقة  $a \leq x \leq b, c \leq y \leq d$  ( أى داخلية وحد المستطيل  $x=a, x=b, y=c, y=d$  ) ترسم فوق المنطقة

$$e^a \leq \rho \leq e^b, \quad c \leq \phi \leq d$$

المحدودة بأجزاء من دوائر وأشعة. وهذا الراسم يكون أحادياً إذا كان  $d-c < 2\pi$ . شكل (٣١) يوضح هاتين المنطقتين والأجزاء المتناظرة من حدودهما. فعلى وجه الخصوص، إذا كان  $d = \pi$ ،  $c = 0$  فإن  $0 \leq y \leq \pi$  وفي هذه الحالة يرسم المستطيل فوق نصف حلقة دائرية كما هو موضح بشكل (٨) ملحق (٢). من بند (٢٢) نعلم

أن التحويلة  $w = e^z$  تكون راسماً أحادياً من الشريحة  $(2n-1)\pi < y \leq (2n+1)\pi$  حيث  $n$  أى عدد صحيح، فوق فئة الأعداد الغير صفرية في المستوى المركب  $w$ . نعلم

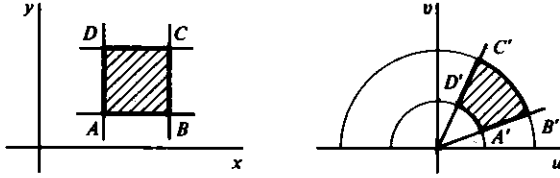


كذلك من بند (٢٦) أنه إذا كانت  $z$  منتمية للشريحة السالفة الذكر وكان  $w = e^z$  فإن

$$z = \text{Log } w + 2n\pi i.$$

الشريحة اللانهائية  $0 < y < \pi$  ترسم فوق نصف المستوى العلوي،  $0 < \phi < \pi$  من المستوى المركب  $w$ . وشكل (٦) من ملحق (٢) يبين الأجزاء المتناظرة لحدود المنطقتين. وهذا الراسم لشريحة فوق نصف مستوى مفيد بصورة خاصة في التطبيقات.

الشريحة النصف لا نهائية  $x \leq 0, 0 \leq y \leq \pi$  ترسم فوق المنطقة النصف دائرية  $0 < \rho \leq 1, 0 \leq \phi \leq \pi$  (شكل (٧)) (ملحق (٢)). لاحظ أن النقطة  $w = 0$  ليست متضمنة في صورة المنطقة وذلك لأن  $e^z$  لا تنعدم إطلاقاً.



التحويلة  $w = e^z$ .  
شكل (٣١)

### ٣٩ - التحويلة $w = \sin z$

حيث أن

$$\sin z = \sin x \cosh y + i \cos x \sinh y,$$

فإنه يمكن كتابة التحويلة  $w = \sin z$  على الصورة

$$u = \sin x \cosh y, \quad v = \cos x \sinh y. \quad (1)$$

التحويلة  $w = \sin z$  تكون راسماً أحادياً من الشريحة

$$-\frac{\pi}{2} \leq x \leq \frac{\pi}{2}, \quad y \geq 0$$

في المستوى المركب  $z$  فوق النصف العلوي  $v \geq 0$  من المستوى المركب  $w$  وهذا يبين الأهمية الخاصة لهذه التحويلة في التطبيقات ( هذه الشريحة وصورتها موضحتين بشكل (٩) من ملحق (٢) ). وسنقوم الآن بتحقيق ذلك باعتبار صور الخطوط المستقيمة

الرأسية  $x = c$ ، حيث  $-\pi/2 \leq c \leq \pi/2$ .

فمحور الصادات ( $x = 0$ ) يرسم فوق محور الاحداثيات  $v$  ( $u = 0$ ) ويكون الراسم في هذه الحالة أحادياً. ويجب ملاحظة أن الأجزاء العليا من هذه المحاور تكون متناظرة

وكذلك الأجزاء السفلى منها . فمثلا صورة النقطة  $(0, y)$  على محور الصادات هي النقطة  $(0, \sinh y)$  على محور الاحداثيات  $v$ .

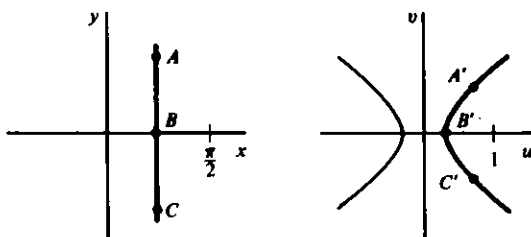
إذا كان  $0 < c < \pi/2$  فإن الخط المستقيم  $x = c$  يرسم فوق المنحنى

$$u = \sin c \cosh y, \quad v = \cos c \sinh y \quad (2)$$

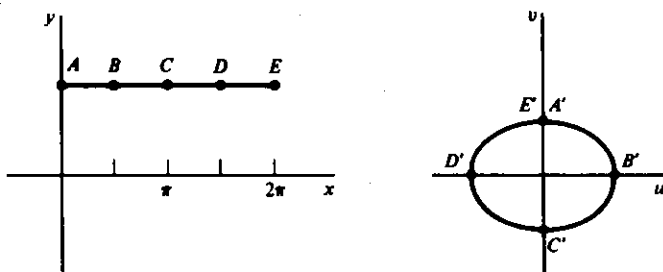
ويكون الراسم في هذه الحالة أحاديا . ويجب ملاحظة أن المنحنى (2) هو الفرع الأيمن من القطع الزائد

$$\frac{u^2}{\sin^2 c} - \frac{v^2}{\cos^2 c} = 1 \quad (3)$$

حيث بؤرتيه هما  $(\pm 1, 0)$ . أنظر شكل (32) .



التحويل  $w = \sin z$ .  
شكل (32)



التحويل  $w = \sin z$ .  
شكل (33)

صورة الخط المستقيم  $x = \pi/2$  ، التي نحصل عليها بوضع  $x = \pi/2$  في المعادلات (1) ، تتكون من النقط  $(u, 0)$  الواقعة على محور الاحداثيات  $u$  بحيث  $u \geq 1$  . ويجب ملاحظة أن الراسم الناتج بقصر نطاق التعريف على الخط المستقيم  $x = \pi/2$  لا يكون في هذه الحالة أحاديا وذلك حيث أن النقطتين  $\pi/2 + iy, \pi/2 - iy$  لهما نفس الصورة. ولكن الراسم يكون أحاديا إذا ما قصر نطاق تعريفه على النصف العلوى أو النصف السفلى لهذا الخط المستقيم .

ويمكن بسهولة الحصول على صورة الخط المستقيم  $x = c$  ، حيث  $-\pi/2 \leq c < 0$  ، من

النتائج التي حصلنا عليها من القطع الزائد (٣) ، فيما عدا عندما  $c = -\pi/2$  في هذه الحالة الأخيرة تكون صورة الخط المستقيم مكونة من النقط  $(u, 0)$  حيث  $u \leq -1$  .

إذا اعتبرنا صور الأنصاف العليا فقط من جميع هذه الخطوط المستقيمة سيكون من الواضح أن التحويلة  $w = \sin z$  تكون تناظرا أحاديا من نصف الشريحة اللانهائية

الأول من بشكل (١٠) من ملحق (٢) فإن النصف الأيمن من الشريحة يرسم فوق الربع

موضح المستوى المركب  $w$  .

التحويلة  $w = \sin z$  ترسم الخط المستقيم الأفقى  $y = c$  فوق المنحنى

$$u = \sin x \cosh c, \quad v = \cos x \sinh c. \quad (٤)$$

إذا كان  $c \neq 0$  فإن هذا المنحنى يكون القطع الناقص

$$\frac{u^2}{\cosh^2 c} + \frac{v^2}{\sinh^2 c} = 1. \quad (٥)$$

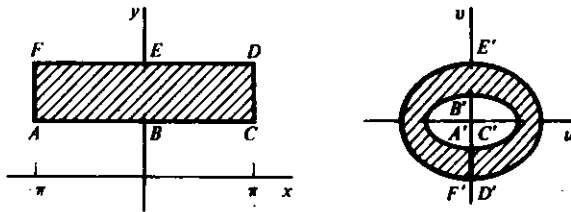
التحويلة  $w = \sin z$  تكون تناظرا أحاديا من القطعة المستقيمة  $y = c$  ،  $0 \leq x \leq \pi$  فوق النصف

الأيمن من هذا القطع الناقص ، كما أنها تكون تناظرا أحاديا من القطعة المستقيمة

$\pi \leq x \leq 2\pi$  ،  $y = c$  فوق النصف الأيسر من نفس القطع الناقص ، أنظر شكل

(٣٣) . صورة محور السينات ، والتي نحصل عليها بوضع  $c = 0$  في المعادلات

(٤) ، تكون جزء محور الاحداثيات  $u$  بحيث  $-1 \leq u \leq 1$  .



التحويلة  $w = \sin z$ .

شكل (٣٤)

المنطقة المستطيلة  $-\pi \leq x \leq \pi$  ،  $c_1 \leq y \leq c_2$  ترسم فوق المنطقة التي حدودها هي

حدود القطعين الناقصين المتحدى البؤر ( هذه المنطقة تسمى حلقة ناقصية

Elliptic Ring ) كما هو موضح بشكل (٣٤) . كل من الضلعين  $x = \pm\pi$  ،  $c_1 \leq y \leq c_2$

يرسم فوق القطعة المستقيمة  $u = 0$  ،  $-\sinh c_2 \leq v \leq -\sinh c_1$  ، فإذا كانت  $c_1 > 0$

فإن صورة المنطقة المستطيلة تكون الحلقة الناقصية بالإضافة إلى القطعة المستقيمة

$v$  تقع على الجزء السالب من محور الاحداثيات  $u = 0$  ،  $-\sinh c_2 \leq v \leq -\sinh c_1$

( هذه القطعة تسمى قاطع Cut ). فعندما تتحرك نقطة  $z$  على حدود المنطقة المستطيلة فإن صورتها تدور حول أحد القطعين الناقصين ثم تتحرك على امتداد القاطع وبعد ذلك تدور حول القطع الناقص الثاني وفي النهاية تتحرك مرة أخرى على امتداد القاطع لتعود لنقطة البداية .

التحويلة  $w = \sin z$  تكون تناظرا أحاديا من المنطقة المستطيلة  $-\pi/2 \leq x \leq \pi/2, 0 \leq y \leq c$  فوق المنطقة النصف ناقصية Semielliptic Region كما هو موضح بشكل (١١) من ملحق (٢) .

#### ٤٠ - التحويلات المتتابعة Successive Transformations

حيث أن  $\cos z = \sin(z + \pi/2)$  ، فإن التحويلة

$$w = \cos z$$

هي محصلة التحويلين  $Z = z + \frac{\pi}{2}$  و  $w = \sin Z$  بهذا الترتيب أى أن التحويلة  $w = \cos z$  تكافئ تحصيل التحويلة بدالة الجيب مسبوقة بانتقال إلى اليمين مقياسه  $\pi/2$  .

التحويلة

$$w = \sinh z$$

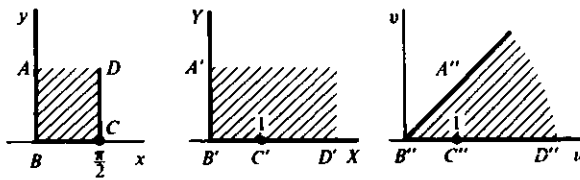
يمكن كتابتها على الصورة  $w = -i \sin(iz)$  ، أو

$$Z = iz, \quad W = \sin Z, \quad w = -iW.$$

وبالتالى فإنها تكون تحصيل التحويلة بدالة الجيب مع نصفى دورتين ( نصف الدورة هي دوران مقياسه  $\pi/2$  ) . التحويلة

$$w = \cosh z$$

يمكن معاملتها بالمثل والنظر إليها على أنها أساسا تحويل بدالة جيب التمام .



$$w = (\sin z)^{1/2} \text{ التحويلة}$$

شكل (٣٥)

التحويلة

$$w = (\sin z)^{1/2},$$

حيث الأس الكسرى يشير دائماً إلى الفرع الأساسي ، يمكن التعبير عنها على أنها تحصيل التحويلتين

$$w = Z^{1/2} \quad \text{و} \quad Z = \sin^2 z,$$

وكما نوهنا في البند السابق فإن التحويلة الأولى ترسم الشريحة النصف لا نهائية  $0 \leq x \leq \pi/2, y \geq 0$  فوق الربع الأول  $X \geq 0, Y \geq 0$  من المستوى المركب  $Z$  ، والتحويلة الثانية ترسم الربع المذكور إلى ثمن من المستوى المركب  $w$  وهذه التحويلات المتتابة موضحة بشكل (٣٥) .

وكتوضيح آخر لفكرة التحويلات المتتابة ، اعتبر أولاً التحويلة الخطية الكسرية

$$Z = \frac{z-1}{z+1}.$$

لقد سبق لنا أن بينا أن هذه التحويلة ترسم نصف المستوى  $y > 0$  فوق نصف المستوى  $Y > 0$  للمستوى المركب  $Z$  . بعد ذلك لاحظ أن التحويلة  $w = \text{Log } Z$  ترسم نصف المستوى  $Y > 0$  فوق الشريحة  $0 < v < \pi$  في المستوى المركب  $w$  . من هذا نستنتج أن التحويلة

$$w = \text{Log} \frac{z-1}{z+1}$$

ترسم نصف المستوى  $y > 0$  فوق الشريحة  $0 < v < \pi$  . ويوضح شكل (١٩) بملحق (٢) النقط المتناظرة على الحدود .

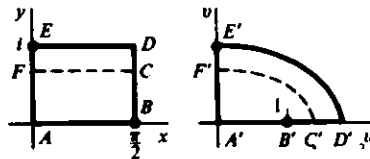
#### ٤١ - جدول تحويلات المناطق Table of Transformations of Regions

ملحق (٢) يشتمل على عدة أشكال توضح تحويلات لبعض المناطق البسيطة والمفيدة بواسطة دوال بسيطة مختلفة . وفي كل حالة يوجد تناظر أحادي بين النقط الداخلية للمنطقة المعطاة والنقط الداخلية لصورة هذه المنطقة . وقد أوضحنا الأجزاء المتناظرة من حدود المناطق باستخدام الأحرف . وقد أوضحنا كذلك بعض الرواسم التي لم نتعرض لها بالدراسة في هذا الكتاب ، والتحقق من صحة هذه التحويلات يمكن أن يترك كتأريين للقارئ . ومن الممكن اشتقاق بعض التحويلات المعطاة بملحق (٢) باستخدام تحويلة شفارتز - كريستوفل التي سندرسها بالتفصيل في الباب العاشر .

تمارين

- ١ - اثبت أن الخطوط المستقيمة  $ky = x$  ترسم فوق الحلزونات Spirals  $\rho = \exp(k\phi)$  بالتحويلة  $z, w$  حيث  $w = \rho \exp(i\phi)$ .
- ٢ - تحقق من صحة صورة المنطقة الموضحة بشكل (٧) من ملحق (٢) وكذلك حدودها بالتحويلة  $w = e^z$ .
- ٣ - أوجد صورة الشريحة نصف اللانهائية  $x \geq 0, 0 \leq y \leq \pi$  بالتحويلة  $w = \exp z$  وحدد أجزاء متناظرة من الحدود.
- ٤ - عين فرعا للدالة  $\log(z-1)$  يرسم المستوى المركب  $z$  عدا النقط  $x \geq 1, y = 0$  الواقعة على المحور الحقيقي فوق الشريحة  $0 < v < 2\pi$  من المستوى المركب  $w$ .
- ٥ - حقق أن التحويلة  $w = \sin z$  تكون تناظرا أحاديا من الخط المستقيم  $x = c$ ، حيث  $0 < c < \pi/2$  فوق الفرع الأيمن من القطع الزائد المعطى بالمعادلة (٣) من بند (٣٩).
- ٦ - اثبت أن التحويلة  $w = \sin z$  ترسم الخط المستقيم  $x = c$ ، حيث  $\pi/2 < c < \pi$  فوق الفرع الأيمن للقطع الزائد المعطى بالمعادلة (٣) من بند (٣٩). لاحظ أن الراسم يكون أحاديا وأن النصف العلوي والنصف السفلي للخط المستقيم يرسمان فوق النصف السفلي والنصف العلوي للفرع على الترتيب.
- ٧ - عين صورة الخط المستقيم  $x = c$ ، حيث  $-\pi < c < -\pi/2$  بالتحويلة  $w = \sin z$ .
- ٨ - حقق صحة الصورة الناتجة بالرأس  $\sin z$  للمنطقة الموضحة بشكل (١٠) من ملحق (٢).
- ٩ - اثبت أن التحويلة  $w = \sin z$  ترسم القطع المستقيمة المثلثة لحدود المنطقة المستطيلة  $0 \leq x \leq \pi/2, 0 \leq y \leq 1$  فوق القطع المستقيمة والقوس  $D'E'$  كما هو موضح بشكل (٣٦). القوس  $D'E'$  يمثل ربع محيط القطع الناقص

$$(u/\cosh 1)^2 + (v/\sinh 1)^2 = 1$$



التحويلة  $w = \sin z$ .  
شكل (٣٦)

- ١٠ - أكمل رسم المنطقة المستطيلة الموضحة بشكل (٣٦) وذلك برسم القطع المستقيمة  
 $0 \leq x \leq \pi/2, y = c$  لإثبات أن التحويلة  $w = \sin z$  تكون تناظرا أحاديا بين نقط  
 المنطقة المستطيلة ونقط المنطقة  $A'B'D'E'$
- ١١ - تحقق من صحة الصورة الناتجة بالراسم  $\sin z$  للمنطقة الموضحة بشكل (١١) من ملحق  
 (٢)
- ١٢ - اثبت أن التحويلة  $w = \cosh z$  ترسم النقط  $z = iy$  ، حيث  $0 \leq y \leq \pi/2$  ، إلى القطعة  
 المستقيمة  $0 \leq u \leq 1, v = 0$  على محور الاحداثيات  $u$  .
- ١٣ - اثبت أن التحويلة  $w = \cosh z$  ترسم الشريحة نصف اللانهائية  $0 \leq y \leq \pi/2, x \geq 0$  فوق  
 الربع الأول من المستوى المركب  $w$  . وضع أجزاء متناظرة من حدود المناطق
- ١٤ - عبر عن التحويلة  $w = \cosh z$  بدلالة التحويلة  $w = \sin z$  والدورانات والانتقالات .
- ١٥ - اثبت أن التحويلة  $w = \sin^2 z$  ترسم المنطقة  $0 \leq x \leq \pi/2, y \geq 0$  فوق المنطقة  $v \geq 0$  ،  
 وبين الأجزاء المتناظرة من الحدود .
- ١٦ - اثبت أن التحويلة  $w = (\sin z)^{1/4}$  ترسم الشريحة نصف اللانهائية  $0 \leq y \leq \pi/2, -\pi/2 \leq x \leq \pi/2$   
 فوق جزء الربع الأول من المستوى المركب  $w$  الواقع تحت الخط  $v = u$  ، وبين الأجزاء  
 المتناظرة من الحدود .
- ١٧ - اثبت أن التحويلة الخطية الكسرية  $Z = (z-1)/(z+1)$  ترسم محور الاحداثيات  $x$  فوق  
 محور الاحداثيات  $X$  ، وترسم القطعة المستقيمة  $-1 < x < 1, y = 0$  الواقعة على محور  
 السينات فوق النصف السالب من محور الاحداثيات  $X$  ، وترسم كذلك نصفي  
 المستويين  $y < 0$  ،  $y > 0$  فوق نصفي المستويين  $Y < 0$  ،  $Y > 0$  على الترتيب .  
 اثبت أنه ، باستخدام الفرع الأساسي ، فإن الدالة المحصلة
- $$w = Z^{1/2} = \left( \frac{z-1}{z+1} \right)^{1/2}$$
- ترسم المستوى المركب  $z$  ، عدا القطعة المستقيمة  $-1 \leq x \leq 1, y = 0$  الواقعة على محور  
 السينات ، فوق نصف المستوى  $u > 0$  . ( قارن ذلك بتمرين (١٢) من بند (٣٧) ) .
- ١٨ - باستخدام الصورة القطبية للعدد المركب  $z$  ، إثبت أن التحويلة
- $$w = z + \frac{1}{z}$$
- ترسم كل من النصف العلوي والنصف السفلي من الدائرة  $r = 1$  فوق القطعة المستقيمة  
 $-2 \leq u \leq 2, v = 0$  .

١٩ - اثبت أن التحويلة  $w = z + 1/z$  ترسم الدائرة  $r = c$  فوق القطع الناقص

$$u = \left(c + \frac{1}{c}\right) \cos \theta, \quad v = \left(c - \frac{1}{c}\right) \sin \theta.$$

٢٠ - تحقق من صحة الصورة الناتجة بالراسم  $w = z + 1/z$  للمنطقة الموضحة بشكل (١٦) من ملحق (٢).

٢١ - صف التحويلة  $w = \cosh z$  بدلالة التحويلات

$$Z = e^z, \quad w = \frac{1}{2} \left( Z + \frac{1}{Z} \right).$$



# الفصل الخامس

## التكاملات Integrals

يمكن للقارئ أن ينتقل مباشرة لدراسة الباب الثامن مستكملاً بذلك دراسته للرواسم وتطبيقاتها على المسائل الفيزيائية . وقد يبدو طبيعياً أن نقدم هنا أولاً مادة الباب الثامن على أساس أننا قد استكملنا في الباب الرابع دراسة الرواسم باستخدام الدوال البسيطة . إلا أنه يجدر بنا أن ننوه هنا بأننا لم نبرهن بعد اتصال المشتقات الجزئية الأولى والثانية لمركبتى دالة تحليلية ، وهو أمر لازم لاستكمال استيعاب مادة الباب الثامن . وعليه فإذا قرر القارئ أن ينتقل مباشرة لدراسة الباب الثامن ، فإنه يتعين عليه افتراض صحة اتصال الدوال التي أشرنا إليها الآن ، وهي حقيقة سنحتاجها هنا في برهنة بعض النظريات الخاصة بالتكامل .

ونؤكد أن التكاملات تعتبر أداة هامة للغاية في دراسة دوال المتغير المركب . ومن ناحية أخرى فإن « نظرية التكامل Theory of integration » تتميز بجمال رياضي خاص بها ، وذلك لأن النظريات عموماً ما تكون قوية وموجزة الصياغة وذات براهين بسيطة في نفس الوقت . وعلى أية حال فإن « نظرية التكامل » تتميز أيضاً بجمالها من استخدامات واسعة في الرياضيات التطبيقية .

### ٤٢ - التكاملات المحددة Definite Integrals

حتى يمكن تعريف تكامل دالة  $f(z)$  بطريقة بسيطة نوعاً ما ، نعرف أولاً التكامل المحدد لدالة  $F$  لمتغير حقيقي  $t$  وذات قيم مركبة . لنكتب

$$F(t) = U(t) + iV(t) \quad (a \leq t \leq b). \quad (1)$$

حيث كل من  $U, V$  دالة حقيقية متصلة قطعة قطعة  $Piecewise\ continuous$  (أحياناً يقال لها متصلة اتصالاً قطعياً  $Sectionally\ continuous$ ) في  $t$  على فترة محدودة ومغلقة  $a \leq t \leq b$  . ومعنى هذا أن كلا من الدالتين دالة حقيقية متصلة على الفترة المعطاة ،

اللهم الا فيما عند عدد محدود من نقاط الفترة مع مراعاة أنه رغم أن الدالة غير متصلة عند أى من هذه النقط إلا أن لها نهايات يمتنى ويسرى هناك وبطبيعة الحال فعند النقطة  $a$  فإننا نتطلب وجود نهاية يمتنى فقط لكل من الدالتين بينما عند  $b$  نتطلب وجود نهاية يسرى لكل منهما . في هذه الحالة نقول إن الدالة  $F$  متصلة قطعة قطعة ( أو متصلة اتصالاً قطعياً ) ونعرف التكامل المحدد للدالة  $F$  على الفترة  $a \leq t \leq b$  بدلالة تكاملين محددتين من النوع الذى يصادفنا في حساب التكامل للدوال الحقيقية لمتغيرات حقيقية :

$$\int_a^b F(t) dt = \int_a^b U(t) dt + i \int_a^b V(t) dt. \quad (2)$$

نعلم أن الشروط المعطاة أعلاه على الدوال  $U, V$  كافية لضمان وجود تكاملاتهما . التكامل المعتل **Improper integral** لدالة  $F$  معرفة على فترة غير محدودة يمكن تعريفه بطريقة مشابهة ، ويكون له وجود إذا كانت التكاملات المعتلة لكل من  $U, V$  تقاربية . من تعريف (٢) نجد أن

$$\operatorname{Re} \int_a^b F(t) dt = \int_a^b \operatorname{Re}[F(t)] dt. \quad (3)$$

بالإضافة إلى ذلك فإنه لكل عدد مركب ثابت  $\gamma = c_1 + ic_2$  يكون

$$\begin{aligned} \int_a^b \gamma F dt &= \int_a^b (c_1 U - c_2 V) dt + i \int_a^b (c_2 U + c_1 V) dt \\ &= (c_1 + ic_2) \left( \int_a^b U dt + i \int_a^b V dt \right); \end{aligned}$$

أى أن

$$\int_a^b \gamma F(t) dt = \gamma \int_a^b F(t) dt. \quad (4)$$

والقواعد مثل قاعدة تكامل مجموع دالتين أو قاعدة تغيير حدود التكامل هي أيضاً متحققة هنا مثلما هي متحققة في نظرية الدوال الحقيقية للمتغير  $t$  .

وللحصول على خاصية أساسية أخرى سنفترض أن قيمة التكامل (٢) عدد مركب لا يساوى صفراً . إذا كان  $r_0$  مقياس هذا العدد ،  $\theta_0$  سعة له فإن

$$r_0 e^{i\theta_0} = \int_a^b F dt.$$

باستخدام (٤) فإن  $r_0$  تُعطى بالمعادلة

$$r_0 = \int_a^b e^{-i\theta_0} F dt.$$

لاحظ أن كلا من طرفي هذه المعادلة عدد حقيقي ، وعليه فإن الخاصية (٣) تسمح لنا

بأن نكتب

$$r_0 = \int_a^b \operatorname{Re} (e^{-i\theta_0} F) dt. \quad (5)$$

لكن

$$\operatorname{Re}(e^{-i\theta_0} F) \leq |e^{-i\theta_0} F| = |e^{-i\theta_0}| |F| = |F|;$$

وعليه فإن

$$r_0 \leq \int_a^b |F| dt,$$

وذلك بشرط أن يكون  $a < b$ . وهذا يعني أن

$$\left| \int_a^b F(t) dt \right| \leq \int_a^b |F(t)| dt \quad (a \leq b). \quad (6)$$

واضح أن هذه المتباينة صحيحة أيضاً عندما تكون قيمة التكامل في الطرف الأيسر لهذه المتباينة مساوية للصفر.

بإجراء تعديلات طفيفة ثانوية في المناقشة السابقة، يمكننا الحصول على متباينات

مثل

$$\left| \int_a^\infty F(t) dt \right| \leq \int_a^\infty |F(t)| dt$$

بشرط تحقق وجود كل من التكاملين

### ٤٣ - الكفافات<sup>(١)</sup> Contours

سنعرف الآن بعض المنحنيات الخاصة والمناسبة لدراسة تكاملات دالة  $f(z)$  لمتغير

مركب .

يقال لفئة من النقط  $z = (x, y)$  في المستوى المركب أنها تشكل قوساً Arc إذا كانت

$$x = x(t), \quad y = y(t) \quad (a \leq t \leq b). \quad (1)$$

حيث كل من  $x(t)$ ,  $y(t)$  دالة متصلة في البارامتر الحقيقي  $t$ . وهذا التعريف يعطى لنا

راسماً متصلاً من الفترة  $a \leq t \leq b$  إلى المستوى  $xy$  وترتب صور نقط الفترة بحسب زيادة

قيم  $t$ . ويكون من الملائم وصف نقط قوس  $C$  بالمعادلة

$$z = z(t) = x(t) + iy(t) \quad (a \leq t \leq b), \quad (2)$$

ونصطلح على القول بأن  $z(t)$  متصلة إذا كان كل من  $x(t)$ ,  $y(t)$  متصلة .

يقال للقوس  $C$  أنه قوس بسيط simple arc (أو قوس چوردان Jordan arc) في

حالة إذا لم يقطع القوس نفسه؛ أي أن  $C$  يكون قوساً بسيطاً إذا كان  $t_1 \neq t_2$  يستلزم

$z(t_1) \neq z(t_2)$ . وإذا حدث وكانت  $z(t_1) \neq z(t_2)$  طالما  $a < t_1 < t_2 < b$  وكان

$z(a) = z(b)$  فإننا نقول أن  $C$  منحنى مغلق بسيط Simple closed curve أو منحنى چوردان

Jordan curve . الخط المضلعى

(١) حاشية للمترجمين : راعينا أن تكون ترجمة كلمة Contour التي نستخدمها هنا متفقة مع كل من المعنى اللغوي والمعنى الرياضى للكلمة .

$$z(t) = \begin{cases} t + it & (0 \leq t \leq 1), \\ t + i & (1 \leq t \leq 2), \end{cases} \quad (3)$$

والذى يتكون من قطعة مستقيمة من 0 إلى  $1+i$  متبوعة بأخرى من  $1+i$  إلى  $2+i$  يعطينا مثالا لقوس بسيط ، بينا تعطينا دائرة الوحدة

$$z(t) = \cos t + i \sin t \quad (0 \leq t \leq 2\pi) \quad (4)$$

التي مركزها نقطة الأصل مثالا لمنحنى مغلق بسيط .

يقال للدالة المركبة  $z(t)$  والمعطاة بالمعادلة (٢) أنها دالة قابلة للاشتقاق بالنسبة للبارامتر الحقيقي  $t$  إذا كانت كل من  $x(t)$ ،  $y(t)$  دالة قابلة للاشتقاق بالنسبة للمتغير  $t$  . وتعرف المشتقة  $z'(t)$  ( أو  $d[z(t)]/dt$  ) كآلاتي

$$z'(t) = x'(t) + iy'(t) \quad (a \leq t \leq b). \quad (5)$$

وبطبيعة الحال فإن مشتقة كل من الدالتين  $x(t)$ ،  $y(t)$  عند نقطتي النهايتين  $t = a$ ،  $t = b$  يقصد بها المشتقتان اليمنى واليسرى عند هاتين النقطتين على التعاقب .

القوس  $C$  المعطى بالمعادلة (٢) يقال له قوساً أملساً **Smooth arc** إذا كانت المشتقة  $z'(t)$  لها وجود ومتصلة على الفترة  $a \leq t \leq b$  وبشرط أن تكون  $z'(t) \neq 0$  على طول الفترة . إذا كان  $x'(t) = 0$  عند نقطة ما  $t$  فإن المتجه  $z'(t) = iy'(t)$  يكون عمودياً ؛ أما إذا كان  $x'(t) \neq 0$  فإن ميل المتجه  $z'(t)$  يساوى  $y'(t)/x'(t)$  وهذا بدوره يساوى ميل المماس  $dy/dx$  للقوس  $C$  عند النقطة المناظرة للبارامتر  $t$  ؛ وعليه فإن زاوية ميل المماس عند هذه النقطة هي  $\arg z'(t)$  . وحيث أن  $z'(t)$  متصلة في الفترة  $a \leq t \leq b$  فإننا نستخلص أن المماس لأى قوس أملس ينعطف عليه بشكل مستمر .

على ضوء المتطابقة

$$|z'(t)| = \sqrt{[x'(t)]^2 + [y'(t)]^2},$$

يمكننا التعبير عن طول قوس أملس بالصيغة

$$L = \int_a^b |z'(t)| dt. \quad (6)$$

يكون من المفيد هنا معرفة مدى التغير في الصيغة (٦) ، التي تمثل حسب تعريفنا طول القوس  $C$  ، إذا ما أحدثنا تغييراً في التمثيل البارامترى للقوس  $C$  . وسيتبين القارىء أن العدد  $L$  المعطى بالصيغة (٦) لا تتغير قيمته في الحالة الهامة التي سنتناولها فيما يلي والمعطاة بالتغيير (٧) للتمثيل البارامترى  $C$  وتحت الشروط المعطاة . لتوضيح ذلك نفرض أن

$$t = \phi(r) \quad (c \leq r \leq d) \quad (7)$$

حيث  $\phi$  دالة حقيقية ترسم الفترة  $c \leq r \leq d$  فوق الفترة  $a \leq t \leq b$ . وسنفرض أن  $\phi$  دالة متصلة ذات مشتقة متصلة. وسنفرض كذلك أن  $\phi'(r) > 0$  لكل  $r$ ، وهذا يكفل لنا ازدياد  $t$  بازدياد  $r$ ، بمعنى أن  $\phi$  دالة تزايدية. نلاحظ أنه على ضوء المعادلة (7) تصبح الصيغة (6) لطول القوس على الصورة

$$L = \int_c^d |z'[\phi(r)]| \phi'(r) dr.$$

ومن ناحية أخرى فالتمثيل البارامترى الجديد للقوس  $C$  هو

$$z = Z(r) = z[\phi(r)] \quad (c \leq r \leq d) \quad (8)$$

من ذلك، فضلا عن نتيجة تمرين (6) من هذا البند نحصل على

$$L = \int_c^d |Z'(r)| dr.$$

وهذا يبين أن العدد  $L$  المعطى بصيغة (6) يظل ثابتا لا يتغير إذا ما استخدمنا مثل هذا التغيير (7) في التمثيل البارامترى للقوس  $C$ .

يقال لقوس مكون من عدد محدود من الأقواس المتصلة بعضها ببعض نهاية بنهاية كفاف  $C$ ، أو قوس أملس قطعة قطعة  $Piecewise smooth arc$ ، وإذا مثلت المعادلة (2) كفافا فإن كلا من  $y(t)$ ،  $x(t)$  تكون دالة متصلة لها مشتقة أولى متصلة قطعة قطعة. وعلى سبيل المثال فالخط المضلعي (3) مثال لكفاف. إذا كانت  $g(t)$  لها نفس القيمة عندنقطتي البداية والنهاية وكانت قيمها مختلفة عند أى نقطتين أخريين فإننا نقول للكفاف  $C$  انه كفاف مغلق بسيط  $Simple closed contour$ . وكأمثلة على ذلك نذكر الدائرة (4) وكذلك حدود مثلث أو مستطيل مأخوذ في اتجاه دوراني محدد. طول كفاف ما، أو كفاف مغلق بسيط، هو مجموع أطوال الأقواس المتصلة التي يتكون منها الكفاف.

يزامل أى منحنى مغلق بسيط، أو كفاف مغلق بسيط،  $C$  نطاقين تكون نقط  $C$  هي فئة النقط الحدية لكل منهما، وأحد هذين النطاقين محدود ويقال له النطاق الداخلي للمنحنى أو الكفاف  $C$ ، بينما يكون النطاق الآخر غير محدود ويطلق عليه النطاق الخارجى للمنحنى أو الكفاف  $C$  ( بطريقة أخرى النطاق الداخلى هو داخلية المنحنى أو الكفاف، في حين يكون النطاق الخارجى هو خارجية المنحنى أو الكفاف ). ورغم أن هذه الحقيقة يمكن قبول التوضيح الهندسى لها، إلا أن برهانها ليس سهلا. وعلى أية

حال سيكون من الملائم لنا قبول هذه الحقيقة والمعروفة بنظرية المنحنى لجوردان<sup>(١)</sup>

## تمارين

١ - إحسب

$$\frac{d}{dt} e^{it} \quad (ج) ; \int_0^{\infty} e^{-zt} dt \quad (Re z > 0) \quad (ب) ; \int_0^{2\pi} e^{it} dt \quad (أ)$$

الأجوبة : (أ)  $1/\sqrt{2} + i(1 - 1/\sqrt{2})$  ; (ب)  $1/z$  ; (ج)  $ie^{it}$

٢ - برهن أنه إذا كانت  $F$  دالة من النوع (١) ليند (٤٢) فإن

$$\int_a^b F(t) dt = \int_{-b}^{-a} F(-t) dt.$$

٣ - إذا كان  $n, m$  أعداداً صحيحة ، برهن أن

$$\int_0^{2\pi} e^{im} e^{-in} dt = \begin{cases} 0 & (m \neq n), \\ 2\pi & (m = n). \end{cases}$$

٤ - لتكن  $F$  دالة ذات قيم مركبة ومتصلة في  $t$  ومعرفة على  $a \leq t \leq b$  . اعط مثلاً تبين فيه

أنه لا يوجد عدد حقيقي  $c$  بين  $b, a$  بحيث يكون  $F(c)$  مساوياً للتكامل المحدد للدالة  $F$  على هذه الفترة ؛ ومن ثم استنتج أن نظرية القيمة المتوسطة للتكامل المعروفة في مبادئ علم التكامل غير قابلة للتطبيق هنا لمثل هذه الدوال .

اقترح : استخدم حالة خاصة لنتيجة تمرين (٣) .

٥ - لتكن  $f(t) = u(t) + iv(t)$  دالة ذات قيم مركبة لمتغير حقيقي  $t$  ومتصلة قطعة قطعة على

الفترة  $a \leq t \leq b$  . برهن أنه إذا كانت  $F(t) = U(t) + iV(t)$  دالة بحيث  $F'(t) = f(t)$ ، فإن

$$\int_a^b f(t) dt = F(b) - F(a).$$

٦ - استبسط الصيغة (٩) ليند (٤٣) .

اقترح : اعتبر الدالة  $Z(r) = x[\phi(r)] + iy[\phi(r)]$  ثم طبق قاعدة السلسلة للدوال الحقيقية لمتغير حقيقي .

٧ - لتكن الدالة  $z(t) = x(t) + iy(t)$  ، حيث  $a \leq t \leq b$  ، ممثلة لقوس

أملس ولتكن كل قيمة من قيم الدالة واقعة في نطاق تعريف دالة تحليلية  $w = f(z)$  . برهن أنه

$$\text{إذا كان } w(t) = f[z(t)] \text{ فإن } w'(t) = f'[z(t)]z'(t) .$$

اقترح : اعتبر الدالة  $w(t) = u[x(t), y(t)] + iv[x(t), y(t)]$  ثم طبق قاعدة السلسلة

في حساب التفاضل لمتغيرات حقيقية .

(١) انظر بند (١٣) لمؤلف ثرون Thron المذكور في ملحق (١) في آخر الكتاب .

## ٤٤ - التكاملات الخطية Line Integrals

نعرف الآن التكامل المحدد للدالة  $f$  لمتغير مركب  $z$  وذات قيم مركبة ، ويعرف هذا التكامل بدلالة قيم  $f(z)$  على طول كفاف معطى  $C$  ممتد من النقطة  $z = \alpha$  إلى النقطة  $z = \beta$  في المستوى المركب ؛ وهذا هو سبب تسميته بالتكامل الخطي . وقيمة هذا التكامل تتوقف عموماً على الكفاف  $C$  وفي نفس الوقت على الدالة  $f$  ، ومثل هذا التكامل يكتب على الصورة

$$\int_C f(z) dz \quad \text{أو} \quad \int_a^b f(z) dz$$

والندوين الثاني ( الأيسر ) عادة ما يستخدم عندما تكون قيمة التكامل لا تعتمد على اختيار الكفاف المرسوم بين نقطتي النهاية . وبينما يمكن تعريف التكامل الخطي مباشرة على أنه نهاية مجموع ، إلا أننا نفضل هنا تعريفه بدلالة تكامل محدد من النوع الذي عرفناه في بند (٤٢) .

ليكن  $C$  كفافاً معرفاً بالمعادلة

$$z(t) = x(t) + iy(t) \quad (a \leq t \leq b) \quad (1)$$

وتمتد من النقطة  $\alpha = z(a)$  إلى النقطة  $\beta = z(b)$  . ولتكن  $f(z) = u(x,y) + iv(x,y)$  دالة متصلة اتصالاً قطعياً على  $C$  ، وهذا يعني أن الجزئين الحقيقي والتخيلي

$$u[x(t), y(t)] \quad \text{و} \quad v[x(t), y(t)]$$

للدالة  $f[z(t)]$  دالتان متصلتان اتصالاً قطعياً في  $t$  . نعرف التكامل الخطي للدالة  $f$  على طول  $C$  كالتالي :

$$\int_C f(z) dz = \int_a^b f[z(t)]z'(t) dt. \quad (2)$$

وحيث أن

$$f[z(t)]z'(t) = \{u[x(t), y(t)] + iv[x(t), y(t)]\}[x'(t) + iy'(t)],$$

فإن تعريف (٢) يمكن كتابته بدلالة تكاملات لدوال حقيقية لمتغير حقيقي . ووفقاً لتعبيرنا (٢) بند (٤٢) ، فإن هذا يعني

$$\int_C f(z) dz = \int_a^b (ux' - vy') dt + i \int_a^b (vx' + uy') dt. \quad (3)$$

وحيث أن  $C$  كفاف ، فإننا نلاحظ أن الدالتين  $x'$  و  $y'$  ، تماماً كالدالتين  $u, v$  ، دالتان متصلتان اتصالاً قطعياً في  $t$  ؛ ومن ثم فإن تكاملي الطرف الأيمن للمعادلة (٣) لهما وجود ، مما يكفل لنا وجود التكامل المعرف في (٢) .

وبدلالة تكاملات خطية لدوال حقيقية لمتغيرين حقيقيين ، فإننا نحصل على

$$\int_C f(z) dz = \int_C u dx - v dy + i \int_C v dx + u dy. \quad (٤)$$

لاحظ أن التعبير (٤) يمكن كتابته إذا اصطللنا اصطلاحاً شكلياً على ابدال  $z$  بالمقدار  $u + iv$  و  $dz$  بالمقدار  $dx + i dy$  وفك حاصل الضرب ( كما لو كان ضرب أعداداً مركبة ) .

سنتفق - مالم ينص على خلاف ذلك - على أن مسارات التكامل هي كفافات وعلى أن المكاملات دوال متصلة اتصالاً قطعياً على هذه الكفافات .

الكفاف  $C$  في (٢) يزامله كفاف آخر  $C^-$  والذي يتكون من نفس نقط الكفاف  $C$  مع عكس ترتيب هذه النقط ، بمعنى أن الكفاف الجديد يمتد من  $\beta$  إلى  $\alpha$  . الكفاف  $C^-$  تصفه المعادلة  $z = z(-t)$  حيث  $-a \leq t \leq -b$  . ومن ثم

$$\int_{-C} f(z) dz = \int_{-b}^{-a} f[z(-t)] [-z'(-t)] dt,$$

حيث  $z'(-t)$  ترمز لمشتقة  $z(t)$  بالنسبة للمتغير  $t$  عند النقطة  $-t$  . وباستبدال مناسب للمتغير  $t$  في تكامل الطرف الأيمن لهذه العلاقة ( انظر تمرين بند (٤٣) ) نبين أن

$$\int_{-C} f(z) dz = - \int_C f(z) dz.$$

نشير الآن إلى ثلاث خواص أخرى للتكامل الخطي والتي يمكن الحصول عليها بشكل مباشر من أحد التعبيرين (٢) أو (٣) . وبالتحديد

$$\int_C \gamma f(z) dz = \gamma \int_C f(z) dz, \quad (٦)$$

لأى عدد مركب ثابت  $\gamma$  ، و

$$\int_C [f(z) + g(z)] dz = \int_C f(z) dz + \int_C g(z) dz. \quad (٧)$$

ومن ناحية أخرى إذا كان الكفاف  $C$  يتكون من كفاين أحدهما  $C_1$  من  $\alpha_1$  إلى  $\beta_1$  والآخر  $C_2$  من  $\alpha_2$  إلى  $\beta_2$  حيث  $\beta_1 = \alpha_2$  فإن

$$\int_C f(z) dz = \int_{C_1} f(z) dz + \int_{C_2} f(z) dz. \quad (٨)$$

ووفقاً للتعريف (٢) أعلاه واتساقاً مع الخاصية (٦) بند (٤٢) نجد أن

$$\left| \int_C f(z) dz \right| \leq \int_a^b |f[z(t)]z'(t)| dt.$$

وعليه فإنه لأي ثابت  $M$  محقق للمتباعدة  $|f(z)| \leq M$  لأي  $z$  على الكفاف  $C$  ، يكون

$$\left| \int_C f(z) dz \right| \leq M \int_a^b |z'(t)| dt.$$



الآن التكامل المعطى على يمين هذه المتباينة يمثل طول الكفاف  $L$  . وتأسيساً على ذلك فإن مقياس قيمة تكامل  $f$  على امتداد  $C$  لا تتعدى  $ML$  ، أى أن

$$\left| \int_C f(z) dz \right| \leq ML. \quad (9)$$

وبطبيعة الحال فإن التساوى يكون مستبعداً في هذه المتباينة إذا حدث وكان  $|f(z)| < M$  لجميع النقط  $z$  على  $C$  .

ويجب أن نراعى جيداً أن مثل هذا العدد  $M$  الوارد في المتباينة (٩) ، له وجود دائماً. لمثل الأقواس والدوال التي نتناولها هنا . ولتوضيح ذلك نفرض أن  $f$  دالة معرفة على قوس  $C$  . المتطابقة

$$|f(z)| = |f[z(t)]| \quad (a \leq t \leq b)$$

صحيحة طالما كانت  $z$  على  $C$  . فإذا افترضنا بالاضافة إلى ذلك أن  $f$  متصلة فوق  $C$  ، فإن  $|f[z(t)]|$  تمثل بالتالى دالة حقيقية متصلة على فترة مغلقة محدودة ، ومثل هذه الدالة لها قيمة عظمى على هذه الفترة<sup>(١)</sup> . هذه الملاحظات يمكننا الآن تعميمها مباشرة لتشمل الحالة التي تكون فيها  $f$  متصلة اتصالاً قطعياً على  $C$  .

نلاحظ أن قيمة التكامل الخطى لا تتغير إذا أحدثنا تغييراً على غرار التغيير المعطى بمعادلة (٧) بند (٤٣) في التمثيل البارامترى للكفاف المحسوب التكامل على امتداده . ولتبيين ذلك نكتب التكاملات في الطرف الأيمن من معادلة (٣) بدلالة البارامتر  $t$  ، ثم نستخدم الطريقة المتبعة في بند (٤٣) لإثبات عدم تغير طول القوس .

نعلم من مبادئ علم التكامل أن التكاملات المحددة يمكن تفسيرها أحياناً على أنها طريقة لحساب المساحات ( في الواقع يمكن استخدامها كتعريف للمساحة ) وذلك بالإضافة إلى تفسيرات أخرى لمفهوم التكامل المحدد . أما بالنسبة للتكامل في المستوى المركب فإنه لا توجد - اللهم إلا في حالات خاصة - تفسيرات هندسية أو فيزيائية مناظرة مفيدة . ورغم ذلك - كما ألمحنا من قبل - فإن لنظرية التكامل في المستوى المركب تطبيقات هامة ملحوظة في الرياضيات البحتة والتطبيقية سواء .

#### ٤٥ - أمثلة Examples

دعنا نحسب الآن قيمة التكامل

(١) انظر على سبيل المثال كتاب "Advanced Calculus" تأليف تايلور ومان A.E. Taylor, W.R.

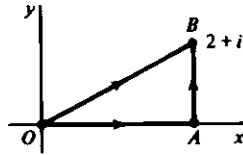
$$I_1 = \int_{C_1} z^2 dz$$

في الحالة التي يكون فيها  $C_1$  هو القطعة المستقيمة  $OB$  من  $z=0$  إلى  $z=2+i$  (شكل (٣٧)). لاحظ أن نقط  $C_1$  تقع على الخط المستقيم  $x=2y$  ؛ وعليه إذا استخدمنا  $y$  كبارامتر فإن المعادلة البارامتريّة للكفاف تكون

$$z(y) = 2y + iy \quad (0 \leq y \leq 1).$$

ويمكن أيضاً كتابة المكامل  $z^2$  (على  $C_1$ ) على الصورة

$$z^2 = x^2 - y^2 + i2xy = 3y^2 + i4y^2.$$



شكل (٣٧)

وعليه فإن

$$\begin{aligned} I_1 &= \int_0^1 (3y^2 + i4y^2)(2 + i) dy \\ &= (3 + 4i)(2 + i) \int_0^1 y^2 dy = \frac{2}{3} + \frac{14}{3}i. \end{aligned}$$

نأخذ الآن مساراً آخر  $C_2$  للتكامل ، ألا وهو الكفاف  $OAB$  المبين في شكل (٣٧). في هذه الحالة تكون قيمة التكامل

$$I_2 = \int_{C_2} z^2 dz = \int_{OA} z^2 dz + \int_{AB} z^2 dz.$$

كمعادلة بارامتريّة للقوس  $OA$  نأخذ  $z(x) = x$  ( $0 \leq x \leq 2$ ) وكمعادلة بارامتريّة للقوس  $AB$  نأخذ  $z(y) = 2 + iy$  ( $0 \leq y \leq 1$ ). إذن

$$\begin{aligned} I_2 &= \int_0^2 x^2 dx + \int_0^1 (2 + iy)^2 i dy \\ &= \frac{8}{3} + i \left[ \int_0^1 (4 - y^2) dy + 4i \int_0^1 y dy \right] = \frac{2}{3} + \frac{14}{3}i. \end{aligned}$$

يتصادف في حالتنا هذه أن معادلة الكفاف **OAB** يمكن كتابتها على الصورة

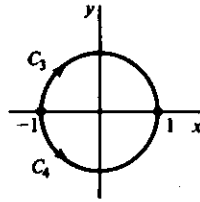
$$z(t) = \begin{cases} t & (0 \leq t \leq 2), \\ 2 + i(t-2) & (2 \leq t \leq 3). \end{cases}$$

لاحظ أن  $I_2 = I_1$  ؛ وعليه فإن تكامل  $z^2$  على الكفاف البسيط المغلق **OABO** هو  $I_2 - I_1 = 0$  ، وسنرى بعد قليل أن ذلك صحيح لأن المكامل  $z^2$  دالة تحليلية داخل الكفاف وعليه ( أى لجميع نقاط الكفاف **C** وداخليته )  
وكمثال ثالث سنعتبر المكامل المعرف بالدالة

$$f(z) = \bar{z},$$

ونأخذ النصف الأعلى للدائرة  $|z|=1$  من  $z=-1$  إلى  $z=1$  كمسار  $C_3$  للتكامل  
( شكل (٣٨) ) . وكمعادلة بارامترية للكفاف  $C_3$  - نأخذ  $z(\theta) = \cos \theta + i \sin \theta$  أى

$$z(\theta) = e^{i\theta} \quad (0 \leq \theta \leq \pi).$$



شكل (٣٨)

إذن

$$I_3 = \int_{C_3} \bar{z} dz = - \int_{-C_3} \bar{z} dz = - \int_0^\pi e^{-i\theta} i e^{i\theta} d\theta = -\pi i.$$

التكامل  $I_4$  بين نفس النقطتين على طول نصف الدائرة السفلى  $C_4$  والممثل بالمعادلة

$$z(\theta) = e^{i\theta} \quad (\pi \leq \theta \leq 2\pi),$$

يمكن حسابه مباشرة

$$I_4 = \int_{C_4} \bar{z} dz = \int_\pi^{2\pi} e^{-i\theta} i e^{i\theta} d\theta = \pi i.$$

لاحظ أن  $I_4 \neq I_3$  وبأن التكامل  $I_C$  حول الدائرة **C** بأكملها وفي اتجاه مضاد لعقرب الساعة لا يساوى صفرا :

$$I_C = \int_C \bar{z} dz = I_4 - I_3 = 2\pi i.$$

إذا كانت  $z$  نقطة على دائرة الوحدة **C** فإن

$$\frac{1}{z} = \frac{\bar{z}}{|z|^2} = \bar{z};$$

وعليه فإن الدوال الكاملة في التكاملات  $I_3, I_4, I_5$  يمكن استبدالها بالدالة  $1/z$  وعلى وجه التخصيص ،

$$I_C = \int_C \frac{dz}{z} = 2\pi i.$$

وكمثال أخير ، ليكن الكفاف  $C_5$  هو القطعة المستقيمة من  $z = i$  إلى  $z = 1$  بدون حساب التكامل

$$I_5 = \int_{C_5} \frac{dz}{z^4},$$

دعنا نوجد حدًا أعلى لقيمته المطلقة . مسار التكامل هو قطعة من المستقيم  $y = 1 - x$  ، وعليه ، إذا كانت  $z$  نقطة على  $C_5$  ، فإن

$$|z^4| = (x^2 + y^2)^2 = [x^2 + (1 - x)^2]^2 = (2x^2 - 2x + 1)^2$$

وهذا يعني أن

$$|z^4| = [2(x - \frac{1}{2})^2 + \frac{1}{2}]^2 \geq \frac{1}{4},$$

وذلك لأن  $(x - \frac{1}{2})^2 \geq 0$  . وتبعًا لذلك فإن لكل  $z$  على  $C_5$  :

$$\left| \frac{1}{z^4} \right| \leq 4.$$

وحيث أن طول  $C_5$  يساوي  $\sqrt{2}$  ، فبوضوح  $M = 4$  في المتباينة (٩) بند (٤٤) نحصل على

$$|I_5| \leq 4\sqrt{2}.$$

## تمارين

لكل قوس  $C$  ولكل دالة  $f$  في التمارين من ١ إلى ٥ اوجد قيمة التكامل

$$\int_C f(z) dz$$

وذلك بعد التأكد من أن  $C$  كفاف وبأن  $f$  متصلة قطعة قطعة على  $C$

$$1 - f(z) = y - x - 3x^2i \text{ و } C$$

(أ) القطعة المستقيمة من  $z = 0$  إلى  $z = 1 + i$  .

(ب) يتكون من قطعتين مستقيمتين إحداهما من  $z = 0$  إلى  $z = i$  والأخرى

من  $z = i$  إلى  $z = 1 + i$  .

الاجوبة : (أ)  $1 - i$  ؛ (ب)  $(1 - i)/2$  .

$$2 - f(z) = (z + 2)/z \text{ و } C$$

(أ) نصف الدائرة  $z = 2e^{i\theta}$  ( $0 \leq \theta \leq \pi$ ) ؛

(ب) نصف الدائرة  $z = 2e^{i\theta}$  ( $\pi \leq \theta \leq 2\pi$ ) ؛

(ج) نصف الدائرة  $z = 2e^{i\theta}$  ( $-\pi \leq \theta \leq \pi$ ) .

الأجوبة : (أ)  $-4 - 2\pi i$  ؛ (ب)  $4 + 2\pi i$  ؛ (ج)  $4\pi i$  .

٣ -  $f(z) = z - 1$  و C هو القوس من  $z = 0$  إلى  $z = 2$  والذي يتكون من

(أ) نصف الدائرة  $z - 1 = e^{i\theta}$  ( $0 \leq \theta \leq \pi$ ) ؛

(ب) القطعة المستقيمة  $0 \leq x \leq 2, y = 0$  من المحور الحقيقي (السينات)

الأجوبة : (أ) صفر ؛ (ب) صفر

٤ - المنحنى C من  $z = -1 - i$  إلى  $z = 1 + i$  بمحاذاة المنحنى  $y = x^2$  و

$$f(z) = \begin{cases} 4y & (y > 0), \\ 1 & (y < 0). \end{cases}$$

الإجابة :  $2 + 3i$ .

٥ -  $f(z) = e^z$  و C هو القوس من  $z = \pi i$  إلى  $z = 1$  والمكون من

(أ) القطعة المستقيمة الواصلة بين هاتين النقطتين ،

(ب) القطعتين المستقيمتين إحداهما من  $z = \pi i$  إلى  $z = 0$  والأخرى من  $z = 0$

إلى  $z = 1$  .

الأجوبة : (أ)  $1 + e$  ؛ (ب)  $1 + e$

٦ - احسب قيمة التكامل  $\int_C z^m \bar{z}^n dz$

حيث  $n, m$  أعداداً صحيحة و C الدائرة  $|z| = 1$  في مسار مضاد لاتجاه عقرب الساعة

( انظر تمرين (٣) بند (٤٣) )

٧ - اثبت أنه إذا كان C هو محيط المربع الذي رؤوسه هي النقط  $z = 0, z = 1, z = 1 + i$  ،

وفي مسار مضاد لاتجاه عقرب الساعة فإن

$$\int_C (3z + 1) dz = 0.$$

٨ - احسب قيمة التكامل الآتي على نفس كفاف التمرين السابق

$$\int_C \pi \exp(\pi \bar{z}) dz.$$

الإجابة :  $4(e^{\pi} - 1)$  .

٩ - احسب التكامل  $I_3$  في بند (٤٥) مستخدماً التمثيل البارامترى الآتي للكفاف  $C_3$

$$z(t) = t + i\sqrt{1-t^2} \quad (-1 \leq t \leq 1).$$

١٠ - ليكن C هو قوس الدائرة  $|z| = 2$  من  $z = 2$  إلى  $z = 2i$  والواقع في الربع الأول

من المستوى . بدون حساب التكامل ، اثبت أن

$$\left| \int_C \frac{dz}{z^2 + 1} \right| \leq \frac{\pi}{3}.$$

١١ - اثبت أنه إذا كان C هو محيط المثلث الذي رؤوسه هي النقط  $z = 3i, z = -4, z = 0$

وكان مسار C مضاداً لاتجاه عقرب الساعة ، فإن

$$\left| \int_C (e^z - z) dz \right| \leq 60.$$

١٢ - ليكن  $C$  هو الدائرة  $|z| = R$  موجهها في اتجاه مضاد لاتجاه عقرب الساعة وحيث

$R > 1$  . برهن أن

$$\left| \int_C \frac{\text{Log } z}{z^2} dz \right| < 2\pi \frac{\pi + \text{Log } R}{R}$$

ومن ثم بين أن قيمة التكامل تؤول إلى الصفر عندما تؤول  $R$  إلى  $\infty$  .

١٣ - بكتابة التكامل بدلالة تكاملات لدوال ذات قيم حقيقية لمتغير حقيقي اثبت أن

$$\int_{\alpha}^{\beta} dz = \beta - \alpha$$

وذلك عندما يكون مسار التكامل من  $z = \alpha$  إلى  $z = \beta$  :

(أ) قوساً أملياً ؛ (ب) كفاف

١٤ - اثبت أن

$$\int_{\alpha}^{\beta} z dz = \frac{1}{2}(\beta^2 - \alpha^2)$$

وذلك عندما يكون مسار التكامل من  $z = \alpha$  إلى  $z = \beta$  :

(أ) قوساً أملياً ؛ (ب) كفاف

١٥ - اثبت أنه إذا كان  $C$  هو الدائرة

$$z - z_0 = r_0 e^{i\theta}$$

$$(0 \leq \theta \leq 2\pi),$$

موجهها في اتجاه مضاد لاتجاه عقرب الساعة وكانت  $f$  متصلة على  $C_0$  فإن

$$\int_{C_0} f(z) dz = ir_0 \int_0^{2\pi} f(z_0 + r_0 e^{i\theta}) e^{i\theta} d\theta.$$

١٦ - استخلص النتائج الخاصة التالية من نتيجة تمرين (١٥)

$$\int_{C_0} \frac{dz}{z - z_0} = 2\pi i, \quad \int_{C_0} (z - z_0)^{n-1} dz = 0 \quad (n = \pm 1, \pm 2, \dots).$$

٤٦ - نظرية كوشي - جورساه The Cauchy-Goursat Theorem

لنفرض أن الدالتين الحقيقيتين  $Q(x,y)$  و  $P(x,y)$  فضلا عن مشتقاتهما الجزئية الأولى دوال متصلة لجميع نقط منطقة مغلقة  $R$  مكونة من جميع النقط داخل وعلى كفاف مغلق بسيط  $C$  . وسنعتبر أن الاتجاه الدوراني للكفاف هو الاتجاه الموجب **Positive sense** ( أى في اتجاه مضاد لاتجاه عقرب الساعة ) وذلك حتى تكون النقط الداخلية للمنطقة  $R$  واقعة على يسار  $C$  . ووفقاً لنظرية جرين **Green's theorem** للتكامل الخطى في حساب التفاضل والتكامل للمتغيرات الحقيقية يكون

$$\int_C P dx + Q dy = \iint_R (Q_x - P_y) dx dy.$$

سنعتبر الآن أن الدالة

$$f(z) = u(x,y) + iv(x,y)$$

دالة تحليلية لجميع نقط مثل هذه المنطقة  $R$  في المستوى  $z$  . وسنفرض بالاضافة إلى ذلك

أن  $f'(z)$  متصلة هناك . المركبات  $v, u$  فضلا عن مشتقاتها الجزئية الأولى هي بالتالى دوال متصلة في  $R$  ؛ مما يستتبع

$$\int_C u dx - v dy = - \iint_R (v_x + u_y) dx dy,$$

$$\int_C v dx + u dy = \iint_R (u_x - v_y) dx dy.$$

وعلى ضوء معادلتى كوشى - ريمان ، فإن مكامل كل من هذين التكاملين الثنائين يكون مساويا للصفر عند كل نقطة من نقاط  $R$  ، ووفقا للمعادلة (٤) بند (٤٤) ، فإن التكاملات الخطية على يسار المعادلتين السابقتين أعلاه تمثلان الجزآن الحقيقى والتخيلى على التوالى لقيمة التكامل  $f(z)$  حول  $C$  . وعليه فإننا نحصل على النتيجة التالية :

$$\int_C f(z) dz = 0$$

التي توصل إليها كوشى فى بداية القرن الماضى .

وكأمثلة بسيطة نلاحظ أنه إذا كان  $C$  كفافا مغلقاً بسيطاً فإن

$$\int_C dz = 0, \quad \int_C z dz = 0, \quad \int_C z^2 dz = 0$$

وذلك لأن الدوال  $1, z, z^2$  دوال شاملة ومشتقاتها متصلة لجميع النقط .

لقد كان جورساه E. Goursat ( ١٨٥٨ - ١٩٣٦ ) هو أول من برهن إمكانية إسقاط شرط اتصال  $f'(z)$  . واستبعاد شرط الاتصال هذا هام . وإحدى النتائج - على سبيل المثال - هي أن مشتقات الدوال التحليلية هي أيضاً تحليلية . النظرية التالية والتي يطلق عليها نظرية كوشى - جورساه Cauchy-Goursat theorem هي الصورة المعدلة لنظرية كوشى

نظرية : إذا كانت  $f$  دالة تحليلية عند جميع النقاط داخل وعلى كفاف مغلق بسيط

$C$  ، فإن

$$\int_C f(z) dz = 0.$$

سنستعرض برهان هذه النظرية فى البندين التاليين ، حيث سنعتبر - وحتى نكون محددين - أن توجيه مسار  $C$  هو الاتجاه الموجب . وسيكون أمراً سهلاً أن نعمم النظرية لتشمل مسارات أعم مثل الحدود الكاملة لمنطقة محصورة بين دائرتين متحدتى المركز .

#### ٤٧ - تمهيدية A Preliminary Lemma

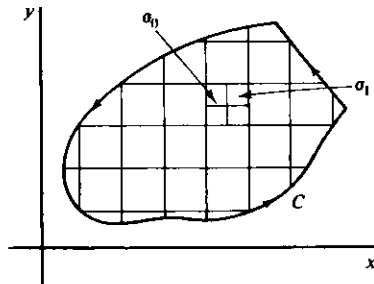
نبدأ بتجزئ المنطقة  $R$  والمكونة من النقاط داخل وعلى  $C$  إلى فئات جزئية وذلك برسم خطوط مستقيمة على أبعاد متساوية وموازية لكل من المحورين الحقيقى والتخيلى ونحيث يكون البعدين أى خطين متجاورين رأسيين مساوياً للبعد بين أى خطين

متجاورين أفقيين . وعليه أمكننا تكوين عدداً محدوداً من المناطق الجزئية المربعة المغلقة بحيث تنتمي كل نقطة من  $R$  إلى واحدة على الأقل من هذه المناطق الجزئية . وللسهولة سيكون استخدامنا للفظ المربعات مرادفاً لهذه المناطق الجزئية المربعة المغلقة ، مع مراعاة أن كلمة مربع سنعني بها محيط هذا المربع بالإضافة إلى جميع النقاط داخل هذا المربع . وإذا حدث وكان أحد هذه المربعات محتوياً لنقاط لا تنتمي إلى  $R$  ، فإننا نستبعد هذه النقاط ونسمى ما تبقى مربع جزئي . وبهذه الطريقة أمكننا تغطية المنطقة  $R$  بعدد محدود من المربعات والمربعات الجزئية ( شكل (٣٩) ) ، وهذه التغطية للمنطقة  $R$  هي نقطة البداية لبرهان التمهيدية التالية :

تمهيدية : لتكن  $f$  دالة تحليلية عند جميع نقاط منطقة مغلقة  $R$  تتكون من النقاط الواقعة على أو داخل كفاف مغلق بسيط  $C$  . لكل عدد صحيح موجب  $\varepsilon$  ، توجد تغطية للمنطقة  $R$  بعدد محدود ( $n$ ) من المربعات والمربعات الجزئية بحيث إذا كان  $C_j$  هو حدود المربع أو المربع الجزئي الذي ترتيبه  $j$  في هذا التجزئة للمنطقة  $R$  ، فإنه توجد نقطة  $z_j$  على أو داخل  $C_j$  محققة للمتبينة

$$\left| \frac{f(z) - f(z_j)}{z - z_j} - f'(z_j) \right| < \varepsilon \quad (j = 1, 2, \dots, n) \quad (1)$$

وذلك لجميع  $z \in C_j$  ، الواقعة على أو داخل  $C_j$



شكل (٣٩)

لنفرض أن الغطاء الذي كونه قبل ذكر نص التمهيدية مباشرة به مربع ، أو مربع جزئي ، حدوده  $C_j$  ولا يحتوي مثل هذه النقطة  $z_j$  التي تحقق المتبينة (١) . إذا كانت هذه المنطقة الجزئية مربعا ، قسمه إلى أربعة مربعات وذلك برسم القطعتين المستقيمتين التي تصل كل منهما منتصفى ضلعين متقابلين من هذا المربع ( شكل (٣٩) ) ؛ وإذا لم تكن كذلك - أي كانت مربعا جزئيا - اكمل المربع وقسمه إلى أربعة مربعات متساوية بنفس الطريقة ثم استبعد بعد ذلك الأجزاء الواقعة خارج المنطقة  $R$  . إذا لم تحوى كل من



هذه المناطق الجزئية الصغيرة نقطة  $z$  تحقق المتباينة (١) ، قسمها بنفس الطريقة السابقة إلى مربعات ومربعات جزئية أصغر ، وهكذا .

بإجراء العمليات السابقة على كل منطقة جزئية - من مناطق التغطية الأصلية للمنطقة  $R$  - قد تحتاج إلى مثل هذه التقسيمات الجزئية الداخلية ، فإننا قد نجد بعد عدد محدود من هذه الخطوات أن المنطقة  $R$  قد غطيت بالفعل بمجموعة من المربعات والمربعات الجزئية والتي يحقق كل منها المتباينة (١) . وفي هذه الحالة تكون المتباينة قد برهنت .

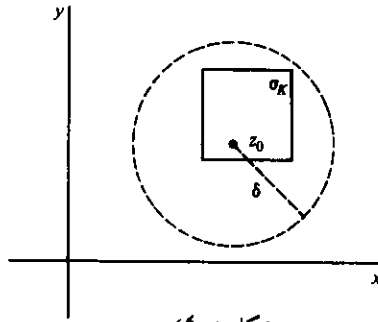
نفترض الآن أن استمرارنا لعدد محدود من المرات في إجراء التقسيمات الجزئية ، والمشار إليها سابقا ، على مربع أو مربع جزئي لا يؤدي بنا إلى إيجاد النقطة المطلوبة  $z$  لتحقيق المتباينة (١) . إذا كانت هذه المنطقة الجزئية مربعا سنرمز لها بالرمز  $\sigma_0$  ، أما إذا كانت مربعا جزئيا سنعتبر الرمز  $\sigma_0$  دالاً على المربع المكمل لهذا المربع الجزئي . عند تقسيم  $\sigma_0$  إلى أربعة مربعات جزئية بنفس الطريقة ، نختار واحداً منها لا تحقق أى من نقاطه الواقعة في  $R$  الشرط المطلوب استيفائه للنقطة  $z$  لتحقيق المتباينة (١) . هذا المربع الجزئي له وجود بطبيعة الحال ونرمز له بالرمز  $\sigma_1$  .

إذا اخترنا استدلالياً  $\sigma_{k-1}$  حيث  $(k=1,2,\dots)$ ، سنتفق على اختيار  $\sigma_k$  بأن يكون هو أسفل مربع وإلى أقصى اليسار من المربعات الأربعة التي ينقسم إليها المربع  $\sigma_{k-1}$  . وبهذا الأسلوب نكون قد حصلنا على متتابعة لا نهائية

$$\sigma_0, \sigma_1, \sigma_2, \dots, \sigma_{k-1}, \sigma_k, \dots$$

من المربعات المتداخلة أو المعششة **Nested squares** بحيث يكون  $\sigma_k$  محتويا للمربع  $\sigma_k$  لجميع  $k=1,2,\dots$  . كما أنه يمكن بسهولة إثبات (تمرين (١٣) بند (٥٠)) أنه توجد نقطة  $z_0$  مشتركة بين جميع هذه المربعات  $\sigma_k$  ، كما أن كلا من هذه المربعات يكون محتويا على نقط في  $R$  . وواضح من هذا البناء أن هذه المربعات تأخذ في الصغر كلما ازدادت  $k$  ، وأن أى جوار  $|z-z_0| < \delta$  للنقطة  $z_0$  يحتوى كل مربع - في هذه المتتابعة - يكون طول قطره أقل من  $\delta$  . وهذا يعنى أن كل جوار  $|z-z_0| < \delta$  يحتوى نقاطا من  $R$  بخلاف  $z_0$  ، وعليه فإن:

$z_0$  تكون انقطة تراكم للمنطقة  $R$  بالضرورة . وحيث أن  $R$  منطقة مغلقة، فإن  $z_0$  لابد وأن تكون نقطة منتمية لها .



شكل (٤٠)

الدالة \$f\$ تحليلية على المنطقة \$R\$ بأكملها ؛ ومن ثم فإنها تكون تحليلية عند النقطة \$z\_0\$ على وجه التخصيص . وبالتالي فإن المشتقة \$f'(z\_0)\$ لها وجود . ومن تعريف مشتقة الدالة فإنه يوجد لكل عدد موجب \$\epsilon\$ جوار \$|z - z\_0| < \delta\$ بحيث

$$\left| \frac{f(z) - f(z_0)}{z - z_0} - f'(z_0) \right| < \epsilon$$

جميع النقط \$z \neq z\_0\$ في هذا الجوار . ومن ناحية أخرى فإن الجوار \$|z - z\_0| < \delta\$ يحتوي بالفعل مربع \$\sigma\_k\$ طول قطره أقل من \$\delta\$ ( شكل (٤٠) ) ، وبطبيعة الحال هذا ممكن دائماً بجعل \$k\$ كبيرة كبراً كافياً إذا اقتضت الضرورة . وعليه فإن مجمل المناقشة السابقة يعنى أن النقطة \$z\_0\$ في \$\sigma\_k\$ تحقق المتباينة (١) لجميع \$z\$ في \$\sigma\_k\$ والواقعة في \$R\$ ، مما يناقض ما أدى إليه الفرض بأن المربع \$\sigma\_k\$ باعتباره أحد مربعات المتابعة - لا يحتوي نقطة في \$R\$ تحقق المتباينة (١) . وبهذا التناقض نكون قد أكملنا البرهان .

٤٨ - برهان نظرية كوشي - جورساه **Proof of the Cauchy-Goursat Theorem**

سنبرهن الآن صحة المتباينة

$$\left| \int_C f(z) dz \right| < \gamma \tag{١}$$

لكل عدد موجب \$\gamma\$ ، وعليه فإننا نخلص إلى أن قيمة التكامل نفسه تساوى الصفر

إذا أعطينا عدداً اختيارياً موجباً \$\epsilon\$ فإنه يمكننا على ضوء التمهيدية المبرهنة في البند

السابق تغطية المنطقة \$R\$ بفتة من المربعات والمربعات الجزئية حدودها \$z\_j\$ حيث

\$j = 1, 2, \dots, n\$ والآن يمكننا صياغة المتباينة (١) من تمهيدية البند السابق على

النحو التالي : كل دالة .

$$\delta_j(z) = \begin{cases} \frac{f(z) - f(z_j)}{z - z_j} - f'(z_j) & (z \neq z_j) \\ 0 & (z = z_j) \end{cases} \tag{٢}$$

معرفة على المربع أو المربع الجزئي الذي ترتبه \$j\$ تحقق المتباينة

$$|\delta_j(z)| < \epsilon \tag{٣}$$

لجميع النقط  $z$  في نطاق تعريفها . لاحظ أن كلا من هذه الدوال دالة متصلة عند كل نقطة من نقاط تعريفها .

نلاحظ الآن أن قيمة الدالة  $f$  عند أى نقطة  $z$  على الحد  $C_j$  لمربع ( أو مربع جزئى ) ترتيبه  $j$  يمكن كتابتها على الصورة

$$f(z) = f(z_j) - z_j f'(z_j) + f'(z_j)z + (z - z_j)\delta_j(z). \quad (٤)$$

إذن فبأخذ التكامل حول  $C_j$  في اتجاه مضاد لعقرب الساعة فإن النتائج التالية لبند (٤٦)

$$\int_{C_j} dz = 0, \quad \int_{C_j} z dz = 0,$$

تسمح لنا باستنتاج العلاقة

$$\int_{C_j} f(z) dz = \int_{C_j} (z - z_j)\delta_j(z) dz. \quad (٥)$$

الآن إذا اعتبرنا التكامل في الطرف الأيسر لجميع  $j = 1, 2, \dots, n$  ، فإننا نحصل على

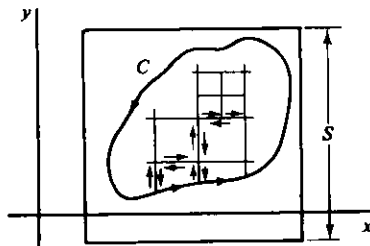
$$\sum_{j=1}^n \int_{C_j} f(z) dz = \int_C f(z) dz.$$

وذلك لأن التكاملين حول الحدود المشتركة لكل زوجين من هذه المناطق الجزئية لهما قيمتان متساويتان ومختلفتان في الإشارة ، وذلك على اعتبار أن اتجاه إجراء التكامل بالنسبة لأحد الزوجين وعلى القطعة المستقيمة المشتركة بينهما يكون معاكسا لاتجاه إجراء التكامل بالنسبة للزوج الآخر على نفس القطعة المستقيمة المشتركة ( شكل (٤١) ) . وهذا يعنى أن التكاملات المتبقية هى المأخوذة فقط بطول الأقواس التى تكون  $C$  وهو ما تشير إليه العلاقة السابقة . ومن ذلك فإن المعادلة (٥) تعطى الآن

$$\int_C f(z) dz = \sum_{j=1}^n \int_{C_j} (z - z_j)\delta_j(z) dz,$$

أى أن

$$\left| \int_C f(z) dz \right| \leq \sum_{j=1}^n \left| \int_{C_j} (z - z_j)\delta_j(z) dz \right|. \quad (٦)$$



شكل (٤١)

دعنا الآن نستخدم خاصية (٩) بند (٤٤) لنجد حدا أعلى لكل تكامل في الطرف الأيمن للمتبينة (٦) . للوصول إلى ذلك تذكر ابتداءً أن كل  $C_j$  يمثل حدود ، أو جزءا من حدود ، مربع كامل . سنرمز لطول ضلع هذا المربع أو المربع الجزئى بالرمز  $s_j$  . ولما

كان كل من المتغير  $z$  والنقطة  $z_j$  في التكامل الذى رتبته  $J$  للطرف الايمن من المتباينة (٦) يقع على المربع  $C_j$  ، فإننا نستنتج أن

$$|z - z_j| \leq \sqrt{2}s_j.$$

وبذلك ووفقا للمتباينة (٣) يتبين لنا أن المكامل الموجود بالطرف الأيمن للمتباينة (٦) يحقق الشرط

$$|(z - z_j)\delta_j(z)| < \sqrt{2}s_j \varepsilon. \quad (٧)$$

إذا كان المسار  $C_j$  مربعا كاملاً فإن طوله يكون  $4s_j$  . وتكون المساحة  $A_j$  لهذا المربع محققة للمتباينة

$$\left| \int_{C_j} (z - z_j)\delta_j(z) dz \right| < \sqrt{2}s_j \varepsilon 4s_j = 4\sqrt{2}A_j \varepsilon. \quad (٨)$$

أما إذا كان حد  $C_j$  هو مربع جزئى ، فإن طول  $C_j$  في هذه الحالة لا يتعدى  $4s_j + L_j$  حيث  $L_j$  طول الجزء المشترك بين كل من  $C_j$  ،  $C$  . وفي هذه الحالة يكون

$$\left| \int_{C_j} (z - z_j)\delta_j(z) dz \right| < \sqrt{2}s_j \varepsilon (4s_j + L_j) < 4\sqrt{2}A_j \varepsilon + \sqrt{2}SL_j \varepsilon \quad (٩)$$

حيث  $S$  يمثل طول ضلع مربع نختاره بحيث يحتوى بداخله كلا من الكفاف  $C$  بأكمله وجميع المربعات الأصلية التى استخدمت في تغطية  $C$  ( انظر شكل (٤١) ) . لاحظ أن مجموع المساحات  $A_j$  لا يتعدى  $S^2$  .

إذا كان  $L$  هو طول الكفاف  $C$  فإننا نحصل من المتباينات (٦) ، (٨) ، (٩) على

$$\left| \int_C f(z) dz \right| < (4\sqrt{2}S^2 + \sqrt{2}SL)\varepsilon.$$

الآن إذا تحددت قيمة العدد الحقيقى الموجب  $\varepsilon$  بدقة فإننا - بطبيعة الحال - يمكننا مساواة الطرف الأيمن من المتباينة السابقة بأى عدد حقيقى موجب معطى  $\gamma$  ، الأمر الذى يحقق المتباينة (١) . وبهذا الشكل تكون نظرية كوشى - جورساه قد اكتمل برهانها .

#### ٤٩ - النطاقات بسيطة ومتعددة الترابط Simply and Multiply Connected Domains

يقال لنطاق  $D$  أنه بسيط الترابط Simply connected إذا كان كل كفاف مغلق بسيط داخل  $D$  لا يحتوى داخله الانقاط من  $D$  . ومثال لنطاق بسيط الترابط هو النطاق الداخلى - أى فحة جميع النقط الداخلية - لكفاف مغلق بسيط . ومن ناحية أخرى فالمنطقة الحلقية الواقعة بين دائرتين متحدتى المركز ، تعطينا مثالا لنطاق ليس بسيط الترابط . وإذا لم يكن النطاق بسيط الترابط فإنه يسمى نطاق متعدد الترابط

يمكننا لنا الآن صياغة نظرية كوشي - جورساه على الصورة المرادفة البديلة التالية  
إذا كانت  $f$  دالة تحليلية لجميع نقاط نطاق بسيط الترابط  $D$  ، فإنه لكل كفاف مغلق بسيط

$C$  داخل  $D$  يكون

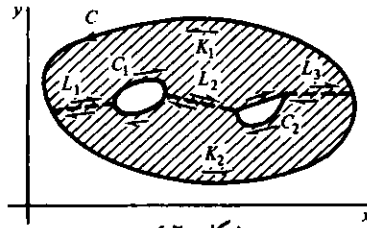
$$\int_C f(z) dz = 0. \quad (1)$$

وتجدر الإشارة إلى أنه يمكننا استبدال الكفاف المغلق البسيط في نص هذه النظرية ،  
نظرية كوشي - جورساه ، بكفاف اختياري مغلق آخر لا يشترط فيه أن يكون بسيطاً  
بالضرورة . فمثلاً إذا كان  $C$  كفافاً مغلقاً يقطع نفسه عدداً محدوداً فقط من المرات ،  
فإنه يمكن اعتبار  $C$  مكوناً من عدد محدود من كفافات مغلقة بسيطة وبتطبيق نظرية  
كوشي - جورساه على كل منها فإننا نحصل على النتيجة المطلوبة . كما أنه يمكن الجزء من  
 $C$  أن يعبر مرتين في اتجاهين متعاكسين وذلك لأن التكاملين بطول هذا الجزء وفي هذين  
الاتجاهين المتعاكسين لهما قيمتان متساويتان ومختلفتان في الإشارة . والحالات الدقيقة  
والتي تحتاج إلى معالجة حاذقة تنشأ عندما يكون عدد تقاطعات الكفاف المغلق لنفسه  
عدداً لا نهائياً<sup>(١)</sup>

من الممكن صياغة نظرية كوشي - جورساه في الصورة المعدلة الآتية

نظرية : ليكن  $C$  كفافاً مغلقاً بسيطاً وليكن  $C_j$  ( $j = 1, 2, \dots, n$ ) عدداً محدوداً من  
الكفافات المغلقة البسيطة المرسومة في المنطقة الداخلية للكفاف  $C$  والتي لا توجد بين مناطقها  
الداخلية نقاط مشتركة . ولتكن  $R$  منطقة مكونة من جميع النقط داخل وعلى  $C$  وذلك فيما عدا  
النقط الداخلية لكل من الكفافات  $C_j$  ( شكل (٤٢) ) . ولتكن  $B$  الحدود الكاملة الموجهة  
للمنطقة  $R$  والمكونة من  $C$  وجميع  $C_j$  مأخوذة في مسار تكون فيه نقط  $R$  دائماً على يسار  $B$  . إذا  
كانت  $f$  تحليلية عند جميع نقط  $R$  فإن

$$\int_B f(z) dz = 0. \quad (2)$$



شكل (٤٢)

لبرهان هذه النتيجة ، نكون مساراً مضلعياً  $L_1$  مكوناً من عدد محدود من القطع  
المستقيمة متصلة ببعضها نهاية بنهاية وذلك لربط الكفاف الخارجي  $C$  بالكفاف الداخلي

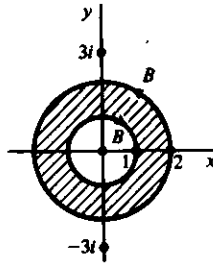
(١) لبرهان النظرية السابقة للحالات التي تشتمل على مسارات أعم من التي نتاولها هنا ، انظر على سبيل المثال  
البود (٦٣) ، (٦٤) ، (٦٥) من المجلد الأول لكتاب ماركو سوشفتش Markushevich المذكور في  
ملحق (١) في آخر هذا الكتاب .

$C_1$  ، ثم نكون مساراً مضلعياً آخر  $L_2$  ليربط الكفاف  $C_1$  بالكفاف  $C_2$  ؛ ونستمر بنفس الطريقة حتى نصل لرسم مسار مضلعى  $L_{n+1}$  يربط الكفافين  $C_n$  و  $C$  . الأسهم - باتجاهاتها - المبيّنة في شكل (٤٢) تمكننا من تكوين كفافين بسيطين مغلقين  $K_2, K_1$  كل منهما يتكون من مسارات مضلعية  $L_j$  أو  $L_j -$  وأجزاء من كل من  $C_j, C$  ، وبحيث يكون مسار كل منهما في اتجاه تكون فيه النقاط الداخلية له دائماً على يسار المسار . ووفقاً لهذا فإنه يمكننا الآن تطبيق نظرية كوشي - جورساه على الدالة  $f$  على كل من  $K_2, K_1$  على حدة ، وعليه يكون مجموع التكاملين على هذين الكفافين مساوياً للصفر . ولما كان التكاملان في اتجاهين متعاكسين بطول المسار  $L_j$  لهما قيمتان متساويتان ومختلفتان في الإشارة ، فإن ما يتبقى لدينا في النهاية هو التكامل على المسار  $B$  فقط ونكون بذلك قد برهنا المعادلة (٢) .

لتوضيح هذه النظرية ، نلاحظ أن

$$\int_B \frac{dz}{z^2(z^2+9)} = 0$$

حيث  $B$  هو الدائرة  $|z|=2$  موجهة في الاتجاه الموجب ، بالإضافة إلى الدائرة  $|z|=1$  موجهة في الاتجاه السالب ( شكل (٤٣) ) . المكامل دالة تحليلية لجميع النقط فيما عدا عند  $z=0$  و  $z=\pm 3i$  وهذه النقط الثلاث تقع جميعاً خارج المنطقة الحلقية التي حدودها  $B$  .



شكل (٤٣)

### ٥٠ - التكاملات غير المحددة Indefinite Integrals

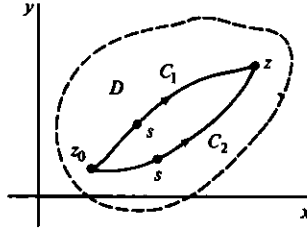
لتكن  $z, z_0$  نقطتين في نطاق بسيط الترابط  $D$  ، ولنفرض أن  $f$  دالة تحليلية عند جميع نقط  $D$  ( شكل (٤٤) ) . إذا كان  $C_2, C_1$  كفافين يربطان  $z, z_0$  ويقع كل منهما بأكمله داخل  $D$ ، فإن  $C_2, C_1 -$  يكونان معاً كفافاً مغلقاً . وحيث أن نظرية كوشي - جورساه يمكن تطبيقها على أى كفاف مغلق في نطاق بسيط الترابط ، فإننا نجد أن

$$\int_{C_1} f(s) ds - \int_{C_2} f(s) ds = 0,$$

حيث  $s$  تمثل نقاطاً على  $C_2, C_1$  . ومن هذا نرى أن التكامل من  $z_0$  إلى  $z$  لا يعتمد على

الكفاف المأخوذ طالما كان هذا الكفاف يقع بأكمله داخل  $D$  ، وبهذا الشكل يعرف لنا هذا التكامل دالة  $F$  على المنطقة البسيطة الترابط  $D$  :

$$F(z) = \int_{z_0}^z f(s) ds. \quad (١)$$



شكل (٤٤)

نبرهن الآن أن مشتقة  $F(z)$  لها وجود وتساوى  $f(z)$  . لتكن  $z + \Delta z$  أى نقطة لا تساوى  $z$  وتقع في جوار ما للنقطة  $z$  يقع بأكمله داخل  $D$  ( شكل (٤٥) ) . إذن

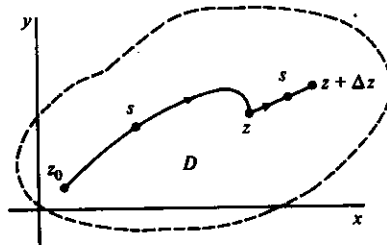
$$\begin{aligned} F(z + \Delta z) - F(z) &= \int_{z_0}^{z+\Delta z} f(s) ds - \int_{z_0}^z f(s) ds \\ &= \int_z^{z+\Delta z} f(s) ds \end{aligned}$$

مع مراعاة أنه يمكن لنا اختيار مسار التكامل من  $z$  إلى  $z + \Delta z$  ليكون قطعة مستقيمة .  
وحيث أنه يمكننا كتابة ( تمرين (١٣) بند (٤٥) )

$$f(z) = \frac{f(z)}{\Delta z} \int_z^{z+\Delta z} ds = \frac{1}{\Delta z} \int_z^{z+\Delta z} f(z) ds,$$

فإننا نجد أن

$$\frac{F(z + \Delta z) - F(z)}{\Delta z} - f(z) = \frac{1}{\Delta z} \int_z^{z+\Delta z} [f(s) - f(z)] ds.$$



شكل (٤٥)

لكن حيث أن  $f$  متصلة عند النقطة  $z$  ، فإنه لكل عدد موجب  $\epsilon$  ، يوجد عدد موجب

δ بحيث

$$|f(s) - f(z)| < \varepsilon$$

طالما كان  $|s - z| < \delta$  . وبالتالي فإذا كانت النقطة  $z + \Delta z$  قريبة قريبا كافيا من  $z$  بحيث  $|\Delta z| < \delta$  ، فإن

$$\left| \frac{F(z + \Delta z) - F(z)}{\Delta z} - f(z) \right| < \frac{1}{|\Delta z|} \varepsilon |\Delta z| = \varepsilon;$$

أى أن

$$\lim_{\Delta z \rightarrow 0} \frac{F(z + \Delta z) - F(z)}{\Delta z} = f(z).$$

وعليه فإن مشتقة التكامل (١) لها وجود عند كل نقطة  $z$  في  $D$  ويكون

$$F'(z) = f(z). \quad (٢)$$

وعليه فإن التكامل المحدد للدالة تحليلية هو دالة تحليلية متغيرها هو الحد العلوى لهذا التكامل ، وذلك بشرط أن يكون مسار التكامل مقصوراً على نطاق بسيط الترابط وبحيث تكون الدالة المكاملة دالة تحليلية على هذا النطاق بأكمله .

نلاحظ من التكامل (١) أن قيمة  $F(z)$  تزداد (أو تنقص) بمقدار عدد ثابت وذلك عند استبدال الحد السفلى  $z_0$  لهذا التكامل بعدد ثابت آخر . في هذه الحالة تسمى الدالة  $F(z)$  تكاملاً غير محدد *An indefinite integral* ، أو دالة مشتقة مقابلة *Antiderivative* ، ويعبر عن ذلك بأن نكتب

$$F(z) = \int f(z) dz.$$

ومعنى هذا أن  $F(z)$  دالة تحليلية مشتقتها  $f(z)$  . وعلى ضوء المعادلة (١) فإن أى تكامل محدد يمكن حسابه على أنه التغير الحادث في قيمة تكامل غير محدد ، وهى خاصية مطابقة لنظيرتها بالنسبة للدوال الحقيقية لمتغير حقيقى ؛ أى أن

$$\int_a^b f(z) dz = \int_{z_0}^b f(z) dz - \int_{z_0}^a f(z) dz = F(b) - F(a) = F(z) \Big|_a^b. \quad (٣)$$

ومفهوم بطبيعة الحال أننا سننظر متفقين على أن مسارات التكامل ستكون مقصورة على نطاق بسيط الترابط تكون فيه  $f$  تحليلية .

يجب ملاحظة أنه إذا كانت  $G(z)$  دالة تحليلية بخلاف  $F(z)$  بحيث  $G'(z) = f(z)$  فإن مشتقة الدالة  $H(z) = F(z) - G(z)$  هى الصفر . وعليه فإذا كانت  $H(z) = u(x,y) + iv(x,y)$  فإننا نحصل على

$$u_x(x,y) + iv_x(x,y) = 0;$$

مما يعنى أن  $u_x(x,y) = v_x(x,y) = 0$  على النطاق بأكمله الذى تكون فيه كل من  $G, F$  تحليلية . وعلى ضوء معادلتى كوشى-ريمان فإن  $u_x(x,y) = v_y(x,y) = 0$  مما يعنى أن الدوال



$u(x,y)$  و  $v(x,y)$  دوال ثابتة . ومن هذا نخلص إلى أن  $H(z)$  دالة ثابتة ، وذلك يستتبع بالتالى أن الفرق بين  $F(z), G(z)$  هو عدد مركب ثابت . ونتيجة لذلك فإن أى تكامل غير محدد للدالة  $f(z)$  يمكن أن يقوم مقام الدالة  $F(z)$  فى المعادلة (٣) .

وعلى سبيل المثال فإن الدالة الشاملة  $F(z) = z^3/3$  هى تكامل غير محدد للدالة  $f(z) = z^2$  وحيث أن  $z^2$  دالة شاملة فإنه يمكننا كتابة

$$\int_0^{1+i} z^2 dz = \frac{1}{3} z^3 \Big|_0^{1+i} = \frac{1}{3} (1+i)^3$$

لأى كفاف واصل بين النقطتين  $z=0$  و  $z=1+i$ .

وكمثال آخر ، دعنا نحسب قيمة التكامل

$$\int_{-1}^1 z^{1/2} dz \quad (٤)$$

حيث

$$z^{1/2} = \sqrt{r} \exp \frac{i\theta}{2} \quad (r > 0, 0 < \theta < 2\pi) \quad (٥)$$

وأن الكفاف الواصل بين حدى التكامل المحدد يقع أعلى المحور الحقيقى للمستوى المركب  $z$  . هذه الدالة ليست تحليلية عند نقط الشعاع  $\theta=0$  ، وعلى وجه التخصيص فإنها غير تحليلية عند  $z=1$  . إلا أننا من الناحية الأخرى نرى أن الفرع

$$f(z) = \sqrt{r} \exp \frac{i\theta}{2} \quad \left( r > 0, -\frac{\pi}{2} < \theta < \frac{3\pi}{2} \right).$$

للدالة  $z^{1/2}$  المتعددة القيم يكون تحليليا عند كل نقطة فيما عدا نقط الشعاع  $\theta = -\pi/2$  وتكون قيم الدالة  $f(z)$  فوق المحور الحقيقى مطابقة لنظائرها بالنسبة للدالة المعطاة فى (٥) . وبالتالى فإنه يمكن إحلال الدالة المكاملة بالدالة  $f(z)$  . والآن فإن

$$\frac{2}{3} z^{3/2} = \frac{2}{3} r^{3/2} \exp \frac{i3\theta}{2} \quad \left( r > 0, -\frac{\pi}{2} < \theta < \frac{3\pi}{2} \right)$$

يكون تكاملا غير محدد للدالة  $f(z)$  ؛ وعليه فإن

$$\int_{-1}^1 z^{1/2} dz = \frac{2}{3} (e^0 - e^{i3\pi/2}) = \frac{2}{3} (1+i).$$

التكامل (٤) تكون له قيمة أخرى ، إذا أخذ على كفاف يقع أسفل المحور الحقيقى ، وهنا يمكننا استبدال المكامل بالفرع

$$g(z) = \sqrt{r} \exp \frac{i\theta}{2} \quad \left( r > 0, \frac{\pi}{2} < \theta < \frac{5\pi}{2} \right)$$

مع ملاحظة أن قيمه فى النصف السفلى للمستوى تكون مساوية لنظائرها بالنسبة للدالة (٥) . وحيث أن الدالة التحليلية

$$\frac{2}{3}z^{3/2} = \frac{2}{3}r^{3/2} \exp \frac{i3\theta}{2} \quad \left( r > 0, \frac{\pi}{2} < \theta < \frac{5\pi}{2} \right)$$

هي تكامل غير محدد للدالة  $g(z)$  ، فإننا نحصل على

$$\int_{-1}^1 z^{1/2} dz = \frac{2}{3}(e^{i3\pi} - e^{i3\pi/2}) = \frac{2}{3}(-1 + i).$$

الآن فإن تكامل الدالة (٥) مأخوذاً في الاتجاه الموجب حول كفاف مغلق بسيط يتكون من مسارين أحدهما من النوع الثاني (الأخير) والآخر من النوع الأول تكون له القيمة الآتية :

$$\frac{2}{3}(-1 + i) - \frac{2}{3}(1 + i) = -\frac{4}{3}.$$

### تمارين

١ - حدد في كل حالة من الحالات التالية النطاق الذي تكون فيه الدالة  $f$  تحليلية ثم طبق نظرية كوشي - جورساه لإثبات أن

$$\int_C f(z) dz = 0$$

وذلك عندما يكون الكفاف المغلق البسيط  $C$  هو الدائرة  $|z|=1$  وعندما

$$f(z) = \frac{z^2}{z-3} \quad (أ) \quad ; \quad f(z) = ze^{-z} \quad (ب) \quad ; \quad f(z) = \frac{1}{z^2 + 2z + 2} \quad (ج)$$

$$f(z) = \operatorname{Log}(z+2) \quad (د) \quad ; \quad f(z) = \tan z \quad (هـ) \quad ; \quad f(z) = \operatorname{sech} z \quad (و)$$

٢ - لتكن  $B$  هي حدود المنطقة المحدودة بالدائرة  $|z|=4$  والمربع الذي تكون أضلاعه منطقة على المستقيمات  $x = \pm 1, y = \pm 1$ . إذا أخذنا اتجاه مسار  $B$  بحيث تقع المنطقة دائماً على يساره فبين لماذا يكون

$$\int_B f(z) dz = 0$$

لكل من الحالات الآتية :

$$f(z) = \frac{z}{1-e^z} \quad (أ) \quad ; \quad f(z) = \frac{z+2}{\sin(z/2)} \quad (ب) \quad ; \quad f(z) = \frac{1}{3z^2+1} \quad (ج)$$

٣ - ليكن  $C$  كفاف مغلق بسيط في داخله كفاف مغلق بسيط  $C_0$ ، حيث كل من  $C, C_0$  موجهاً في الاتجاه الموجب. إذا كانت  $f$  دالة تحليلية في المنطقة المغلقة المحدودة بهذين الكفافين، برهن أن

$$\int_C f(z) dz = \int_{C_0} f(z) dz.$$

٤ - استخدم نتائج تمرين (٣) من هذا البند وتمرين (١٦) من بند (٤٥) لإثبات أن

$$\int_C \frac{dz}{z-2-i} = 2\pi i, \quad \int_C (z-2-i)^{n-1} dz = 0 \quad (n = \pm 1, \pm 2, \dots)$$

حيث  $C$  هو حد المستطيل  $0 \leq x \leq 3, 0 \leq y \leq 2$  موجهاً في الاتجاه الموجب

٥ - استخدم تكاملاً غير محدد لإثبات أن

$$\int_C z^n dz = \frac{1}{n+1} (\beta^{n+1} - \alpha^{n+1}) \quad (n=0, 1, 2, \dots) \quad \text{و}$$

حيث  $C$  أى كفاف يصل النقطتين  $\alpha$  و  $\beta$

٦ - أوجد قيمة كل من التكاملات الآتية عندما يكون مسار التكامل كفافاً اختيارياً واصلاً بين حدى التكامل لكل من هذه التكاملات

$$(أ) \int_1^{i^{1/2}} e^{z^2} dz \quad (ب) \int_0^{\pi+2i} \cos \frac{z}{2} dz \quad (ج) \int_1^3 (z-2)^3 dz$$

الأجوبة : (أ) :  $(1+i)/\pi$  ; (ب) :  $e+1/e$  ; (ج) : صفر

$$\int_{z_1}^{z_2} \frac{dz}{z^2} = \frac{1}{z_1} - \frac{1}{z_2}$$

٧ - إذا كان  $z_1 \neq 0, z_2 \neq 0, z_1 \neq z_2$  فاثبت أن  $\int_{z_1}^{z_2} \frac{dz}{z^2} = \frac{1}{z_1} - \frac{1}{z_2}$  وذلك طالما كان مسار التكامل هو داخله نطاق بسيط الترابط لا يحتوى نقطة الأصل .

استخدم هذه النتيجة لبرهان أن

$$\int_C \frac{dz}{z^2} = 0.$$

لأى كفاف مغلق بسيط  $C$  تكون فيه نقطة الأصل إما نقطة داخلية أو نقطة خارجية لهذا الكفاف .

٨ - لتكن  $z_2, z_1, z_0$  ثلاث نقاط مختلفة من نقاط نطاق بسيط الترابط  $D$  . بفرض أن كلا من  $f(z)$  ومشتقتها  $f'(z)$  دالة تحليلية عند جميع نقط  $D$  فيما عدا عند النقطة  $z_0$  ، عمم النتيجة المعطاة في تمرين (٧) لبرهان أنه لكل كفاف داخل  $D$  واصل بين النقطتين  $z_2, z_1$  وغير مار بالنقطة  $z_0$  يكون

$$\int_{z_1}^{z_2} f'(z) dz = f(z_2) - f(z_1);$$

ومن ثم استنتج أن  $\int_C f'(z) dz = 0$  لأى كفاف مغلق بسيط  $C$  داخل  $D$  وغير مار بالنقطة  $z_0$  . اعط أمثلة لمثل هذه الدوال والنطاقات .

٩ - استخدم تكاملاً غير محدد لإيجاد قيمة التكامل

$$\int_{-2i}^{2i} \frac{dz}{z}$$

بالنسبة لأى كفاف يقع في النصف الأيمن للمستوى المركب وواصل بين النقطتين  $z = 2i, z = -2i$  . لاحظ أن الفرع الرئيسى  $\text{Log } z$  هو تكامل غير محدد تحليلي عند جميع نقط نصف المستوى  $x \geq 0$  فيما عدا عند نقطة الأصل وذلك بالنسبة للدالة  $1/z$  .

١٠ - حل التمرين السابق (٩) لأى كفاف لا يمس الجزء غير السالب من المحور الحقيقي .  
الإجابة :  $-\pi i$

١١ - لاحظ أن الدالة وحيدة القيم  $f(z) = z^{1/2} = \sqrt{r} \exp \frac{i\theta}{2}$  ;  $\left( r > 0, -\frac{\pi}{2} \leq \theta < \frac{3\pi}{2} \right)$  .

وحيث  $f(0) = 0$  ، هي دالة متصلة لجميع نقط نصف المستوى  $0 \leq \theta \leq \pi, r \geq 0$  ، إذا كان

C موجهاً في الاتجاه الموجب هو حد نصف القرص  $0 \leq r \leq 1, 0 \leq \theta \leq \pi$  برهن أن

$$\int_C f(z) dz = 0$$

وذلك بحساب تكاملات  $f(z)$  على نصف الدائرة وكذلك على كل من نصفي القطرين المنطوقين على محور السينات . اذكر لماذا لا يمكننا استخدام نظرية كوشي - جورساه في هذه الحالة ؟

١٢ - الفترات المتداخلة أو المشعشة Nested Intervals . نكون متتابعة لا نهائية من الفترات

المغلقة  $a_n \leq x \leq b_n$  ( $n=0, 1, 2, \dots$ ) بواسطة قاعدة لاختيار نصف فترة

معلومة . نختار الفترة  $a_1 \leq x \leq b_1$  لتكون أحد النصفين الأيمن أو الأيسر للفترة

الأولى المعطاة  $a_0 \leq x \leq b_0$  ونختار الفترة  $a_2 \leq x \leq b_2$  لتكون أحد نصفي الفترة

$a_1 \leq x \leq b_1$  ، وهكذا . برهن أنه توجد نقطة  $x_0$  مشتركة بين جميع الفترات المغلقة .

اقترح : لاحظ أن النقط  $a_n$  تمثل متتابعة غير تناقصية من الأعداد وذلك

لأن  $a_0 \leq a_n \leq a_{n+1} < b_0$  وعليه فإن هذه المتتابعة نهاية A عندما تقول n إلى  $\infty$ . برهن أن

المتتابعة المكونة من النقط  $b_n$  لها أيضاً نهاية B ، ثم بين أن  $A=B=x_0$  .

١٣ - المربعات المتداخلة أو المشعشة Nested squares . المربع  $a_0 \leq x \leq b_0, c_0 \leq y \leq d_0$  حيث

$b_0 - a_0 = d_0 - c_0$  يقسم إلى أربعة مربعات متساوية برسم خطوط

موازية للمحورين . نختار أحد هذه المربعات :

$$b_1 - a_1 = d_1 - c_1 \text{ حيث } a_1 \leq x \leq b_1, c_1 \leq y \leq d_1,$$

وفقاً لقاعدة معطاة نستخدمها لاختيار المربع  $\sigma_2$  بتقسيم المربع  $\sigma_1$  بنفس الطريقة

وهكذا ( انظر بند (٤٧) ) . برهن أنه توجد نقطة  $(x_0, y_0)$  تنتمي لجميع المناطق المغلقة

المكونة للمتتابعة اللانهائية  $\sigma_0, \sigma_1, \sigma_2, \dots$

اقترح : استخدم نتائج تمرين (١٢) لكل من متابعتي الفترات المغلقة

$$a_n \leq x \leq b_n \text{ و } c_n \leq y \leq d_n \text{ (} n=0,1,2, \dots \text{)}$$

## ٥١ - صيغة تكامل كوشي The Cauchy Integral Formula

نعطى الآن نتيجة أساسية أخرى :

نظرية : لتكن  $f$  دالة تحليلية عند جميع النقط داخل وعلى كفاف بسيط مغلق C

وموجهاً في الاتجاه الموجب . إذا كانت  $z_0$  داخلية للكفاف C ، فإن

$$f(z_0) = \frac{1}{2\pi i} \int_C \frac{f(z) dz}{z - z_0} \quad (1)$$

تسمى الصيغة (١) صيغة تكامل كوشي ، وهي تنص على أنه إذا كانت  $f$  دالة تحليلية

داخل وعلى كفاف مغلق بسيط C ، فإن قيم  $f$  داخل C تتحدد تماماً بواسطة قيم  $f$  على

$C$  . وعليه فإن أى تغير فى قيم  $f$  عند نقطة داخل  $C$  يصاحبه بالضرورة تغير فى قيمة  $f$  المناظرة على الحد  $C$  .

لتوضيح فائدة الصيغة (١) فى إيجاد قيم التكاملات ، سنبين أن

$$\int_C \frac{z dz}{(9-z^2)(z+i)} = \frac{\pi}{5}$$

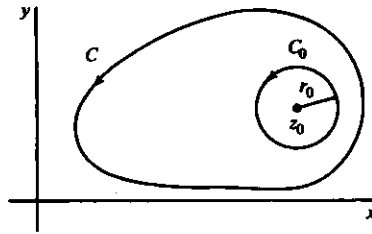
حيث  $C$  هو الدائرة  $|z|=2$  موجهة فى الاتجاه الموجب . وحيث أن الدالة  $f(z) = z/(9-z^2)$  تحليلية داخل وعلى  $C$ ، فإنه يمكننا استخدام صيغة تكامل كوشى لهذه الدالة بأخذ  $z_0 = -i$  . وعليه فإن قيمة التكامل المعطى هى  $2\pi i f(-i) = \pi/5$  .  
لبرهان النظرية سنعتبر دائرة  $C_0$  :

$$|z - z_0| = r_0$$

مركزها  $z_0$  ونصف قطرها  $r_0$  صغيرا ما أمكن ليضمن لنا وجود  $C_0$  فى داخلية  $C$  ( شكل (٤٦) ) . الدالة  $f(z)/(z-z_0)$  تحليلية عند جميع النقط داخل وعلى  $C$  وذلك فيما عدا عند النقطة  $z_0$  . إذن باستخدام نظرية كوشى - جورسah للمناطق المتعددة الترابط فإن تكامل هذه الدالة حول حد المنطقة بين  $C_0, C$  تكون مساوية للصفر ( بند (٤٩) ) ، وعليه فإن

$$\int_C \frac{f(z) dz}{z-z_0} = \int_{C_0} \frac{f(z) dz}{z-z_0}$$

حيث كلا من التكاملين مأخوذ فى الاتجاه الموجب .



شكل (٤٦)

وحيث أن تكامل الدالة  $f(z)/(z-z_0)$  حول  $C_0, C$  متساويان فإننا نحصل على

$$\int_C \frac{f(z) dz}{z-z_0} = f(z_0) \int_{C_0} \frac{dz}{z-z_0} + \int_{C_0} \frac{f(z) - f(z_0)}{z-z_0} dz. \quad (٢)$$

لاحظ أن  $z - z_0 = r_0 e^{i\theta}$  على  $C_0$  . وباستخدام تمرين (١٦) من بند (٤٥) نحصل على

$$\int_{C_0} \frac{dz}{z-z_0} = 2\pi i. \quad (٣)$$

سنبرهن الآن أن قيمة التكامل الأخير في المعادلة (٢) تكون مساوية للصفر . حيث أن  $f$  متصلة عند  $z_0$  فإنه يوجد لكل عدد حقيقي موجب  $\varepsilon$  عدد حقيقي موجب  $\delta$  بحيث

$$|f(z) - f(z_0)| < \varepsilon \quad \text{طالما} \quad |z - z_0| < \delta. \quad (٤)$$

نختار الآن عدداً حقيقياً موجبا  $\gamma$  أصغر من  $\delta$  وصغيراً صغراً كافياً بحيث تقع الدائرة  $|z - z_0| = \gamma$  في داخلية  $C$  . لاحظ أن المتطابقة اليمنى في (٤) متحققة لكل نقطة  $z$  من نقط الدائرة . لاحظ الآن أن قيمة التكامل الأخير في المعادلة (٢) لا تعتمد على اختيارنا لنصف القطر  $r_0$  وذلك لأن قيمة كل من التكاملين الآخرين للمعادلة (٢) لا تعتمد على هذا الاختيار . من هذه الحقيقة يحق لنا اختيار  $r_0$  بحيث  $r_0 = \gamma$  باستخدام خاصية (٩) من بند (٤٤) ومع ملاحظة أن طول  $C_0$  هو الآن  $2\pi\gamma$  نحصل على

$$\left| \int_{C_0} \frac{f(z) - f(z_0)}{z - z_0} dz \right| < \frac{\varepsilon}{\gamma} 2\pi\gamma = 2\pi\varepsilon,$$

وذلك لأن القيمة المطلقة للدالة المكاملة هنا أقل من  $\varepsilon/\gamma$  . وبالتالي فإن القيمة المطلقة للتكامل الأخير من المعادلة (٢) يمكن جعله أصغر من أى عدد حقيقي موجب نشاء وهذا يعنى أن قيمة هذا التكامل لا بد وأن تساوى الصفر .  
المعادلة (٢) تؤول إذن إلى

$$\int_C \frac{f(z) dz}{z - z_0} = f(z_0)2\pi i,$$

وبذلك نكون قد استكملنا برهان النظرية .

## ٥٢ - مشتقات الدوال التحليلية Derivatives of Analytic Functions

في هذه المرحلة أصبح بإمكاننا برهان أنه إذا كانت  $f$  دالة تحليلية عند نقطة ما ، فإن مشتقات  $f$  من جميع الرتب لها وجود عند هذه النقطة وأن كل مشتقة من هذه المشتقات تكون تحليلية عند هذه النقطة .

سنفرض أولاً أن  $f$  دالة تحليلية داخل وعلى كفاف مغلق بسيط  $C$  ، ونفرض أن  $z$  نقطة ما داخل  $C$  . إذا كان  $s$  يرمز لنقاط الكفاف  $C$  فإن صيغة كوشي للتكامل :

$$f(z) = \frac{1}{2\pi i} \int_C \frac{f(s) ds}{s - z}, \quad (١)$$

ستمكننا من إثبات أن مشتقة  $f$  عند  $z$  لها التمثيل التكامل

$$f'(z) = \frac{1}{2\pi i} \int_C \frac{f(s) ds}{(s - z)^2}. \quad (٢)$$

لاحظ أن الصيغة (٢) يمكن الحصول عليها صورياً - وليس استنباطياً - من (١) وذلك بأخذ مشتقة الدالة المكاملة في (١) بالنسبة للمتغير  $z$  . ولإثبات الصيغة (٢) نلاحظ أنه وفقاً للصيغة (١) يكون

$$\begin{aligned}\frac{f(z + \Delta z) - f(z)}{\Delta z} &= \frac{1}{2\pi i} \int_C \left( \frac{1}{s - z - \Delta z} - \frac{1}{s - z} \right) \frac{f(s)}{\Delta z} ds \\ &= \frac{1}{2\pi i} \int_C \frac{f(s) ds}{(s - z - \Delta z)(s - z)}.\end{aligned}$$

الآن نستخدم خاصية اتصال  $f$  على  $C$  لنبرهن أن هذا التكامل الأخير يؤول إلى

$$\int_C \frac{f(s) ds}{(s - z)^2}$$

وذلك عندما يؤول  $\Delta z$  إلى الصفر . وهذا يعنى أن مقياس الفرق بين هذين التكاملين :

$$\left| \Delta z \int_C \frac{f(s) ds}{(s - z)^2 (s - z - \Delta z)} \right|.$$

يؤول إلى الصفر باقتراب  $\Delta z$  من الصفر . لتكن  $M$  هي القيمة العظمى لقيم  $|f(s)|$  على  $C$  وليكن  $l$  طول  $C$  . إذا كانت  $d$  أصغر مسافة بين  $z$  وبين أى نقطة على  $C$  وكان  $|\Delta z| < d$  فإن

$$\left| \Delta z \int_C \frac{f(s) ds}{(s - z)^2 (s - z - \Delta z)} \right| < \frac{|\Delta z| ML}{d^2(d - |\Delta z|)},$$

والكسر الأيمن في هذه المتباينة يؤول إلى الصفر عندما يؤول  $\Delta z$  إلى الصفر ، وعليه فإن

$$\lim_{\Delta z \rightarrow 0} \frac{f(z + \Delta z) - f(z)}{\Delta z} = \frac{1}{2\pi i} \int_C \frac{f(s) ds}{(s - z)^2};$$

وهذا يبرهن الصيغة (٢) .

باستخدام نفس الطريقة التى استخدمت لبرهان الصيغة (٢) فإننا نجد أن

$$f''(z) = \frac{1}{\pi i} \int_C \frac{f(s) ds}{(s - z)^3}. \quad (٣)$$

ولتبيان ذلك نلاحظ أن الصيغة (٢) تعطى

$$\begin{aligned}\frac{f'(z + \Delta z) - f'(z)}{\Delta z} &= \frac{1}{2\pi i} \int_C \left[ \frac{1}{(s - z - \Delta z)^2} - \frac{1}{(s - z)^2} \right] \frac{f(s)}{\Delta z} ds \\ &= \frac{1}{2\pi i} \int_C \frac{2(s - z) - \Delta z}{(s - z - \Delta z)^2 (s - z)^2} f(s) ds.\end{aligned}$$

وحيث أن  $f$  متصلة على  $C$  فإنه يمكننا استخدام نفس الطريقة السابقة لإثبات أن هذا التكامل الأخير يؤول إلى التكامل

$$2 \int_C \frac{f(s) ds}{(s-z)^3},$$

عندما يؤول  $\Delta z$  إلى الصفر ، وهذا يبرهن الصيغة (٣) .

الصيغة (٣) تبرهن وجود المشتقة الثانية للدالة  $f$  عند أى نقطة  $z$  فى داخلية  $C$  . وفى الواقع فإن الصيغة (٣) تعطى لنا أكثر من ذلك ، ونعنى بذلك أنه إذا كانت  $f$  تحليلية عند نقطة ما فإن مشتقتها تكون أيضاً تحليلية عند نفس النقطة . ولتوضيح ذلك نقول إنه إذا كانت  $f$  تحليلية عند  $z$  ، فإنه توجد بالضرورة دائرة مركزها  $z$  بحيث تكون  $f$  تحليلية عند جميع النقط داخل وعلى هذه الدائرة . ووفقاً للصيغة (٣) فإن  $f''(z)$  لها وجود عند أى نقطة داخلية لهذه الدائرة ، وهذا يعنى أن مشتقة  $f$  تحليلية عند  $z$  .

باستخدام نفس البرهان السابق على الدالة  $f'(z)$  بدلا من  $f(z)$  فإنه يمكننا إثبات أن  $f''(z)$  تحليلية وهكذا ؛ وبهذا الشكل نكون قد برهنا النظرية الأساسية الآتية :

نظرية : أى دالة تحليلية عند نقطة ما لها مشتقات تحليلية من جميع الرتب عند هذه

النقطة

حيث أن  $f'(z)$  تحليلية ، وبالتالي متصلة ، وحيث أن

$$f'(z) = u_x(x,y) + iv_x(x,y) = v_y(x,y) - iu_y(x,y),$$

فإننا نستنتج أن المشتقات الأولى للدالتين  $u, v$  دوال متصلة . وحيث أن  $f''(z)$  تحليلية ، وبالتالي متصلة ، وحيث أن

$$f''(z) = u_{xx}(x,y) + iv_{xx}(x,y) = v_{yx}(x,y) - iu_{yx}(x,y),$$

وهكذا ، فإن المشتقات الجزئية من جميع الرتب للدالتين  $u, v$  دوال متصلة عند أى نقطة تكون عندها  $f$  تحليلية . وقد سبق لنا وأن تعرضنا لهذه النتيجة بالنسبة للمشتقات الجزئية الأولى والثانية عندما تعرضنا لدراسة الدوال التوافقية فى بند (٢٠) .

الأفكار التى استخدمت فى برهان الصيغتين (٢) ، (٣) يمكن استخدامها تتابعياً للحصول على صيغة تكاملية لأى مشتقة ذات أى رتبة نشاء . وفى الحقيقة فإن الاستنتاج الرياضى يعطى الصيغة العامة الآتية :

$$f^{(n)}(z) = \frac{n!}{2\pi i} \int_C \frac{f(s) ds}{(s-z)^{n+1}} \quad (n = 1, 2, \dots). \quad (٤)$$

وذلك لأن الصيغة قد برهنت عندما  $n=1$  ، وبافتراض صحة هذه الصيغة لأى عدد صحيح موجب معين  $n=k$  فإنه يمكننا استخدام نفس الطريقة السابقة لإثبات صحة الصيغة عندما  $n=k+1$  . وستترك للقارىء أداء تفصيلات البرهان ، مع افتراضنا بأن يبقى الفرق  $s-z$  كوحدة واحدة وذلك أثناء إجراء عمليات



التبسيط الجبرية .

إذا اتفقنا على أن يكون  $f^{(0)}(z_0)$  دالاً على  $f(z_0)$  و  $0! = 1$  فإنه يمكننا أن نكتب

$$f^{(n)}(z_0) = \frac{n!}{2\pi i} \int_C \frac{f(z) dz}{(z - z_0)^{n+1}} \quad (n=0, 1, 2, \dots) \quad (٥)$$

والتي تعطى صيغة تكامل كوشي عندما تكون  $n$  مساوية للصفر ، وتعطى أيضاً الصيغة (٤) - مع اختلاف طفيف في الرموز المستخدمة - وذلك عندما  $n = 1, 2, \dots$  .

وكتطبيق للصيغة (٥) ، نلاحظ أنه إذا كانت  $f(z) = 1$  ، فإن

$$\int_{C_0} \frac{dz}{z - z_0} = 2\pi i, \quad \int_{C_0} \frac{dz}{(z - z_0)^{n+1}} = 0 \quad (n=1, 2, \dots)$$

حيث  $C_0$  هي الدائرة التي مركزها  $z_0$  ونصف قطرها  $r_0$  موجهة في الاتجاه الموجب ( انظر تمرين (١٦) من بند (٤٥) ) .

الصيغة (٥) ، وصيغة تكامل كوشي على وجه التخصيص ، يمكن تعميمها لتشمل الحالة التي يستبدل فيها الكفاف المغلق البسيط  $C$  بالحد الموجه  $B$  لنطاق متعدد الترابط على شاكلة النطاق الذي اعتبرناه في نظرية بند (٤٩) . وهذه الحالة المعممة يمكن برهانها إذا كانت  $z_0$  نقطة داخلية للنطاق وكانت  $f$  تحليلية في المنطقة المكونة من النطاق وحده  $B$  .

### ٥٣ - نظرية موريرا Morera's Theorem

في بند (٥٠) برهنا أن مشتقة الدالة

$$F(z) = \int_{z_0}^z f(s) ds \quad (١)$$

لها وجود عند كل نقطة من نقاط أى نطاق بسيط الترابط  $D$  تكون فيه  $f(z)$  تحليلية . وفي الحقيقة فإن

$$F'(z) = f(z).$$

ورغم أننا افترضنا أن الدالة  $f$  تحليلية في  $D$  ، فإننا لم نستخدم في البرهان إلا خاصية اتصال  $f$  بالإضافة إلى الشرط بأن تكامل  $f$  حول أى كفاف مغلق بسيط في داخلية  $D$  يكون مساوياً للصفر . وعليه ، فإن توفر هاتين الخاصيتين فقط للدالة  $f$  ، يمكننا من برهان أن  $F$  تحليلية في  $D$  وبأن  $F'(z) = f(z)$  من ذلك نتبين أن  $f$  تحليلية في  $D$  وذلك لكونها مشتقة دالة تحليلية ( بند (٥٢) ) . وبهذا نكون قد برهنا نظرية منسوبة إلى إ . موريرا E. Morera ( ١٨٥٦ - ١٩٠٩ ) والتي تنص على :

نظرية : إذا كانت  $f$  دالة متصلة عند جميع نقط نطاق بسيط الترابط  $D$  وكان لكل كفاف مغلق بسيط  $C$  داخل  $D$  ،

$$\int_C f(z).dz = 0, \quad (2)$$

فإن  $f$  تكون تحليلية عند جميع نقط  $D$ .

نظرية موريرا تزودنا بمعكوس لنظرية كوشي - جورساه .

يمكننا تعميم نظرية موريرا لأي نطاق اختياري  $D$  يتحقق معه الشرط (٢) بالنسبة لأي كفاف بسيط مغلق تقع داخلته أيضاً في  $D$ . وذلك لأنه إذا كانت  $z_0$  نقطة في  $D$  فإنه يوجد جوار  $|z - z_0| < \varepsilon$  في  $D$ ، وفي هذه الحالة يمكننا تطبيق نظرية موريرا على الجوار  $\varepsilon$  لنبين أن  $f$  تحليلية عند  $z_0$ ؛ وعليه فإن الدالة  $f$  تكون تحليلية عند جميع نقط  $D$ .

#### ٥٤ - القيم العظمى لمقاييس الدوال Maximum Moduli of Functions

لتكن  $f$  دالة تحليلية وغير ثابتة القيمة عند نقط قرص دائري مفتوح  $|z - z_0| < r_0$  مركزه  $z_0$ . إذا كان  $C$  هو الدائرة  $|z - z_0| = r$  حيث  $0 < r < r_0$ ، فإن صيغة تكامل كوشي تعطي

$$f(z_0) = \frac{1}{2\pi i} \int_C \frac{f(z) dz}{z - z_0}. \quad (1)$$

مع مراعاة أن المسار  $C$  موجه في الاتجاه الموجب. إذا اعتبرنا التمثيل البارامترى  $z(\theta) = z_0 + re^{i\theta}$  ( $0 \leq \theta \leq 2\pi$ ) للدائرة  $C$  فإن الصيغة (١) يمكن كتابتها على الصورة

$$f(z_0) = \frac{1}{2\pi} \int_0^{2\pi} f(z_0 + re^{i\theta}) d\theta. \quad (2)$$

الصيغة (٢) تبين أنه إذا كانت لدينا دالة تحليلية داخل وعلى دائرة ما فإن قيمة هذه الدالة عند مركز الدائرة هي الوسط الحسابي لقيم هذه الدالة على محيط الدائرة.

من صيغة (٢) نحصل على المتباينة

$$|f(z_0)| \leq \frac{1}{2\pi} \int_0^{2\pi} |f(z_0 + re^{i\theta})| d\theta \quad (0 \leq r < r_0), \quad (3)$$

وواضح أن الصيغة (٣) صحيحة أيضاً في الحالة الخاصة التي يكون فيها  $r = 0$ . ومن الناحية الأخرى إذا افترضنا أن  $|f(z)| \leq |f(z_0)|$  لجميع  $z$  التي تحقق  $|z - z_0| < r_0$  فإن

$$\frac{1}{2\pi} \int_0^{2\pi} |f(z_0 + re^{i\theta})| d\theta \leq |f(z_0)| \quad (0 \leq r < r_0). \quad (4)$$

من المتباينات (٣) و (٤) نجد أن

$$|f(z_0)| = \frac{1}{2\pi} \int_0^{2\pi} |f(z_0 + re^{i\theta})| d\theta,$$

$$\int_0^{2\pi} [|f(z_0)| - |f(z_0 + re^{i\theta})|] d\theta = 0 \quad (0 \leq r < r_0). \quad \text{أي أن}$$

وحيث أن الدالة المكاملة في الصيغة الأخيرة دالة متصلة غير بسالبة فإننا نستنتج أن

$$|f(z)| = |f(z_0)| \quad \text{أى أن} \quad |f(z_0)| - |f(z_0 + r_0 e^{i\theta})| = 0$$

لجميع  $z$  المحققة للمتباينة  $|z - z_0| < r_0$ . لكن هذه النتيجة تعنى أن الدالة  $f(z)$  ثابتة القيمة عند جميع نقط النطاق  $|z - z_0| < r_0$  ( انظر تمرين ٩ (ج) بند (٢٠) ) ، وهذا يخالف ما افترضناه ابتداء من أن  $f(z)$  ليست ثابتة القيمة على هذا النطاق . وهذا يعنى أن الفرض القائل بأن  $|f(z)| \leq |f(z_0)|$  لجميع قيم  $z$  التى تحقق  $|z - z_0| < r_0$  يؤدي إلى تناقض .

ما برهناه أعلاه يعنى أنه إذا كانت  $f$  دالة تحليلية غير ثابتة القيمة في جوار للنقطة  $z_0$  ، فإنه توجد نقطة واحدة  $z$  على الأقل في هذا الجوار بحيث

$$|f(z)| > |f(z_0)|. \quad (٥)$$

والنظرية التالية والتي يطلق عليها قاعدة القيمة العظمى Maximum principle هي إحدى النتائج الهامة للنتيجة السابقة .

نظرية : إذا كانت  $f$  دالة تحليلية وليست ثابتة القيمة في داخلية منطقة ما  $R$  ، فإن  $|f(z)|$  ليست لها قيمة عظمى في داخلية  $R$  .

وحتى نستكمل برهان قاعدة القيمة العظمى ، فإننا نحتاج إلى نتيجة يمكن استخلاصها بشكل مباشر من نظرية بند (١٠٦) بالبواب الثاني عشر . ونعنى بذلك أنه إذا كانت دالة  $f$  تحليلية ليست ثابتة القيمة في داخلية منطقة  $R$  ، فإن  $f$  لا تكون ثابتة القيمة على أى جوار لأى نقطة في داخلية  $R$  . لنفرض الآن أن  $|f(z)|$  لها قيمة عظمى عند النقطة  $z_0$  في داخلية  $R$  . هذا الفرض يعنى أن  $|f(z)| \leq |f(z_0)|$  لجميع نقاط جوار ما للنقطة  $z_0$  ، وهذا يناقض المتباينة (٥) .

إذا كانت  $f$  دالة متصلة عند جميع نقط منطقة مغلقة ومحدودة  $R$  وكانت  $f$  في نفس الوقت تحليلية عند جميع نقاط داخلية  $R$  ، فإن الدالة المتصلة  $|f(z)|$  يكون لها قيمة عظمى في  $R$  ( بند (١٣) ) . وهذا يعنى أنه يوجد عدد حقيقي موجب ثابت  $M$  بحيث  $|f(z)| \leq M$  لجميع  $z$  في  $R$  وأن التساوى لا بد وأن يتحقق عند نقطة واحدة  $z$  على الأقل في  $R$ ؛ وإذا كانت  $f$  دالة ثابتة القيمة فإن  $|f(z)| = M$  لجميع  $z$  في  $R$  . أما إذا كانت  $f$  ليست ثابتة القيمة فوفقا لقاعدة القيمة العظمى فإن  $|f(z)| \neq M$  لجميع النقاط  $z$  في داخلية  $R$  وعليه فإنه إذا كانت  $f$  دالة متصلة عند جميع نقط منطقة مغلقة ومحدودة  $R$  وكانت  $f$  في نفس الوقت تحليلية وليست ثابتة القيمة في داخلية  $R$  فإن  $|f(z)|$  تأخذ قيمتها العظمى على حدود  $R$  وليس عند أى نقطة في داخلية  $R$  .

خواص القيم الصغرى للدالة  $|f(z)|$  وكذلك خواص القيم العظمى والصغرى للدالة التوافقية  $u(x,y) = \text{Re} [f(z)]$  تعالجها التمارين الموجودة في نهاية هذا الباب .  
إذا كانت  $f$  دالة تحليلية في داخلية وعلى محيط الدائرة  $|z - z_0| = r_0$  فإن التمثيل التكاملى لمشتقات  $f$  عند  $z_0$  يعطى بالصيغة

$$f^{(n)}(z_0) = \frac{n!}{2\pi i} \int_{C_0} \frac{f(z) dz}{(z - z_0)^{n+1}} \quad (n = 1, 2, \dots)$$

حيث  $C_0$  هو الدائرة التى مركزها  $z_0$  ونصف قطرها  $r_0$  موجهة فى الاتجاه الموجب . إذا كانت  $M$  هى القيمة العظمى للدالة  $|f(z)|$  على  $C_0$  فإننا نحصل على متباينة كوشى Cauchy's inequality الآتية

$$|f^{(n)}(z_0)| \leq \frac{n! M}{r_0^n} \quad (n = 1, 2, \dots) \quad (٦)$$

وعندما  $n=1$  فإننا نحصل على الشرط

$$|f'(z_0)| \leq \frac{M}{r_0} \quad (٧)$$

وهذه النتيجة تمكننا من برهان أن أى دالة شاملة بخلاف الدالة الثابتة لا يمكن أن تكون دالة محدودة لجميع النقط  $z$  ؛ وتعرف هذه النتيجة بنظرية لواقيل والتي نجملها فيما يلى  
نظرية لواقيل Liouville's Theorem : أى دالة شاملة ومحدودة لجميع نقاط المستوى المركب لا بد وأن تكون دالة ثابتة .

لبرهان ذلك نلاحظ أن الفرض المعطى يستلزم وجود عدد حقيقى ثابت  $M$  بحيث  $|f(z)| \leq M$  لجميع  $z$  . وعليه فإن المتباينة (٧) تكون صحيحة لأى عدد حقيقى موجب  $r_0$  ولجميع  $z_0$  . وحيث أنه يمكننا اختيار  $r_0$  لتكون كبيرة كما نشاء وحيث أن  $f'(z_0)$  عدد ثابت فإن المتباينة (٧) تتحقق فقط عندما يكون  $f'(z_0) = 0$  . وهذا يعنى أن  $f'(z_0) = 0$  لجميع نقاط المستوى المركب ، مما يستلزم أن تكون  $f(z)$  دالة ثابتة القيمة.

### ٥٥ - النظرية الأساسية للجبر The Fundamental Theorem of Algebra

تعرف النظرية التالية بالنظرية الأساسية للجبر

نظرية : أى كثيرة حدود

$$P(z) = a_0 + a_1 z + a_2 z^2 + \dots + a_n z^n \quad (a_n \neq 0) \text{ و}$$

حيث  $n \geq 1$  لها جذر واحد على الأقل . أى أنه توجد نقطة واحدة  $z_0$  على الأقل بحيث  $P(z_0) = 0$

البرهان الجبري الصرف لهذه النظرية برهان صعب ، إلا أنه يمكننا استنباطها هنا بشكل مباشر باستخدام نظرية لواقيل المبرهنة في البند السابق لنفرض الآن أن  $P(z) \neq 0$  عند أي نقطة  $z$  في المستوى المركب . في هذه الحالة تكون

$$f(z) = \frac{1}{P(z)}$$

دالة شاملة ومحدودة لجميع  $z$  . لتبين أن هذه الدالة محدودة نلاحظ أولاً أن  $f$  متصلة وبالتالي فهي محدودة على كل قرص دائري مغلق مركزه نقطة الأصل . وحيث أنه يوجد أيضاً عدد حقيقي موجب  $R$  بحيث

$$|f(z)| = \frac{1}{|P(z)|} < \frac{2}{|a_n|R^n}$$

لجميع النقط  $z$  في خارجية القرص  $|z| \leq R$  ( انظر تمرين ١٨ من هذا البند ) فإن الدالة  $f$  تكون محدودة لجميع قيم  $z$  في المستوى المركب . وباستخدام نظرية لواقيل نستنتج أن  $f(z)$  ، وبالتالي  $P(z)$  ، دالة ثابتة ، وهذا يناقض أن  $P(z)$  ليست ثابتة القيمة .

عادة ما تعطى النظرية الأساسية للجبر في مناهج الجبر الأولية بدون برهان . ونتيجة هامة للنظرية الأساسية للجبر تنص على أن أي كثيرة حدود من درجة  $n \geq 1$  يمكن التعبير عنها كحاصل ضرب كثيرات حدود خطية ( أي كثيرات حدود من الدرجة الأولى ) ؛ أي أن

$$P(z) = c(z - z_1)(z - z_2) \cdots (z - z_n)$$

حيث  $c$  ،  $z_k$  (  $k = 1, 2, \dots, n$  ) أعداد مركبة ثابتة . بحسب النظرية الأساسية للجبر يوجد عدد مركب  $z_1$  بحيث  $P(z_1) = 0$  ؛ وعليه وباستخدام تمرين (١٩) من هذا البند فإن كثيرة الحدود  $P(z)$  تقبل القسمة ( بدون باق ) على  $z - z_1$  بمعنى أن

$$P(z) = (z - z_1)Q(z)$$

حيث  $Q(z)$  كثيرة حدود من درجة  $n - 1$  . وهنا يمكننا استكمال البرهان باستخدام الاستنتاج الرياضي .

من هذه النتيجة نرى أن عدد الأصفار ( أي الجذور ) المختلفة لأي كثيرة حدود في المستوى المركب ومن درجة  $n$  ، حيث  $n \geq 1$  ، لا يتعدى  $n$  ( في الواقع عدد أصفار كثيرة الحدود أيضاً لا يتعدى  $n$  : المترجمان ) .

## تمارين

١ - ليكن  $C$  هو الدائرة  $|z| = 3$  موجهها في الاتجاه الموجب . برهن أنه إذا كان

$$g(z) = \int_C \frac{2s^2 - s - 2}{s - z} ds \quad (|z| \neq 3)$$

فإن  $g(2) = 8\pi i$  . ما هي قيمة  $g(z)$  عندما  $|z| > 3$  ؟

٢ - ليكن  $C$  كفاف مغلق بسيط موجهها في الاتجاه الموجب . برهن أنه إذا كان

$$g(z) = \int_C \frac{s^3 + 2s}{(s-z)^3} ds$$

فإن  $g(z) = 6\pi iz$  إذا كانت  $z$  في داخلية  $C$  وبأن  $g(z) = 0$  إذا كانت  $z$  في خارجية  $C$ .

٣ - ليكن  $C$  هو حدود المربع الذي تنطبق أضلاعه على المستقيمات  $x = \pm 2, y = \pm 2$  .

إذا كان  $C$  موجهها دائما في الاتجاه الموجب ، فأوجد قيمة كل من التكاملات الآتية :

$$(أ) \int_C \frac{e^{-z} dz}{z - \pi i/2} \quad (ب) \int_C \frac{\cos z}{z(z^2 + 8)} dz \quad (ج) \int_C \frac{z dz}{2z + 1}$$

$$(د) \int_C \frac{\tan(z/2)}{(z-x_0)^2} dz \quad \text{حيث } (-2 < x_0 < 2) \quad (هـ) \int_C \frac{\cosh z}{z^4} dz$$

الأجوبة : (أ)  $2\pi$  (ب)  $\pi i/4$  (ج)  $-\pi i/2$  (د)  $i\pi \sec^2(x_0/2)$  (هـ) صفر

٤ - أوجد في كل من الحالات الآتية تكامل  $f(z)$  حول الكفاف المغلق البسيط  $|z - i| = 2$

موجهها في الاتجاه الموجب

$$(أ) g(z) = \frac{1}{z^2 + 4} \quad (ب) g(z) = \frac{1}{(z^2 + 4)^2}$$

الأجوبة : (أ)  $\pi/2$  (ب)  $\pi/16$

٥ - إذا كانت  $f$  دالة تحليلية في داخلية وعلى كفاف مغلق بسيط  $C$  وكانت  $z_0$  ليست على

$C$  ، إثبت أن

$$\int_C \frac{f'(z) dz}{z - z_0} = \int_C \frac{f(z) dz}{(z - z_0)^2}$$

٦ - لتكن  $f$  دالة متصلة على كفاف مغلق بسيط  $C$  . استخدم النهج المتبع في بند ٥٢ لبرهنة

أن الدالة

$$g(z) = \frac{1}{2\pi i} \int_C \frac{f(s) ds}{s - z}$$

تحليلية عند كل نقطة  $z$  في داخلية  $C$  ، ثم إثبت أن الصيغة التكاملية لمشتقة  $g(z)$  عند مثل

هذه النقطة هي

$$g'(z) = \frac{1}{2\pi i} \int_C \frac{f(s) ds}{(s - z)^2}$$

٧ - ليكن  $C$  هو دائرة الوحدة  $z = \exp(i\theta)$  موجهها من  $\theta = -\pi$  إلى  $\theta = \pi$  . لأى عدد

حقيقي ثابت  $a$  برهن أن

$$\int_C \frac{e^{az}}{z} dz = 2\pi i \quad \text{و}$$

ثم عبر عن التكامل ، في هذه الصيغة ، بدلالة  $\theta$  لتحصل على الصيغة

$$\int_0^{2\pi} e^{a \cos \theta} \cos(a \sin \theta) d\theta = \pi$$

٨ - لتكن  $f$  دالة متصلة عند جميع نقط منطقة مغلقة ومحدودة  $R$  ، ولتكن  $f$  كذلك تحليلية

وغير ثابتة في داخلية  $R$  . بفرض أن  $f(z)$  لا تساوى الصفر عند أى من نقاط  $R$  ، برهن

أن  $|f(z)|$  لها قيمة صغرى  $N$  في  $R$  وبأن  $|f(z)| > N$  لكل نقطة في داخلية  $R$

( استخدم الدالة  $1/f(z)$  في برهنة ذلك ) .

- ٩ - اعط مثلاً يبين أن الشرط  $f(z) \neq 0$  في أى مكان من  $R$  الوارد في تمرين (٨) السابق ، هو شرط ضرورى لبرهان نتيجة ذلك التمرين ( معنى ذلك أن  $|f(z)|$  لا تأخذ قيمتها الصغرى عند نقطة في داخلية  $R$  إلا إذا كانت هذه القيمة هي الصفر ) .
- ١٠ - اعتبر الدالة  $f(z) = (z+1)^2$  والمنطقة  $R$  المكونة من داخلية وحدود المثلث الذى رؤوسه  $z=0$  ،  $z=2$  ،  $z=i$  ، لتعط توضيحاً لكل من قاعدة القيمة العظمى والقاعدة المقابلة لها للقيمة الصغرى الميئة في تمرين (٨) من هذا البند ( أى أوجد نقطاً في  $R$  يكون للدالة  $|f(z)|$  عند كل منها قيمة عظمى أو صغرى )  
الإجابة :  $z=2$  ،  $z=0$
- ١١ - لتكن الدالة  $f(z) = u(x,y) + iv(x,y)$  متصلة في منطقة مغلقة ومحدودة  $R$ ، ولتكن  $f$  في نفس الوقت تحليلية وليست ثابتة في داخلية  $R$  . برهن أن الدالة  $u(x,y)$  تأخذ قيمتها العظمى على حدود  $R$  وليس عند أى نقطة داخلية في  $R$  تكون عندها هذه الدالة توافقية .  
اقتراح : طبق قاعدة القيمة العظمى على الدالة  $\exp [f(z)]$  .
- ١٢ - لتكن  $f(z) = u(x,y) + iv(x,y)$  دالة متصلة في منطقة مغلقة ومحدودة  $R$ ، ولتكن  $f$  في نفس الوقت تحليلية وليست ثابتة في داخلية  $R$  . برهن أن الدالة  $u(x,y)$  تأخذ قيمتها الصغرى على حدود  $R$  وليس عند أى نقطة داخلية في  $R$  . ( انظر تمرينى ٨ و ١١ ) .
- ١٣ - اعتبر الدالة  $f(z) = e^z$  والمنطقة  $R$  المكونة من داخلية وحدود المستطيل الذى رؤوسه  $z=0$  ،  $z=1$  ،  $z=1+\pi i$  ،  $z=\pi i$  لتوضيح تمرينى ١١ و ١٢ . ما نقاط  $R$  التى تأخذ عندها الدالة  $u(x,y)$  قيمها العظمى والصغرى ؟  
الإجابة :  $z=1$  ،  $z=1+\pi i$  .
- ١٤ - ليكن  $u(x,y)$  الجزء الحقيقى من دالة شاملة معطاة  $f(z)$  . برهن أنه إذا كان للدالة التوافقية  $u(x,y)$  حداً أعلى  $u_0$  ، أى أن  $u(x,y) < u_0$  لجميع نقاط المستوى  $xy$  ، فإن الدالة  $u(x,y)$  لا يبد وأن تكون دالة ثابتة .
- ١٥ - استكمل خطوات استنباط الصيغة (٣) من بند (٥٢)
- ١٦ - استخدم مبدأ الاستنتاج الرياضى لبرهان الصيغة (٤) من بند (٥٢)
- ١٧ - لتكن  $f$  دالة شاملة بحيث  $|f(z)| \leq A|z|$  لجميع  $z$  ، حيث  $A$  عدد حقيقى موجب ثابت . برهن أن  $f(z) = 0$  لجميع  $z$  أو  $f(z) = a_1 z$  حيث  $a_1 \neq 0$
- اقتراح : استخدم متباينة كوشى ( المتباينة (٦) من بند ٥٤ ) لبرهان أن  $f'(z) = 0$  لجميع نقاط المستوى المركب .

١٨ - إذا كانت

$$P(z) = a_0 + a_1z + a_2z^2 + \dots + a_nz^n \quad (a_n \neq 0)$$

كثيرة حدود درجتها  $n \geq 1$  ، فبرهن أنه يوجد عدد حقيقي موجب  $R$  بحيث

$$|P(z)| > \frac{|a_n||z|^n}{2}$$

لجميع قيم  $z$  التي تحقق  $|z| > R$

اقترح : لاحظ أولاً أنه يوجد عدد حقيقي موجب  $R$  بحيث يكون كل من الأعداد

$$|a_n|/(2n) \quad |a_{n-1}|/z \quad |a_{n-2}|/z^2 \quad \dots \quad |a_1|/z^{n-1} \quad |a_0|/z^n$$

لجميع  $z$  التي تحقق  $|z| \geq R$  ، وعليه فإن

$$\left| \frac{a_{n-1}}{z} + \frac{a_{n-2}}{z^2} + \dots + \frac{a_1}{z^{n-1}} + \frac{a_0}{z^n} \right| < \frac{|a_n|}{2}$$

عندما  $|z| \geq R$  . هذه النتيجة والمتباينة  $|z_1 + z_2| \geq ||z_1| - |z_2||$  يمكن استخدامها

معاً لبرهان أن

$$\left| a_n + \left( \frac{a_{n-1}}{z} + \frac{a_{n-2}}{z^2} + \dots + \frac{a_1}{z^{n-1}} + \frac{a_0}{z^n} \right) \right| > \frac{|a_n|}{2}$$

عندما  $|z| \geq R$  . النتيجة المطلوب برهنتها يمكن الحصول عليها الآن بضرب كل من طرفي

هذه المتباينة بالعدد  $|z|^n$

١٩ - لتكن  $P(z)$  كثيرة حدود درجتها  $n \geq 1$  ، يقال أن  $P(z)$  تقبل القسمة على  $z - z_0$

إذا أمكن إيجاد كثيرة حدود  $Q(z)$  - يقال لها خارج قسمة quotient كثيرة الحدود  $P(z)$

بالنسبة إلى  $z - z_0$  بحيث  $P(z) = (z - z_0)Q(z)$  . برهن أن :

( أ ) كثيرة الحدود  $z^n - z_0^n$  ( $n = 1, 2, \dots$ ) تقبل القسمة على  $z - z_0$  ؛

( ب ) كثيرة الحدود  $P(z) - P(z_0)$  تقبل القسمة على  $z - z_0$  وأن خارج القسمة هو

كثيرة حدود درجتها  $n - 1$  ؛

( ج )  $P(z)$  تقبل القسمة على  $z - z_0$  إذا وفقط إذا كان  $P(z_0) = 0$  .



# الفصل السادس

## المتسلسلات Series

نخصص هذا الباب أساساً لدراسة تمثيل الدوال التحليلية على صورة متسلسلات ، وسنبرهن نظريات تبين لنا وجود مثل هذا التمثيل . كما أننا سنعطى طرقاً مبسطة لمعالجة المتسلسلات .

### ٥٦ - تقارب المتتابعات والمتسلسلات Convergence of Sequences and Series

يقال أن للمتتابعة اللانهائية

$$z_1, z_2, \dots, z_n, \dots$$

من الأعداد المركبة نهاية  $z$  إذا كان لكل عدد حقيقي موجب  $\varepsilon$  يوجد عدد صحيح موجب  $n_0$  بحيث

$$n > n_0 \quad \text{طالما} \quad |z_n - z| < \varepsilon \quad (1)$$

والتفسير الهندسي لهذا المفهوم للنهائية هو أنه يمكننا دائماً اختيار عدد صحيح موجب  $N$  ، مهما كان كبيراً ، بحيث تكون جميع النقاط  $z_n$  ، حيث  $n > N$  ، من هذه المتتابعة قريبة قريباً كافياً وكيفما نشاء من النقطة  $z$  .

سنترك للقارئ برهان أنه إذا كانت لمتتابعة ما نهاية فإن هذه النهاية لا بد وأن تكون وحيدة . والمتابعة التي لها نهاية  $z$  يطلق عليها متتابعة تقاربية Convergent ( أو إنها تؤول إلى  $z$  ) ، ونعبر عن ذلك رمزياً بأن نكتب

$$\lim_{n \rightarrow \infty} z_n = z.$$

المتابعة التي ليس لها نهاية تسمى متتابعة تباعدية Divergent

نظرية ١ : إذا كان

$$z_n = x_n + iy_n \quad (n = 1, 2, \dots)$$

$$z = x + iy.$$

و  
فإن

$$\lim_{n \rightarrow \infty} z_n = z \quad (2)$$

إذا فقط إذا كان

$$\lim_{n \rightarrow \infty} x_n = x \quad \text{و} \quad \lim_{n \rightarrow \infty} y_n = y. \quad (3)$$

البرهان : لبرهان النظرية نفرض أولاً صحة (٢) ثم نبرهن تحقق الشروط (٣) .  
وفقاً للشروط (٢) فإنه لكل عدد حقيقي موجب معطى  $\varepsilon$  يوجد عدد صحيح موجب  $n_0$  بحيث

$$n > n_0 \quad \text{طالما} \quad |x_n - x + i(y_n - y)| < \varepsilon$$

لكن

$$|x_n - x| \leq |x_n - x + i(y_n - y)|$$

$$|y_n - y| \leq |x_n - x + i(y_n - y)|. \quad \text{و}$$

وهذا يستتبع بالضرورة

$$|y_n - y| < \varepsilon \quad \text{و} \quad |x_n - x| < \varepsilon$$

لجميع  $n > n_0$  ، وهذه هي الشروط (٣) المطلوب استيفائها.  
لنفرض الآن صحة الشروط (٣) . نعلم أنه لكل عدد حقيقي موجب معطى  $\varepsilon$  يوجد عدنان صحيحان موجبان  $n_2, n_1$  بحيث

$$n > n_1 \quad \text{طالما} \quad |x_n - x| < \frac{\varepsilon}{2}$$

$$n > n_2 \quad \text{طالما} \quad |y_n - y| < \frac{\varepsilon}{2}$$

و عليه فإن

$$|y_n - y| < \frac{\varepsilon}{2} \quad \text{و} \quad |x_n - x| < \frac{\varepsilon}{2}$$

طالما كان  $n > n_0$  ، حيث  $n_0$  أكبر العددين الصحيحين  $n_2, n_1$

$$|x_n + iy_n - (x + iy)| \leq |x_n - x| + |y_n - y|, \quad \text{لكن}$$

ومن ثم فإن  $|z_n - z| < \varepsilon$  طالما  $n > n_0$  ، وهو الشرط (٢) المطلوب تحققه .  
يقال للمتسلسلة *series* اللانهائية

$$z_1 + z_2 + \dots + z_n + \dots$$

حيث كل من  $z_n$  عدد مركب ، أنها تقوّل إلى العدد  $S$  إذا كانت متتابعة المجاميع

الجزئية *Partial sums*

$$S_N = \sum_{n=1}^N z_n \quad (N = 1, 2, \dots)$$

تقاربية ونهايتها  $S$  . في هذه الحالة نقول أن  $S$  هو مجموع *Sum* المتسلسلة اللانهائية قيد البحث ونعبر عن ذلك بأن نكتب

$$\sum_{n=1}^{\infty} z_n = S.$$

وحيث أن نهاية أى متتابعة تقاربية تكون وحيدة ، فإننا نستنتج أن أى متسلسلة تقاربية لا يمكن أن يكون لها أكثر من مجموع .

يقال لمتسلسلة لا نهائية أنها تباعدية *Divergent* إذا لم تكن تقاربية .

نظرية ٢ : إذا كان

$$z_n = x_n + iy_n \quad (n = 1, 2, \dots)$$

$$S = X + iY.$$

و

فإن

$$\sum_{n=1}^{\infty} z_n = S \quad (٤)$$

إذا فقط إذا كان

$$\sum_{n=1}^{\infty} y_n = Y \quad \text{و} \quad \sum_{n=1}^{\infty} x_n = X \quad (٥)$$

البرهان : ليكن  $S_N$  هو مجموع الحدود الأولى التي عددها  $N$  من المتسلسلة (٤) .

نلاحظ الآن

$$S_N = X_N + iY_N \quad (٦)$$

حيث

$$Y_N = \sum_{n=1}^N y_n \quad \text{و} \quad X_N = \sum_{n=1}^N x_n$$

الآن فالشرط (٤) متحقق إذا فقط إذا كان

$$\lim_{N \rightarrow \infty} S_N = S$$

وعلى ضوء العلاقة (٦) ، فضلاً عن نظرية (١) ، فإن هذا الشرط يكون متحققاً

إذا فقط إذا كان

$$\lim_{N \rightarrow \infty} Y_N = Y \quad \text{و} \quad \lim_{N \rightarrow \infty} X_N = X \quad (٧)$$

وهذا يعني أن الشرطين (٤) و (٧) شرطان متكافئان . وحيث أن  $X_N$  ،  $Y_N$  هما المجموع الجزئية للمتسلسلتين الواردتين في (٥) فإننا نكون بذلك قد برهننا النظرية .

لبرهان أن مجموع متسلسلة ما هو العدد  $S$  سنجد أنه من الملائم - في كثير من

الحالات - استخدام ما نطلق عليه الباقي **Remainder** بعد حدود عددها  $N$  ؛ والباقي  $R_N$

معرف كالتالي :

$$R_N = S - S_N$$

لاحظ أن  $|S_N - S| = |R_N - 0|$  ؛ وعليه فإنه وفقاً للتعريف (١) لنهاية متتابعة ، يكون

للنهاية (٧) وجود إذا فقط إذا كان

$$\lim_{N \rightarrow \infty} R_N = 0 \quad (٨)$$

وعليه فإن مجموع متسلسلة تقاربية هو العدد  $S$  إذا فقط إذا كانت متتابعة البواقي

تقاربية ونهايتها الصفر .

نشير هنا إلى أن متسلسلات القوى **Power series** تلعب دوراً هاماً في نظرية المتغيرات

المركبة . ومتسلسلات القوى هي متسلسلات على الصورة  

$$\sum_{n=0}^{\infty} a_n(z - z_0)^n \quad \text{أو} \quad a_0 + \sum_{n=1}^{\infty} a_n(z - z_0)^n$$
  
 حيث  $a_0, z_0$  ,  $a_n$  أعداد ( ثوابت ) مركبة وحيث  $z$  هو أى عدد مركب داخل منطقة معينة . لمثل هذه المتسلسلات التي تشتمل على متغير  $z$  سنرمز لكل من المجموع والمجموع الجزئية والبقايا بالرموز  $R_N(z)$ ,  $S_N(z)$ ,  $S(z)$  على التعاقب .

### تمارين

- ١ - برهن بطريقتين مختلفتين تقارب المتابعة  

$$z_n = -2 + i \frac{(-1)^n}{n^2} \quad (n = 1, 2, \dots)$$
- ٢ - ليكن  $r_n$  ,  $\theta_n$  هما المقياس والقيمة الأساسية لسعة العدد المركب  $z_n$  لكل  $n$  ، في تمرين (١) . بين أن المتابعة  $r_n (n = 1, 2, \dots)$  متتابعة تقاربية وبأن المتابعة  $\theta_n (n = 1, 2, \dots)$  متتابعة تباعدية.

٣ - استخدم الباقي  $R_N(z)$  لبرهان أن  

$$\sum_{n=1}^{\infty} z^n = \frac{z}{1-z}$$

حيث  $z$  هو أى مركب بحيث  $|z| < 1$  .

اقترح : استخدم تمرين (١٤) بند (٦) لبرهان أن

$$|R_N(z)| \leq |z|^{N+1}/(1 - |z|)$$

٤ - في الصيغة المعطاة في تمرين (٣) ضع  $z = re^{i\theta}$  ، حيث  $0 < r < 1$  ، ومن ثم برهن أن

$$\sum_{n=1}^{\infty} r^n \cos n\theta = \frac{r \cos \theta - r^2}{1 - 2r \cos \theta + r^2}$$

$$\sum_{n=1}^{\infty} r^n \sin n\theta = \frac{r \sin \theta}{1 - 2r \cos \theta + r^2}$$

٥ - برهن أنه إذا وجد لمتابعة ما نهاية ، فإن هذه النهاية تكون وحيدة

٦ - إذا كان  $\sum_{n=1}^{\infty} z_n = S$  ، فبرهن أن  $\sum_{n=1}^{\infty} \bar{z}_n = \bar{S}$

٧ - إذا كان  $\sum_{n=1}^{\infty} z_n = S$  ، فبرهن أن  $\sum_{n=1}^{\infty} cz_n = cS$  حيث  $c$  أى عدد مركب

٨ - برهن أنه إذا كان  $z$  هو نهاية المتابعة  $z_n (n = 1, 2, \dots)$  فإنه يوجد عدد حقيقي موجب  $M$  بحيث  $|z_n| < M$  لجميع  $n$  .

اقترح : لاحظ أنه يوجد عدد صحيح موجب  $n_0$  بحيث

$$|z_n| \leq |z| + |z_n - z| < |z| + 1$$

طالما كان  $n > n_0$

٩ - برهن أنه إذا كان  $z$  هو نهاية المتابعة التقاربية  $z_n (n = 1, 2, \dots)$  وكان  $|z_n| \leq M$

جميع  $n$  ، فإن  $|z| \leq M$  .

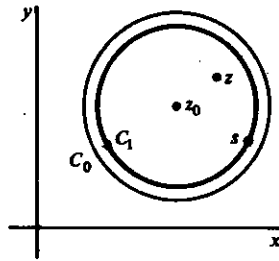
اقتراح : لاحظ أن الفرض  $|z| > M$  يستلزم وجود عدد صحيح موجب  $n_0$  بحيث  
 $|z| - |z_n| \leq |z - z_n|$  طالما كان  $n > n_0$  ؛ ومن ثم استخدم المتباينة  $|z - z_n| < |z| - M$   
 للحصول على التناقض بأن  $|z_n| > M$  طالما كان  $n > n_0$ .

### ٥٧ - متسلسلة تايلور Taylor Series

نبرهن الآن واحدة من أهم نظريات هذا الباب ، ألا وهي نظرية تايلور  
 نظرية : لتكن  $f$  دالة تحليلية لجميع نقاط داخلية دائرة  $C_0$  مركزها  $z_0$  ونصف  
 قطرها  $r_0$  . عند أى نقطة  $z$  في داخلية  $C_0$  يكون

$$f(z) = f(z_0) + f'(z_0)(z - z_0) + \frac{f''(z_0)}{2!}(z - z_0)^2 + \dots + \frac{f^{(n)}(z_0)}{n!}(z - z_0)^n + \dots; \quad (1)$$

وهذا يعنى أن متسلسلة القوى أعلاه متسلسلة تقاربية مجموعها  $f(z)$  طالما كان  
 $|z - z_0| < r_0$ .



شكل (٤٧)

مفكوك  $f(z)$  المعطى بالصيغة (١) هو متسلسلة تايلور للدالة  $f(z)$  حول النقطة  $z_0$  .  
 ونشير إلى أن هذا المفكوك هو متسلسلة تايلور المعروفة في مبادئ علم التفاضل  
 والتكامل ، وذلك عندما تكون جميع حلود المفكوك اعداداً حقيقية .

لبرهان النظرية نعتبر أى نقطة ثابتة  $z$  في داخلية الدائرة  $C_0$  . إذا كان  $|z - z_0| = r$   
 فإن  $r < r_0$  . إذا كانت  $s$  أى نقطة على دائرة  $C_1$  مركزها  $z_0$  ونصف قطرها  $r_1$  حيث  
 $r < r_1 < r_0$  فإن  $|s - z_0| = r_1$  ( شكل (٤٧) ) . حيث أن  $z$  نقطة في داخلية  $C_1$   
 وأن  $f$  تحليلية لجميع نقاط الدائرة  $C_1$  وداخليتها ، فإنه يمكننا استخدام صيغة تكامل  
 كوشي ، وعليه يكون

$$f(z) = \frac{1}{2\pi i} \int_{C_1} \frac{f(s) ds}{s - z} \quad (2)$$

حيث  $C_1$  موجهة في الاتجاه الموجب.

$$\frac{1}{s - z} = \frac{1}{(s - z_0) - (z - z_0)} = \frac{1}{s - z_0} \frac{1}{1 - (z - z_0)/(s - z_0)}$$

وحيث أنه لأي عدد مركب  $c$  لا يساوى ١ ، يكون

$$\frac{1}{1-c} = 1 + c + c^2 + \dots + c^{N-1} + \frac{c^N}{1-c}.$$

( انظر تمرين (١٤) بند (٦) ) ، فإننا نحصل على

$$\frac{1}{s-z} = \frac{1}{s-z_0}$$

$$\times \left[ 1 + \frac{z-z_0}{s-z_0} + \dots + \left( \frac{z-z_0}{s-z_0} \right)^{N-1} + \frac{1}{1-(z-z_0)/(s-z_0)} \left( \frac{z-z_0}{s-z_0} \right)^N \right]$$

وعليه فإن

$$\begin{aligned} \frac{f(s)}{s-z} &= \frac{f(s)}{s-z_0} + \frac{f(s)}{(s-z_0)^2} (z-z_0) + \dots \\ &+ \frac{f(s)}{(s-z_0)^N} (z-z_0)^{N-1} + (z-z_0)^N \frac{f(s)}{(s-z)(s-z_0)^N}. \end{aligned}$$

نكامل الآن كل حد من هذه الحدود حول  $C_1$  موجهها في الاتجاه المضاد لعقارب

الساعة . إذا قسمنا كلا من طرفي المعادلة - بعد إجراء هذه التكاملات - على  $2\pi i$

واستخدمنا الصيغة (٢) فضلا عن الصيغ الآتية للتكامل ( بند (٥٢) )

$$\frac{1}{2\pi i} \int_{C_1} \frac{f(s) ds}{(s-z_0)^{n+1}} = \frac{1}{n!} f^{(n)}(z_0) \quad (n=0, 1, 2, \dots),$$

فإننا نحصل على

$$f(z) = f(z_0) + f'(z_0)(z-z_0) + \dots + \frac{f^{(N-1)}(z_0)}{(N-1)!} (z-z_0)^{N-1} + R_N(z) \quad (٣)$$

حيث

$$R_N(z) = \frac{(z-z_0)^N}{2\pi i} \int_{C_1} \frac{f(s) ds}{(s-z)(s-z_0)^N}. \quad (٤)$$

حيث أن  $|z-z_0|=r$  و  $|s-z_0|=r_1$  ، يكون

$$|s-z| \geq |s-z_0| - |z-z_0| = r_1 - r.$$

وعليه فإذا أخذنا  $M$  لتكون القيمة العظمى للدالة  $f(s)$  على  $C_1$  فإن الصيغة (٤) تعطى

$$|R_N(z)| \leq \frac{r^N}{2\pi} \frac{M 2\pi r_1}{(r_1-r)r_1^N} = \frac{Mr_1}{r_1-r} \left( \frac{r}{r_1} \right)^N.$$

وحيث أن  $r/r_1 < 1$  فإن

$$\lim_{N \rightarrow \infty} R_N(z) = 0.$$

وعليه فإنه عند أى نقطة  $z$  في داخلية  $C_0$  تكون نهاية مجموع  $N$  من حدود الطرف

الأيمن للمعادلة (٣) هو  $f(z)$  وذلك عندما تؤول  $N$  إلى اللانهاية . ومعنى هذا أنه إذا

كانت  $f$  تحليلية في داخلية دائرة مركزها  $z_0$  ونصف قطرها  $r_0$  فإن  $f(z)$  يمكن تمثيلها

بمتسلسلة تايلور على الصورة :

$$|z - z_0| < r_0 \quad \text{عندما} \quad f(z) = f(z_0) + \sum_{n=1}^{\infty} \frac{f^{(n)}(z_0)}{n!} (z - z_0)^n \quad (٥)$$

وفي الحالة الخاصة التي تكون فيها  $z_0 = 0$  فإننا نحصل على متسلسلة ماكلورين

: Maclaurin Series

$$|z| < r_0 \quad \text{عندما} \quad f(z) = f(0) + \sum_{n=1}^{\infty} \frac{f^{(n)}(0)}{n!} z^n \quad (٦)$$

### ٥٨ - ملاحظات وأمثلة Observations and Examples

عندما تكون  $f$  دالة تحليلية لجميع نقاط داخلية دائرة مركزها  $z_0$  ، فإن متسلسلة تايلور حول  $z_0$  والمثلة بالطرف الأيمن من معادلة (١) بند (٥٧) تكون تقاربية بكل تأكيد ومجموعها  $f(z)$  لكل نقطة  $z$  في داخلية هذه الدائرة ، وهذا يعني أننا لا نحتاج إجراء اختبار تقارب للمتسلسلة . وفي الواقع فإن نظرية تايلور تبين أن هذه المتسلسلة تقاربية ونهايتها هي  $f(z)$  داخل دائرة مركزها  $z_0$  ونصف قطرها هو المسافة بين  $z_0$  وأقرب نقطة  $z_1$  تكون عندها الدالة  $f$  غير تحليلية ، وفي بند (٦٢) سنبين أن هذه الدائرة هي أكبر دائرة مركزها  $z_0$  تكون في داخليتها هذه المتسلسلة تقاربية وتكون نهايتها  $f(z)$  لجميع النقاط  $z$  في داخليتها .

في المثال الأول سنعطى مفكوك ماكلورين للدالة  $f(z) = e^z$  . في هذه الحالة  $f^{(n)}(z) = e^z$  وبالتالي  $f^{(n)}(0) = 1$  . وحيث أن  $e^z$  تحليلية عند كل نقطة  $z$  فإننا نحصل على

$$|z| < \infty \quad \text{عندما} \quad e^z = 1 + \sum_{n=1}^{\infty} \frac{z^n}{n!} \quad (١)$$

لاحظ أنه عندما تكون  $z$  حقيقية فإن المفكوك (١) يصبح

$$e^x = 1 + \sum_{n=1}^{\infty} \frac{x^n}{n!}$$

وهذا المفكوك صحيح لأي عدد حقيقي  $x$  .

بنفس الطريقة يمكننا إثبات أن

$$|z| < \infty \quad \text{عندما} \quad \sin z = \sum_{n=1}^{\infty} (-1)^{n+1} \frac{z^{2n-1}}{(2n-1)!} \quad (٢)$$

$$|z| < \infty \quad \text{عندما} \quad \cos z = 1 + \sum_{n=1}^{\infty} (-1)^n \frac{z^{2n}}{(2n)!} \quad (٣)$$

$$|z| < \infty \quad \text{عندما} \quad \sinh z = \sum_{n=1}^{\infty} \frac{z^{2n-1}}{(2n-1)!} \quad (٤)$$

$$|z| < \infty \quad \text{عندما} \quad \cosh z = 1 + \sum_{n=1}^{\infty} \frac{z^{2n}}{(2n)!} \quad (٥)$$

ومثال آخر لمتسلسلة ماكلورين هو المفكوك الآتي الذي يمكن الحصول عليه بسهولة

$$|z| < 1 \quad \text{عندما} \quad \frac{1}{1+z} = \sum_{n=0}^{\infty} (-1)^n z^n \quad (٦)$$

بوضع  $Z^2$  بدلا من  $z$  في هذا المفكوك فإننا نحصل على

$$|Z| < 1 \quad \text{عندما} \quad \frac{1}{1+Z^2} = \sum_{n=0}^{\infty} (-1)^n Z^{2n}$$

وذلك لأن  $|Z^2| < 1$  طالما  $|z| < 1$ . بوضع  $z = -c$  فإن المفكوك (٦) يعطى لنا مجموع المتوالية (المتسلسلة) الهندسية Geometric series اللانهائية حيث  $c$  هو أساس هذه المتوالية، أى أن

$$|c| < 1 \quad \text{عندما} \quad 1 + c + c^2 + \dots + c^n + \dots = \frac{1}{1-c} \quad (٧)$$

عندما يكون  $z \neq 0$  فإن مشتقات الدالة  $f(z) = z^{-1}$  هي

$$f^{(n)}(z) = (-1)^n n! z^{-n-1} \quad (n = 1, 2, \dots)$$

وعليه فإن  $f^{(n)}(1) = (-1)^n n!$ ؛ ومنه نجد أن متسلسلة تايلور لهذه الدالة حول  $z=1$  هي

$$\frac{1}{z} = \sum_{n=0}^{\infty} (-1)^n (z-1)^n. \quad (٨)$$

وحيث أن الدالة  $\frac{1}{z}$  تحليلية عند كل نقطة  $z \neq 0$ ، فإن المفكوك المعطى بالمعادلة (٨) يكون صحيحا طالما  $|z-1| < 1$ .

كمثال آخر سنوجد مفكوك الدالة

$$f(z) = \frac{1+2z}{z^2+z^3} = \frac{1}{z^2} \left( 2 - \frac{1}{1+z} \right)$$

في صورة متسلسلة تحوى قوى  $z$  الموجبة والسالبة سواء. لاحظ أنه لا يوجد متسلسلة ماكلورين للدالة  $f(z)$  المعطاه أعلاه، وذلك لأن هذه الدالة ليست تحليلية عند  $z=0$ . ومن ناحية أخرى فقد أمكننا إيجاد متسلسلة ماكلورين للدالة  $1/(1+z)$

(معادلة (٦)). وعليه فإنه عندما يكون  $0 < |z| < 1$  نجد أن

$$\begin{aligned} \frac{1+2z}{z^2+z^3} &= \frac{1}{z^2} (2 - 1 + z - z^2 + z^3 - \dots) \\ &= \frac{1}{z^2} + \frac{1}{z} - 1 + z - z^2 + z^3 - \dots \end{aligned}$$

## تمارين

١ - اثبت أن  $|z| < \infty$  عندما  $e^z = e + e \sum_{n=1}^{\infty} \frac{(z-1)^n}{n!}$

٢ - اثبت أن  $|z+1| < 1$  عندما  $\frac{1}{z^2} = 1 + \sum_{n=1}^{\infty} (n+1)(z+1)^n$  (أ)

$|z-2| < 2$  عندما  $\frac{1}{z^2} = \frac{1}{4} + \frac{1}{4} \sum_{n=1}^{\infty} (-1)^n (n+1) \left( \frac{z-2}{2} \right)^n$  (ب)



- ٣ - اوجد متسلسلة تايلور للدالة  $\cos z$  حول النقطة  $z = \pi/2$
- ٤ - اوجد متسلسلة تايلور للدالة  $\sinh z$  حول النقطة  $z = \pi i$
- ٥ - ما هي أكبر دائرة تكون في داخلتها متسلسلة ماكلورين للدالة  $\tanh z$  متسلسلة تقاربية وذات نهاية  $\tanh z$  لجميع النقاط  $z$  في داخلية هذه الدائرة ؟ اكتب الحدين الأولين غير الصفرين من هذه المتسلسلة .

٦ - إذا كان  $0 < |z| < 4$  فبرهن أن

$$\frac{1}{4z - z^2} = \sum_{n=0}^{\infty} \frac{z^{n-1}}{4^{n+1}}$$

- ٧ - استخدم التعويض  $z = Z - 1$  في متسلسلة ماكلورين (٦) من بند (٥٨) للحصول على تمثيل للدالة  $1/Z$  في صورة متسلسلة تقاربية في قوى  $Z - 1$  ، وذلك عندما  $|Z - 1| < 1$  لاحظ أنه يتعين أن تكون نتيجتك متفقة مع متسلسلة تايلور المذكورة في المعادلة (٨) من نفس البند .

- ٨ - استخدم التعويض  $z = Z - 1$  في المفكوك (٦) من بند (٥٨) وكذلك شرط صلاحية هذا المفكوك لتحصل على مفكوك له وجود للدالة  $(1 + Z)^{-1}$  ، في جميع القوى السالبة للعدد المركب  $Z$  وذلك لجميع  $|Z| > 1$  .

الإجابة :  $(1 + Z)^{-1} = \sum_{n=0}^{\infty} (-1)^n Z^{-n-1}$  .

٩ - إذا كان  $z \neq 0$  فبرهن أن

$$\frac{\sin(z^2)}{z^4} = \frac{1}{z^2} - \frac{z^2}{3!} + \frac{z^6}{5!} - \frac{z^{10}}{7!} + \dots$$

١٠ - اوجد تمثيلاً للدالة

$$f(z) = \frac{z}{(z-1)(z-3)}$$

- على صورة متسلسلة تقاربية نهايتها  $f(z)$  تحوى قوى  $z-1$  الموجبة والسالبة وذلك لجميع النقاط  $z$  التي تحقق  $0 < |z-1| < 2$

الإجابة :  $f(z) = \frac{-1}{2(z-1)} - 3 \sum_{n=1}^{\infty} \frac{(z-1)^{n-1}}{2^{n+1}}$

### ٥٩ - متسلسلة لوران Laurent Series

- لتكن  $C_1, C_2$  دائرتين متحدتي المركز . إذا كان المركز المشترك لهاتين الدائرتين هو  $z_0$  وكانت انصاف أقطارهما  $r_1, r_2$  بحيث  $r_2 < r_1$  (انظر شكل ٤٨) فإن نظرية لوران تنص على نظرية : إذا كانت  $f$  دالة تحليلية على كل من  $C_2, C_1$  وعند كل نقطة من نقاط داخلية المنطقة الحلقية بين هاتين الدائرتين ، فإن الدالة  $f(z)$  يكون لها عند كل نقطة  $z$  من نقاط هذه المنطقة تمثيل على صورة المفكوك الآتي

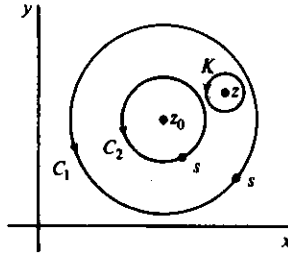
$$f(z) = \sum_{n=0}^{\infty} a_n (z - z_0)^n + \sum_{n=1}^{\infty} \frac{b_n}{(z - z_0)^n} \quad (1)$$

حيث

$$a_n = \frac{1}{2\pi i} \int_{C_1} \frac{f(s) ds}{(s - z_0)^{n+1}} \quad (n = 0, 1, 2, \dots), \quad (2)$$

$$b_n = \frac{1}{2\pi i} \int_{C_2} \frac{f(s) ds}{(s - z_0)^{-n+1}} \quad (n = 1, 2, \dots), \quad (3)$$

مع مراعاة أن مسار كل من التكاملين موجهها في اتجاه مضاد لدوران عقرب الساعة.



شكل (٤٨)

المتسلسلة السابقة يطلق عليها متسلسلة لوران . إذا كانت  $f$  دالة تحليلية على  $C_1$  وعند كل نقطة لا تساوى  $z_0$  من نقاط داخلية  $C_1$  ، فإنه يمكن جعل  $r_2$  صغيراً كيفما نشاء . وفي هذه الحالة يكون المفكوك (١) صحيحاً عندما

$$0 < |z - z_0| < r_1.$$

إذا كانت  $f$  تحليلية عند جميع نقاط  $C_1$  وداخليتها ، فإن الدالة  $f(z)/(z - z_0)^{-n+1}$  تكون تحليلية على الدائرة  $C_2$  وعند جميع نقاط داخليتها وذلك لأن  $-n + 1 \leq 0$  . وعليه فإن قيمة التكامل المعطى بالصيغة (٣) هي الصفر ، ويؤول بذلك المفكوك (١) إلى متسلسلة تايلور .

وحيث أن الدالتين  $f(z)/(z - z_0)^{n+1}$  و  $f(z)/(z - z_0)^{-n+1}$  تحليليتان عند جميع نقط المنطقة الحلقية  $r_2 \leq |z - z_0| \leq r_1$  ، فإنه يمكن استخدام أى كفاف مغلق بسيط  $C$  حول هذه الحلقة وموجهها في الاتجاه الموجب ليكون مساراً للتكامل بديلاً للمسارين  $C_2, C_1$  ( انظر تمرين (٣) بند (٥٠) ) . ووفقاً لذلك فإن متسلسلة لوران يمكن كتابتها على الصورة

$$f(z) = \sum_{n=-\infty}^{\infty} c_n (z - z_0)^n \quad (r_2 < |z - z_0| < r_1) \quad (4)$$

حيث

$$c_n = \frac{1}{2\pi i} \int_C \frac{f(s) ds}{(s - z_0)^{n+1}} \quad (n = 0, \pm 1, \pm 2, \dots). \quad (5)$$

وبطبيعة الحال فإن بعض هذه الثوابت ينعدم في بعض الحالات الخاصة . وعلى سبيل

المثال فالدالة

$$f(z) = \frac{1}{(z - 1)^2} \quad (|z - 1| > 0),$$

لها مفكوك على الصورة (٤) حيث  $z_0 = 1$ ، وفي هذه الحالة يكون  $c_{-2} = 1$  في حين تنعدم بقية الثوابت الأخرى ، وهذا متفق تماماً مع الصيغة (٥) التي يكون فيها  $C$  أى كفاف مغلق بسيط يحوى النقطة  $z_0 = 1$  وموجهاً في الاتجاه الموجب .

الثوابت التي نجدها في المفكوك (٤) يمكن الحصول عليها بطرق أخرى لاتستخدم فيها الصيغة (٥) . وعلى سبيل المثال فكل من المفكوكين

$$e^z = \frac{1}{z^2} + \frac{1}{z} + \frac{1}{2!} + \frac{z}{3!} + \frac{z^2}{4!} + \dots \quad (|z| > 0),$$

$$e^{1/z} = 1 + \sum_{n=1}^{\infty} \frac{1}{n! z^n} \quad (|z| > 0)$$

يمكن الحصول عليه من مفكوك ماكلورين للدالة  $e^z$  . وسنرى في بند (٦٣) تفرد مثل هذين التمثيلين ، وعليه فإن كلا منهما هو متسلسلة لوران عندما  $z_0 = 0$  .  
والآن لبرهان النظرية نلاحظ ابتداءً أنه إذا كانت  $z$  نقطة في المنطقة الحلقية فإن

$$f(z) = \frac{1}{2\pi i} \int_{C_1} \frac{f(s) ds}{s-z} - \frac{1}{2\pi i} \int_{C_2} \frac{f(s) ds}{s-z} \quad (٦)$$

هذه المعادلة صحيحة على ضوء الملاحظات الواردة في نهاية بند (٥٢) الخاصة بصيغة تكامل كوشي التي يكون فيها مسار التكامل هو الحدود الموجهة لنطاق متعدد الترابط . ولتبيان التفصيلات في حالتنا الخاصة هذه نعتبر دائرة  $K$  ، حول النقطة  $z$  موجهة في الاتجاه الموجب ، وبحيث تكون  $K$  واقعة بأكملها داخل النطاق الحلقى ( شكل (٤٨) ) . إذا استخدمنا الآن نظرية كوشي - جورساه في صورتها الأعم والتي تشمل الدوال التحليلية في منطقة مغلقة داخلتها نطاق متعدد الترابط ( بند (٤٩) ) فإننا نحصل

$$\int_{C_1} \frac{f(s) ds}{s-z} - \int_{C_2} \frac{f(s) ds}{s-z} - \int_K \frac{f(s) ds}{s-z} = 0.$$

على

ووفقاً لصيغة تكامل كوشي ، فإن قيمة التكامل الثالث ( الذى مساره  $K$  ) هي  $2\pi i f(z)$  ، ومنه نجد أن المعادلة (٦) متحققة .

استرشاداً ببرهان نظرية تايلور ، فإننا يمكن أن نكتب الدالة الكاملة في التكامل الأول ( حول  $C_1$  ) من المعادلة (٦) على الصورة

$$\begin{aligned} \frac{f(s)}{s-z} &= \frac{f(s)}{s-z_0} + \frac{f(s)}{(s-z_0)^2} (z-z_0) + \dots + \frac{f(s)}{(s-z_0)^N} (z-z_0)^{N-1} \\ &+ (z-z_0)^N \frac{f(s)}{(s-z)(s-z_0)^N}. \end{aligned} \quad (٧)$$

أما بالنسبة للتكامل الآخر من نفس المعادلة (٦) فإننا نلاحظ أن

$$-\frac{1}{s-z} = \frac{1}{(z-z_0)-(s-z_0)} = \frac{1}{z-z_0} \frac{1}{1-(s-z_0)/(z-z_0)}$$

ومنها نحصل على المتساوية

$$-\frac{f(s)}{s-z} = f(s) \frac{1}{z-z_0} + \frac{f(s)}{(s-z_0)^{-1}(z-z_0)^2} + \dots \quad (٨)$$

$$+ \frac{f(s)}{(s-z_0)^{-N+1}(z-z_0)^N} + \frac{1}{(z-z_0)^N} \frac{(s-z_0)^N f(s)}{z-s}$$

وعليه فإن معادلة (٦) تعطى

$$f(z) = a_0 + a_1(z-z_0) + \dots + a_{N-1}(z-z_0)^{N-1}$$

$$+ R_N(z) + \frac{b_1}{z-z_0} + \frac{b_2}{(z-z_0)^2} + \dots + \frac{b_N}{(z-z_0)^N} + Q_N(z)$$

حيث  $a_n$  ,  $b_n$  أعداد مركبة تعطيهما الصيغتان (٢) و (٣) وحيث

$$R_N(z) = \frac{(z-z_0)^N}{2\pi i} \int_{C_1} \frac{f(s) ds}{(s-z)(s-z_0)^N}$$

$$Q_N(z) = \frac{1}{2\pi i(z-z_0)^N} \int_{C_2} \frac{(s-z_0)^N f(s)}{z-s} ds$$

إذا كان  $r = |z-z_0|$  فإن  $r_2 < r < r_1$ . الآن لإثبات أن  $R_N(z)$  تتوّل إلى الصفر عندما يتوّل  $N$

إلى اللانهاية اتبع نفس الخطوات المناظرة والتي اتبعت في استخلاص نظرية تايلور . إذا

كانت  $M$  هي القيمة العظمى لقيم الدالة  $|f(s)|$  على  $C_2$  فإن

$$|Q_N(z)| \leq \frac{Mr_2}{r-r_2} \left(\frac{r_2}{r}\right)^N ;$$

ومنه نرى أن  $Q_N(z)$  تتوّل إلى الصفر عندما يتوّل  $N$  إلى اللانهاية، وهذا يكتمل برهان نظرية

لوران .

## ٦٠ - خواص أخرى للمتسلسلات Further Properties of Series

إذا كانت المتسلسلة

$$\sum_{n=1}^{\infty} z_n \quad (١)$$

من الأعداد المركبة  $z_n = x_n + iy_n$  متسلسلة تقاربية ، فإننا نعلم من نظرية (٢) بند (٥٦) أن

كلا من المتسلسلتين

$$\sum_{n=1}^{\infty} y_n \quad \text{و} \quad \sum_{n=1}^{\infty} x_n \quad (٢)$$

تكون متسلسلة تقاربية . ولما كنا نعلم أن الشرط اللازم لتقارب متسلسلة لا نهائية

حدودها أعداد حقيقية هو أن يؤول الحد الذي رتبته  $n$  إلى الصفر عندما يؤول  $n$  إلى اللانهاية ، فإننا نستنتج أن كلا من  $x_n, y_n$  من (٢) يؤول إلى الصفر عندما يؤول  $n$  إلى اللانهاية ، ومنه تقترب  $z_0$  من الصفر . من هذا نجد أن الشرط

$$\lim_{n \rightarrow \infty} z_n = 0 \quad (٣)$$

لازم ابتداء لتقارب المتسلسلة (١). ومن ذلك يتضح أن حدود أى متسلسلة تقاربية من الأعداد المركبة تكون فئة محدودة **Bounded** ؛ بمعنى أنه يوجد عدد حقيقى ثابت  $M$  بحيث  $|z_n| < M$  لجميع الأعداد الموجبة  $n$  .

افرض أن المتسلسلة (١) **مطلقة التقارب Absolutely convergent** بمعنى أن متسلسلة الأعداد الحقيقية

$$\sum_{n=1}^{\infty} |z_n| = \sum_{n=1}^{\infty} \sqrt{x_n^2 + y_n^2}$$

تكون تقاربية . يتضح لنا الآن من اختبار المقارنة لتسلسلات الأعداد الحقيقية أن كلا من المتسلسلتين

$$\sum_{n=1}^{\infty} |x_n| \quad \text{و} \quad \sum_{n=1}^{\infty} |y_n|$$

تكون متسلسلة تقاربية ، وعليه فإن كلا من المتسلسلتين (٢) تكون مطلقة التقارب . ولما كان التقارب المطلق لمتسلسلة أعداد حقيقية يستلزم بالضرورة تقارب المتسلسلة نفسها ، فإننا نستنتج أن كلا من المتسلسلتين (٢) تكون متسلسلة تقاربية . لكننا نعلم أن تقارب المتسلسلتين (٢) يعنى تقارب المتسلسلة (١) . من ذلك يتبين لنا أن التقارب المطلق لمتسلسلة أعداد مركبة يستلزم بالضرورة تقارب المتسلسلة نفسها .

سنبرهن الآن نظرية هامة خاصة بتقارب متسلسلات القوى . وهذه النظرية ، تماماً كنتائج أخرى عديدة ستأتى فى السياق ، يمكن تطبيقها على متسلسلة القوى العامة

$$\sum_{n=0}^{\infty} a_n (z - z_0)^n$$

ولكننا سنكتفى ببرهان النظرية فى الحالة التى تكون فيها  $z_0 = 0$  . وبرهان الحالة العامة هو فى الأساس نفس البرهان المستخدم هنا ، ذلك أن الكثير من النتائج التى نحصل عليها يمكن تعميمها بمجرد وضع  $z - z_0$  بدلا من  $z$  فى بعض الصيغ

نظرية : متسلسلة القوى

$$\sum_{n=0}^{\infty} a_n z^n$$

التقاربية عند  $z = z_1 \neq 0$  تكون مطلقة التقارب لكل قيمة للعدد المركب  $z$  تحقق  $|z| < |z_1|$  . لما كانت المتسلسلة تقاربية فإن فئة الحدود  $a_n z_1^n$  تكون محدودة وعليه يوجد عدد

حقيقي موجب  $M$  بحيث

$$|a_n z_1^n| < M$$

$$(n = 0, 1, 2, \dots)$$

لنكتب

$$|z| < |z_1|$$

حيث

$$\frac{|z|}{|z_1|} = k$$

إذن

$$|a_n z^n| = |a_n z_1^n| \left| \frac{z}{z_1} \right|^n < M k^n.$$

الآن فالتسلسلة التي حدودها هي الأعداد الحقيقية الموجبة  $M k^n$  هي متسلسلة هندسية تقاربية وذلك لأن  $k < 1$  وعليه يمكننا استخدام اختبار المقارنة في نظرية المتسلسلات ذات الحدود الحقيقية نستنتج أن المتسلسلة

$$\sum_{n=0}^{\infty} |a_n z^n|$$

متسلسلة تقاربية ، وبذا نكون قد استكملنا برهان النظرية .

يتضح لنا من النظرية السابقة أنه توجد دائرة مركزها نقطة الأصل بحيث تكون داخلتها منطقة تقارب لمتسلسلة القوى (٤) . وأكبر دائرة مركزها نقطة الأصل بحيث تكون المتسلسلة (٤) تقاربية عند كل نقطة من نقاط داخلتها تسمى دائرة تقارب **Circle of convergence** المتسلسلة . وبطبيعة الحال فإن المتسلسلة لا يمكن أن تكون تقاربية عند أى نقطة  $z_2$  خارج هذه الدائرة ، وذلك وفقاً للنظرية السابقة التي تنص على أنه إذا كانت المتسلسلة تقاربية عند  $z_2$  فإنها تكون تقاربية عند كل نقطة من داخلية دائرة مركزها نقطة الأصل ومارة بالنقطة  $z_2$  ، وهذا يخالف تعريفنا لدائرة التقارب .

إذا استبدلنا  $z$  بالنقطة  $z - z_0$  في (٤) فإننا نحصل على المتسلسلة

$$\sum_{n=0}^{\infty} a_n (z - z_0)^n. \quad (٥)$$

المناقشة السابقة تبين لنا على الفور أنه إذا كانت المتسلسلة (٥) تقاربية عند  $z_1$  ، فإنها لا بد وأن تكون مطلقة التقارب عند كل نقطة  $z$  في داخلية الدائرة التي مركزها  $z_0$  والمارة بالنقطة  $z_1$  ؛ وهذا يعنى أنها مطلقة التقارب عندما

$$|z - z_0| < |z_1 - z_0|.$$

وبنفس الطريقة ، إذا كانت المتسلسلة

$$\sum_{n=1}^{\infty} \frac{b_n}{(z - z_0)^n}$$

تقاربية عند  $z = z_1$  ، فإنها تكون بالضرورة مطلقة التقارب عند كل نقطة  $z$  في خارجية الدائرة التي مركزها  $z_0$  والمارة بالنقطة  $z_1$  . وهذا يعنى أن خارجية دائرة ما مركزها  $z_0$  هي منطقة تقارب هذه المتسلسلة

## ٦١ - التقارب المنتظم Uniform Convergence

تتكون  $C_1$  هي الدائرة  $|z|=r_1$  ، ولتكن  $\sum_{n=0}^{\infty} a_n z^n$  متسلسلة قوى حول  $z_0 = 0$  ، تقاربية لجميع نقاط داخلية  $C_1$  . نستخدم هذه المتسلسلة لتعريف الدالة التالية والتي نطاق تعريفها هو  $|z| < r_1$  :

$$S(z) = \sum_{n=0}^{\infty} a_n z^n \quad (1)$$

سنعتبر الآن دالة الباقي التالية والمعروفة على نفس نطاق تعريف  $S(z)$  :

$$R_N(z) = S(z) - \sum_{n=0}^{N-1} a_n z^n. \quad (2)$$

وحيث أن متسلسلة القوى تقاربية عند أي قيمة ثابتة للعدد المركب  $z$  والذي يحقق المتباينة  $|z| < r_1$  ، فإننا نعلم أن الباقي  $R_N(z)$  يؤول إلى الصفر ، لمثل هذه القيمة للعدد المركب  $z$  ، وذلك عندما يؤول  $N$  إلى اللانهاية ؛ وهذا يعني أنه لأي قيمة معطاة للعدد المركب  $z$  بحيث  $|z| < r_1$  يوجد عدد صحيح موجب  $N_\varepsilon$  مناظراً لأي عدد حقيقي موجب  $\varepsilon$  بحيث

$$N > N_\varepsilon \quad \text{طالما} \quad |R_N(z)| < \varepsilon \quad (3)$$

وبطبيعة الحال فإن الشرط (٣) يكون متحققاً إذا أخذنا  $z$  بحيث  $|z| \leq |z_2| < r_1$  . ومن ناحية أخرى فإنه يمكننا برهان أن أي عدد حقيقي موجب  $\varepsilon$  يناظره قيمة مفردة مختارة للعدد  $N_\varepsilon$  يكون معها الشرط (٣) متحققاً بغض النظر عن القيمة المختارة للعدد المركب  $z$  في القرص الدائري المغلق  $|z| \leq |z_2|$  . وفي مثل هذه الحالة التي نحن بصدددها والتي يكون فيها اختيارنا للعدد  $N_\varepsilon$  يعتمد فقط على  $\varepsilon$  وليس على أي اختيار معين للنقطة  $z$  في المنطقة المعطاه ، يسمى التقارب تقارباً منتظماً Uniform convergence في هذه المنطقة .

ولبرهان التقارب المنتظم لمتسلسلة القوى أعلاه في المنطقة  $|z| \leq |z_2|$  ، نلاحظ ابتداءً أنه لأي عددين موجبين صحيحين  $N, m$  بحيث  $m > N$  يكون

$$\left| \sum_{n=N}^m a_n z^n \right| \leq \sum_{n=N}^m |a_n| |z|^n \leq \sum_{n=N}^m |a_n| |z_2|^n = \sum_{n=N}^m |a_n z_2^n|. \quad (4)$$

ونهاية المجموع الأخير عندما يؤول  $m$  إلى اللانهاية هي الباقي

$$Q_N = \lim_{m \rightarrow \infty} \sum_{n=N}^m |a_n z_2^n| \quad (5)$$

بعد  $N$  حداً من متسلسلة القيم المطلقة لحدود المتسلسلة (١) عندما  $z = z_2$  . ونعلم من نظرية البند السابق أن المتسلسلة (١) تكون مطلقة التقارب عندما  $z = z_2$  . نلاحظ الآن

أن  $Q_N$  هو باق لمتسلسلة تقاربية ، وعليه فإن  $Q_N$  يؤول إلى الصفر عندما يقترب  $N$  من اللانهاية . ومعنى هذا أنه لأى عدد حقيقى موجب  $\varepsilon$  ، يوجد عدد صحيح  $N_\varepsilon$  بحيث  $|Q_N| < \varepsilon$  طالما  $N > N_\varepsilon$ . وكذلك فإن حدود المتسلسلة التى يكون  $Q_N$  باق لها هي حدود غير سالبة ، وبالتالي فإن

$$\sum_{n=N}^{\infty} |a_n z_2|^n \leq Q_N.$$

إذن ، فوقاً للعلاقة (٤) يكون

$$\left| \sum_{n=N}^{\infty} a_n z^n \right| \leq Q_N \quad (٦)$$

لكل عدد صحيح  $m$  أكبر من  $N$  . ولكننا - وفقاً للمعادلة (٢) - نعلم أن

$$R_N(z) = \lim_{m \rightarrow \infty} \sum_{n=N}^m a_n z^n$$

وعليه يكون

$$N > N_\varepsilon \quad \text{طالما} \quad |R_N(z)| \leq Q_N < \varepsilon \quad (٧)$$

( انظر تمرين (٩) بند (٥٦) .) الآن  $N_\varepsilon$  لا تعتمد على  $z$  فى النطاق  $|z| \leq |z_2|$  ؛ ولذلك فإن التقارب يكون تقارباً منتظماً .

نذكر الآن نص النتيجة التى توصلنا إليها عاليه على الوجه التالى

نظرية : متسلسلة القوى (١) منتظمة التقارب لجميع النقاط  $z$  على وفى داخلية أى دائرة تقع فى داخلية دائرة تقارب المتسلسلة .

المجموع الجزئى

$$S_N(z) = \sum_{n=0}^{N-1} a_n z^n$$

للمتسلسلة (١) هو كثيرة حدود فى  $z$  ، وبالتالي فهو يمثل دالة متصلة عند أى نقطة  $z_2$  نختارها فى داخلية الدائرة  $C_1$  . نبرهن الآن أن المجموع  $S(z)$  يمثل أيضاً دالة متصلة عند  $z_2$  ؛ وهذا يعنى أنه لكل عدد حقيقى موجب  $\varepsilon$  ، يوجد عدد حقيقى موجب  $\delta$  بحيث

$$|z - z_2| < \delta \quad \text{طالما} \quad |S(z) - S(z_2)| < \varepsilon \quad (٨)$$

لإثبات ذلك نلاحظ أولاً أن المعادلة

$$S(z) = S_N(z) + R_N(z)$$

تستلزم أن

$$|S(z) - S(z_2)| = |S_N(z) - S_N(z_2) + R_N(z) - R_N(z_2)|,$$

أى أن

$$|S(z) - S(z_2)| \leq |S_N(z) - S_N(z_2)| + |R_N(z)| + |R_N(z_2)| \quad (٩)$$

إلا أن التقارب المنتظم الذى تبيناه آنفاً يقتضى وجود عدد صحيح  $M_\varepsilon$  بحيث



$$N > M_\epsilon \quad \text{طلما} \quad |R_N(z)| < \frac{\epsilon}{3} \quad (10)$$

حيث  $z$  أى نقطة تنتمى إلى قرص مغلق مركزه نقطة الأصل ونصف قطره أكبر من  $|z_2|$  وأصغر من نصف القطر  $r_1$  للدائرة  $C_1$ . وعلى وجه التخصيص فإن المتباينة  $|R_N(z)| < \frac{\epsilon}{3}$  تكون متحققة لجميع النقاط المنتمية إلى جوار  $|z - z_2| < \delta$  للنقطة  $z_2$  والذي يمكن اختياره صغيراً صغيراً كافياً بحيث يقع داخل القرص المغلق المعنى.

ومن ناحية أخرى فإن كثيرة الحدود  $S_N(z)$  تكون متصلة عند  $z_2$  لأى قيمة للعدد  $N$ . وإذا أخذنا  $N = M_\epsilon + 1$  على وجه التخصيص، فإنه يمكننا اختيار قيمة صغيرة صغيراً كافياً للعدد الحقيقى  $\delta$  بحيث

$$|z - z_2| < \delta \quad \text{طلما} \quad |S_N(z) - S_N(z_2)| < \frac{\epsilon}{3}$$

ومن ذلك يتضح أن الشرط (٨) يكون متحققاً، إذا أخذنا  $N = M_\epsilon + 1$  فى المتباينة (٩).

وبهذا الشكل نكون قد برهننا أن متسلسلة القوى تمثل دالة متصلة فى المتغير المركب  $z$  عند كل نقطة من نقاط داخلية دائرة تقارب هذه المتسلسلة.

والآن إذا وضعنا العدد  $z - z_0$  أو معكوسه  $\frac{1}{z - z_0}$  بدلا من  $z$ ، فإنه يمكننا مباشرة تعميم النتائج السابقة، وذلك بعد إجراء التعديلات الواضحة، لتشمل المتسلسلات

$$\sum_{n=0}^{\infty} a_n (z - z_0)^n \quad \text{و} \quad \sum_{n=1}^{\infty} \frac{b_n}{(z - z_0)^n}$$

وعلى سبيل المثال، إذا كانت المتسلسلة الثانية تقاربية فى الحلقة  $r_1 \leq |z - z_0| \leq r_2$  فإنها تكون منتظمة التقارب عند جميع نقاط هذه الحلقة وأن مجموعها يكون دالة متصلة فى المتغير المركب  $z$  عند جميع نقاط هذه المنطقة.

## ٦٢ - تكامل وتفاضل متسلسلات القوى

### Integration and Differentiation of Power Series

لقد بينا فى البند السابق أن أى متسلسلة قوى تمثل دالة متصلة  $S$  عند جميع نقاط داخلية دائرة تقارب هذه المتسلسلة. وسنبين فى البند الحالى أن  $S$  هى فى الواقع دالة تحليلية على داخلية دائرة التقارب.

نظرية ١ : ليكن  $C$  كافياً فى داخلية دائرة تقارب متسلسلة القوى

$$S(z) = \sum_{n=0}^{\infty} a_n z^n \quad (1)$$

ولنكن  $g$  أى دالة متصلة عند جميع نقاط  $C$ . المتسلسلة التى نحصل عليها بضرب كل حد من حدود متسلسلة القوى فى  $g(z)$  تكون قابلة للتكامل حتماً على امتداد  $C$ ، أى أن

$$\int_C g(z)S(z) dz = \sum_{n=0}^{\infty} a_n \int_C g(z)z^n dz. \quad (٢)$$

حيث أن المجموع  $S(z)$  لمتسلسلة القوى يمثل دالة متصلة ، فإن تكامل حاصل الضرب

$$g(z)S(z) = \sum_{n=0}^{N-1} a_n g(z)z^n + g(z)R_N(z),$$

، حيث  $R_N(z)$  هو باقى المتسلسلة بعد  $N$  حداً ، له وجود . ولما كان كل حد من حدود هذا المجموع المحدود هو دالة متصلة فوق الكفاف  $C$  ، فإنه يكون بطبيعة الحال قابلاً للتكامل على امتداد  $C$  . وبالتالي فإن تكامل  $g(z)R_N(z)$  له وجود ويكون

$$\int_C g(z)S(z) dz = \sum_{n=0}^{N-1} a_n \int_C g(z)z^n dz + \int_C g(z)R_N(z) dz. \quad (٣)$$

لتكن  $M$  القيمة العظمى للدالة  $|g(z)|$  فوق  $C$  ، وليكن  $L$  هو طول  $C$  . وحيث أن متسلسلة القوى المعطاه منتظمة التقارب ( بند (٦١) ) ، فإنه يمكننا إيجاد عدد حقيقى  $N_\epsilon$  مناظراً لكل عدد حقيقى موجب معطى  $\epsilon$  بحيث

$$N > N_\epsilon \quad \text{طالما} \quad |R_N(z)| < \epsilon$$

وذلك لجميع نقاط الكفاف  $C$  .

وحيث أن كلا من  $\epsilon$  و  $N_\epsilon$  لا يعتمد على  $z$  ، فإننا نجد أن

$$N > N_\epsilon \quad \text{طالما} \quad \left| \int_C g(z)R_N(z) dz \right| < M\epsilon L$$

إذن فمن معادلة (٣) يكون

$$\int_C g(z)S(z) dz = \lim_{N \rightarrow \infty} \sum_{n=0}^{N-1} a_n \int_C g(z)z^n dz.$$

وهى تماماً المعادلة (٢) المطلوب برهانها .

إذا كانت  $g(z) = 1$  لكل نقطة  $z$  من نقاط أى كفاف مغلق بسيط  $C$  فى داخلية دائرة

تقارب المتسلسلة المعطاة ، فإن

$$\int_C g(z)z^n dz = \int_C z^n dz = 0 \quad (n = 0, 1, 2, \dots).$$

وبالتالى فإننا نحصل من معادلة (٢) على

$$\int_C S(z) dz = 0$$

لأى كفاف مغلق بسيط فى داخلية دائرة التقارب ؛ ووفقاً لنظرية موريرا ( بند (٥٣) ) فإن الدالة  $S$  تكون تحليلية على داخلية دائرة التقارب . وهذه النتيجة التى توصلنا إليها

هى منطوق النظرية التالية

نظرية ٢ : أى متسلسلة قوى تمثل دالة تحليلية لجميع نقاط داخلية دائرة تقارب هذه المتسلسلة .

كثيراً ما تستخدم نظرية (٢) لبرهان تحليلية الدوال أو لحساب النهايات . ولتوضيح ذلك سنبرهن أن الدالة

$$f(z) = \begin{cases} \frac{\sin z}{z} & (z \neq 0) \\ 1 & (z = 0) \end{cases}$$

دالة شاملة . حيث أن متسلسلة ماكلورين للدالة الجيب تؤول إلى  $\sin z$  لجميع  $z$  ، فإن المتسلسلة

$$1 - \frac{z^2}{3!} + \frac{z^4}{5!} - \dots = 1 + \sum_{n=1}^{\infty} (-1)^n \frac{z^{2n}}{(2n+1)!}, \quad (٤)$$

التي نحصل عليها بضرب كل حد من حدود مفكوك ماكلورين للدالة  $\sin z$  في  $1/z$  هي متسلسلة تقاربية مجموعها  $f(z)$  حيث  $z \neq 0$  . لكن المتسلسلة (٤) تؤول إلى  $f(0)$  عندما يؤول العدد المركب  $z$  إلى الصفر . وبالتالي فإن الدالة  $f(z)$  تمثلها متسلسلة القوى التقاربية (٤) لجميع  $z$  وهذا يعنى أن الدالة  $f(z)$  دالة شاملة . وحيث أن  $f$  متصلة عند  $z = 0$  و  $(\sin z)/z = f(z)$  عندما  $z \neq 0$  يكون

$$\lim_{z \rightarrow 0} \frac{\sin z}{z} = \lim_{z \rightarrow 0} f(z) = f(0) = 1. \quad (٥)$$

وهى نتيجة نعرفها سلفاً ، ذلك أن النهاية في (٥) هي تعريف مشتقة الدالة  $\sin z$  عند  $z = 0$  .

لاحظنا في بند (٥٨) أن متسلسلة تايلور للدالة  $f$  حول نقطة  $z_0$  هي متسلسلة تقاربية نهايتها  $f(z)$  عند كل نقطة  $z$  في داخلية دائرة مركزها  $z_0$  ومارة بأقرب نقطة  $z_1$  لا تكون عندها  $f$  تحليلية . ووفقاً لنظرية (٢) ، نعلم أنه لا توجد دائرة مركزها  $z_0$  وأكبر من هذه الدائرة بحيث تكون متسلسلة تايلور للدالة  $f$  تقاربية وتؤول إلى  $f(z)$  عند كل نقطة  $z$  من نقاط داخلية هذه الدالة الأكبر ؛ وسبب هذا هو أن وجود مثل هذه الدائرة يستلزم بالضرورة أن تكون  $f$  تحليلية عند  $z_1$  مما يخالف الفرض .

وعلى أية حال فإنه يجب مراعاة أنه حتى بفرض عدم وجود دائرة أكبر مركزها  $z_0$  بحيث تؤول متسلسلة تايلور للدالة  $f$  إلى  $f(z)$  عند كل نقطة من نقاط داخلية هذه الدائرة ، فإنه من المحتمل أن تكون متسلسلة تايلور نفسها متسلسلة تقاربية عند كل نقطة من نقاط داخلية هذه الدائرة . فعلى سبيل المثال ، الدائرة  $|z| = 1$  هي أكبر دائرة مركزها نقطة الأصل تكون في داخليتها متسلسلة ماكلورين للدالة  $f(z) = e^z(z-1)/(z-1)$

تقاربية ونهايتها  $f(z)$  لجميع  $z$  حيث  $|z| < 1$ ، ومع ذلك فإن هذه المتسلسلة تكون تقاربية لجميع نقاط المستوى المركب

النظرية التالية هي ، بشكل ما ، قرين نظرية (١)

نظرية ٣ : متسلسلة القوى (١) يمكن اشتقاقها حداً حداً بمعنى أنه لكل نقطة  $z$

من نقاط داخلية دائرة تقارب المتسلسلة يكون

$$S'(z) = \sum_{n=1}^{\infty} n a_n z^{n-1}. \quad (٦)$$

لبرهان النظرية نأخذ أى نقطة  $z$  في داخلية دائرة تقارب المتسلسلة ، ونعتبر كفافاً

مغلقاً بسيطاً  $C$  داخل هذه الدائرة ومطوقاً للنقطة  $z$  . اعتبر الدالة

$$g(s) = \frac{1}{2\pi i} \frac{1}{(s-z)^2} \quad (٧)$$

المعرفة عند كل نقطة  $s$  من نقاط  $C$  . حيث أن الدالة

$$S(z) = \sum_{n=0}^{\infty} a_n z^n$$

تحليلية عند كل نقطة من نقاط  $C$  وداخليته ، يكون

$$\int_C g(s)S(s) ds = \frac{1}{2\pi i} \int_C \frac{S(s)}{(s-z)^2} ds = S'(z)$$

وذلك باستخدام التمثيل التكاملي للمشتقة ( معادلة (٢) بند (٥٢) ) فضلاً عن ذلك ، فإن

$$\int_C g(s)s^n ds = \frac{1}{2\pi i} \int_C \frac{s^n}{(s-z)^2} ds = \frac{d}{dz} z^n \quad (n = 0, 1, 2, \dots).$$

وعليه فوفقاً لمعادلة (٢) يكون

$$S'(z) = \sum_{n=0}^{\infty} a_n \frac{d}{dz} z^n = \sum_{n=1}^{\infty} n a_n z^{n-1}.$$

وذلك مع مراعاة أن  $s$  تلعب هنا دور  $z$  في المعادلة (٢) وبأن الدالة  $g(s)$  هي المعطاة

بالمعادلة (٧) . وبهذا نكون قد استكملنا برهان النظرية .

نتائج هذا البند يمكن تعميمها بسهولة لتشمل المتسلسلات التي تحتوى قوى  $z - z_0$

الموجبة أو السالبة .

## تمارين

١ - بإيجاد مشتقات متسلسلة ماكلورين للدالة  $1/(1-z)$  ، بين أن

$$\frac{1}{(1-z)^2} = \sum_{n=1}^{\infty} n z^{n-1}, \quad \frac{2}{(1-z)^3} = \sum_{n=2}^{\infty} n(n-1) z^{n-2} \quad (|z| < 1).$$

- ٢ - أوجد مفكوكا بدلالة قوى  $z-1$  للدالة  $1/z$  بإيجاد مشتقات هذا المفكوك أوجد مفكوكا بدلالة قوى  $z-1$  للدالة  $1/z^2$ .  
أوجد دائرة تقارب كل من التمثيلين.
- ٣ - اجر تكامل متسلسلة ماكلورين للدالة  $1/(1+s)$  حول كفاف في داخلية دائرة تقارب هذه الدالة من  $s=0$  إلى  $s=z$  للحصول على التمثيل الآتي :
- $$\text{Log}(z+1) = \sum_{n=1}^{\infty} (-1)^{n+1} \frac{z^n}{n} \quad (|z| < 1).$$
- ٤ - برهن أن الدالة  $f$  دالة شاملة إذا كان  $f(z) = (e^{cz} - 1)/z$  عندما  $z \neq 0$  و  $f(0) = c$ .
- ٥ - أوجد مفكوك  $\sinh z$  بدلالة قوى  $z - \pi i$  ومن ثم اثبت أن
- $$\lim_{z \rightarrow \pi i} \frac{\sinh z}{z - \pi i} = -1.$$
- ٦ - إذا كان  $f(z) = z^{-1} \text{Log}(z+1)$  حيث  $z \neq 0$ ،  $f(0) = 1$ ، برهن أن  $f$  تحليلية لجميع نقاط النطاق  $|z| < 1$ .
- ٧ - إذا كان  $f(z) = (z^2 - \pi^2/4)^{-1} \cos z$  حيث  $z^2 \neq \pi^2/4$  و  $f(\pm \pi/2) = -1/\pi$ ، فبرهن أن  $f$  دالة شاملة.
- ٨ - لتكن  $f$  دالة تحليلية عند  $z_0$  و  $f(z_0) = 0$ . استخدم المتسلسلات لبرهان النهاية
- $$\lim_{z \rightarrow z_0} \frac{f(z)}{z - z_0} = f'(z_0).$$
- لاحظ في نفس الوقت أن هذه النهاية يمكن الحصول عليها مباشرة من تعريف  $f'(z_0)$ .
- ٩ - لتكن  $f, g$  دالتان تحليليتان عند  $z_0$  و  $f(z_0) = g(z_0) = 0$  بينما  $g'(z_0) \neq 0$ . برهن أن
- $$\lim_{z \rightarrow z_0} \frac{f(z)}{g(z)} = \frac{f'(z_0)}{g'(z_0)}.$$
- ١٠ - إذا كانت  $f$  تحليلية عند  $z_0$  وكان  $0 = f(z_0) = f'(z_0) = \dots = f^{(m)}(z_0)$ ، برهن أن الدالة

$$g(z) = \begin{cases} \frac{f(z)}{(z - z_0)^{m+1}} & (z \neq z_0) \\ \frac{f^{(m+1)}(z_0)}{(m+1)!} & (z = z_0) \end{cases}$$

تكون تحليلية عند  $z_0$ .

### ٦٣ - تفرد التمثيل Uniqueness of Representation

المتسلسلة الواردة في معادلة (٦) من البند السابق هي متسلسلة قوى تقاربية مجموعها  $S'(z)$  لجميع نقاط داخلية دائرة التقارب  $C_0$  للمتسلسلة

$$S(z) = \sum_{n=0}^{\infty} a_n z^n. \quad (1)$$

وعليه فإن تلك المتسلسلة الممثلة للدالة  $S'(z)$  يمكن اشتقاقها حداً حداً ؛ بمعنى أن

$$S''(z) = \sum_{n=2}^{\infty} n(n-1)a_n z^{n-2}$$

لجميع  $z$  في داخلية  $C_0$  . وبالتأكيد فإن مشتقة الدالة  $S(z)$  لأي رتبة يمكن الحصول عليها إذا أخذنا بشكل متتابع مشتقة المتسلسلة الممثلة لها حداً حداً . وبالإضافة إلى ذلك فإن

$$S(0) = a_0, \quad S'(0) = a_1, \quad S''(0) = 2! a_2, \dots,$$

والمعاملات  $a_n$  هي معاملات مفكوك ماكلورين للدالة  $S(z)$  ، أى أن

$$a_n = \frac{S^{(n)}(0)}{n!}.$$

وتعميم ما سبق بالنسبة للمتسلسلات التي تحتوى قوى موجبة للمقدار  $z-z_0$  يمكن الحصول عليه مباشرة . وبهذا نكون قد حصلنا على النظرية التالية والخاصة بتفرد تمثيل الدوال على صورة متسلسلات قوى

نظرية ١ : إذا كانت المتسلسلة

$$\sum_{n=0}^{\infty} a_n(z-z_0)^n \quad (٢)$$

تقاربية ومجموعها  $f(z)$  عند جميع نقاط داخلية دائرة ما  $|z-z_0|=r_0$  ، فإن هذه المتسلسلة هي بالضرورة متسلسلة تايلور للدالة  $f(z)$  بدلالة قوى  $(z-z_0)$  .

ولتوضيح ذلك نقول أنه إذا استبدلنا  $z$  في مفكوك ماكلورين للدالة  $\sin(z)$  بالمتغير  $z^2$

فإننا نحصل على

$$\sin(z^2) = \sum_{n=1}^{\infty} (-1)^{n+1} \frac{z^{4n-2}}{(2n-1)!} \quad (|z| < \infty). \quad (٣)$$

هذه المتسلسلة لا بد وأن تكون متطابقة مع تلك التي نحصل عليها مباشرة بإيجاد مفكوك ماكلورين للدالة  $\sin(z^2)$  .

وكنتيجة لنظرية (١) نجد أنه إذا كان مجموع المتسلسلة (٢) هو الصفر عند كل نقطة

من نقاط جوار ما للنقطة  $z_0$  ، فإن كلا من المعاملات  $a_n$  لا بد وأن يكون مساوياً للصفر .

نظرية ٢ : إذا كانت المتسلسلة

$$\sum_{n=-\infty}^{\infty} c_n(z-z_0)^n = \sum_{n=n}^{\infty} a_n(z-z_0)^n + \sum_{n=1}^{\infty} \frac{b_n}{(z-z_0)^n} \quad (٤)$$

تقاربية ومجموعها  $f(z)$  لجميع نقاط نطاق حلقي حول النقطة  $z_0$  ، فإن هذه المتسلسلة

هي بالضرورة متسلسلة لوران للدالة  $f(z)$  بدلالة قوى  $(z-z_0)$  في هذا النطاق .

نبرهن هذه النظرية باستخدام نظرية (١) من البند السابق وذلك في حالتها الأكثر

عمومية والتي تشمل قوى موجبة وسالبة للمقدار  $z-z_0$  . ليكن

$$\int_C g(z)f(z) dz = \sum_{n=-\infty}^{\infty} c_n \int_C g(z)(z-z_0)^n dz \quad (٥)$$

حيث

$$g(z) = \frac{1}{2\pi i(z - z_0)^{m+1}} \quad (m = 0, \pm 1, \pm 2, \dots)$$

و  $C$  دائرة حول النطاق الحلقي المعطى مركزها  $z_0$  وموجهة في الاتجاه الموجب . حيث أن

$$\frac{1}{2\pi i} \int_C \frac{dz}{(z - z_0)^{m-n+1}} = \begin{cases} 0 & (m \neq n) \\ 1 & (m = n) \end{cases}$$

( انظر تمرين (١٦) بند (٤٥) ) ، فإننا نلاحظ أن معادلة (٥) تؤول إلى

$$\frac{1}{2\pi i} \int_C \frac{f(z) dz}{(z - z_0)^{m+1}} = c_m$$

وهذا يعطى صيغة لمعاملات مفكوك لوران للدالة  $f(z)$  في النطاق الحلقي المعطى .

#### ٦٤ - الضرب والقسمة Multiplication and Division

لنفرض أن كلا من متسلسلتى القوى

$$\sum_{n=0}^{\infty} b_n z^n \quad \text{و} \quad \sum_{n=0}^{\infty} a_n z^n \quad (١)$$

تكون تقاربية في داخلية دائرة ما  $|z| = r_0$  . من ذلك نجد أن كلا من النهايتين  $g(z)$ ،  $f(z)$  هاتين المتسلسلتين على التعاقب تكون دالة تحليلية لجميع نقاط القرص  $|z| < r_0$  كما أن حاصل ضرب هاتين الدالتين يمكن تمثيله عند أى نقطة من نقاط هذا القرص ، على صورة متسلسلة ماكلورين الآتية

$$f(z)g(z) = \sum_{n=0}^{\infty} c_n z^n \quad (|z| < r_0). \quad (٢)$$

والصيغ التالية تعطى لنا قيم المعاملات  $c_n$

$$c_0 = f(0)g(0) = a_0 b_0,$$

$$c_1 = f(0)g'(0) + f'(0)g(0) = a_0 b_1 + a_1 b_0,$$

$$c_2 = \frac{1}{2!} [f(0)g''(0) + 2f'(0)g'(0) + f''(0)g(0)]$$

$$= a_0 b_2 + a_1 b_1 + a_2 b_0,$$

وهكذا . وقد استخدمنا هنا حقيقة أن المتسلسلتين (١) هما متسلسلتا ماكلورين للدالتين  $g(z)$ ،  $f(z)$  على التعاقب . وباستخدام صيغة المشتقة النونية لحاصل ضرب دالتين ، فإننا

$$\begin{aligned} f(z)g(z) &= a_0 b_0 + (a_0 b_1 + a_1 b_0)z + (a_0 b_2 + a_1 b_1 + a_2 b_0)z^2 + \dots \\ &+ \left( \sum_{k=0}^n a_k b_{n-k} \right) z^n + \dots \quad (|z| < r_0). \end{aligned} \quad (٣)$$

المتسلسلة (٣) هى نفس المتسلسلة التى نحصل عليها من ضرب المتسلسلتين (١) معاً حداً حداً ووضع الناتج على صورة متسلسلة فى قوى  $z$  ؛ وتسمى المتسلسلة (٣) بحاصل

ضرب كوشي **Cauchy product** للمتسلسلتين المعطاتين . والآن يمكننا صياغة النظرية التالية:

نظرية : حاصل ضرب كوشي لمتسلسلتى القوى (١) هو متسلسلة تقاربية لجميع نقاط داخلية صغرى دائرتى تقارب هاتين المتسلسلتين ؛ ومجموع هذه المتسلسلة التقاربية هو حاصل ضرب مجموع المتسلسلتين الأصليتين .

سنفرض أيضاً فيما يلى أن  $f(z)$  و  $g(z)$  هما مجموعا المتسلسلتين (١) وأن  $g(z) \neq 0$  فى جوار ما لنقطة الأصل . خارج القسمة  $h(z) = f(z)/g(z)$  دالة تحليلية فى هذا الجوار ، وعليه فإن  $h(z)$  يكون لها مفكوك ماكلورين الآتى

$$h(z) = \sum_{n=0}^{\infty} d_n z^n \quad (٤)$$

حيث  $d_0 = h(0)$ ،  $d_1 = h'(0)$ ،  $d_2 = h''(0)/2!$  وهكذا . المعاملات الأولى لهذه المتسلسلة يمكن الحصول عليها بدلالة المعاملات  $a_n$  و  $b_n$  للمتسلسلتين (١) وذلك بأخذ مشتقات خارج القسمة  $f(z)/g(z)$  بشكل متتابعى . والنتائج التى نحصل عليها هى نفسها التى نحصل عليها عند قسمة أولى المتسلسلتين فى (١) على الأخرى . وبهذه الطريقة فإن الحدود ، القليلة ، الأولى من خارج القسمة - وذلك بعد إعادة ترتيبه ووضعه على صورة متسلسلة قوى فى  $z$  - هى نفسها الحدود الأولى لمفكوك ماكلورين للدالة  $f(z)/g(z)$  . وعلى أية حال فإن هذه النتيجة صحيحة لجميع الحدود ، بمعنى أنه يمكننا برهان أن المتسلسلة التى نحصل عليها بإحدى الطريقتين تكون متطابقة مع المتسلسلة التى نحصل عليها بالطريقة الأخرى .

وجمع متسلسلتى قوى حدأ حدأ صحيح دائماً لجميع النقاط المشتركة لمنطقتى تقارب هاتين المتسلسلتين ، وهذه النتيجة تتضح لنا مباشرة من تعريف مجموع متسلسلتى القوى . ولما كان ضرب متسلسلة قوى فى عدد ثابت حالة خاصة من النظرية السابقة الخاصة بضرب متسلسلتى قوى ، فإن أى متسلسلتين للقوى يمكن طرحهما حدأ حدأ .

### ٦٥ - أمثلة Examples

نعتبر أولاً الدالة

$$f(z) = \frac{-1}{(z-1)(z-2)} = \frac{1}{z-1} - \frac{1}{z-2} \quad (١)$$

هذه الدالة تحليلية لجميع نقاط المستوى المركب فيما عدا عند  $z=1$  و  $z=2$  .  
مثال ١ : أوجد متسلسلة ماكلورين للدالة  $f(z)$  داخل القرص المفتوح  $|z| < 1$  .

لاحظ أن  $|z/2| < 1$  عند كل نقطة من نقاط هذا القرص . وبالتالي فإن معرفتنا لمجموع المتسلسلة الهندسية ( بند (٥٨) ) يعطى

$$f(z) = \frac{1}{2} \frac{1}{1-z/2} - \frac{1}{1-z} = \sum_{n=0}^{\infty} \left[ \frac{1}{2} \left(\frac{z}{2}\right)^n - z^n \right] \quad (|z| < 1).$$



هذه المتسلسلة في قوى  $z$  تقاربية ومجموعها  $f(z)$  عندما  $|z| < 1$  . ومن تفرد التمثيل ( بند (٦٣) ) يتضح لنا أن هذه المتسلسلة هي متسلسلة ماكلورين للدالة  $f(z)$  . وهذا يعني أن معامل  $z^n$  في المفكوك

$$f(z) = \sum_{n=0}^{\infty} (2^{-n-1} - 1)z^n \quad (|z| < 1) \quad (٢)$$

لا بد وأن يكون  $f^{(n)}(0)/n!$  ؛ ومن ثم فإن  $f^{(n)}(0) = n!(2^{-n-1} - 1)$  .

مثال ٢ : أوجد متسلسلة لوران للدالة  $f(z)$  لجميع نقاط النطاق الحلقي  $1 < |z| < 2$  .

في هذا النطاق الحلقي  $|1/z| < 1$  و  $|z/2| < 1$  . وبالتالي فإن

$$f(z) = \frac{1}{z} \frac{1}{1-1/z} + \frac{1}{2} \frac{1}{1-z/2} = \sum_{n=0}^{\infty} \frac{1}{z^{n+1}} + \sum_{n=0}^{\infty} \frac{z^n}{2^{n+1}} \quad (1 < |z| < 2). \quad (٣)$$

وحيث أنه لا يوجد إلا تمثيل واحد للدالة  $f(z)$  في هذه الحلقة ، فإن المفكوك (٣) هو مفكوك لوران للدالة  $f(z)$  في هذا النطاق الحلقي . وحيث أن معامل  $z^{-1}$  هو  $c_{-1} = 1$  ، فإن صيغة (٥) بند (٥٩) للمعاملات  $c_n$  تبين إنه إذا كان  $C$  أى كفاف مغلق بسيط حول النطاق الحلقي وموجها في الاتجاه الموجب ، فإن

$$\int_C f(z) dz = 2\pi i.$$

مثال ٣ : أوجد متسلسلة لوران للدالة  $f(z)$  لجميع نقاط النطاق  $|z| > 2$  .

في هذا النطاق  $|1/z| < 1$  و  $|2/z| < 1$  . وعليه يكون

$$f(z) = \frac{1}{z} \left( \frac{1}{1-1/z} - \frac{1}{1-2/z} \right) = \sum_{n=0}^{\infty} \frac{1-2^n}{z^{n+1}} \quad (|z| > 2). \quad (٤)$$

وهذه هي متسلسلة لوران المطلوبة . وفي هذه الحالة يكون معامل  $z^{-1}$  هو الصفر ؛ وبالتالي فإن تكامل  $f(z)$  حول أى كفاف مغلق بسيط حول نقطة الأصل ومرسوم خارج الدائرة  $|z| = 2$  يساوى الصفر .

مثال ٤ : أوجد الحدود الأولى من متسلسلة لوران للدالة

$$h(z) = \frac{1}{z^2 \sinh z} = \frac{1}{z^3} \frac{1}{1 + z^2/3! + z^4/5! + \dots}$$

وذلك لجميع نقاط النطاق  $0 < |z| < \pi$  .

لاحظ أن مقام الكسر الأخير هنا هو متسلسلة قوى تقاربية مجموعها  $z^{-1} \sinh z$  عندما  $z \neq 0$  والوحدة عندما  $z = 0$  . ومن ثم فإن مجموع هذه المتسلسلة لا يساوى صفرا عند أى نقطة من نقاط النطاق  $|z| < \pi$  ، وتكون متسلسلة القوى الممثلة لهذا الكسر والتي يمكن الحصول عليها بالقسمة على الصورة

$$\frac{1}{1 + z^2/3! + z^4/5! + \dots} = 1 - \frac{1}{3!} z^2 + \left[ \frac{1}{(3!)^2} - \frac{1}{5!} \right] z^4 + \dots \quad (|z| < \pi).$$

وبالتالى فإن الحدود الأولى من متسلسلة لوران للدالة  $h(z)$  في النطاق المعطى يمكن

الحصول عليها مباشرة ويكون

$$\frac{1}{z^2 \sinh z} = \frac{1}{z^3} - \frac{1}{6z} + \frac{7}{360}z + \dots \quad (0 < |z| < \pi). \quad (٥)$$

### ٦٦ - أصفار الدوال التحليلية Zeros of Analytic Functions

نعلم أن أى دالة  $f$  تحليلية عند النقطة  $z_0$  يمكن تمثيلها بمتسلسلة تايلور على داخلية دائرة ما مركزها  $z_0$  ، أى أن

$$f(z) = a_0 + \sum_{n=1}^{\infty} a_n(z-z_0)^n \quad (|z-z_0| < r_0), \quad (١)$$

حيث  $a_0 = f(z_0)$  و  $a_n = f^{(n)}(z_0)/n!$  ، وإذا كانت  $z_0$  أحد أصفار  $f$  فإن  $a_0 = 0$  وإذا فرضنا بالإضافة إلى ذلك أن

$$f'(z_0) = f''(z_0) = \dots = f^{(m-1)}(z_0) = 0 \quad (٢)$$

بينما  $f^{(m)}(z_0) \neq 0$  فإننا نسمى  $z_0$  صفراً من درجة  $m$  . وفي هذه الحالة يكون

$$f(z) = (z-z_0)^m \sum_{n=0}^{\infty} a_{m+n}(z-z_0)^n \quad (a_m \neq 0, |z-z_0| < r_0). \quad (٣)$$

إذا كانت  $g(z)$  هى مجموع المتسلسلة الواردة في (٣) فإن

$$g(z) = \sum_{n=0}^{\infty} a_{m+n}(z-z_0)^n \quad (|z-z_0| < r_0). \quad (٤)$$

لاحظ أن  $g(z_0) = a_m \neq 0$  . وحيث أن المتسلسلة (٤) تقاربية ، فإن الدالة  $g$  تكون متصلة عند  $z_0$  . وبالتالي فإنه لكل عدد حقيقى موجب  $\varepsilon$  يوجد عدد حقيقى موجب  $\delta$  بحيث

$$|z-z_0| < \delta \quad \text{طالما} \quad |g(z) - a_m| < \varepsilon$$

إذا كانت  $\varepsilon = |a_m|/2$  وكانت  $\delta_0$  هى قيمة  $\delta$  المناظرة في هذه الحالة ، فإن

$$|z-z_0| < \delta_0 \quad \text{طالما} \quad |g(z) - a_m| < \frac{|a_m|}{2} \quad (٥)$$

ومن هذا نتبين أن  $g(z) \neq 0$  عند أى نقطة من نقاط الجوار  $|z-z_0| < \delta_0$  ولتبيان ذلك نشير إلى أنه إذا كانت  $g(z) = 0$  عند أى نقطة في هذا الجوار فإن المتباينة الأولى من

$$(٥) \text{ تصبح } |a_m| < |a_m|/2$$

وبذلك نكون قد برهننا النظرية التالية

نظرية : لتكن  $f$  دالة تحليلية عند النقطة  $z_0$  . إذا كانت  $z_0$  أحد أصفار  $f$  فإنه يوجد جوار للنقطة  $z_0$  لا يحوى أصفاراً أخرى للدالة  $f$  ، اللهم إلا إذا كانت  $f$  هى الدالة الصفرية . وهذا يعنى أن أصفار الدالة التحليلية تكون معزولة .

### تمارين

١ - لتكن  $g(z) = \sin(z^2)$  استخدم متسلسلة ماكلورين (٣) بند (٦٣) بالنسبة للدالة  $g$  لتثبت

- أن  $g^{(4n)}(0) = 0$  و  $g^{(2n-1)}(0) = 0$  وذلك لجميع  $(n = 1, 2, \dots)$
- ٢ - استخدم المفكوك (٥) بند (٦٥) لتبين أنه إذا كانت  $C$  هو الدائرة  $|z| = 1$  موجهة في الاتجاه الموجب ، فإن
- $$\int_C \frac{dz}{z^2 \sinh z} = -\frac{\pi i}{3}$$
- ٣ - اثبت أن متسلسلة ماكلورين للدالة  $\cosh(z^2)$  حيث  $|z| < \infty$  هي
- $$z + \sum_{n=1}^{\infty} \frac{1}{(2n)!} z^{4n+1}$$
- ٤ - اعط تمثيلاً للدالة  $(z+1)/(z-1)$  على صورة :
- ( أ ) متسلسلة ماكلورين وأوجد منطقة صلاحية هذا التمثيل للدالة ،  
 ( ب ) متسلسلة لوران بالنسبة للنطاق  $|z| > 1$  .  
 الأجوبة : ( أ )  $-1 - 2 \sum_{n=1}^{\infty} z^n$  ( $|z| < 1$ ) ( ب )  $1 + 2 \sum_{n=1}^{\infty} z^{-n}$  ( $|z| > 1$ ) .
- ٥ - أوجد مفكوكاً للدالة  $(z-1)/z^2$  على صورة
- ( أ ) متسلسلة تايلور بدلالة قوى  $z-1$  ثم بين منطقة صلاحية هذا المفكوك  
 ( ب ) متسلسلة لوران بالنسبة للنطاق  $|z-1| > 1$   
 الأجوبة : ( أ )  $\sum_{n=1}^{\infty} (-1)^{n+1} n (z-1)^n$  ( $|z-1| < 1$ ) ( ب )  $\sum_{n=1}^{\infty} (-1)^{n+1} n (z-1)^{-n}$  ( $|z-1| > 1$ ) .
- ٦ - اثبت أن متسلسلة لوران للدالة  $\frac{\sinh z}{z^2}$  هي  $(|z| > 0)$
- $$\frac{1}{z} + \sum_{n=1}^{\infty} \frac{1}{(2n+1)!} z^{2n-1}$$
- ٧ - أوجد مفكوكين ، كل منهم على صورة متسلسلة لوران، بدلالة قوى  $z$  للدالة
- $$f(z) = \frac{1}{z^2(1-z)}$$
- ثم أوجد منطقة صلاحية كل من المفكوكين .  
 الأجوبة :  $-\sum_{n=0}^{\infty} z^{-n-3}$  ( $|z| > 1$ )  $-\sum_{n=0}^{\infty} z^{n-2}$  ( $0 < |z| < 1$ )
- ٨ - أوجد متسلسلي لوران، بدلالة قوى  $z$  للدالة  $z^{-1}(1+z^2)^{-1}$  ثم أوجد نطاق صلاحية كل من المتسلسلتين
- ٩ - أوجد الأربعة حدود الأولى غير الصفريّة لمتسلسلة لوران الآتية
- $$\frac{e^z}{z(z^2+1)} = \frac{1}{z} + 1 - \frac{1}{2}z - \frac{5}{6}z^2 + \dots \quad (0 < |z| < 1).$$
- ١٠ - أوجد الحدود الأولى غير الصفريّة لمتسلسلة لوران لكل من الحالتين الآتيتين
- ( أ )  $\csc z = \frac{1}{z} + \frac{1}{3!}z - \left[ \frac{1}{5!} - \frac{1}{(3!)^2} \right] z^3 + \dots \quad (0 < |z| < \pi)$   
 ( ب )  $\frac{1}{e^z - 1} = \frac{1}{z} - \frac{1}{2} + \frac{1}{12}z - \frac{1}{720}z^3 + \dots \quad (0 < |z| < 2\pi)$
- ١١ - أوجد متسلسلة لوران للدالة  $1/(z-k)$  للنطاق  $|z| > |k|$  حيث  $k$  عدد حقيقي محققاً للمتباعدة  $-1 < k < 1$  ؛ ومن ثم ضع  $z = e^{i\theta}$  لاشتقاق الصيغتين التاليتين

$$\sum_{n=1}^{\infty} k^n \cos n\theta = \frac{k \cos \theta - k^2}{1 - 2k \cos \theta + k^2},$$

$$\sum_{n=1}^{\infty} k^n \sin n\theta = \frac{k \sin \theta}{1 - 2k \cos \theta + k^2}.$$

قارن ذلك بالنتيجة بتمرين (٤) بند (٥٦) .

١٢ - لتكن  $F(r, \theta)$  دالة للمتغير  $z = r \exp(i\theta)$  وتحليلية في نطاق حلقى، حول نقطة الأصل، يحوى الدائرة  $r=1$  إذا أخذنا هذه الدائرة على أنها المنحنى  $C$  في صيغة المعاملات  $c_n$  لتسلسلة لوران، بدلالة قوى  $z$  للدالة  $F(r, \theta)$ ، برهن أن

$$F(1, \theta) = \frac{1}{2\pi} \int_{-\pi}^{\pi} F(1, \phi) d\phi + \frac{1}{\pi} \sum_{n=1}^{\infty} \int_{-\pi}^{\pi} F(1, \phi) \cos [n(\theta - \phi)] d\phi.$$

هذه إحدى صيغ متسلسلة فورييه Fourier Series لدالة  $F(1, \theta)$  ذات قيم مركبة والمتغير حقيقي  $\theta$  على دائرة الوحدة التي مركزها نقطة الأصل. ليكن  $u(\theta)$ ،  $v(\theta)$  هما الجزآن الحقيقي والتخيل على التعاقب للدالة  $F(1, \theta)$ . برهن أن المفكوك عاليه يظل صحيحا إذا استبدلنا  $F$  في كل موضع بأى من الدالتين  $u$  أو  $v$ . إلا أننا ننوه في هذا الموضع أن هذه القيود على الدوال الحقيقية  $u$  و  $v$  تعتبر أكثر بكثير مما نحتاجه من كل منهما حتى يكون لها تمثيل على صورة متسلسلة فورييه<sup>(١)</sup>

متاح للتحميل ضمن مجموعة كبيرة من المطبوعات من صفحة

مكتبتي الخاصة

على موقع ارشيف الانترنت

الرابط

[https://archive.org/details/@hassan\\_ibrahem](https://archive.org/details/@hassan_ibrahem)

هـسـبـيـةـ يـوسـفـ الـلـيـسـيـ

(١) لشروط أخرى كافية انظر على سبيل المثال كتاب

R.V. Churchill "Fourier Series and Boundary Value Problems"

الطبعة الثانية، ص ٩٠، ١١٠، ١٩٦٣

# الفصل السابع

## Residues and Poles البواقي والأقطاب

تؤكد نظرية كوشي - جورساه ، السابق ذكرها في الباب الخامس ، على أنه إذا كانت دالة ما تحليلية عند كل نقطة من نقاط كفاف مغلق بسيط  $C$  وكذلك عند كل نقطة داخلية للمنحنى  $C$  فإن تكامل هذه الدالة حول هذا المنحنى يساوى صفراً . ولكن إذا كانت الدالة غير تحليلية عند عدد محدود من نقاط داخلية المنحنى  $C$  فإنه يوجد ، كما سنرى في هذا الباب ، عدد معين ، يسمى باقى **Residue** ، مناظر لكل نقطة من هذه النقط وسنرى كذلك أن هذه البواقي ستسهم في تعيين هذا التكامل .

وسنقوم في هذا الباب بإثبات نظرية البواقي وسنوضحها عن طريق استخدامها لحساب أنواع خاصة من التكاملات المحددة الحقيقية التي تظهر في الرياضيات التطبيقية .

### ٦٧ - البواقي Residues

كما سبق وأن ذكرنا ( بند ( ١٩ ) ) فإنه يقال لنقطة  $z_0$  أنها نقطة شاذة لدالة ما  $f$  إذا لم تكن  $f$  تحليلية عند  $z_0$  ولكنها تكون تحليلية عند نقطة من نقاط أى جوار للنقطة  $z_0$  . يقال لنقطة شاذة  $z_0$  أنها معزولة **Isolated** إذا كان ، بالإضافة إلى ماسبق ، يوجد جوار للنقطة  $z_0$  تكون الدالة  $f$  تحليلية عند كل نقطة من نقاطه فيما عدا النقطة  $z_0$  .

والدالة  $1/z$  مثال بسيط على ذلك . فهذه الدالة تحليلية عند جميع النقط عدا النقطة  $z=0$  وبالتالي فإن نقطة الأصل تكون نقطة شاذة معزولة لهذه الدالة . والدالة

$$\frac{z+1}{z^3(z^2+1)}$$

لها ثلاث نقط شاذة معزولة هي  $z=0$  ،  $z = \pm i$  ولكن لاحظ أنه بينما تكون نقطة الأصل نقطة شاذة للدالة  $\text{Log } z$  فإنها ليست نقطة شاذة معزولة وذلك حيث أن كل جوار لنقطة الأصل يحوى نقاط من الجزء السالب للمحور الحقيقي في حين أن الدالة  $\text{Log } z$  ليست تحليلية عند أى من هذه النقط . الدالة

$$\frac{1}{\sin(\pi/z)}$$

لها نقط شاذة عند  $z = 1/n$  ، حيث  $n = \pm 1, \pm 2, \dots$  . وعند  $z=0$  وجميع هذه النقط تقع على جزء المحور الحقيقي بين  $-1, 1$  . كل من هذه النقط الشاذة ، عدا النقطة  $z=0$  ، هي نقطة شاذة معزولة . أما النقطة الشاذة  $z=0$  فليست معزولة وذلك لأن كل جوار لنقطة الأصل يحوى نقاطا شاذة أخرى للدالة .

إذا كانت  $z_0$  نقطة شاذة معزولة للدالة  $f$  فإنه يوجد عدد حقيقي موجب  $r_1$  بحيث تكون الدالة  $f$  تحليلية عند كل نقطة  $z$  بحيث  $0 < |z - z_0| < r_1$  في هذا النطاق تمثل الدالة بمتسلسلة لوران :

$$f(z) = \sum_{n=0}^{\infty} a_n(z - z_0)^n + \frac{b_1}{z - z_0} + \frac{b_2}{(z - z_0)^2} + \dots, \quad (1)$$

حيث المعاملات تعطى بالعلاقات (٢) ، (٣) من بند (٥٩) . وعلى سبيل المثال فإن المعامل  $b_1$  يعطى بالتكامل

$$b_1 = \frac{1}{2\pi i} \int_C f(z) dz \quad (2)$$

حيث  $C$  أى كفاف مغلق بسيط حول  $z_0$  ، واتجاهه الدوراني هو الاتجاه الموجب ، بحيث تكون الدالة  $f$  تحليلية عند كل نقطة من نقط  $C$  أو داخلية  $C$  عدا النقطة  $z_0$  . العدد المركب  $b_1$  ، وهو معامل  $1/(z - z_0)$  فى المفكوك (١) ، يسمى باقى Residue الدالة  $f$  عند النقطة الشاذة المعزولة  $z_0$  .

العلاقة (٢) تمدنا بطريقة فعالة لحساب تكاملات معينة حول كفافات مغلقة بسيطة وعلى سبيل المثال ، دعنا نحسب التكامل

$$\int_C \frac{e^{-z}}{(z-1)^2} dz \quad (3)$$

حيث  $C$  هو الدائرة  $|z|=2$  مع الاتجاه الدوراني الموجب . الدالة المكاملة

$$f(z) = \frac{e^{-z}}{(z-1)^2}$$

دالة تحليلية عند كل نقطة من نقاط  $C$  وكل نقطة من نقاط داخلية فيما عدا عند النقطة الشاذة المعزولة  $z=1$  . وبالتالي فإنه ينتج ، من العلاقة (٢) ، أن قيمة التكامل (٣) تساوى  $2\pi i$  مضروباً فى باقى الدالة  $f$  عند  $z=1$  . ولتعيين هذا الباقي فإننا نستخدم متسلسلة تايلور للدالة  $e^{-z}$  حول النقطة  $z=1$  وذلك لكتابة مفكوك لوران على الصورة :

$$\frac{e^{-z}}{(z-1)^2} = \frac{e^{-1}}{(z-1)^2} - \frac{e^{-1}}{z-1} + e^{-1} \sum_{n=2}^{\infty} (-1)^n \frac{(z-1)^{n-2}}{n!} \quad (4)$$

حيث  $|z - 1| = 0$  ، من هذا نجد أن باقي الدالة  $f$  عند  $z = 1$  يساوي  $-e^{-1}$  .  
وبالتالي فإن

$$\int_C \frac{e^{-z}}{(z-1)^2} dz = -\frac{2\pi i}{e} \quad (5)$$

وكمثال آخر ، دعنا نثبت أن

$$\int_C \exp\left(\frac{1}{z^2}\right) dz = 0. \quad (6)$$

حيث  $C$  هو نفس المنحنى المعطى في المثال السابق . حيث أن  $1/z^2$  تحليلية عند جميع نقط المستوى المركب عدا نقطة الأصل فكذا تكون الدالة الكاملة  $\exp\left(\frac{1}{z^2}\right)$  .  
النقطة الشاذة المعزولة  $z = 0$  نقطة داخلية للمنحنى  $C$  ، وبالتالي فباستخدام متسلسلة ماكلاورين للدالة الأسية يمكننا كتابة مفكوك لوران على الصورة :

$$\exp\left(\frac{1}{z^2}\right) = 1 + \frac{1}{z^2} + \frac{1}{2!} \frac{1}{z^4} + \frac{1}{3!} \frac{1}{z^6} + \dots$$

حيث  $|z| > 0$  ، وبالتالي فإن باقي الدالة الكاملة عند النقطة الشاذة المعزولة  $z = 0$  يساوي صفرا (أى أن  $b_1 = 0$ ) ، وهذا يعطى القيمة المطلوبة للتكامل (٦) .

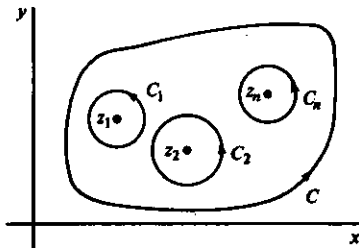
### ٦٨ - نظرية الباقي The Residue Theorem

إذا كان للدالة  $f$  عدد محدود فقط من النقاط الشاذة ، تنتمي إلى داخلية كفاف مغلق بسيط  $C$  ، فإن هذه النقاط الشاذة لابد وأن تكون معزولة . النظرية التالية هي الصياغة الدقيقة لحقيقة أن قيمة تكامل الدالة  $f$  حول  $C$  يساوي  $2\pi i$  مضروبا في مجموع البواقي المناظرة لهذه النقاط الشاذة .

نظرية : افرض أن  $C$  كفاف مغلق بسيط ، وأن  $f$  دالة تحليلية عند جميع نقط  $C$  وجميع نقط داخلية  $C$  عدا عدد محدود من النقاط  $z_1, z_2, \dots, z_n$  التي تنتمي إلى داخلية  $C$  . إذا كانت  $B_1, B_2, \dots, B_n$  بواقي الدالة  $f$  عند هذه النقاط على الترتيب فإن

$$\int_C f(z) dz = 2\pi i(B_1 + B_2 + \dots + B_n) \quad (1)$$

حيث الاتجاه الدوراني للمنحنى  $C$  هو الاتجاه الموجب .



شكل (٤٩)

لإثبات هذه النظرية ، افرض أن النقط  $z_j$  مراكز دوائر  $C_j$  اتجاهها الدوراني هو الاتجاه الموجب وتقع كل منها بأكملها في داخلية  $C$  ، وصغيرة صغرا كافيا بحيث لا تتقاطع أى اثنتين منها ( شكل (٤٩) ) . الدوائر  $C_j$  مع الكفاف المغلق البسيط  $C$  تمثل حدود منطقة تكون فيها الدالة  $f$  تحليلية ، كما أن داخليتها تمثل نطاقاً متعدد الترابط . وبالتالي ، فمن تعميم نظرية كوشي - جورساه على مثل تلك المناطق ( بند (٤٩) ) ، ينتج أن :

$$\int_C f(z) dz - \int_{C_1} f(z) dz - \int_{C_2} f(z) dz - \dots - \int_{C_n} f(z) dz = 0.$$

وهذه المعادلة الأخيرة تؤول إلى المعادلة (١) المطلوبة وذلك لأن

$$B_j = \frac{1}{2\pi i} \int_{C_j} f(z) dz \quad (j = 1, 2, \dots, n);$$

وهذا يكمل برهان النظرية .

ولتوضيح هذه النظرية دعنا نوجد قيمة التكامل

$$\int_C \frac{5z-2}{z(z-1)} dz \quad (٢)$$

حيث  $C$  الدائرة  $|z|=2$  موجهة في اتجاه ضد عقرب الساعة . الدالة المكاملة لها نقطتان شاذتان هما  $z=0$  و  $z=1$  ، وكلتا هما تنتمي إلى داخلية المنحنى  $C$  المعطى . باستخدام متسلسلة ماكلورين

$$\frac{1}{1+z} = 1 - z + z^2 - \dots \quad (|z| < 1)$$

يمكننا حساب البواقي  $B_1, B_2$  عند  $z=0$  و  $z=1$  على الترتيب . لذلك نكتب أولاً مفكوك لوران

$$\begin{aligned} \frac{5z-2}{z(z-1)} &= \left(5 - \frac{2}{z}\right) \left(\frac{-1}{1-z}\right) = \left(-5 + \frac{2}{z}\right) (1 + z + z^2 + \dots) \\ &= \frac{2}{z} - 3 - 3z - 3z^2 - \dots \end{aligned}$$

، حيث  $0 < |z| < 1$  ، للدالة المكاملة ومنها نرى أن  $B_1 = 2$  . بعد ذلك نلاحظ أن

$$\begin{aligned} \frac{5z-2}{z(z-1)} &= \left(5 + \frac{3}{z-1}\right) \left[\frac{1}{1+(z-1)}\right] \\ &= \left(5 + \frac{3}{z-1}\right) [1 - (z-1) + (z-1)^2 - \dots] \end{aligned}$$

، حيث  $1 < |z-1| < 2$  ، معامل  $1/(z-1)$  في مفكوك لوران عندما  $1 < |z-1| < 2$  يساوى ثلاثة . من هذا ينتج أن  $B_2 = 3$  . وبالتالي فإن



$$\int_C \frac{5z-2}{z(z-1)} dz = 2\pi i(B_1 + B_2) = 10\pi i.$$

في هذا المثال نلاحظ أنه من الأبسط ، بطبيعة الحال ، أن نكتب الدالة المكاملة كمجموع لكسريها الجزئيين ، وبالتالي فإن

$$\int_C \frac{5z-2}{z(z-1)} dz = \int_C \frac{2}{z} dz + \int_C \frac{3}{z-1} dz = 4\pi i + 6\pi i = 10\pi i.$$

### ٦٩ - الجزء الأساسي من دالة The Principal Part of a Function

كما رأينا فإنه إذا كان لدالة ما  $f$  نقطة شاذة معزولة  $z_0$  ، فإن الدالة يمكن تمثيلها بتسلسلة لوران :

$$f(z) = \sum_{n=0}^{\infty} a_n(z-z_0)^n + \sum_{n=1}^{\infty} \frac{b_n}{(z-z_0)^n} \quad (1)$$

في نطاق ما  $0 < |z-z_0| < r_1$  مركزه  $z_0$  . جزء هذه التسلسلة الذي يحوى القوى السالبة للمقدار  $z-z_0$  يسمى الجزء الأساسي Principal part من الدالة  $f$  عند  $z_0$  . سنقوم الآن باستخدام الجزء الأساسي من دالة ما للتمييز بين أنواع ثلاث من النقط الشاذة المعزولة ، يكون سلوك الدالة قرب أى منها مختلف اختلافاً أساسياً عن سلوكها بالقرب من أى من النقطتين الأخرين .

إذا كانت فئة الحدود غير الصفرية في الجزء الأساسي من  $f$  عند  $z_0$  غير خالية وتحتوى على عدد محدود من العناصر ، فإنه يوجد عدد صحيح موجب  $m$  بحيث  $b_m \neq 0$  ،

$$b_{m+1} = b_{m+2} = \dots = 0$$

أى أن المفكوك (١) يكون على الصورة

$$f(z) = \sum_{n=0}^{\infty} a_n(z-z_0)^n + \frac{b_1}{z-z_0} + \frac{b_2}{(z-z_0)^2} + \dots + \frac{b_m}{(z-z_0)^m} \quad (2)$$

حيث  $0 < |z-z_0| < r_1$  في هذه الحالة تسمى النقطة الشاذة المعزولة  $z_0$  قطباً Pole من درجة  $m$  القطب من درجة  $m=1$  يسمى قطباً بسيطاً Simple pole .  
فعلى سبيل المثال ، الدالة

$$\frac{z^2 - 2z + 3}{z-2} = 2 + (z-2) + \frac{3}{z-2}$$

حيث  $|z-2| > 0$  لها قطب بسيط عند  $z=2$  . وباقى هذه الدالة عند القطب  $z=2$  يساوى ثلاثة . والدالة

$$\frac{\sinh z}{z^4} = \frac{1}{z^3} + \frac{1}{3!} \frac{1}{z} + \frac{1}{5!} z + \frac{1}{7!} z^3 + \dots$$

حيث  $|z| > 0$  ، لها قطب درجته  $m=3$  عند  $z=0$  ، وأن الباقي لهذه الدالة عند  $z=0$  يساوى سدس .

كما سنرى في البند التالي ، الدالة  $f(z)$  تتوّل دائماً إلى مالا نهاية عندما تقترب  $z$  من قطب ما .

عندما يحوى الجزء الأساسى من دالة  $f$  عند  $z_0$  عددا لا نهائياً من الحدود الغير صفرية فإن النقطة  $z_0$  يقال لها نقطة شاذة أساسية Essential singular point . كمثال لهذا النوع الدالة

$$\exp\left(\frac{1}{z}\right) = 1 + \sum_{n=1}^{\infty} \frac{1}{n!} \frac{1}{z^n} \quad (3)$$

حيث  $|z| > 0$  ، التى لها نقطة شاذة أساسية عند  $z=0$  . وباقي هذه الدالة عند  $z=0$  يساوى 1 .

وقد توصل بيكار Picard إلى نتيجة هامة تصف سلوك دالة ما بالقرب من نقطة شاذة أساسية وهذه النتيجة تنص على أنه فى أى جوار لنقطة شاذة أساسية تأخذ الدالة كل قيمة محدودة ، مع استثناء وحيد محتمل ، عدداً لا نهائياً من المرات . ولن نقوم بإثبات نظرية بيكار ، ولكننا سنقوم فيما بعد ( فى بند (١١٢) ) بإثبات نتيجة مقارنة جدا لها\* .

لتوضيح نظرية بيكار دعنا نبين أن الدالة  $\exp(1/z)$  المعطاة فى المعادلة (٣) تأخذ القيمة -1 . عددا لا نهائياً من المرات فى أى جوار لنقطة الأصل . لذلك تذكر أن ( بند (٢٢) )  $\exp z = -1$  عندما  $z = (1 + 2n)\pi i$  ، حيث  $n = 0, \pm 1, \pm 2, \dots$  ، وهذا يعنى أن  $\exp(1/z) = -1$  عند النقط

$$z = \frac{1}{(1 + 2n)\pi i} \quad (n = 0, \pm 1, \pm 2, \dots)$$

التى يحتوى أى جوار لنقطة الأصل على عدد لا نهائى منها . لاحظ أن  $|\exp(1/z)| \neq 0$  لأى عدد مركب  $z$  وبالتالي فإن الصفر يكون هو القيمة المستثناة التى لا تأخذها الدالة .

عندما تكون كل المعاملات  $b_n$  فى الجزء الأساسى من دالة  $f$  عند نقطة شاذة معزولة  $z_0$  مساوية للصفر فإن النقطة  $z_0$  يقال لها نقطة شاذة مزالة Removable singular point للدالة  $f$  . فى هذه الحالة تحوى متسلسلة لوران (١) القوى الغير سالبة فقط للعدد  $z-z_0$  ،

\* لبرهان نظرية بيكار ، انظر بند (٥١) من المجلد الثالث من كتب Markusevich المذكورة فى ملحق (١) .

أى أن المتسلسلة تكون في هذه الحالة متسلسلة قوى . إذا عرفنا  $f$  على أنها تساوى  $a_0$  عند  $z_0$  فإن الدالة تصبح تحليلية عند  $z_0$  ( انظر نظرية (٢) من بند (٦٢) ) . وبالتالي فإن الدالة  $f$  التي لها نقطة شاذة مزالة يمكن جعلها تحليلية عند هذه النقطة وذلك بتحديد قيمة مناسبة للدالة عند تلك النقطة .

فمثلا الدالة

$$f(z) = \frac{e^z - 1}{z} = 1 + \frac{z}{2!} + \frac{z^2}{3!} + \dots$$

حيث  $|z| > 0$  ، لها نقطة شاذة مزالة عند  $z=0$  . إذا كتبنا  $f(0) = 1$  فإن الدالة تصبح شاملة .

### ٧٠ - الأقطاب Poles

افرض أن الدالة  $f$  لها قطب من درجة  $m$  عند  $z_0$  . دعنا نعرف دالة جديدة  $\phi$  بالمعادلة

$$\phi(z) = (z - z_0)^m f(z).$$

من معادلة (٢) بالبند السابق نجد أن

$$\begin{aligned} \phi(z) &= b_m + b_{m-1}(z - z_0) + b_{m-2}(z - z_0)^2 + \dots + b_1(z - z_0)^{m-1} \quad (1) \\ &+ \sum_{n=0}^{\infty} a_n(z - z_0)^{m+n} \end{aligned}$$

حيث  $0 < |z - z_0| < r_1$  ،  $b_m \neq 0$  . وبالتالي فإن النقطة  $z_0$  تكون نقطة شاذة مزالة للدالة  $\phi$  . دعنا نكتب

$$\phi(z_0) = b_m$$

وذلك حتى تصبح الدالة  $\phi$  تحليلية عند  $z_0$  . لاحظ أن كون الدالة تحليلية عند نقطة ما يستتبع أن تكون متصلة عند نفس النقطة وبالتالي فإن تعريفنا للمقدار  $\phi(z_0)$  يمكن كتابته على الصورة

$$\phi(z_0) = \lim_{z \rightarrow z_0} (z - z_0)^m f(z) = b_m. \quad (2)$$

حيث أن هذه النهاية متحققة و  $b_m \neq 0$  فإنه ينتج أن  $f(z)$  تتوّل إلى مالا نهاية عندما تقترب  $z$  من  $z_0$  ( انظر تمرين (١١) بند (٧١) ) .

بالإضافة إلى ذلك فإنه يمكن استخدام الدالة  $\phi$  لتعيين باقى الدالة  $f$  عند القطب  $z_0$  . هذا الباقى هو المعامل  $b_1$  فى متسلسلة لوران (٢) من البند السابق . وحيث أن (١) هى متسلسلة تايلور للدالة  $\phi$  حول النقطة  $z_0$  فإن العدد  $b_1$  يعطى بالعلاقة

$$b_1 = \frac{\phi^{(m-1)}(z_0)}{(m-1)!} \quad (٣)$$

وعندما تكون  $m=1$  فإن صيغة باقى الدالة  $f$  عند القطب البسيط  $z_0$  يمكن كتابتها ، وذلك حسب معادلة (٢) ، على الصورة

$$b_1 = \phi(z_0) = \lim_{z \rightarrow z_0} (z - z_0)f(z). \quad (٤)$$

افرض أننا أعطينا الآن دالة  $f$  بحيث يكون حاصل الضرب  $(z - z_0)^m f(z)$

معرفاً عند  $z_0$  بحيث يكون تحليلياً عندها . كما سبق ،  $m$  عدد صحيح موجب . نفرض أن  $\phi(z)$  ترمز إلى حاصل الضرب المذكور أعلاه . إذن ، لأى نقطة  $z$  فى قرص مفتوح حول  $z_0$  ،

$$\phi(z) = (z - z_0)^m f(z) = \phi(z_0) + \phi'(z_0)(z - z_0) + \dots + \frac{\phi^{(m)}(z_0)}{m!} (z - z_0)^m + \dots$$

وبالتالى فإنه عند أى نقطة من نقاط هذا القرص المفتوح ، عدا النقطة  $z_0$  ،

$$f(z) = \frac{\phi(z_0)}{(z - z_0)^m} + \frac{\phi'(z_0)}{(z - z_0)^{m-1}} + \dots + \frac{\phi^{(m-1)}(z_0)}{(m-1)!} \frac{1}{z - z_0} + \sum_{n=m}^{\infty} \frac{\phi^{(n)}(z_0)}{n!} (z - z_0)^{n-m}.$$

إذا كان  $\phi(z_0) \neq 0$  فإنه ينتج أن  $f$  لها قطب من درجة  $m$  عند  $z_0$  وأن باقى الدالة  $f$  عند  $z_0$  يعطى بأى من العلاقتين (٣) أو (٤) . النظرية التالية تمكننا من اختبار أن دالة ما لها قطب عند نقطة معينة .

نظرية : نفرض أن  $f$  دالة ما معطاة وأنه لعدد صحيح موجب  $m$  تكون الدالة

$$\phi(z) = (z - z_0)^m f(z)$$

معرفة عند  $z_0$  بحيث تكون تحليلية عندها وبحيث  $\phi(z_0) \neq 0$  . إذن  $f$  يكون لها قطب من درجة  $m$  عند  $z_0$  وباقى الدالة  $f$  عند  $z_0$  يعطى بالعلاقة (٣) إذا كانت  $m > 1$  وبالعلاقة (٤) إذا كانت  $m = 1$  .

لاحظ أن الشروط الواردة فى النظرية تكون متحققة دائماً طالما كانت الدالة  $f$  على

الصورة

$$f(z) = \frac{\phi(z)}{(z - z_0)^m} \quad (m = 1, 2, \dots)$$

حيث الدالة  $\phi(z)$  تحليلية عند  $z_0$  و  $\phi(z_0) \neq 0$  . وكإيضاح لذلك ، نلاحظ أن الدالة  $f(z) = e^{-2z}/z^3$  لها قطب من درجة  $m=3$  عند

$z = 0$  . في هذه الحالة تكون  $\phi(z) = e^{-2z}$  . وبالتالي ينتج ، من العلاقة (٣) ، أن باقى  $f$  عند  $z = 0$  يساوى  $\phi^{(2)}(0)/2! = 2$  .

وكمثال لإيضاح العلاقة (٤) ، نلاحظ أن الدالة  $f(z) = (z+1)/(z^2+9)$  لها قطب بسيط عند  $z = 3i$  وأن الباقي عند هذه النقطة هو

$$\lim_{z \rightarrow 3i} (z-3i) \frac{z+1}{z^2+9} = \lim_{z \rightarrow 3i} \frac{z+1}{z+3i} = \frac{3-i}{6} .$$

النقطة  $z = -3i$  هى أيضاً قطب بسيط للدالة المعطاة ، وباقي الدالة عندها يساوى  $(3+i)/6$  .

### ٧١ - قسمة الدوال التحليلية Quotients of Analytic Functions

الطريقة الأساسية لحساب باقى دالة ما عند نقطة شاذة معزولة  $z_0$  هى الاستخدام المباشر لمتسلسلة لوران المناسبة وإيجاد معامل  $1/(z-z_0)$  فيها . عندما تكون  $z_0$  نقطة شاذة أساسية ، فإننا لن نقدم طريقة أخرى بديلة لحساب البواقي ، ولكن لحساب البواقي عند الأقطاب فإنه يمكن استخدام الصيغتين (٣) و (٤) السالف ذكرهما فى البند السابق عندما تكون الدالة  $\phi$  بسيطة بدرجة كافية .

وتوجد طريقة أخرى لحساب باقى دالة ما  $f$  عند قطب  $z_0$  للدالة إذا كان بالإمكان كتابة  $f$  على صورة كسر :

$$f(z) = \frac{p(z)}{q(z)} \quad (1)$$

حيث كلا من  $p, q$  دالة تحليلية عند  $z_0$  وبمبث  $p(z_0) \neq 0$  . ويجب أولاً ملاحظة أن  $z_0$  تكون نقطة شاذة معزولة للدالة  $f$  إذا وفقط إذا كان  $q(z_0) = 0$  . لأنه إذا كان  $q(z_0) = 0$  فإن  $q(z) \neq 0$  عند أى نقطة أخرى فى جوار ما للنقطة  $z_0$  ، وهذا يرجع إلى أن أصفار الدالة التحليلية التى لا تنعدم تطابقياً ( أى لكل نقطة  $z$  تكون معزولة ) ( بند (٦٦) ) . من هذا ينتج أن الدالة  $f$  تكون تحليلية عند كل نقطة من نقط هذا الجوار للنقطة  $z_0$  ، فيما عدا عند النقطة  $z_0$  نفسها ، وبالتالي فإن  $z_0$  تكون نقطة شاذة معزولة للدالة  $f$  . وبالعكس ، إذا كانت  $z_0$  نقطة شاذة معزولة للدالة  $f$  فإن  $q(z_0) = 0$  . وذلك لأنه إذا كانت  $q(z_0) \neq 0$  فإنه ينتج من اتصال الدالة  $f$  أن  $q(z) \neq 0$  عند كل نقطة  $z$  من نقط جوار ما للنقطة  $z_0$  ( انظر تمرين (١١) من بند (١٥) ) . من هذا ينتج أن الدالة  $f$  تحليلية عند  $z_0$  وهذا يناقض حقيقة أن  $z_0$  نقطة شاذة معزولة للدالة  $f$  .

الدالة  $f$  المعطاة بالمعادلة (١) لها قطب بسيط عند  $z_0$  إذا تحقق ، بالإضافة إلى الشروط الأخرى السالفة الذكر ، كل من الشرطين  $q(z_0) = 0$  و  $q'(z_0) \neq 0$  . ويعطى باقى الدالة  $f$

عند القطب البسيط  $z_0$  بالعلاقة

$$b_1 = \frac{p(z_0)}{q'(z_0)}. \quad (٢)$$

لإثبات ذلك فإننا نعتبر مفكوك تايلور ، المتحقق في القرص  $|z - z_0| < r_1$  ، لكل من الدالتين التحليليتين  $p, q$ ، ونكتب

$$(z - z_0)f(z) = \frac{p(z_0) + p'(z_0)(z - z_0) + \dots}{q'(z_0) + q''(z_0)(z - z_0)/2! + \dots} \quad (٣)$$

حيث  $0 < |z - z_0| < r_1$

خارج قسمة هاتين المتسلسلتين يمثل دالة  $\phi$  تحليلية عند  $z_0$  ، وحيث أن  $\phi(z_0) = p(z_0)/q'(z_0) \neq 0$  فإن البرهان يمكن إكماله بسهولة باستخدام النظرية المذكورة في البند السابق .

باتباع نفس الأسلوب يمكننا إثبات أنه إذا كانت الدالة  $f$  تحقق ، بالإضافة إلى الشروط السالف ذكرها التي تحققها كل من الدالتين  $p, q$  ، الشروط التالية :

$$q(z_0) = q'(z_0) = \dots = q^{(m-1)}(z_0) = 0 , q^{(m)}(z_0) \neq 0$$

فإن الدالة  $f$  يكون لها قطب من درجة  $m$  عند  $z_0$  . عندما  $m = 2$  ، يعطى باقى الدالة  $f$  عند القطب  $z_0$  ( من درجة  $m=2$  ) بالعلاقة

$$b_1 = 2 \frac{p'(z_0)}{q''(z_0)} - \frac{2 p(z_0)q'''(z_0)}{3 [q''(z_0)]^2}, \quad (٤)$$

التي يمكن إيجادها بحساب  $\phi'(z_0)$  ، حيث

$$\phi(z) = \frac{p(z_0) + p'(z_0)(z - z_0) + \dots}{q''(z_0)/2! + q'''(z_0)(z - z_0)/3! + \dots}$$

وحيث  $0 < |z - z_0| < r_1$

عندما  $m > 2$  فإن الصيغ المناظرة لحساب البواقي تكون طويلة جدا .

لتوضيح العلاقة (٢) دعنا نعتبر الدالة

$$\cot z = \frac{\cos z}{\sin z}$$

التي لها النقط الشاذة المعزولة  $z = n\pi$  ، حيث  $n = 0, \pm 1, \pm 2, \dots$  . بكتابة  $q(z) = \sin z$  و  $p(z) = \cos z$  فإننا نجد أن كلا من هذه النقط تكون قطبا بسيطا للدالة  $\cot z$  وأن باقى هذه الدالة عند كل من هذه الأقطاب البسيطة يساوى

$$b_1 = \frac{p(n\pi)}{q'(n\pi)} = \frac{\cos n\pi}{\cos n\pi} = 1.$$

كمثال آخر ، دعنا نحسب باقى الدالة

$$f(z) = \frac{1}{z(e^z - 1)}$$

عند نقطة الأصل . في هذا المثال  $p(z) = 1$  ،  $q(z) = z(e^z - 1)$  ،  $q'(0) = 0$  ،  $q''(0) = 2$  ،  $q'''(0) = 3$  . وبالتالي فإن نقطة الأصل تكون قطباً من درجة  $m = 2$  ، وباقي الدالة  $f$  عند هذا القطب يساوي  $-1/2$  ( وذلك باستخدام العلاقة (٤) ) .

## تمارين

١ - أوجد في كل حالة الجزء الأساسي من الدالة عند نقطتها الشاذة المعزولة . بين ما إذا كانت هذه النقطة الشاذة قطباً ، أو نقطة شاذة أساسية ، أو نقطة شاذة مزالة للدالة المعطاة .

$$(أ) ze^{1/z} ، (ب) \frac{z^2}{1+z} ، (ج) \frac{\sin z}{z} ، (د) \frac{\cos z}{z}$$

٢ - اثبت أن جميع النقط الشاذة لكل من الدوال المعطاة التالية تكون أقطاباً . أوجد الدرجة  $m$  لكل قطب والباقي المناظر  $B$  .

$$\begin{array}{lll} (أ) \frac{z+1}{z^2-2z} ، (ب) \tanh z ، (ج) \frac{1-\exp(2z)}{z^4} \\ (د) \frac{\exp(2z)}{(z-1)^2} ، (هـ) \frac{z}{\cos z} ، (و) \frac{\exp z}{z^2+\pi^2} \end{array}$$

الأجوبة : (أ)  $m=1$  ،  $B=-\frac{1}{2}$  ، (ب)  $m=1$  ،  $B=1$  ، (ج)  $m=3$  ،  $B=-\frac{1}{4}$  ، (د)  $m=2$  ،  $B=1$  ، (هـ)  $m=1$  ،  $B=0$  ، (و)  $m=2$  ،  $B=0$  .

٣ - أوجد الباقي عند  $z=0$  لكل من الدوال

$$(أ) \csc^2 z ، (ب) z^{-3} \csc(z^2) ، (ج) z \cos \frac{1}{z}$$

الأجوبة : (أ) صفر ، (ب)  $1/6$  ، (ج)  $-1/2$  .

٤ - أوجد قيمة التكامل

$$\int_C \frac{3z^3+2}{(z-1)(z^2+9)} dz$$

حيث  $C$  الدائرة موجهة ضد عقرب الساعة ،

$$(أ) |z-2|=2 ، (ب) |z|=4$$

الأجوبة : (أ)  $mi$  ، (ب)  $6mi$

٥ - أوجد قيمة التكامل

$$\int_C \frac{dz}{z^3(z+4)}$$

حيث  $C$  الدائرة ، موجهة ضد عقرب الساعة ،

$$|z + 2| = 3 \quad (\text{ب}) \quad , \quad |z| = 2 \quad (\text{أ})$$

الأجوبة : (أ)  $\pi/32$  ، (ب) صفر .

٦ افرض أن  $C$  الدائرة  $|z|=2$  مع الاتجاه الدوراني الموجب واحسب كل من التكاملات

$$\int_C \frac{\cosh \pi z dz}{z(z^2 + 1)} \quad (\text{ج}) \quad , \quad \int_C \frac{dz}{\sinh 2z} \quad (\text{ب}) \quad , \quad \int_C \tan z dz \quad (\text{أ})$$

الأجوبة : (أ)  $-4\pi i$  ، (ب)  $-\pi i$  ، (ج) صفر .

٧ أوجد قيمة تكامل الدالة  $f$  حول دائرة الوحدة التي مركزها نقطة الأصل مع الاتجاه الدوراني الموجب إذا كانت  $f(z)$  هي

$$z^{-2}e^{-z} \quad (\text{أ}) \quad , \quad z^{-1} \csc z \quad (\text{ب}) \quad , \quad z^{-2} \csc z \quad (\text{ج}) \quad , \quad z \exp \frac{1}{z} \quad (\text{د})$$

الأجوبة : (أ)  $-2\pi i$  ، (ب) صفر ، (ج)  $\pi i$

٨ أوجد قيمة التكامل (٢) من بند (٦٨) وذلك بإيجاد معامل  $1/z$  في مفكوك لوران للدالة المكاملة

$$\frac{5z - 2}{z(z - 1)} = \frac{5z - 2}{z^2} \frac{1}{1 - (1/z)}$$

بدلالة قوى  $z$  حيث نطاق تحقق هذا المفكوك هو  $|z| > 1$  . لاحظ ، مع ذلك ، أن المعامل الذي نحصل عليه ليس باقي الدالة المكاملة عند  $z = 1$  .

٩ أوجد الباقي عند النقطة  $z = 1$  لفرع الدالة المتعددة القيم

$$f(z) = \frac{\sqrt{z}}{1 - z}$$

الذي نحصل عليه بقصر  $\arg z$  بحيث  $(2n + 1)\pi < \arg z < (2n - 1)\pi$  حيث  $n$  عدد صحيح . الإجابة :  $(-1)^{n+1}$

١٠ افرض أن  $f$  دالة تحليلية عند النقطة  $z_0$  . إثبت أن نقطة شاذة مزالة للدالة

$$g(z) = \frac{f(z)}{z - z_0}$$

عندما  $f(z_0) = 0$  . إثبت أنه عندما  $f(z_0) \neq 0$  فإن النقطة  $z_0$  تكون قطبا بسيطا للدالة  $g$  وأن باقي  $g$  عند  $z_0$  يساوى  $f(z_0)$  .

١١ باستخدام العلاقة (٢) من بند (٧٠) لحساب العدد  $b_m$  ، اثبت أن

$$\lim_{z \rightarrow z_0} f(z) = \infty$$

عندما يكون  $z_0$  قطبا للدالة  $f$  .



اقتراح : لاحظ أنه يوجد عدد موجب  $\delta$  بحيث

$$0 < |z - z_0| < \delta \quad \text{طالما} \quad |b_m - (z - z_0)^m f(z)| < \frac{1}{2} |b_m|$$

ثم استخدم المتباينة  $|z_1| - |z_2| \leq |z_1 - z_2|$

١٢ - اثبت أنه إذا كانت دالة ما  $f(z)$  تحليلية عند  $z_0$  وإذا كان  $z_0$  صفراً من درجة  $m$  للدالة  $f(z)$  فإن الدالة  $1/f(z)$  يكون لها قطب من درجة  $m$  عند  $z_0$ .

١٣ - افرض أن  $f(z)$  دالة تحليلية في نطاق بسيط الترابط  $D$  وأن  $z_0$  هو الصفر الوحيد للدالة  $f(z)$  في  $D$ . اثبت أنه إذا كان  $C$  كفافاً مغلقاً بسيطاً في  $D$  اتجاهه الدوراني هو الاتجاه الموجب وبحيث  $z_0 \in C$ ، فإن

$$\frac{1}{2\pi i} \int_C \frac{f'(z)}{f(z)} dz = m$$

حيث العدد الصحيح الموجب  $m$  رتبة صفرية الدالة. الكسر  $f'(z)/f(z)$  هو مشتقة الدالة  $\log f(z)$  ويعرف بالمشتقة اللوغاريتمية للدالة  $f(z)$ .

١٤ - باستخدام نتيجة تمرين (١٣)، اثبت الخاصية التالية للمشتقة اللوغاريتمية المعرفة أعلاه. افرض أن  $D$  نطاق بسيط الترابط تكون فيه الدالة  $f$  تحليلية،  $f'(z) \neq 0$  وافرض أن  $C$  كفاف مغلق بسيط في  $D$  اتجاهه الدوراني هو الاتجاه الموجب، وبحيث  $f(z) \neq 0$  عند أى نقطة من نقط  $C$ . إذا كان للدالة  $f$  أصفار عددها  $N$  تنتمي إلى داخلية  $C$ ، فإن

$$N = \frac{1}{2\pi i} \int_C \frac{f'(z)}{f(z)} dz.$$

## ٧٢ - حساب التكاملات الحقيقية المعتلة Evaluation of Improper Real Integrals

تطبيق هام لنظرية البواقي هو استخدامها في حساب أنواع خاصة من التكاملات الحقيقية المحددة. الأمثلة التي ستطرح هنا وفي بقية هذا الباب توضح هذا الاستخدام لتلك النظرية.

من مبادئ حساب التفاضل والتكامل نعلم أن التكامل المعتل الذي على الصورة

$$\int_{-\infty}^{\infty} f(x) dx, \quad (1)$$

حيث الدالة المكاملة  $f$  متصلة لجميع قيم  $x$ ، يقال له تكامل تقاربي Convergent integral وأن قيمته هي

$$\lim_{R \rightarrow \infty} \int_{-R}^0 f(x) dx + \lim_{R \rightarrow \infty} \int_0^R f(x) dx \quad (2)$$

إذا تحقق وجود كل من النهايتين. هناك عدد آخر مرتبط بالتكامل (١)، ومفيد أيضاً، يقال له قيمة كوشي الأساسية Cauchy principal value للتكامل (١) ويعرف بالمعادلة

$$\text{P.V.} \int_{-\infty}^{\infty} f(x) dx = \lim_{R \rightarrow \infty} \int_{-R}^R f(x) dx, \quad (3)$$

بشرط تحقق وجود النهاية في الطرف الأيمن .

إذا كان التكامل (١) تقاربيا ، فإن قيمة التكامل التي نحصل عليها تكون هي نفسها قيمة كوشي الأساسية للتكامل . من ناحية أخرى ، فإذا كانت  $f(x) = x$  مثلا ، فإننا نجد أن قيمة كوشي الأساسية للتكامل (١) تساوى صفرأ ، بينما لا يكون هذا التكامل تقاربيا حسب تعريف (٢) . ولكن إذا افترضنا أن  $f$  دالة زوجية ( أى أن  $f(-x) = f(x)$  لكل عدد حقيقي  $x$  ) ، فإننا نجد أنه إذا تحقق وجود قيمة كوشي الأساسية للتكامل (١) فإن التكامل (١) يكون تقاربيا . وذلك لأنه في هذه الحالة يكون

$$\int_{-R}^0 f(x) dx = \int_0^R f(x) dx = \frac{1}{2} \int_{-R}^R f(x) dx;$$

وتحقق وجود النهاية في الصيغة (٣) يؤدي إلى تحقق وجود كل من النهايتين في الصيغة (٢) .

افرض الآن أن الدالة المكاملة  $f(x)$  في التكامل (١) يمكن كتابتها على الصورة  $f(x) = p(x)/q(x)$  حيث  $p, q$  كثيرتي حدود حقيقية ليس بينهما عوامل مشتركة وأن  $q(x)$  ليست لها أى أصفار حقيقية . إذا كانت درجة  $q(x)$  أكبر من درجة  $p(x)$  على الأقل بدرجتين فإن التكامل يكون تقاربيا . ويمكننا في كثير من الأحوال حساب القيمة التي يقرب منها هذا التكامل بسهولة وذلك بإيجاد قيمة كوشي الأساسية له مستخدمين في ذلك نظرية البواقي.

ولتوضيح الطريقة ، دعنا نوجد قيمة التكامل التقاربي

$$\int_0^{\infty} \frac{2x^2 - 1}{x^4 + 5x^2 + 4} dx = \frac{1}{2} \int_{-\infty}^{\infty} \frac{2x^2 - 1}{x^4 + 5x^2 + 4} dx. \quad (4)$$

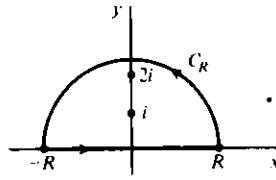
لاحظ أن التكامل في الطرف الأيمن يمثل تكاملا للدالة

$$(z) = \frac{2z^2 - 1}{z^4 + 5z^2 + 4} = \frac{2z^2 - 1}{(z^2 + 1)(z^2 + 4)}$$

على امتداد المحور الحقيقي . وهذه الدالة لها أقطاب بسيطة عند النقط  $z = \pm 2i$  ، وهي تحليلية فيما عدا ذلك .

عندما  $R > 2$  ، فإن النقط الشاذة للدالة  $f$  في نصف المستوى العلوي تنتمي إلى داخلية المنطقة النصف دائرية المحدودة بالقطعة المستقيمة  $y = 0, -R \leq x \leq R$  على محور

السينات والنصف العلوي  $C_R$  من الدائرة  $|z| = R$  ( شكل (٥٠) ) .



شكل (٥٠)

بكاملة الدالة  $f$  في اتجاه ضد عقرب الساعة حول حدود هذه المنطقة النصف دائرية فإننا نجد أن

$$\int_{-R}^R f(x) dx + \int_{C_R} f(z) dz = 2\pi i(B_1 + B_2) \quad (٥)$$

حيث  $B_1$  هو باق الدالة  $f$  عند النقطة  $z = i$ ،  $B_2$  هو باق الدالة  $f$  عند النقطة  $z = 2i$ . من العلاقة (٤) بند (٧٠) نعلم أن

$$B_1 = \lim_{z \rightarrow i} (z - i)f(z) = \frac{i}{2}$$

و

$$B_2 = \lim_{z \rightarrow 2i} (z - 2i)f(z) = -\frac{3i}{4}$$

وبالتالي فإن المعادلة (٥) يمكن كتابتها على الصورة

$$\int_{-R}^R f(x) dx = \frac{\pi}{2} - \int_{C_R} f(z) dz. \quad (٦)$$

وهذه المعادلة الأخيرة صحيحة لجميع قيم  $R$  أكبر من اثنين.

سنبين الآن أن قيمة التكامل في الطرف الأيمن من المعادلة (٦) تقترب من الصفر

عندما تتوول  $R$  إلى  $\infty$ . لتحقيق ذلك، لاحظ أن

$$|z^4 + 5z^2 + 4| = |z^2 + 1| |z^2 + 4| \geq (|z|^2 - 1)(|z|^2 - 4)$$

إذن، عندما تكون  $z$  نقطة من نقاط  $C_R$ ،

$$|z^4 + 5z^2 + 4| \geq (R^2 - 1)(R^2 - 4).$$

كذلك، لكل نقطة من نقط  $C_R$ ،

$$|2z^2 - 1| \leq 2|z|^2 + 1 = 2R^2 + 1.$$

وبالتالي فإن

$$\left| \int_{C_R} \frac{2z^2 - 1}{z^4 + 5z^2 + 4} dz \right| \leq \frac{2R^2 + 1}{(R^2 - 1)(R^2 - 4)} \pi R,$$

حيث  $\pi R$  طول القوس  $C_R$ . بهذا تتضح النهاية المطلوبة، أي أن

$$\lim_{R \rightarrow \infty} \int_{C_R} f(z) dz = 0.$$

وبالتالى فإنه ينتج من المعادلة (٦) أن

$$\lim_{R \rightarrow \infty} \int_{-R}^R \frac{2x^2 - 1}{x^4 + 5x^2 + 4} dx = \frac{\pi}{2}.$$

أو

$$\text{P.V.} \int_{-\infty}^{\infty} \frac{2x^2 - 1}{x^4 + 5x^2 + 4} dx = \frac{\pi}{2};$$

وحيث أن هذا التكامل يكون في الحقيقة تقاربيا فإننا نصل إلى النتيجة

$$\int_0^{\infty} \frac{2x^2 - 1}{x^4 + 5x^2 + 4} dx = \frac{\pi}{4}.$$

### ٧٣ - التكاملات المعتلة المشتملة على دوال مثلثية

#### Improper Integrals Involving Trigonometric Functions

نظرية الباقي قد تكون مفيدة أيضاً في حساب التكاملات المعتلة التقاربية التي على أى

من صورتين

$$\int_{-\infty}^{\infty} \frac{p(x)}{q(x)} \cos x dx \quad \text{و} \quad \int_{-\infty}^{\infty} \frac{p(x)}{q(x)} \sin x dx \quad (١)$$

حيث  $q(x)$  و  $p(x)$  كثيرتي حدود حقيقية،  $q(x)$  ليس لها أصفار حقيقية الطريقة التي استخدمت في البند السابق لا يمكن استخدامها مباشرة هنا وذلك حيث أن كلا من  $|\cos z|$  و  $|\sin z|$  تزداد مثل  $\sinh y$  أو  $e^y$  وذلك عندما تتحول  $y$  إلى  $\infty$  ( بند (٢٤) ) . ومع هذا فإننا نلاحظ أن التكاملين (١) هما الجزآن الحقيقي والتخيل للتكامل

$$\int_{-\infty}^{\infty} \frac{p(x)}{q(x)} e^{ix} dx$$

وأن مقياس  $e^{iz}$  يساوى  $e^{-y}$ . لاحظ أن  $e^{-y}$  محدودة في نصف المستوى العلوى . لتوضيح التعديل الذي أجريناه على الطريقة السابقة ، دعنا نبين الآن أن

$$\int_{-\infty}^{\infty} \frac{\cos x}{(x^2 + 1)^2} dx = \frac{\pi}{e}. \quad (٢)$$

هذا التكامل هو الجزء الحقيقي للتكامل

$$\int_{-\infty}^{\infty} \frac{e^{ix}}{(x^2 + 1)^2} dx$$

الذى يمثل بدوره تكامل الدالة

$$f(z) = \frac{e^{iz}}{(z^2 + 1)^2}$$

على المحور الحقيقي .

الدالة  $f$  تحليلية فما عدا عند القطبين  $z = \pm i$  من درجة  $m = 2$ . القطب  $z = i$  ينتمي

إلى داخلية المنطقة النصف دائرية التي حدودها القطعة المستقيمة  $y=0$  و  $-R \leq x \leq R$  على المحور الحقيقي والنصف العلوي  $C_R$  من الدائرة  $|z|=R$  ، حيث  $R > 1$  . بمكاملة الدالة  $f$  في اتجاه ضد عقرب الساعة حول حدود هذه المنطقة نجد أن

$$\int_{-R}^R \frac{e^{ix}}{(x^2+1)^2} dx = 2\pi i B_1 - \int_{C_R} \frac{e^{iz}}{(z^2+1)^2} dz \quad (3)$$

حيث  $B_1$  باقى  $f$  عند القطب  $z=i$  . لحساب هذا الباقي ، اكتب

$$\phi(z) = (z-i)^2 f(z) = \frac{e^{iz}}{(z+i)^2}.$$

وبالتالى فإن صيغة (3) بند (٧٠) تعطى

$$B_1 = \phi'(i) = -\frac{i}{2e}. \quad (4)$$

لنبين أن التكامل الثانى فى (3) يقترب من الصفر عندما تؤول  $R$  إلى  $\infty$  ، فإننا نلاحظ أنه عندما تنتمى  $z$  إلى  $C_R$  فإن

$$|z^2+1|^2 \geq (R^2-1)^2. \quad \text{إذن ،}$$

$$\left| \int_{C_R} \frac{e^{iz}}{(z^2+1)^2} dz \right| \leq \frac{\pi R}{(R^2-1)^2}$$

وذلك حيث أن

$$|e^{iz}| = |e^{-y}| \leq 1$$

عندما  $y \geq 0$  .

من هذه المتباينة ومعادلتى (3) ، (4) ينتج أن

$$\lim_{R \rightarrow \infty} \int_{-R}^R \frac{e^{ix}}{(x^2+1)^2} dx = \frac{\pi}{e}. \quad (5)$$

أى أن ،

$$\lim_{R \rightarrow \infty} \int_{-R}^R \frac{\cos x}{(x^2+1)^2} dx = \frac{\pi}{e},$$

وذلك بمساواة الجزئين الحقيقيين فى طرفى المعادلة (5) .

إذن ، قيمة كوشى الأساسية للتكامل (2) موجودة وتساوى  $\pi/e$  . بالإضافة إلى ذلك ، فإنه يمكننا استنتاج أن التكامل (2) يؤول إلى القيمة  $\pi/e$  وذلك لأن الدالة المكاملة فى (2) دالة زوجية .

محمد يوسف اللبوشى

تمارين

تحقق من صحة قيم التكاملات المعطاة وذلك باستخدام البواقي:

$$\int_0^{\infty} \frac{dx}{x^4+1} = \frac{\pi}{2\sqrt{2}} \quad - ٢ \quad , \quad \int_0^{\infty} \frac{dx}{x^2+1} = \frac{\pi}{2} \quad - ١$$

$$\int_0^{\infty} \frac{dx}{(x^2+1)^2} = \frac{\pi}{4} \quad - ٤ \quad , \quad \int_0^{\infty} \frac{x^2 dx}{(x^2+1)(x^2+4)} = \frac{\pi}{6} \quad - ٣$$

$$\int_0^{\infty} \frac{x^2 dx}{x^6+1} = \frac{\pi}{6} \quad - ٦ \quad , \quad \int_0^{\infty} \frac{x^2 dx}{(x^2+9)(x^2+4)^2} = \frac{\pi}{200} \quad - ٥$$

$$a \geq 0 \quad \text{حيث} \quad , \quad \int_0^{\infty} \frac{\cos ax}{x^2+1} dx = \frac{\pi}{2} e^{-a} \quad - ٧$$

$$a > 0, b > 0 \quad \text{حيث} \quad , \quad \int_0^{\infty} \frac{\cos ax}{(x^2+b^2)^2} dx = \frac{\pi}{4b^3} (1+ab)e^{-ab} \quad - ٨$$

$$a > b > 0 \quad \text{حيث} \quad , \quad \int_{-\infty}^{\infty} \frac{\cos x dx}{(x^2+a^2)(x^2+b^2)} = \frac{\pi}{a^2-b^2} \left( \frac{e^{-b} - e^{-a}}{b} - \frac{e^{-a}}{a} \right) \quad - ٩$$

$$a > 0 \quad \text{حيث} \quad , \quad \int_{-\infty}^{\infty} \frac{x \sin ax}{x^4+4} dx = \frac{\pi}{2} e^{-a} \sin a \quad - ١٠$$

أوجد قيمة كوشى الأساسية لكل من التكاملات التقريبية التالية :

$$\int_{-\infty}^{\infty} \frac{dx}{x^2+2x+2} \quad - ١١$$

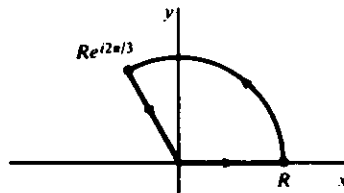
$$- \pi/5 \quad \text{الإجابة :} \quad \int_{-\infty}^{\infty} \frac{x dx}{(x^2+1)(x^2+2x+2)} \quad - ١٢$$

$$\int_{-\infty}^{\infty} \frac{x^2 dx}{(x^2+1)^2} \quad - ١٣$$

$$\int_{-\infty}^{\infty} \frac{x \sin x dx}{(x^2+1)(x^2+4)} \quad - ١٤$$

$$-(\pi/e) \sin 2 \quad \text{الإجابة :} \quad \int_{-\infty}^{\infty} \frac{\sin x dx}{x^2+4x+5} \quad - ١٥$$

$$b > 0 \quad \text{حيث} \quad , \quad \int_{-\infty}^{\infty} \frac{\cos x dx}{(x+a)^2+b^2} \quad - ١٦$$



شكل (٥١)

١٧ - استخدم البواق والكفاف المين بشكل (٥١) للتحقق من صحة قيمة التكامل

$$\int_0^{\infty} \frac{dx}{x^3+1} = \frac{2\pi}{3\sqrt{3}}.$$

٧٤ - التكاملات المحددة للدوال المثلثية

### Definite Integrals of Trigonometric Functions

استخدام البواق مفيد أيضاً في حساب تكاملات محددة معينة من النوع

$$\int_0^{2\pi} F(\sin \theta, \cos \theta) d\theta. \quad (1)$$

وحقيقة أن  $\theta$  تتغير من صفر إلى  $2\pi$  يجعل من الممكن اعتبار  $\theta$  سعة ما لنقطة  $z$  تنتمي لدائرة الوحدة  $C$  التي مركزها نقطة الأصل ، وبالتالي فإننا نكتب  $z = e^{i\theta}$  بحيث  $0 \leq \theta \leq 2\pi$  عند استخدام هذا التعويض والمعادلات المصاحبة

$$\sin \theta = \frac{z - z^{-1}}{2i}, \quad \cos \theta = \frac{z + z^{-1}}{2}, \quad d\theta = \frac{dz}{iz}, \quad (2)$$

يؤول التكامل (١) إلى التكامل الكفافي

$$\int_C F\left(\frac{z - z^{-1}}{2i}, \frac{z + z^{-1}}{2}\right) \frac{dz}{iz} \quad (3)$$

لدالة للمتغير  $z$  حول الدائرة  $C$  موجهة في الاتجاه الموجب . وبالطبع فالتكامل (١) صورة بارامترية للتكامل (٣) وذلك حسب الصيغة (٢) بند (٤٤) . عندما تكون الدالة المكاملة في التكامل (٣) دالة قياسية للمتغير  $z$  فإنه يمكننا حساب هذا التكامل باستخدام نظرية الباقي حال تحديدنا أصفار كثيرة الحدود في المقام شريطة أن لا ينتمى أى منها للدائرة  $C$  .

لتوضيح ذلك ، دعنا نثبت أن

$$\int_0^{2\pi} \frac{d\theta}{1 + a \sin \theta} = \frac{2\pi}{\sqrt{1 - a^2}} \quad (-1 < a < 1). \quad (4)$$

هذه العلاقة صحيحة بالطبع عندما  $a = 0$  ، ولذلك سنستبعد هذه الحالة من البرهان . باستخدام التعويضت (٢) ، يؤول التكامل المعطى إلى

$$\int_C \frac{2/a}{z^2 + (2i/a)z - 1} dz \quad (5)$$

حيث  $C$  هو الدائرة  $|z| = 1$  مع الاتجاه الدوراني الموجب . أصفار مقام الدالة المكاملة هي

$$z_1 = \left(\frac{-1 + \sqrt{1 - a^2}}{a}\right)i, \quad z_2 = \left(\frac{-1 - \sqrt{1 - a^2}}{a}\right)i.$$

وبالتالى فإنه يمكن التعبير عن الدالة المكاملة على أنها الدالة

$$f(z) = \frac{2/a}{(z - z_1)(z - z_2)}$$

لاحظ أن

$$|z_2| = \frac{1 + \sqrt{1 - a^2}}{|a|} > 1$$

وذلك حيث أن  $-1 < a < 1$ .. كذلك ، حيث أن  $|z_1 z_2| = 1$  ، ينتج أن  $|z_1| < 1$  . وبالتالى لا توجد نقط شاذة للدالة المكاملة تنتمى للدائرة  $C$  ، والنقطة الشاذة الوحيدة التى تنتمى لداخلية الدائرة  $C$  هي القطب البسيط  $z_1$  . باقى الدالة المكاملة المناظر لهذا القطب هو

$$B_1 = \lim_{z \rightarrow z_1} (z - z_1) f(z) = \frac{2/a}{z_1 - z_2} = \frac{1}{i\sqrt{1 - a^2}}$$

وبالتالى فإن

$$\int_C \frac{2/a}{z^2 + (2i/a)z - 1} dz = 2\pi i B_1 = \frac{2\pi}{\sqrt{1 - a^2}}$$

ومنها نحصل على قيمة التكامل (٤) كما هو مطلوب .

### ٧٥ - التكامل حول نقطة تفرع Integration Around a Branch Point

كتوضيح أخير لاستخدام نظرية الباقي فى حساب التكاملات الحقيقية سنعتبر الآن مثالا يتضمن نقط تفرع وفروع قاطعة .

افرض أن  $x^{-a}$  ، حيث  $0 < a < 1$  ،  $x > 0$  ، ترمز للقيمة الأساسية للدالة الأسية بالنسبة للأس المذكور ، أى أن  $x^{-a}$  هو العدد الحقيقى الموجب  $\exp(-a \text{Log } x)$  . سنقوم الآن بحساب التكامل الحقيقى المعتل

$$\int_0^\infty \frac{x^{-a}}{x+1} dx \quad (0 < a < 1) \quad (1)$$

وهذا التكامل ذو أهمية خاصة فى دراسة دالة جاما  $\Gamma(x)$  . يتحقق وجود هذا التكامل عندما  $0 < a < 1$  وذلك حيث أن الدالة المكاملة تتصرف مثل  $x^{-a}$  بالقرب من  $x=0$  ومثل  $x^{-a-1}$  عندما تؤول  $x$  إلى  $\infty$  .  
لحساب التكامل (١) نعتبر التكاملين الخطيين

$$\int_{C_1} f_1(z) dz, \quad \int_{C_2} f_2(z) dz$$

(١) انظر على سبيل المثال ص ٤ من كتاب ليبيدوف Lebedev المذكور فى ملحق (١)



حيث

$$f_1(z) = \frac{z^{-a}}{z+1} \quad \left( |z| > 0, -\frac{\pi}{2} < \arg z < \frac{3\pi}{2} \right),$$

$$f_2(z) = \frac{z^{-a}}{z+1} \quad \left( |z| > 0, \frac{\pi}{2} < \arg z < \frac{5\pi}{2} \right)$$

وحيث  $C_1, C_2$  هما الكفافان المغلقان البسيطان الموضحان في شكل (٥٢). في هذا

النشكل  $\rho < 1 < R$  الزاوية  $\phi$  مختارة بحيث  $\pi/2 < \phi < \pi$ .

لاحظ أن الدالة  $f_1$  تحليلية عند جميع نقط الكفاف  $C_1$  وداخليته وبالتالي فإن

$$\int_{C_1} f_1(z) dz = 0. \quad (٢)$$

بالإضافة إلى ذلك فإن الدالة  $f_2$  تحليلية لجميع نقط الكفاف  $C_2$  وداخليته فيما عدا عند

القطب البسيط  $z = -1$  الذي ينتمي إلى داخلية  $C_2$ . من تعريف الدالة  $f_2$

$$z^{-a} = \exp[-a(\text{Log } |z| + i \arg z)]$$

حيث  $\frac{\pi}{2} < \arg z < \frac{5\pi}{2}$  وباقي  $f_2$  عند القطب  $z = -1$  هو

$$\lim_{z \rightarrow -1} (z+1)f_2(z) = \lim_{z \rightarrow -1} z^{-a} = \exp(-a\pi i).$$

إذن

$$\int_{C_2} f_2(z) dz = 2\pi i \exp(-a\pi i). \quad (٣)$$

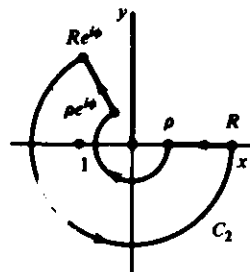
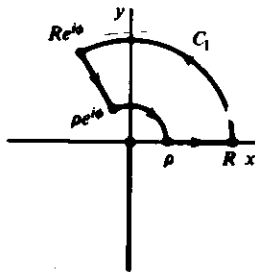
وحيث أن  $f_1(z) = f_2(z)$  على الشعاع  $\arg z = \phi$  يكون من الصحيح أن

$$\int_{C_1} f_1(z) dz + \int_{C_2} f_2(z) dz = \int_{\rho}^R f_1(x) dx - \int_{\rho}^R f_2(x) dx \quad (٤)$$

$$+ \int_{\Gamma_1} f_1(z) dz + \int_{\Gamma_2} f_2(z) dz + \int_{\gamma_1} f_1(z) dz + \int_{\gamma_2} f_2(z) dz$$

حيث  $\Gamma_k$  القوس الدائري الأكبر،  $\gamma_k$  القوس الدائري الأصغر من الكفاف المغلق

البسيط  $C_k$ ، حيث  $k = 1, 2$ ، الموضح في شكل (٥٢).



شكل (٥٢)

وعندما تنتمي  $z$  إلى  $\Gamma_k$  ( $k = 1, 2$ ) فإن

$$|f_k(z)| = \left| \frac{z^{-a}}{z+1} \right| \leq \frac{R^{-a}}{R-1};$$

فإن  $2\pi R$  حيث إن القوس  $\Gamma_k$  جزء من الدائرة التي محيطها

$$\left| \int_{\Gamma_k} f_k(z) dz \right| \leq \frac{R^{-a}}{R-1} 2\pi R.$$

إذن

$$\lim_{R \rightarrow \infty} \int_{\Gamma_k} f_k(z) dz = 0 \quad (k = 1, 2). \quad (5)$$

وعندما تنتمي  $z$  إلى  $\gamma_k$  ( $k = 1, 2$ ) فإن

$$|f_k(z)| = \left| \frac{z^{-a}}{z+1} \right| \leq \frac{\rho^{-a}}{1-\rho}$$

وبالتالي فإن

$$\left| \int_{\gamma_k} f_k(z) dz \right| \leq \frac{\rho^{-a}}{1-\rho} 2\pi\rho,$$

و

$$\lim_{\rho \rightarrow 0} \int_{\gamma_k} f_k(z) dz = 0 \quad (k = 1, 2). \quad (6)$$

من معادلة (٤) والنتائج السابق الحصول عليها في المعادلتين (٥) ، (٦) وكذلك المعادلتين (٢) ، (٣) ينتج أن

$$\lim_{\substack{R \rightarrow \infty \\ \rho \rightarrow 0}} \left( \int_{\rho}^R f_1(x) dx - \int_{\rho}^R f_2(x) dx \right) = 2\pi i \exp(-ani).$$

حيث أن

$$\begin{aligned} \int_{\rho}^R f_1(x) dx - \int_{\rho}^R f_2(x) dx &= \int_{\rho}^R \frac{1}{x+1} [e^{-a \text{Log } x} - e^{-a(\text{Log } x + 2\pi i)}] dx \\ &= \int_{\rho}^R \frac{x^{-a}}{x+1} (1 - e^{-2\pi ai}) dx, \end{aligned}$$

فإننا نحصل على

$$\lim_{\substack{R \rightarrow \infty \\ \rho \rightarrow 0}} \int_{\rho}^R \frac{x^{-a}}{x+1} dx = \frac{2\pi i \exp(-ani)}{1 - \exp(-2\pi ai)}.$$

أى أن

$$\int_0^{\infty} \frac{x^{-a}}{x+1} dx = \frac{\pi}{\sin a\pi} \quad (0 < a < 1).$$

## تمارين

استخدم البواق للتحقق من قيم التكاملات المعطاة :

$$\int_{-\pi}^{\pi} \frac{d\theta}{1 + \sin^2 \theta} = \pi\sqrt{2} \quad (\text{ب}) \quad ; \quad \int_0^{2\pi} \frac{d\theta}{5 + 4 \sin \theta} = \frac{2\pi}{3} \quad (\text{د}) \quad (1)$$

حيث  $-1 < a < 1$  ،

$$\int_0^{2\pi} \frac{d\theta}{1 + a \cos \theta} = \frac{2\pi}{\sqrt{1-a^2}} \quad (2)$$

$$\int_0^{2\pi} \frac{\cos^2 3\theta d\theta}{5 - 4 \cos 2\theta} = \frac{3\pi}{8} \quad (3)$$

حيث  $-1 < a < 1$  ،

$$\int_0^{\pi} \frac{\cos 2\theta d\theta}{1 - 2a \cos \theta + a^2} = \frac{\pi a^2}{1-a^2} \quad (4)$$

حيث  $a > 1$  ،

$$\int_0^{\pi} \frac{d\theta}{(a + \cos \theta)^2} = \frac{\pi a}{(a^2 - 1)^{3/2}} \quad (5)$$

حيث  $n = 1, 2, \dots$  ،

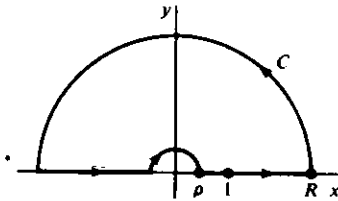
$$\int_0^{\pi} \sin^{2n} \theta d\theta = \frac{(2n)!}{2^{2n}(n!)^2} \pi \quad (6)$$

٧ استخرج الصيغة التكاملية

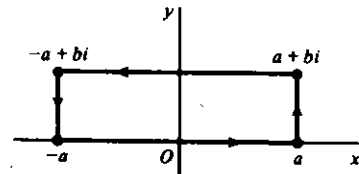
$$\int_0^{\infty} \exp(-x^2) \cos(2bx) dx = \frac{\sqrt{\pi}}{2} \exp(-b^2) \quad (b > 0)$$

وذلك بمكاملة الدالة  $\exp(-z^2)$  حول الحد المستطيل الموضح في شكل (٥٣) ثم إجعل  $a$  تتوول إلى  $\infty$  . استخدم حقيقة أن

$$\int_0^{\infty} \exp(-x^2) dx = \frac{\sqrt{\pi}}{2} .$$



شكل (٥٤)



شكل (٥٣)

٨ - تحقق من صحة الصيغ المعطاة

$$\int_0^{\infty} \frac{\text{Log } x}{(x^2 + 1)^2} dx = -\frac{\pi}{4} \quad (\text{ب}) \quad , \quad \int_0^{\infty} \frac{\text{Log } x}{x^2 + 1} dx = 0 \quad (\text{د})$$

اقترح : يمكن استخدام الكفاف المغلق البسيط الموضح بشكل (٥٤) مع نتائج تمارين (١) ، (٤) بند (٧٣) .

٩ - دالة بيتا Beta function هي دالة المتغيرين الحقيقيين :

$$B(p, q) = \int_0^1 t^{p-1} (1-t)^{q-1} dt \quad (p > 0, q > 0).$$

باستخدام التعويض  $t = 1/(x+1)$  واستخدام النتائج التي حصلنا عليها في بند (٧٥) اثبت أن

$$B(p, 1-p) = \frac{\pi}{\sin p\pi} \quad (0 < p < 1).$$

١٠ - بمعاونة الكفافات الموضحة في شكل (٥٢) استبسط الصيغ التكاملية التالية :

$$x^{-1/2} = \exp(-\frac{1}{2} \text{Log } x) \quad \text{حيث} \quad \int_0^{\infty} \frac{x^{-1/2}}{x^2+1} dx = \frac{\pi}{\sqrt{2}} \quad (\text{أ})$$

$$-1 < a < 3, x^a = \exp(a \text{Log } x). \quad \text{حيث} \quad \int_0^{\infty} \frac{x^a}{(x^2+1)^2} dx = \frac{\pi}{4} \frac{1-a}{\cos(a\pi/2)} \quad (\text{ب})$$

١١ - استبسط تمهيدية جوردان Jordan's Lemma :

$$\int_0^{\pi/2} e^{-R \sin \theta} d\theta < \frac{\pi}{2R} \quad (R > 0).$$

اقترح : لاحظ أولاً أن  $\sin \theta \geq 2\theta/\pi$  عندما  $0 \leq \theta \leq \pi/2$  وذلك من منحنى دالة الجيب . بعد ذلك اكتب  $\exp(-R \sin \theta) \leq \exp(-2R\theta/\pi)$

١٢ - تكاملات فريسنل Fresnel Integrals :

$$\int_0^{\infty} \cos(x^2) dx = \int_0^{\infty} \sin(x^2) dx = \frac{\sqrt{\pi}}{2\sqrt{2}}$$

تلعب دوراً هاماً في نظرية الحيود (أو الانكسار) Diffraction Theory . باعتبار أن

$$\int_0^{\infty} \exp(-x^2) dx = \frac{\sqrt{\pi}}{2},$$

أوجد قيمة تكاملات فريسنل بمكاملة الدالة  $\exp(iz^2)$  حول حد القطاع  $0 \leq r \leq R$  ،  $0 \leq \theta \leq \pi/4$  ثم اجعل  $R \rightarrow \infty$  . استخدم تمهيدية جوردان ( تمرين (١١) ) لإثبات أن قيمة التكامل على طول القوس الدائري  $r=R$  ،  $0 \leq \theta \leq \pi/4$  تتؤول للصفر عندما يتؤول  $R$  إلى  $\infty$  .

١٣ - نفرض أن النقطة  $z = x_0$  على محور السينات قطب بسيط للدالة  $f$  وأن  $B_0$  باقي

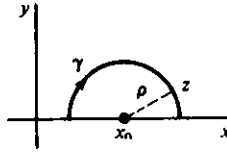
$f$  عند هذا القطب . نفرض أن  $\gamma$  النصف العلوي من الدائرة  $|z - x_0| = \rho$

( شكل ٥٥ ) موجهة ضد عقرب الساعة ، حيث  $\rho$  صغيرة صغراً كافياً بدرجة تجعل  $f$  تحليلية لجميع نقاط داخلية الدائرة ومحيطها فيما عدا عند القطب  $x_0$  . لاحظ أن

$$f(z) = \frac{B_0}{z - x_0} + g(z) \quad (0 < |z - x_0| < \rho)$$

حيث  $g$  دالة تحليلية ، وبالتالي متصلة ، لجميع نقاط الجوار  $|z - x_0|$  ، اثبت أن

$$\lim_{\rho \rightarrow 0} \int_{\gamma} f(z) dz = -B_0 \pi i.$$



شكل (٥٥)

$$\int_0^{\infty} \frac{\sin x}{x} dx = \frac{\pi}{2}$$

تلب دورا هاما في نظرية متسلسلات فورييه<sup>(١)</sup> Fourier Series . استبسط هذه الصيغة بمكاملة  $e^{z/z}$  حول الكفاف المغلق البسيط C الموضح بشكل (٥٤) ثم اجعل R يؤول إلى  $\infty$  و  $\rho$  يؤول إلى الصفر . استخدم تمهيدية جوردان ( تمرين (١١) ) لإثبات أن قيمة التكامل على طول نصف الدائرة  $z = Re^{i\theta}$   $0 \leq \theta \leq \pi$  تقترب من الصفر عندما يؤول R إلى  $\infty$  . كذلك استخدم تمرين (١٣) لإثبات أن قيمة التكامل على امتداد نصف الدائرة الصغرى الموضحة بشكل (٥٤) تقترب من  $-\pi i$  عندما يؤول  $\rho$  إلى الصفر .

١٤ - الصيغة التكاملية

$$\int_0^{\infty} \frac{\sin^2 x}{x^2} dx = \frac{\pi}{2}$$

١٥ - استبسط صيغة التكامل

اقترح : لاحظ أن  $2 \sin^2 x = \operatorname{Re}(1 - e^{i2x})$  وكامل الدالة  $(1 - e^{i2z})/z^2$  حول الكفاف الموضح بشكل (٥٤)

١٦ - تكامل الدالة

$$f(x) = \frac{1}{x(x^2 - 4x + 5)}$$

على فترة تحتوي نقطة الأصل لا يتحقق وجوده . اثبت أن القيمة الأساسية لتكامل هذه الدالة على طول محور السينات بأكمله ، أي

$$\text{P.V.} \int_{-\infty}^{\infty} f(x) dx = \lim_{\rho \rightarrow 0} \left[ \int_{-\infty}^{-\rho} f(x) dx + \int_{\rho}^{\infty} f(x) dx \right]$$

حيث  $\rho > 0$  . لها وجود . اوجد هذه القيمة باستخدام الكفاف الموضح بشكل (٥٤) والنتيجة لسابق الحصول عليها في تمرين (١٣) .

الإجابة :  $2\pi/5$ 

(١) انظر كتاب ر. في. تشرشل R.V. Churchill المعنون

"Fourier Series and Boundary Value Problems"

هسأ إدرفف الربفبف

مأاف للأأمفل أؤمن مأمومة كبففة من المأمبوعات من صفأة  
مكأبف الأاصة  
على موقع ارشفف الأأنرنأ  
الرابأ

[https://archive.org/details/@hassan\\_ibrahem](https://archive.org/details/@hassan_ibrahem)

# الفصل الثامن

## الراسم الحافظ للزاوية الموجهة

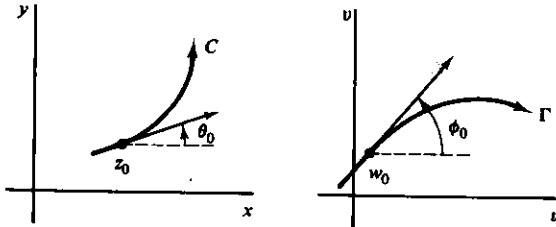
### Conformal Mapping

في هذا الباب سنقدم مفهوم الراسم الحافظ للزاوية الموجهة ثم نستنبط بعض النتائج المتعلقة بسلوك الدوال التي تكون توافقية في داخلية منطقة ما وقابلة للاشتقاق على حد هذه المنطقة تحت تغيير للمتغيرات يتعين بمثل هذه الرواسم . وفي الباب التالي سنعطى بعض التطبيقات لهذه النتائج .

#### ٧٦ - خواص أساسية Basic Properties

دعنا نفحص التغيرات الناتجة في اتجاهات المنحنيات المارة بنقطة  $z_0$  تحت تأثير التحويلة  $w = f(z)$  عندما تكون الدالة  $f$  تحليلية عند  $z_0$  و  $f'(z_0) \neq 0$  .  
نفرض أن  $C$  قوس أملس مار بالنقطة  $z_0$  . إذا كان  $z(t) = x(t) + iy(t)$  ،  $a \leq t \leq b$  ،  
تمثيلاً بارامترياً للقوس  $C$  فإن  $w(t) = f[z(t)]$  ،  $a \leq t \leq b$  ، يكون تمثيلاً بارامترياً للقوس  $\Gamma$   
صورة  $C$  بالتحويلة  $w = f(z)$  . تبعا لقاعدة السلسلة المعطاة في تمرين (٧) بند (٤٣)  
نعلم أن

$$w'(t) = f'[z(t)]z'(t). \quad (1)$$



$$\phi_0 = \psi_0 + \theta_0.$$

شكل (٥٦)

إذن ، عندما يقع القوس  $C$  في نطاق يحوى النقطة  $z_0$  وتكون فيه الدالة  $f$  تحليلية و  $f'(z) \neq 0$  فإن الصورة  $\Gamma$  للقوس  $C$  تكون أيضاً قوساً أملساً . وعلاوة على ذلك ، فإننا نحصل من المعادلة (١) على العلاقة

$$\arg w'(t) = \arg f'[z(t)] + \arg z'(t). \quad (2)$$

زاوية ميل خط موجه مماس للقوس  $C$  عند النقطة  $z_0 = z(t_0)$  ، هي أى قيمة  $\theta_0$  من قيم  $\arg z'(t_0)$  ( بند (٤٣) ) . إذا كانت  $\psi_0$  إحدى قيم  $\arg f'(z_0)$  فإن المقدار

$$\phi_0 = \psi_0 + \theta_0$$

يكون قيمة من قيم  $\arg w'(t_0)$  وذلك تبعا للمعادلة (٢) وبالتالى تكون هذه القيمة هي زاوية ميل الخط الموجه المماس للقوس  $\Gamma$  عند النقطة  $w_0 = f(z_0)$  ( شكل (٥٦) ) . إذن ، عندما تكون دالة  $f$  تحليلية عند نقطة ما  $z_0$  و  $f'(z_0) \neq 0$  فإن الخط الموجه

المماس لقوس أملس  $C$  عند  $z_0$  يدور بزاوية مقدارها

$$\psi_0 = \arg f'(z_0) \quad (٣)$$

تحت تأثير التحويلة  $w = f(z)$  .

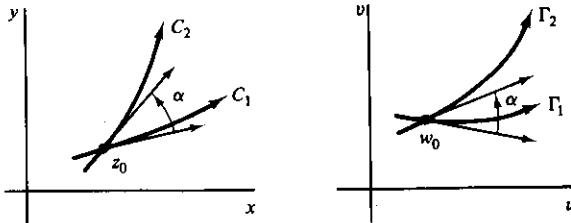
افرض أن قوسان أملسان ماران بالنقطة  $z_0$  وأن  $\theta_1$  و  $\theta_2$  هما زاويتا ميلي المستقيمين الموجهين المماسين للقوسين  $C_1, C_2$  على الترتيب عند  $z_0$  . مما ذكر أعلاه ينتج أن

$$\phi_1 = \psi_0 + \theta_1 \quad \phi_2 = \psi_0 + \theta_2$$

هما زاويتا ميلي المستقيمين الموجهين المماسين للصور  $\Gamma_1, \Gamma_2$  للقوسين  $C_1$  و  $C_2$  على الترتيب عند النقطة  $w_0 = f(z_0)$  . إذن  $\phi_2 - \phi_1 = \theta_2 - \theta_1$  أى أن الزاوية  $\phi_2 - \phi_1$  من  $\Gamma_1$  إلى  $\Gamma_2$  لها نفس مقدار واتجاه الزاوية  $\theta_2 - \theta_1$  من  $C_1$  إلى  $C_2$  . هاتان الزاويتان يرمز لهما بالرمز  $\alpha$  فى شكل (٥٧) .

يقال لراسم يحفظ مقدار واتجاه الزاوية بين أى قوسين أملسين مارين بنقطة معينة أنه راسم حافظ للزاوية الموجهة **Conformal mapping** عند هذه النقطة . ما سبق استنباطه يمكن صياغته فى النظرية التالية .

نظرية : عند كل نقطة  $z$  تكون عندها  $f$  تحليلية وبحيث  $f'(z) \neq 0$  يكون الراسم  $w = f(z)$  حافظا للزاويا الموجهة .



شكل (٥٧)



فيما يلي عندما نقول راسم حافظ للزوايا الموجهة أو تحويلة حافظة للزوايا الموجهة فإننا سنعنى الرسم بدالة تحليلية معرفة على نطاق لا تنعدم مشتقة الدالة عند أى من نقطة .

يقال للراسم الذى يحفظ مقدار الزاوية وليس بالضرورة اتجاهها أنه راسم حافظ للزوايا *Isogonal* . التحويلة  $w = \bar{z}$  انعكاس بالنسبة للمحور الحقيقى وهى تحويلة حافظة للزوايا ولكنها ليست حافظة للزوايا الموجهة . وإذا أتبعنا هذه التحويلة بتحويلة حافظة للزوايا الموجهة فإن التحويلة الناتجة  $w = f(\bar{z})$  تكون أيضاً حافظة للزوايا ولكن ليست حافظة للزوايا الموجهة .

افرض أن  $f$  ليست دالة ثابتة وتحليلية عند نقطة ما  $z_0$  . إذا كانت  $f'(z_0) = 0$  فإن  $z_0$  يقال لها **نقطة حرجة Critical Point** للدالة  $f$  . فمثلا النقطة  $z = 0$  نقطة حرجة للتحويلة  $w = z^2$  .

هذه التحويلة ترسم الشعاع  $\theta = c$  الذى رأسه النقطة  $z = 0$  فوق الشعاع  $\phi = 2c$  الذى رأسه النقطة  $w = 0$  . من هذا نرى أن مقدار الزاوية بين أى شعاعين رأسهما النقطة الحرجة  $z = 0$  يتضاعف تحت تأثير هذه التحويلة .

وبصفة عامة ، يمكن تبيان أنه إذا كانت  $z_0$  نقطة حرجة للتحويلة  $w = f(z)$  فإنه يوجد عدد صحيح موجب  $m$  بحيث يكون مقدار صورة الزاوية بين قوسين أملسين مارين بالنقطة  $z_0$  بالتحويلة  $w = f(z)$  يساوى  $m$  من المرات مقدار الزاوية بين القوسين . العدد الصحيح  $m$  أصغر عدد صحيح موجب بحيث  $f^{(m)}(z_0) \neq 0$  . وستترك تفاصيل إثبات ذلك كتمرين للقارئ .

### ٧٧ - خواص إضافية وأمثلة Further properties and Examples

إذا كانت صورتنا منحنين براسم حافظ للزوايا الموجهة متعامدتين فإن هذين المنحنين لا بد وأن يكونا متعامدين . وعلى سبيل الخصوص ، إذا كانت التحويلة

$$u + iv = f(x + iy)$$

حافظة للزوايا الموجهة عند نقطة  $(x_0, y_0)$  وإذا كانت  $u_0 + iv_0 = f(x_0 + iy_0)$  فإن المنحنيات المستوية  $u(x, y) = u_0$  ،  $v(x, y) = v_0$  ترسم إلى الخطوط المستقيمة المتعامدة  $u = u_0$  ،  $v = v_0$  على الترتيب . وبالتالي لا بد وأن تكون هذه المنحنيات المستوية متعامدة ( قارن تمرين (١٣) بند (٢٠) ) .

خاصية أخرى لتحويلة  $w = f(z)$  حافظة للزوايا الموجهة عند نقطة  $z_0$  يمكن الحصول

عليها عند أخذ مقياس  $f'(z_0)$  في الاعتبار . من تعريف المشتقات وخاصة (٨) بند (١٢) للنهايات نعلم أن

$$|f'(z_0)| = \lim_{z \rightarrow z_0} \frac{|f(z) - f(z_0)|}{|z - z_0|}$$

من هذا يتضح أن الطول  $|z - z_0|$  للقطعة المستقيمة الصغيرة التي إحدى نقطتي نهايتها  $z_0$  يزيد أو ينقص تقريبا بالمعامل  $|f'(z_0)|$  تحت تأثير التحويلة  $w = f(z)$  وذلك لأن  $|f(z) - f(z_0)|$  هو طول القطعة المستقيمة المناظرة في المستوى المركب  $w$  . بالإضافة إلى ذلك فإن صورة منطقة صغيرة في جوار ما للنقطة  $z_0$  يكون لها تقريبا نفس شكل المنطقة الأصلية . كل من زاوية الدوران  $\psi_0$  المعطاة بالمعادلة (٣) بند (٧٦) والمعامل القياسي  $|f'(z_0)|$  لتحويلة حافظة للزوايا الموجهة يتغير عموما من نقطة لأخرى وبالتالي فإن منطقة كبيرة قد ترسم إلى منطقة لا تحمل أى نوع من التشابه مع المنطقة الأصلية .

التحويلة  $w = f(z)$  الحافظة للزوايا الموجهة عند نقطة  $z_0$  لها معكوس محلي **Local inverse** هناك . أى أنه إذا كانت  $w_0 = f(z_0)$  فإنه يوجد نطاقين مستطيلين  $R, S$  مراكزهما عند  $z_0, w_0$  على الترتيب بحيث تناظر كل نقطة  $w \in R$  نقطة وحيدة  $z \in R$  تحقق  $w = f(z)$  . التحويلة العكسية ، التي يرمز لها بالرمز  $z = g(w)$  ، تحليلية عند  $w_0$  ومشتقتها هناك تعطى بالصيغة

$$g'(w_0) = \frac{1}{f'(z_0)} \quad (1)$$

تحقق وجود مثل هذه الدالة العكسية ينتج مباشرة من نتيجة في حساب التفاضل والتكامل للمتغيرات الحقيقية<sup>(١)</sup> . وسنذكر هنا هذه النتيجة ونترك تفصيلات تطبيقاتها للتأريين . إفرض أن الدالتين

$$u = u(x, y), \quad v = v(x, y) \quad (2)$$

متصلتين في جوار ما لنقطة  $(x_0, y_0)$  في المستوى  $x, y$  وأن لهما مشتقات جزئية أولى متصلة عند جميع نقط هذا الجوار . هاتين الدالتين تمثلان تحويلة إلى المستوى  $u, v$  ونفرض بالإضافة إلى ذلك أن جاكوبى التحويلة :

$$J(x, y) = \begin{vmatrix} u_x(x, y) & u_y(x, y) \\ v_x(x, y) & v_y(x, y) \end{vmatrix} = u_x(x, y)v_y(x, y) - v_x(x, y)u_y(x, y)$$

لاينعدم عند  $(x_0, y_0)$  . وبالتالي إذا كان  $u_0 = u(x_0, y_0)$  و  $v_0 = v(x_0, y_0)$  فإنه يوجد نطاقان مستطيلان  $R, S$  مركزيهما  $(u_0, v_0)$  و  $(x_0, y_0)$  على الترتيب بحيث تناظر كل نقطة  $(u, v) \in S$  نقطة وحيدة  $(x, y) \in R$  بحيث  $u = u(x, y)$  و  $v = v(x, y)$  . وهذا يمكننا من تعريف الدوال العكسية

(١) انظر على سبيل المثال كتاب **Advanced Calculus** تأليف **A.E. Taylor, W.R. Mann** الطبعة الثانية ص ٢٥١ - ٢٥٢ ، ١٩٧٢ .

$$x = x(u,v), \quad y = y(u,v) \quad (٣)$$

على  $S$ . هذه الدوال متصلة ولها مشتقات جزئية أولى متصلة تحقق الشروط

$$\begin{aligned} x_u(u,v) &= \frac{1}{J(x,y)} v_y(x,y), & x_v(u,v) &= -\frac{1}{J(x,y)} u_y(x,y), \\ y_u(u,v) &= -\frac{1}{J(x,y)} v_x(x,y), & y_v(u,v) &= \frac{1}{J(x,y)} u_x(x,y), \end{aligned} \quad (٤)$$

حيث النقط  $(u,v), (x,y)$  مرتبطة بالمعادلات (٢) ، (٣) .

لاحظ أنه بالرغم من أن التحويلة الحافظة للزوايا الموجهة أحادية في جوار ما لكل نقطة من نقاط نطاق تعريفها إلا أنها لا تكون بالضرورة أحادية في نطاق التعريف بأكمله . كمثال على ذلك الدالة  $w = z^2$  الحافظة للزوايا الموجهة في النطاق  $1 < |z| < 2$  والتي لا تكون أحادية في هذا النطاق .

لاحظ ان كل من الدوال البسيطة التي درسناها في الباب الرابع تحليلية في نطاق ما . وبالتالي فإن التحويلات المعرفة بهذه الدوال تكون حافظة للزوايا الموجهة عند كل نقطة تكون عندها الدالة تحليلية وليست نقطة حرجة (بند (٧٦) ) . وكمثال توضيحي ، التحويلة

$$w = z^2 = x^2 - y^2 + i2xy$$

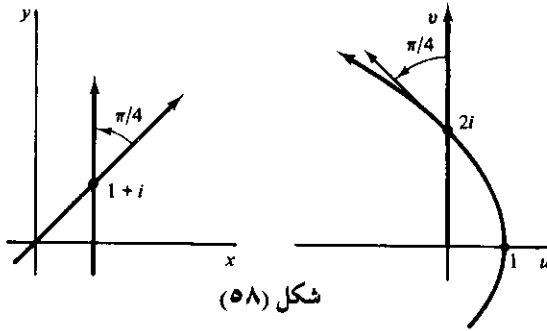
حافظة للزوايا عند النقطة  $z = 1 + i$  حيث يتقاطع المستقيمان  $y = x, x = 1$  الخط المستقيم  $y = x$  يرسم إلى الشعاع  $u = 0, v \geq 0$  ويرسم الخط المستقيم  $x = 1$  إلى المنحنى الذي يمثل بارامتريا بالمعادلات

$$u = 1 - y^2, \quad v = 2y$$

هذا المنحنى الأخير هو القطع المكافئ  $v^2 = -4(u - 1)$  (شكل (٥٨) ) . إذا اعتبر اتجاه تزايد  $y$  على أنه الاتجاه الموجب لكلا المستقيمين في المستوى المركب  $z$  فإن مقياس الزاوية الموجهة من الخط المستقيم  $y = x$  إلى الخط المستقيم  $x = 1$  يساوى  $\pi/4$  . عندما  $y > 0$  فإن تزايد  $y$  على امتداد الخط المستقيم  $y = x$  يستتبعه تزايد  $v$  على امتداد الخط المستقيم  $u = 0$  ، وذلك لأن  $v = 2y^2$  وبالتالي يكون الاتجاه الموجب لصورة المستقيم  $y = x$  إلى أعلى عندما  $y > 0$  . وهذا صحيح أيضاً بالنسبة للقطع المكافئ ، كما يتضح من المعادلة البارامترية الثانية  $v = 2y$  . من هذا يمكننا استنباط أن مقياس الزاوية الموجهة من صورة المستقيم  $y = x$  إلى صورة المستقيم  $x = 1$  عند النقطة  $w = 2i$  ( هذه النقطة هي صورة النقطة  $z = 1 + i$  ) يساوى  $\pi/4$  كما هو مطلوب .

لاحظ أن زاوية دوران التحويلة  $w = z^2$  عند النقطة  $z = 1 + i$  هي إحدى قيم

.  $2\sqrt{2}$  . المعامل القياسي عند هذه النقطة يساوى  $\pi/4$  أو  $\arg [2(1 + i)]$ .



شكل (٥٨)

### تمارين

١ - عين زاوية الدوران عند النقطة  $z = 2 + i$  بالتحويل  $w = z^2$  . وضح بيانياً زاوية الدوران لمنحنى خاص . اثبت أن المعامل القياسي لهذه التحويل عند النقطة المعطاة يساوى  $2\sqrt{5}$ .

٢ - عين زاوية الدوران بالتحويل  $w = 1/z$

(أ) عند النقطة  $z = 1$  (ب) عند النقطة  $z = i$

الأجوبة : (أ)  $\pi$  (ب) صفر

٣ - اثبت أن صور المستقيمين  $y = x - 1$  و  $y = 0$  بالتحويل  $w = 1/z$  هي الدائرة  $u^2 + v^2 - u - v = 0$  والخط المستقيم  $v = 0$  على الترتيب. ارسم هذه المنحنيات وعين الاتجاهات المتناظرة عليها وتحقق من أن هذه التحويل تكون حافظة للزوايا الموجهة عند النقطة  $z = 1$ .

٤ - إثبت أن زاوية الدوران عند النقطة الغير صفرية  $z_0 = r_0 \exp(i\theta_0)$  بالتحويل  $w = z^n$  حيث  $n$  عدد صحيح موجب ، تساوى  $(n-1)\theta_0$  . عين المعامل القياسي لهذه التحويل عند النقطة المعطاة .

الإجابة :  $nr_0^{n-1}$

٥ - اثبت أن التحويل  $w = \exp z$  حافظة للزوايا الموجهة عند جميع النقط في المستوى المركب . لاحظ أن صور القطع المستقيمة الموجهة الميئة بشكلى (٧) ، (٨) ملحق (٢) تحقق هذا .

٦ - اثبت أن التحويل  $w = \sin z$  حافظة للزوايا الموجهة عند جميع النقط عدا  $z = (2n-1)\pi/2$  ، حيث  $n = 0, \pm 1, \pm 2, \dots$  . لاحظ أن صور القطع المستقيمة الموجهة الميئة بالأشكال (٩) ، (١٠) ، (١١) ملحق (٢) تحقق هذا .

٧ - افرض أن  $w = f(z)$  تحويل حافظة للزوايا الموجهة عند  $z_0$  . اكتب  $f(z) = u(x,y) + iv(x,y)$  واستخدم نتائج حساب التفاضل والتكامل للمتغيرات

الحقيقية المذكورة في بند (٧٧) لإثبات أن الدالة  $f$  يكون لها معكوس محلي  $g$  عند  $z_0$  وتحليله عند  $f(z_0)$ .

إقتراح : عبر أولاً عن التحويلة  $w=f(z)$  بدلالة معادلتى (٢) بند (٧٧) لتبين أن الجاكوبى لا ينعدم عند  $(x_0, y_0)$  ، استخدم معادلتى كوشى - ريمان لإثبات أن قيمته عند النقطة  $z_0$  تساوى  $|f'(z_0)|^2$  . بعد ذلك عرف  $g$  بدلالة معادلتى (٣) بند (٧٧) واستخدم الشروط (٤) لإثبات أن المشتقات الجزئية الأولى لهاتين الدالتين تحقق معادلتى كوشى - ريمان عند النقطة  $(u_0, v_0)$  .

٨ - إثبت أنه إذا كانت  $z = \theta(w)$  المعكوسة المحلية للتحويلة  $w=f(z)$  الحافظة للزوايا الموجهة عند النقطة  $z_0$  ، فإن

$$g'(w_0) = \frac{1}{f'(z_0)}$$

حيث  $w_0=f(z_0)$  لاحظ أن وجود  $g'(w_0)$  يتحقق من تمرين (٧) وأن الصيغة المعطاة أعلاه تبين ان  $g$  تكون في الواقع حافظة للزوايا الموجهة عند  $w_0$  .

٩ - اقتراح : اكتب  $\theta[f(z)]=z$  ثم طبق قاعدة السلسلة لإيجاد مشتقات الدوال الاصلية . أوجد المعكوسة المحلية للتحويلة  $w = \exp z$  عند النقطة (أ)  $z_0=0$  ; (ب)  $z_0=2\pi i$  ثم حقق صيغة (١) بند (٧٧) لتفاضل المعكوسة المحلية التى حصلنا عليها في تمرين (٨) .

الاجوبة : (أ)  $\text{Log } w$  (ب)  $\text{Log } w + 2\pi i$  .

١٠ - افرض أن  $z_0$  نقطة حرجة للدالة  $f$  وأن  $m$  أصغر عدد صحيح موجب بحيث  $f^{(m)}(z_0) \neq 0$  . افرض أن  $\Gamma$  هي صورة القوس الأملس  $C$  بالتحويلة  $w=f(z)$  كما هو موضح بشكل (٥٦) . إثبت أن زاويتي الميل تحققان الآن العلاقة

$$\phi_0 = m\theta_0 + \arg [f^{(m)}(z_0)].$$

ومن ثم إثبت أنه إذا كانت  $\alpha$  ترمز للزاوية بين القوسين الأملسين  $C_1, C_2$  كما هو موضح بشكل (٥٧) فإن الزاوية المناظرة بين الصورتين ، هي  $\beta = m\alpha$  .

إقتراح : من مفكوك تايلور للدالة  $f$  عند  $z_0$  نحصل على العلاقة

$$\arg [f(z) - f(z_0)] = m \arg (z - z_0) + \arg \left[ \frac{f^{(m)}(z_0)}{m!} + \frac{f^{(m+1)}(z_0)}{(m+1)!} (z - z_0) + \dots \right].$$

ثم نستخدم حقيقة أن زاوية ميل القوس  $C$  عند  $z_0$  وزاوية ميل صورته  $\Gamma$  عند  $f(z_0)$  هما نهايتى  $\arg [f(z) - f(z_0)]$  ,  $\arg (z - z_0)$  على الترتيب عندما تقترب  $z$  من  $z_0$  على امتداد القوس  $C$  .

## ٧٨ - المرافقات التوافقية Harmonic Conjugates

لاحظنا في بند (٢٠) أنه إذا كانت

$$f(z) = u(x,y) + iv(x,y)$$

دالة تحليلية في نطاق ما  $D$  ، فإن الدالة الحقيقية  $v(x,y)$  تكون المرافق التوافقي للدالة الحقيقية  $u(x,y)$  . أى أن ، الدالتين  $u(x,y), v(x,y)$  توافقيتان في  $D$  وتحقق مشتقاتهما الجزئية الأولى معادلتى كوشى - ريمان

$$u_x(x,y) = v_y(x,y), \quad u_y(x,y) = -v_x(x,y) \quad (1)$$

عند جميع نقط  $D$ .

سنبين الآن أنه إذا كانت  $u(x,y)$  دالة توافقية معطاة معرفة على نطاق بسيط الترابط  $D$  ، فإنه يوجد دائما مرافق توافقي لها . لإثبات ذلك ، سنعتبر أولا التكامل الخطى

$$\int_{(x_0,y_0)}^{(x,y)} -u_r(r,t) dr + u_t(r,t) dt \quad (2)$$

حيث مسار التكامل أى كفاف يقع في  $D$  ويصل النقطة الثابتة  $(x_0,y_0)$  بنقطة متغيرة  $(x,y)$  . سنستخدم  $r,t$  كمتغيرات التكامل وذلك للتمييز بينهما وبين المتغيرات التى تظهر في الحد الأعلى للتكامل . الصيغة المقترحة للتكامل (٢) تولدت من حقيقة أنه إذا كانت  $v$  مرافقة توافقية للدالة  $u$  فإن

$$dv = v_x dx + v_y dy = -u_y dx + u_x dy.$$

وحيث أن  $u$  توافقية على  $D$  فإنها تحقق معادلة لابلاس :

$$u_{xx}(x,y) + u_{yy}(x,y) = 0,$$

التي ينتج منها أن المشتقة الجزئية للدالة  $-u_y(x,y)$  بالنسبة للمتغير  $y$  تساوى المشتقة الجزئية للدالة  $u_x(x,y)$  بالنسبة للمتغير  $x$  . أى أن الدالة الكاملة في التكامل (٢) تفاضل تام (!) من هذا يتضح أن التكامل (٢) لا يعتمد على المسار المختار وبالتالي يعرف دالة حقيقية

$$v(x,y) = \int_{(x_0,y_0)}^{(x,y)} -u_r(r,t) dr + u_t(r,t) dt \quad (3)$$

في المتغيرين  $x,y$  ( الحد الأعلى للتكامل ) .

بقى الآن أن نثبت أن  $v(x,y)$  مرافق توافقي للدالة  $u(x,y)$  . من صيغ التفاضل للتكاملات الخطية ذات حد أعلى متغير للتكامل ، بحساب التفاضل والتكامل للمتغيرات الحقيقية ، نحصل على

$$v_x(x,y) = -u_y(x,y), \quad v_y(x,y) = u_x(x,y) \quad (4)$$

المعادلتان (٤) هما معادلتا كوشى - ريمان (١) . وحيث أن المشتقات الجزئية الأولى

(١) لمزيد من التفاصيل عن التفاضلات التامة التى استخدمت هنا انظر على سبيل المثال كتاب Advanced Calculus تأليف A.E. Taylor, W.R. Mann ، الطبعة الثانية ص ٤٩٥ -

للدالة  $u(x,y)$  متصلة فيتضح من (٤) أن المشتقات الجزئية الأولى للدالة  $v(x,y)$  متصلة أيضاً . وبالتالي فإن  $u(x,y) + iv(x,y)$  تكون دالة تحليلية في النطاق  $D$  ( بند (١٧) ) وهذا بدوره يثبت أن  $v$  مرافق توافقى للدالة  $u$  .

الدالة  $v$  المعرفة بالصيغة (٣) ليست بالطبع هي المرافق التوافقى الوحيد للدالة  $u$  . وذلك لأن الدالة  $v(x,y) + c$  ، حيث  $c$  ثابت اختياري حقيقي ، مرافق توافقى أيضاً للدالة  $u$  .

لتوضيح ما ذكر اعلاه ، اعتبر الدالة  $u(x,y) = xy$  التوافقية على المستوى  $xy$  بأكمله . من المعادلة (٣) ، الدالة

$$v(x,y) = \int_{(0,0)}^{(x,y)} -r dr + t dt$$

مرافق توافقى للدالة  $u(x,y)$  . يمكن إيجاد قيمة هذا التكامل بالتجربة ، كما يمكن كذلك إيجاد قيمته بمكاملته أولاً على امتداد المسار الأفقى من نقطة الأصل إلى النقطة  $(x,0)$  ثم مكاملته بعد ذلك على امتداد المسار الرأسى من  $(x,0)$  إلى النقطة  $(x,y)$  . وعموماً فإن ناتج هذا التكامل هو

$$v(x,y) = -\frac{1}{2}x^2 + \frac{1}{2}y^2,$$

والدالة التحليلية المناظرة هي

$$f(z) = xy - \frac{i}{2}(x^2 - y^2) = -\frac{i}{2}z^2.$$

### ٧٩ - تحويلات الدوال التوافقية Transformations of Harmonic Functions

تعتبر مسألة إيجاد دالة توافقية في نطاق معين وتحقق خواصا محددة على حد هذا النطاق من المسائل الأساسية في الرياضيات التطبيقية . إذا كانت قيم الدالة محددة على حد النطاق فإن المسألة تعرف بمسألة شروط حدية من النوع الأول أو مسألة دريشلت **Dirichlet problem** . وإذا كانت قيم مشتقة الدالة في الاتجاه العمودى محددة على حد النطاق فإن المسألة تعرف بمسألة شروط حدية من النوع الثانى أو مسألة نويمان **Neumann problem** . تعديلات في هذه الأنواع من الشروط الحدية أو مزيج منها قد تظهر كذلك .

كل دالة تحليلية تمدنا بزوج من الدوال التوافقية . فعلى سبيل المثال ، حيث أن الدالة  $-ie^{iz}$  - شاملة فإن مركبتها .

$$H(x,y) = e^{-y} \sin x, \quad G(x,y) = -e^{-y} \cos x \quad (1)$$

تكونان توافقيتان عند جميع النقط . الدالة  $H$  تحقق الشروط :

$$H_{xx}(x,y) + H_{yy}(x,y) = 0, \quad (2)$$

$$H(0,y) = 0, \quad H(\pi,y) = 0, \quad (3)$$

$$H(x,0) = \sin x, \quad \lim_{y \rightarrow \infty} H(x,y) = 0 \quad (٤)$$

وعليه فهي تشكل مسألة دريشلت للشريحة  $0 < x < \pi, y > 0$ . بالطبع ، نفس الدالة تحقق شروطا حدية أخرى لنفس النطاق ولنطاقات أخرى . فعلى سبيل المثال ، مشتقتها في الاتجاه العمودي  $H_x(x,y)$

تعدم على الخط المستقيم  $x = \pi/2$ .

أحياناً يمكن اكتشاف حل مسألة معطاة وذلك بالتعرف على كونها الجزء الحقيقي أو التخيلي لدالة تحليلية . ولكن نجاح هذا الأسلوب يعتمد على بساطة المسألة كما يتوقف كذلك على إلمامنا بالأجزاء الحقيقية والتخيلية لقدر كبير من الدوال التحليلية . سنعطى الآن إضافة هامة تساعد على حل مثل هذه المسائل .

نظرية : افرض أن الدالة التحليلية

$$f(z) = u(x,y) + iv(x,y)$$

ترسم نطاق  $D_z$  في المستوى المركب  $z$  فوق نطاق  $D_w$  في المستوى المركب  $w$  . إذا كانت

دالة توافقية معرفة على  $D_w$  ، فإن الدالة

$$H(x,y) = h[u(x,y), v(x,y)]$$

تكون توافقية في  $D_z$ .

البرهان الذى سنقدمه للنظرية المعطاة سيكون للحالة التى يكون فيها النطاق  $D_w$  بسيط الترابط ، وهذه فى الواقع هى الحالة التى تقابلنا غالباً فى التطبيقات . تذكر أن ، وذلك حسب البند السابق ، كل دالة توافقية  $h(u,v)$  معطاة يناظرها مرافق توافقى  $g(u,v)$  . إذن الدالة  $\Phi(w) = h(u,v) + ig(u,v)$  تكون توافقية فى النطاق  $D_w$  . حيث أن الدالة  $f(z)$  تحليلية فى النطاق  $D_z$  ، فإن الدالة المركبة  $\Phi[f(z)]$  تكون أيضاً تحليلية فى النطاق  $D_z$  . وبالتالي فإن الجزء الحقيقي  $h[u(x,y), v(x,y)]$  لهذه الدالة المركبة يكون دالة توافقية فى النطاق  $D_z$  .

ويجب أن ننوه إلى أن برهان النظرية المعطاة فى الحالة العامة التى لا يكون فيها النطاق  $D_w$  بالضرورة بسيط الترابط يمكن كتابته وذلك باستخدام قاعدة السلسلة للمشتقات الجزئية ، وستترك التفاصيل للقارئ كتمرين .

وكتوضيح للنظرية ، الدالة  $h(u,v) = e^{-v} \sin u$  توافقية فى النطاق  $D_w$  المكون من جميع نقط نصف المستوى العلوى  $v > 0$  . تحت تأثير التحويلة

$$w = z^2,$$

نجد أن  $v = 2xy; u = x^2 - y^2$  وبالإضافة إلى ذلك نجد أن النطاق  $D_z$  فى المستوى المركب  $z$  المكون من جميع نقط الربع الأول  $x > 0, y > 0$  من المستوى ترسم فوق النطاق



$D_w$  . إذن الدالة

$$H(x,y) = e^{-2xy} \sin(x^2 - y^2)$$

تكون توافقية في النطاق  $D_z$ .

كمثال توضيحي آخر ، دعنا نعتبر الدالة  $h(u,v) = v$  التوافقية على الشريحة  $-\pi/2 < v < \pi/2$ ,

ولاحظ أن التحويلة  $w = \text{Log } z$  ترسم نصف المستوى الأيمن  $x > 0$  فوق تلك الشريحة بكتابة

$$\text{Log } z = \text{Log } \sqrt{x^2 + y^2} + i \arctan \frac{y}{x},$$

حيث  $-\pi/2 < \arctan t < \pi/2$  ، فإننا نجد أن الدالة

$$H(x,y) = \arctan \frac{y}{x}$$

تكون توافقية في نصف المستوى  $x > 0$ .

### ٨٠ - تحويرات الشروط الحدية Transformations of Boundary Conditions

أن يكون لدالة ما أو لمشتقتها في الاتجاه العمودي قيما معينة على امتداد حد نطاق معين تكون فيه الدالة توافقية تمثل الشروط الحدية الأكثر شيوعا ، وذلك رغم أنها ليست الأنواع الهامة الوحيدة من الشروط الحدية . سنبين في هذا البند أن أنواعا معينة من هذه الشروط لا تتغير بالتغير الناشئ للمتغيرات عن تحويرات حافظة للزوايا الموجهة . في الباب التالي سنقوم باستخدام نتائج هذا البند للحصول على حلول لمسائل الشروط الحدية . الأسلوب الذي سيستخدم في الباب التالي هو تحويل أى مسألة شروط حدية معطاة في المستوى  $xy$  إلى مسألة أبسط في المستوى  $uv$  ثم استخدام نظريات هذا البند والبند السابق لكتابة حل المسألة الأصلية بدلالة الحل الذي حصلنا عليه في المسألة المبسطة .

افرض أن

$$f(z) = u(x,y) + iv(x,y) \quad (1)$$

دالة توافقية ترسم قوس  $c$  في المستوى المركب  $z$  فوق قوس  $\Gamma$  في المستوى المركب  $w$  ، وافرض أن  $h(u,v)$  دالة ما معرفة على  $\Gamma$  . اكتب

$$H(x,y) = h[u(x,y), v(x,y)]$$

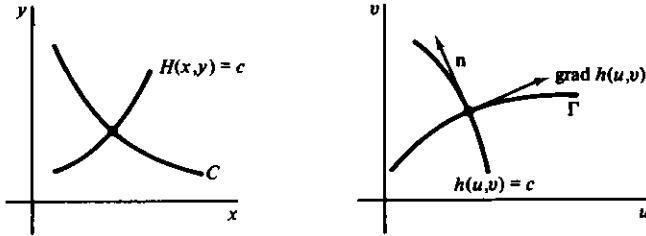
وافرض أن  $c$  أى عدد حقيقى . من الواضح أنه إذا كانت  $h(u,v) = c$  على  $\Gamma$  ، فإن  $H(x,y) = c$  على  $C$ .

بالإضافة إلى ذلك افرض أن  $f(z)$  تحويلة حافظة للزوايا الموجهة على  $C$  وأن  $h(u,v)$

فأبلة للاشتقاق على  $\Gamma$ . إذا انعدمت المشتقة  $dh/dn$ ، للدالة  $h(u,v)$  في الاتجاه العمودى، على امتداد  $\Gamma$  فإن مشتقة الدالة  $H(x,y)$  في الاتجاه العمودى تنعدم على امتداد  $C$ . لإثبات ذلك نذكر القارىء بما درسه في حساب التفاضل والتكامل للمتغيرات الحقيقية من أن متجه ميل Gradient الدالة  $h(u,v)$  تكون في اتجاهه المشتقة الاتجاهية للدالة  $h$  أكبر ما يمكن<sup>(١)</sup>. ويمكن التعبير عن هذا المتجه بدلالة مشتقتى الدالة  $h$  بالنسبة للمتغيرين  $u,v$  على الصورة

$$\text{grad } h(u,v) = h_u(u,v) + ih_v(u,v).$$

قيمة  $\text{grad } h(u,v)$  هي القيمة العظمى للمشتقة الاتجاهية، ومركبة  $\text{grad } h(u,v)$  في أى اتجاه هي قيمة المشتقة الاتجاهية للدالة  $h$  في هذا الاتجاه. من المعلوم كذلك أن متجه ميل الدالة  $h(u,v)$  عند نقطة ما عمودى على المنحنى المستوى  $h(u,v) = c$  المار بتلك النقطة.



شكل (٥٩)

اعتبر الآن أى نقطة على  $\Gamma$ . حيث أن  $dh/dn$  عند تلك النقطة هي مركبة متجه ميل الدالة  $h(u,v)$  عند النقطة المذكورة في اتجاه عمودى على  $\Gamma$  وحيث أن  $dh/dn = 0$  فإنه ينتج أن متجه الميل لا بد وأن يكون مماساً للمنحنى  $\Gamma$  (شكل ٥٩). ولكن متجه الميل عمودى على المنحنى المستوى  $h(u,v) = c$  المار بتلك النقطة، وبالتالي لا بد وأن يكون  $I$  عمودياً على هذا المنحنى المستوى. حيث أن  $w = f(z)$  تحويلة حافظة للزوايا الموجهة عند نقطة تقاطع  $C$  مع  $H(x,y) = c$  فلا بد وأن يتعامد المنحنيان. وبالتالي فإن مركبة متجه ميل الدالة  $H(x,y)$  في اتجاه عمودى على المنحنى  $C$  تنعدم. أى أن مشتقة الدالة  $H(x,y)$  في اتجاه العمود تنعدم عند كل نقطة من نقط  $C$ .

فيما ذكرنا أعلاه نلاحظ أننا افترضنا أن  $\text{grad } h(u,v) \neq 0$  إذا كان  $\text{grad } h(u,v) = 0$

(١) لمزيد من المعلومات عن خواص متجهات الميل المستخدمة هنا انظر، على سبيل المثال، كتاب Advanced Calculus تأليف A.E. Taylor, W.R. Mann، الطبعة الثانية، ص ٢٩٥ - ٢٩٨،

فينتج من تمرين ٩ (أ) بهذا البند أن  $\text{grad } H(x,y) = 0$  ، وبالتالي فإن  $dh/dn$  والمشتقة المناظرة للدالة  $H$  في اتجاه العمود تعدمان .

سنلخص فيما يلي هذه النتائج ونضعها في صورة تجعل من الممكن الاستفادة منها فيما يلي في التطبيقات .

نظرية : افرض أن

$$f(z) = u(x,y) + iv(x,y)$$

دالة تحليلية ترسم قوس  $C$  في المستوى المركب  $z$  فوق قوس  $\Gamma$  في المستوى المركب  $w$  . افرض كذلك أن  $f(z)$  حافظة للزوايا الموجهة على  $C$  وأن  $h(u,v)$  دالة قابلة للاشتقاق على  $\Gamma$  إذا حققت الدالة  $h(u,v)$  أى من الشرطين

$$\frac{dh}{dn} = 0 \quad \text{أو} \quad h = c$$

على طول  $\Gamma$  ، فإن الدالة

$$H(x,y) = h[u(x,y), v(x,y)]$$

تحقق الشرط المناظر على طول  $C$  .

أى شرط حدى مختلف عن النوعين الواردين في النظرية يمكن تحويله إلى شرط يختلف جوهريا عن الشرط الأصلي . في أى حالة يمكن الحصول على شروط حدية جديدة للمسألة المحولة وذلك بتحويلات خاصة . ومن المفيد أن نلاحظ أنه تحت تأثير تحويله حافظة للزوايا الموجهة تكون النسبة بين المشتقة الموجهة للدالة  $H$  على امتداد  $C$  في المستوى المركب  $z$  والمشتقة الموجهة للدالة  $h$  على امتداد الصورة  $\Gamma$  عند النقطة المناظرة في المستوى المركب  $w$  تساوى  $|f'(z)|$  . عادة هذه النسبة لا تكون ثابتة على امتداد قوس معطى . ( انظر تمرينى (٥) ، (٩) من هذا البند ) .

## تمارين

- ١ - استخدم صيغة (٣) بند (٧٨) لإيجاد مرافق توافقى للدالة التوافقية  $u(x,y) = x^2 - 3xy^2$  .  
عبر عن الدالة التحليلية الناتجة بدلالة المتغير المركب  $z$  .
- ٢ - افرض أن  $u(x,y)$  دالة توافقية في نطاق بسيط الترابط  $D$  . اثبت أن المشتقات الجزئية من جميع الرتب للدالة  $u$  تكون متصلة عند جميع نقاط  $D$  .
- ٣ - صورة القطعة المستقيمة  $x=0, 0 \leq y \leq \pi$  بالتحويلة  $w = e^z$  هي نصف الدائرة  $u^2 + v^2 = 1, v \geq 0$  ، كذلك ، الدالة

$$h(u,v) = 2 - u + \frac{u}{u^2 + v^2}$$

توافقية ، وبالتالي قابلة للاشتقاق ، لجميع نقاط المستوى المركب  $w$  عدا نقطة الأصل

وقيمتها تساوى اثنين على نصف الدائرة . اكتب  $H(x,y) = h[u(x,y), v(x,y)]$  حسب التغير المشار إليه للمتغيرات واثبت مباشرة أن  $H = 2$  على امتداد القطعة المستقيمة . هذا يوضح النظرية المعطاة في بند (٨٠)

٤ - صورة الجزئين الموجبين من محوري الاحداثيات في المستوى المركب  $z$  مع نقطة الأصل بالتحويلة  $w = z^2$  هي محور الاحداثيات  $u$  . اعتبر الدالة التوافقية

$$h(u,v) = e^{-u} \cos v$$

ولاحظ أن مشتقتها في الاتجاه العمودى على امتداد محور الاحداثيات  $u$  تنعدم ، أى أن  $h_u(u,0) = 0$ . اثبت مباشرة أن مشتقة الدالة  $H(x,y)$  في الاتجاه العمودى ، كما هو معرف في النظرية ببند ٨٠ ، تنعدم على امتداد الأجزاء الموجبة من المحورين في المستوى المركب  $z$  . لاحظ أن التحويلة  $w = z^2$  ليست حافظة للزوايا الموجهة عند نقطة الأصل .

٥ - استخدم الدالة التوافقية

$$h(u,v) = 2v + e^{-u} \cos v$$

بدلا من الدالة  $h(u,v)$  المعطاة بتمرين (٤) لإثبات أن  $h_u(u,0) = 2$  بينما  $H_x(x,0) = 4x$  على امتداد الجزء الموجب من محور  $x$  ،  $H_x(0,y) = 4y$  على امتداد الجزء الموجب من محور  $y$  . أى أن الشرط من النوع  $dh/dn = c$  لا يحول بالضرورة إلى شرط من النوع  $dH/dn = c$  . اثبت أنه إذا كانت دالة ما  $H(x,y)$  حلا لمسألة نويمان ( بند (٧٩) ) ، فإن  $H(x,y) + c$  ، حيث  $c$  أى عدد حقيقى ثابت ، تكون أيضاً حلا لتلك المسألة .

٧ - افرض أن الدالة التوافقية  $f(z) = u(x,y) + iv(x,y)$  ترسم نطاقا  $D_+$  في المستوى المركب  $z$  فوق نطاق  $D_-$  في المستوى المركب  $w$  . اثبت أنه إذا كانت  $h(u,v)$  دالة توافقية معرفة على  $D_-$  وكان  $H(x,y) = h[u(x,y), v(x,y)]$  فإن

$$H_{xx}(x,y) + H_{yy}(x,y) = [h_{uu}(u,v) + h_{vv}(u,v)] |f'(z)|^2$$

من هذا استنتج أن الدالة  $H(x,y)$  توافقية في  $D_+$

٨ - افرض أن  $p$  دالة في المتغيرين  $u, v$  وتحقق معادلة بواسون

$$p_{uu}(u,v) + p_{vv}(u,v) = \Phi(u,v)$$

في نطاق  $D_-$  من المستوى المركب  $w$  ، حيث  $\Phi$  دالة معطاة . اثبت أنه إذا كانت  $f(z) = u(x,y) + iv(x,y)$  دالة تحليلية ترسم نطاقا  $D_+$  فوق النطاق  $D_-$  ، فإن الدالة

$$P(x,y) = p[u(x,y), v(x,y)]$$

تحقق معادلة بواسون

$$P_{xx}(x,y) + P_{yy}(x,y) = \Phi[u(x,y), v(x,y)] |f'(z)|^2$$

( انظر تمرين (٧) ) .

٩ - افرض أن  $f(z) = u(x,y) + iv(x,y)$  دالة تحليلية تعرف رسما حافظا للزوايا الموجهة من نطاق  $D_z$  في المستوى المركب  $z$  فوق نطاق  $D_w$  في المستوى المركب  $w$ . افرض أن  $h(u,v)$  دالة توافقية معرفة على  $D_w$  واكتب  $H(x,y) = h[u(x,y),v(x,y)]$ . (أ) اثبت أنه تحت تأثير تغيير المتغيرات الموضح يكون  $|\text{grad } H(x,y)| = |\text{grad } h(u,v)| |f'(z)|$ . (ب) لماذا تساوى الزاوية عند نقطة في  $D_z$  بين قوس  $C$  والمتجه  $\text{grad } H(x,y)$  الزاوية عند النقطة المناظرة في  $D_w$  بين الصورة  $\Gamma$  للقوس  $C$  والمتجه  $\text{grad } h(u,v)$  ؟ (ج) باستخدام نتائج الجزئين (أ) ، (ب) اثبت أنه إذا كان  $\sigma$  يمثل مسافة على امتداد  $C$  وكان  $\tau$  يمثل مسافة على امتداد  $\Gamma$  فإن المشتقة الموجهة تحقق :

$$\frac{dH}{d\sigma} = \frac{dh}{d\tau} |f'(z)|.$$

هـسـا بـرـهـمـي

متاح للتحميل ضمن مجموعة كبيرة من المطبوعات من صفحة

مكتبتي الخاصة

على موقع ارشيف الانترنت

الرابط

[https://archive.org/details/@hassan\\_ibrahem](https://archive.org/details/@hassan_ibrahem)

© • ™ & © ^ § | \* § ^ © • © • © ' ã | æ @ {

@q • KDe & @c^E | \* E^caj • E @e • a ' ã | a@ {

# الفصل التاسع

## تطبيقات الرواسم الحافظة للزوايا الموجهة

### Applications of Conformal Mappings

سنقوم الآن باستخدام الرواسم الحافظة للزوايا الموجهة لحل عدد من المسائل الفيزيائية التي تشتمل على معادلات لابلاس في متغيرين مستقلين . وبالتحديد فإننا سنعالج مسائل تتعلق بالتوصيل الحرارى **Heat conduction** ، وجهد الكهرباء الساكنة **Electrostatic potential** ، وسريان سائل **Fluid flow** . حيث أن الهدف من هذه المسائل هو توضيح طرق الحل ، فإننا سنتعرض لمسائل بسيطة قدر الإمكان .

### ٨١ - درجات الحرارة المستقرة **Steady Temperatures**

في نظرية التوصيل الحرارى يعرف الفيض الحرارى **Flux of heat** خلال سطح مغلف لجسم مصمت عند نقطة على هذا السطح على أنه كمية الحرارة السارية في اتجاه العمودى للسطح عند تلك النقطة في وحدة الزمن لوحدة المساحة . أى أن الفيض الحرارى يكون مقيسا بوحدات مثل سرعات حرارية في الثانية للسنتيمتر المربع . وسنرمز هنا للفيض بالرمز  $\Phi$  وهو يتناسب مع مشتقة درجة الحرارة **T** في الاتجاه العمودى عند النقطة على السطح :

$$\Phi = -K \frac{dT}{dn} \quad (K > 0) \quad (1)$$

الثابت **K** يسمى التوصيل الحرارى **Thermal conductivity** لمادة الجسم المصمت الذى يفترض أنه متجانس .

سنعين عند كل نقطة من نقط الجسم المصمت إحداثيات كارتيزية لفراغ ثلاثى البعد ، وستنصهر اهتمامنا على تلك الحالات التى تكون فيها درجة الحرارة دالة في المتغيرين **y, x** فقط . حيث أن **T** لا تتغير مع تغير الإحداثيات على امتداد المحور العمودى على

المستوى  $xy$  ، فإن الفيض الحرارى يكون فى هذه الحالة ثنائى البعد وموازيا لهذا المستوى . بالإضافة إلى ذلك ، سنفترض أن السريان يكون فى حالة استقرار بمعنى أن  $T$  لا تتغير مع الزمن .

سنفترض كذلك أنه لا توجد طاقة حرارية متولدة أو مفقودة خلال الجسم المصمت . أى أنه لا يوجد منابع أو مصارف للحرارة هناك . أيضاً ، دالة الحرارة  $T(x,y)$  وجميع مشتقاتها الجزئية من الرتبين الأولى والثانية تكون متصلة عند كل نقطة داخلية للجسم المصمت . هذا التقرير والصيغة (١) للفيض الحرارى هما فرضان من فروض النظرية الرياضية للتوصيل الحرارى . وهذان الفرضان يمكن استخدامهما كذلك عند كل نقطة داخل جسم مصمت يحوى توزيع متصل للمنابع والمصارف .

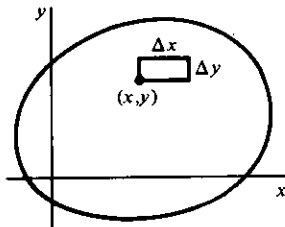
اعتبر الآن عنصراً داخلياً للجسم المصمت . هذا العنصر يكون على شكل متوازى مستطيلات قاعدته مستطيل فى المستوى  $xy$  طولاً ضلعيه  $\Delta x$  و  $\Delta y$  وطول حرفه فى اتجاه العمودى للمستوى  $xy$  يساوى الوحدة ( شكل (٦٠) ) . المعدل الزمنى لسريان الحرارة فى اتجاه اليمين من خلال الوجه الأيسر يساوى  $-KT_x(x,y)\Delta y$  ، وفى اتجاه اليمين من خلال الوجه الأيمن يساوى  $-KT_x(x+\Delta x,y)\Delta y$  . بطرح معدل السريان الأول من الثانى نحصل على معدل فقدان الحرارة من العنصر خلال هذين الوجهين . هذا المعدل المحصل يمكن كتابته

$$\begin{aligned} & -K \left[ \frac{T_x(x+\Delta x,y) - T_x(x,y)}{\Delta x} \right] \Delta x \Delta y, \\ & -KT_{xx}(x,y) \Delta x \Delta y \end{aligned} \quad (٢)$$

إذا كانت  $\Delta x$  متناهية فى الصغر . جميع الكميات هنا بالطبع تقريبية وتزداد دقة التقريب كلما زادت  $\Delta x$  و  $\Delta y$  صغراً .

باتباع نفس الأسلوب نجد أن محصلة معدل فقدان الحرارة خلال الوجهين العلوى والسفلى للعنصر تعطى بالصيغة

$$-KT_{yy}(x,y) \Delta x \Delta y. \quad (٣)$$



شكل (٦٠)



الحرارة تسرى إلى داخل أو إلى خارج العنصر من خلال هذه الأوجه الأربعة فقط ، ودرجات الحرارة في العنصر نفسه تكون مستقرة . إذن مجموع التعبيرين (٢) ، (٣) يساوى صفر ، أى أن

$$T_{xx}(x,y) + T_{yy}(x,y) = 0. \quad (٤)$$

من هذا نرى أن دالة الحرارة تحقق معادلة لابلاس عند كل نقطة داخلية من نقط الجسم المصمت .

بالنظر إلى معادلة (٤) وحقيقة اتصال دالة الحرارة ومشتقاتها الجزئية ، نستنتج أن  $T$  تكون دالة توافقية في المتغيرين  $x, y$  في النطاق الممثل للداخلية الجسم المصمت .  
السطوح  $T(x,y) = c$  ، حيث  $c$  أى ثابت حقيقي ، هي متساويات درجة الحرارة ( أو سطوح تساوى الحرارة ) Isotherms ( بمعنى أن لكل ثابت  $c$  تكون درجة الحرارة على السطح  $T(x,y) = c$  متساوية عند كل نقطة من نقطة للجسم المصمت يمكن كذلك النظر إلى متساويات درجة الحرارة هذه على أنها منحنيات في المستوى  $xy$  ؛ وذلك حيث أن  $T(x,y)$  يمكن النظر إليها على أنها درجة الحرارة لصفحة رقيقة من المادة في هذا المستوى حيث أوجه الصفحة معزولة حرارياً . متساويات درجة الحرارة هي نفسها المنحنيات المستوية للدالة  $T$  .

متجه ميل الدالة  $T$  يكون عمودياً على متساوى درجة الحرارة عند كل نقطة من نقطه ، والفيض الحرارى الأعظم عند نقطة ما يكون في اتجاه متجه الميل عند تلك النقطة . إذا كانت  $T(x,y)$  ترمز لدرجات الحرارة في صفحة رقيقة وكانت  $S$  مرافق توافقى للدالة  $T$  ، فإن متجه ميل الدالة  $T$  يكون متجه مماس للمنحنى  $S(x,y) = c$  عند كل نقطة تكون عندها الدالة  $T(x,y) + iS(x,y)$  حافظة للزوايا الموجهة . المنحنيات  $S(x,y) = c$  تسمى خطوط الفيض ( أو خطوط السريان ) Lines of flow

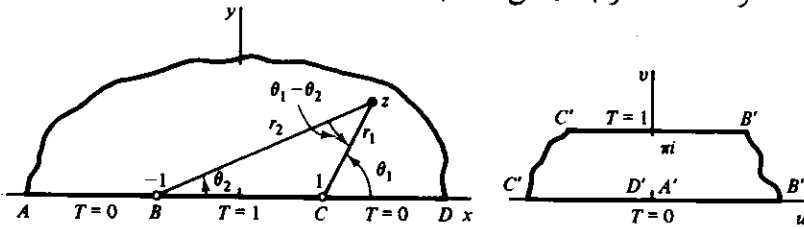
إذا انعدمت مشتقة درجة الحرارة في الاتجاه العمودى  $dT/dn$  على امتداد أى جزء من حدود الصفحة ، فإن الفيض الحرارى خلال هذا الجزء يساوى صفر . أى أن هذا الجزء يكون معزولاً حرارياً وبالتالي يكون خطاً من خطوط الفيض .

الدالة  $T$  قد ترمز أيضاً لتركيز مادة تنتشر خلال جسم مصمت . في هذه الحالة تعرف  $K$  بثابت الانتشار . جميع ما ذكرناه أعلاه واشتقاق معادلة (٤) ينطبق بالمثل لحالة الانتشار المستقر .

## ٨٢ - درجات الحرارة المستقرة في نصف المستوى

### Steady Temperatures in a Half Plane

دعنا نوجد صيغة لدرجات الحرارة المستقرة  $T(x,y)$  في شريحة رقيقة نصف لانهاية  $y \geq 0$  وجهيها معزولين وحافتها  $y=0$  تحفظ عند درجة الحرارة صفر فيما عدا الجزء  $-1 < x < 1, y=0$  الذي تحفظ درجة حرارته عند درجة الحرارة واحد (شكل (٦١)) الدالة  $T(x,y)$  تكون محدودة ، وهذا الشرط طبيعي إذا ما اعتبرنا الصفيحة المعطاة على أنها الحالة النهائية للصفيحة  $0 \leq y \leq y_0$  التي تحفظ حافتها العليا عند درجة حرارة ثابتة عندما تزداد  $y_0$  . وفي الحقيقة فإنه يكون من المقبول فيزيائياً أن نشترط أن تقترب  $T(x,y)$  من الصفر عندما تقترب  $y$  من ما لانهاية .



$$w = \log \frac{z-1}{z+1} \left( \frac{r_1}{r_2} > 0, -\frac{\pi}{2} < \theta_1 - \theta_2 < \frac{3\pi}{2} \right)$$

شكل ( ٦١ )

مسألة الشروط الحدية المطلوب حلها يمكن صياغتها على النحو التالي :

$$T_{xx}(x,y) + T_{yy}(x,y) = 0 \quad (-\infty < x < \infty, y > 0), \quad (1)$$

$$T(x,0) = \begin{cases} 1 & \text{و} & |x| < 1, \\ 0 & \text{و} & |x| > 1; \end{cases} \quad (2)$$

أيضاً ،  $|T(x,y)| < M$  حيث  $M$  ثابت ما موجب .

وهذه هي مسألة دريشلت للنصف العلوي من المستوى  $xy$  . أسلوبنا في الحل هو الحصول على مسألة جديدة من مسائل دريشلت لمنطقة في المستوى  $uv$  . هذه المنطقة ستكون صورة نصف المستوى بتحويلة تحليلية في النطاق  $y > 0$  والتي تكون حافظة للزوايا الموجهة على امتداد الحد  $y=0$  فيما عدا عند النقطتين  $(\pm 1, 0)$  حيث تكون الدالة غير معرفة . وسيكون أمراً بسيطاً أن نكتشف دالة توافقية محدودة تحقق المسألة الجديدة . بعد ذلك سنستخدم نظريتي الباب السابق لتحويل حل المسألة في المستوى  $uv$  إلى حل للمسألة الأصلية في المستوى  $xy$  . وبالتحديد ، سيتم تحويل دالة توافقية في المتغيرين  $u,v$  إلى دالة توافقية في المتغيرين  $x,y$  ، كما أن الشروط الحدية في المستوى  $uv$  ستحفظ على أجزاء مناظرة من الحدود في المستوى  $xy$  . ولا يجب أن يكون هناك أى

لبس إذا ما استخدمنا نفس الرمز  $T$  ليرمز لدالتى درجة الحرارة المختلفتين في المستويين .  
 دعنا نكتب  $z - 1 = r_1 \exp(i\theta_1)$  و  $z + 1 = r_2 \exp(i\theta_2)$  ، حيث  $-\pi/2 < \theta_k < 3\pi/2$  و  $k = 1, 2$  التحويلة

$$w = \log \frac{z-1}{z+1} = \text{Log} \frac{r_1}{r_2} + i(\theta_1 - \theta_2) \quad (3)$$

$$\left( \frac{r_1}{r_2} > 0, -\frac{\pi}{2} < \theta_1 - \theta_2 < \frac{3\pi}{2} \right)$$

معرفة على النصف العلوى  $v \geq 0$  من المستوى ، فيما عدا عند النقطتين  $z = \pm 1$  وذلك حيث أن  $0 \leq \theta_1 - \theta_2 \leq \pi$  في هذه المنطقة ( شكل (٦١) ) . الآن قيمة اللوغاريتم في (٣) تكون القيمة الأساسية عندما  $0 \leq \theta_1 - \theta_2 \leq \pi$  ، ونلاحظ من شكل (١٩) بملحق (٢) أن النصف العلوى  $v > 0$  من المستوى يرسم فوق الشريحة  $0 < v < \pi$  في المستوى المركب  $w$  . وبكل تأكيد ، فإن هذا الشكل هو الذى أوحى إلينا اختيار التحويلة (٣) هنا القطعة المستقيمة من محور السينات التى نقطتا نهايتها  $z = 1, z = -1$  حيث  $\theta_1 - \theta_2 = \pi$  ترسم فوق الحافة العليا من الشريحة ، أما بقية محور السينات ، حيث  $\theta_1 - \theta_2 = 0$  ، فيرسم فوق الحافة السفلى . من الواضح أن الشروط المطلوبة بأن تكون التحويلة تحليلية وحافظة للزوايا الموجهة تكون متحققة بالنسبة للتحويلة (٣) .

من الواضح أن دالة المتغيرين  $u, v$  التوافقية والمحدودة والتى تساوى صفر عند جميع نقط الحافة  $v = 0$  من الشريحة وتساوى الوحدة عند جميع نقط الحافة  $v = \pi$  هى :

$$T = \frac{1}{\pi} v; \quad (4)$$

هذه الدالة توافقية وذلك حيث أنها الجزء التخيلى من الدالة الشاملة  $w/\pi$  . بالتحويل إلى الاحداثيات  $y, x$  باستخدام المعادلة

$$w = \log \left| \frac{z-1}{z+1} \right| + i \arg \frac{z-1}{z+1}, \quad (5)$$

فإننا نجد أن

$$v = \arg \left( \frac{x-1+iy}{x+1+iy} \right) = \arg \left[ \frac{x^2+y^2-1+i2y}{(x+1)^2+y^2} \right],$$

أو

$$v = \arctan \left( \frac{2y}{x^2+y^2-1} \right).$$

ومدى معكوس دالة الظل هنا من صفر إلى  $\pi$  وذلك حيث أن

$$\arg \frac{z-1}{z+1} = \theta_1 - \theta_2$$

و  $0 \leq \theta_1 - \theta_2 \leq \pi$  الصيغة (٤) تأخذ الآن الصورة

$$T = \frac{1}{\pi} \arctan \left( \frac{2y}{x^2 + y^2 - 1} \right) \quad (0 \leq \arctan t \leq \pi). \quad (٦)$$

حيث أن الدالة (٤) توافقية في الشريحة  $0 < v < \pi$  وحيث أن التحويلة (٣) تحليلية في نصف المستوى  $y > 0$  ، فإنه يمكننا تطبيق النظرية بيند (٧٩) لاستنباط أن الدالة (٦) توافقية في نصف المستوى هذا . الشروط الحدية لكلتا الدالتين التوافقيين واحدة على الأجزاء المتناظرة من الحدود وذلك لأنهم من النوع  $T=c$  الذي سبق معالجته في النظرية بيند (٨٠) . وبالتالي فإن الدالة المحدودة (٦) هي الحل المطلوب للمسألة الأصلية . ويمكننا بالطبع أن نتحقق مباشرة من أن الدالة (٦) تحقق معادلة لابلاس وأن لها قيم تؤول إلى تلك القيم المشار إليها بشكل (٦١) عندما تقترب النقطة  $(x,y)$  من محور السينات من أعلى .

متساويات درجة الحرارة  $T(x,y) = c$  ( $0 < c < 1$ ) هي الدوائر

$$x^2 + y^2 - \frac{2}{\tan \pi c} y = 1$$

التي تقع مراكزها على محور الصادات والمارة بالنقطتين  $(\pm 1, 0)$  أخيراً ، يجب أن نلاحظ أنه حيث أن ناتج ضرب دالة توافقية في مقدار ثابت يكون أيضاً دالة توافقية ، فإن الدالة

$$T = \frac{T_0}{\pi} \arctan \left( \frac{2y}{x^2 + y^2 - 1} \right) \quad (0 \leq \arctan t \leq \pi)$$

تمثل درجات الحرارة المستقرة في نصف المستوى المعطى عند إبدال الشرط الحدى أن درجة الحرارة تساوى الوحدة على امتداد الحافة  $-1 < x < 1, y = 0$  بالشرط الحدى أن درجة الحرارة على امتداد نفس الحافة تكون ثابتة وتساوى  $T_0$  .

### ٨٣ - مسألة ذات صلة بالمسألة السابقة A Related Problem

اعتبر بلاطة نصف لا نهائية في الفراغ الثلاثي البعد محدودة بالمستويات :  $x = \pm \pi/2$  و  $y=0$  . حفظ السطحين الأوليين عند درجة حرارة صفر وحفظ السطح الأخير عند درجة حرارة 1 . هدفنا هو إيجاد صيغة لدرجة الحرارة  $T(x,y)$  عند أى نقطة داخلية من نقط البلاطة . المسألة هي أيضاً إيجاد درجات الحرارة في صفيحة رقيقة على صورة شريحة نصف لا نهائية  $y \geq 0, -\pi/2 \leq x \leq \pi/2$  بإفتراض أن وجهي الصفيحة معزولان تماماً ( شكل (٦٢) ) .

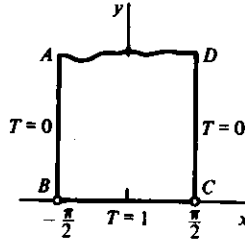
مسألة الشروط الحدية المطلوب حلها هنا هي

$$T_{xx}(x,y) + T_{yy}(x,y) = 0 \quad \left(-\frac{\pi}{2} < x < \frac{\pi}{2}, y > 0\right), \quad (1)$$

$$T\left(-\frac{\pi}{2}, y\right) = T\left(\frac{\pi}{2}, y\right) = 0 \quad (y > 0), \quad (2)$$

$$T(x, 0) = 1 \quad \left(-\frac{\pi}{2} < x < \frac{\pi}{2}\right), \quad (3)$$

حيث  $T(x,y)$  محدودة .



شكل (٦٢)

بالنظر إلى بند (٣٩) ، وكذا شكل (٩) بملحق (٢) ، الراسم

$$w = \sin z \quad (4)$$

يجول مسألة الشروط الحدية أعلاه إلى مسألة الشروط الحدية التي صيغت في البند السابق (شكل (٦١)) . إذن بالرجوع إلى الحل (٦) بالبند السابق ، يمكننا أن نكتب

$$T = \frac{1}{\pi} \arctan \left( \frac{2v}{u^2 + v^2 - 1} \right) \quad (0 \leq \arctan t \leq \pi). \quad (5)$$

تغيير المتغيرات المعطى بالمعادلة (٤) يمكن كتابته

$$u = \sin x \cosh y, \quad v = \cos x \sinh y;$$

وبذلك تصبح الدالة التوافقية (٥) :

$$T = \frac{1}{\pi} \arctan \left( \frac{2 \cos x \sinh y}{\sin^2 x \cosh^2 y + \cos^2 x \sinh^2 y - 1} \right).$$

ويجب ملاحظة أن المقام هنا يختزل إلى  $\sinh^2 y - \cos^2 x$  ، وبالتالي فإنه يمكن كتابة الكسر على الصورة

$$\frac{2 \cos x \sinh y}{\sinh^2 y - \cos^2 x} = \frac{2 \cos x / \sinh y}{1 - (\cos x / \sinh y)^2} = \tan 2\alpha$$

حيث  $\tan \alpha = \cos x / \sinh y$  . إذن  $\pi T = 2\alpha$  ، وصيغتنا للدالة  $T$  تصبح

$$T = \frac{2}{\pi} \arctan \left( \frac{\cos x}{\sinh y} \right) \quad \left(0 \leq \arctan t \leq \frac{\pi}{2}\right). \quad (6)$$

مدى معكوس دالة الظل هنا من صفر إلى  $\pi/2$  وذلك حيث أن سعتها غير سالبة .  
 الآن ، حيث أن الدالة  $\sin z$  شاملة والدالة (٥) توافقية في نصف المستوى  
 $v > 0$  ، فإن الدالة (٦) تكون توافقية في الشريحة  $0 < y < \pi/2$  ، أيضاً ، الدالة  
 (٥) تحقق الشروط الابتدائية  $T=1$  عندما  $|u| \leq 1$  و  $v=0$  ، عندما  $T=0$  ،  
 و  $v=0$  الدالة (٦) تحقق إذن الشروط الحدية (٢) ، (٣) . بالإضافة إلى ذلك ،  
 فإن  $|T(x,y)| \leq 1$  عند كل نقطة من نقط الشريحة . الصيغة (٦) إذن هي صيغة درجة  
 الحرارة التي نبحث عنها .

متساويات درجة الحرارة  $T(x,y)=c$  في البلاطة هي السطوح

$$\cos x = \tan \frac{\pi c}{2} \sinh y,$$

التي يمر كل منها بالنقطتين  $(\pm\pi/2, 0)$  في المستوى  $xy$  . إذا كان  $K$  التوصيل  
 الحرارى ، فإن الفيض الحرارى إلى داخل البلاطة من خلال السطح الواقع في المستوى  
 $y=0$  يكون

$$-KT_y(x,0) = \frac{2K}{\pi \cos x} \quad \left(-\frac{\pi}{2} < x < \frac{\pi}{2}\right);$$

وأن الفيض الحرارى إلى خارج البلاطة من خلال السطح الواقع في المستوى  $x = \pi/2$   
 يكون

$$-KT_x\left(\frac{\pi}{2}, y\right) = \frac{2K}{\pi \sinh y} \quad (y > 0).$$

مسألة الشروط الحدية التي عرضنا لها في هذا البند يمكن حلها أيضاً باستخدام طريقة  
 فصل المتغيرات . وطريقة فصل المتغيرات مباشرة أكثر ، ولكنها تعطى الحل على صورة  
 متسلسلة لا نهائية<sup>(١)</sup>

(١) نفس المسألة قد عولجت أساساً في كتاب ر. ث. تشرشل R.V.Churchill المعنون

“Fourier Series and Boundary Value problems”

الطبعة الثانية ، تمارين ٣ و ٤ ، ص ١٥٠ - ١٥١ ، ١٩٦٣ . كذلك ، سيدد القارىء معالجة مختصرة  
 لوحداية حلول مسائل الشروط الحدية وذلك بالباب العاشر من هذا الكتاب .

## ٨٤ - درجات الحرارة في ربع مستوى جزء من أحد حافته معزول حرارياً

## Temperatures in a Quadrant with Part of One Boundary Insulated

دعنا نوجد درجات الحرارة المستقرة في صفيحة رقيقة مكونة من ربع المستوى إذا كانت القطعة المستقيمة عند نهاية إحدى الحافتين معزولة حرارياً وإذا كانت درجة حرارة بقية هذه الحافة محفوظة عند درجة حرارة ثابتة وإذا كانت الحافة الثانية محفوظة عند درجة حرارة ثابتة أخرى. الأوجه معزولة وبالتالي فإن المسألة تكون ثنائية البعد. مقياس درجة الحرارة ووحدة الطول يمكن اختيارهما بحيث تأخذ مسألة الشروط الحدية لدالة درجة الحرارة  $T$  الصورة

$$T_{xx}(x,y) + T_{yy}(x,y) = 0 \quad (x > 0, y > 0), \quad (1)$$

$$\begin{cases} T_y(x,0) = 0 & \text{طلما} & 0 < x < 1 \\ T(x,0) = 1 & \text{طلما} & x > 1 \end{cases} \quad (2)$$

$$T(0,y) = 0 \quad (y > 0), \quad (3)$$

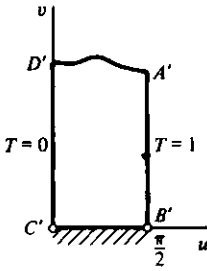
حيث الدالة  $T(x,y)$  محدودة في ربع المستوى المشار إليه. الصفيحة وشروطها الحدية موضحين بشكل (٦٣).

الشروط (٢) تشير إلى قيمة المشتقة للدالة  $T$  في الاتجاه العمودي على جزء من خط حدى وقيمة الدالة نفسها على بقية هذا الخط الحدى. طريقة فصل المتغيرات السابق ذكرها في نهاية البند السابق ليست ملائمة لهذا النوع من المسائل الذى يحوى شروطاً مختلفة النوع على امتداد نفس الخط الحدى.

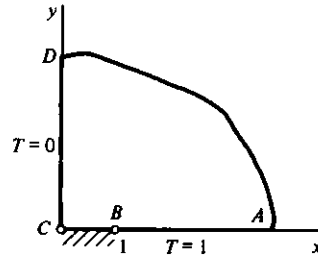
كما أشرنا بشكل (١٠) بملحق (٢)، التحويلة

$$z = \sin w \quad (4)$$

تكون راسماً أحادياً من الشريحة  $0 \leq u \leq \pi/2, v \geq 0$  فوق ربع المستوى  $x \geq 0, y \geq 0$ . لاحظ الآن أن تحقق وجود دالة عكسية لهذه الدالة يكون مؤكداً وذلك بالنظر إلى حقيقة أن التحويلة المعطاة تكون تناظراً أحادياً. حيث أن  $\sin w$  حافظة للزوايا الموجهة لجميع نقط الشريحة فيما عدا عند النقطة  $w = \pi/2$ ، فإن التحويلة العكسية لا بد وأن تكون حافظة أيضاً للزوايا الموجهة لجميع نقط ربع المستوى فيما عدا عند النقطة  $z = 1$ . هذه التحويلة العكسية ترسم القطعة المستقيمة  $0 < x < 1, y = 0$  من حدود ربع المستوى فوق قاعدة الشريحة وترسم بقية حدود ربع المستوى فوق جوانب الشريحة كما هو موضح بشكل (٦٤).



شكل ( ٦٤ )



شكل ( ٦٣ )

حيث أن التحويلة العكسية (٤) تكون حافظة للزوايا الموجهة في ربع المستوى ، فيما عدا عندما  $z=1$  ، فإن الحل للمسألة المعطاة يمكن الحصول عليه بإيجاد دالة توافقية في الشريحة تحقق الشروط الحدية المعطاة بشكل (٦٤) . لاحظ أن هذه الشروط الحدية هي

$$\text{من النوع } T=c \text{ و } dT/dn=0$$

من الواضح أن دالة درجة الحرارة  $T$  المطلوبة لمسألة الشروط الحدية الجديدة هي

$$T = \frac{2}{\pi} u, \quad (٥)$$

حيث الدالة  $2u/\pi$  هي بالطبع الجزء الحقيقي للدالة الشاملة  $2w/\pi$  . يجب علينا الآن التعبير عن  $T$  بدلالة المتغيرين  $y,x$  .

للحصول على  $u$  بدلالة  $y,x$  ، يجب أولاً أن نلاحظ أن معادلة (٤) تعطى

$$x = \sin u \cosh v, \quad y = \cos u \sinh v; \quad (٦)$$

وبالتالي

$$\frac{x^2}{\sin^2 u} - \frac{y^2}{\cos^2 u} = 1. \quad (٧)$$

عند حل هذه المعادلة الأخيرة للحصول على  $u$  يكون من المناسب أن نلاحظ أن - لكل قيمة ثابتة للمقدار  $u$  - بؤرتي القطع الزائد (٧) تقعان عند النقطتين  $(\pm 1,0)$  في المستوى  $xy$  وأن طول المحور القاطع يساوي  $2 \sin u$  . وبذلك يكون الفرق بين بعدي البؤرتين عن نقطة  $(x,y)$  من نقط جزء القطع الزائد الواقع في الربع الأول من المستوى هو

$$\sqrt{(x+1)^2 + y^2} - \sqrt{(x-1)^2 + y^2} = 2 \sin u.$$

بالنظر إلى معادلة (٥) ، تكون دالة درجة الحرارة المطلوبة في المستوى  $xy$  هي

$$T = \frac{2}{\pi} \arcsin \frac{1}{2} [\sqrt{(x+1)^2 + y^2} - \sqrt{(x-1)^2 + y^2}] \quad (٨)$$



حيث مدى دالة الجيب العكسية من صفر إلى  $\pi/2$  وذلك لأن  $0 \leq u \leq \pi/2$  إذا أردنا أن نتحقق من أن هذه الدالة تحقق الشروط الحدية (٢) ، فإنه يجب أن نتذكر أن  $\sqrt{(x-1)^2}$  يرمز للمقدار  $x-1$  طالما  $x > 1$  وللمقدار  $1-x$  طالما  $0 < x < 1$  ، أى أن الجذور التربيعية دائماً موجبة . لاحظ أيضاً أن درجة الحرارة عند أى نقطة من نقط الجزء المعزول من الحافة السفلى للصفحة هي

$$T(x,0) = \frac{2}{\pi} \arcsin x.$$

من معادلة (٥) يمكننا أن نرى أن متساويات درجة الحرارة  $T(x,y) = c$  هي الأجزاء الواقعة في الربع الأول من القطاعات الزائدة المتحدة البؤر (٧) ، حيث  $u = \pi c/2$  . حيث أن الدالة  $2v/\pi$  مرافق توافقى للدالة (٥) ، فإن خطوط الفيض هي أرباع القطاعات الناقصة المتحدة البؤر التي نحصل عليها بجعل  $v$  ثابتة في المعادلات (٦) .

## تارين

١ - في مسألة الصفحة النصف لانهائية الموضحة على اليسار بشكل (٦١) ، أوجد مرافق توافقى لدالة الحرارة  $T(x,y)$  من معادلة (٥) ببند (٨٢) ومن ثم إيجاد خطوط سريان الحرارة . بين أن هذه الخطوط تتكون من النصف العلوى لمحور الصادات ، والانصاف العليا لدوائر معينة على كل من جانبي هذا المحور ، وكذلك الدوائر التي تقع مراكزها على القطعة المستقيمة  $AB$  أو القطعة المستقيمة  $CD$  من محور السينات .

٢ - بين أنه إذا لم يكن من المطلوب أن تكون الدالة  $T$  الواردة ببند (٨٢) محدودة ، فإن الدالة التوافقية (٤) بنفس البند يمكن إحلالها بالدالة التوافقية

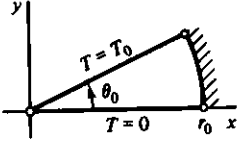
$$T = \text{Im} \left( \frac{1}{\pi} w + A \cosh w \right) = \frac{1}{\pi} v + A \sinh u \sin v$$

حيث  $A$  ثابت اختياري حقيقي . من ذلك استنتج أن حل مسألة دريشلت للشريحة الموضحة بشكل (٦١) في المستوى  $uv$  لن يكون وحيداً في تلك الحالة .

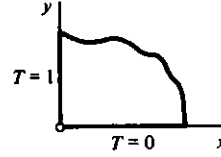
٣ - افترض استبعاد الشرط أن تكون الدالة  $T$  محدودة في مسألة درجات الحرارة في البلاطة النصف لا نهائية ببند (٨٣) ( شكل (٦٢) ) . بين أن بالإمكان الحصول إذن على عدد لا نهائى من الحلول وذلك باعتبار تأثير إضافة الجزء التخيلي للدالة  $A \sin z$  للحل الذي حصلنا عليه هناك ، حيث  $A$  ثابت اختياري حقيقي .

٤ - استخدم الدالة  $\text{Log } z$  للحصول على صيغة لدرجات الحرارة المستقرة المحدودة في صفحة على شكل ربع المستوى  $x \geq 0, y \geq 0$  إذا كان وجهها معزولين تماماً وكانت درجات حرارة حوافها هي  $T(x,0) = 0$  و  $T(0,y) = 1$  ( شكل (٦٥) ) . أوجد متساويات درجة الحرارة وخطوط الفيض وارسم بعضها منها .

الإجابة :  $T = (2/\pi) \arctan (y/x)$



شكل ( ٦٦ )



شكل ( ٦٥ )

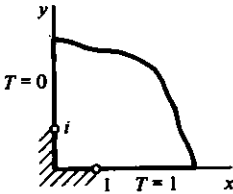
- ٥ - أوجد درجات الحرارة المستقرة في جسم مصمت على شكل وتد اسطوانى طويل إذا كانت المستويات التي تحده وهي  $\theta = 0$  و  $\theta = \theta_0$  ، محفوظة عند درجات الحرارة الثابتة صفر و  $T_0$  على الترتيب وكان سطحها  $r = r_0$  معزولاً تماماً ( شكل (٦٦) ) .

الإجابة :  $T = (T_0/\theta_0) \arctan (y/x)$

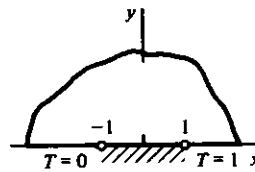
- ٦ - أوجد درجات الحرارة المستقرة المحدودة في الجسم المصمت النصف لانهاى  $y \ge 0$  إذا كانت  $T = 0$  على الجزء  $x < -1, y = 0$  من الحدود وكانت  $T = 1$  على الجزء  $x > 1, y = 0$  ، وإذا كانت الشريحة  $-1 < x < 1, y = 0$  من الحدود معزولة ( شكل (٦٧) ) .

الإجابة :  $T = \frac{1}{2} + \frac{1}{\pi} \arcsin \frac{1}{2} [\sqrt{(x+1)^2 + y^2} - \sqrt{(x-1)^2 + y^2}]$

$(-\frac{\pi}{2} \leq \arcsin t \leq \frac{\pi}{2})$ .



شكل ( ٦٨ )



شكل ( ٦٧ )

- ٧ - أوجد درجات الحرارة المستقرة المحدودة في الجسم المصمت  $x \ge 0, y \ge 0$  إذا حفظت السطوح المحددة للجسم عند درجات حرارة ثابتة فيما عدا الشرائح المعزولة المتساوية في العرض عند الزاوية ، كما هو موضح بشكل (٦٨) .

$$T = \frac{1}{2} + \frac{1}{\pi} \arcsin \frac{1}{2} [\sqrt{(x^2 - y^2 + 1)^2 + 4x^2y^2} - \sqrt{(x^2 - y^2 - 1)^2 + 4x^2y^2}] : \text{الإجابة}$$

$$\left( -\frac{\pi}{2} \leq \arcsin t \leq \frac{\pi}{2} \right).$$

٨ - حل مسألة دريشلت التالية للشريحة النصف لا نهائية ( شكل (٦٩) ) :

$$H_{xx}(x,y) + H_{yy}(x,y) = 0 \quad \left( 0 < x < \frac{\pi}{2}, y > 0 \right),$$

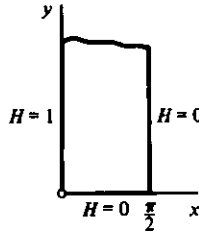
$$H(x,0) = 0 \quad \left( 0 < x < \frac{\pi}{2} \right),$$

$$H(0,y) = 1, \quad H\left(\frac{\pi}{2}, y\right) = 0 \quad (y > 0),$$

حيث  $0 \leq H(x,y) \leq 1$

اقترح : هذه المسألة يمكن تحويلها إلى تلك المعطاة بتمرين (٤) .

$$H = \frac{2}{\pi} \arctan \left( \frac{\tanh y}{\tan x} \right) \quad : \text{الإجابة}$$



شكل (٦٩)

٩ - اشتق صيغة لدرجات الحرارة  $T(r,\theta)$  في صفيحة نصف دائرية  $0 \leq \theta \leq \pi, 0 \leq r \leq 1$  ذات أوجه معزولة إذا كان  $T=1$  على امتداد الحافة النصف قطرية  $\theta=0$  وكان  $T=0$  على الجزء الباقى من الحدود .

اقترح : هذه المسألة يمكن تحويلها إلى تلك المعطاة بتمرين (٨) .

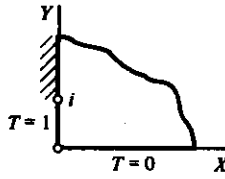
$$T = \frac{2}{\pi} \arctan \left( \frac{1-r}{1+r} \cot \frac{\theta}{2} \right) \quad : \text{الإجابة}$$

١٠ - حل مسألة الشروط الحدية للصفيحة  $X \geq 0, Y \geq 0$  في المستوى  $Z$  إذا كانت الأوجه

معزولة وكانت الشروط الحدية كما هو موضح بشكل (٧٠) .

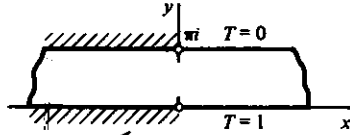
اقترح : باستخدام الراسم  $z = i/Z$  حول هذه المسألة إلى المسألة التي سبق

طرحها ببند (٨٤) ( شكل (٦٣) ) .



شكل (٧٠)

١١ - الأجزاء  $x < 0, y = 0$  و  $x < 0, y = \pi$  من حواف صفيحة لا نهائية  $0 \leq y \leq \pi$  معزولة حراريا ، وكذلك أوجه الصفيحة . الشروط  $T(x, 0) = 1$  و  $T(x, \pi) = 0$  متحققة طالما كان  $x > 0$  ( شكل (٧١) ) . إيجاد درجات الحرارة المستقرة في الصفيحة . اقتراح : هذه المسألة يمكن تحويلها إلى تلك المعطاة بتمرين (٦) .



شكل (٧١)

١٢ - صفيحة رقيقة نصف ناقصية الشكل في المستوى  $uv$  ( شكل (١١) بملحق (٢) ) ذات أوجه معزولة حراريا . درجة الحرارة على جزء القطع الناقص من حدودها تكون  $T = 1$  . درجة الحرارة على امتداد القطعة المستقيمة  $-1 < u < 1, v = 0$  تكون  $T = 0$  ، وبقيّة الحدود على امتداد محور الاحداثيات  $u$  معزولة حراريا . إيجاد خطوط سريان الحرارة .

١٣ - طبقاً لتبرين (١١) و (١٢) و بند (٥٥) ، إذا كانت الدالة  $f(z) = u(x, y) + iv(x, y)$  متصلة في منطقة مغلقة محدودة  $R$  وكانت تحليلية ولكن ليست ثابتة في داخلية  $R$  ، فإن الدالة  $u(x, y)$  تأخذ قيمها العظمى والصغرى على حدود  $R$  ، وليس بأى حال من الأحوال في داخلية  $R$  . باعتبار  $u(x, y)$  على أنها درجات حرارة مستقرة ، اذكر تفسيراً فيزيائياً يوضح لماذا لا بد أن تكون خاصية القيم العظمى والصغرى تلك صحيحة .

### ٨٥ - جهد الكهرباء الساكنة Electrostatic Potential

في مجال لقوى كهرباء ساكنة تكون شدة المجال **Field intensity** عند نقطة ما متجهها يمثل القوة المبذولة على وحدة شحنات موجبة موضوعة عند تلك النقطة . جهد **Potential** الكهرباء الساكنة يكون دالة قياسية في إحداثيات الفراغ بحيث تكون مشتقتها الاتجاهية عند أى نقطة في اتجاه ما هي المعكوس الجمعي لمركبة شدة المجال في هذا الاتجاه .

مقدار قوة الجذب أو التنافر التي يؤثر بها جسيم مشحون ساكن على جسيم مشحون ساكن آخر يتناسب طرديا مع حاصل ضرب شحنتي الجسيمات ويتناسب عكسيا مع مربع البعد بينهما. من قانون التربيع العكسي هذا ، يمكن إثبات أن الجهد عند نقطة - الناشئة من جسيم مشحون مفرد في الفراغ - يتناسب عكسيا مع البعد بين النقطة والجسيم . في أى منطقة خالية من الشحنات من الممكن إذن أن نبين أن الجهد الناشئ من شحنات موزعة خارج تلك المنطقة يحقق معادلة لابلاس للفراغ الثلاثي البعد .

إذا كانت الشروط هي أن الجهد  $V$  يكون ثابتا على كل مستوى مواز للمستوى  $xy$  ، فإن في المناطق الخالية من الشحنات يكون الجهد  $V$  دالة توافقية في المتغيرين  $x, y$  فقط :

$$V_{xx}(x,y) + V_{yy}(x,y) = 0.$$

متجه شدة المجال عند أى نقطة يكون مواز للمستوى  $xy$  ومركبته السينية والصادية هما  $-V_x(x,y)$  و  $-V_y(x,y)$  على الترتيب . هذا المتجه هو إذن المعكوس الجمعي لمتجه ميل الدالة  $V(x,y)$  .

السطح الذي تكون عليه الدالة  $V(x,y)$  ثابتة يسمى **متساوى الجهد Equipotential** المركبة المماسية لمتجه شدة المجال عند نقطة ما على سطح موصل تنعدم في الحالة الساكنة وذلك حيث أن الشحنات حرة في أن تتحرك على مثل هذا السطح . إذن  $V(x,y)$  تكون ثابتة على امتداد سطح جسم موصل وأن هذا السطح يكون **متساوى الجهد Equipotential** .

إذا كان  $U$  مرافق توافقى للدالة  $V$  ، فإن المنحنيات  $U(x,y) = c$  في المستوى  $xy$  تسمى **خطوط الفيض Flux lines** . عندما يتقاطع أحد هذه المنحنيات مع منحنى متساوى الجهد في نقطة تكون عندها مشتقة الدالة التحليلية  $V(x,y) + iU(x,y)$  لا تساوى صفر ، فإن المنحنيان يكونان متعامدين عند تلك النقطة وتكون شدة المجال مماسة لخط الفيض هناك .

مسائل الشروط الحدية للجهد  $V$  هي نفس المسائل الرياضية لدرجات الحرارة المستقرة  $T$  ، وكما في حالة درجات الحرارة المستقرة تكون طرق المتغيرات المركبة المستخدمة قاصرة على المسائل الثنائية البعد . فعلى سبيل المثال ، المسألة التي طرحت ببند (٨٣) ( شكل (٦٢) ) يمكن صياغتها على أساس أن المطلوب هو إيجاد جهد الكهرباء الساكنة الثنائي البعد في الفراغ الخالي  $0 < y < \pi/2, -\pi/2 < x < \pi/2$  -المكون من المستويات الموصلة  $x = \pm \pi/2$  و  $y = 0$  ، والمعزولة عند تقاطعاتها، إذا ما حفظ السطحين الأوليين عند جهد صفر وحفظ السطح الثالث عند جهد مقداره الوحدة . مثل هذا النوع من المسائل يظهر

كثيراً في مجال دراسة الالكترونيات . إذا كان فراغ الشحنة داخل أنبوبة مفرغة صغيراً ، فإنه يمكن أحياناً اعتبار أن الفراغ حر من الشحنة ويمكن افتراض أن الجهد هناك يحق معادلة لابلاس .

الجهد في حالة السريان المستقر للكهرباء في صفيحة مستوية موصلة تكون أيضاً دالة توافقية عند النقط الخالية من المنابع والمصارف . جهد الجاذبية مثال آخر لدالة توافقية في الفيزياء .

### ٨٦ - الجهد في فراغ اسطوانى Potential in a Cylindrical Space

صنعت اسطوانة دائرية قائمة طويلة ومجوفة من لوح رقيق من مادة موصلة ، وقسمت الاسطوانة إلى جزئين متساويين على امتداد راسمين من رواسمها . فصل بين هذين الجزئين بواسطة شرائط رقيقة من مادة عازلة واستخدما كقطبين ، أحدهما استخدم كأرضى جهده صفر وحفظ الآخر عند جهد مختلف ثابت . سنأخذ محاور الإحداثيات ووحدات الطول وفرق الجهد كما هو موضح بشكل (٧٢) . ومن ثم فإننا نعبر عن جهد الكهرباء الساكنة  $V(x,y)$  على أى مقطع ، من الفراغ المحتوى ، يقع بعيداً عن نهايتى الاسطوانة كدالة توافقية داخل الدائرة  $x^2 + y^2 = 1$  فى المستوى  $xy$  ، وأيضاً  $V=0$  على النصف العلوى من الدائرة و  $V=1$  على النصف السفلى من الدائرة .

سبق أن قدمنا تحويلة خطية كسرية ترسم نصف المستوى العلوى فوق داخلية دائرة الوحدة التى مركزها نقطة الأصل ، وترسم الجزء الموجب من المحور الحقيقى فوق نصف الدائرة العلوى ، وترسم الجزء السالب من المحور الحقيقى فوق نصف الدائرة السفلى فى تمرين (١١) ببند (٣٤) . النتيجة معطاة بشكل (١٣) بملحق (٢) ، بوضع كل مكان الآخر ، فإننا نجد أن معكوس التحويلة

$$z = \frac{i-w}{i+w} \quad (1)$$

يعطينا مسألة جديدة للدالة  $V$  فى نصف مستوى ، كما هو موضح بشكل (٧٣) . لاحظ الآن أن الجزء التخيلى للدالة

$$\frac{1}{\pi} \text{Log } w = \frac{1}{\pi} \text{Log } \rho + \frac{i}{\pi} \phi \quad (\rho > 0, 0 \leq \phi \leq \pi) \quad (2)$$

يكون دالة محدودة فى  $v, u$  تأخذ القيم الثابتة المطلوبة على الجزئين  $\phi = 0$  و  $\phi = \pi$  من محور الاحداثيات  $u$  . الدالة التوافقية المطلوبة لنصف المستوى تكون إذن

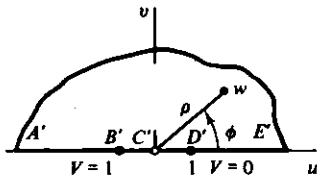
$$V = \frac{1}{\pi} \arctan \frac{v}{u}, \quad (3)$$

حيث قيم معكوس دالة الظل تقع بين صفر و  $\pi$  .  
معكوسة التحويلة (١) هي

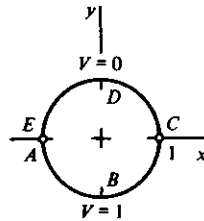
$$w = i \frac{1-z}{1+z}, \quad (٤)$$

ومنها يمكن التعبير عن  $v, u$  بدلالة  $y, x$  . بذلك تصبح معادلة (٣)

$$V = \frac{1}{\pi} \arctan \left( \frac{1-x^2-y^2}{2y} \right) \quad (0 \leq \arctan t \leq \pi). \quad (٥)$$



شكل (٧٣)



شكل (٧٢)

الدالة (٥) هي دالة الجهد للفراغ المغلف بالأقطاب الاسطوانية وذلك حيث أنها توافقية داخل الدائرة وتأخذ القيم المطلوبة على أنصاف الدوائر . إذا أردنا أن نتحقق من هذا الحل فإننا يجب أن نلاحظ أن

$$\lim_{t \rightarrow 0} \arctan t = 0 \quad (t > 0)$$

$$\lim_{t \rightarrow 0} \arctan t = \pi \quad (t < 0).$$

المنحنيات المتساوية الجهد  $V(x,y)=c$  في المنطقة الدائرية تكون أقواس من الدوائر

$$x^2 + y^2 + 2y \tan \pi c = 1,$$

التي يمر كل منها بالنقطتين  $(\pm 1, 0)$  . كذلك ، القطعة المستقيمة من محور السينات الواقعة بين هاتين النقطتين هي منحنى متساوى الجهد  $V(x,y) = 1/2$  . مرافق توافقى U للدالة V هو  $\text{Log } \rho (-1/\pi)$  ، وهو عبارة عن الجزء التخيلي للدالة  $(-i/\pi) \text{Log } w$  . بأخذ معادلة (٤) في الاعتبار ، فإنه يمكن كتابة U على الصورة

$$U = -\frac{1}{\pi} \text{Log} \left| \frac{1-z}{1+z} \right|.$$

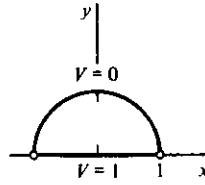
من هذه المعادلة يمكن أن نرى أن خطوط الفيض  $U(x,y)=c$  تكون أقواس من دوائر مراكزها على محور السينات . القطعة المستقيمة من محور الصادات المحصورة بين القطبين تكون أيضاً خط فيض .

## تمارين

١ - الدالة التوافقية (٣) بيند (٨٦) تكون محدودة في نصف المستوى  $v \geq 0$  وتحقق الشروط الابتدائية المبينة بشكل (٧٣). اثبت أنه إذا أضيف الجزء التخيلي للدالة  $Ae^w$ ، حيث  $A$  أي ثابت حقيقي، للدالة (٣) فإن الدالة الناتجة تحقق جميع الشروط عدا أن تكون الدالة محدودة.

٢ - اثبت أن التحويلة (٤) بيند (٨٦) ترسم النصف العلوي للمنطقة الدائرية الموضحة بشكل (٧٢) فوق الربع الأول من المستوى المركب  $w$  وترسم القطر  $CE$  فوق الجزء الموجب من محور الاحداثيات  $v$ . من ثم إيجاد جهد الكهرباء الساكنة  $V$  في الفراغ المحدود بنصف الاسطوانة  $x^2 + y^2 = 1, y \geq 0$  والمستوى  $y = 0$  عندما  $V = 0$  على السطح الاسطواني و  $V = 1$  على السطح المستوي (شكل (٧٤)).

الإجابة : 
$$V = \frac{2}{\pi} \arctan \left( \frac{1 - x^2 - y^2}{2y} \right).$$



شكل (٧٤)

٣ - أوجد جهد الكهرباء الساكنة  $V(r, \theta)$  في الفراغ  $0 < r < 1, 0 < \theta < \pi/4$  المحدود بنصفى المستويين  $\theta = 0$  و  $\theta = \pi/4$  والجزء  $0 \leq \theta \leq \pi/4$  من السطح الاسطواني  $r = 1$  عندما  $V = 1$  على الحدود المستوية و  $V = 0$  على الحد الاسطواني. ( انظر تمرين (٢) ). تحقق من أن دالتك تحقق هذه الشروط الحدية.

٤ - لاحظ أن جميع أفرع الدالة  $\log z$  لها نفس المركبة الحقيقية التي تكون توافقية عند جميع النقط عدا نقطة الأصل. ثم اكتب صيغة لدالة جهد الكهرباء الساكنة  $V(x, y)$  في الفراغ المحصور بين سطحين اسطوانيين  $x^2 + y^2 = 1$  و  $x^2 + y^2 = r_0^2$  حيث  $r_0 \neq 1$  متحدي المحور وموصلين إذا كان  $V = 0$  على السطح الأول و  $V = 1$  على السطح الثاني.

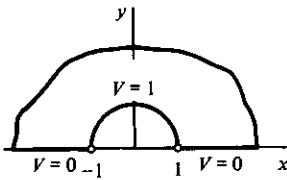
الإجابة : 
$$V = \frac{\text{Log}(x^2 + y^2)}{2 \text{Log } r_0}$$

٥ - أوجد جهد الكهرباء الساكنة المحدود  $V(x, y)$  في الفراغ  $y > 0$  المحدود بمستوى  $y = 0$  موصل إذا كانت إحدى شرائحه  $(-a < x < a, y = 0)$  معزولة عن بقية

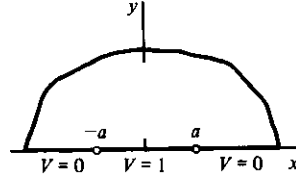


المستوى وحفظت عند جهد  $V=1$  ، بينما  $V=0$  على بقية المستوى ( شكل (٧٥) ) .  
تحقق من أن دالتك تحقق الشروط الحدية المعطاة .

$$V = \frac{1}{\pi} \arctan \left( \frac{2ay}{x^2 + y^2 - a^2} \right) \quad (0 \leq \arctan t \leq \pi) . \quad \text{الإجابة :}$$



شكل ( ٧٦ )



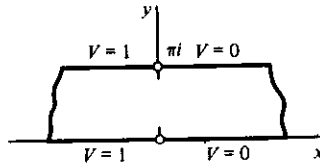
شكل ( ٧٥ )

٦- اشتق صيغة جهد الكهرباء الساكنة في الفراغ الموضح بشكل (٧٦) ، والمحدود بنصفى مستويين ونصف اسطوانة ، إذا كانت  $V=1$  على السطح الاسطواني وكانت  $V=0$  على السطحين المستويين . ارسم بعض المنحنيات المتساوية الجهد في المستوى  $xy$  .

$$V = \frac{2}{\pi} \arctan \left( \frac{2y}{x^2 + y^2 - 1} \right) \quad \text{الإجابة :}$$

٧- أوجد الجهد  $V$  في الفراغ بين المستويين  $y=0$  و  $y=\pi$  إذا كان  $V=0$  على الجزء من كلا المستويين بحيث  $x > 0$  وكان  $V=1$  على الجزئين بحيث  $x < 0$  ( شكل (٧٧) ) . تأكد من أن نتيجتك تحقق الشروط الحدية .

$$V = \frac{1}{\pi} \arctan \left( \frac{\sin y}{\sinh x} \right) \quad (0 \leq \arctan t \leq \pi) . \quad \text{الإجابة :}$$



شكل ( ٧٧ )

٨- اشتق صيغة جهد الكهرباء الساكنة  $V$  في الفراغ الداخلي لاسطوانة طويلة  $r=1$  إذا كان  $V=0$  على الربع الأول ( $r=1, 0 < \theta < \pi/2$ ) للسطح الاسطواني و  $V=1$  على بقية السطح الاسطواني ( $r=1, \pi/2 < \theta < 2\pi$ ) ( انظر شكل (٢٤) وتمرين (١٤) ببند (٣٤) ) . بين أن  $V=3/4$  على محور الاسطوانة . تحقق من أن الصيغة التي حصلت عليها تحقق الشروط الحدية .

٩- باستخدام شكل (٢٠) بملحق (٢) أوجد دالة حرارة  $T(x,y)$  توافقية في النطاق المظلل من

المستوى  $xy$  الموضح هناك والتي تأخذ القيم  $T=0$  على نصف الدائرة  $ABC$  و  $T=1$  على امتداد القطعة المستقيمة  $DEF$ . تحقق من أن ذلك تحقق الشروط الحدية المطلوبة .  
( انظر تمرين (٢) ) .

١٠- يمكن حل مسألة دريشلت :

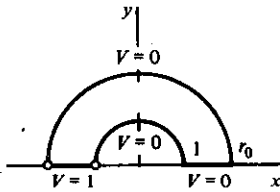
$$\begin{aligned} V_{xx}(x,y) + V_{yy}(x,y) &= 0 & (0 < x < a, 0 < y < b), \\ V(x,0) &= 0, & V(x,b) = 1 & (0 < x < a), \\ V(0,y) &= V(a,y) = 0 & (0 < y < b) \end{aligned}$$

للدالة  $V(x,y)$  في مستطيل ( شكل (٧٨) ) باستخدام طريقة فصل المتغيرات<sup>(١)</sup> . الحل هو

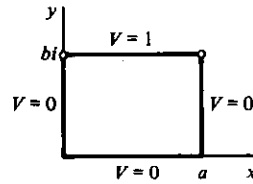
$$V = \frac{4}{\pi} \sum_{n=1}^{\infty} \frac{\sinh(m\pi y/a)}{m \sinh(m\pi b/a)} \sin \frac{m\pi x}{a} \quad (m = 2n - 1).$$

مع افتراض قبول هذه الصيغة ، أوجد الجهد  $V(r,\theta)$  في الفراغ  $1 < r < r_0, 0 < \theta < \pi$  إذا كان  $V=1$  على جزء الحدود حيث  $\theta = \pi$  و  $V=0$  على بقية الحدود ( شكل (٧٩) ) .

$$V = \frac{4}{\pi} \sum_{n=1}^{\infty} \frac{\sinh \alpha_n \theta \sin(\alpha_n \text{Log } r)}{\sinh \alpha_n \pi \frac{2n-1}{2}} \quad \left[ \alpha_n = \frac{(2n-1)\pi}{\text{Log } r_0} \right]. \quad \text{الإجابة :}$$



شكل ( ٧٩ )



شكل ( ٧٨ )

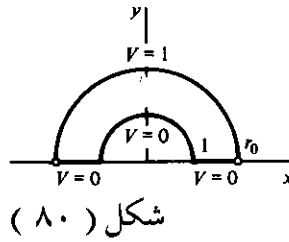
١١- بمعاونة الصيغة التي حصلنا عليها في تمرين (١٠) للدالة  $V(x,y)$  في المستطيل ، أوجد دالة الجهد  $V(r,\theta)$  للفراغ  $1 < r < r_0, 0 < \theta < \pi$  إذا كان  $V=1$  على جزء الحدود بحيث  $r = r_0, 0 < \theta < \pi$  وكان  $V=0$  على الجزء الباقي من الحدود ( شكل (٨٠) ) .

$$V = \frac{4}{\pi} \sum_{n=1}^{\infty} \frac{r^m - r^{-m}}{r_0^m - r_0^{-m}} \frac{\sin m\theta}{m} \quad (m = 2n - 1). \quad \text{الإجابة :}$$

(١) انظر كتاب ر.ف.تشرشل R.V. Churchill

“Fourier Series and Boundary Value Problems”

الطبعة الثانية ، ص ١٤٧ - ١٤٨ ، ١٩٦٣ .



### ٨٧ - السريان ثنائي البعد لسائل Two-dimensional Fluid Flow

تلعب الدوال التوافقية دورا هاما في دراسة ديناميكا الموائع وديناميكا الهواء . مرة أخرى ، سنعتبر فقط المسائل المتعلقة بالحالات الثنائية البعد المستقرة . بمعنى أننا سندرس فقط الحالات التي يفترض فيها أن تكون حركة السائل متماثلة في جميع المستويات الموازية للمستوى  $xy$  ، وسرعة السائل تكون موازية للمستوى  $xy$  ولا تتوقف على الزمن . بهذا يكون من الكافي أن نعتبر فقط حركة صفيحة رقيقة من السائل في المستوى  $xy$  . سنفترض أن المتجه الممثل للعدد المركب

$$V = p + iq$$

يرمز لسرعة نقطة مادية من السائل عند أي نقطة  $(x,y)$  ، أي أن المركبة السينية والمركبة الصادية لمتجه السرعة هما  $p(x,y)$  و  $q(x,y)$  على الترتيب . عند النقط الداخلية لمنطقة ، من مناطق السريان ، لا يوجد فيها منابع أو مصارف للسائل ، سيفترض أن الدالتين  $p(x,y)$  و  $q(x,y)$  وكذلك مشتقاتهما الجزئية الأولى جميعها متصلة .

يعرف جريان **Circulation** السائل على امتداد أي كفاف  $C$  على أنه التكامل الخطي ، بالنسبة لطول القوس  $\sigma$  ، للمركبة المماسية  $V_T(x,y)$  لمتجه السرعة على امتداد  $C$  :

$$\int_C V_T(x,y) d\sigma. \quad (1)$$

النسبة بين الجريان على امتداد  $C$  وطول الكفاف  $C$  يكون بالتالي سرعة متوسطة للسائل على امتداد هذا الكفاف . سبق أن شاهدنا في حساب التفاضل والتكامل للمتغيرات الحقيقية أن التكاملات التي على الصورة (١) يمكن كتابتها على الصورة<sup>(١)</sup>

$$\int_C p(x,y) dx + q(x,y) dy. \quad (2)$$

(١) لمزيد من المعلومات عن خواص التكاملات الخطية في حساب التفاضل والتكامل للمتغيرات الحقيقية المستخدمة في هذا البند والبند التالي انظر ، على سبيل المثال ، كتاب : وركابلان W. Kaplan "Advanced Calculus," ، الطبعة الثانية ، ص ٢٩٣ ، ١٩٧٣ .

عندما يكون  $C$  كفاف مغلق بسيط يقع في نطاق بسيط الترابط للسريان لا يحوى أى منابع أو مصارف ، فإن نظرية جرين تسمح لنا بأن نكتب

$$\int_C p(x,y) dx + q(x,y) dy = \iint_R [q_x(x,y) - p_y(x,y)] dx dy, \quad (٣)$$

حيث  $R$  هي المنطقة المغلقة المحدودة بالكفاف  $C$  .

من أجل إيجاد تفسير فيزيائى للدالة المكاملة في الطرف الأيمن من معادلة (٣) ، دعنا نفترض أن  $C$  دائرة نصف قطرها  $r$  ومركزها عند النقطة  $(x_0, y_0)$  وموجهة في اتجاه ضد عقرب الساعة . بذلك يمكننا الحصول على سرعة متوسطة على امتداد  $C$  وذلك بقسمة الجريان على  $2\pi r$  ، ونحصل على السرعة الزاوية المتوسطة للمناظرة للسائل حول محور الدائرة بقسمة تلك السرعة المتوسطة على  $r$  :

$$\frac{1}{\pi r^2} \iint_R \frac{1}{2} [q_x(x,y) - p_y(x,y)] dx dy.$$

هذه الصيغة تمثل قيمة متوسطة للدالة

$$\omega(x,y) = \frac{1}{2} [q_x(x,y) - p_y(x,y)] \quad (٤)$$

على النطاق الدائرى المحدود بالكفاف  $C$  . نهايتها عندما تؤول  $r$  إلى الصفر هي قيمة  $\omega$  عند النقطة  $(x_0, y_0)$  . إذن الدالة  $\omega(x,y)$  ، التى تسمى دوران **Rotation** السائل ، تمثل نهاية السرعة الزاوية لعنصر دائرى من السائل عندما تنكمش الدائرة إلى مركزها ( النقطة  $(x,y)$  ) .

إذا كانت  $\omega(x,y) = 0$  عند كل نقطة في نطاق ما ، فإن السريان يقال له سريان لا دورانى **Irrotational** في هذا النطاق . سنعتبر هنا فقط السريانات اللادورانية ، وسنفترض كذلك أن السائل غير قابل للانضغاط **Incompressible** وأنه عديم اللزوجة

**Free from viscosity**

افرض أن  $D$  نطاق بسيط الترابط يكون فيه السريان لادورانى . إذا كان  $C$  أى كفاف مغلق بسيط في  $D$  ، فإنه ينتج من معادلة (٣) أن الجريان حول  $C$  يساوى صفر ، أى أن

$$\int_C p(x,y) dx + q(x,y) dy = 0.$$

وبالتالى ، إذا كانت  $(x_0, y_0)$  أى نقطة ثابتة في  $D$  ، فإنه يمكننا تعريف الدالة

$$\phi(x,y) = \int_{(x_0, y_0)}^{(x,y)} p(r,t) dr + q(r,t) dt \quad (٥)$$

على النطاق  $D$  . استخدمنا هنا الرمزين  $r,t$  ليرمزا لمتغيرات التكامل وذلك لنفرق بين

متغيرات التكامل والحدود العليا للتكامل . التكامل في المعادلة (٥) لا يتوقف على المسار المأخوذ بين نقطتي حدى التكامل طالما كان هذا المسار كفافا محتوى في  $D$  . وذلك راجع إلى أن الفرق بين التكاملين المأخوذين على امتداد مسارين مختلفين هو التكامل على امتداد مسار مغلق ، والتكامل الأخير لا بد وأن يساوى صفر .

حيث أن التكامل الخطى (٥) لا يتوقف على المسار ، فإن الدالة المكاملة بهذا التكامل تكون المشتقة التامة للدالة  $\phi(x,y)$  ، أى أن

$$p(x,y) = \phi_x(x,y), \quad q(x,y) = \phi_y(x,y). \quad (6)$$

متجه السرعة  $V = p + iq$  هو إذن متجه ميل الدالة  $\phi$  ، والمشتقة الاتجاهية للدالة  $\phi$  في أى اتجاه تمثل مركبة سرعة السريان في هذا الاتجاه .

الدالة  $\phi(x,y)$  تسمى **جهد السرعة Velocity potential** . من الواضح من معادلة (٥) أن  $\phi(x,y)$  تتغير بمقدار ثابت جمعى عندما تتغير نقطة الاسناد  $(x_0, y_0)$  . المنحنيات المستوية  $\phi(x,y) = c$  تسمى **متساويات الجهد Equipotentials** . حيث أن متجه السرعة  $V$  هو متجه ميل الدالة  $\phi(x,y)$  فإنه ينتج أن  $V$  يكون عموديا على أى منحنى متساوى الجهد عند أى نقطة لا يكون عندها  $V$  هو المتجه الصفرى .

تماماً كما في حالة سريان الحرارة ، الشرط أن السائل غير القابل للانضغاط يدخل إلى أو يخرج من عنصر للحجم فقط بالسريان خلال حدود هذا العنصر يتطلب أن الدالة  $\phi(x,y)$  لا بد وأن تحقق معادلة لابلاس

$$\phi_{xx}(x,y) + \phi_{yy}(x,y) = 0$$

في نطاق يكون فيه السائل حرا من المتابع أو المصارف . نظرا لاتصال الدالتين  $q, p$  ومشتقاتهما الجزئية الأولى ومعادلات (٦) ، فإنه ينتج أن المشتقات الجزئية الأولى والثانية للدالة  $\phi$  تكون متصلة في مثل هذا النطاق . وبالتالي فإن جهد السرعة  $\phi$  يكون دالة توافقية في ذلك النطاق .

## ٨٨ - دالة التيار The Stream Function

من البند السابق ، يمكن كتابة متجه السرعة

$$V = p(x,y) + iq(x,y) \quad (1)$$

لنطاق بسيط الترابط يكون فيه السريان لادوراني على الصورة

$$V = \phi_x(x,y) + i\phi_y(x,y) \quad (2)$$

حيث  $\phi$  جهد السرعة .

عندما لا يكون متجه السرعة هو المتجه الصفري ، فإنه يكون عموديا على منحنى متساوى الجهد مار بالنقطة  $(x,y)$  . إذا كان ، بالإضافة إلى ذلك ،  $\psi(x,y)$  مرافق توافقى للدالة  $\phi(x,y)$  ، فإن متجه السرعة يكون مماسا للمنحنى  $\psi(x,y) = c$  المنحنيات  $\psi(x,y) = c$  تسمى خطوط التيار Streamlines للسريان محل الدراسة ، كما أن الدالة  $\psi$  تسمى دالة التيار Stream function . فعلى سبيل الخصوص ، الحد الذى لا يستطيع سائل أن يسرى من خلاله يكون خط تيار .

$$F(z) = \phi(x,y) + i\psi(x,y)$$

الدالة التحليلية

تسمى الجهد المركب Complex potential للسريان . لاحظ أن

$$F'(z) = \phi_x(x,y) + i\psi_x(x,y),$$

أو ، باستخدام معادلتى كوشى - ريمان ،

$$F'(z) = \phi_x(x,y) - i\phi_y(x,y).$$

بهذا تصبح الصيغة (٢) للسرعة

$$V = \overline{F'(z)}.$$

يعطى مقياس السرعة بالصيغة

$$|V| = |F'(z)|.$$

حسب معادلة (٣) ببند (٧٨) ، إذا كانت  $\phi$  توافقية فى نطاق بسيط الترابط  $D$  ،

فإنه يمكن كتابة مرافق توافقى للدالة  $\phi$  هناك على الصورة

$$\psi(x,y) = \int_{(x_0,y_0)}^{(x,y)} -\phi_r(r,t) dr + \phi_t(r,t) dt$$

حيث التكامل لا يتوقف على المسار . بمعاونة المعادلات (٦) ببند (٧٨) ، يمكننا إذن أن نكتب

$$\psi(x,y) = \int_C -q(r,t) dr + \bar{p}(r,t) dt \quad (٤)$$

حيث  $C$  أى كفاف فى  $D$  من  $(x_0,y_0)$  إلى  $(x,y)$  .

سبق أن رأينا فى حساب التفاضل والتكامل للمتغيرات الحقيقية أن الطرف الأيمن من

معادلة (٤) يمثل التكامل ، بالنسبة لطول القوس  $\sigma$  ، على امتداد  $C$  للمركبة العمودية

$V_N(x,y)$  للمتجه الذى مركبته السينية والصادية هما  $p(x,y)$  و  $q(x,y)$

على الترتيب. إذن الصيغة (٤) يمكن كتابتها على الصورة

$$\psi(x,y) = \int_C V_N(x,y) d\sigma. \quad (٥)$$

فيزيائيا ، الدالة  $\psi(x,y)$  تمثل المعدل الزمنى لسريان السائل على امتداد  $C$  . وأكثر

تحديدا ، الدالة  $\psi(x,y)$  ترمز لمعدل السريان ، بالحجم ، خلال سطح ارتفاعه

الوحدة قائما على المنحني  $C$  وعموديا على المستوى  $xy$  .  
حيث أن  $\psi$  و  $\phi$  دالتان توافقتان في المستوى  $xy$  ، فإن نتائج بندى (٧٩) و  
(٨٠) يمكن استخدامها . أى أن ، التحويلة

$$z = f(w) = x(u,v) + iy(u,v),$$

حيث  $f$  دالة تحليلية ، تحول  $\phi(x,y)$  و  $\psi(x,y)$  إلى الدالتين التوافقتين  $v,u$  على الترتيب . هاتين  
الدالتين الجديدتين يمكن اعتبارهما على أنهما جهد السرعة ودالة التيار على الترتيب ،  
لسريان في المنطقة الجديدة في المستوى  $uv$  . يحول أى خط تيار أو حد طبيعي  $\psi(x,y) = c$   
في المستوى  $xy$  إلى خط تيار أو حد طبيعي  $\psi[x(u,v),y(u,v)] = c$  في المستوى  $uv$   
تحت فروضنا بأن السريان يكون لادوراني ومستقر لسوائل ذات كثافة منتظمة  $\rho$  ،  
فإنه يمكن إثبات أن ضغط السائل  $P(x,y)$  يحقق الحالة الخاصة التالية من معادلة برنولي

: Bernoulli's equation

$$\frac{P}{\rho} + \frac{1}{2} |V|^2 = c \quad (٥)$$

، حيث  $c$  ثابت .  
لاحظ أن الضغط يكون أكبر ما يمكن عندما يكون مقياس السرعة  $|V|$  أقل  
ما يمكن .

## ٨٩ - السريان حول زاوية Flow around a Corner

عندما يعطى الجهد المركب بالدالة

$$F(z) = Az \quad (١)$$

حيث  $A$  ثابت حقيقي موجب ، فإن

$$\phi(x,y) = Ax, \quad \psi(x,y) = Ay. \quad (٢)$$

خطوط التيار  $\psi(x,y) = c$  هي الخطوط الأفقية  $y = c/A$  ، وتكون السرعة عند أى  
نقطة

$$V = \overline{F'(z)} = A.$$

لاحظ هنا أن أى نقطة  $(x_0, y_0)$  يكون عندها  $\psi(x,y) = 0$  تكون نقطة على محور السينات .  
إذا أخذت النقطة  $(x_0, y_0)$  على أنها نقطة الأصل ، فإن  $\psi(x,y)$  تكون معدل  
السريان خلال أى كفاف مرسوم من نقطة الأصل للنقطة  $(x,y)$  ( شكل (٨١) ) .  
السريان يكون منتظما وفي اتجاه اليمين . ويمكن النظر إلى هذا السريان على أنه السريان  
المنتظم في نصف المستوى العلوى الذى حده محور السينات أو على أنه السريان المنتظم

بين خطين مستقيمين متوازيين  $y = y_1$  و  $y = y_2$  .  
 لتعيين سريان في ربع المستوى  $u \geq 0, v \geq 0$  ، فإنه يجب ملاحظة أن التحويلة  
 $z = w^2$  (٣)

ترسم ربع المستوى فوق النصف العلوي من المستوى  $xy$  ، وبحيث ترسم حدود ربع  
 المستوى فوق محور السينات بأكمله . حيث أن  $y = 2uv$  ، فإن دالة التيار  
 $\psi(x,y) = Ay$  للسريان في نصف المستوى تناظر دالة التيار  
 $\psi(u,v) = 2Auv$  (٤)

للسريان في ربع المستوى . وهذه الدالة لا بد وأن تكون بالطبع توافقية في ربع المستوى  
 وتأخذ قيما صفرية على الحدود .

خطوط التيار في ربع المستوى هي فروع القطاعات الزائدة القائمة ( شكل (٨٢) )

$$2Auv = c.$$

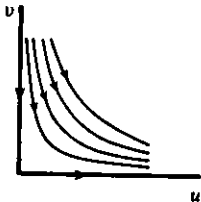
الجهد المركب هو الدالة  $F(w) = Aw^2$  وتكون سرعة السائل

$$V = \overline{F'(w)} = 2A(u - iv).$$

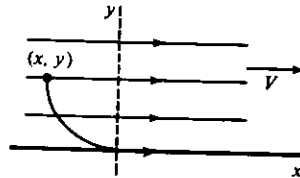
مقياس السرعة

$$|V| = 2A\sqrt{u^2 + v^2}$$

يتناسب طرديا مع بعد النقطة المادية عن نقطة الأصل . قيمة دالة التيار (٤) يمكن النظر  
 إليها هنا على أنها معدل السريان خلال قطعة مستقيمة تمتد من نقطة الأصل للنقطة  
 $(u,v)$ ، في مثل هذا النوع من المسائل يكون دائما من الأبسط أن نكتب أولا الجهد المركب  
 كدالة للمتغير المركب في المنطقة الجديدة . بعد ذلك يمكن الحصول على دالة التيار  
 والسرعة من دالة الجهد .



شكل (٨٢)



شكل (٨١)

الدالة  $\psi$  تميز سريانا محددًا في منطقة ما . السؤال عما إذا كان وجود مثل هذه الدالة  
 المناظرة لمنطقة معطاة وجود مفرد ، فيما عدا أن يكون الاختلاف ربما بمعامل ثابت أو  
 ثابت جمعي ، لن يكون محل دراسة هنا . في بعض الأمثلة التي سترد فيما بعد ، والتي  
 تكون فيها السرعة منتظمة بعيدا عن العائق ، أو كما في الباب العاشر ، حيث توجد منابع



ومصارف ، فإن الظروف الفيزيائية تشير إلى أن السريان يعين دون نظير بالشروط المعطاة في المسألة .

ويجب ملاحظة أن مجرد تحديد قيم دالة توافقية على حد منطقة مالا يعنى أنها تعين دائماً دون نظير ، حتى ولو بمعامل ثابت . فعلى سبيل المثال ، رأينا أعلاه أن الدالة  $\psi(x,y) = Ay$  تكون توافقية في نصف المستوى  $y > 0$  ولها قيم صفرية على الحدود . الدالة  $\psi_1(x,y) = Be^x \sin y$  تحقق أيضاً نفس هذه الشروط . ومع ذلك فإن خط التيار  $\psi_1(x,y) = 0$  لا يتكون فقط من الخط  $y=0$  ولكن من الخطوط المستقيمة  $y = n\pi$  ، حيث  $n = 1, 2, \dots$  هنا الدالة  $F_1(z) = Be^z$  هي الجهد المركب للسريان في الشريحة بين المستقيمين  $y=0$  و  $y=\pi$  ، كلا الحدين اللذان يصنعان خط التيار  $\psi_1(x,y) = 0$  ؛ إذا كان  $B > 0$  فإن السائل يسرى إلى اليمين على امتداد الحد السفلى وإلى اليسار على امتداد الحد العلوى .

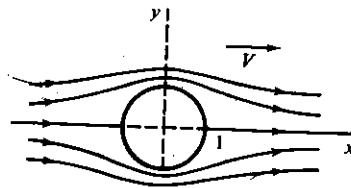
#### ٩٠ - السريان حول اسطوانة Flow around a Cylinder

افترض أن اسطوانة طويلة دائرية نصف قطرها الوحدة وضعت في جسم كبير من سائل يسرى بسرعة منتظمة ، بحيث يكون محور الاسطوانة عمودياً على اتجاه السريان . لتعيين السريان المستقر حول الاسطوانة ، فإننا سنمثل الاسطوانة بالدائرة  $x^2 + y^2 = 1$  ونفترض أن السريان بعيداً عنها يكون موازياً لمحور السينات ( شكل (٨٣) ) . التماثل يوضح أن جزء محور السينات خارج الدائرة يمكن اعتباره كحد ، وبالتالي فإنه يتعين علينا أن نعتبر فقط الجزء العلوى من الشكل على أنه منطقة السريان .

حد هذه المنطقة للسريان ، المكون من النصف العلوى للدائرة وجزئياً محور السينات الواقعين خارج الدائرة ، يرسم بالتحويلة

$$w = z + \frac{1}{z} \quad (1)$$

فوق محور الاحداثيات  $u$  بأكمله .



شكل (٨٣)

المنطقة ترسم فوق نصف المستوى  $\bar{v} \geq 0$  ، كما هو موضح بشكل (١٧) بملحق (٢) . الجهد المركب لسريان منتظم في نصف المستوى هذا هو

$$F(w) = Aw,$$

حيث  $A$  ثابت حقيقي . إذن الجهد المركب للمنطقة حول الدائرة هو

$$F(z) = A\left(z + \frac{1}{z}\right). \quad (٢)$$

السرعة

$$V = A\left(1 - \frac{1}{z^2}\right) \quad (٣)$$

تقترب من  $A$  كلما زاد  $|z|$  ، أى أن السريان يكون منتظماً تقريباً ويكون موازياً لمحور السينات عند النقط البعيدة عن الدائرة .

من الصيغة (٣) نرى أن  $V(\bar{z}) = \overline{V(z)}$  ، وبالتالي فإن هذه الصيغة نفسها تمثل أيضاً سرعات السريان في المنطقة السفلى حيث يكون النصف السفلى للدائرة خط تيار .

من معادلة (٢) ، نرى أن دالة التيار للمسألة المعطاة تكون بدلالة الاحداثيات القطبية

$$\psi(r, \theta) = A\left(r - \frac{1}{r}\right) \sin \theta. \quad (٤)$$

خطوط التيار

$$A\left(r - \frac{1}{r}\right) \sin \theta = c$$

تكون متائلة بالنسبة لمحور الصادات وتكون خطوطها التقريبية موازية لمحور السينات . لاحظ أنه عندما  $c=0$  فإن خط التيار يتكون من الدائرة  $r=1$  وجزئى محور السينات بحيث  $|x| \geq 1$

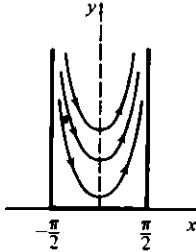
## تمارين

١ - بين لماذا يمكن الحصول على مركبتى السرعة من دالة التيار بالعلاقات

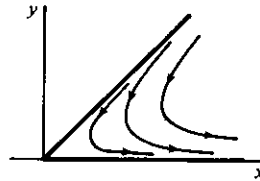
$$p(x, y) = \psi_x(x, y), \quad q(x, y) = -\psi_y(x, y).$$

٢ - عند نقطة داخلية من نقاط منطقة سريان في ظل الشروط التى افترضناها ، لا يمكن أن يكون ضغط السائل أقل من الضغط عند جميع النقط الأخرى في جوار لتلك النقطة . حقق هذا التقرير باستخدام تقارير بيندى (٥٤) و (٨٨) .

- ٣ - لسريان حول الزاوية الموضحة ببند (٨٩) ، ما هي النقطة في المنطقة  $x \geq 0, y \geq 0$  التي يكون عندها ضغط السائل أكبر ما يمكن ؟
- ٤ - بين أن مقياس سرعة السائل عند نقط على السطح الاسطوانى ببند (٩٠) يساوى  $|2A \sin \theta|$  وأن ضغط السائل على الاسطوانة يكون أكبر ما يمكن عند النقطتين  $z = \pm i$  . وأصغر ما يمكن عند النقطتين  $z = \pm i$  .
- ٥ - أوجد الجهد المركب للسريان حول اسطوانة  $r = r_0$  إذا كانت السرعة  $V$  تقترب من ثابت حقيقى  $A$  عندما تبتعد النقطة عن الاسطوانة
- ٦ - أوجد دالة التيار  $\psi(r, \theta) = Ar^4 \sin 4\theta$  لسريان في المنطقة الزاوية  $0 \leq \theta \leq \pi/4$  ( شكل (٨٤) ) ، وارسم واحدا أو اثنين من خطوط التيار في داخل المنطقة .



شكل ( ٨٥ )



شكل ( ٨٤ )

- ٧ - أوجد الجهد المركب  $F(z) = A \sin z$  لسريان داخل المنطقة نصف اللانهائية  $y \geq 0$  و  $-\pi/2 \leq x \leq \pi/2$  . اكتب معادلات خطوط التيار .
- ٨ - اثبت أنه إذا كان جهد السرعة هو  $\phi(r, \theta) = A \text{Log } r$  ( $A > 0$ ) لسريان في المنطقة  $r \geq r_0$  ، فإن خطوط التيار تكون هي الأشعة  $\theta = c$  ،  $r \geq r_0$  ويكون معدل السريان إلى الخارج خلال كل دائرة كاملة حول نقطة الأصل مساويا  $2\pi A$  ، مناظرا المتبع له نفس هذه القوة عند نقطة الأصل .
- ٩ - أوجد الجهد المركب  $F(z) = A(z^2 + z^{-2})$  لسريان في المنطقة  $r \geq 1$  ،  $0 \leq \theta \leq \pi/2$  . اكتب صيغتين للدالتين  $V$  و  $\psi$  . لاحظ كيف يتغير مقياس السرعة  $|V|$  على امتداد حدود المنطقة وتحقق من أن  $\psi(x, y) = 0$  على الحدود .
- ١٠ - افرض أن السريان عند بعد لانهاى من الاسطوانة التي نصف قطرها الوحدة ببند (٩٠) يكون منتظما في اتجاه يصنع زاوية  $\alpha$  مع محور السينات ، أى أن

$$\lim_{|z| \rightarrow \infty} V = A \exp(i\alpha) \quad (A > 0).$$

أوجد الجهد المركب

الإجابة :  $F(z) = A[z \exp(-i\alpha) + z^{-1} \exp(i\alpha)]$ .

١١ - التحويلة  $z = w + 1/w$  ترسم الدائرة  $|w|=1$  فوق القطعة المستقيمة التي نقطتا نهايتها  $z = -2$  و  $z = 2$  ، وترسم النطاق خارج هذه الدائرة فوق بقية المستوى المركب  $z$  . انظر تمريني (١٨) و (١٩) بيند (٤١) . اكتب  $z - 2 = r_1 \exp(i\theta_1)$  ،  $z + 2 = r_2 \exp(i\theta_2)$  ،

$$(z^2 - 4)^{1/2} = \sqrt{r_1 r_2} \exp \frac{i(\theta_1 + \theta_2)}{2} \quad (0 \leq \theta_1 < 2\pi, 0 \leq \theta_2 < 2\pi);$$

بذلك تكون الدالة  $(z^2 - 4)^{1/2}$  وحيدة القيمة وتحليلية عند جميع نقاط المستوى عدا عند نقطتا الفرع القاطع المكون من القطعة المستقيمة من محور السينات التي نقطتا نهايتها  $z = \pm 2$  . اثبت أن معكوس التحويلة  $z = w + 1/w$  ، بحيث  $|w| > 1$  لكل نقطة  $z$  لا تنتمي للفرع القاطع ، يمكن كتابتها على الصورة

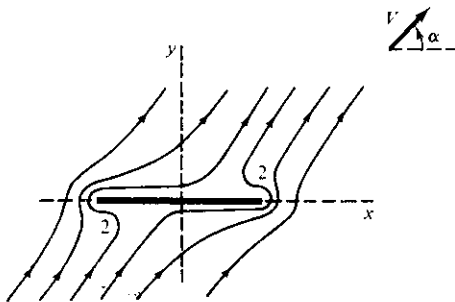
$$w = \frac{1}{2} [z + (z^2 - 4)^{1/2}] = \frac{1}{4} \left( \sqrt{r_1} \exp \frac{i\theta_1}{2} + \sqrt{r_2} \exp \frac{i\theta_2}{2} \right)^2 .$$

وبالتالي فإن كل من التحويلة وتحويلتها العكسية تلك تشكل تناظرا أحاديا بين النقط في النطاقين .

١٢ - بمعاونة النتائج التي حصلنا عليها بتمريني (١٠) و (١١) ، اشتق الصيغة

$$F(z) = A[z \cos \alpha - i(z^2 - 4)^{1/2} \sin \alpha]$$

التي تعين الجهد المركب للسريان المستقر حول صفيحة طويلة عرضها أربعة ومقطعها القطعة المستقيمة التي نقطتا نهايتها  $z = \pm 2$  كما في شكل (٨٦) ، بفرض أن سرعة السائل عند نقطة على بعد لا نهائى من الصفيحة تساوى  $A \exp(i\alpha)$  الفرع  $(z^2 - 4)^{1/2}$  هو الفرع الذى سبق وصفه بتمرين (١١) و  $A > 0$



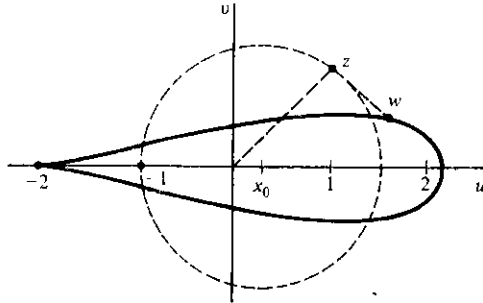
شكل ( ٨٦ )

١٣ - اثبت أنه إذا كان  $\sin \alpha \neq 0$  بتمرين (١٢) ، فإن مقياس سرعة السائل على امتداد

القطعة المستقيمة التي نقطتا نهايتها  $z = \pm 2$  يكون لا نهائى عند نقطتى النهاية ويساوى  $A|\cos \alpha$  عند النقطة المتوسطة .

١٤ - من أجل التبسيط ، دع  $0 < \alpha \leq \pi/2$  بتمرين (١٢) . من ثم اثبت أن سرعة السائل على امتداد الجانب العلوى من القطعة المستقيمة المثلثة للصفحة بشكل (٨٦) تساوى صفر عند النقطة  $x = 2 \cos \alpha$  وأن السرعة على امتداد الجانب السفلى من القطعة المستقيمة تساوى صفر عند النقطة  $x = -2 \cos \alpha$  .

١٥ - دائرة مركزها عند نقطة  $x_0$  على محور السينات ، حيث  $0 < x_0 < 1$  ، ومارة بالنقطة  $z = -1$  حولت بالتحويلة  $w = z + 1/z$  . يمكن أن نرسم هندسيا نقطا غير صفرية مفردة  $z = \exp(i\theta)$  وذلك بإضافة المتجه  $r^{-1} \exp(-i\theta)$  للمتجه  $z$  . وصح برسم بعض النقط أن صورة الدائرة تكون من نوع البروفيل الموضح بشكل (٨٧) وأن النقط الخارجة للدائرة ترسم فوق النقط الخارجة للبروفيل . هذه حالة خاصة من بروفيل جناح جو كوكوسكى Joukowski airfoil . ( انظر أيضاً تمرينى (١٦) ، (١٧) ) .  
(التاليين) .



شكل ( ٨٧ )

١٦ - (أ) اثبت أن راسم الدائرة بتمرين (١٥) يكون حافظا للزوايا الموجهة فيما عدا عند النقطة  $z = -1$  . (ب) افرض أن الأعداد المركبة

$$\tau = \lim_{\Delta z \rightarrow 0} \frac{\Delta w}{|\Delta w|} \quad \text{و} \quad t = \lim_{\Delta z \rightarrow 0} \frac{\Delta z}{|\Delta z|}$$

تمثل متجهات وحدة مماسة لقوس موجه عند  $z = -1$  وصورة ذلك القوس ، على الترتيب ، بالتحويلة  $w = z + 1/z$  . اثبت أن  $\tau = -t^2$  . ومن ثم اثبت أن بروفيل جو كوكوسكى المين بشكل (٨٧) له قرنة cusp ( نقطة التقاء قوسين ) عند النقطة  $w = -2$  وأن الزاوية بين المماسين عند القرنة تساوى صفر .

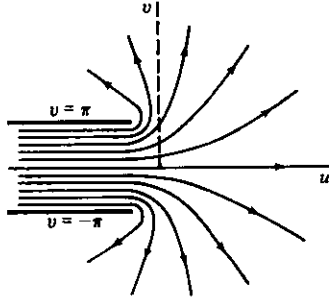
١٧ - معكوس التحويلة  $w = z + 1/z$  التي استخدمت بتمرين (١٥) سبق اعطائها ، مع وضع

$w, z$  كل مكان الآخر ، بتمرين (١١) . أوجد الجهد المركب للسريان حول الجناح airfoil الذى قدمناه بتمرين (١٥) عندما تكون السرعة  $v$  للسائل على بعد لا نهائى من نقطة الأصل ثابتا حقيقيا  $A$  .

١٨ - لاحظ أن التحويلة

$$w = e^z + z$$

ترسم كل من الجزئين الموجب والسالب من الخط المستقيم  $y = \pi$  فوق الشعاع  $u \leq -1, v = \pi$  . بالمثل الخط المستقيم  $y = -\pi$  يرسم فوق الشعاع  $v = -\pi$  و  $u \leq -1$  ، وترسم الشريحة  $-\pi \leq y \leq \pi$  فوق المستوى المركب  $w$  . لاحظ أيضاً أن التغير فى الاتجاهات  $\arg(dw/dz)$  ، الناتج عن هذه التحويلة يقترب من الصفر عندما تؤول  $x$  إلى  $-\infty$  . اثبت أن خطوط التيار لسائل يسرى خلال القناة المفتوحة المكونة بالشعاعين فى المستوى المركب  $w$  ( شكل (٨٨) ) هى صور الخطوط المستقيمة  $y = c$  فى الشريحة . خطوط التيار هذه تمثل أيضاً منحنيات متساوية الجهد مجال الكهرباء الساكنة بالقرب من حافة مكثف ذى لوحين متوازيين .



شكل ( ٨٨ )

# الفصل العاشر

## تحويلة شفارتز - كريستوفل

### The Schwarz - Christoffel Transformation

سنقوم في هذا الباب بإيجاد تحويلة ، تعرف بتحويلة شفارتز - كريستوفل ، ترسم محور  $x$  والنصف العلوي من المستوى المركب  $z$  فوق مضلع مغلق بسيط وداخليته في المستوى المركب  $w$  . وسنعطي كذلك في هذا الباب تطبيقات هذه التحويلة في حل مسائل تتعلق بسريان سائل أو مسائل في نظرية جهد الكهرباء الساكنة .

#### ٩١ - رسم المحور الحقيقي فوق مضلع Mapping the real Axis onto a Polygon

سنمثل متجه الوحدة المماس لقوس أملس موجه  $C$  عند نقطة  $z_0$  بالعدد المركب  $t$  . افرض أن القوس  $\Gamma$  هو صورة  $C$  بالتحويلة  $w=f(z)$  ، أن العدد المركب  $\tau$  يمثل متجه الوحدة المماس للقوس  $\Gamma$  عند النقطة المناظرة  $w_0=f(z_0)$  . سنفترض أن  $f$  تحليلية عند  $z_0$  وأن  $f'(z_0) \neq 0$  . طبقاً لبند (٧٦) ،

$$\arg \tau = \arg t + \arg f'(z_0). \quad (1)$$

وبصفة خاصة ، إذا كانت  $C$  قطعة مستقيمة من محور  $x$  موجهة في الاتجاه الموجب ، أى إلى اليمين ، فإن  $\arg t = 0, t = 1$  عند كل نقطة  $z_0 = x$  من نقط  $C$  . في هذه الحالة تؤول المعادلة (١) إلى

$$\arg \tau = \arg f'(x). \quad (2)$$

إذا كانت  $f'(z)$  ذات سعة ثابتة على امتداد تلك القطعة المستقيمة فينتج أن  $\arg \tau$  تكون ثابتة ، أى أن صورة القطعة المستقيمة  $C$  تكون أيضاً قطعة مستقيمة  $\Gamma$  من خط مستقيم .

دعنا الآن نوجد تحويلة  $w=f(z)$  ترسم المحور  $x$  بأكمله فوق مضلع له  $n$  من الأضلاع وحيث  $x_1, x_2, \dots, x_{n-1}$  و  $z = \infty$  هي النقط على محور  $x$  التي تكون صورها رؤوس المضلع ، حيث

$$x_1 < x_2 < \dots < x_{n-1}.$$

رؤوس المضلع هي النقط  $w_j = f(x_j)$  ، حيث  $j = 1, 2, \dots, n-1$  ،  $w_n = f(\infty)$  .  
 يتعين للدالة  $f$  المنشودة أن تكون بحيث أن  $\arg f'(z)$  تقفز من قيمة ثابتة ما لقيمة ثابتة أخرى عند النقط  $z = x_j$  عندما تتحرك  $z$  على المحور  $x$  .  
 إذا اختيرت الدالة  $f$  بحيث

$$f'(z) = A(z - x_1)^{-k_1}(z - x_2)^{-k_2} \dots (z - x_{n-1})^{-k_{n-1}}, \quad (3)$$

حيث  $A$  عدد مركب ثابت وكل  $k_j$  عدد حقيقي ثابت ، فإن سعة  $f'(z)$  تتغير تبعا للأسلوب المذكور أعلاه عندما تتحرك  $z$  على المحور الحقيقي . ذلك أن سعة الدالة (٣) يمكن كتابتها على الصورة

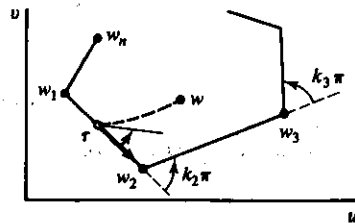
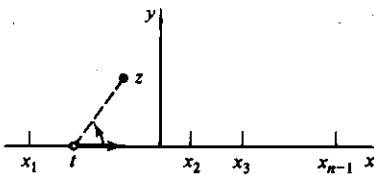
$$\arg f'(z) = \arg A - k_1 \arg(z - x_1) - k_2 \arg(z - x_2) - \dots - k_{n-1} \arg(z - x_{n-1}). \quad (4)$$

عندما  $z = x$  و  $x < x_1$  :

$$\arg(z - x_1) = \arg(z - x_2) = \dots = \arg(z - x_{n-1}) = \pi.$$

عندما  $x_1 < x < x_2$  فإن  $\arg(z - x_1) = 0$  وتكون كل من السعات الأخرى مساوية للعدد  $\pi$  . إذن ، طبقا لمعادلة (٤) ، تزداد سعة  $f'(z)$  فجائيا بزاوية مقدارها  $k_1\pi$  عندما تتحرك  $z$  إلى اليمين مارا بالنقطة  $z = x_1$  . وتقفز قيمتها مرة أخرى بالمقدار  $k_2\pi$  عندما تتحرك  $z$  مارا بالنقطة  $x_2$  ، إلخ .

طبقا للمعادلة (٢) ، فإن متجه الوحدة  $\tau$  يكون ثابت الاتجاه عندما تتحرك  $z$  من  $x_{j-1}$  إلى  $x_j$  ، وبالتالي فإن  $w$  تتحرك في هذا الاتجاه الثابت على طول خط مستقيم . ويتغير اتجاه  $\tau$  فجائيا بالزاوية  $k_j\pi$  عند النقطة  $w_j$  ( صورة النقطة  $x_j$  ) ( شكل (٨٩) ) . هذه الزوايا  $k_j\pi$  هي الزوايا الخارجية للمضلع الذي يرسم بالنقطة  $w$  .



شكل (٨٩)



يمكن أن تحدد الزوايا الخارجية للمضلع لتقع بين  $-\pi$  و  $\pi$  ، أى أن  $-1 < k_j < 1$  سنفترض أن أضلاع المضلع لا تتقاطع مع بعضها على الإطلاق وأن المضلع موجه في الاتجاه الموجب ( أى ضد عقرب الساعة ) . بذلك يكون مجموع الزوايا الخارجية لمضلع مغلق يساوى  $2\pi$  ، وأن الزاوية الخارجية عند الرأس  $w_n$  ( صورة النقطة  $z = \infty$  ) تحقق العلاقة

$$k_n \pi = 2\pi - (k_1 + k_2 + \dots + k_{n-1})\pi.$$

إذن الأعداد  $k_j$  لابد وأن تحقق الشروط

$$k_1 + k_2 + \dots + k_{n-1} + k_n = 2, \quad -1 < k_j < 1 \quad (٥)$$

حيث  $j = 1, 2, \dots, n$

لاحظ أن  $k_n = 0$  إذا كان

$$k_1 + k_2 + \dots + k_{n-1} = 2. \quad (٦)$$

في هذه الحالة لا يتغير اتجاه  $\tau$  عند  $w_n$  ، وبالتالي لا تكون  $w_n$  رأساً للمضلع ، ويكون للمضلع  $n-1$  من الأضلاع .

فيما يلي سنقوم بتبيان تحقق وجود دالة  $f$  تعطى مشتقتها بالصيغة (٣) .

## ٩٢ - تحويلة شفارتز - كريستوفل The Schwarz-Christoffel Transformation

في الصيغة

$$f'(z) = A(z - x_1)^{-k_1} (z - x_2)^{-k_2} \dots (z - x_{n-1})^{-k_{n-1}} \quad (١)$$

لمشتقة دالة ترسم محور  $x$  فوق مضلع ، افرض أن المعاملات  $(z - x_j)^{-k_j}$  تمثل أفرع دوال قوى فروعها القاطعة تمتد تحت هذا المحور . ولكي نكون أكثر تحديداً ، سنكتب

$$(z - x_j)^{-k_j} = |z - x_j|^{-k_j} \exp(-ik_j \theta_j) \quad (٢)$$

حيث  $\theta_j = \arg(z - x_j)$  و  $(-\frac{\pi}{2} < \theta_j < \frac{3\pi}{2})$  و  $j = 1, 2, \dots, n-1$  بهذا تكون  $f'(z)$  تحليلية عند جميع نقط نصف المستوى  $y \geq 0$  عدا عند نقط التفرع  $x_j$  ( هذه النقط عددها

(n-1)

إذا كانت  $z_0$  نقطة في هذا النطاق ، الذى سنرمز له بالرمز  $R$  ، الذى تكون فيه الدالة

تحليلية ، فإن الدالة

$$F(z) = \int_{z_0}^z f'(s) ds \quad (٣)$$

تكون وحيدة القيمة وتحليلية فوق نفس النطاق  $R$  ، حيث مسار التكامل من  $z_0$  إلى  $z$

أى كفاف يقع في داخلية  $R$  . بالإضافة إلى ذلك فإن  $F'(z) = f'(z)$  .

لتعريف الدالة  $F$  عند النقطة  $z = x_1$  بحيث تكون متصلة عندها ، نلاحظ أولاً أن  $(z - x_1)^{-k_1}$  هو العامل الوحيد في (١) الذي لا يكون تحليلياً عند  $x_1$  . وعليه إذا كانت  $\phi(z)$  حاصل ضرب بقية العوامل في (١) ، فإن  $\phi(z)$  تكون تحليلية عند  $x_1$  وأنها تمثل عند جميع نقط القرص المفتوح  $|z - x_1| < r_1$  بمتسلسلة تايلور حول  $x_1$  . وبالتالي يكون

$$f'(z) = (z - x_1)^{-k_1} \phi(z) \\ = (z - x_1)^{-k_1} \left[ \phi(x_1) + \phi'(x_1)(z - x_1) + \frac{\phi''(x_1)}{2!} (z - x_1)^2 + \dots \right],$$

أو

$$f'(z) = \phi(x_1)(z - x_1)^{-k_1} + (z - x_1)^{1-k_1} \psi(z) \quad (٤)$$

حيث  $\psi(z)$  تحليلية ، وبالتالي متصلة ، عند جميع نقط القرص المفتوح . حيث أن  $1 - k_1 > 0$  ، فإن الحد الأخير في الطرف الأيمن من (٤) يمثل بالتالي دالة متصلة في المتغير  $z$  عند جميع نقط النصف العلوي للقرص المفتوح ، حيث  $\text{Im } z \geq 0$  ، وذلك إذا أخذنا قيمة هذا الحد مساوياً للصفر عند  $z = x_1$  . من هذا ينتج أن التكامل

$$\int_{z_1}^z (s - x_1)^{1-k_1} \psi(s) ds$$

للحد الأخير على امتداد كفاف من  $Z_1$  إلى  $z$  ، حيث  $Z_1$  والكفاف يقعان في نصف القرص ، يكون دالة متصلة للمتغير  $z$  عند  $z = x_1$  . التكامل

$$\int_{z_1}^z (s - x_1)^{-k_1} ds = \frac{1}{1 - k_1} [(z - x_1)^{1-k_1} - (Z_1 - x_1)^{1-k_1}]$$

على امتداد نفس المسار يمثل أيضاً دالة متصلة للمتغير  $z$  عند  $x_1$  وذلك إذا ما عرفنا قيمة التكامل هناك على أنها نهاية التكامل عندما تقترب  $z$  من  $x_1$  في نصف القرص . وبالتالي فإن تكامل الدالة (٤) على امتداد المسار المذكور من  $Z_1$  إلى  $z$  يكون دالة متصلة عند  $z = x_1$  ، وهكذا يكون أيضاً التكامل (٣) حيث أنه يمكن كتابته على أنه تكامل على امتداد كفاف في  $R$  من  $z_0$  إلى  $Z_1$  بالإضافة إلى التكامل من  $Z_1$  إلى  $z$  .

مما ذكر أعلاه يمكن تطبيقه عند كل من النقط  $x_j$  ،  $j = 1, 2, \dots, n-1$  ، وبذلك تصبح  $F$  متصلة عند كل نقطة من نقاط المنطقة  $y \geq 0$  .

باستخدام المعادلة (١) يمكننا إثبات أنه لعدد موجب  $R$  كبير بقدر كاف يوجد عدد

ثابت موجب  $M$  بحيث أن

$$|z| > R \quad \text{طالما} \quad |f'(z)| < \frac{M}{|z|^{2-k_n}} \quad (٥)$$

وذلك إذا كانت  $\text{Im } z \geq 0$  .

حيث أن  $2 - k_n > 1$ ، فإن خاصية الترتيب هذه للدالة المكاملة في المعادلة (٣) تضمن تحقق وجود نهاية للتكامل عندما تؤول  $z$  إلى مالانهاية، أى أنه يوجد عدد  $w_n$  بحيث

$$\lim_{z \rightarrow \infty} F(z) = W_n \quad (\text{Im } z \geq 0) \quad (6)$$

وستترك تفاصيل إثبات ذلك لتمرينى (١٠)، (١١) من بند (٩٥)

الدالة الراسمة والتي تعطى مشتقتها الأولى بالصيغة (١) يمكن كتابتها على الصورة

$f(z) = F(z) + B$  حيث  $B$  ثابت مزكب . بذلك تكون التحويلة الناشئة هي

$$w = A \int_{z_0}^z (s - x_1)^{-k_1} (s - x_2)^{-k_2} \dots (s - x_{n-1})^{-k_{n-1}} ds + B, \quad (7)$$

هذه التحويلة تعرف بتحويلة شفارتز - كريستوفل تكريما للرياضيين الألمانين هـ. أ

شفارتز H.A. Schwarz (١٨٤٣ - ١٩٢١) وإ.ب كريستوفل E.B. Christoffel

(١٨٢٩ - ١٩٠٠) والتي اكتشفها كل منهما مستقلا عن الآخر .

التحويلة (٧) متصلة عند جميع نقط نصف المستوى  $y \geq 0$ ، وهى كذلك

حافضة للزوايا الموجهة على نفس النطاق عدا عند النقط  $x_j$ . ويجب ملاحظة أننا قد

افترضنا أن الأعداد  $k_j$  تحقق الشروط (٥) من بند (٩١). بالإضافة إلى ذلك، فإننا

سنفترض أن الثوابت  $x_j, k_j$  تكون بحيث لا تتقاطع أضلاع المضلع، أى أن المضلع يكون

كفافا مغلقا بسيطا. وبالتالي، تبعا لبند (٩١)، فعندما تتحرك النقطة  $z$  على محور

السينات فى الاتجاه الموجب فإن صورتها  $w$  تتحرك على المضلع الموجب

كذلك، وبالتالي يوجد تناظر أحادى بين نقط محور السينات ونقط المضلع  $P$ . تبعا

للشرط (٦)، فإن الصورة  $w_n$  للنقطة  $z = \infty$  يتحقق وجودها وهى  $w_n = W_n + B$ .

إذا كانت  $z$  نقطة داخلية لنصف المستوى العلوى  $y \geq 0$ ، وكانت أى نقطة مختلفة

عن كل من النقط  $x_j$  على محور السينات، فإن الزاوية من المتجه  $t$  عند  $x_0$  إلى المتجه

الممثل بالقطعة المستقيمة الواصلة بين  $z, x_0$  تكون موجبة وأقل من  $\pi$  (شكل

(٨٩)). عند الصورة  $w_0$  للنقطة  $x_0$ ، الزاوية المناظرة من المتجه  $\tau$  إلى المتجه الممثل

لصورة القطعة المستقيمة الواصلة بين  $z, x_0$  يكون لها نفس القيمة. من هذا ينتج أن

صور نقط داخلية نصف المستوى تقع على يسار أضلاع المضلع مأخوذة فى اتجاه ضد

عقرب الساعة. سنترك للتمرين إثبات أن هذه التحويلة تناظر أحادى بين النقط الداخلية

لنصف المستوى ونقط داخلية المضلع.

إذا أعطينا مضلعا ما  $P$ ، دعنا نعين عدد الثوابت فى تحويلة شفارتز-كريستوفل بحيث

يرسم محور السينات فوق المضلع  $P$ . لهذا الغرض يمكننا كتابة  $B = 0, A = 1, z_0 = 0$

وتتطلب أن يرسم محور السينات فوق مضلع ما  $P'$  مشابه للمضلع  $P$  يمكن بعد ذلك

تعديل حجم ووضع المضلع  $P'$  ليناسب حجم ووضع المضلع  $P$  وذلك باختيار مناسب للثوابت  $A, B$ .

الأعداد  $k_j$  تعين جميعها من الزوايا الخارجية عند رؤوس المضلع  $P$ . يبقى بعد ذلك أن نختار الثوابت  $x_j$  وعددها  $n-1$ . صورة محور السينات هي مضلع ما  $P'$  له نفس زوايا المضلع  $P$ . ولكن إذا كان من الضروري أن يتشابه المضلعان  $P'$ ،  $P$ ، فلا بد وأن تكون النسبة بين طول أى ضلع من أضلاع المضلع  $P'$  ونظيره في المضلع  $P$  ثابتة ( هذه الأضلاع الموصولة عددها  $n-2$  ). هذا الشرط يعبر عنه بدلالة  $n-3$  من المعادلات في  $n-1$  من المجاهيل الحقيقية  $x_j$ . وبالتالي فإنه يمكن اختيار عددين من الأعداد  $x_j$  أو علاقتين بينهما عشوائيا بشرط أن يكون لهذه المعادلات ( عددها  $n-3$  ) في المجاهيل الباقية ( وعددها  $n-3$  ) حلولا حقيقية .

عندما تمثل نقطة نهائية  $z = x_n$  على محور السينات ، بدلا من نقطة اللانهاية ، النقطة التي صورتها الرأس  $w_n$  فإنه ينتج مما ذكرناه في البند السابق أن تحويلة شفارتز - كريستوفل تأخذ الصورة

$$w = A \int_{z_0}^z (s - x_1)^{-k_1} (s - x_2)^{-k_2} \cdots (s - x_n)^{-k_n} ds + B \quad (A)$$

حيث  $2 = k_1 + k_2 + \cdots + k_n$ . الأسس  $k_j$  تعين من الزوايا الخارجية للمضلع . ولكن في هذه الحالة يوجد  $n$  من الثوابت الحقيقية  $x_j$  التي لا بد وأن تحقق المعادلات المذكورة أعلاه وعددها  $n-3$ . وبالتالي فإنه يمكن اختيار ثلاثة أعداد  $x_j$  أو ثلاثة شروط على هذه الأعداد عشوائيا في التحويلة (A) التي ترسم محور السينات فوق مضلع معطى .

### ٩٣ - المثلثات والمستطيلات Triangles and Rectangles

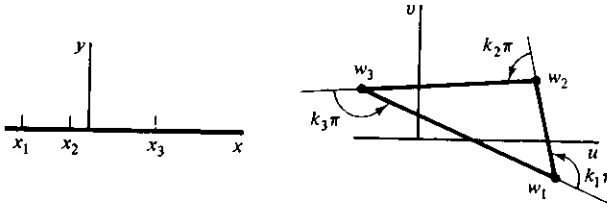
كما رأينا فإنه يعبر عن تحويلة شفارتز - كريستوفل بدلالة النقط  $x_j$  وليس بدلالة صورها رؤوس المضلع . مما سبق نعلم كذلك أنه يمكن اختيار ثلاث نقط منها على الأكثر عشوائيا ، وبالتالي فإذا كان للمضلع المعطى أكثر من ثلاثة أضلاع فإنه يتحتم تعيين بعض النقط  $x_j$  وذلك للحصول على المضلع المعطى ، أو أى مضلع مشابه له ، كصورة لمحور السينات . واختيار شروط ملائمة لتعيين هذه الثوابت يتطلب عادة مهارة .

قيد آخر على استخدامنا للتحويلة يرجع إلى التكامل الناشئ . فكثيرا ما يكون هذا التكامل غير ممكن حسابه بدلالة عدد محدود من الدوال الأولية . في مثل هذه الحالات قد يصبح حل المسائل باستخدام التحويلة من الصعوبة بمكان .

إذا كان المضلع مثلثا رؤوسه عند النقط  $w_1, w_2, w_3$  ( شكل (٩٠) ) ، فإن التحويلة

المطلوبة يمكن كتابتها على الصورة

$$w = A \int_{z_0}^z (s - x_1)^{-k_1} (s - x_2)^{-k_2} (s - x_3)^{-k_3} ds + B \quad (1)$$



شكل (٩٠)

حيث  $k_1 + k_2 + k_3 = 2$  . والعلاقة بين كل  $k_j$  والزواوية الداخلية  $\theta_j$  هي

$$k_j = 1 - \frac{1}{\pi} \theta_j \quad (j = 1, 2, 3)$$

وقد اعتبرنا هنا جميع النقاط  $x_j, j=1, 2, 3$ ، على أنها نقط نهائية على محور السينات . ويمكن تخصيص قيم اختيارية لكل منها . الثوابت المركبة  $A, B$  ، المصاحبة لحجم ووضع المثلث ، يمكن تعيينها بحيث يرسم نصف المستوى العلوى فوق المنطقة المثلثة المعطاة .

إذا أخذنا الرأس  $w_3$  على أنه صورة نقطة اللانهاية ، فإن التحويلة تصبح

$$w = A \int_{z_0}^z (s - x_1)^{-k_1} (s - x_2)^{-k_2} ds + B, \quad (2)$$

حيث يمكن اعطاء قيم حقيقية اختيارية للثابتين  $x_1, x_2$  .

التكاملان في معادلتى (١) ، (٢) لا يمثلان دوالاً بسيطة إلا إذا كان المثلث منحلاً بحيث يكون رأس أو رأسين من رؤوسه عند اللانهاية . التكامل في معادلة (٢) يصبح تكاملاً ناقصياً عندما يكون المثلث متساوى الأضلاع أو عندما يكون مثلثاً قائم الزاوية وإحدى زواياه تساوى  $\pi/3$  أو  $\pi/4$  .

للمثلث المتساوى الأضلاع يكون  $k_1 = k_2 = k_3 = 2/3$  . لذلك يكون من المناسب كتابة

$$A = 1, z_0 = 1 \quad \text{حيث (٢) معادلة (٢) واستخدام معادلة (٢) حيث } x_3 = \infty \text{ و } x_2 = 1 \text{ و } x_1 = -1$$

بذلك تصبح التحويلة

$$w = \int_1^z (s+1)^{-2/3} (s-1)^{-2/3} ds. \quad (3)$$

صورة النقطة  $z=1$  هي بالطبع  $w=0$  ، أى أن  $w_2=0$  . عندما  $z=-1$  في التكامل ، فإنه

يمكننا كتابة  $s=x$  ، وبالتالى  $-1 < x < 1$  ،  $x+1 > 0$  ،  $\arg(x+1) = 0$  ، بينما  $|x-1| = 1-x$  ،

إذن  $\arg(x-1) = \pi$  ،

$$w_1 = \int_1^{-1} (x+1)^{-2/3} (1-x)^{-2/3} \exp\left(-\frac{2\pi i}{3}\right) dx \quad (4)$$

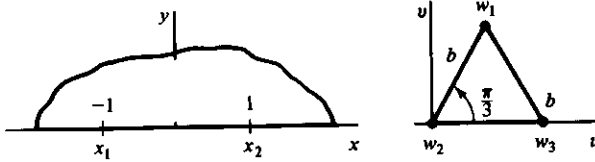
$$= \exp\left(\frac{\pi i}{3}\right) \int_{-1}^1 \frac{dx}{(1-x^2)^{2/3}}$$

وهذا التكامل الأخير يختزل إلى التكامل المستخدم في تعريف دالة بيتا ( تمرين (٩) بند (٧٥) ) . افرض أن  $b$  ترمز لقيمة هذا التكامل ، وهي قيمة موجبة :

$$b = 2 \int_0^1 \frac{dx}{(1-x^2)^{2/3}} = B(\frac{1}{2}, \frac{1}{3}). \quad (٥)$$

إذن الرأس  $w_1$  هو النقطة ( شكل (٩١) ) .

$$w_1 = b \exp \frac{\pi i}{3}. \quad (٦)$$



شكل (٩١)

الرأس  $w_3$  يقع على الجزء الموجب من محور  $u$  وذلك لأن

$$w_3 = \int_1^{\infty} (x+1)^{-2/3} (x-1)^{-2/3} dx = \int_1^{\infty} \frac{dx}{(x^2-1)^{2/3}}.$$

ولكن قيمة  $w_3$  تمثل أيضاً بالتكامل (٣) عندما تؤول  $z$  إلى مالا نهاية على امتداد الجزء السالب من محور السينات ، أى أن

$$w_3 = \int_1^{-1} (|x+1||x-1|)^{-2/3} \exp\left(-\frac{2\pi i}{3}\right) dx \\ + \int_{-1}^{-\infty} (|x+1||x-1|)^{-2/3} \exp\left(-\frac{4\pi i}{3}\right) dx.$$

إذن ، على ضوء المعادلة (٤)

$$w_3 = w_1 + \exp\left(-\frac{4\pi i}{3}\right) \int_{-1}^{-\infty} (|x+1||x-1|)^{-2/3} dx \\ = b \exp \frac{\pi i}{3} + \exp\left(-\frac{\pi i}{3}\right) \int_1^{\infty} \frac{dx}{(x^2-1)^{2/3}},$$

أو

$$w_3 = b \exp \frac{\pi i}{3} + w_3 \exp\left(-\frac{\pi i}{3}\right).$$

بحل هذه المعادلة الأخيرة للحصول على  $w_3$  نجد أن

$$w_3 = b. \quad (٧)$$

بهذا نكون قد حققنا أن صورة محور السينات هي المثلث المتساوي الأضلاع الموضح بشكل (٩١) والذي طول ضلعه  $b$  . من الممكن كذلك التحقق من أن :

$$. z = 0 \quad \psi = (b/2) \exp(\pi i/3)$$

عندما يكون المضلع مستطيلاً فإن  $k_j = 1/2$  لكل  $j$  . إذا اخترنا  $\pm a$  ،  $\pm 1$

تمثل النقط  $x$  التي صورها رؤوس المستطيل وبكتابة

$$g(z) = (z+a)^{-1/2}(z+1)^{-1/2}(z-1)^{-1/2}(z-a)^{-1/2} \quad (٨)$$

حيث  $0 \leq \arg(z-x) \leq \pi$  فإن تحويلة شفارتز - كريستوفل تصبح

$$w = - \int_0^z g(s) ds \quad (٩)$$

وذلك فيما عدا لتحويلة  $W = Aw + B$  لتعديل حجم ووضع المستطيل . التكامل (٩)

يساوى التكامل الناقصى

$$\int_0^1 (1-s^2)^{-1/2}(1-k^2s^2)^{-1/2} ds \quad \left(k = \frac{1}{a}\right);$$

مضروباً في مقدار ثابت . ولكن الصيغة (٨) للدالة المكاملة توضح بجلاء الأفرع المناسبة للدوال الغير قياسية المعنية .

دعنا نحاول تعيين رؤوس المستطيل عندما  $a > 1$  . كما هو موضح بشكل

(٩٢)  $x_4 = a, x_3 = 1, x_2 = -1, x_1 = -a$  . جميع الرؤوس الأربعة يمكن التعبير

عنها بدلالة عددين موجيين  $b, c$  يعتمدان على القيمة  $a$  على النحو التالي :

$$b = \int_0^1 |g(x)| dx = \int_0^1 \frac{dx}{\sqrt{(1-x^2)(a^2-x^2)}}, \quad (١٠)$$

$$c = \int_1^a |g(x)| dx = \int_1^a \frac{dx}{\sqrt{(x^2-1)(a^2-x^2)}}. \quad (١١)$$

عندما  $-1 < x < 0$  ، فإن  $\arg(x+a) = \arg(x+1) = 0$  ، و  $\arg(x-1) = \arg(x-a) = \pi$  ،

$$g(x) = [\exp(-ni/2)]^2 |g(x)| = -|g(x)|. \quad \text{إذن}$$

وعندما  $-a < x < -1$  ، فإن  $g(x) = [\exp(-ni/2)]^3 |g(x)| = i|g(x)|$  ، إذن

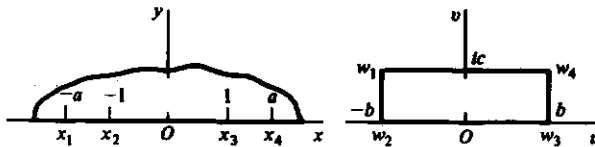
$$w_1 = - \int_0^{-a} g(x) dx = - \int_0^{-1} g(x) dx - \int_{-1}^{-a} g(x) dx$$

$$= \int_0^{-1} |g(x)| dx - i \int_{-1}^{-a} |g(x)| dx = -b + ic.$$

وسيتك القارئ كتمرين مهمة إثبات أن

$$w_2 = -b, \quad w_3 = b, \quad w_4 = b + ic. \quad (١٢)$$

وبذلك يكون وضع وأبعاد المستطيل كما هو موضح بشكل (٩٢) .



شكل (٩٢)

٩٤ - المضلعات المنحلة Degenerate Polygons

سنقوم الآن بتطبيق تحويلة شفارتز - كريستوفل على بعض المضلعات المنحلة التي تمثل التكاملات بالنسبة لها دوالا بسيطة . ولتوضيح ذلك ، سنبدأ ببعض التحويلات المألوفة .

أولا ، دعنا نرسم نصف المستوى  $y \geq 0$  فوق الشريحة نصف اللانهائية  $-\frac{\pi}{2} \leq u \leq \frac{\pi}{2}, v \geq 0$ .

سنعتبر الشريحة على أنها الصورة النهائية لمثلث رؤوسه  $w_1, w_2, w_3$  ( شكل (٩٣) ) عندما يؤول الجزء التخيلي للعدد  $w_3$  إلى مالا نهاية .

القيم النهائية للزوايا الخارجية هي

$$k_1 \pi = k_2 \pi = \frac{\pi}{2}, \quad k_3 \pi = \pi.$$

نختار النقط  $x_1 = -1, x_2 = 1, x_3 = \infty$  لتكون النقط التي صورها الرؤوس . وبالتالي فإن مشتقة الدالة الراسمة يمكن كتابتها على الصورة

$$\frac{dw}{dz} = A(z+1)^{-1/2}(z-1)^{-1/2} = A'(1-z^2)^{-1/2}.$$

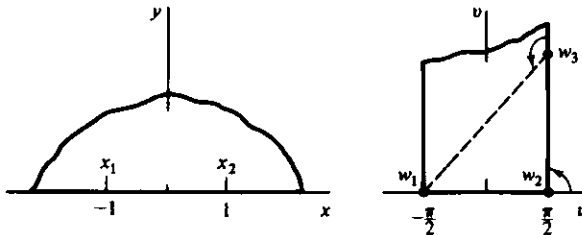
إذن  $w = A' \sin^{-1}z + B$  إذا كتبنا  $A' = 1/a$  و  $B = b/a$  فإن  $z = \sin (aw - b)$

هذه التحويلة من المستوى المركب  $w$  إلى المستوى المركب  $z$  تحقق الشروط  $z = -1$

عندما  $w = -\pi/2$  و  $z = 1$  عندما  $w = \pi/2$  وذلك إذا كان  $a = 1$  و  $b = 0$  . وبالتالي فإن التحويلة الناتجة تكون

$$z = \sin w,$$

التي سبق وأن تحققنا في بند (٣٩) من أنها ترسم الشريحة فوق نصف المستوى .



شكل (٩٣)



## ٩٥ - الشريحة اللانهائية The Infinite Strip

اعتبر الشريحة  $0 < v < \pi$  على أنها الوضع النهائي لمعين رؤوسه عند النقط  $w_1 = \pi i$  و  $w_2$  و  $w_3 = 0$  و  $w_4$  عندما تتحرك النقطتين  $w_4, w_2$  مسافة لا نهائية إلى اليسار وإلى اليمين على الترتيب (شكل (٩٤)). في الوضع النهائي تصبح الزوايا الخارجية

$$k_1\pi = 0, \quad k_2\pi = \pi, \quad k_3\pi = 0, \quad k_4\pi = \pi.$$

سنختار  $x_2 = 0, x_3 = 1, x_4 = \infty$  وستترك  $x_1$  لنعينها. مشتقة دالة راسم شفارتز - كريستوفل تصبح

$$\frac{dw}{dz} = A(z - x_1)^0 z^{-1} (z - 1)^0 = \frac{A}{z}$$

وبالتالي فإن

$$w = A \text{Log } z + B.$$

ولكن  $B = 0$  وذلك حيث أن  $w = 0$  عندما  $z = 1$ . الثابت  $A$  لا بد وأن يكون حقيقيا

حيث أن النقطة  $w$  تقع على محور الحقيقي عندما  $z = x$  و  $x > 0$ . النقطة  $w = \pi i$  صورة النقطة  $z = x_1$  حيث  $x_1$  عدد سالب. إذن

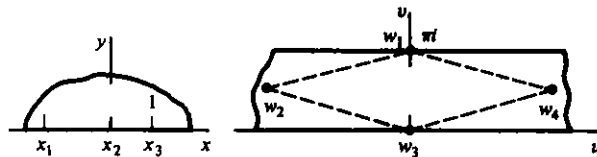
$$\pi i = A \text{Log } x_1 = A \text{Log } |x_1| + A\pi i.$$

بمساواة الأجزاء الحقيقية والتخيلية في الطرفين نجد أن  $|x_1| = 1$  و  $A = 1$ . وبالتالي فإن التحويلة تصبح

$$w = \text{Log } z$$

كما أن  $x_1 = -1$ . من بند (٣٨) نعلم أن هذه التحويلة ترسم نصف المستوى فوق الشريحة.

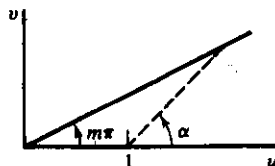
الطريقة التي استخدمت في هذا البند والبند السابق ليست دقيقة وذلك لأن القيم النهائية للزوايا والاحداثيات لم تقدم بطريقة منهجية. فقد استخدمت القيم النهائية كلما بدا لنا من المناسب أن نفعل ذلك. ولكن إذا فحصنا الراسم الذي حصلنا عليه، فليس من الضروري أن نبرر خطوات اشتقاقنا للدالة الراسمة. الطريقة الشكلية التي استخدمت هنا أقصر وأقل صعوبة من الطرق الدقيقة.



شكل (٩٤)

## تمارين

- ١ - في التحويلة (١) بند (٩٣) ضع  $B = z_0 = 0$  و  
 $A = \exp \frac{3\pi i}{4}$ ,  $x_1 = -1$ ,  $x_2 = 0$ ,  $x_3 = 1$ ,  
 $k_1 = \frac{1}{2}$ ,  $k_2 = \frac{1}{2}$ ,  $k_3 = \frac{1}{2}$   
 وذلك لرسم محور السينات فوق مثلث قائم الزاوية ومتساوي الساقين . اثبت أن رؤوس  
 هذا المثلث هي النقاط  
 $w_1 = bi$ ,  $w_2 = 0$ ,  $w_3 = b$ ,  
 حيث  $b$  الثابت الموجب :  
 $b = \int_0^1 (1-x^2)^{-3/4} x^{-1/2} dx$ .  
 كذلك اثبت أن  $2b = B(\frac{1}{2}, \frac{1}{2})$  حيث  $B$  هي دالة بيتا .
- ٢ - استنتج الصيغ (١٢) في بند (٩٣) لبقية رؤوس المستطيل الموضح بشكل (٩٢) .
- ٣ - اثبت أنه عندما  $0 < a < 1$  في صيغتي (٨) ، (٩) ببند (٩٣) فإن رؤوس المستطيل تكون  
 كما هو موضح بشكل (٩٢) حيث  $b, c$  تأخذ الآن القيم  
 $b = \int_0^a |g(x)| dx$ ,  $c = \int_a^1 |g(x)| dx$ .
- ٤ - اثبت أن الحالة الخاصة  
 $w = i \int_0^1 (s+1)^{-1/2} (s-1)^{-1/2} s^{-1/2} ds$   
 من تحويلة شفارتز - كريستوفل (٧) ببند (٩٢) ترسم محور السينات فوق المربع الذي  
 رؤوسه  
 $w_1 = bi$ ,  $w_2 = 0$ ,  $w_3 = b$ ,  $w_4 = b + ib$   
 حيث العدد الموجب  $b$  يعطى بدلالة دالة بيتا كالتالي :  
 $b = \frac{1}{2} B(\frac{1}{2}, \frac{1}{2})$
- ٥ - استخدم تحويلة شفارتز - كريستوفل للحصول على التحويلة  $w = z^m$  ، حيث  $0 < m < 1$   
 التي ترسم نصف المستوى  $\gamma \geq 0$  فوق المنطقة الزاوية  $0 \leq \arg w \leq m\pi$  والنقطة  $z = 1$   
 فوق النقطة  $w = 1$  . اعتبر المنطقة الزاوية على أنها الصورة النهائية للمثلث الموضح بشكل  
 (٩٥) عندما تؤول الزاوية  $\alpha$  إلى الصفر .



شكل (٩٥)

٦ - انظر شكل (٢٦) بملحق (٢) . عندما تتحرك النقطة  $z$  إلى اليمين على امتداد الجزء السالب من المحور الحقيقي تتحرك صورتها  $w$  إلى اليمين على امتداد محور  $u$  بأكمله . عندما تقطع  $z$  القطعة المستقيمة  $0 \leq x \leq 1, y = 0$  على المحور الحقيقي الموجب تتحرك صورتها  $w$  إلى اليسار على امتداد الشعاع  $u \geq 1, v = \pi i$  وعندما تتحرك  $z$  إلى اليمين على جزء المحور الحقيقي الموجب بحيث  $x \geq 1$  تتحرك صورتها  $w$  إلى اليمين على امتداد نفس الشعاع  $u \geq 1, v = \pi i$  . لاحظ التغير في اتجاه حركة النقطة  $w$  عند صورتي النقطتين  $z = 1, z = 0$  . هذه التغيرات تجعلنا نختار مشتقة الدالة الراسمة لتكون

$$f'(z) = k(z-0)^{-1}(z-1)$$

حيث  $k$  ثابت ما ، وبالتالي نحصل على الدالة الراسمة

$$w = \pi i + z - \text{Log } z$$

ويمكن التحقق من أن هذا الراسم يرسم نصف المستوى  $\text{Re } z > 0$  كما هو موضح بالشكل

٧ - عندما تتحرك النقطة  $z$  إلى اليمين على امتداد جزء المحور الحقيقي السالب بحيث  $x \leq -1$  تتحرك صورتها إلى اليمين على امتداد المحور الحقيقي السالب في المستوى المركب  $w$  . وعندما تتحرك  $z$  إلى اليمين على امتداد القطعة المستقيمة  $0 \leq x \leq 1, y = 0$  من المحور الحقيقي ثم تتحرك على امتداد القطعة المستقيمة  $0 \leq x \leq 1, y = 0$  تتحرك صورتها  $w$  في اتجاه زيادة  $v$  على امتداد القطعة المستقيمة  $u = 0, 0 \leq v \leq 1$  ثم في اتجاه تناقص  $v$  على امتداد نفس القطعة المستقيمة . وأخيرا ، عندما تتحرك  $z$  إلى اليمين على امتداد جزء المحور الحقيقي الموجب بحيث  $x \geq 1$  تتحرك صورتها إلى اليمين على امتداد المحور الحقيقي الموجب في المستوى المركب  $w$  . لاحظ التغيرات في اتجاه حركة  $w$  عند صورتي النقطتين  $z = 0, z = 1$  . من هذا نحصل على دالة راسمة مشتقتها :

$$f'(z) = k(z+1)^{-1/2}(z-0)^1(z-1)^{-1/2}$$

حيث  $k$  ثابت ما . أوجد الدالة الراسمة

$$w = \sqrt{z^2 - 1}$$

حيث  $0 < \arg \sqrt{z^2 - 1} < \pi$  باستخدام الرواسم المتعاقبة  $W = Z - 1, Z = z^2, w = \sqrt{W}$  تحقق من أن التحويلة المحصلة ترسم نصف المستوى  $\text{Re } z > 0$  فوق نصف المستوى  $\text{Im } w > 0$  مع قطع على امتداد القطعة المستقيمة  $u = 0, 0 < v \leq 1$

٨ - معكوسة التحويلة الخطية الكسرية

$$Z = \frac{i-z}{i+z}$$

ترسم القرص  $|Z| \leq 1$  ، بحيث تكون حافظة للزوايا الموجهة وذلك عدا عند النقطة  $Z = -1$  ، فوق نصف المستوى  $\text{Im } z \geq 0$  . ( انظر شكل (١٧) بملحق (٢) ) . افرض أن  $Z_j$  نقط على الدائرة  $|Z| = 1$  صورها النقط  $z = x_j (j = 1, 2, \dots, n)$  ، والتي استخدمت

في تحويلة شفارتز - كريستوفل (٨) بند (٩٢) . بين دون تعيين أفرع الدوال الغير القياسية - أن

$$\frac{dw}{dZ} = A'(Z - Z_1)^{-k_1}(Z - Z_2)^{-k_2} \dots (Z - Z_n)^{-k_n}$$

حيث  $A'$  ثابت ما . ومن ثم بين أن التحويلة

$$w = A' \int_0^z (S - Z_1)^{-k_1}(S - Z_2)^{-k_2} \dots (S - Z_n)^{-k_n} dS + B$$

ترسم داخلية الدائرة  $|Z|=1$  فوق داخلية مضلع رؤوسه صور النقط  $Z_j$  الواقعة على الدائرة .

٩ - في التكامل بتمرين (٨) ، افرض أن الأعداد  $Z_j (j=1, 2, \dots, n)$  ، هي الجذور النونية للوحدة . اكتب  $\omega = \exp(2\pi i/n)$  ،  $Z_1 = 1, Z_2 = \omega, \dots, Z_n = \omega^{n-1}$  كذلك أن كل من الأعداد  $k_j (j=1, 2, \dots, n)$  يساوى  $2/n$  بهذا يصبح التكامل بتمرين (٨)

$$w = A' \int_0^z \frac{dS}{(S^n - 1)^{2/n}} + B.$$

اثبت أنه عندما تكون  $A' = 1, B = 0$  ، فإن هذه التحويلة ترسم داخلية دائرة الوحدة  $|Z|=1$  فوق داخلية مضلع منتظم عدد أضلاعه  $n$  ومركزه النقطة  $w = 0$  .

اقترح : صورة كل من النقط  $Z_j (j=1, 2, \dots, n)$  هي رأس اضلع ما زاويته الخارجية عند هذا الرأس تساوى  $2\pi/n$  اكتب

$$w_1 = \int_0^1 \frac{dS}{(S^n - 1)^{2/n}}$$

متخذا مسار التكامل ليكون على امتداد المحور الحقيقي الموجب من  $Z=0$  إلى  $Z=1$  مع ملاحظة أننا سنأخذ القيمة الأساسية للجذر النوني للمقدار  $(S^n - 1)^{2/n}$  . من ثم اثبت أن صور النقط  $Z_2 = \omega, \dots, Z_n = \omega^{n-1}$  هي النقط  $w_1, \dots, w_{n-1}$  على الترتيب . بعد ذلك تحقق من أن المضلع يكون منتظما ومركزه  $w = 0$  .

١٠ - احصل على متباينة (٥) بند (٩٢) .

اقترح : افرض أن  $R$  أكبر من أى من الأعداد  $|x_j| (j=1, 2, \dots, n-1)$  لاحظ أنه إذا كانت  $R$  كبيرة كبرا كافيا فإن المتباينات  $|z|/2 < |z - x_j| < 2|z|$  تتحقق لكل  $x_j$  عندما  $|z| > R$  . ثم استخدم معادلة (١) بند (٩٢) مع الشروط (٥) بند (٩١) .

١١ - في بند (٩٢) ، استخدم الشروط (٥) والشروط الكافية لتحقيق وجود تكاملات معتلة للدوال الحقيقية لإثبات أن  $F(x)$  لها نهاية ما  $w_n$  عندما تؤول  $x$  إلى مالا نهاية ، حيث  $F(z)$  معرفة بمعادلة (٣) من ذلك البند . اثبت كذلك أن تكامل الدالة  $f'(z)$  فوق كل قوس من نصف الدائرة  $|z|=R, \text{Im } z \geq 0$  يقترب من الصفر عندما تؤول  $R$

إلى  $\infty$  . ومن ثم استنتج أن

$$\lim_{z \rightarrow \infty} F(z) = W_n \quad (\text{Im } z \geq 0),$$

كما هو مذكور بمعادلة (٦) هناك .

١٢ طبقا لتمرين (١٤) بند (٧١) يمكن استخدام الصيغة

$$N = \frac{1}{2\pi i} \int_C \frac{g'(z)}{g(z)} dz$$

لتعيين عدد أصفار دالة  $g$  بداخلية كفاف بسيط مغلق  $C$  موجه في الاتجاه الموجب عندما يقع  $C$  في نطاق بسيط الترابط  $D$  تكون فيه  $g(z)$  تحليلية ولا تنعدم  $g'(z)$  فيه على الإطلاق . في تلك الصيغة اكتب  $g(z) = f(z) - w_0$  ، حيث  $f(z)$  الدالة الراسمة لتحويلة شفارتز كريستوفل (٧) بند (٩٢) ، والنقطة  $w_0$  إما أن تكون نقطة داخلية أو خارجية للمضلع  $P$  الذى يكون صورة محور  $x$  ، إذن  $f(x) \neq w_0$  افرض أن الكفاف  $C$  يتكون من النصف العلوى لدائرة  $|z| = R$  وقطعة مستقيمة  $-R < x < R$  من محور  $x$  تحوى جميع النقط  $x_j$  ،  $j = 1, 2, \dots, n-1$  ، فيما عدا قطعة مستقيمة صغيرة حول كل نقطة  $x_j$  تستبدل بالنصف العلوى من دائرة  $|z - x_j| = r_j$  قطرها تلك القطعة المستقيمة . إذن عدد النقط  $z$  الداخلية للكفاف  $C$  بحيث  $f(z) = w_0$  هو

$$N_C = \frac{1}{2\pi i} \int_C \frac{f'(z)}{f(z) - w_0} dz.$$

لاحظ أن  $f(z) \rightarrow w_0$  تقترب من النقطة الغير صفرية  $w_n - w_0$  عندما  $|z| = R$  وعندما تؤول  $R$  إلى  $\infty$  ، متذكرا في ذلك خاصية الترتيب (٥) بند (٩٢) للدالة  $|f'(z)|$  . افرض أن الأعداد  $r_j$  تؤول إلى الصفر واثبت أن عدد النقط في النصف العلوى من المستوى المركب  $z$  التى يكون عندها  $f(z) = w_0$  يكون

$$N = \frac{1}{2\pi i} \lim_{R \rightarrow \infty} \int_{-R}^R \frac{f'(x)}{f(x) - w_0} dx.$$

استنتج أن  $N = 1$  إذا كانت  $w_0$  نقطة داخلية للمضلع  $P$  وأن  $N = 0$  إذا كانت  $w_0$  نقطة خارجية للمضلع  $P$  ، وذلك حيث أن

$$\int_P \frac{dw}{w - w_0} = \lim_{R \rightarrow \infty} \int_{-R}^R \frac{f'(x)}{f(x) - w_0} dx,$$

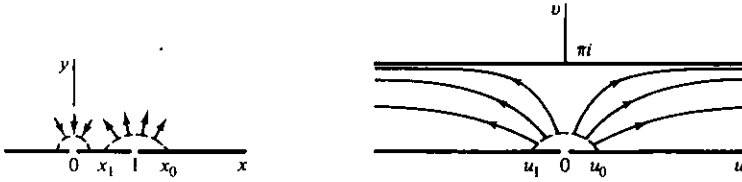
ومن ثم اثبت أن الراسم لنضعف المستوى  $\text{Im } z > 0$  فوق داخلية  $P$  يكون أحاديا .

## ٩٦ - سريان سائل في مجرى من خلال شق Fluid Flow in a Channel through a Slit

سنقدم الآن مثالا آخر عن السريان المستقر المثالى الذى سبق لنا التعرض له في الباب

التاسع . هذا المثال سيساعدنا في أن نبين كيف أن المنابع والمصارف يمكن أن توضح في مسائل سريان سائل .

اعتبر السريان المستقر الثنائي البعد لسائل بين مستويين متوازيين  $v=0$  ,  $v=\pi$  ، إذا كان السائل يتدفق من خلال شق ضيق بطول الخط المستقيم في المستوى الأول والذي يكون عموديا على المستوى  $uv$  عند نقطة الأصل ( شكل (٩٦) ) . افرض أن معدل سريان السائل في المجرى من خلال الشق يساوى  $Q$  من وحدات الحجم لوحدة الزمن لكل وحدة من وحدات عمق المجرى ، حيث العمق مقيس في الاتجاه العمودى للمستوى  $uv$  . بذلك يكون معدل السريان إلى الخارج عند كل من النهايتين يساوى  $Q/2$  .



شكل (٩٦)

التحويلة  $w = \text{Log } z$  ، التي سبق اشتقاقها في البند السابق ، راسم أحادى من النصف العلوى للمستوى المركب  $z$  فوق الشريحة في المستوى المركب  $w$  . التحويلة العكسية

$$z = e^w = e^u e^{iv} \quad (1)$$

ترسم إذن الشريحة فوق نصف المستوى . التحويلة (١) ترسم محور الإحداثيات  $u$  فوق النصف الموجب من محور الاحداثيات  $x$  ، وترسم الخط المستقيم  $v = \pi$  فوق النصف السالب من نفس المحور . بذلك يكون حد الشريحة قد رسم فوق حد نصف المستوى .

النقطة  $z=1$  هي صورة النقطة  $w=0$  . صورة نقطة ما  $w=u_0$  ، حيث  $u_0 > 0$  ، هي نقطة  $z=x_0$  حيث  $x_0 > 1$  . معدل سريان السائل على امتداد منحني يصل النقطة  $w=u_0$  بنقطة  $(u,v)$  في الشريحة هو دالة تيار  $\psi(u,v)$  للسريان ( بند (٨٨) ) . إذا كان  $u_1$  عددًا حقيقيا سالبا ، فإن معدل السريان في المجرى من خلال الشق يمكن كتابته على الصورة

$$\psi(u_1, 0) = Q.$$

الآن ، فبتأثير تحويلة حافظة للزوايا الموجهة ، تحول الدالة  $\psi$  إلى دالة في المتغيرين  $x,y$  تمثل دالة تيار للسريان في المنطقة المناظرة من المستوى المركب  $z$  ، أى أن معدل السريان

متساو على امتداد منحنيات متناظرة في المستويين . كما اتبعنا في الباب التاسع ، سنستخدم نفس الرمز  $\psi$  ليرمز لدالتى التيار المختلفتين في المستويين . وحيث أن صورة النقطة  $w = u_1$  تكون نقطة  $z = x_1$  حيث  $0 < x_1 < 1$ ، فإن معدل السريان على امتداد أى منحنى يصل النقطتين  $z = x_1, z = x_0$  ويقع فى النصف العلوى من المستوى المركب  $z$  يساوى أيضا  $Q$  . وبالتالي فإنه يوجد منبع عند النقطة  $z = 1$  مساو للمنبع عند  $w = 0$  . ما أتبع أعلاه يمكن استخدامه بصفة عامة لإثبات أن : تحت تأثير تحويلة حافظة للزوايا الموجهة فإن كل منبع أو مصرف عند نقطة معطاة يناظر منبع أو مصرف مساو له عند صورة تلك النقطة .

عندما يؤول  $\text{Re } w$  إلى  $-\infty$  ، تقترب صورة النقطة  $w$  من النقطة  $z = 0$  . وأى مصرف قوته  $Q/2$  عند النقطة الأخيرة يناظر المصرف الذى يبعد بعدا لانهايا إلى اليسار فى الشريحة . لتطبيق ما ذكر أعلاه فى هذه الحالة ، نعتبر معدل السريان على امتداد منحنى يصل الحدين  $v = 0$  و  $v = \pi$  للجزء الأيسر من الشريحة وكذلك السريان على امتداد صورة هذا المنحنى فى المستوى المركب  $z$  . المصرف عند نهاية الطرف الأيمن للشريحة يحول إلى مصرف عند نقطة اللانهاية فى المستوى المركب  $z$  .

دالة التيار  $\psi$  للسريان فى النصف العلوى من المستوى المركب  $z$  لا بد وأن تكون فى هذه الحالة دالة ذات قيم ثابتة على امتداد كل جزء من الأجزاء الثلاثة من محور السينات . بالإضافة إلى ذلك فإن قيمتها لا بد وأن تزيد بمقدار  $Q$  عندما تتحرك النقطة  $z$  حول النقطة  $z = 1$  من الموضع  $z = x_0$  للموضع  $z = x_1$  ، ولا بد أن تنقص قيمتها بمقدار  $Q/2$  عندما تتحرك  $z$  حول نقطة الأصل بطريقة مناظرة. الدالة

$$\psi(x,y) = \frac{Q}{\pi} [\text{Arg}(z-1) - \frac{1}{2} \text{Arg } z]$$

تحقق هذه المتطلبات . بالإضافة إلى ذلك ، فهذه الدالة توافقية فى نصف المستوى  $\text{Im } z > 0$  وذلك لأنها الجزء التخيلي من الدالة

$$F(z) = \frac{Q}{\pi} [\text{Log}(z-1) - \frac{1}{2} \text{Log } z]$$

$$= \frac{Q}{\pi} \text{Log}(z^{1/2} - z^{-1/2}).$$

الدالة  $F$  دالة جهد مركب للسريان فى النصف العلوى من المستوى المركب  $z$  . وحيث أن  $z = e^w$  ، فإن الدالة

$$F(w) = \frac{Q}{\pi} \text{Log}(e^{w/2} - e^{-w/2})$$

تكون دالة جهد مركب للسريان في المجرى .  
بإهمال ثابت جمعي ، يمكننا كتابة

$$F(w) = \frac{Q}{\pi} \text{Log} \left( \sinh \frac{w}{2} \right). \quad (2)$$

لاحظ أننا استخدمنا نفس الرمز  $F$  للدلالة على ثلاث دوال مختلفة ، مرة في المستوى المركب  $z$  ومرتان في المستوى المركب  $w$  .  
متجه السرعة  $\overline{F'(w)}$  يعطى بالعلاقة

$$V = \frac{Q}{2\pi} \coth \frac{\bar{w}}{2}. \quad (3)$$

من هذا نرى أن

$$\lim_{|w| \rightarrow \infty} V = \frac{Q}{2\pi}.$$

كذلك ، النقطة  $w = \pi i$  نقطة ركود Stagnation point ، أى أن السرعة عندها تساوى صفر . وبالتالي فإن ضغط السائل على امتداد الحائط  $v = \pi$  للمجرى يكون أكبر ما يمكن عند النقط المقابلة للشق .

دالة التيار  $\psi(u,v)$  للمجرى هي الجزء التخيلي للدالة  $F(w)$  المعطاة بالمعادلة (٢) .  
وبذلك تكون خطوط السريان Streamlines  $\psi(u,v) = c$  هي المنحنيات

$$\frac{Q}{\pi} \text{Arg} \left( \sinh \frac{w}{2} \right) = c.$$

وهذه المعادلة تؤول إلى

$$\tan \frac{v}{2} = k \tanh \frac{u}{2} \quad (4)$$

حيث  $k$  ثابت حقيقي . شكل (٩٦) يوضح بعض خطوط السريان .

#### ٩٧ - السريان في مجرى ذي نتوء Flow in a Channel with an Offset

لزيادة إيضاح استخدام تحويلة شفارتز - كريستوفل ، دعنا نوجد الجهد المركب لسريان سائل في مجرى به تغير فجائى في العرض ( شكل (٩٧) ) . سنعتبر وحدة للطول بحيث يكون عرض الجزء الأكبر عرضا من المجرى يساوى  $\pi$  من الوحدات ، وبالتالي فإن عرض الجزء الأضيق من المجرى يساوى  $h\pi$  ، حيث  $0 < h < 1$  .  
افرض أن الثابت الحقيقى  $V_0$  يرمز لسرعة السائل بعيدا عن النتوء في الجزء الأكبر عرضا ، أى أن

$$\lim_{u \rightarrow -\infty} V = V_0$$

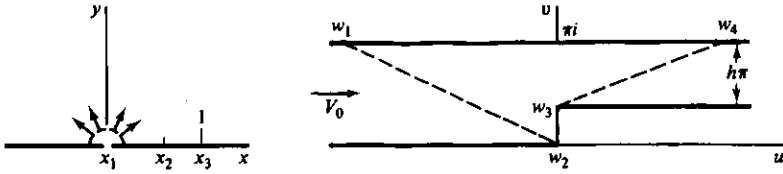
حيث المتغير المركب  $V$  يمثل متجه السرعة . معدل السريان لوحدة العمق خلال المجرى ، أو قوة المنبع على اليسار وقوة المصرف على اليمين ، يكون إذن



$$Q = \pi V_0. \quad (1)$$

يمكن اعتبار مقطع المجرى على أنه الوضع النهائي للشكل الرباعي الموضح بالشكل والذي رؤوسه النقط  $w_1, w_2, w_3, w_4$ ، عندما يتحرك الرأس  $w_1$  إلى اليسار مسافة لا نهائية ويتحرك الرأس  $w_4$  إلى اليمين مسافة لا نهائية كذلك. في الوضع النهائي تصبح الزوايا الخارجية

$$k_1 \pi = \pi, \quad k_2 \pi = \frac{\pi}{2}, \quad k_3 \pi = -\frac{\pi}{2}, \quad k_4 \pi = \pi.$$



شكل (٩٧)

إذا كتبنا  $x_1 = 0, x_3 = 1, x_4 = \infty$  وتركنا  $x_2$  لنعينها، حيث  $0 < x_2 < 1$ ، فإن مشتقة الدالة الراسمة تصبح

$$\frac{dw}{dz} = Az^{-1}(z-x_2)^{-1/2}(z-1)^{1/2}. \quad (2)$$

من أجل تبسيط تعيين الثوابت  $A$  و  $x_2$  هنا، سنشرع مباشرة في استخدام الجهد المركب للسريان. منبع السريان في المجرى والواقع إلى أقصى اليسار ينظر منبعا مساويا عند  $z=0$  (بند (٩٦)). الحد الكامل لمقطع المجرى هو صورة محور السينات. ووفقا لمعادلة (١)، فإن الدالة

$$F(z) = V_0 \text{Log } z = V_0 \text{Log } r + iV_0 \theta \quad (3)$$

تكون دالة الجهد للسريان في النصف العلوي من المستوى المركب  $z$  مع وجود المنبع المطلوب عند نقطة الأصل. لاحظ أن المصرف على يمين المجرى لا بد وأن ينظر مصرفا عند نقطة اللانهاية في المستوى المركب  $z$ .

المرافق المركب للسرعة  $v$  في المستوى المركب  $w$  يمكن كتابته على الصورة

$$\overline{V(w)} = \frac{dF}{dw} = \frac{dF}{dz} \frac{dz}{dw}.$$

وبالتالي، وباستخدام معادلتى (٢) و (٣)، يمكننا أن نكتب

$$\overline{V(w)} = \frac{V_0}{A} \left( \frac{z-x_2}{z-1} \right)^{1/2}. \quad (4)$$

في الوضع النهائي للنقطة  $w_1$  والمناظر للنقطة  $z=0$ ، تكون السرعة هي الثابت

الحقيقي  $V_0$ . بذلك ينتج من معادلة (٤) أن

$$V_0 = \frac{V_0}{A} \sqrt{x_2}.$$

عند الوضع النهائي للنقطة  $w_4$  والمناظر للنقطة  $z = \infty$  ، سنرمز للسرعة بالعدد الحقيقي  $V_4$  . قد يبدو لنا الآن ظاهرياً ، أنه عندما تتحرك قطعة مستقيمة رأسية للتعبير الجزء الضيق من المجرى مسافة لا نهائية إلى اليمين ، فإن  $V$  تقترب من  $V_4$  عند كل نقطة من نقط تلك القطعة المستقيمة . يمكننا التحقق من أن هذا التخمين **Conjecture** حقيقة واقعة وذلك بإيجاد  $w$  كدالة في  $z$  أولاً من معادلة (٢) ، ولكن ، حتى نوجز المناقشة ، سنفترض صحة هذه الحقيقة . إذن ، وحيث أن السريان مستقر فإن

$$\pi h V_4 = \pi V_0 = Q,$$

أى أن  $V_4 = V_0/h$  . يجعل  $z$  تؤول إلى ما لا نهاية في معادلة (٤) ، نجد أن

$$\frac{V_0}{h} = \frac{V_0}{A}.$$

إذن

$$A = h, \quad x_2 = h^2, \quad (5)$$

و

$$\overline{V(w)} = \frac{V_0}{h} \left( \frac{z - h^2}{z - 1} \right)^{1/2}. \quad (6)$$

من معادلة (٦) يمكننا أن نرى أن مقياس السرعة  $|V|$  يصبح لا نهائياً عند الحافة  $w_3$  للتواء وذلك حيث أنه صورة النقطة  $z = 1$  . أيضاً ، الحافة  $w_2$  نقطة ركود ، وهي نقطة تحقق  $v = 0$  . بذلك يكون ضغط السائل على امتداد حد المجرى أكبر ما يمكن عند  $w_2$  وأصغر ما يمكن عند  $w_3$  .

لإيجاد العلاقة بين الجهد والمتغير  $w$  ، لابد أن نكامل معادلة (٢) التي يمكن كتابتها الآن على الصورة

$$\frac{dw}{dz} = \frac{h}{z} \left( \frac{z - 1}{z - h^2} \right)^{1/2}. \quad (7)$$

بالتعويض بمتغير جديد  $s$  ، حيث

$$\frac{z - h^2}{z - 1} = s^2,$$

يمكننا أن نبين أن معادلة (٧) تؤول إلى

$$\frac{dw}{ds} = 2h \left( \frac{1}{1 - s^2} - \frac{1}{h^2 - s^2} \right).$$

إذن ،

$$w = h \operatorname{Log} \frac{1 + s}{1 - s} - \operatorname{Log} \frac{h + s}{h - s}. \quad (8)$$

ثابت التكامل هنا يساوى صفرًا وذلك لأن  $s = 0$  ، ومن ثم  $w = 0$  عندما  $z = h^2$

بدلالة  $s$  ، يصبح الجهد  $F$  المعطى بمعادلة (٣)

$$F = V_0 \operatorname{Log} \frac{h^2 - s^2}{1 - s^2};$$

وبالتالى فإن

$$s^2 = \frac{\exp(F/V_0) - h^2}{\exp(F/V_0) - 1}. \quad (9)$$

بالتعويض عن  $s$  كما هي معطاة بهذه المعادلة فى معادلة (٨) ، نحصل على علاقة ضمنية تعطى الجهد  $F$  كدالة للمتغير المركب  $w$  .

## ٩٨ - جهد الكهرباء الساكنة حول حافة صفيحة موصلة

### Electrostatic Potential about an Edge of a Conducting Plate

ليكن لدينا صفيحتان موصلتان متوازيتان ممتدتان لا نهائيا حفظ جهد الكهرباء الساكنة لهما عند  $v=0$  وصفيحة تالثة نصف لا نهائية موازية لهما وموضوعة فى وسط المسافة بينهما حفظ جهد الكهرباء الساكنة لها عند  $v=1$  . سنختار نظاما للاحداثيات ووحدة للطول بحيث تقع الصفائح الثلاث فى المستويات  $v=0, v=\pi, v=\pi/2$  (شكل (٩٨) ) . دعنا نعين دالة الجهد  $V(u,v)$  فى المنطقة الواقعة بين هذه الصفائح . مقطع هذه المنطقة فى المستوى  $uv$  فى صورته النهائية يكون الشكل الرباعى المحدد بالمستقيمات المنكسرة الموضحة بالشكل ، وذلك عندما تتحرك النقطتان  $w_1, w_3$  إلى الخارج يمينا وتتحرك النقطة  $w_4$  إلى الخارج يسارا . بتطبيق تحويل شفارتز - كريستوفل هنا ، سنفترض أن النقطة  $x_4$  ، المناظرة للرأس  $w_4$  هى نقطة اللانهاية . سنختار  $x_1 = -1, x_3 = 1$  وندع  $x_2$  كنقطة مطلوب تعيينها . القيم النهائية للزوايا الخارجة للشكل الرباعى هى

$$k_1 \pi = \pi, \quad k_2 \pi = -\pi, \quad k_3 \pi = k_4 \pi = \pi.$$

إذن

$$\begin{aligned} \frac{dw}{dz} &= A(z+1)^{-1}(z-x_2)(z-1)^{-1} \\ &= A \frac{z-x_2}{z^2-1} = \frac{A}{2} \left( \frac{1+x_2}{z+1} + \frac{1-x_2}{z-1} \right), \end{aligned}$$

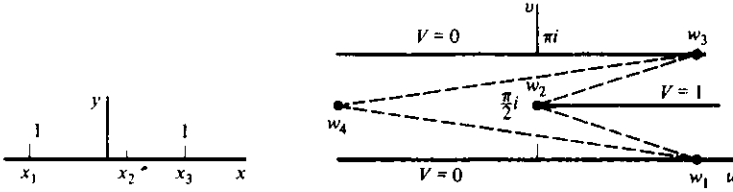
وبالتالى فإن التحويلة من النصف العلوى للمستوى المركب  $z$  إلى الشريحة المقسومة فى المستوى المركب  $w$  تكون

$$w = \frac{A}{2} [(1+x_2) \operatorname{Log}(z+1) + (1-x_2) \operatorname{Log}(z-1)] + B. \quad (1)$$

إفرض أن  $A_1, A_2, B_1, B_2$  هى الأجزاء الحقيقية والتخيلية للثابتين  $B, A$  على الترتيب . عندما

$z = x$  ، تقع النقطة  $w$  على حدود الشريحة المقسومة ، وطبقا لمعادلة (١) نحصل على

$$u + iv = \frac{1}{2}(A_1 + iA_2)\{(1 + x_2)[\text{Log}|x + 1| + i \arg(x + 1)] + (1 - x_2)[\text{Log}|x - 1| + i \arg(x - 1)]\} + B_1 + iB_2. \quad (2)$$



شكل (٩٨)

لتعيين الثابت هنا ، نلاحظ أولاً أن الوضع النهائي للقطعة المستقيمة الواصلة بين النقطتين  $w_4, w_1$  هو محور الإحداثيات  $u$  . هذا الخط هو صورة جزء محور السينات الواقع على يسار النقطة  $x_1 = -1$  ، وهذا راجع إلى أن القطعة المستقيمة الواصلة بين النقطتين  $w_4, w_3$  هي صورة جزء محور السينات الواقع على يمين  $x_3 = 1$  ، والضلعان الآخران للشكل الرباعي هما صورتا القطعتين المستقيمتين الباقيتين من محور السينات . إذن عندما  $v = 0$  . وتؤول  $u$  إلى مالا نهاية من خلال قيم موجبة ، تقترب النقطة المناظرة  $x$  إلى النقطة  $z = -1$  من اليسار . إذن

$$\arg(x + 1) = \pi, \quad \arg(x - 1) = \pi,$$

وتؤول  $\text{Log}|x + 1|$  إلى  $-\infty$  . وأيضاً ، حيث أن  $-1 < x_2 < 1$  ، فإن الجزء الحقيقي للمقدار داخل الأقواس المزدوجة في معادلة (٢) يؤول إلى  $-\infty$  . وحيث أن  $v = 0$  فإنه ينتج أن  $A_2 = 0$  ، وفيما عدا ذلك فإن الجزء التخيلي للطرف الأيمن يصبح لانهايا . بمساواة الأجزاء التخيلية في الطرفين ، نجد أن

$$0 = \frac{1}{2}A_1[(1 + x_2)\pi + (1 - x_2)\pi] + B_2.$$

إذن ،

$$-\pi A_1 = B_2, \quad A_2 = 0. \quad (3)$$

الوضع النهائي للقطعة المستقيمة الواصلة بين النقطتين  $w_2, w_1$  هو الشعاع  $v = \pi/2, u \geq 0$  . النقط الواقعة على هذا الشعاع هي صور النقط  $z = x$  حيث

$$-1 < x \leq x_2 \text{ ، وبالتالي فإن}$$

$$\arg(x + 1) = 0, \quad \arg(x - 1) = \pi.$$

بمساواة الأجزاء التخيلية في طرفي معادلة (٢) عند هذه النقط ، نجد أن

$$\frac{\pi}{2} = \frac{A_1}{2}(1-x_2)\pi + B_2. \quad (٤)$$

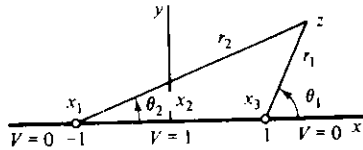
وأخيرا ، فإن الأوضاع النهائية لنقط القطعة المستقيمة الواصلة بين النقطتين  $w_4, w_3$  هي النقط  $u + \pi i$  . وهذه النقط هي صور النقط  $x$  حيث  $x > 1$  . بمساواة الأجزاء التخيلية في معادلة (٢) عند هذه النقط نجد أن :

$$\pi = B_2.$$

إذن ، من معادلتى (٣) ، (٤) ، نجد أن

$$A_1 = -1, \quad x_2 = 0.$$

وبالتالى فإن  $x=0$  هي النقطة التى صورتها الرأس  $w = \pi i/2$  ، وبالتعويض بهذه القيم فى المعادلة (٢) ومساواة الأجزاء الحقيقية نجد أن  $B_1 = 0$  .



شكل (٩٩)

بذلك تصبح التحويلة (١) :

$$w = -\frac{1}{2}[\text{Log}(z+1) + \text{Log}(z-1)] + \pi i, \quad (٥)$$

أى أن :

$$z^2 = 1 + e^{-2w}. \quad (٦)$$

تحت تأثير هذه التحويلة ، تصبح الدالة التوافقية المطلوبة  $V(u,v)$  دالة توافقية فى المتغيرين  $x,y$  فى المنطقة  $y > 0$  وتحقق الشروط الحدية الموضحة بشكل (٩٩) . لاحظ أن  $x_2 = 0$  فى هذه الحالة . الدالة التوافقية فى نصف المستوى هذا التى تأخذ هذه القيم على الحدود هى الجزء التخيلى من الدالة التحليلية

$$F(z) = \frac{1}{\pi} \text{Log} \frac{z-1}{z+1} = \frac{1}{\pi} \text{Log} \frac{r_1}{r_2} + \frac{i}{\pi} (\theta_1 - \theta_2),$$

حيث  $\theta_1$  ،  $\theta_2$  يأخذان القيم من صفر إلى  $\pi$  . بكتابة ظل كل من هاتين الزاويتين كدالة فى  $x,y$  وإجراء التبسيطات اللازمة نجد أن :

$$\tan \pi V = \tan (\theta_1 - \theta_2) = \frac{2y}{x^2 + y^2 - 1}. \quad (٧)$$

المعادلة (٦) تزودنا بصيغ للمقادير  $x^2 + y^2$  ،  $x^2 - y^2$  بدلالة  $u,v$  . من الصيغة (٧) نجد

إذن أن العلاقة بين الجهد  $v$  والاحداثيات  $u, v$  يمكن كتابتها على الصورة

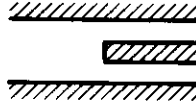
$$\tan \pi V = \frac{1}{s} \sqrt{e^{-4u} - s^2} \quad (٨)$$

حيث

$$s = -1 + \sqrt{1 + 2e^{-2u} \cos 2v + e^{-4u}}$$

## تمارين

- ١ - استخدم تحويل شفارتز - كريستوفل للحصول على الدالة الراسمة المعطاة مع شكل (٢٢) بملحق (٢) .
- ٢ - بين لماذا يكون حل مسألة السريان في مجرى به عائق على صورة شريحة مستطيلة نصف لا نهائية ( شكل (١٠٠) ) يكون متضمنا في حل المسألة التي عولجت في بند (٩٧) .



شكل (١٠٠)

- ٣ - انظر شكل (٢٩) بملحق (٢) . عندما تتحرك النقطة  $z$  إلى اليمين على امتداد الجزء السالب من المحور الحقيقي بحيث  $x \leq -1$  ، تتحرك صورتها  $w$  إلى اليمين على امتداد الشعاع  $u \leq 0, v = h$  . وعندما تتحرك النقطة  $z$  إلى اليمين على امتداد القطعة المستقيمة  $-1 \leq x \leq 1, y = 0$  ، تتحرك صورتها  $w$  في اتجاه تناقص  $v$  على امتداد القطعة المستقيمة  $u = 0, 0 \leq v \leq h$  . وأخيرا ، عندما تتحرك  $z$  إلى اليمين على امتداد الجزء الموجب من المحور الحقيقي بحيث  $x \geq 1$  ، تتحرك صورتها  $w$  إلى اليمين على امتداد الجزء الموجب من المحور الحقيقي . لاحظ التغيرات في اتجاه حركة  $w$  عند صورتى النقطتين  $z = -1$  و  $z = 1$  . هذه التغيرات توضح أن المشتقة لدالة راسمة يمكن أن تكون

$$\frac{dw}{dz} = k \left( \frac{z+1}{z-1} \right)^{1/2}$$

حيث  $k$  ثابت ما . من ذلك احصل على التحويلة المعطاة هناك . تحقق أنه عند كتابة التحويلة على الصورة

$$w = \frac{h}{\pi} \left[ (z+1)^{1/2} (z-1)^{1/2} + \text{Log} [z + (z+1)^{1/2} (z-1)^{1/2}] \right]$$

حيث  $0 \leq \arg(z \pm 1) \leq \pi$  ، فإنها ترسم الحدود بالطريقة المبينة بالشكل .

- ٤ - لتكن  $T(u, v)$  درجات الحرارة للحالة المستقرة المقيدة **Bounded steady state** في الجزء المظلل من المستوى المركب  $w$  والموضح بشكل (٢٩) بملحق (٢) مع الشروط

الحدية  $T(u, h) = 1$  عندما  $u < 0$  و  $T = 0$  على الجزء الباقي  $(B'C'D')$  من الحدود .  
بدلالة بارامتر حقيقي  $\alpha$  ( $0 < \alpha < \pi/2$ )، اثبت أن صورة كل نقطة  $z = i \tan \alpha$  على الجزء  
الموجب من المحور التخيلي  $y$  هي النقطة

$$w = \frac{h}{\pi} \left[ \text{Log}(\tan \alpha + \sec \alpha) + i \left( \frac{\pi}{2} + \sec \alpha \right) \right]$$

( انظر تمرين (٣) ) واثبت كذلك أن درجة الحرارة عند تلك النقطة  $w$  تعطى بالعلاقة

$$T(u, v) = \frac{\alpha}{\pi} \quad \left( 0 < \alpha < \frac{\pi}{2} \right).$$

٥ - لتكن دالة الجهد المركب لسريان سائل على عتبة في قاع مجرى عميق ممثلاً بالجزء  
المظلل من المستوى المركب  $w$  المبين بشكل (٢٩) بملحق (٢) ، حيث تقترب سرعة  
السائل  $V$  من الثابت الحقيقي  $V_0$  عندما  $|w|$  إلى ما لا نهاية في تلك المنطقة .  
التحويلة التي ترسم النصف العلوي من المستوى المركب  $z$  فوق تلك المنطقة هي التحويلة  
المعطاة في تمرين (٣) . باستخدام المطابقة

$$dF/dw = (dF/dz)(dz/dw),$$

اثبت أن

$$\overline{V(w)} = V_0(z-1)^{1/2}(z+1)^{-1/2};$$

اثبت كذلك ، بدلالة النقط  $z = x$  التي تكون صورها النقط على امتداد قاع المجرى ، أن

$$|V| = |V_0| \sqrt{\left| \frac{x-1}{x+1} \right|}.$$

من هذا لاحظ أن مقياس السرعة يزداد من  $|V_0|$  على امتداد  $A'B'$  ليصل  $|V| = \infty$   
عند  $B$  ، ثم يتناقص لعدم عند  $C$  ، وبعد ذلك يزداد من  $C$  إلى  $D$   
ليصل  $|V_0|$  لاحظ أيضاً أن مقياس السرعة يكون  $|V_0|$  عند النقطة

$$w = ih\left(\frac{1}{2} + 1/\pi\right)$$





# الفصل الحادي عشر

## صيغ التكامل من نوع بواسون

### Integral Formulas of Poisson Type

في هذا الباب سنكشف النقاب عن نظرية تمكننا من الحصول على حلول للعديد من مسائل الشروط الحدية عندما يمكن التعبير عن هذه الحلول بدلالة تكاملات محددة أو معتلة . وبالتالي يمكننا مباشرة حساب الكثير من التكاملات التي تظهر في مثل تلك المسائل .

#### ٩٩ - صيغة تكامل بواسون The Poisson Integral Formula

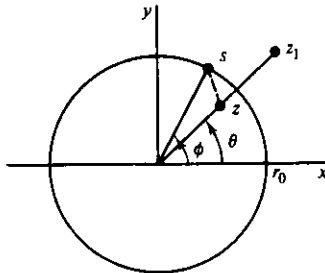
افرض أن  $f$  دالة تحليلية عند جميع نقط كفاف مغلق بسيط  $C_0$  ونقط داخلية وأن الاتجاه الدوراني لهذا الكفاف هو الاتجاه الموجب . من المعلوم أن صيغة تكامل كوشي :

$$f(z) = \frac{1}{2\pi i} \int_{C_0} \frac{f(s)}{s-z} ds \quad (1)$$

تعبر عن قيمة  $f$  عند أى نقطة  $z$  من نقاط داخلية  $C_0$  بدلالة قيم  $f$  عند نقط  $s$  تنتمي للكفاف  $C_0$  . عندما يكون  $C_0$  دائرة ، يمكننا الحصول من الصيغة (١) على صيغة مناظرة لدالة توافقية ، أى أنه يمكننا حل مسألة دريشلت بالنسبة للدائرة .

اعتبر الحالة التي يكون فيها  $C_0$  هو الدائرة  $s = r_0 \exp(i\phi)$  ،  $0 \leq \phi \leq 2\pi$  ، واكتب  $z = r \exp(i\theta)$  حيث  $0 < r < r_0$  (شكل (١.١)) . معكوس النقطة الغير صفرية  $z$  بالنسبة للدائرة هو النقطة  $z_1$  الواقعة على نفس الشعاع الذى تقع عليه النقطة  $z$  والتي تحقق الشرط  $|z_1||z| = r_0^2$  ، أى أن

$$z_1 = \frac{r_0^2}{r} \exp(i\theta) = \frac{r_0^2}{z} = \frac{s\bar{s}}{z} \quad (2)$$



شكل (١.١)

وحيث أن  $z_1$  تنتمي لخارجية الدائرة  $C_0$  ، فإنه ينتج من نظرية كوشي - جورساه أن قيمة التكامل المعطى في (١) يساوى صفرًا عند وضع  $z_1$  بدلا من  $z$  في الدالة المكاملة . إذن ، باستخدام التمثيل البارامترى المذكور للمنحنى  $C_0$  ، يمكننا أن نكتب

$$f(z) = \frac{1}{2\pi} \int_0^{2\pi} \left( \frac{s}{s-z} - \frac{s}{s-z_1} \right) f(s) d\phi$$

مع مراعاة أننا سنحتفظ بالرمز  $s$  ليقوم مقام  $r_0 \exp(i\phi)$  وذلك للسهولة . لاحظ أنه نظرا للتعبير الأخير في (٢) للعدد  $z_1$  فإن المقدار داخل الأقواس يمكن كتابته على الصورة

$$\frac{s}{s-z} - \frac{1}{1-\bar{s}/\bar{z}} = \frac{s}{s-z} + \frac{\bar{z}}{\bar{s}-\bar{z}} = \frac{r_0^2 - r^2}{|s-z|^2} \quad (3)$$

بذلك نحصل على صورة أخرى لصيغة تكامل كوشي (١) :

$$f(re^{i\theta}) = \frac{r_0^2 - r^2}{2\pi} \int_0^{2\pi} \frac{f(r_0 e^{i\phi})}{|s-z|^2} d\phi \quad (4)$$

عندما  $0 < r < r_0$  وهذه الصورة صالحة أيضاً عندما  $r=0$  ، وفي هذه الحالة تؤول الصيغة مباشرة إلى الصيغة (١) عندما  $z=0$  .

المقدار  $|s-z|$  هو البعد بين النقطتين  $z, s$  ، وهنا يتحقق قانون جيب التمام ( انظر شكل

: (١٠١) ) :

$$|s-z|^2 = r_0^2 - 2r_0 r \cos(\phi - \theta) + r^2 > 0. \quad (5)$$

إذن ، إذا كان  $u$  هو الجزء الحقيقي للدالة التحليلية  $f$  ، فإننا نحصل من العلاقة (٤) على

$$u(r, \theta) = \frac{1}{2\pi} \int_0^{2\pi} \frac{(r_0^2 - r^2)u(r_0, \phi)}{r_0^2 - 2r_0 r \cos(\phi - \theta) + r^2} d\phi \quad (6)$$

حيث  $r < r_0$  . هذه الصيغة الأخيرة تعرف بصيغة تكامل بواسون **Poisson integral formula** للدالة التوافقية  $u$  في القرص المفتوح المحدد بالدائرة  $r=r_0$  . العلاقة (٦) تعطى تحويلا تكامليا خطيا من  $u(r_0, \phi)$  إلى  $u(r, \theta)$  . قلب هذه التحويلة ، عدا بالنسبة للمعامل  $1/(2\pi)$  ، هو الدالة الحقيقية

$$P(r_0, r, \phi - \theta) = \frac{r_0^2 - r^2}{r_0^2 - 2r_0 r \cos(\phi - \theta) + r^2} \quad (7)$$

والذي يعرف باسم قلب بواسون **Poisson Kernel** . الدالة  $P(r_0, r, \phi - \theta)$  تمثل أيضاً

بالصيغ (٣) ، ونرى من ثالث هذه الصيغ أن الدالة تكون دائماً موجبة . بالإضافة إلى ذلك ، فحيث أن العدد  $\bar{z}/(\bar{s}-\bar{z})$  ومرافقه  $z/(s-z)$  لهما نفس الأجزاء الحقيقية ، فإننا نجد من الصيغة الثانية في (٣) أن

$$P(r_0, r, \phi - \theta) = \operatorname{Re} \left( \frac{s}{s-z} + \frac{z}{s-z} \right) = \operatorname{Re} \left( \frac{s+z}{s-z} \right). \quad (٨)$$

إذن  $P(r_0, r, \phi - \theta)$  دالة توافقية في المتغيرين  $r, \theta$  لنقط داخلية  $C_0$  لكل نقطة ثابتة على  $C_0$  . نلاحظ كذلك من معادلة (٧) أن  $P(r_0, r, \phi - \theta)$  دالة زوجية دورية في المتغير  $\phi - \theta$  ، دورتها  $2\pi$  وقيمتها تساوى واحد عندما  $r = 0$  يمكننا الآن كتابة صيغة تكامل بواسون (٦) على الصورة

$$u(r, \theta) = \frac{1}{2\pi} \int_0^{2\pi} P(r_0, r, \phi - \theta) u(r_0, \phi) d\phi \quad (٩)$$

حيث  $r < r_0$  . وفي الحالة الخاصة عندما  $f(z) = u(x, y) = 1$  ، تبين معادلة (٩) أن  $P$  لها الخاصية :

$$\frac{1}{2\pi} \int_0^{2\pi} P(r_0, r, \phi - \theta) d\phi = 1 \quad (١٠)$$

حيث  $r < r_0$

لاحظ أننا افترضنا أن  $f$  تحليلية ليس فقط عند جميع نقط داخلية  $C_0$  بل كذلك عند نقط  $C_0$  نفسه وأن  $u$  تكون بالتالي توافقية في نطاق يحوى جميع نقط هذه الدائرة . وعلى سبيل الخصوص ،  $u$  تكون متصلة على  $C_0$  . فيما يلي سنخفف من هذه الشروط .

### ١٠٠ - مسألة دريشلت لقرص A Dirichlet Problem for a Disk

افرض أن  $F$  دالة معطاة للمتغير  $\theta$  ( $0 \leq \theta \leq 2\pi$ ) ، وأنها متصلة قطعة بقطعة . سنثبت أن الدالة

$$U(r, \theta) = \frac{1}{2\pi} \int_0^{2\pi} P(r_0, r, \phi - \theta) F(\phi) d\phi \quad (١)$$

حيث  $r < r_0$  ، والتي يمكن أن نطلق عليها تحويلة تكامل بواسون للدالة  $F$  ، تحقق الخصائص التالية :  $U$  تكون توافقية لجميع نقط داخلية الدائرة  $r = r_0$  ، وأن

$$\lim_{r \rightarrow r_0} U(r, \theta) = F(\theta) \quad (r < r_0) \quad (٢)$$

لكل قيمة ثابتة  $\theta$  تكون عندها  $F$  متصلة .

إذن تكون  $U$  حلاً لمسألة دريشلت للقرص  $r < r_0$  ، بمعنى أن القيمة الحدية  $F(\theta)$  تكون نهاية  $U(r, \theta)$  عندما تقترب النقطة  $(r, \theta)$  من النقطة  $(r_0, \theta)$  على امتداد نصف قطر ، عدا عند عدد محدود من النقط  $(r_0, \theta)$  التي تكون عندها الدالة  $F$  غير متصلة .

قبل أن نبرهن التقرير المذكور أعلاه ، دعنا نستخدمه لإيجاد الجهد  $V(r, \theta)$  داخل اسطوانة  $r = 1$  حيث الشروط الحدية تلك الموضحة بشكل (٧٢) ، بمعنى أن الجهد ينعدم على أحد نصفي السطح ويساوى الوحدة على النصف الآخر للسطح . وقد سبق حل هذه المسألة في بند (٨٦) باستخدام التحويلات الحافظة للزوايا الموجهة . في صيغة (١) نكتب  $V$  بدلا من  $U$  ،  $r_0 = 1$  و  $F(\phi) = 0$  عندما  $0 < \phi < \pi$  و  $F(\phi) = 1$  عندما  $\pi < \phi < 2\pi$  لنحصل على

$$V(r, \theta) = \frac{1}{2\pi} \int_{\pi}^{2\pi} P(1, r, \phi - \theta) d\phi = \frac{1}{2\pi} \int_{\pi}^{2\pi} \frac{(1 - r^2) d\phi}{1 + r^2 - 2r \cos(\phi - \theta)}$$

تكامل غير محدد للدالة  $P(1, r, \psi)$  هو

$$\int P(1, r, \psi) d\psi = 2 \arctan \left( \frac{1+r}{1-r} \tan \frac{\psi}{2} \right) \quad (٣)$$

وذلك لأن الدالة المكاملة هنا هي مشتقة هي الدالة في الطرف الأيسر بالنسبة إلى  $\psi$  . هذه الدالة تعطي القيمة  $-\pi$  عندما  $\psi/2 = -\pi/2$  والقيمة  $\pi$  عندما  $\psi/2 = \pi/2$  وذلك حتى تكون دالة متصلة تزداد قيمها من  $-\pi$  إلى  $\pi$  ، عندما تزداد  $\psi/2$  من  $-\pi/2$  إلى  $\pi$  . هذا هو المدى المطلوب لقيم  $\psi/2$  وذلك لأن  $\psi = \phi - \theta$  وأن  $\phi$  و  $\theta$  تتغيران من  $\pi$  إلى  $2\pi$  ومن صفر إلى  $2\pi$  على الترتيب . إذن

$$\pi V(r, \theta) = \arctan \left( \frac{1+r}{1-r} \tan \frac{2\pi - \theta}{2} \right) - \arctan \left( \frac{1+r}{1-r} \tan \frac{\pi - \theta}{2} \right),$$

حيث من الواضح فيزيائيا أن قيم  $\pi V(r, \theta)$  تقع في المدى من صفر إلى  $\pi$  . بتبسيط الصورة التي حصلنا عليها للدالة  $\tan(\pi V)$  من هذه المعادلة الأخيرة ، نجد أن

$$V(r, \theta) = \frac{1}{\pi} \arctan \left( \frac{1 - r^2}{2r \sin \theta} \right) \quad (0 \leq \arctan t \leq \pi). \quad (٤)$$

وهذا هو الحل الذي حصلنا عليه قبل ذلك بدلالة الإحداثيات الكارتيزية .

الدالة  $U$  المعرفة بالعلاقة (١) توافقية على داخلية الدائرة  $r=r_0$  وذلك لأن  $P$  دالة توافقية في المتغيرين  $r, \theta$  على نفس النطاق . وأكثر تحديداً ، نلاحظ أنه حيث أن  $F$  متصلة قطعة بقطعة ، فإنه يمكن كتابة التكامل (١) كمجموع عدد محدود من تكاملات محددة كل منها دالته الكاملة متصلة في  $r, \theta, \phi$  . المشتقات الجزئية لهذه الدوال الكاملة بالنسبة لكل من المتغيرين  $r, \theta$  تكون أيضاً متصلة . وحيث أنه يمكن تبديل ترتيب عمليتي التكامل والتفاضل بالنسبة إلى  $r, \theta$  وحيث أن  $P$  تحقق معادلة لابلاس في الإحداثيات القطبية  $r, \theta$  ، فإنه ينتج أن الدالة  $U$  تحقق معادلة لابلاس أيضاً .

للتحقق من وجود الشرط (٢) ، فإننا في حاجة لإثبات أنه إذا كانت  $F$  متصلة عند  $\theta$  ، فإنه لكل عدد موجب  $\varepsilon$  يوجد عدد موجب  $\delta$  بحيث

$$|U(r, \theta) - F(\theta)| < \varepsilon \quad (٥)$$

$$0 < r_0 - r < \delta. \quad \text{عندما}$$

من خاصية (١٠) بند (٩٩) ، يمكن كتابة المتباينة (٥) على الصورة

$$\left| \frac{1}{2\pi} \int_0^{2\pi} P(r_0, r, \phi - \theta) [F(\phi) - F(\theta)] d\phi \right| < \varepsilon. \quad (٦)$$

سنجد من الملائم أن نوسع نطاق تعريف  $F$  بحيث تصبح دورية ودورتها  $2\pi$  وذلك حتى تصبح الدالة الكاملة دورية في  $\phi$  ولها نفس الدورة

حيث أن  $F$  متصلة عند  $\theta$  ، فإنه يوجد عدد موجب صغير  $\alpha$  مناظر للعدد الموجب المعطى  $\varepsilon$  بحيث أن

$$|\phi - \theta| \leq \alpha \quad \text{عندما} \quad |F(\phi) - F(\theta)| < \frac{\varepsilon}{2}$$

دعنا نكتب

$$I_1(r) = \frac{1}{2\pi} \int_{\theta-\alpha}^{\theta+\alpha} P(r_0, r, \phi - \theta) [F(\phi) - F(\theta)] d\phi,$$

$$I_2(r) = \frac{1}{2\pi} \int_{\theta+\alpha}^{\theta-\alpha+2\pi} P(r_0, r, \phi - \theta) [F(\phi) - F(\theta)] d\phi.$$

وبالتالي يمكن كتابة المتباينة (٦) على الصورة

$$|I_1(r) + I_2(r)| < \varepsilon. \quad (٧)$$

وحيث أن  $P$  دالة موجبة القيم فبمراعاة خاصية (١٠) بند ٩٩ ، ينتج أن

$$|I_1(r)| \leq \frac{1}{2\pi} \int_{\theta-\alpha}^{\theta+\alpha} P(r_0, r, \phi - \theta) |F(\phi) - F(\theta)| d\phi$$

$$< \frac{\varepsilon}{4\pi} \int_0^{2\pi} P(r_0, r, \phi - \theta) d\phi = \frac{\varepsilon}{2}$$

طلما كانت  $r < r_0$ .

بعد ذلك ، تذكر أن  $P(r_0, r, \phi - \theta) = (r_0^2 - r^2) / |s - z|^2$  ولاحظ في شكل (١٠١) أنه عندما  $r \leq r_0$  ، فإن المقدار  $|s - z|^2$  يأخذ قيمة صغرى موجبة  $m(\alpha)$  عندما تتغير السعة  $\phi$  للعدد  $s$  بين  $\theta + \alpha$  و  $\theta - \alpha + 2\pi$  . إذا كانت  $M$  حداً أعلى للمقدار  $|F(\phi) - F(\theta)|$  لجميع قيم  $\theta$  ،  $\phi$  ، فإنه ينتج أن

$$|I_2(r)| \leq \frac{(r_0^2 - r^2)M}{2\pi m(\alpha)} 2\pi < \frac{2Mr_0}{m(\alpha)} (r_0 - r) < \frac{\varepsilon}{2}$$

عندما  $r_0 - r < m(\alpha)\varepsilon / (4Mr_0)$  . وبالتالي ، إذا اخترت  $\alpha$  لتناظر العدد المعطى  $\varepsilon$  ،

فإنه يمكن تعيين العدد  $m(\alpha)$  ، ويكون  $|I_1(r)| + |I_2(r)| < \varepsilon$  عندما  $r_0 - r < \delta$  إذا كان

$$\delta = \frac{m(\alpha)\varepsilon}{4Mr_0}$$

هذه إذن قيمة للعدد  $\delta$  بحيث تتحقق متباينة (٧) أو متباينة (٦) . وبالتالي يتحقق

التقرير (٥) عندما تأخذ  $\delta$  هذه القيمة .

طبقاً للصيغة (١) ، فإن قيمة  $U$  عند  $r=0$  تساوى

$$\frac{1}{2\pi} \int_0^{2\pi} F(\phi) d\phi.$$

إذن قيمة دالة توافقية عند مركز الدائرة تساوى متوسط القيم الحدية على الدائرة .

وكتارين سنترك للقارئ فيما يلي مهمة إثبات أنه يمكن تمثيل الدالتين  $U, P$  بمتسلسلات

تحتوى الدوال التوافقية البسيطة  $r^n \sin n\theta$  و  $r^n \cos n\theta$  كما يلي

$$P(r_0, r, \phi - \theta) = 1 + 2 \sum_{n=1}^{\infty} \left(\frac{r}{r_0}\right)^n \cos n(\phi - \theta) \quad (r < r_0), \quad (٨)$$

$$U(r, \theta) = \frac{1}{2} a_0 + \sum_{n=1}^{\infty} \left(\frac{r}{r_0}\right)^n (a_n \cos n\theta + b_n \sin n\theta) \quad (r < r_0), \quad (٩)$$

حيث

$$a_n = \frac{1}{\pi} \int_0^{2\pi} F(\phi) \cos n\phi \, d\phi, \quad b_n = \frac{1}{\pi} \int_0^{2\pi} F(\phi) \sin n\phi \, d\phi. \quad (١٠)$$

### ١٠١ - مسائل القيم الحدية المرتبطة Related Boundary Value Problems

سنترك للقارئ كتارين مهمة إكمال تفاصيل براهين النتائج المعطاة فيما يلي . سنفترض أن الدالة  $F$  الممثلة للقيم الحدية على الدائرة  $r=r_0$  متصلة قطعة بقطعة افرض أن  $F(2\pi - \theta) = -F(\theta)$  بذلك تصبح الصيغة (١) لتكامل بواسون المعطاة بيند ١٠٠ هي

$$U(r, \theta) = \frac{1}{2\pi} \int_0^{\pi} [P(r_0, r, \phi - \theta) - P(r_0, r, \phi + \theta)] F(\phi) \, d\phi. \quad (١)$$

الدالة  $U$  تنعدم على نصفى القطرين الأفقيين  $\theta = 0$ ,  $\theta = \pi$  للدائرة وهو الأمر المتوقع إذا ما اعتبرنا  $U$  على أنها درجة حرارة مستقرة . الصيغة (١) تحل إذن مسألة دريشلت للمنطقة النصف دائرية  $0 < \theta < \pi$ ,  $r < r_0$  ( شكل (١٠٢) ) حيث  $U=0$  على القطر  $AB$  و

$$\lim_{r \rightarrow r_0} U(r, \theta) = F(\theta) \quad (r < r_0, 0 < \theta < \pi) \quad (٢)$$

لكل قيمة ثابتة  $\theta$  تكون عندها  $F$  متصلة .  
إذا كانت  $F(2\pi - \theta) = F(\theta)$ , فإن

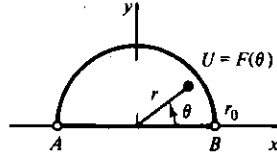
$$U(r, \theta) = \frac{1}{2\pi} \int_0^{\pi} [P(r_0, r, \phi - \theta) + P(r_0, r, \phi + \theta)] F(\phi) \, d\phi; \quad (٣)$$

و  $U_0(r, \theta) = 0$  عندما  $\theta = 0$  أو  $\theta = \pi$ . الصيغة (٣) تعطينا بذلك دالة توافقية في المنطقة النصف دائرية  $0 < \theta < \pi$ ,  $r < r_0$  ( شكل (١٠٢) ) وتحقق الشرط (٢) علاوة على الشرط أن مشتقتها في اتجاه العمود تنعدم على القطر  $AB$  .

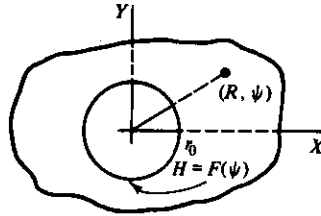
الدالة التحليلية  $z = r_0^2/Z$  ترسم الدائرة  $|Z| = r_0$  في المستوى المركب  $Z$  فوق الدائرة  $|z| = r_0$  في المستوى المركب  $z$ ، وترسم أيضا خارجية الدائرة الأولى فوق داخلية الدائرة الثانية . بكتابة  $Z = R \exp(i\psi)$   $z = r \exp(i\theta)$  نلاحظ أن  $r = r_0^2/R$

المثلة  $U(r, \theta)$  الدالة التوافقية  $\theta = 2\pi - \psi$  ،  
بالصيغة (١) ببند (١٠٠) إلى الدالة

$$U\left(\frac{r_0^2}{R}, 2\pi - \psi\right) = -\frac{1}{2\pi} \int_0^{2\pi} \frac{r_0^2 - R^2}{r_0^2 - 2r_0 R \cos(\phi + \psi) + R^2} F(\phi) d\phi$$



شكل (١٠٢)



شكل (١٠٣)

وهذه الدالة الأخيرة توافقية في النطاق  $R > r_0$  . والآن فبصفة عامة إذا كانت  $u(r, \theta)$  توافقية فإن الدالة  $u(r, -\theta)$  تكون توافقية كذلك ( انظر تمرين (١٠) من هذا البند ) . إذن الدالة  $H(R, \psi) = U(r_0^2/R, \psi - 2\pi)$  ، أو

$$H(R, \psi) = -\frac{1}{2\pi} \int_0^{2\pi} P(r_0, R, \phi - \psi) F(\phi) d\phi \quad (٤)$$

حيث  $R > r_0$  ، تكون أيضاً توافقية . ولكل قيمة ثابتة  $\psi$  تكون عندها  $F(\psi)$  متصلة نجد من شرط (٢) بند (١٠٠) ، أن

$$\lim_{R \rightarrow r_0} H(R, \psi) = F(\psi) \quad (R > r_0). \quad (٥)$$

إذن الصيغة (٤) تحل مسألة دريشلت للمنطقة الخارجية للدائرة  $R = r_0$  في المستوى المركب  $Z$  ( شكل (١٠٣) ) . ونلاحظ أن قلب بواسون يكون سالبا في هذه الحالة ، وأيضاً



$$\frac{1}{2\pi} \int_0^{2\pi} P(r_0, R, \phi - \psi) d\phi = -1 \quad (R > r_0), \quad (٦)$$

$$\lim_{R \rightarrow \infty} H(R, \psi) = \frac{1}{2\pi} \int_0^{2\pi} F(\phi) d\phi. \quad (٧)$$

## تمارين

١ - استخدم صيغة تكامل بواسون (١) ببند (١٠٠) لاستنتاج الصيغة

$$V(x, y) = \frac{1}{\pi} \arctan \frac{1 - x^2 - y^2}{(x-1)^2 + (y-1)^2 - 1} \quad (0 \leq \arctan t \leq \pi)$$

لجهد الكهرباء الساكنة داخل الأسطوانة  $x^2 + y^2 = 1$  إذا كانت  $V = 1$  على الربع الأول ( $x > 0, y > 0$ ) من السطح الأسطواني وكانت  $V = 0$  على بقية السطح. لاحظ كذلك أن  $V = 1$  هو حل تمرين (٨) بند (٨٦).

٢ - افرض أن  $T$  ترمز للحرارة المستقرة في قرص  $r \leq 1$  أو جهه معزولة ، عندما  $T = 1$  على القوس  $0 < \theta < 2\theta_0$  من الحافة  $r = 1$  و  $T = 0$  على بقية الحافة ، حيث  $0 < \theta_0 < \pi/2$ . استخدم صيغة تكامل بواسون لإثبات أن

$$T(x, y) = \frac{1}{\pi} \arctan \frac{(1 - x^2 - y^2)y_0}{(x-1)^2 + (y-y_0)^2 - y_0^2} \quad (0 \leq \arctan t \leq \pi)$$

حيث  $y_0 = \tan \theta_0$ . تحقق من أن الدالة  $T$  تحقق الشروط الحدية .

٣ - افرض أن  $I$  دالة الدفع الأحادية المحدودة Finite Unit Impulse Function الآتية

$$I(h, \theta - \theta_0) = \begin{cases} \frac{1}{h} & \text{و} \quad \theta_0 < \theta < \theta_0 + h, \\ 0 & \text{و} \quad 0 \leq \theta < \theta_0 \text{ or } \theta_0 + h < \theta < 2\pi \end{cases}$$

حيث  $h$  ثابت موجب و  $0 \leq \theta_0 < 2\pi$ . لاحظ أن

$$\int_0^{2\pi} I(h, \theta - \theta_0) d\theta = 1.$$

بمساعدة نظرية القيمة المتوسطة للتكاملات ، اثبت أن

$$\lim_{h \rightarrow 0} \int_0^{2\pi} P(r_0, r, \phi - \theta) I(h, \phi - \theta_0) d\phi = P(r_0, r, \theta - \theta_0)$$

حيث  $r < r_0, h > 0$  . وبالتالي عندما تؤول  $h$  إلى الصفر من خلال قيم موجبة فإن قلب بواسون  $P(r_0, r, \theta - \theta_0)$  يكون هو النهاية للدالة التوافقية على داخلية الدائرة  $r = r_0$  والتي الحدية تمثل بدالة الدفع  $2\pi I(h, \theta - \theta_0)$  .

٤ - اثبت أن الصيغة بتمرين (١١) بند (٦٦) التي تعطى مجموع متسلسلة جيوب التمام يمكن كتابتها على الصورة

$$1 + 2 \sum_{n=1}^{\infty} k^n \cos n\theta = \frac{1 - k^2}{1 - 2k \cos \theta + k^2}$$

حيث  $-1 < k < 1$  . ومن ثم اثبت أن قلب بواسون يمكن تمثيله بالمتسلسلة (٨) بند (١٠٠) .

٥ - اثبت أن المتسلسلة في الصيغة (٨) بند (١٠٠) تقاربية تقارب منتظم بالنسبة إلى  $\phi$  . ثم احصل من الصيغة (١) بهذا البند على المتسلسلة المثلثة (٩) هناك .

٦ - استخدم علاقتي (٩) ، (١٠) ببند (١٠٠) لإيجاد درجات الحرارة المستقرة  $T(r, \theta)$  في اسطوانة مصمتة  $r \leq r_0$  طولها لانهاى إذا كان  $T(r_0, \theta) = A \cos \theta$  . اثبت أنه لا يوجد سريان للحرارة خلال المستوى  $y = 0$  .

٧ - احصل على الحالات الخاصة الآتية

$$H(R, \psi) = \frac{1}{2\pi} \int_0^\pi [P(r_0, R, \phi + \psi) - P(r_0, R, \phi - \psi)] F(\phi) d\phi, \quad (أ)$$

$$H(R, \psi) = -\frac{1}{2\pi} \int_0^\pi [P(r_0, R, \phi + \psi) + P(r_0, R, \phi - \psi)] F(\phi) d\phi \quad (ب)$$

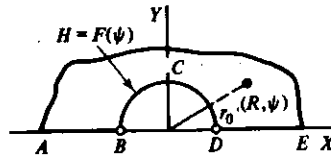
لصيغة (٤) بند (١٠١) وذلك للدالة التوافقية  $H$  في المنطقة غير المحدودة  $0 < \psi < \pi, R > r_0$  . المفوضحة بشكل (١٠٤) بفرض أن هذه الدالة تحقق الشرط الحدى

$$\lim_{R \rightarrow r_0} H(R, \psi) = F(\psi) \quad (R > r_0, 0 < \psi < \pi)$$

على نصف الدائرة وأن الدالة :

(أ) تنعدم على الشعاعين  $BA$  و  $DE$  .

(ب) تنعدم مشتقتها في اتجاه العمود على الأشعة  $BA$  و  $DE$  .



شكل (١٠٤)

٨ - اعط التفاصيل الكاملة لاستنباط الصيغة (١) بند (١٠١) كحل لمسألة دريشلت المذكورة هناك للمنطقة المفوضحة بشكل (١٠٢) .

٩ - اعط التفاصيل الكاملة لاستنباط الصيغة (٣) بند (١٠١) كحل لمسألة الشروط الحدية المذكورة هناك .

١٠ - استنبط صيغة (٤) ببند (١٠١) كحل لمسألة دريشلت للمنطقة الخارجية لدائرة ( شكل (١٠٣) ) . لتبين أن توافقية  $u(r, -\theta)$  توافقية عندما تكون  $u(r, \theta)$  توافقية ارجع إلى الصورة القطبية لمعادلة لابلاس المعطاة بتمرين (١١) بند (٢٠) .

١١ - اذكر لماذا تكون صيغة (٦) بند (١٠١) صحيحة .

١٢ - استنبط معادلة (٧) ببند (١٠١) .

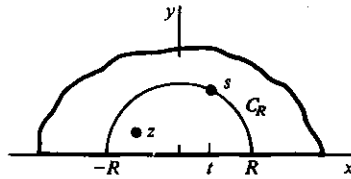
### ١٠٢ - صيغ التكامل لنصف مستوى Integral Formulas for a Half Plane

افرض أن  $f$  دالة تحليلية للمتغير  $z$  لجميع نقط نصف المستوى  $\text{Im } z \geq 0$  وبحيث تحقق  $f$  خاصية الترتيب الآتية

$$|z^k f(z)| < M \quad (\text{Im } z \geq 0) \quad (1)$$

لعددتين ثابتين موجبين  $M, k$  . لنقطة ثابتة  $z$  في الجزء الواقع أعلى المحور الحقيقي افرض أن  $C_R$  هو النصف العلوي من دائرة نصف قطرها  $R$  ومركزها نقطة الأصل وموجهة في الاتجاه الموجب ، حيث  $R > |z|$  ( شكل (١٠٥) ) . إذن فطبقا لصيغة تكامل كوشي ،

$$f(z) = \frac{1}{2\pi i} \int_{C_R} \frac{f(s) ds}{s-z} + \frac{1}{2\pi i} \int_{-R}^R \frac{f(t) dt}{t-z} \quad (2)$$



شكل (١٠٥)

أول هذه التكاملات يقترب من الصفر عندما تؤول  $R$  إلى  $\infty$  وذلك لأن  $|f(s)| < M/R^k$  وبالتالي فإن

$$f(z) = \frac{1}{2\pi i} \int_{-\infty}^{\infty} \frac{f(t) dt}{t-z} \quad (\text{Im } z > 0). \quad (3)$$

وبسبب الشرط (١) ، يكون التكامل المعتل اعلاه تقاربا ، والعديد الذي يقترب منه هو نفسه قيمة كوشي الأساسية له . ( انظر بند (٧٢) ) . الصيغة (٣) هي صيغة تكامل

كوشي لنصف المستوى  $\text{Im } z > 0$ .

عندما تقع النقطة  $z$  في الجزء الواقع أسفل المحور الحقيقي ، ينعدم الطرف الأيمن من معادلة (٢) ، وبالتالي ينعدم التكامل (٣) لمثل تلك النقطة . من هذا ينتج أنه عندما تقع  $z$  في الجزء الواقع أعلى المحور الحقيقي فإننا نحصل على الصيغة التالية :

$$f(z) = \frac{1}{2\pi i} \int_{-\infty}^{\infty} \left( \frac{1}{t-z} + \frac{c}{t-\bar{z}} \right) f(t) dt \quad (٤)$$

حيث  $\text{Im } z > 0$   $c \neq 1$  ثابت اختياري .

للحالتين  $c=1, c=-1$  تؤول هذه الصيغة على الترتيب إلى :

$$f(z) = \frac{1}{\pi} \int_{-\infty}^{\infty} \frac{yf(t)}{|t-z|^2} dt \quad (y > 0), \quad (٥)$$

$$f(z) = \frac{1}{\pi i} \int_{-\infty}^{\infty} \frac{(t-x)f(t)}{|t-z|^2} dt \quad (y > 0). \quad (٦)$$

إذا كانت  $f(z) = u(x,y) + iv(x,y)$  ، فإنه ينتج من صيغتي (٥) ، (٦) أن الدالتين التوافقتين  $u, v$  يمكن تمثيلهما في نصف المستوى  $y > 0$  بدلالة القيم الحدية للدالة  $u$  بالصيغتين

$$u(x,y) = \frac{1}{\pi} \int_{-\infty}^{\infty} \frac{yu(t,0)}{|t-z|^2} dt = \frac{1}{\pi} \int_{-\infty}^{\infty} \frac{yu(t,0)}{(t-x)^2 + y^2} dt \quad (y > 0), \quad (٧)$$

$$v(x,y) = \frac{1}{\pi} \int_{-\infty}^{\infty} \frac{(x-t)u(t,0)}{(t-x)^2 + y^2} dt \quad (y > 0). \quad (٨)$$

الصيغة (٧) تعرف بصيغة تكامل بواسون لنصف المستوى ، أو صيغة تكامل شفارتز . في البند التالي سنخفف من الشروط اللازمة لتحقيق صيغتي (٧) و (٨) .

### ١٠٣ - مسألة دريشلت لنصف المستوى A Dirichlet Problem for a Half Plane

افرض أن  $F$  دالة حقيقية للمتغير الحقيقي  $x$  ، محدودة لجميع قيم  $x$  ومتصلة لجميع قيم  $x$  ، عدا عند عدد محدود من القفزات المحدودة على الأكثر. عندما  $y \geq \epsilon, |x| \leq 1/\epsilon$  حيث  $\epsilon$  أى ثابت موجب ، يكون التكامل

$$I(x,y) = \int_{-\infty}^{\infty} \frac{F(t) dt}{(t-x)^2 + y^2}$$

منتظم التقارب بالنسبة للمتغيرين  $x, y$  ، تماماً كما هي الحال لتكاملات المشتقات الجزئية للدالة المكاملة بالنسبة للمتغيرين  $x, y$  . كل من هذه التكاملات هو مجموع لعدد محدود من التكاملات المعتلة أو المحددة على فترات تكون فيها الدالة  $F$  متصلة ، وبالتالي

فإن الدالة المكاملة لكل تكامل من تكاملات المجموع هي دالة متصلة في المتغيرات  $y, x, t$  عندما  $y \geq \varepsilon$ . وبالتالي، فإن كل مشتقة جزئية للدالة  $I(x, y)$  تمثل بتكامل المشتقة المناظرة للدالة المكاملة طالما  $y > 0$ .

سنكتب  $U(x, y) = yI(x, y)/\pi$ . إذن  $U$  هي تحويلة تكامل شفارتز للدالة  $F$ ، كما يستتبع من معادلة (٧). بيند (١٠٢):

$$U(x, y) = \frac{1}{\pi} \int_{-\infty}^{\infty} \frac{yF(t)}{(t-x)^2 + y^2} dt \quad (y > 0). \quad (1)$$

مع إغفال المعامل  $1/\pi$ ، يكون القلب هنا مساويا للقيمة  $y/|t-z|^2$  وهذا القلب هو الجزء التخيلي للدالة  $1/(t-z)$  التي تكون تحليلية بالنسبة للعدد المركب  $z$  عندما  $y > 0$ . من هذا ينتج أن القلب دالة توافقية، وبالتالي فإنها تحقق معادلة لابلاس في المتغيرين  $x, y$ . وحيث أنه يمكن تبديل ترتيب عمليتي التفاضل والتكامل هنا، فإن الدالة (١) تحقق تلك المعادلة. وذلك يستتبع أن تكون الدالة  $U$  توافقية عندما  $y > 0$ . لإثبات أن

$$\lim_{y \rightarrow 0} U(x, y) = F(x) \quad (y > 0) \quad (2)$$

لكل عدد ثابت  $x$  تكون عنده  $F$  متصلة، فإننا نضع  $t = x + y \tan r$  في الصيغة (١) ونكتب

$$U(x, y) = \frac{1}{\pi} \int_{-\pi/2}^{\pi/2} F(x + y \tan r) dr \quad (y > 0). \quad (3)$$

إذا كانت

$$G(x, y, r) = F(x + y \tan r) - F(x)$$

وكان  $\alpha$  عددا ثابتا موجبا صغيرا، فإن

$$\pi[U(x, y) - F(x)] = \int_{-\pi/2}^{\pi/2} G(x, y, r) dr = I_1(y) + I_2(y) + I_3(y) \quad (4)$$

حيث

$$I_1(y) = \int_{-\pi/2}^{-\pi/2+\alpha} G(x, y, r) dr, \quad I_2(y) = \int_{-\pi/2+\alpha}^{\pi/2-\alpha} G(x, y, r) dr,$$

$$I_3(y) = \int_{\pi/2-\alpha}^{\pi/2} G(x, y, r) dr.$$

إذا كان  $M$  حدا أعلى للمقدار  $|F(x)|$ ، فإن  $|G(x, y, r)| \leq 2M$ . إذا أعطينا

عددا موجبا  $\varepsilon$  فإننا نختار عددا  $\alpha$  بحيث  $6M\alpha < \varepsilon$ ، إذن

$$|I_1(y)| \leq 2M\alpha < \frac{\varepsilon}{3} \quad \text{و} \quad |I_3(y)| \leq 2M\alpha < \frac{\varepsilon}{3}.$$

سنبين فيما يلي أنه يوجد عدد موجب  $\delta$  مناظر للعدد  $\varepsilon$  بحيث

$$0 < y < \delta \quad \text{طالما} \quad |I_2(y)| < \frac{\varepsilon}{3}$$

حيث أن  $F$  متصلة عند  $x$  ، فإنه يوجد عدد موجب  $\gamma$  بحيث

$$0 < y |\tan r| < \gamma \quad \text{طالما} \quad |G(x, y, r)| < \frac{\varepsilon}{3\pi}$$

لاحظ أن القيمة العظمى للمقدار  $|\tan r|$  عندما تتغير  $r$  بين  $-\pi/2 + \alpha$  و  $\pi/2 - \alpha$  تساوى  $\tan(\pi/2 - \alpha) = \cot \alpha$  . إذن إذا كتبنا  $\delta = \gamma \tan \alpha$  فإنه ينتج أن

$$0 < y < \delta \quad \text{طالما} \quad |I_2(y)| < \frac{\varepsilon}{3\pi} (\pi - 2\alpha) < \frac{\varepsilon}{3}$$

بهذا نكون قد أثبتنا أن

$$0 < y < \delta. \quad \text{طالما} \quad |I_1(y)| + |I_2(y)| + |I_3(y)| < \varepsilon$$

من هذه النتيجة الأخيرة والمعادلة (٤) ينتج مباشرة أن الشرط (٢) متحقق .

من هذا ينتج أن الصيغة (١) تحل مسألة دريشلت لنصف المستوى  $y > 0$

وذلك بافتراض وجود الشرط الحدى (٢) . من الواضح من الصورة (٣) للصيغة (١)

أن  $|U(x, y)| \leq M$  في نصف المستوى حيث  $M$  حد أعلى للمقدار  $|F(x)|$  ، أى أن  $U$  محدودة . ونلاحظ أن  $U(x, y) = F_0$  عندما  $F(x) = F_0$  ، حيث  $F_0$  مقدار ثابت .

طبقا للصيغة (٨) بالبند السابق فإن الدالة

$$V(x, y) = \frac{1}{\pi} \int_{-\infty}^{\infty} \frac{(x-t)F(t)}{(t-x)^2 + y^2} dt \quad (y > 0) \quad (٥)$$

، تحت شروط معينة على الدالة  $F$  ، تكون مرافقا توافقيا للدالة  $U$  المعطاة بالصيغة (١) . وفي الحقيقة فإن الصيغة (٥) تعطي مرافقا توافقيا للدالة  $U$  إذا كانت  $F$  متصلة عند جميع النقط ، وذلك فيما عدا عند عدد محدود من القفزات المحدودة على الأكثر ، وإذا كانت  $F$  تحقق خاصية ترتيب  $|x^k F(x)| < M$  ، حيث  $k > 0$  . وذلك لأنه تحت تأثير

هذه الشروط نجد أن  $U, V$  تحققان معادلتى كوشى - ريمان عندما  $y > 0$  .

وستترك كتمارين الحالات الخاصة من الصيغة (١) عندما تكون  $F$  دالة فردية أو

زوجية .

## ١٠٤ - مسألة نويمان للقرص A Neumann Problem for a Disk

كما في بند (٩٩) وشكل (١٠١) ، سنكتب  $z = r \exp(i\theta)$  ,  $s = r_0 \exp(i\phi)$  حيث  $r < r_0$  عندما تكون  $s$  ثابتة فإن الدالة

$$Q(r_0, r, \phi - \theta) = -2r_0 \text{Log} |s - z| \quad (1)$$

$$= -r_0 \text{Log} [r_0^2 - 2r_0 r \cos(\phi - \theta) + r^2]$$

تكون توافقية لجميع نقط داخلية الدائرة  $|z| = r_0$  وذلك لكونها الجزء الحقيقي للدالة  $-2r_0 \text{Log} |s - z|$  حيث الفرع القاطع للدالة  $\log(z-s)$  شعاع خارج من النقطة  $s$  . وإذا كان ، علاوة على ذلك ،  $r \neq 0$  ، فإن

$$Q(r_0, r, \phi - \theta) = -\frac{r_0}{r} \frac{2r^2 - 2r_0 r \cos(\phi - \theta)}{r_0^2 - 2r_0 r \cos(\phi - \theta) + r^2} \quad (2)$$

$$= \frac{r_0}{r} [P(r_0, r, \phi - \theta) - 1]$$

حيث  $P$  قلب بواسون المعروف بالمعادلة (٧) ببند (٩٩) .  
هذه الملاحظات ترجح أنه يمكن استخدام الدالة  $Q$  لكتابة تمثيل تكاملي لدالة توافقية  $U$  تأخذ مشتقتها  $U_r$  في اتجاه العمود للدائرة  $r=r_0$  قيما مفروضة  $G(\theta)$  .  
إذا كانت  $G$  متصلة قطعة بقطعة وكان  $U_0$  ثابتا اختياريا فإن الدالة

$$U(r, \theta) = \frac{1}{2\pi} \int_0^{2\pi} Q(r_0, r, \phi - \theta) G(\phi) d\phi + U_0 \quad (r < r_0) \quad (3)$$

تكون توافقية وذلك لأن الدالة المكاملة توافقية في المتغيرين  $r$  ,  $\theta$  . إذا كانت القيمة المتوسطة للدالة  $G$  على الدائرة تساوى الصفر ،

$$\int_0^{2\pi} G(\phi) d\phi = 0, \quad (4)$$

إذن ، طبقا لمعادلة (٢) ،

$$U_r(r, \theta) = \frac{1}{2\pi} \int_0^{2\pi} \frac{r_0}{r} [P(r_0, r, \phi - \theta) - 1] G(\phi) d\phi$$

$$= \frac{r_0}{r} \frac{1}{2\pi} \int_0^{2\pi} P(r_0, r, \phi - \theta) G(\phi) d\phi .$$

والآن فمن معادلتى (١) ، (٢) بند (١٠٠) نجد أن :

$$\lim_{r \rightarrow r_0} \frac{1}{2\pi} \int_0^{2\pi} P(r_0, r, \phi - \theta) G(\phi) d\phi = G(\theta) \quad (r < r_0).$$

إذن

$$\lim_{r \rightarrow r_0} U_r(r, \theta) = G(\theta) \quad (r < r_0) \quad (5)$$

لكل قيمة من قيم  $\theta$  تكون عندها  $G$  متصلة .  
 وحيث أن  $Q$  تكون ثابتة عندما  $r=0$  ، فإنه ينتج من معادلتى (٣) ، (٤) أن  $U_0$  هي قيمة  $U$  عند مركز الدائرة .

عندما تكون  $G$  متصلة قطعة بقطعة وتحقق معادلة (٤) ، فإن الصيغة

$$U(r, \theta) = -\frac{r_0}{2\pi} \int_0^{2\pi} \text{Log} [r_0^2 - 2r_0 r \cos(\phi - \theta) + r^2] G(\phi) d\phi + U_0 \quad (6)$$

حيث  $r < r_0$  ، تحل مسألة نويمان للمنطقة الداخلية للدائرة  $r=r_0$  ، حيث  $G(\theta)$  هي المشتقة في اتجاه العمود للدالة توافقية  $U(r, \theta)$  على الحدود بمفهوم شرط (٥) .

القيم  $U(r, \theta)$  يمكن أن تمثل درجات حرارة مستقرة في قرص  $r < r_0$  أو جهه معزولة . في هذه الحالة ينص الشرط (٥) على أن الفيض الحرارى في القرص خلال حافته يتناسب مع  $G(\theta)$  . شرط (٤) هو الشرط الفيزيائى الطبيعى المطلوب ليكون إجمالى المعدل الكلى لسريان الحرارة مساويا للصفر وذلك لأن درجات الحرارة لا تتغير مع الزمن .

ومن الممكن كتابة صيغة مناظرة لدالة توافقية  $H$  في النطاق الخارجى للدائرة  $r=r_0$  بدلالة  $Q$  على الصورة

$$H(R, \psi) = -\frac{1}{2\pi} \int_0^{2\pi} Q(r_0, R, \phi - \psi) G(\phi) d\phi + H_0 \quad (7)$$

حيث  $H_0$  ثابت . وكما سبق ، سنفترض أن  $G$  متصلة قطعة بقطعة وبأن

$$\int_0^{2\pi} G(\phi) d\phi = 0, \quad (8)$$

إذن

$$H_0 = \lim_{R \rightarrow \infty} H(R, \psi)$$

و

$$\lim_{R \rightarrow r_0} H_R(R, \psi) = G(\psi) \quad (R > r_0) \quad (9)$$

لكل  $\psi$  تكون عندها  $G$  متصلة .

التحقق من صحة صيغة (٧) وكذلك دراسة حالات خاصة من صيغة (٣) التى



يمكن تطبيقها للمناطق الدائرية سنتره للقارىء كمتارين .

### ١٠٥ - مسألة نويمان لنصف المستوى A Neumann Problem for a Half Plane

افرض أن  $G(x)$  دالة متصلة لجميع قيم  $x$  ، فيما عدا لعدد محدود من القفزات المحدودة على الأكثر ، وافرض كذلك أنها تحقق خاصية ترتيب

$$|x^k G(x)| < M \quad (-\infty < x < \infty) \quad (1)$$

حيث  $k > 1$  لكل عدد حقيقي ثابت ، تكون الدالة  $\text{Log}|z-t|$  توافقية في نصف المستوى  $\text{Im } z > 0$  . وبالتالي ، فإن الدالة

$$\begin{aligned} U(x,y) &= \frac{1}{\pi} \int_{-\infty}^{\infty} \text{Log}|z-t| G(t) dt + U_0 \\ &= \frac{1}{2\pi} \int_{-\infty}^{\infty} \text{Log}[(t-x)^2 + y^2] G(t) dt + U_0 \quad (y > 0), \end{aligned} \quad (2)$$

حيث  $U_0, y > 0$  ثابت حقيقي ، تكون توافقية في نفس نصف المستوى . لقد كتبنا صيغة (٢) آخذين في الاعتبار صيغة شفارتز (١) ببند (١٠٣) ، وذلك لأن صيغة (٢) تعطى

$$U_y(x,y) = \frac{1}{\pi} \int_{-\infty}^{\infty} \frac{yG(t)}{(t-x)^2 + y^2} dt \quad (y > 0). \quad (3)$$

من معادلتى (١) ، (٢) ببند (١٠٣) ينتج أن

$$\lim_{y \rightarrow 0} U_y(x,y) = G(x) \quad (y > 0) \quad (4)$$

عند كل نقطة  $x$  تكون عندها  $G$  متصلة .

من هذا نرى أن صيغة التكامل (٢) تحل مسألة نويمان لنصف المستوى  $y > 0$  مع افتراض وجود الشرط الحدى (٤) . ولكن يجب ملاحظة أننا لم نضع شروطا كافية على  $G$  لضمان أن تكون الدالة التوافقية  $U$  محدودة عندما يزداد  $|z|$  عندما تكون  $G$  دالة فردية ، يمكن كتابة صيغة (٢) على الصورة

$$U(x,y) = \frac{1}{2\pi} \int_0^{\infty} \text{Log} \frac{(t-x)^2 + y^2}{(t+x)^2 + y^2} G(t) dt \quad (x > 0, y > 0). \quad (5)$$

وهذه تمثل دالة توافقية في الربع الأول.  $x > 0, y > 0$  ، علاوة على أنها تحقق الشروط الحدية

$$U(0,y) = 0 \quad (y > 0), \quad (٦)$$

$$\lim_{y \rightarrow 0} U_x(x,y) = G(x) \quad (x > 0, y > 0). \quad (٧)$$

يمكن وصف قلوب جميع صيغ التكامل للدوال التوافقية التي عرضنا لها في هذا الباب بدلالة دالة حقيقية وحيدة للمتغيرات المركبة  $z = x + iy$  ،  $w = u + iv$  :

$$K(z,w) = \text{Log } |z - w| \quad (z \neq w). \quad (٨)$$

وهذه الدالة الأخيرة هي دالة جرين **Green's Function** للجهد اللوغاريتمي في المستوى المركب  $z$  . وهي دالة متماثلة ، بمعنى أن  $K(z,w) = K(w,z)$  . صور القلوب التي استخدمت فيما سبق بدلالة  $K$  ومشتقاتها ستعطى في التمارين .

## تمارين

١ - استنتج الحالة الخاصة الآتية من صيغة (١) بند (١٠٣) :

$$U(x,y) = \frac{y}{\pi} \int_0^{\infty} \left[ \frac{1}{(t-x)^2 + y^2} - \frac{1}{(t+x)^2 + y^2} \right] F(t) dt$$

حيث  $x > 0, y > 0$  لدالة محدودة  $U$  وتوافقية في الربع الأول من المستوى وتحقق الشروط الحدية

$$\begin{aligned} U(0,y) &= 0 & (y > 0), \\ \lim_{y \rightarrow 0} U(x,y) &= F(x) & (x > 0, x \neq x_j, y > 0), \end{aligned}$$

حيث  $F$  محدودة لجميع قيم  $x$  الموجبة ومتصلة لجميع قيم  $x$  الموجبة عدا عند عدد محدود على الأكثر من القفزات المحدودة عند النقط  $x_j$  ( $j = 1, 2, \dots, n$ )

٢ - استنتج الحالة الخاصة الآتية من صيغة (١) بند (١٠٣) :

$$U(x,y) = \frac{y}{\pi} \int_0^{\infty} \left[ \frac{1}{(t-x)^2 + y^2} + \frac{1}{(t+x)^2 + y^2} \right] F(t) dt \quad (x > 0, y > 0)$$

وذلك لدالة محدودة  $U$  توافقية في الربع الأول من المستوى وتحقق الشروط الحدية :

$$\begin{aligned} U_x(0,y) &= 0 & (y > 0), \\ \lim_{y \rightarrow 0} U(x,y) &= F(x) & (x > 0, x \neq x_j, y > 0), \end{aligned}$$

حيث  $F$  محدودة لجميع قيم  $x$  الموجبة ومتصلة لنفس القيم عدا ربما لعدد محدود من

القفزات عند عدد محدود على الأكثر من النقط  $(j = 1, 2, \dots, n) : x = x_j$

٣ - ابدل محوري  $y, x$  كل مكان الآخر بيند (١٠٣) بحيث يكون

$$U(x, y) = \frac{1}{\pi} \int_{-\infty}^{\infty} \frac{x F(t)}{(t-y)^2 + x^2} dt \quad (x > 0)$$

هو حل لمسألة دريشلت لنصف المستوى  $x > 0$ . اكتب

$$\lim_{x \rightarrow 0} U(x, y) = \begin{cases} 1 & (x > 0, -1 < y < 1) \\ 0 & (x > 0, |y| > 1) \end{cases}$$

ثم استنتج الصيغ التالية للدالة ومرافقتها التوافقية  $-V$  :

$$U(x, y) = \frac{1}{\pi} \left( \arctan \frac{y+1}{x} - \arctan \frac{y-1}{x} \right),$$

$$V(x, y) = \frac{1}{2\pi} \text{Log} \frac{x^2 + (y+1)^2}{x^2 + (y-1)^2}$$

حيث  $-\pi/2 \leq \arctan t \leq \pi/2$ . كذلك اثبت أن

$$\pi[V(x, y) + iU(x, y)] = \text{Log}(z + i) - \text{Log}(z - i),$$

حيث  $z = x + iy$

٤ - افرض أن  $T(x, y)$  تمثل درجات الحرارة المستقرة المقيدة في صفيحة  $x > 0, y > 0$  ذات أوجه معزولة عندما

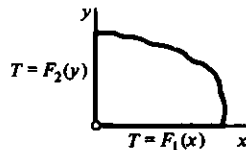
$$\lim_{y \rightarrow 0} T(x, y) = F_1(x) \quad \text{و} \quad \lim_{x \rightarrow 0} T(x, y) = F_2(y)$$

حيث  $(x > 0, y > 0)$  (شكل (١٠٦)). وهنا  $F_1, F_2$  دالتان محدودتان

ومتصلتان فيما عدا عند عدد محدود على الأكثر من القفزات المحدودة. اكتب

$x + iy = z$  واثبت باستخدام العلاقة في تمرين (١) أن

$$T(x, y) = T_1(x, y) + T_2(x, y) \quad (x > 0, y > 0)$$



شكل (١٠٦)

حيث

$$T_1(x,y) = \frac{y}{\pi} \int_0^{\infty} \left( \frac{1}{|t-z|^2} - \frac{1}{|t+z|^2} \right) F_1(t) dt,$$

$$T_2(x,y) = \frac{x}{\pi} \int_0^{\infty} \left( \frac{1}{|it-z|^2} - \frac{1}{|it+z|^2} \right) F_2(t) dt.$$

٥ - استنتج صيغة (٧) ببند (١٠٤) كحل لمسألة نويمان للمنطقة الخارجية لدائرة مستخدما في ذلك النتائج السابق الحصول عليها في هذا البند .

٦ - استنتج الحالة الخاصة الآتية من صيغة (٣) ببند (١٠٤) :

$$U(r,\theta) = \frac{1}{2\pi} \int_0^{\pi} [Q(r_0,r,\phi - \theta) - Q(r_0,r,\phi + \theta)] G(\phi) d\phi$$

لدالة U توافقية في المنطقة النصف دائرية.  $r < r_0, 0 < \theta < \pi$  والتي تحقق الشروط الحدية

$$U(r,0) = U(r,\pi) = 0 \quad (r < r_0)$$

و

$$\lim_{r \rightarrow r_0} U(r,\theta) = G(\theta) \quad (r < r_0, 0 < \theta < \pi)$$

لكل  $\theta$  تكون عندها G متصلة ، وبفرض أن

$$\int_0^{\pi} G(\phi) d\phi = 0.$$

٨ - افرض أن  $T(x,y)$  ترمز لدرجات الحرارة المستقرة في صفيحة  $x \geq 0, y \geq 0$  وجهاها معزولان و  $T=0$  على الحافة  $x=0$ . الفيض الحرارى عبر الصفيحة على امتداد القطعة المستقيمة  $0 < x < 1$  من الحافة  $y=0$  يساوى مقدارا ثابتا A ، وبقية تلك الحافة معزولة . استخدم صيغة (٥) ببند (١٠٥) لإثبات أن الفيض الحرارى إلى خارج الصفيحة على امتداد الحافة  $x=0$  يساوى

$$\frac{A}{\pi} \text{Log} \left( 1 + \frac{1}{y^2} \right).$$

٩ - اثبت أن قلب بواسون يعطى بالمعادلة

$$P(\rho,r,\phi - \theta) = 2\rho \frac{\partial K}{\partial \rho} - 1.$$

حيث  $K=K(z,w)$  هي دالة جرين التالية

$$K(z, w) = \text{Log} |z - w| = \frac{1}{2} \text{Log} [\rho^2 - 2\rho r \cos(\phi - \theta) + r^2],$$

$$w = \rho \exp(i\phi), z = r \exp(i\theta) \quad \text{حيث}$$

١٠ - اثبت أن القلب المستخدم في تحويلة تكامل شفارتز بيند (١٠٣) يمكن كتابته على الصورة

$$\frac{y}{|u - z|^2} = \frac{\partial K}{\partial y} \Big|_{v=0} = - \frac{\partial K}{\partial v} \Big|_{v=0}.$$

حيث K هي دالة جرين :

$$K(z, w) = \text{Log} |z - w| = \frac{1}{2} \text{Log} [(x - u)^2 + (y - v)^2],$$

حيث  $w = u + iv, z = x + iy$  ، ومع اعتبار K دالة في المتغيرات الحقيقية الأربعة

.  $x, y, u, v$ .



# الفصل الثاني عشر

## إفاضة في نظرية الدوال Further Theory of Functions

لقد قمنا في الأبواب السابقة باستبعاد الكثير من المباحث - في نظرية الدوال - التي لم تكن أساسية لاتصال تسلسل العرض في حينه . ومع هذا فإن عددا لا بأس به من هذه المباحث لا بد وأن يحتل مكانا ما في أى مقرر تمهيدى وذلك بسبب أهميتها العامة وسنقوم بإدراج هذه المباحث في هذا الباب .

### (أ) إمتداد تحليلي Analytic Continuation

سنستعرض أولا كيف أن سلوك دالة توافقية في نطاق ما يتعين تماما بسلوكها في فئة أصغر محتواة في هذا النطاق . بعد ذلك سنطرق مسألة مد نطاق تعريف دالة تحليلية .

### ١٠٦ - الشروط التي في ظلها يكون $f(z) \equiv 0$

#### Conditions under which $f(z) \equiv 0$

في بند (٦٦) أثبتنا أن أصفار أى دالة تحليلية تكون معزولة إلا إذا انعدمت الدالة تطابقيا . أى أنه ، عندما تكون دالة  $f$  تحليلية عند نقطة ما  $z_0$  ، فإنه يوجد جوار  $|z - z_0| < \epsilon$  بحيث تكون  $f(z) \equiv 0$  على هذا الجوار بأكمله أو أن لا يكون للدالة  $f$  أصفار في هذا الجوار فيما عدا ربما عند النقطة  $z_0$  نفسها .

افرض الآن أن  $z_0$  نقطة تراكم فئة لا نهائية وأن  $f(z) = 0$  عند كل نقطة  $z$  تنتمي لهذه الفئة . إذن كل جوار للنقطة  $z_0$  يحوى صفرا من أصفار  $f$  مختلف عن النقطة  $z_0$  نفسها ، وإذا كانت  $f$  تحليلية عند  $z_0$  ، فلا بد وأن يوجد جوار ما للنقطة  $z_0$  بحيث  $f(z) \equiv 0$  عند كل نقطة  $z$  من نقط الجوار . جميع المعاملات  $f(z_0)/n!$  و  $f^{(n)}(z_0)$  حيث  $n = 1, 2, 3, \dots$  في مفكوك تايلور للدالة  $f(z)$  حول  $z_0$  تكون بالتالى مساوية للصفر . وبالتالي إذا كانت

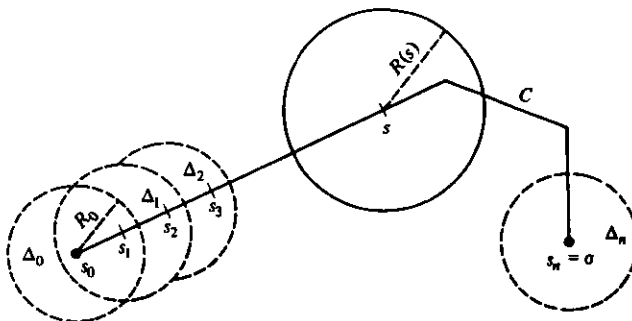
الدالة  $f$  تحليلية على داخلية دائرة ما  $|z - z_0| = r_0$  ، فإنه ينتج أن  $f(z) \equiv 0$  في القرص المفتوح  $|z - z_0| < r_0$  .

وعلى سبيل الخصوص ، إذا كانت  $f(z) = 0$  عند كل نقطة  $z$  في نطاق ما يحوى  $z_0$  ، أو عند كل نقطة من نقاط قوس يحوى  $z_0$  ، وإذا كانت  $f$  تحليلية في قرص مفتوح  $|z - z_0| < r_0$  فإن  $f(z)$  تنعدم تطابقيا على هذا القرص المفتوح .  
سنقدم الآن النتيجة الأساسية لهذا البند .

**نظرية :** إذا كانت  $f$  دالة تحليلية على نطاق  $D$  وكانت  $f(z) = 0$  عند كل نقطة  $z$  من نقاط نطاق أو قوس يقع داخل  $D$  ، فإن  $f(z) = 0$  عند كل نقطة من نقاط  $D$  .

سنبرهن هذه النظرية أولا في حالة ما إذا كانت  $f(z) = 0$  عند كل نقطة  $z$  من نقاط نطاق  $D_0$  يقع داخل  $D$  . افرض أن  $s_0$  أى نقطة من نقاط  $D_0$  وإفرض أن  $\sigma$  أى نقطة تنتمى للنطاق  $D$  ولا تنتمى للنطاق  $D_0$  . حيث أن النطاق يكون دائما مترابط ، فإنه يوجد مسار مضلعى  $C$  ، يتكون من عدد محدود من القطع المستقيمة المتصلة نهاية بنهاية ، ويقع بأكمله في النطاق  $D$  ويصل النقطة  $s_0$  بالنقطة  $\sigma$  ( شكل (١٠٧) ) .

الآن الدالة التحليلية  $f$  لها مفكوك على صورة متسلسلة تايلور حول كل نقطة  $s$  من نقاط  $C$  ، ونصف قطر دائرة التقارب يكون عددا موجبا ما  $R(s)$  . ومع هذا ، سنتفق على أن نكتب  $R(s) = 1$  حينما يكون نصف القطر هذا أكبر من الواحد ، أى أن  $0 < R(s) \leq 1$  . بالطبع قد تمتد دائرة ما  $|z - s| = R(s)$  فيما وراء  $D$  .



شكل ( ١٠٧ )

من أجل برهان ما نبغيه سنكون في حاجة إلى حقيقة أن  $R$  دالة متصلة في  $s$  . للوصول لتلك الحقيقة ، إفرض أن  $s$  أى نقطة من نقاط  $C$  وأفرض أن  $s + \Delta s$  نقطة ما على  $C$  قريبة قريبا كافيًا من  $s$  بحيث  $|\Delta s| < R(s)$  . من هذا ينتج أن  $f$  تكون تحليلية في القرص المفتوح



$$|z - (s + \Delta s)| < R(s) - |\Delta s|$$

الذى مركزه النقطة  $s + \Delta s$  ( شكل (١٠٨) ) . ولكن قد تكون  $f$  تحليلية في الحقيقة في قرص مفتوح أكبر مركزه عند  $s + \Delta s$  إذن  $R(s + \Delta s) \geq R(s) - |\Delta s|$  ، أو

$$-[R(s + \Delta s) - R(s)] \leq |\Delta s|. \quad (١)$$

إذا كان  $R(s + \Delta s) \leq R(s)$  ، فإنه يمكن كتابة المتباينة (١) على الصورة

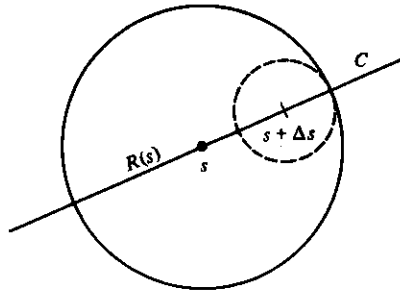
$$|R(s + \Delta s) - R(s)| \leq |\Delta s|. \quad (٢)$$

من ناحية أخرى ، إفرض أن  $R(s + \Delta s) > R(s)$  . لاحظ أنه إذا كانت  $z$  نقطة واقعة في القرص المفتوح

$$|z - s| < R(s + \Delta s) - |\Delta s|, \quad (٣)$$

فإن

$$|z - (s + \Delta s)| \leq |z - s| + |\Delta s| < R(s + \Delta s).$$



شكل ( ١٠٨ )

الدالة  $f$  تكون إذن تحليلية عند  $z$  وذلك لأن هذه النقطة تقع داخل دائرة التقارب حول  $s + \Delta s$  . وبالتالي ، فإن القرص المفتوح (٣) يكون محتوى في القرص المفتوح  $|z - s| < R(s)$  أى أن  $R(s + \Delta s) - |\Delta s| \leq R(s)$  ، ومرة أخرى تتحقق المتباينة (٢) .

باستخدام المتباينة (٢) ، نرى أن  $|R(s + \Delta s) - R(s)|$  يكون أقل من أى عدد موجب  $\varepsilon$  عندما يكون  $|\Delta s|$  أقل من كل من  $\varepsilon$  و  $R(s)$  . أى أن

$$\lim_{\Delta s \rightarrow 0} R(s + \Delta s) = R(s)$$

وبهذا يكون قد اكتمل اثبات أن  $R$  متصلة عند  $s$  .

عند إعطاء تمثيل بارامترى  $a \leq t \leq b$  ،  $z = z(t)$  ، للكفاف  $C$  ، فإنه يمكن اعتبار

R دالة ذات قيم حقيقية  $R[z(t)]$  لمتغير حقيقي وأنها تكون متصلة وموجبة على فترة مغلقة محدودة . من هذا ينتج أن الدالة R يكون لها إذن قيمة صغرى موجبة  $R_0$  . إذن الدالة f تكون تحليلية في القرص المفتوح  $|z - s_0| < R_0$  ، الذي سنرمز له بالرمز  $\Delta_0$  . حيث أن  $f(z) = 0$  عند كل نقطة في النطاق  $D_0$  الذي يحوى  $s_0$  ، فإنه ينتج أن  $f(z) = 0$  عند كل نقطة z في القرص المفتوح  $\Delta_0$  . وهذا ينتج من الملاحظات التي ذكرناها سابقاً لمنطوق النظرية .  
إفرض أن  $\sigma = s_0, s_1, s_2, \dots, s_n$  متتابعة من نقط C بحيث

$$\frac{1}{2}R_0 \leq |s_j - s_{j-1}| < R_0 \quad (j = 1, 2, \dots, n).$$

كما هو موضح بشكل (١٠٧) ، يوجد حول كل نقطة  $s_j$  قرص مفتوح  $\Delta_j$  نصف قطره  $R_0$  تكون f تحليلية عليه . حيث أن المركز  $s_1$  للقرص المفتوح  $\Delta_1$  يقع في النطاق  $\Delta_0$  الذي تكون f مساوية للصفر عليه ، فإنه ينتج أن  $f(z) = 0$  على  $\Delta_1$  . بالمثل ، يقع مركز القرص المفتوح  $\Delta_2$  في النطاق  $\Delta_1$  ، وبالتالي فإن  $f(z) = 0$  على  $\Delta_2$  . بالاستمرار على هذا المنوال ، فإننا سنصل حتماً إلى  $\Delta_n$  ونجد أن  $f(\sigma) = 0$  . بهذا يكتمل برهان النظرية في الحالة التي يكون فيها  $f(z) = 0$  عند كل نقطة من نقاط نطاق  $D_0$  محتوى في داخلية النطاق D .

افرض الآن أن  $f(z) = 0$  على امتداد قوس في D . إذن يوجد قرص مفتوح ، أو نطاق ، محتوى في داخلية D حول أى نقطة على القوس ، وبمراعاة الملاحظات التي ذكرناها سابقاً لمنطوق النظرية . نجد بسهولة أن  $f(z) = 0$  على هذا القرص المفتوح . إذن ، نتيجة للحالة التي أكملنا برهانها في التو ، يمكننا أن نستخلص أن  $f(z) = 0$  عند كل نقطة من نقاط D .

### ١٠٧ - ثبات الصيغ للمتطابقات الدالية

#### Permanence of Forms of Functional Identities

افرض أن g, f دالتان تحليليتان في نفس النطاق D وأن  $f(z) = g(z)$  عند كل نقطة z من نقاط نطاق أو قوس محتوى في D . الدالة h المعرفة على أنها  $h(z) = f(z) - g(z)$  تكون أيضاً تحليلية في D ، كما أن  $h(z) = 0$  على النطاق الجزئى أو على امتداد القوس . إذن  $h(z) = 0$  على النطاق D بأكمله ، أى أن  $f(z) = g(z)$  على النطاق D بأكمله . بهذا نكون قد أثبتنا النتيجة التالية .

نظرية ١ : الدالة التي تكون تحليلية في نطاق D تعين بصورة وحيدة على D بواسطة قيمها على نطاق ، أو على امتداد قوس ، محتوى في داخلية D .

كمثال توضيحي ، الدالة  $e^z$  هي الدالة الوحيدة الشاملة التي يمكن أن تأخذ القيم  $e^{-z}$  على امتداد قطعة من المحور الحقيقي . علاوة على ذلك ، فحيث أن  $e^{-z}$  تكون شاملة

وأن  $e^z e^{-z} = 1$  طالما كان  $x$  عدد حقيقي ، فإن الدالة  
 $e^z e^{-z} - 1$

تكون شاملة وتأخذ قيما صفرية على امتداد المحور الحقيقي بأكمله . وبالتالي فإن

$$e^z e^{-z} - 1 = 0$$

عند جميع النقط ، وتحقق المتطابقة  $e^{-z} = 1/e^z$  لكل عدد مركب  $z$  .

ثبات الصيغ هذا لمتطابقات أخرى بين الدوال ، عند انتقالنا من متغير حقيقي إلى متغير مركب ، يمكن أن يبرهن بإتباع نفس الأسلوب . سنقصر اهتمامنا في النظرية التالية على الفصل الهام من المتطابقات التي تحوى فقط كثيرات حدود في الدوال .

**نظرية ٢ :** إفرض أن  $P(w_1, w_2, \dots, w_n)$  كثيرة حدود في  $n$  من المتغيرات  $w_j$  ، وافرض أن  $f_j$  ( $j = 1, 2, \dots, n$ ) دوال تحليلية للمتغير  $z$  في نطاق  $D$  يحوى فترة ما  $a < x < b$  من محور السينات . إذا كانت الدوال  $f_j$  تحقق المتطابقة

$$P[f_1(x), f_2(x), \dots, f_n(x)] = 0, \quad (1)$$

على تلك الفترة ، فإن

$$P[f_1(z), f_2(z), \dots, f_n(z)] = 0 \quad (2)$$

على النطاق  $D$  بأكمله

الطرف الأيسر من معادلة (٢) يمثل دالة تحليلية للمتغير  $z$  في النطاق المعطى ، وهو يساوى صفر على امتداد قوس في هذا النطاق ، وذلك طبقا للمتطابقة (١) . إذن المتطابقة (٢) تتحقق على النطاق بأكمله .

لتوضيح هذه النظرية ، دعنا نعتبر كثيرة الحدود  $P(w_1, w_2) = w_1^2 + w_2^2 - 1$  والدالتين الشاملتين  $f_1(z) = \sin z$  و  $f_2(z) = \cos z$  على المحور الحقيقي  $P[f_1(x), f_2(x)] = \sin^2 x + \cos^2 x - 1 = 0$  ، إذن ،  $P[f_1(z), f_2(z)] = \sin^2 z + \cos^2 z - 1 = 0$  ، أو  $\sin^2 z + \cos^2 z = 1$  على المستوى المركب  $z$  بأكمله

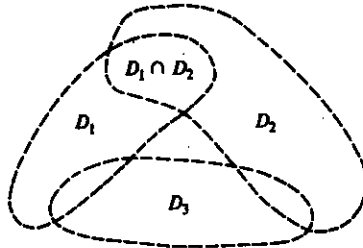
### ١٠٨ - وحدانية الامتداد التحليلي Uniqueness of Analytic Continuation

**تقاطع Intersection** نطاقين  $D_1$  و  $D_2$  هو النطاق  $D_1 \cap D_2$  المكون من جميع النقط المشتركة بين كل من  $D_1$  و  $D_2$  . إذا وجدت نقط مشتركة بين النطاقين ، فإن اتحادهما **Union**  $D_1 \cup D_2$  يتكون من جميع النقط التي تنتمى إلى  $D_1$  أو  $D_2$  ، ويكون  $D_1 \cup D_2$  نطاقاً أيضاً .

إذا كان لدينا نطاقين  $D_1$  و  $D_2$  بينهما نقط مشتركة ( شكل (١٠٩) ) ودالة  $f_1$  تحليلية في  $D_1$  ، فإنه قد يوجد دالة  $f_2$  تحليلية في  $D_2$  بحيث  $f_2(z) = f_1(z)$  لكل نقطة من نقط

التقاطع  $D_1 \cap D_2$  . إذا تحقق ذلك فإننا نسمى  $f_2$  الامتداد التحليلي  
 The analytic continuation للدالة  $f_1$  إلى النطاق  $D_2$  .

إذا ما تحقق وجود هذا الامتداد التحليلي  $f_2$  ، فإنه يكون وحيدا ، وذلك حسب نظرية (١) من البند السابق ، وذلك لعدم إمكانية تحقق وجود أكثر من دالة تحليلية في  $D_2$  تأخذ أيضاً القيمة  $f_1(z)$  عند كل نقطة  $z$  تنتمي للنطاق  $D_1 \cap D_2$  وتقع في داخلية  $D_2$  . بالرغم من ذلك ، إذا كان هناك امتداد تحليلي  $f_3$  للدالة  $f_2$  من النطاق  $D_2$  إلى نطاق  $D_3$  يتقاطع مع  $D_1$  كما هو موضح بشكل (١٠٩) ، فليس من الضروري أن يكون  $f_3(z) = f_1(z)$  صحيحا لكل  $z$  تنتمي للنطاق  $D_1 \cap D_3$  . في البند التالي سنوضح حقيقة أن هذه السلسلة من الامتدادات التحليلية لدالة معطاة من نطاق  $D_1$  قد تؤدي إلى الحصول على دالة مختلفة معرفة على  $D_1$  .



شكل ( ١٠٩ )

إذا كان  $f_2$  الامتداد التحليلي للدالة  $f_1$  من نطاق  $D_1$  إلى نطاق  $D_2$  ، فإن الدالة  $F$  المعرفة كالتالي :

$$F(z) = \begin{cases} f_1(z) & \text{و } z \in D_1, \\ f_2(z) & \text{و } z \in D_2 \end{cases}$$

تكون تحليلية في نطاق الاتحاد  $D_1 \cup D_2$  . الدالة  $F$  هي الامتداد التحليلي إلى  $D_1 \cup D_2$  لأي من الدالتين  $f_1$  أو  $f_2$  ، وفي هذه الحالة يقال أن  $f_1$  و  $f_2$  عناصر Elements للدالة  $F$  .

### ١٠٩ - أمثلة

دعنا نعتبر أولاً الدالة  $f_1$  المعرفة بالمعادلة

$$f_1(z) = \sum_{n=0}^{\infty} z^n \quad (١)$$

متسلسلة القوى المعطاة هنا تكون تقاربية إذا ، فقط إذا ، كان  $|z| < 1$  . هذه المتسلسلة هي مفكوك ماكلورين للدالة  $1/(1-z)$  . إذن

$$f_1(z) = \frac{1}{1-z}$$

طالما كان  $|z| < 1$  ، الدالة  $f_1$  ليست معرفة عندما  $|z| \geq 1$  .  
الآن ، الدالة

$$f_2(z) = \frac{1}{1-z} \quad (z \neq 1) \quad (2)$$

معرفة وتحليلية عند جميع النقط فيما عدا عند النقطة  $z=1$  حيث أن  $f_2(z) = f_1(z)$  داخل الدائرة  $|z|=1$  ، فإن الدالة  $f_2$  تكون الامتداد التحليلي للدالة  $f_1$  إلى النطاق المكون من جميع نقط المستوى المركب  $z$  عدا النقطة  $z=1$  . وهي الامتداد التحليلي الوحيد المحتمل للدالة  $f_1$  إلى هذا النطاق ، وذلك حسب النتائج التي توصلنا إليها في البند السابق . في هذا المثال  $f_1$  تكون أيضاً عنصراً للدالة  $f_2$  .  
من المفيد أن نلاحظ أنه إذا بدأنا بمعلومية أن متسلسلة القوى

$$\sum_{n=0}^{\infty} z^n$$

تقريبية وأنها تمثل دالة تحليلية للمتغير  $z$  عندما  $|z| < 1$  وأن مجموعها يساوي  $1/(1-x)$  عندما  $z=x$  فإنه يمكننا استنتاج أن مجموع هذه المتسلسلة هو  $1/(1-z)$  طالما كان  $|z| < 1$  . هذا ينتج من حقيقة أن الدالة  $1/(1-z)$  هي الدالة التحليلية على داخلية الدائرة  $|z|=1$  التي تأخذ القيم  $1/(1-x)$  على امتداد القطعة المستقيمة من محور السينات الواقعة داخل الدائرة .

كمثال توضيحي آخر للامتداد التحليلي ، اعتبر الدالة

$$g_1(z) = \int_0^{\infty} e^{-zt} dt \quad (3)$$

إجراء التكامل مباشرة يكشف النقاب عن أن التكامل (٣) يتحقق فقط عندما  $\text{Re } z > 0$  وأن

$$g_1(z) = \frac{1}{z} \quad (4)$$

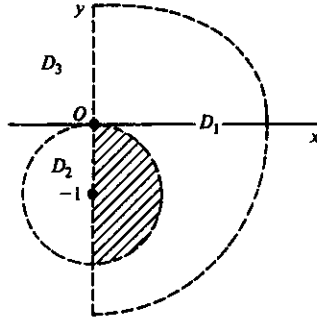
نطاق التعريف  $\text{Re } z > 0$  رمز له بالرمز  $D_1$  في شكل (١١٠) ، الدالة  $g_1$  تحليلية هناك .  
افرض أن  $g_2$  معرفة بدلالة متسلسلة هندسية بالمعادلة

$$g_2(z) = i \sum_{n=0}^{\infty} \left( \frac{z+i}{i} \right)^n , |z+i| < 1 \quad (5)$$

داخل دائرة تقارب هذه المتسلسلة ( أى دائرة الوحدة التي مركزها النقطة  $-i$  ) ،  
تكون المتسلسلة تقريبية . إذن

$$g_2(z) = i \frac{1}{1 - (z+i)/i} = \frac{1}{z} \quad (6)$$

عندما تنتمي  $z$  للنطاق  $|z+i| < 1$  ، الذي رمزنا له بالرمز  $D_2$  . من الواضح أن  $g_2(z) = g_1(z)$  لكل  $z$  تنتمي للتقاطع  $D_1 \cap D_2$  ، أن  $g_2$  هي الامتداد التحليلي للدالة  $g_1$  إلى النطاق  $D_2$  .



شكل ( ١١٠ )

الدالة  $G(z) = 1/z$  ، حيث  $z \neq 0$  ، هي الامتداد التحليلي لكل من  $g_2, g_1$  إلى النطاق  $D_3$  المكون من جميع نقط المستوى المركب  $z$  عدا نقطة الأصل . وبالتالي تكون الدالتين  $g_2, g_1$  عناصر للدالة  $G$  .  
أخيرا ، اعتبر الفرع التالي للدالة  $z^{1/2}$  :

$$h_1(z) = \sqrt{r} \exp \frac{i\theta}{2} , r > 0, 0 < \theta < \pi .$$

الامتداد التحليلي  $h_2$  عبر الجزء السالب من المحور الحقيقي إلى النصف السفلي للمستوى هو

$$h_2(z) = \sqrt{r} \exp \frac{i\theta}{2} , r > 0, \frac{\pi}{2} < \theta < 2\pi .$$

الامتداد التحليلي  $h_3$  للدالة عبر الجزء الموجب من المحور الحقيقي إلى الربع الأول من المستوى هو

$$h_3(z) = \sqrt{r} \exp \frac{i\theta}{2} , r > 0, \pi < \theta < \frac{5\pi}{2} .$$

لاحظ أن  $h_3(z) \neq h_1(z)$  في الربع الأول من المستوى ، وفي الحقيقة فإن  $h_3(z) = -h_1(z)$  هناك .

### ١١٠ - مبدأ الانعكاس The Principle of Reflection

في الباب الثالث وجدنا أن بعض الدوال البسيطة  $f(z)$  لها الخاصية  $\overline{f(\bar{z})} = f(z)$  ، والبعض الآخر منها ليس له هذه الخاصية . كأمثلة للدوال التي لها هذه الخاصية ، يمكننا أن نذكر الدوال

$$z, \quad z^2 + 1, \quad e^z, \quad \sin z;$$

وذلك لأنه عند إحلال  $z$  بمرافقها المركب ، نجد أن قيمة كل من هذه الدوال تتغير إلى المرافق المركب للقيمة الأصلية . من ناحية أخرى ، الدوال

$$iz, \quad z^2 + i, \quad e^{iz}, \quad (1 + i) \sin z$$

لا تحقق خاصية أن صورة  $z$  بالانعكاس بالنسبة للمحور الحقيقي تناظر صورة  $f(z)$  بالانعكاس بالنسبة للمحور الحقيقي .

النظرية التالية ، والتي تعرف باسم مبدأ الانعكاس **Reflection principle** ، تفسر هذه المشاهدات .

**نظرية :** افرض أن  $f$  دالة تحليلية في نطاق ما  $D$  يحوى قطعة من محور السينات وأنها متماثلة بالنسبة لمحور السينات . إذا كانت  $f(x)$  حقيقية لكل نقطة  $x$  من نقط تلك القطعة ، فإن

$$f(\bar{z}) = \overline{f(z)} \quad (1)$$

لكل نقطة  $z$  تنتمي للنطاق  $D$  . وبالعكس ، إذا تحقق الشرط (١) فإن  $f(x)$  تكون حقيقية .

المعادلة (١) تمثل نفس الشرط على  $f$  المعطى بالمعادلة

$$\overline{f(\bar{z})} = f(z), \quad (2)$$

حيث  $f(z) = u(x,y) + iv(x,y)$  و

$$\overline{f(\bar{z})} = u(x,-y) - iv(x,-y). \quad (3)$$

عندما يتحقق الشرط (٢) عند نقطة على المحور الحقيقي ، فإن

$$f(x) = u(x,0) + iv(x,0) = u(x,0) - iv(x,0);$$

وبالتالى فإن  $v(x,0) = 0$  ، وتكون  $f(x)$  حقيقية . وبالتالى فإن التقرير العكسى في النظرية يكون صحيحا .

لإثبات صحة التقرير المباشر في النظرية ، سنين أولاً أن الدالة  $\overline{f(\bar{z})}$  تحليلية على النطاق  $D$  . من أجل ذلك سنكتب

$$F(z) = \overline{f(\bar{z})} = U(x,y) + iV(x,y).$$

إذن ، طبقاً لمعادلة (٣) ،

$$U(x,y) = u(r,t), \quad V(x,y) = -v(r,t) \quad (4)$$

حيث  $r = x$  و  $t = -y$  . حيث أن  $f(r+it)$  دالة تحليلية في  $r+it$  ، فإنه ينتج أن الدالتين

و  $u(r,t)$  و  $v(r,t)$  ، وكذلك مشتقاتهما الجزئية ، تكون متصلة على النطاق  $D$  ، كما أن معادلتى كوشي - ريمان

$$u_r = v_{\theta}, \quad u_{\theta} = -v_r$$

تكون متحققة على نفس النطاق . الآن ، من معادلتى (٤) ، نجد أن

$$U_x = u_r, \quad V_y = -v_{\theta} \frac{dt}{dy} = v_r$$

وبالتالى فإن  $U_x = U_y$  . بالمثل يمكننا إثبات أن

$$U_y = -V_x.$$

هذه المشتقات الجزئية للدالتين  $V, U$  جميعها متصلة ، وبالتالى تكون الدالة  $F$  تحليلية على النطاق  $D$  .

حيث أن  $f(x)$  حقيقية ، فإن  $v(x,0) = 0$  . إذن

$$F(x) = U(x,0) + iV(x,0) = u(x,0);$$

أى أن  $F(z) = f(z)$  عندما تقع النقطة  $z$  على القطعة من محور السينات المحتواة فى النطاق  $D$  . من نظرية (١) بيند (١٠٧) ينتج إذن أن  $F(z) = f(z)$  عند كل نقطة  $z$  من نقاط  $D$  حيث أن كل من الدالتين تكون تحليلية هناك . وبالتالى فإن الشرط (٢) يكون قد تحقق ، وبهذا يكتمل برهان النظرية .

## تقارين

١ - معلومة أن دالتى الجيب الزائدى وجيب التمام الزائدى ، والدالة الأسية ، ودالتى الجيب وجيب التمام جميعها دوال شاملة ، استخدم نظرية (٢) بيند (١٠٧) للحصول على كل من المتطابقات التالية لجميع الأعداد المركبة  $z$  من المتطابقات المناظرة عندما تكون  $z$  حقيقية

$$\sin 2z = 2 \sin z \cos z \quad ; \quad \sinh z + \cosh z = e^z$$

$$\sin (\pi/2 - z) = \cos z \quad ; \quad \cosh^2 z - \sinh^2 z = 1$$

٢ - اثبت أن الدالة

$$f_2(z) = \frac{1}{z^2 + 1} \quad , \quad z \neq \pm i$$

هى الامتداد التحليلى للدالة

$$f_1(z) = \sum_{n=0}^{\infty} (-1)^n z^{2n} \quad \text{و} \quad |z| < 1$$

إلى النطاق المكون من جميع نقط المستوى المركب  $z$  عدا النقطتين  $z = \pm i$  .

٣ - اثبت أن الدالة  $1/z^2$  تمثل الامتداد التحليلى للدالة المعرفة بالمتسلسلة

$$\sum_{n=0}^{\infty} (n+1)(z+1)^n \quad \text{و} \quad |z+1| < 1.$$



إلى النطاق المكون من جميع نقط المستوى المركب  $z$  عدا النقطة  $z=0$ .

٤ - اذكر لماذا تكون الدالة

$$h_1(z) = \sqrt{r} \exp \frac{i\theta}{2}, \quad r > 0, -\pi < \theta < \pi$$

الامتداد التحليلي للدالة ( انظر بند (١٠٩) )

$$h_2(z) = \sqrt{r} \exp \frac{i\theta}{2}, \quad r > 0, 0 < \theta < \pi$$

عبر الجزء الموجب من المحور الحقيقي إلى النصف السفلي للمستوى.

٥ - أوجد الامتداد التحليلي للدالة  $\text{Log } z$  من النصف العلوي  $\text{Im } z > 0$  للمستوى إلى

النصف السفلي للمستوى عبر الجزء السالب من المحور الحقيقي. لاحظ أن هذا الامتداد التحليلي يختلف عن  $\text{Log } z$  في نصف المستوى السفلي.

الإجابة:  $\text{Log } r + i\theta$  حيث  $0 < \theta < 2\pi, r > 0$ .

٦ - أوجد الامتداد التحليلي للدالة

$$f(z) = \int_0^{\infty} t e^{-zt} dt \quad \text{Re } z > 0$$

إلى النطاق المكون من جميع نقط المستوى المركب  $z$  عدا نقطة الأصل.

الإجابة:  $1/z^2$ .

٧ - اثبت أن الدالة  $1/(z^2 + 1)$  هي الامتداد التحليلي للدالة

$$f(z) = \int_0^{\infty} e^{-zt} \sin t dt, \quad \text{Re } z > 0.$$

إلى النطاق المكون من جميع نقط المستوى المركب  $z$  عدا النقطتين  $z = \pm i$ .

٨ - اثبت أنه إذا أحلنا الشرط أن تكون حقيقية في النظرية بيند (١١٠) بالشرط أن  $f(x)$

تكون تحليلية فإن النتيجة تتغير إلى  $f(\bar{z}) = -\overline{f(z)}$ .

٩ - افرض أن  $S$  ترمز لفئة من نقط نطاق  $D$  بحيث يكون للفئة  $S$  نقطة تراكم في  $D$ . عمم

نظرية (١) بيند (١٠٧) بإثبات أن أى دالة تحليلية في  $D$  تعين بصورة وحيدة بقيمتها على

الفئة  $S$ .

(ب) النقط الشاذة والأصفار Singular Points and Zeros

سنقوم الآن بدراسة إضافية لسلوك الدوال بالقرب من نقطها الشاذة.

١١١ - الأقطاب والأصفار Poles and Zeros

لقد أوضحنا بيند (٧٠) أنه إذا كان  $z_0$  قطب من أى درجة لدالة  $f$ ، فإن

$$\lim_{z \rightarrow z_0} f(z) = \infty; \quad (1)$$

أى أنه لكل عدد موجب  $\varepsilon$  يوجد عدد موجب  $\delta$  بحيث

$$(2) \quad |f(z)| > \frac{1}{\varepsilon} \quad \text{طالما كان} \quad 0 < |z - z_0| < \delta$$

كنتيجة لهذا ، يوجد دائماً جوار ما للقطب لا يحوى أى أصفار للدالة  $f$  .

حيث أن الأقطاب هي نقط شاذة معزولة ، فينتج أنه إذا كان  $z_0$  قطباً للدالة  $f$  ، فإنه يوجد جوار للنقطة  $z_0$  لا يحوى أى أصفار للدالة  $f$  أو أى نقط شاذة للدالة  $f$  فيما عدا النقطة  $z_0$  نفسها .

وطبقاً لتمرين (١٢) بيند (٧١) ، إذا كان  $z_0$  صفراً رتبته  $m$  لدالة  $f(z)$  ، فإن  $z_0$  يكون قطباً من درجة  $m$  للدالة الكسرية  $1/f(z)$  . عكس هذه النتيجة يمكن أن يبرهن بسهولة . وذلك لأنه إذا كان  $z_0$  قطباً من درجة  $m$  لدالة  $g(z)$  ، فإن الدالة  $(z - z_0)^m g(z)$  يكون لها نقطة شاذة مزالة عند  $z_0$  . القيمة المعينة للدالة الأخيرة عند  $z_0$  بحيث تكون الدالة الناتجة تحليلية في قرص مفتوح  $|z - z_0| < r_0$  حول  $z_0$  لا بد وأن تكون مختلفة عن الصفر . إذا كان  $\phi$  يرمز لتلك الدالة التحليلية ، فإن

$$(3) \quad \phi(z) = (z - z_0)^m g(z) \quad \text{طالما كان} \quad 0 < |z - z_0| < r_0$$

$$\phi(z_0) \neq 0.$$

الآن ، الدالة  $1/\phi(z)$  تحليلية عند  $z_0$  ، ولعدد موجب ما  $r_1$  تمثل بمتسلسلة

تايلور

$$\frac{1}{\phi(z)} = \sum_{n=0}^{\infty} a_n (z - z_0)^n \quad (|z - z_0| < r_1).$$

حيث  $r_1 \leq r_0$  و  $a_0 = 1/\phi(z_0) \neq 0$  . من معادلة (٣) ينتج أن

$$(4) \quad \frac{1}{g(z)} = (z - z_0)^m \sum_{n=0}^{\infty} a_n (z - z_0)^n \quad (|z - z_0| < r_1).$$

إذن ، إذا كان  $z_0$  قطباً من درجة  $m$  لدالة  $g(z)$  ، فإن  $z_0$  تكون صفراً رتبته  $m$  للدالة  $1/g(z)$  .

كتباين للشرط (٢) ، افرض أن دالة محدودة وتحليلية في نطاق  $0 < |z - z_0| < \delta$  . إذن تتحقق النظرية التالية التي وضعها ريمان Riemann .

نظرية : إذا كانت  $f$  دالة محدودة وتحليلية على نطاق  $0 < |z - z_0| < \delta$  فإنه

إما أن تكون  $f$  تحليلية عند  $z_0$  أو أن تكون  $z_0$  نقطة شاذة مزالة للدالة  $f$  .

لإثبات ذلك ، لاحظ أن  $f(z)$  تمثل بمتسلسلة لوران في النطاق المعطى حول  $z_0$  . إذا

كان  $C$  يرمز لدائرة  $|z - z_0| = r$  ، حيث  $r < \delta$  ، فإن المعاملات  $b_n$  للحدود  $1/(z - z_0)^n$  في تلك المتسلسلة هي ( بند (٥٩) )

$$b_n = \frac{1}{2\pi i} \int_C \frac{f(z) dz}{(z - z_0)^{-n+1}} = \frac{r^n}{2\pi} \int_0^{2\pi} f(z_0 + re^{i\theta}) e^{in\theta} d\theta,$$

حيث  $n = 1, 2, \dots$  . حيث أن  $f$  محدودة ، فإنه يوجد عدد حقيقي موجب  $M$  بحيث

$$|f(z)| < M \quad (0 < |z - z_0| < \delta);$$

إذن

$$|b_n| < M r^n.$$

ولكن المعاملات تكون ثابت ، وحيث أن  $r$  يمكن اختيارها صغيرة بدرجة كافية ، فإن  $b_n = 0$  ( $n = 1, 2, \dots$ ) وبالتالي تؤول متسلسلة لوران للدالة  $f(z)$  إلى متسلسلة قوى

$$f(z) = \sum_{n=0}^{\infty} a_n (z - z_0)^n \quad (0 < |z - z_0| < \delta).$$

إذا عرفنا  $f(z_0)$  على أنه العدد  $a_0$  ، فإنه ينتج أن  $f$  تكون تحليلية عند  $z_0$  . وهذا يكمل برهان النظرية .

## ١١٢ - النقط الشاذة الأساسية Essential Singular Points

سلوك دالة ما بالقرب من نقطة شاذة أساسية لها يكون غير منتظم بدرجة كبيرة . وقد سبق الإشارة إلى هذا ببند (٦٩) عند ذكرنا لنظرية بيكار التي تنص على : في أي جوار لنقطة شاذة أساسية لدالة ما تأخذ الدالة كل قيمة محدودة ، مع استثناء وحيد محتمل ، عددا لا نهائيا من المرات . وقد أوضحنا أيضاً لنظرية بيكار بتبيان أن الدالة  $\exp(1/z)$  حيث نقطة الأصل نقطة شاذة أساسية لها ، تأخذ القيمة  $-1$  - عددا لا نهائيا من المرات في أي جوار لتلك النقطة الشاذة . ولن نقوم بإثبات نظرية بيكار ، ولكننا سنقوم بإثبات نظرية ذات صلة بنظرية بيكار وقد وضعها العالم فاير شتراس Weierstrass . هذه النظرية توضح أن قيمة دالة ما تكون قريبة اختياريًا من أي عدد  $c$  معين سلفًا عند نقط قريبة اختياريًا من نقطة شاذة أساسية لتلك الدالة .

نظرية : افرض أن  $z_0$  نقطة شاذة أساسية لدالة  $f$  وأن  $c$  أي عدد مركب معطى .

إذن لكل عدد موجب  $\varepsilon$  ، مهما بلغ صغره ، تتحقق المتباينة

$$|f(z) - c| < \varepsilon \quad (1)$$

عند نقطة ما  $z$  مختلفة عن  $z_0$  في كل جوار للنقطة  $z_0$  .

لإثبات النظرية ، افرض أن الشرط (١) ليس متحققا عند أى نقطة من نقاط جوار  $|z - z_0| < \delta$  حيث  $\delta$  صغير صغرا كافيا لأن تكون  $f$  تحليلية في النطاق  $0 < |z - z_0| < \delta$ . إذن  $|f(z) - c| \geq \varepsilon$  لجميع نقط هذا النطاق ، وتكون الدالة

$$g(z) = \frac{1}{f(z) - c} \quad (0 < |z - z_0| < \delta) \quad (٢)$$

تحليلية ومحدودة هناك . طبقا لنظرية ريمان ( بند (١١١) ) تكون نقطة شاذة مزالة للدالة  $g$  . افرض أننا عرفنا  $g(z_0)$  بحيث تكون  $g$  تحليلية عند  $z_0$  . حيث أن  $f$  لا يمكن أن تكون دالة ثابتة ، فإن  $g$  لا يمكن أن تكون كذلك أيضاً ، وبالتالي ، إذا ما أخذنا في الاعتبار مفكوك تايلور للدالة  $g$  عند  $z_0$  ، إما أن يكون  $g(z_0) \neq 0$  أو أن يكون للدالة  $g$  صفر ذى رتبة نهائية عند  $z_0$  . وبالتالي ، فإن الدالة

$$\frac{1}{g(z)} = f(z) - c,$$

إما أن تكون تحليلية عند  $z_0$  أو أن يكون لها قطب هناك . ولكن هذا يناقض الفرض أن  $z_0$  نقطة شاذة أساسية للدالة  $f$  . إذن الشرط (١) لابد وأن يكون متحققا عند نقطة ما من نقط الجوار المعطى .

### ١١٣ - عدد الأصفار والأقطاب The Number of Zeros and Poles

يمكن تعميم خواص المشتقة اللوغاريتمية التي حصلنا عليها بتمرينى (١٣) و (١٤) ببند (٧١) .

افرض أن دالة ما  $f$  تكون تحليلية عند نقط كفاف مغلق بسيط  $C$  ونقاط داخلية ، فيما عدا ربما عند عدد محدود من الأقطاب التي تنتمى لداخلية  $C$  . كذلك ، افرض أن  $f$  ليس لها أى أصفار على  $C$  ولها على الأكثر عدد محدود من الأصفار التي تنتمى لداخلية  $C$  . إذن ، إذا كان  $C$  موجهها في الاتجاه الموجب ،

$$\frac{1}{2\pi i} \int_C \frac{f'(z)}{f(z)} dz = N - P \quad (١)$$

حيث  $N$  العدد الكلى لأصفار الدالة  $f$  التي تنتمى لداخلية  $C$ ،  $P$  العدد الكلى لأقطاب  $f$  التي تنتمى لداخلية  $C$  . ويجب التنويه إلى أن الصفر الذى رتبته  $m_0$  يحصى  $m_0$  من المرات ، والقطب الذى درجته  $m_p$  يحصى  $m_p$  من المرات .

لإثبات التقرير (١) ، سنثبت أن العدد الصحيح  $N - P$  يساوى مجموع بواقى الدالة  $f'(z)/f(z)$  عند نقطها الشاذة داخل الكفاف المغلق البسيط  $C$  . هذه النقط الشاذة هى بالطبع أصفار وأقطاب الدالة  $f$  بداخلية  $C$  .

افرض أن  $z_0$  صفر رتبته  $m_0$  للدالة  $f$ . في جوار ما للنقطة  $z_0$  يمكننا أن نكتب

$$f(z) = (z - z_0)^{m_0} g(z) \quad (٢)$$

حيث  $g(z)$  دالة تحليلية في ذلك الجوار و  $g(z_0) \neq 0$ . إذن

$$f'(z) = m_0(z - z_0)^{m_0-1} g(z) + (z - z_0)^{m_0} g'(z),$$

أو

$$\frac{f'(z)}{f(z)} = \frac{m_0}{z - z_0} + \frac{g'(z)}{g(z)}.$$

حيث أن  $g'(z)/g(z)$  تحليلية عند  $z_0$ ، فإن الدالة  $f'(z)/f(z)$  يكون لها قطب بسيط عند  $z_0$  وباقى هذا القطب يساوى  $m_0$ . بذلك يكون مجموع بواقي الدالة  $f'(z)/f(z)$  عند جميع أصفار  $f$  بداخلية  $C$  مساويا للعدد الصحيح  $N$ . إذا كان  $z_p$  قطب من درجة  $m_p$  للدالة  $f$ ، فإن الدالة

$$h(z) = (z - z_p)^{m_p} f(z) \quad (٣)$$

يمكن أن تعرف عند  $z_p$  بحيث تكون  $h$  تحليلية هناك، وبالإضافة إلى ذلك، تكون  $h(z_p) \neq 0$  إذن في جوار ما للنقطة  $z_p$ ، فيما عدا عند النقطة  $z = z_p$  نفسها، يكون

$$f(z) = (z - z_p)^{-m_p} h(z), \quad (٤)$$

و

$$f'(z) = -m_p(z - z_p)^{-m_p-1} h(z) + (z - z_p)^{-m_p} h'(z).$$

إذن

$$\frac{f'(z)}{f(z)} = -\frac{m_p}{z - z_p} + \frac{h'(z)}{h(z)},$$

والتي نرى منها أن  $f'(z)/f(z)$  لها قطب بسيط عند  $z_p$  باقيه يساوى  $-m_p$ . إذن مجموع بواقي الدالة  $f'(z)/f(z)$  عند جميع أقطاب  $f$  بداخلية  $C$  يساوى العدد الصحيح  $-P$ . بذلك نكون قد اثبتنا صحة الصيغة (١).

صورة ما لنظرية بولزانور-فايرشتراس Bolzano-Weierstrass المألوفة يمكن صياغتها كالتالى<sup>(١)</sup>. كل فئة لا نهائية تنتمى كل نقطة من نقاطها لمنطقة مغلقة ومحدودة يكون لها نقطة تراكم واحدة على الأقل في تلك المنطقة. من الممكن إثبات هذه النظرية باختيار متتابعة لا نهائية  $z_1, z_2, \dots$  من نقط الفئة وتطبيق عملية المربعات العشوائية على تلك المتتابعة (هذه الطريقة سبق استخدامها بتمرين (١٣) بيند (٥٠)).

(١) انظر، على سبيل المثال، كتاب Advanced Calculus تأليف آ. إى. تايلور، و.ر. مان

(A.E. Taylor, W.R. Mann)، الطبعة الثانية، ص ٥٤٥ و ٥٤٩، ١٩٧٢.

طبقا لتلك النظرية ، فإنه يمكن استبعاد الشرط أن عدد الأصفار والأقطاب التي تنتمي لداخلية  $C$  يكون محدودا ، وهو الشرط الذى استخدم فى إثبات الصيغة (١) . لأن عدد الأصفار والأقطاب داخل الكفاف المغلق البسيط  $C$  لا بد وأن يكون محدودا من أجل أن تكون الدالة  $f$  تحليلية عند جميع نقاط  $C$  ونقط داخلية ، فيما عدا ربما للأقطاب داخل  $C$  ، وذلك حيث أن الأصفار والأقطاب تكون معزولة . وستترك كتابة البرهان كتمرين للقارئ .

#### ١١٤ - مبدأ السعة The Argument Principle

افرض أن  $C$  كفاف مغلق بسيط فى المستوى المركب  $z$  وموجها فى الاتجاه الموجب وأن  $f$  دالة تحليلية عند جميع نقاط  $C$  ونقاط داخلية ، فيما عدا ربما لأقطاب تنتمي لداخلية  $C$  . كذلك افرض أن  $f$  ليس لها أى أصفار على  $C$  . الصورة  $\Gamma$  للمنحنى  $C$  بالتحويلة  $w=f(z)$  تكون كفاف مغلق فى المستوى المركب  $w$  ( شكل (١١١) ) . عندما تتحرك نقطة  $z$  على المنحنى  $C$  فى الاتجاه الموجب ، فإن صورتها  $w$  تتحرك على  $\Gamma$  فى اتجاه خاص يحدد توجيه المنحنى  $\Gamma$  .

حيث أن  $f$  ليس لها أصفار على  $C$  ، فبالتالى لا يمر الكفاف  $\Gamma$  بنقطة الأصل فى المستوى المركب  $w$  . افرض أن  $w_0$  نقطة ثابتة على  $\Gamma$  وافرض أن  $\phi_0$  قيمة ما من قيم سعة  $w_0$  . ثم افرض أن سعة  $w$  تتغير تغيرا متصلا ، بادئة بالقيمة  $\phi_0$  ، عندما تبدأ النقطة  $w$  من عند  $w_0$  وتتحرك على  $\Gamma$  مرة واحدة فى الاتجاه المحدد له بالرسم  $w=f(z)$  . عندما تعود  $w$  مرة أخرى لنقطة البداية  $w_0$  ، تأخذ سعة  $w$  قيمة معينة من قيم سعة  $w_0$  ، وسنرمز لهذه القيمة بالرمز  $\phi_1$  . إذن ، التغير فى سعة  $w$  عندما تقطع  $w$  المنحنى  $\Gamma$  مرة واحدة فى اتجاهه الدورانى يساوى  $\phi_1 - \phi_0$  لاحظ أن هذا التغير لا يتوقف على النقطة الخاصة  $w_0$  المختارة لتعيين التغير فى السعة .

العدد  $\phi_1 - \phi_0$  هو أيضاً التغير فى سعة  $f(z)$  عندما تقطع  $z$  المنحنى  $C$  مرة واحدة فى الاتجاه الموجب ، ونكتب

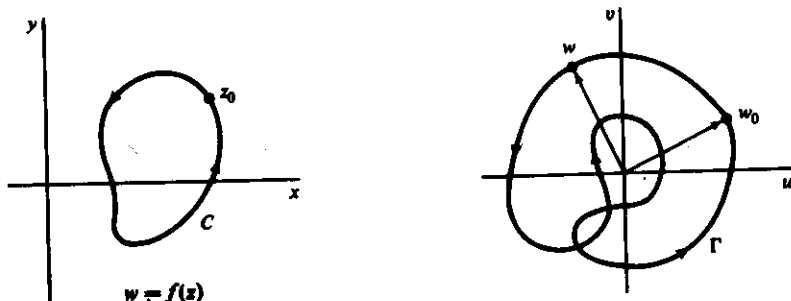
$$\Delta_C \arg f(z) = \phi_1 - \phi_0. \quad (1)$$

قيمة المقدار  $\Delta_C \arg f(z)$  مضاعف للعدد  $2\pi$  ، والعدد الصحيح

$$\frac{1}{2\pi} \Delta_C \arg f(z)$$

يمثل عدد الدورات الكاملة التى تقطعها النقطة  $w$  حول نقطة الأصل فى المستوى المركب  $w$  عندما تقطع النقطة  $z$  المنحنى  $C$  مرة واحدة فى الاتجاه الموجب . فمثلا ، إذا كان هذا

العدد يساوى  $-1$  فإن هذا يعنى أن  $\Gamma$  تدور حول نقطة الأصل مرة واحدة في اتجاه عقرب الساعة .



شكل ( ١١١ )

في شكل (١١١) قيمة  $\Delta_C \arg f(z)$  تساوى صفر . قيمة  $\Delta_C \arg f(z)$  تساوى الصفر أيضاً عندما لا تحوى داخلية الكفاف  $\Gamma$  نقطة الأصل ، والتحقق من هذه الحقيقة لحالة خاصة سترك للتمرين .

قيمة  $\Delta_C \arg f(z)$  يمكن تعيينها من عدد أصفار وأقطاب الدالة  $f$  التى تنتمى لداخلية  $C$  .

نظرية ١ : افرض أن  $C$  كفاف مغلق بسيط موجهاً في الاتجاه الموجب وافرض أن  $f$  دالة تحليلية لجميع نقاط  $C$  ونقاط داخلية ، فيما عدا ربما لأقطاب تنتمى لداخلية  $C$  . كذلك ، افرض أن الدالة  $f$  ليس لها أصفار على  $C$  . إذن

$$\frac{1}{2\pi} \Delta_C \arg f(z) = N - P \quad (٢)$$

حيث  $P, N$  عدد الأصفار وعدد الأقطاب على الترتيب للدالة  $f$  والتي تنتمى لداخلية  $C$  ، مع حساب تعدد كل منها .

برهاننا لهذه النتيجة المعروفة بمبدأ السعة يتأسس على الصيغة

$$\frac{1}{2\pi i} \int_C \frac{f'(z)}{f(z)} dz = N - P \quad (٣)$$

التي حصلنا عليها في البند السابق . إذا كان  $z = z(t)$  ، حيث  $a \leq t \leq b$  ، تمثيلاً بارامترياً للكفاف  $C$  ، فإن تمثيلاً بارامترياً لصورته  $\Gamma$  بالتحويلة  $w = f(z)$  يكون  $w = w(t) = f[z(t)]$  ( $a \leq t \leq b$ ) .

الآن ، طبقاً لتمرين (٧) بند (٤٣) ،

$$w'(t) = f'[z(t)]z'(t)$$

على امتداد كل من الأقواس الملاءم التي يتكون منها الكفاف  $\Gamma$  . حيث أن  $w'(t)$  و  $z'(t)$

متصلتان قطعة بقطعة على الفترة  $a \leq t \leq b$  ، فيمكننا أن نكتب

$$\int_a^b \frac{f'[z(t)]}{f[z(t)]} z'(t) dt = \int_a^b \frac{w'(t)}{w(t)} dt.$$

أى أن

$$\int_C \frac{f'(z)}{f(z)} dz = \int_{\Gamma} \frac{dw}{w}.$$

بذلك تؤول الصيغة (٢) إلى

$$\frac{1}{2\pi i} \int_{\Gamma} \frac{dw}{w} = N - P. \quad (٤)$$

حيث أن  $\Gamma$  لا يمر إطلاقاً بنقطة الأصل في المستوى المركب  $w$  ، فيمكننا أن نعبر عن كل نقطة على هذا الكفاف بالصورة القطبية  $w = \rho \exp(i\phi)$  . فإذا ما عبرنا عن  $\Gamma$  بدلالة بارامتر  $\tau$  على الصورة

$$w = w(\tau) = \rho(\tau) \exp [i\phi(\tau)] \quad (c \leq \tau \leq d),$$

فإننا نحصل على المعادلة

$$w'(\tau) = \rho'(\tau) \exp [i\phi(\tau)] + \rho(\tau) \exp [i\phi(\tau)] i\phi'(\tau),$$

حيث  $\rho'(\tau)$  و  $\phi'(\tau)$  متصلتين قطعة بقطعة على الفترة  $c \leq \tau \leq d$  . إذن ، يمكننا أن نكتب

$$\int_{\Gamma} \frac{dw}{w} = \int_c^d \frac{w'(\tau)}{w(\tau)} d\tau = \int_c^d \frac{\rho'(\tau)}{\rho(\tau)} d\tau + i \int_c^d \phi'(\tau) d\tau,$$

أو

$$\int_{\Gamma} \frac{dw}{w} = \left[ \text{Log } \rho(\tau) \right]_c^d + i \left[ \phi(\tau) \right]_c^d.$$

ولكن  $\rho(d) = \rho(c)$

$$\phi(d) - \phi(c) = \phi_1 - \phi_0 = \Delta_C \arg f(z).$$

إذن ،

$$\int_{\Gamma} \frac{dw}{w} = i \Delta_C \arg f(z). \quad (٥)$$

الصيغة (٢) يمكن استنتاجها الآن مباشرة من معادلتى (٤) و (٥) .

بعد ذلك سنقدم نتيجة مفيدة لمبدأ السعة ، وهذه النتيجة تعرف بنظرية روشيه

. Rouché

نظرية ٢ : افرض أن كل من  $g, f$  دالة تحليلية عند جميع نقاط كفاف مغلق بسيط  $C$  ونقاط داخلية ، حيث الكفاف  $C$  موجه في الاتجاه الموجب . إذا كان  $|f(z)| > |g(z)|$  عند كل نقطة  $z$  على  $C$  ، فإن الدالتين  $f(z)$  و  $f(z) + g(z)$  يكون لهما نفس عدد الأصفار داخل  $C$  ، مع حساب تعدد كل صفر .



لإثبات ذلك ، لاحظ أولاً أن  $f(z)$  ليس لها أصفار على  $C$  ، وذلك حيث أن

$$|f(z)| > |g(z)| \geq 0 \text{ على } C . \text{ علاوة على ذلك فإن}$$

$$|f(z) + g(z)| \geq |f(z)| - |g(z)| > 0$$

على  $C$  ، وبالتالي فإن الدالة  $f(z) + g(z)$  ليس لها أيضاً أصفار على  $C$  . الآن

$$\frac{1}{2\pi} \Delta_C \arg f(z) = N_f \quad (٦)$$

و

$$\frac{1}{2\pi} \Delta_C \arg [f(z) + g(z)] = N_{f+g} \quad (٧)$$

حيث  $N_f$  عدد أصفار الدالة  $f(z)$  بداخلية  $C$  و  $N_{f+g}$  عدد أصفار الدالة  $f(z) + g(z)$  بداخلية  $C$  . معادلتى (٦) و (٧) تنتجان مباشرة من مبدأ السعة وحقيقة أن كل من الدالتين  $f(z)$  و  $f(z) + g(z)$  ليس لها أقطاب بداخلية  $C$  . لاحظ أن

$$\begin{aligned} \Delta_C \arg [f(z) + g(z)] &= \Delta_C \arg \left\{ f(z) \left[ 1 + \frac{g(z)}{f(z)} \right] \right\} \\ &= \Delta_C \arg f(z) + \Delta_C \arg \left[ 1 + \frac{g(z)}{f(z)} \right]. \end{aligned}$$

التحويلة  $w = 1 + g(z)/f(z)$  ترسم الكفاف  $C$  إلى الكفاف  $\Gamma$  الذى يقع داخل الدائرة  $|w - 1| = 1$  . وذلك لأن  $|w - 1| = |g(z)/f(z)| < 1$  على  $C$  . إذن النقطة  $w = 0$  لا تنتمى لداخلية المنحنى  $\Gamma$  ، وبذلك تساوى القيمة  $\Delta_C \arg [1 + g(z)/f(z)]$  صفر . إذن ،  $\Delta_C \arg [f(z) + g(z)] = \Delta_C \arg f(z)$  . وبذلك طبقا لمعادلتى (٦) ، (٧) ،  $f(z)$  بداخلية  $C$  .

كتطبيق لنظرية روشيه ، دعنا نعين عدد جذور المعادلة  $z^7 - 4z^3 + z - 1 = 0$  بداخلية الدائرة  $|z| = 1$  . اكتب  $f(z) = -4z^3 + z - 1$  ،  $g(z) = z^7$  ، ولاحظ أن  $|f(z)| = 4$  و  $|g(z)| \leq 3$  عندما  $|z| = 1$  . بذلك تكون شروط نظرية روشيه متحققة . وبالتالي ، حيث أن  $f(z)$  لها ثلاث أصفار ( لاحظ أننا حسبنا تعدد صفر الدالة ) بداخلية الدائرة  $|z| = 1$  يكون للدالة  $f(z) + g(z)$  بالمثل ثلاث أصفار بداخلية الدائرة  $|z| = 1$  . أى أن ، المعادلة  $z^7 - 4z^3 + z - 1 = 0$  يكون لها ثلاث جذور تنتمى لداخلية الدائرة  $|z| = 1$  .

## تقارين

١ افرض أن  $c$  عدد مركب ثابت مختلف عن الصفر . اثبت أن الدالة  $\exp(1/z)$  ، التى لها نقطة شاذة أساسية عند  $z = 0$  ، تأخذ القيمة  $c$  عددا لا نهائيا من المرات فى أى جوار لنقطة الأصل .

اقترح : اكتب  $c = c_0 \exp(i\gamma)$  ، حيث  $c_0 > 0$  ، وبين أن  $\exp(1/z)$  تأخذ القيمة  $c$  عند النقط  $z = r \exp(i\theta)$  حيث  $r$  ،  $\theta$  تحققان المعادلات

$$r^2 = \frac{1}{\gamma^2 + (\text{Log } c_0)^2},$$

$$\sin \theta = \frac{-\gamma}{\sqrt{\gamma^2 + (\text{Log } c_0)^2}}, \quad \cos \theta = \frac{\text{Log } c_0}{\sqrt{\gamma^2 + (\text{Log } c_0)^2}}.$$

لاحظ أنه يمكن جعل  $r$  صغيرة اختياريا وذلك بإضافة مضاعفات صحيحة للمقدار  $2\pi$  إلى الزاوية  $\gamma$  ، ومع ترك  $c$  ثابتة .

٢ - إذا كانت  $f$  دالة تحليلية في نطاق ما  $0 < |z - z_0| < r_0$  وإذا كانت  $z_0$  نقطة تراكم لأصفار الدالة ، فإنه إما أن تكون  $z_0$  نقطة شاذة أساسية للدالة  $f$  أو أن تنعدم  $f(z)$  تطابقيا . برهن هذه النظرية بمساعدة النتائج السابق الحصول عليها ببندى (٦٦) و (١١١) .

٣ - اختر فئة أصفار الدالة  $z^2 \sin(1/z)$  وطبق النظرية الواردة بتمرين (٢) لإثبات أن نقطة الأصل تكون نقطة شاذة أساسية لهذه الدالة . لاحظ أن هذه النتيجة تنتج أيضاً من طبيعة متسلسلة لوران التي تمثل هذه الدالة في النطاق  $|z| > 0$

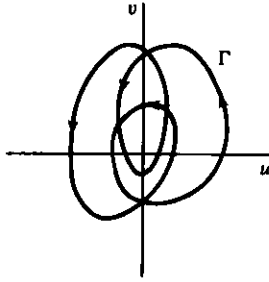
٤ - افرض أن  $C$  كفاف مغلق بسيط في المستوى المركب  $z$  ، موجهاً في الاتجاه الموجب ، وافرض أن  $w_0$  أى عدد مركب معطى . افرض أن  $g$  دالة تحليلية عند جميع نقط  $C$  ونقاط داخلية ، وافرض أن  $g'(z) \neq 0$  عند أى نقطة  $z$  بداخلية  $C$  . إذا كانت  $g(z) \neq w_0$  عند أى نقطة  $z$  على  $C$  ، فإن

$$\frac{1}{2\pi i} \int_C \frac{g'(z)}{g(z) - w_0} dz = N$$

حيث العدد الصحيح  $N$  هو عدد النقط  $z$  بداخلية  $C$  التي يكون عندها  $g(z) = w_0$  . بين أن هذه النتيجة تنتج مباشرة من النتائج السابق الحصول عليها ببند (١١٣) . (قارن هذه النتيجة بتلك السابق الحصول عليها بتمرين (١٢) بند (٩٥) .)

٥ - اكمل البرهان ( بند (١١٣) ) ، المبني على نظرية بلزانو - فايرشتراس ، أنه إذا كانت  $f$  دالة تحليلية عند جميع نقط كفاف مغلق بسيط  $C$  ونقط داخلية ، فيما عدا ربما لأقطاب بداخلية  $C$  ، وإذا كانت  $f(z) \neq 0$  عند أى نقطة من نقط  $C$  ، فإن أصفار وأقطاب  $f$  بداخلية  $C$  تكون محدودة العدد وتكون الصيغة (١) ببند (١١٣) صحيحة .

٦ - افرض أن  $f$  دالة تحليلية عند جميع نقط كفاف مغلق بسيط  $C$  ونقط داخلية ، وافرض أن  $f(z)$  لا تساوى صفر على الإطلاق على  $C$  . افرض أن صورة  $C$  بالتحويلة  $w = f(z)$  هي الكفاف المغلق  $\Gamma$  الموضح بشكل (١١٢) . باستخدام الكفاف  $\Gamma$  ، أوجد قيمة  $\Delta_c \arg f(z)$  . عين أيضاً عدد أصفار الدالة  $f$  بداخلية  $c$  .



شكل ( ١١٢ )

٧ - افرض أن  $C$  يرمز لدائرة الوحدة  $|z|=1$  موجهة في الاتجاه الموجب . أوجد قيمة

$$\Delta_c \arg f(z) \text{ للدالة}$$

$$f(z) = \frac{z^3 + 2}{z} \text{ (ب)} \quad ; \quad f(z) = z^2 \text{ (أ)}$$

أيضاً ، لكل من التحويلات  $w=f(z)$  المعرفة بهاتين الدالتين ، اذكر عدد المرات التي تدور فيها النقطة الصورة  $w$  حول نقطة الأصل في المستوى المركب  $w$  عندما تقطع النقطة  $z$  الكفاف  $C$  مرة واحدة في الاتجاه الموجب .

$$\text{الأجوبة : (أ) } 4\pi, 2 \text{ ; (ب) } -2\pi, -1$$

٨ - باستخدام المفهوم الوارد ببند (١١٤) ، اثبت أنه عندما لا يحصر الكفاف  $\Gamma$  النقطة

$w=0$  وعندما يوجد شعاع خارج من تلك النقطة ولا يتقاطع مع الكفاف  $\Gamma$  ، فإن  $\Delta_c \arg f(z) \neq 0$

اقترح : لاحظ أن التغير في قيمة  $\arg f(z)$  لا بد وأن يكون أقل من  $2\pi$  عددياً

عندما تصنع  $z$  دورة واحدة كاملة حول  $C$  . ثم استخدم حقيقة أن  $\Delta_c \arg f(z)$  مضاعف صحيح للمقدار  $2\pi$  .

٩ - أوجد عدد أصفار كثير الحدود (أ)  $z^3 - 2z^2 + z^3 - 2z$  (ب)  $z^6 - 5z^4 + z^3 - 2z + 9$

داخل الدائرة  $|z|=1$

الأجوبة : (أ) 4 (ب) صفر

١٠ - عين عدد جذور المعادلة  $2z^5 - 6z^2 + z + 1 = 0$  في المنطقة  $1 \leq |z| < 2$

الإجابة : ثلاثة جذور

١١ - اثبت أنه إذا كان  $c$  عدد مركب بحيث  $|c| > e$  ، فإن المعادلة  $cz^n = e^z$  يكون لها  $n$

من الجذور داخل الدائرة  $|z|=1$  .

١٢ - باستخدام نظرية روشيه ، اثبت أن أى كثيرة حدود

$$P(z) = a_0 + a_1z + \dots + a_{n-1}z^{n-1} + a_nz^n \quad , \quad a_n \neq 0$$

حيث  $n \geq 1$  ، يكون لها بالضبط  $n$  من الجذور . من ثم اعطى برهان بديل للنظرية الأساسية للجبر ( بند (٥٥) ) .

اقترح : لاحظ أنه يكفي أن نفرض أن  $a_n = 1$  . ثم ، بكتابة

$$f(z) = z^n, \quad g(z) = a_0 + a_1z + \dots + a_{n-1}z^{n-1},$$

اثبت أن  $p(z)$  لها  $n$  من الأصفار داخل دائرة  $|z| = R$  حيث  $R$  أكبر من أى من العددين  $1$  و  $|a_0| + |a_1| + \dots + |a_{n-1}|$ . لإثبات أن  $P(z)$  ليس لها أى أصفار أخرى ، بين أن

$$|z^n + g(z)| \geq |z|^n - |g(z)| > 0$$

عندما  $|z| \geq R$  .

### (ج) سطوح ريمان Riemann Surfaces

سطح ريمان هو تعميم المستوى المركب لسطح ذى أكثر من طية بحيث يكون للدالة المتعددة القيم قيمة وحيدة مناظرة لكل نقطة على هذا السطح . حال تصميم مثل هذا السطح للدالة معطاة ، تصبح الدالة وحيدة القيمة على السطح ويمكن تطبيق نظرية الدوال وحيدة القيمة هنا . وبالتالي فإن الصعوبات التي تظهر نتيجة كون الدالة متعددة القيم تخفف باستخدام اختراع هندسى . بالرغم من ذلك ، فإن وصف هذه الأسطح وترتيب الترابطات المضبوطة بين الطيات من الممكن أن يصير متشابكا بصورة تشكل صعوبة . لذلك فإننا سنقصر اهتمامنا فقط على بعض الأمثلة المتناهية فى البساطة .

### ١١٥ - سطح ريمان للدالة $\log z$

لكل عدد مركب غير صفري  $z$  ، يكون للدالة المتعددة القيم

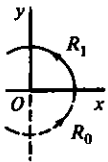
$$\log z = \text{Log } z + i\theta$$

قيم مناظرة لا نهائية العدد . من أجل تصور  $\text{Log } z$  كدالة وحيدة القيمة ، فإننا نحلل المستوى المركب  $z$  ، بعد استبعاد نقطة الأصل ، بسطح تتحدد عليه دائماً نقطة جديدة كلما زادت أو نقصت سعة العدد المركب  $z$  بمقدار  $2\pi$  أو مضاعفات صحيحة للمقدار  $2\pi$  .

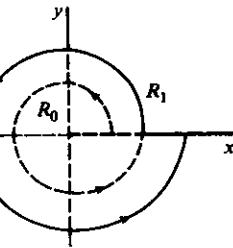
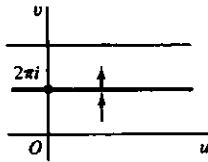
اعتبر المستوى المركب  $z$  بعد استبعاد نقطة الأصل كما لو كان صحيفة رقيقة ( أو طية )  $R_0$  مشقوقة على امتداد الجزء الموجب من المحور الحقيقى . على تلك الطية افرض أن  $\theta$  تأخذ القيم من صفر إلى  $2\pi$  . افرض أن طية ثانية  $R_1$  شقت بنفس الأسلوب ووضعت أمام الصحيفة  $R_0$  . بعد ذلك وصلت الشفة السفلى للشق فى  $R_0$  بالشفة العليا للشق فى  $R_1$  . على  $R_1$  الزاوية  $\theta$  تأخذ القيم من  $2\pi$  إلى  $4\pi$  ، وعلى ذلك فعند

تمثيل  $z$  بنقطة على  $R_1$  فإن الجزء التخيلي للدالة  $\log z$  يأخذ القيم من  $2\pi$  إلى  $4\pi$  . بنفس الأسلوب نشق بعد ذلك طية ثالثة  $R_2$  ونضعها أمام  $R_1$  ، ونوصل الشفة السفلى للشق في  $R_1$  بالشفة العليا للشق في هذه الطية الجديدة ، وهكذا نتابع هذه العملية بإضافة طيات جديدة  $R_3, R_4, \dots$  . بنفس الأسلوب نشق طية أخرى نرزم لها بالرمز  $R_{-1}$  ونضعها خلف الطية  $R_0$  ونعتبر أن الزاوية  $\theta$  تأخذ القيم من  $-2\pi$  إلى صفر عليها ، ثم نوصل الشفة السفلى للشق في  $R_{-1}$  بالشفة العليا للشق في  $R_0$  . وبالمثل نتابع هذه العملية بإضافة طيات جديدة  $R_{-2}, R_{-3}, \dots$  يمكن اعتبار الأحداثين  $\theta, r$  لنقطة ما على أى طية على أنها أحداثيات قطبية لمسقط تلك النقطة على المستوى المركب الأصلي  $z$  ، حيث يقصر مدى الأحداثى الزاوى  $\theta$  لمدى محدد قيمته  $2\pi$  من الزوايا النصف قطرية على كل طية .

اعتبر أى منحنى متصل على هذا السطح المترابط المكون من عدد لا نهائى من الطيات (أو الصحف) . عندما تتحرك نقطة ما  $z$  على هذا المنحنى ، فإن قيم  $\log z$  تتغير تغيرا متصلا حيث أن  $\theta$  ، بالإضافة إلى  $r$  ، تتغير الآن تغيرا متصلا ، وتأخذ  $\log z$  قيمة واحدة فقط فقط مناظرة لكل نقطة على المنحنى . فمثلا ، عندما تصنع النقطة دورة كاملة حول نقطة الأصل على الطية  $R_0$  على امتداد المسار الموضح بشكل (١١٣) فإن الزاوية تتغير من صفر إلى  $2\pi$  . عندما تجتاز النقطة الخط المستقيم  $\theta = 2\pi$  فإنها تنتقل إلى الطية  $R_1$  من السطح . عندما تكمل النقطة دورة كاملة في  $R_1$  ، تتغير الزاوية  $\theta$  من  $2\pi$  إلى  $4\pi$  ، وعندما تجتاز الخط المستقيم  $\theta = 4\pi$  فإنها تنتقل إلى الطية  $R_2$  .



شكل ( ١١٤ )



شكل ( ١١٣ )

السطح الذى وصفناه هنا هو سطح من سطوح ريمان للدالة  $\log z$  . وهو سطح مترابط يتكون من عدد لا نهائى من الطيات مرتبة بحيث تكون  $\log z$  دالة وحيدة القيمة للنقط الواقعة عليه .

التحويل  $w = \log z$  راسم أحادى لسطح ريمان بأكمله فوق المستوى المركب  $w$  بأكمله . صورة الطية  $R_0$  هي الشريحة  $0 \leq v \leq 2\pi$  . عندما تتحرك نقطة  $z$  فوق

الطية  $R_1$  على امتداد القوس الموضح بشكل (١١٤) ، تتحرك صورتها  $w$  إلى أعلى عبر الخط المستقيم  $v = 2\pi$  ، كما هو موضح بالشكل .  
 لاحظ أن الدالة  $\log z$  المعرفة على الطية  $R_1$  تمثل الامتداد التحليلي للدالة التحليلية وحيدة القيمة

$$\text{Log } r + i\theta \quad (0 < \theta < 2\pi)$$

إلى أعلى عبر الجزء الموجب من المحور الحقيقي . بهذا المفهوم ، لا تكون  $\log z$  دالة وحيدة القيمة فحسب لجميع النقط  $z$  على سطح ريمان ولكنها تكون أيضاً دالة تحليلية عند جميع النقط هناك .

بالطبع ، من الممكن أن تكون الطيات مشقوقة على امتداد الجزء السالب من المحور الحقيقي ، أو على امتداد أى شعاع آخر يبدأ من نقطة الأصل ، وموصلة كما يجب على امتداد الشقوق لتكون سطح آخر من سطوح ريمان للدالة  $\log z$  .

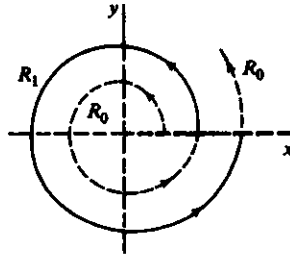
### ١١٦ - سطح ريمان للدالة $z^{1/2}$

كل نقطة مختلفة عن نقطة الأصل ، من نقط المستوى المركب  $z$  ، يناظرها قيمتان للدالة

$$z^{1/2} = \sqrt{r} \left( \cos \frac{\theta}{2} + i \sin \frac{\theta}{2} \right) .$$

يمكن الحصول على سطح من سطوح ريمان للدالة  $z^{1/2}$  بإحلال المستوى المركب  $z$  بسطح مكون من طيتين  $R_0, R_1$  ، كل منهما مقطوعة على امتداد الجزء الموجب من المحور الحقيقي مع وضع  $R_1$  أمام  $R_0$  . الشفة السفلى للشق في  $R_0$  توصل بالشفة العليا للشق في  $R_1$  ، وتوصل الشفة السفلى للشق في  $R_1$  بالشفة العليا للشق في  $R_0$  .

عندما تبدأ نقطة  $z$  في التحرك من الشفة العليا للشق في  $R_0$  وتقطع دائرة متصلة حول نقطة الأصل في الاتجاه المضاد لعقرب الساعة ( شكل (١١٥) ) تزداد الزاوية  $\theta$  من صفر إلى  $2\pi$  . بعد ذلك تعبر النقطة من الطية  $R_0$  إلى الطية  $R_1$  حيث تزداد  $\theta$  من  $2\pi$  إلى  $4\pi$  . إذا ما استمرت النقطة في حركتها أكثر من ذلك فإنها تعبر عائدة مرة أخرى للطية  $R_0$  حيث يمكن أن تتغير قيم  $\theta$  من  $4\pi$  إلى  $6\pi$  أو من صفر إلى  $2\pi$  ، وهذا الاختيار أو ذاك لا يؤثر على قيمة  $z^{1/2}$  ، إلخ . لاحظ أن قيمة  $z^{1/2}$  عند نقطة تعبر عندها الدائرة من الطية  $R_0$  إلى الطية  $R_1$  تكون مختلفة عن قيمة  $z^{1/2}$  عند نقطة تعبر عندها الدائرة من الطية  $R_1$  إلى الطية  $R_0$  .



شكل ( ١١٥ )

بهذا نكون قد صممنا سطح من سطوح ريمان تكون عليه الدالة  $z^{1/2}$  وحيدة القيمة لكل عدد غير صفري  $z$ . في هذا التصميم توصل شفاه الطيتين  $R_1, R_0$  كأزواج بحيث يكون السطح المتولد مغلق ومترايط. النقط التي يوصل عندها زوج من الشفاه تكون مختلفة عن النقط التي يوصل عندها الزوج الثاني من الشفاه. من هذا نرى أنه من المستحيل فيزيائيا بناء نموذج لسطح ريمان هذا. عند تخيل سطح من سطوح ريمان، من المهم أن نفهم جيدا كيف نتقدم عندما نصل إلى شفة لشق.

نقطة الأصل نقطة خاصة جدا على سطح ريمان هذا. هذه النقطة مشتركة بين الطيتين، وأى منحنى على السطح حول نقطة الأصل لا بد وأن يدور دورتين كاملتين حول نقطة الأصل لكي يكون منحنى مغلق. أى نقطة من هذا النوع على سطح ريمان تسمى نقطة تفرع.

صورة الطية  $R_0$  بالتحويلة  $w = z^{1/2}$  هي النصف العلوى من المستوى المركب  $w$  وذلك حيث أن سعة  $w$  تساوى  $\theta/2$  و  $0 \leq \theta/2 \leq \pi$  على  $R_0$ . بالمثل، صورة الطية  $R_1$  بنفس التحويلة هي النصف السفلى من المستوى المركب  $w$ . الدالة المعرفة على أى من الطيتين تكون الامتداد التحليلي، عبر الشق، للدالة المعرفة على الطية الأخرى. من هذه الوجهة، تكون الدالة وحيدة القيمة  $z^{1/2}$  للنقط على سطح ريمان وتحليلية عند جميع النقط فيما عدا عند نقطة الأصل.

### ١١٧ - سطوح لدوال غير قياسية أخرى

دعنا نصف سطح من سطوح ريمان للدالة الثنائية القيمة

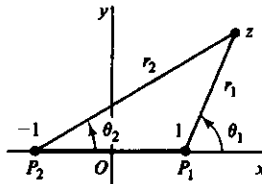
$$f(z) = (z^2 - 1)^{1/2} = \sqrt{r_1 r_2} \exp\left(i \frac{\theta_1 + \theta_2}{2}\right) \quad (1)$$

حيث  $z + 1 = r_2 \exp(i\theta_2)$ ،  $z - 1 = r_1 \exp(i\theta_1)$  كما هو موضح بشكل (١١٦). لقد سبق أن وصفنا ببند (٣٧) فرع لهذه الدالة، حيث القطعة المستقيمة  $P_1 P_2$  الواصلة بين نقطتي

التفرع  $z = \pm 1$  فرع قاطع له . هذا الفرع يعطى بالصيغة (١) مع الاشتراطات  
 على القطعة المستقيمة  $P_1P_2$

أى سطح من سطوح ريمان للدالة الثنائية القيمة (١) لا بد وأن يتكون من طيتين  
 $R_1, R_0$  . افرض أن كلتي الطيتين قد شقتا على امتداد القطعة المستقيمة  $P_1P_2$  . الشفة  
 السفلى للشق في  $R_0$  توصل بالشفة العليا للشق في  $R_1$  ، كما أن الشفة السفلى للشق في  $R_1$   
 توصل بالشفة العليا للشق في  $R_0$  .

على الطية  $R_0$  افرض أن كل من الزاويتين  $\theta_1, \theta_2$  تأخذ القيم من الصفر إلى  $2\pi$  .  
 إذا تحركت نقطة على الطية  $R_0$  لترسم منحني مغلق بسيط ، يحوى بداخله القطعة  
 المستقيمة  $P_1P_2$  ، مرة واحدة في الاتجاه المضاد لعقرب الساعة ، فإن كل من  
 $\theta_1$  و  $\theta_2$  تتغير بمقدار  $2\pi$  لدى عودة النقطة لوضعها الابتدائي . التغير في  $(\theta_1 + \theta_2)/2$   
 يساوى أيضاً  $2\pi$  ، وبالتالي لا تتغير قيمة  $f$  . إذا رسمت نقطة بادئة حركتها على الطية  
 $R_0$  مسارا يمر مرتين حول نقطة التفرع  $z=1$  فقط ، فإنها تعبر من الطية  $R_0$  إلى الطية  $R_1$   
 ثم تعبر مرة أخرى عائدة إلى الطية  $R_0$  وذلك قبل عودتها لوضعها الابتدائي . في هذه  
 الحالة ، تتغير قيمة  $\theta_1$  بمقدار  $4\pi$  بينما لا تتغير قيمة  $\theta_2$  على الإطلاق . بالمثل ،  
 للدوران مرتين حول النقطة  $z=-1$  ، تتغير قيمة  $\theta_2$  بمقدار  $4\pi$  بينما لا تتغير قيمة  $\theta_1$  على  
 الإطلاق . مرة أخرى نرى أن التغير في  $(\theta_1 + \theta_2)/2$  يساوى  $2\pi$  ، ولا تتغير قيمة الدالة  
 $f$  . إذن على الطية  $R_0$  من الممكن أن نمد مدى كل من الزاويتين  $\theta_1$  و  $\theta_2$  وذلك  
 بتغيير كل من  $\theta_1$  و  $\theta_2$  بنفس المضاعف الصحيح للمقدار  $2\pi$  أو بتغيير إحدى  
 الزاويتين فقط بمضاعف صحيح للمقدار  $4\pi$  . في كلتي الحالتين يكون التغيير الكلي في  
 الزاويتين مضاعف زوجي صحيح للمقدار  $2\pi$  .



شكل ( ١١٦ )

للحصول على مدى القيم لكل من  $\theta_1$  و  $\theta_2$  على الطية  $R_1$  ، نلاحظ أنه إذا بدأت  
 نقطة ما حركتها من على الطية  $R_0$  ورسمت مرة واحدة مسارا حول إحدى نقطتي  
 التفرع فقط ، فإنها تعبر للطية  $R_1$  ولا تعود مرة أخرى للطية  $R_0$  . في هذه الحالة تتغير



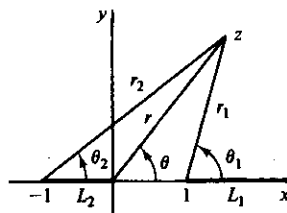
قيمة إحدى الزاويتين بمقدار  $2\pi$  بينما لا تتغير قيمة الزاوية الأخرى على الإطلاق .  
 إذن ، على الطية  $R_1$  تأخذ إحدى الزاويتين القيم من  $2\pi$  إلى  $4\pi$  بينما تأخذ الزاوية  
 الأخرى القيم من صفر إلى  $2\pi$  . بذلك يأخذ مجموعهما القيم من  $2\pi$  إلى  $4\pi$  ،  
 وتأخذ  $(\theta_1 + \theta_2)/2$  ، سعة  $f(z)$  ، القيم من  $\pi$  إلى  $2\pi$  . مرة أخرى نجد أن مدى الزوايا  
 قد امتد بتغيير قيمة إحدى الزاويتين فقط بمضاعف صحيح للمقدار  $4\pi$  أو بتغيير قيمة  
 كل من الزاويتين بنفس المضاعف الصحيح للمقدار  $2\pi$

الدالة الثنائية القيمة المعطاة بالمعادلة (١) يمكن الآن اعتبارها دالة وحيدة القيمة لنقط  
 سطح ريمان الذي صممناه الآن . التحويلة  $w = f(z)$  ترسم كل من الطيتين المستخدمتين  
 في تصميم سطح ريمان هذا فوق المستوى المركب  $w$  بأكمله .  
 كمثال آخر ، اعتبر الدالة الثنائية القيمة

$$g(z) = [z(z^2 - 1)]^{1/2} = \sqrt{r_1 r_2} \exp\left(i \frac{\theta + \theta_1 + \theta_2}{2}\right) \quad (2)$$

( شكل (١١٧) ) . النقط  $z = 0, \pm 1$  تنقط تفرع لهذه الدالة . نلاحظ أنه إذا كانت النقطة  
 $z$  ترسم دائرة تحوى هذه النقط الثلاث جميعها ، فإن سعة  $g(z)$  تتغير بمقدار الزاوية  
 $3\pi$  وبالتالي تتغير قيمة الدالة نفسها . وبالتالي فإن أى فرع قاطع لابد وأن يمتد من  
 إحدى نقط التفرع هذه حتى نقطة اللانهاية وذلك حتى يكون بإمكاننا أن نصف فرع  
 وحيد القيمة للدالة  $g$  . إذن نقطة اللانهاية هي أيضاً نقطة تفرع ، وهذا ما يتضح لنا  
 بملاحظة أن الدالة  $g(1/z)$  لها نقطة تفرع عند  $z = 0$  .

افرض أن طيتان قد شقنا على امتداد القطعة المستقيمة  $L_2$  من  $z = -1$  إلى  $z = 0$  وعلى  
 امتداد الجزء  $L_1$  من المحور الحقيقي الواقع على اليمين من النقطة  $z = 1$  . سنعتبر أن كل من  
 الزوايا الثلاث  $\theta, \theta_1, \theta_2$  تتغير في المدى من صفر إلى  $2\pi$  على الطية  $R_0$  ومن  $2\pi$  إلى  
 $4\pi$  على الطية  $R_1$  . وسنعتبر أيضاً أن الزوايا المناظرة لنقطة على أى من الطيتين يمكن  
 أن تتغير بمضاعفات صحيحة للمقدار  $2\pi$  مع مراعاة أن هذا يحدث شريطة أن يتغير  
 مجموع الزوايا الثلاث بمضاعف صحيح للمقدار  $4\pi$  ، وبالتالي لا تتغير قيمة الدالة  $g$  .



شكل ( ١١٧ )

سطح آخر من سطوح ريمان للدالة الثنائية القيمة (٢) نحصل عليه بتوصيل الشفتان السفليتان في  $R_0$  للشقين على امتداد  $L_2, L_1$  للشفتين العلويتين في  $R_1$  للشقين على امتداد  $L_2, L_1$  على الترتيب . الشفتان السفليتان في  $R_1$  للشقين على امتداد  $L_2, L_1$  يوصلان بعد ذلك للشفتين العلويتين في  $R_0$  للشقين على امتداد  $L_2, L_1$  على الترتيب . ويمكن بسهولة ، بمساعدة شكل (١١٧) ، إثبات أن فرع من فروع الدالة يمثل بقيمها عند نقط على  $R_0$  وأن الفرع الآخر للدالة يمثل بقيمها عند نقط على  $R_1$  .

### تقارين

- ١ - صف سطح من سطوح ريمان للدالة الثلاثية القيمة  $w = (z-1)^{1/3}$  ، ثم بين ثلث المستوى المركب  $w$  الذى يمثل صورة كل طية من طيات هذا السطح .
- ٢ - صف سطح ريمان للدالة  $\log z$  الذى نحصل عليه بشق المستوى المركب  $z$  على امتداد الجزء السالب من المحور الحقيقى . قارن بين سطح ريمان هذا للدالة  $\log z$  و سطح ريمان لنفس الدالة السابق الحصول عليه ببند (١١٥) .
- ٣ - عين صورة الطية  $R_n$  ، حيث  $n$  عدد صحيح اختيارى ، من سطح ريمان للدالة  $\log z$  المعطى ببند (١١٥) بالتحويلة  $w = \log z$  .
- ٤ - تحقق من أن التحويلة  $w = z^{1/2}$  ترسم الطية  $R_1$  من سطح ريمان للدالة  $z^{1/2}$  المعطى ببند (١١٦) فوق النصف السفلى من المستوى المركب  $w$  .
- ٥ - صف المنحنى ، على سطح من سطوح ريمان للدالة  $z^{1/2}$  ، الذى صورته بالتحويلة  $w = z^{1/2}$  كامل الدائرة  $|w|=1$  .
- ٦ - كل نقطة من نقط سطح ريمان المذكور ببند (١١٧) للدالة  $w=g(z)$  يناظرها قيمة واحدة فقط من قيم  $w$  . اثبت أن كل قيمة من قيم  $w$  يناظرها بصفة عامة ثلاث نقط على سطح ريمان هذا .

٧ - صف سطح من سطوح ريمان للدالة المتعددة القيم

$$f(z) = \left( \frac{z-1}{z} \right)^{1/2} .$$

- ٨ - افرض أن  $C$  يرمز للدائرة  $|z-2|=1$  على سطح ريمان الذى وصفناه ببند (١١٦) للدالة  $z^{1/2}$  ، حيث يقع النصف العلوى من تلك الدائرة على الطية  $R_0$  ويقع النصف السفلى من الدائرة على  $R_1$  . لاحظ أنه لكل نقطة  $z$  على  $C$  يمكننا أن نكتب

$$z^{1/2} = \sqrt{r} \exp \frac{i\theta}{2}$$

حيث  $4\pi - \frac{\pi}{2} < \theta < 4\pi + \frac{\pi}{2}$  . اذكر لماذا يمكن استنتاج أن

$$\int_C z^{1/2} dz = 0.$$

عمم هذه النتيجة يمكن تطبيقها في حالة المنحنيات المغلقة البسيطة الأخرى التي تعبر من طية إلى أخرى دون أن تحوى بداخلها نقط الفرع . بعد ذلك عمم هذه النتيجة لدوال أخرى ، لتحصل بذلك على تعميم لنظرية كوشي - جورساه لتكاملات دوال متعددة القيم .

٩ - لاحظ أن سطح ريمان الذى وصفناه ببند (١١٧) للدالة  $(z^2 - 1)^{1/2}$  يكون أيضاً سطح من سطوح ريمان للدالة

$$h(z) = z + (z^2 - 1)^{1/2}$$

افرض أن  $f_0$  هو فرع الدالة  $(z^2 - 1)^{1/2}$  المعرف على المطية  $R_0$  ، واثبت أن الفرعان  $h_1, h_0$  للدالة  $h$  على الطيتين يعطيان بالمعادلتين

$$h_0(z) = \frac{1}{h_1(z)} = z + f_0(z)$$

١٠ - بتمرين (٩) يمكن وصف الفرع  $f_0$  للدالة  $(z^2 - 1)^{1/2}$  بالمعادلة

$$f_0(z) = \sqrt{r_1 r_2} \exp \frac{i\theta_1}{2} \exp \frac{i\theta_2}{2},$$

حيث  $\theta_1$  و  $\theta_2$  تتغيران من صفر إلى  $2\pi$  ،

$$z - 1 = r_1 \exp(i\theta_1), \quad z + 1 = r_2 \exp(i\theta_2).$$

لاحظ أن  $2z = r_1 \exp(i\theta_1) + r_2 \exp(i\theta_2)$  واثبت أن الفرع  $h_0$  للدالة

$$h(z) = z + (z^2 - 1)^{1/2}$$

يمكن كتابته على الصورة

$$h_0(z) = \frac{1}{2} \left( \sqrt{r_1} \exp \frac{i\theta_1}{2} + \sqrt{r_2} \exp \frac{i\theta_2}{2} \right)^2.$$

أوجد  $h_0(z)\overline{h_0(z)}$  ولاحظ أن  $r_1 + r_2 \geq 2$  و  $\cos[(\theta_1 - \theta_2)/2] \geq 0$  ، لجميع النقط  $z$  ، لإثبات أن  $|h_0(z)| \geq 1$  بعد ذلك اثبت أن التحويلة  $w = z + (z^2 - 1)^{1/2}$  ترسم الطية  $R_0$  من سطح ريمان فوق المنطقة  $|w| \geq 1$  وترسم الطية  $R_1$  فوق المنطقة  $|w| \leq 1$  ، وترسم الفرع القاطع الواصل بين النقطتين  $z = \pm 1$  فوق الدائرة  $|w| = 1$  . لاحظ أن التحويلة المستخدمة هنا هي معكوس للتحويلة

$$z = \frac{1}{2} \left( w + \frac{1}{w} \right).$$

وقارن النتيجة التي حصلت عليها بالنتيجة التي حصلنا عليها بتمرين (١٨) ، بند (٤١) .



# ملحق ١ المراجع

تحتوى القائمة التالية على مجموعة من الكتب الإضافية ويمكن الحصول على الكثير من المراجع الأخرى من الكتب المدرجة بهذا الملحق :

## النظرية

- AHLFORS, L. V.: "Complex Analysis," 2d ed., McGraw-Hill Book Company, Inc., New York, 1966.
- BIEBERBACH, L.: "Conformal Mapping," Chelsea Publishing Company, New York, 1953.
- : "Lehrbuch der Funktionentheorie," vols. 1 and 2, B. G. Teubner, Berlin, 1934.
- CARATHEODORY, C.: "Conformal Representation," Cambridge University Press, London, 1952.
- : "Theory of Functions of a Complex Variable," vols. 1 and 2, Chelsea Publishing Company, New York, 1954.
- COPSON, E. T.: "Theory of Functions of a Complex Variable," Oxford University Press, London, 1957.
- DETTMAN, J. W.: "Applied Complex Variables," Macmillan Company, New York, 1965.

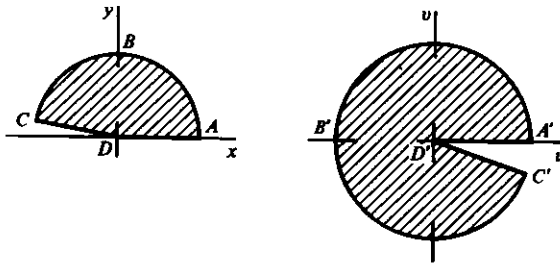
- DIENES, P.: "The Taylor Series: An Introduction to the Theory of Functions of a Complex Variable," Dover Publications, New York, 1957.
- EVANS, G. C.: "The Logarithmic Potential," American Mathematical Society, Providence, R.I., 1927.
- FORSYTH, A. R.: "Theory of Functions of a Complex Variable," Cambridge University Press, London, 1918.
- HILLE, E.: "Analytic Function Theory," vols. 1 and 2, Ginn & Company, Boston, 1959, 1962.
- HURWITZ, A., and R. COURANT: "Vorlesungen über allgemeine Funktionentheorie und elliptische Funktionen," Interscience Publishers, Inc., New York, 1944.
- KAPLAN, W.: "Advanced Calculus," 2d ed., Addison-Wesley Publishing Company, Inc., Reading, Mass., 1973.
- KELLOGG, O. D.: "Foundations of Potential Theory," Dover Publications, New York, 1953.
- KNOPP, K.: "Elements of the Theory of Functions," Dover Publications, New York, 1952.
- LEVINSON, N., and R. REDHEFFER: "Complex Variables," Holden-Day, Inc., San Francisco, 1970.
- MACROBERT, T. M.: "Functions of a Complex Variable," Macmillan & Co., Ltd., London, 1954.
- MARKUSHEVICH, A. I.: "Theory of Functions of a Complex Variable," vols. 1, 2, and 3, Prentice-Hall, Inc., Englewood Cliffs, N.J., 1965, 1967.
- MITRINOVIĆ, D. S.: "Calculus of Residues," P. Noordhoff, Ltd., Groningen, 1966.
- NEHARI, Z.: "Introduction to Complex Analysis," rev. ed., Allyn and Bacon, Inc., Boston, 1962.
- PENNISI, L. L.: "Elements of Complex Variables," Holt, Rinehart and Winston, Inc., New York, 1963.
- SPRINGER, G.: "Introduction to Riemann Surfaces," Addison-Wesley Publishing Company, Reading, Mass., 1957.
- STERNBERG, W. J., and T. L. SMITH: "Theory of Potential and Spherical Harmonics," University of Toronto Press, Toronto, 1944.
- TAYLOR, A. E., and W. R. MANN: "Advanced Calculus," 2d ed., Xerox Publishing Company, Lexington, Mass., 1972.
- THRON, W. J.: "Introduction to the Theory of Functions of a Complex Variable," John Wiley and Sons, Inc., New York, 1953.
- TITCHMARSH, E. C.: "Theory of Functions," Oxford University Press, London, 1939.
- WHITTAKER, E. T., and G. N. WATSON: "Modern Analysis," Cambridge University Press, London, 1950.

## التطبيقات

- BOWMAN, F.: "Introduction to Elliptic Functions, with Applications," English Universities Press, London, 1953.

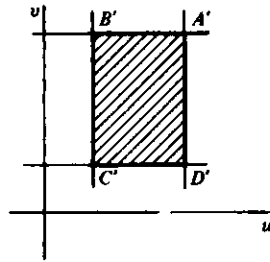
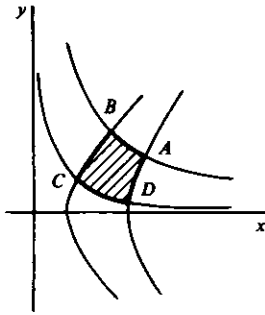
- CHURCHILL, R. V.: "Operational Mathematics," 3d ed., McGraw-Hill Book Co., Inc., New York, 1972.
- : "Fourier Series and Boundary Value Problems," 2d ed., McGraw-Hill Book Co., Inc., New York, 1963.
- GLAUERT, H.: "The Elements of Aerofoil and Airscrew Theory," Cambridge University Press, London, 1948.
- GUILLEMIN, E. A.: "The Mathematics of Circuit Analysis," John Wiley & Sons, Inc., New York, 1951.
- JEANS, J. H.: "Mathematical Theory of Electricity and Magnetism," Cambridge University Press, London, 1925.
- KOBER, H.: "Dictionary of Conformal Representations," Dover Publications, New York, 1952.
- LAMB, H.: "Hydrodynamics," Dover Publications, New York, 1945.
- LEBEDEV, N. N.: "Special Functions, and their Applications," Prentice-Hall, Inc., Englewood Cliffs, N.J., 1965.
- LOVE, A. E. H.: "Elasticity," Dover Publications, New York, 1944.
- MILNE-THOMSON, L. M.: "Theoretical Hydrodynamics," Macmillan & Co., Ltd., London, 1955.
- MUSKHELISHVILI, N. I.: "Some Basic Problems of the Mathematical Theory of Elasticity," P. Noordhoff, N. V., Groningen, Netherlands, 1953.
- OBERHETTINGER, F., and W. MAGNUS: "Anwendung der elliptischen Funktionen in Physik und Technik," Springer-Verlag OHG, Berlin, 1949.
- ROTHER, R., F. OLLENDORFF, and K. POHLHAUSEN: "Theory of Functions as Applied to Engineering Problems," Technology Press, Massachusetts Institute of Technology, Cambridge, Mass., 1948.
- SMYTHE, W. R.: "Static and Dynamic Electricity," 2d ed., McGraw-Hill Book Company, Inc., New York, 1950.
- SOKOLNIKOFF, I. S.: "Mathematical Theory of Elasticity," 2d ed., McGraw-Hill Book Company, Inc., New York, 1956.
- WALKER, M.: "Conjugate Functions for Engineers," Oxford University Press, London, 1933.

ملحق ٢  
جدول تحويلات المناطق  
( انظر الفقرة ٤١ )

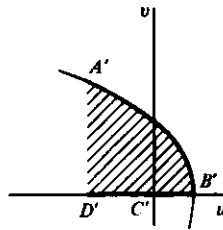
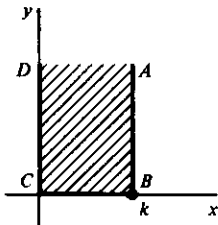


شكل (١)  
 $w = z^2$ .



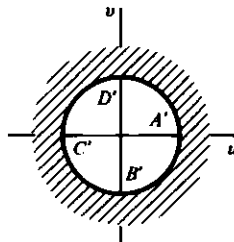
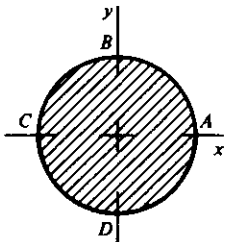


شكل (٢)  
 $w = z^2$ .



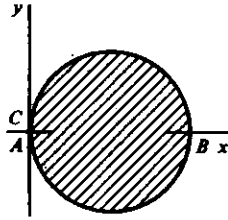
شكل (٣)

$w = z^2$ ;  $A'B'$  on parabola  $\rho = \frac{2k^2}{1 + \cos \phi}$ .



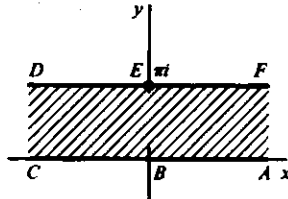
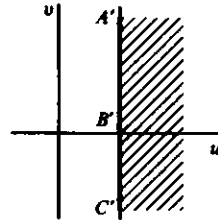
شكل (٤)

$w = \frac{1}{z}$ .



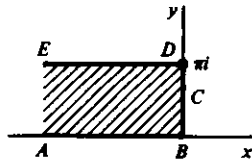
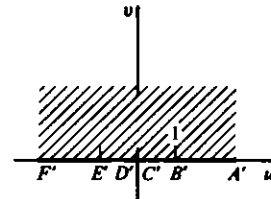
شكل (٥)

$$w = \frac{1}{z}$$



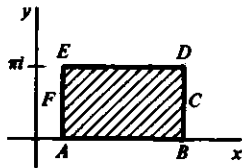
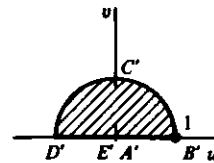
شكل (٦)

$$w = e^z$$



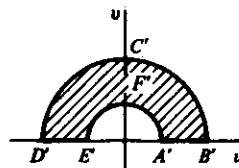
شكل (٧)

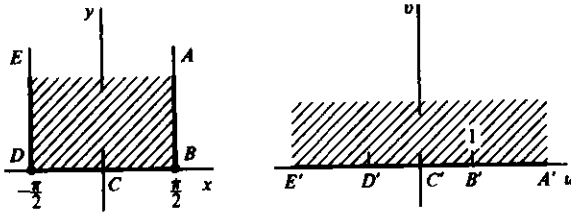
$$w = e^z$$



شكل (٨)

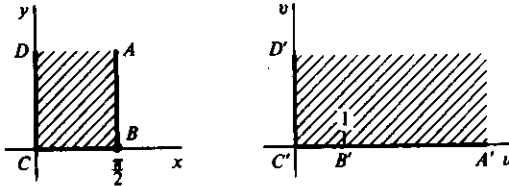
$$w = e^z$$





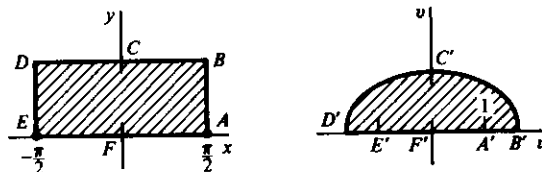
شكل (٩)

$w = \sin z.$



شكل (١٠)

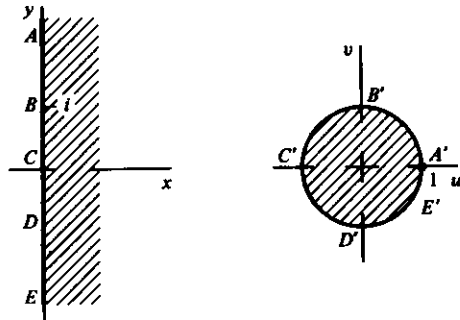
$w = \sin z.$



شكل (١١)

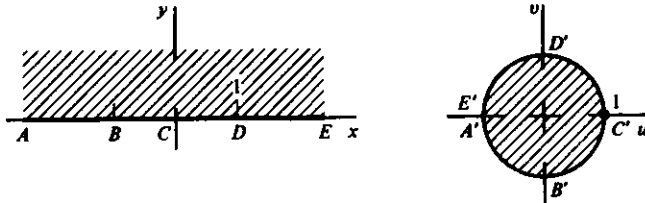
$w = \sin z$ ;  $BCD$  on line  $y = k$ ,  $B'C'D'$  on ellipse

$$\left(\frac{u}{\cosh k}\right)^2 + \left(\frac{v}{\sinh k}\right)^2 = 1.$$



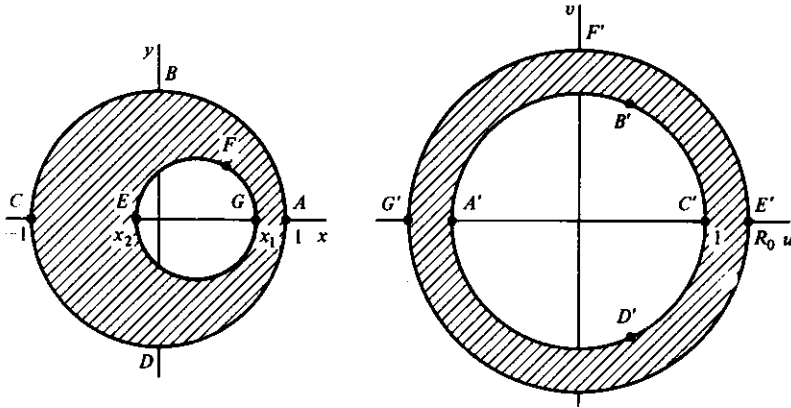
شكل (١٢)

$$w = \frac{z-1}{z+1}$$



شكل (١٣)

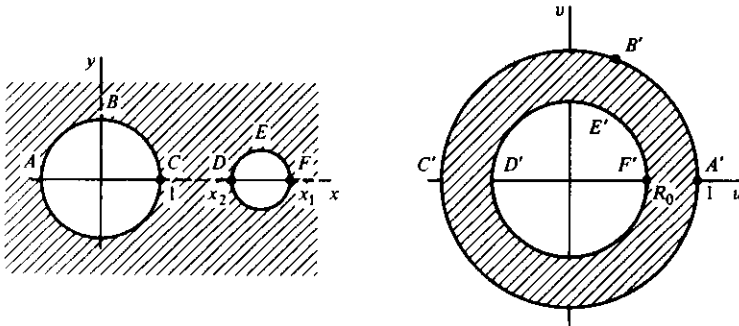
$$w = \frac{i-z}{i+z}$$



شكل (١٤)

$$w = \frac{z - a}{az - 1}; a = \frac{1 + x_1x_2 + \sqrt{(1 - x_1^2)(1 - x_2^2)}}{x_1 + x_2};$$

$$R_0 = \frac{1 - x_1x_2 + \sqrt{(1 - x_1^2)(1 - x_2^2)}}{x_1 - x_2} \quad (a > 1 \text{ and } R_0 > 1 \text{ when } -1 < x_2 < x_1 < 1).$$

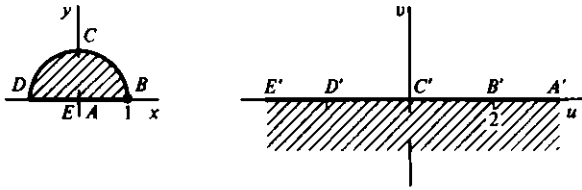


شكل (١٥)

$$w = \frac{z - a}{az - 1}; a = \frac{1 + x_1x_2 + \sqrt{(x_1^2 - 1)(x_2^2 - 1)}}{x_1 + x_2};$$

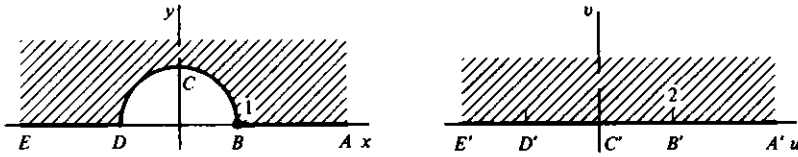
$$R_0 = \frac{x_1x_2 - 1 - \sqrt{(x_1^2 - 1)(x_2^2 - 1)}}{x_1 - x_2}$$

( $x_2 < a < x_1$ , and  $0 < R_0 < 1$  when  $1 < x_2 < x_1$ ).



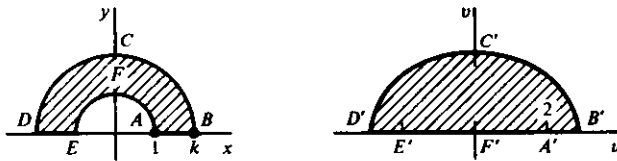
شكل (١٦)

$$w = z + \frac{1}{z}$$



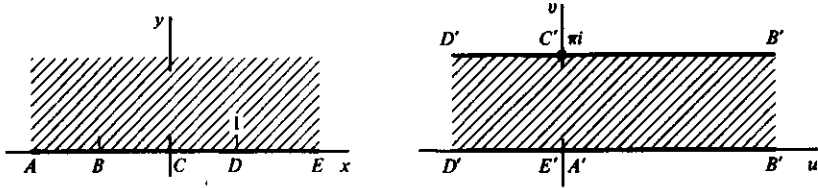
شكل (١٧)

$$w = z + \frac{1}{z}$$



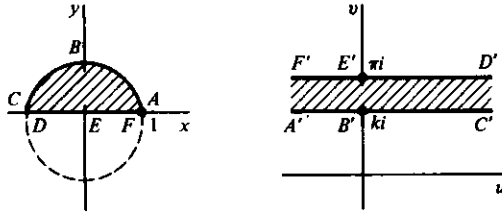
شكل (١٨)

$$w = z + \frac{1}{z}; B'C'D' \text{ on ellipse } \left(\frac{ku}{k^2+1}\right)^2 + \left(\frac{kv}{k^2-1}\right)^2 = 1.$$



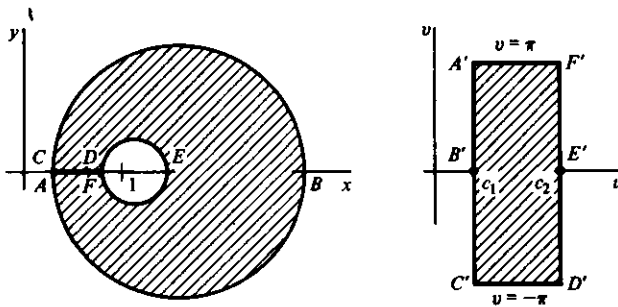
شكل (١٩)

$$w = \text{Log} \frac{z-1}{z+1}; z = -\coth \frac{w}{2}$$



شكل (٢٠)

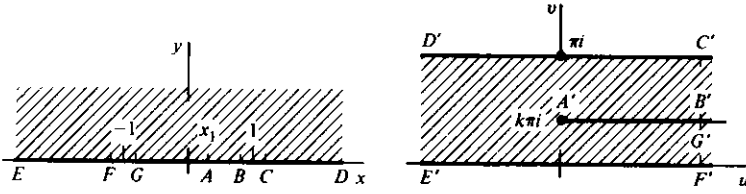
$$w = \text{Log} \frac{z-1}{z+1}; ABC \text{ on circle } x^2 + y^2 - 2y \cot k = 1.$$



شكل (٢١)

$$w = \text{Log} \frac{z+1}{z-1}; \text{centers of circles at } z = \coth c_n,$$

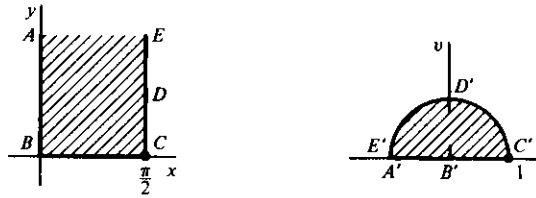
radii:  $\text{csch } c_n (n = 1, 2).$



شكل (٢٢)

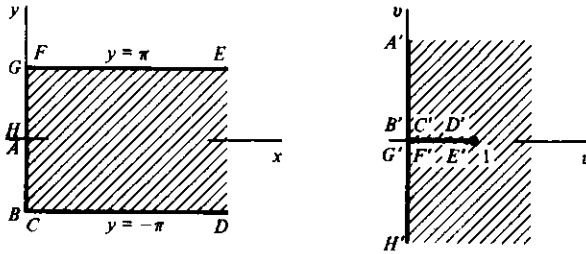
$$w = k \operatorname{Log} \frac{z}{1-k} + \operatorname{Log} 2(1-k) + i\pi - k \operatorname{Log}(z+1) - (1-k) \operatorname{Log}(z-1),$$

$$x_1 = 2k - 1.$$



شكل (٢٣)

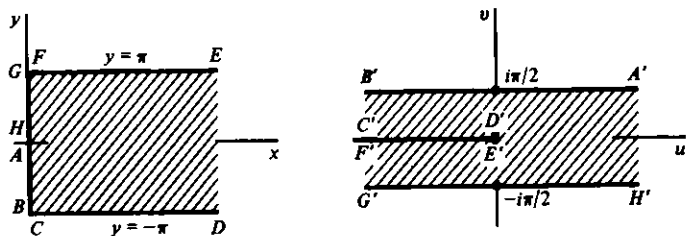
$$w = \left( \tan \frac{z}{2} \right)^2 = \frac{1 - \cos z}{1 + \cos z}.$$



شكل (٢٤)

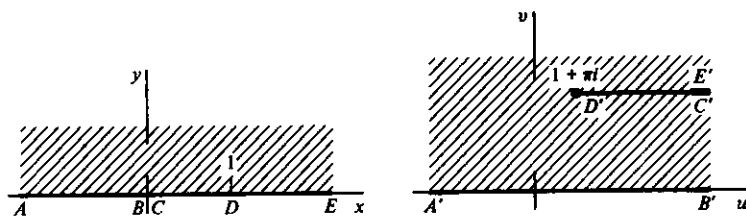
$$w = \coth \frac{z}{2} = \frac{e^z + 1}{e^z - 1}.$$





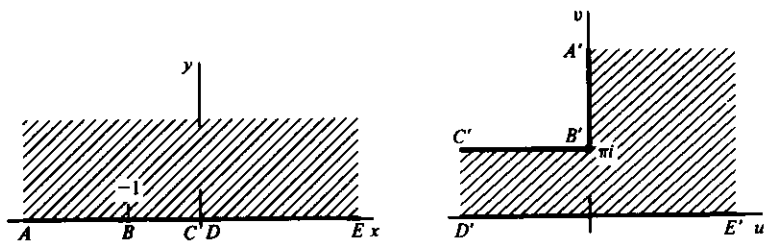
شكل (٢٥)

$$w = \text{Log coth } \frac{z}{2}.$$



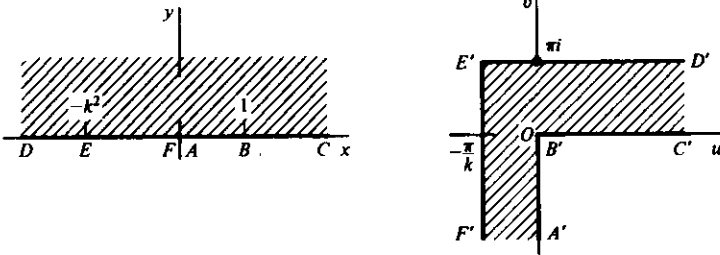
شكل (٢٦)

$$w = \pi i + z - \text{Log } z.$$



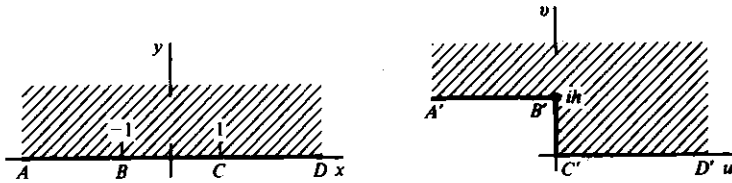
شكل (٢٧)

$$w = 2(z+1)^{1/2} + \text{Log } \frac{(z+1)^{1/2} - 1}{(z+1)^{1/2} + 1}.$$



شكل (٢٨)

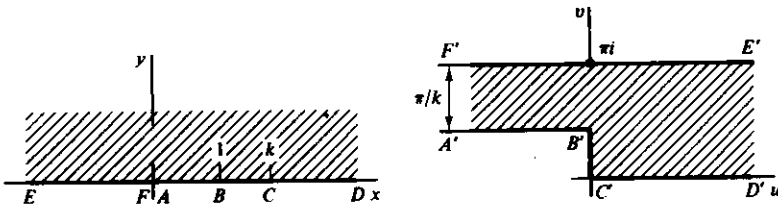
$$w = \frac{i}{k} \operatorname{Log} \frac{1+ikt}{1-ikt} + \operatorname{Log} \frac{1+t}{1-t}; t = \left( \frac{z-1}{z+k^2} \right)^{1/2}$$



شكل (٢٩)

$$w = \frac{h}{\pi} [ (z^2 - 1)^{1/2} + \cosh^{-1} z ]$$

\* See Exercise 4, Sec. 98.



شكل (٣٠)

$$w = \cosh^{-1} \left( \frac{2z - k - 1}{k - 1} \right) - \frac{1}{k} \cosh^{-1} \left[ \frac{(k+1)z - 2k}{(k-1)z} \right]$$

## قائمة المصطلحات العلمية

<b>Absolute convergence</b>	التقارب المطلق	<b>Branch cut</b>	فرع قاطع
<b>Absolute value</b>	القيمة المطلقة	<b>Branch point</b>	نقطة تفرع
<b>Accumulation point</b>	نقطة تجمع ( أو نقطة تراكم )	<b>Integration around</b>	التكامل حول ...
<b>Aerodynamics</b>	ديناميكا الهواء	<b>Cartesian coordinates</b>	احداثيات كارتيزية
<b>Analytic continuation</b>	امتداد تحليلي	<b>Cauchy, A.L.</b>	كوشي ، أ.ل.
<b>Analytic function</b>	دالة تحليلية	<b>Cauchy-Goursat theorem</b>	نظرية كوشي - جورساق
<b>Derivative of</b>	مشقة ...	<b>Converse of</b>	معكوس ...
<b>Zeros of</b>	أصفار ...	<b>Cauchy integral formula</b>	صيغة تكامل كوشي
<b>Angle of inclination</b>	زاوية الميل	<b>for half plane</b>	... لتصف المستوى
<b>Angle of rotation</b>	زاوية الدوران	<b>Cauchy principal value</b>	قيمة كوشي الأساسية
<b>Arc</b>	قوس	<b>Cauchy product</b>	حاصل ضرب كوشي ( للمتسلسلات )
<b>Jordan</b>	... جوردان	<b>Cauchy-Riemann equations</b>	معادلتى كوشي - ريمان
<b>Simple</b>	... بسيط	<b>in polar form</b>	... الصورة القطبية لـ ...
<b>Smooth</b>	... أملس	<b>Cauchy's inequality</b>	متباينة كوشي
<b>Argument</b>	السعة	<b>Christoffel, E.B.</b>	كريستوفل ، إ.ب
<b>Argument principle</b>	قاعدة السعة أو مبدأ السعة	<b>Circle of convergence</b>	دائرة التقارب ( للمتسلسلة )
<b>Bernoulli's equation</b>	معادلة برنولى	<b>Circulation of fluid</b>	جريان سائل أو مائع
<b>Beta Function</b>	دالة بيتا	<b>Closed contour</b>	كثاف مغلق
<b>Bilinear transformation</b>	تحويل ثنائى الخطية	<b>Simple</b>	... بسيط
<b>Binomial expansion</b>	مفكوك ذى الحدين	<b>Closed set</b>	فئة مغلقة
<b>Binomial formula</b>	صيغة ذات الحدين	<b>closure of a set</b>	مغلقة فئة
<b>Bolzano-Weierstrass theorem</b>		<b>Complex exponents</b>	الأسس المركبة
<b>Boundary conditions</b>	نظرية بلزانو - فايرشتراس	<b>Complex number</b>	عدد مركب
<b>Transformation of</b>	شروط حدية	<b>Argument of</b>	سعة ...
<b>Boundary point</b>	نقطة حدية أو نقطة حدود	<b>Conjugate of</b>	مرافق ...
<b>Boundary values problem</b>	مسألة قيم الحدية	<b>Imaginary part of</b>	الجزء التخيلى لـ ...
<b>Bounded function</b>	دالة محدودة	<b>Polar form of</b>	الصورة القطبية لـ ...
<b>Bounded set</b>	فئة محدودة	<b>Powers</b>	قوى ...
<b>Branch of a function</b>	فرع من دالة	<b>Real part of</b>	الجزء الحقيقى لـ ...
<b>Principal</b>		<b>Roots</b>	جذور ...
	الفرع الرئيسى للدالة ( الفرع الأساسى للدالة )	<b>Complex plane</b>	المستوى المركب
		<b>Extended</b>	... المتند

Regions of	مناطق ...	Simply connected	... بسيط الترابط
Complex potential	جهد مركب	Domains	نطاقات
Complex variable	متغير مركب	Intersection of	تقاطع الـ ...
Composite function	دالة محصلة ( أو دالة مركبة )	Union of	اتحاد الـ ...
Composition of functions	تحصيل الدوال ( أو تركيب الدوال )	Electrostatic potential	جهد الكهرباء الساكنة
Conformal mapping	رأسم حافظ للزوايا الموجهة	In cylinder	... لاسطوانة
Applications of	تطبيقات ...	in half-plane	... لنصف مستوى
Properties of	خواص ...	between plates	بين الواح
Conformal transformation	تحويل حافظ للزوايا الموجهة	Entire function	دالة شاملة
Angle of rotation of	زاوية دوران لـ ...	Equipotential	متساوي الجهد
Local inverse of	المعكوسة المحلية لـ ...	Essential singular point	نقطة شاذة أساسية
Scale factor of	المعامل القياسي لـ ...	Behavior near	السلوك بالقرب من ...
Conjugate	مرافق	Residue at	الباقى عند ...
Complex	عدد مركب	Euler's formula	صيغة أويلر
Harmonic	... توافقى	Expansion	مفكوك
Connected open set	فئة مفتوحة مترابطة	map	تكبير ( أو رأسم مكبر أو تمدد )
Continuity	اتصال	Exponential function	الدالة الأسية
Contour	كفاف	Inverse of	معكوس ...
Contraction	تقلص أو إنكماش أو تصغير	Mapping by	تطبيق بـ ... أو الرسم بـ ...
Convergence of sequence	تقارب متتابعة	Extended complex plane	المستوى المركب الممتد
Convergence of series	تقارب متسلسلة	Exterior point	نقطة خارجية
Circle of	دائرة التقارب للمتسلسلة	Field intensity	شدة المجال
Uniform	التقارب المنتظم للمتسلسلة	Fixed point	نقطة ثابتة
Critical point	نقطة حرجية	Fluid	سائل أو مائع
Curve	منحنى	Circulation of	سريان ...
Simple closed	مغلق بسيط	Pressure of	ضغط ...
De Moivre's theorem	نظرية دي موافر	Rotation of	دوران ...
Derivative	مشقة	Velocity of	سرعة ...
Existence of	تحقق وجود ( أو كينونة ) المشقة	Fluid flow	سريان سائل
Differentiation formulas	صيغ التفاضل أو الاشتقاق	about airfoil	... حول جناح
Diffusion	انتشار	in annular region	... في نطاق حلقي
Dirichlet problem	مسألة دريشلت	in channel	... في قناة أو مجرى
for disk	... للقرص	about cylinder	... حول اسطوانة
for half-plane	... لنصف المستوى	about plate	... حول صفيحة
for quadrant	... لربع المستوى	Potential for	جهد لـ ...
for rectangle	... للمستطيل	in quadrant	... في ربع المستوى
for region exterior to circle	... لخارجية دائرة	in semi-infinite strip	... في شريحة نصف لانهائية
for smicircular region	... لمنطقة نصف دائرية	over step	... عبر عتبة
for strip	... لشريحة	Flux of heat	الفيض الحرارى
Domain	نطاق	Flux lines	خطوط الفيض
of definition of a function	... تعريف دالة	Fourier series	متسلسلة فورييه
Multiply connected	... متعدد الترابط	Fresnel integrals	تكاملات فريسنل
		Function	دالة

Analytic	تحليلية ...	Transformation of	تحويل ...
Beta	بيتا ...	Hydrodynamics	ديناميكا الموائع ( أو السوائل )
Bounded	محدودة ...	Hyperbolic functions	دوال زائدية
Branch of	فرع من ...	Identities for	متطابقات الـ ...
Continuous	متصلة ...	Inverses of	معكوسات الـ ...
Differentiable	قابلة للتفاضل أو الاشتقاق ...	Zeros of	أصفار الـ ...
Domain of definition of	نطاق تعريف ...	Image of a point.	صورة نقطة
Entire	شاملة ...	Inverse	الصورة العكسية لنقطة
Exponential	أسية ...	Imaginary axis	المحور التخيلي
Harmonic	توافقية ...	Impulse function	دالة دفع
Holomorphic	تحليلية ...	Indefinite integral	تكامل غير محدد
Hyperbolic	زائدية ...	Integral	تكامل
Impulse	دفع ...		قيمة كوشي الأساسية لـ ...
Inverse	عكسية ( أو معكوس ... )	Cauchy principal value of	
Irrational	غير قياسية ( أو ... غير كسرية )	Definite	محدد ...
Limit of	نهاية ...	Indefinite	غير محدد
Linear	خطية ...	Linear	خطي ...
Logarithmic	لوغاريتمية ...	real, Evaluation of	حساب تكامل حقيقي
Multiple-valued	متعددة القيم ...	Interior point	نقطة داخلية
Piecewise continuous	متصلة قطعة قطعة ...	Intersection of domains	تقاطع النطاقات
Principal part of	الجزء الأساسي من ...	Inverse function	معكوس دالة أو الدالة العكسية
Range of	مدى ...	Inverse image of point	الصورة العكسية لنقطة
Rational	قياسية ( أو كسرية )	Invers epoint	معكوس نقطة
Real-valued	حقيقية ( أو ذات قيم حقيقية )	Inversion	تعاكس
Stream	التيار ...	Irrational functions	دوال غير قياسية
Trigonometric	مثلثية ...	Riemann surfaces for	سطوح ريمان لـ ...
Uniformly continuous	منتظمة الاتصال ...	Irrotational flow	سريان لا دوراني
Value of	قيمة ...	Isogonal mapping	رسم حافظ للزوايا
Zeros of	أصفار الـ ...	Isolated singular point	نقطة شاذة معزولة
Functional identities	متباينات دالية	Isolated zeros	أصفار معزولة
Fundamental theorem of algebra	النظرية الأساسية للجبر	Isotherms	متساويات درجة الحرارة
		Jordan arc	قوس جوردان
Geometric series	متسلسلة هندسية	Jordan curve theorem	نظرية منحنى جوردان
Goursat, E	جورساه ، إ	Jordan's lemma	تمهيدية جوردان
Gradient	متجه ميل	Joukowski airfoil	جناح جوكوفسكي
Green's function	دالة جرين		
Green's theorem	نظرية جرين	Lagrange's trigonometric identity	متطابقة لاجرانج المثلثية
Harmonic function	دالة توافقية	Laplace's equation	معادلة لابلاس
Conjugate of	مرافقة ...	Laurent series	... متسلسلة لوران
maximum and minimum values of	القيم العظمى والصغرى لـ ...	Level curves	... منحنيات مستوية
in quadrant	... في ربع المستوى	Limit	نهاية
in semi-circle	... في نصف دائرة	of function	... دالة

of sequence	... متتابعة	Picard's theorem	نظرية بيكارد
Line integral	تكامل خطي	Piecewise continuous functions	دوال متصلة قطعة قطعة
Linear combination	ارتباط خطي	Point at infinity	نقطة اللانهاية
Linear fractional transformation	تحويل خطية كسرية	Neighborhood of	جوار لـ ...
Linear functions	دوال خطية	Poisson integral formula	صيغة تكامل بواسون
Linear transformation	تحويل خطية	for disk	... لقرص
Liouville's theorem	نظرية لوفيل	for half-plane	... لتصف مستوى
Local inverse	معكوس محلي	Poisson integral transform	تحويل تكامل بواسون
Logarithmic derivative	التفاضل اللوغاريتمي	Poisson kernel	قلب بواسون
Logarithmic function	دالة لوغاريتمية	Poisson's equation	معادلة بواسون
Mapping by	الرسم بالـ ...	Polar coordinates	احداثيات قطبية
Principal branch of	الفرع الرئيسي للـ ...	Pole	قطب
Principal value of	القيمة الأساسية للـ ...	Order of	درجة ...
Riemann surface for	سطح ريمان للـ ...	Simple	... بسيط
Maclaurin series	متسلسلة ماكلورين	Poles, number of	عدد الأقطاب
Mapping	رسم (أو تطبيق أو رسم)	Polynomial	كثير حدود
Conformal	... حافظ للزوايا الموجهة	Potential	جهد
by exponential function	الرسم بالدالة الأسية	Complex	... مركب
Isogonal	... حافظ للزوايا	Electrostatic	... الكهربية الساكنة
by logarithmic function	الرسم بالدالة اللوغاريتمية	Velocity	... السرعة
one-to one	... أحادي	Power series	متسلسلة أسية (أو متسلسلة تحوي)
of real axis onto polygon	رسم محور الحقيقي فوق مضلع	Cauchy product of	مضروب كوشي لـ
by trigonometric functions	الرسم بالدوال المثلثية	Convergence of	تقارب ...
Maximum & minimum values	القيم العظمى والصغرى	Differentiation of	تفاضل ...
Maximum principle	قاعدة القيمة العظمى	Division of	قسمة ...
Modulus	مقياس	Integration of	تكامل ...
Morera, E.	موريرا، إ!	Multiplication of	ضرب ...
Morera's theorem	نظرية موريرا	Uniqueness of	وحدانية ...
Multiple valued function	دالة متعددة القيم	Powers of numbers	قوى الأعداد
Multiply connected domain	نطاق متعدد الترابط	Principal part	الجزء الأساسي
Neighborhood	جوار	Pressure of fluid	ضغط سائل
Nested intervals	فترات متداخلة أو معششة	Principal value	القيمة الأساسية
Nested squares	مربعات متداخلة أو معششة	of argument	... للسعة
Neumann problem	مسألة نوي مان	Cauchy	قيمة كوشي الأساسية
for disk	... للقرص الدائري	of logarithm	... لدالة اللوغاريتم
for half-plane	... لتصف مستوى	of powers	... لقوى الأعداد المركبة
for region exterior to circle	... لخارجية دائرة	Product of power series	حاصل ضرب متسلسلات أسية
for semicircular region	لمنطقة نصف دائرية	Pure imaginary number	عدد تخيلي
Open set	مجموعة مفتوحة	Quadratic equation	معادلة من الدرجة الثانية
Permanence of forms	ثبات الصيغ	Quotient of power series	قسمة المتسلسلات الأسية
		Range of function	مدى الدالة
		Rational function	دالة قياسية (أو كسرية)
		Real axis	المحور الحقيقي
		Reflection	انعكاس

Reflection principle	قاعدة الانعكاس	Stagnation point	نقطة ركود
Region	منطقة	Stereographic projection	اسقاط استريوجرافي
Removable singular point	نقطة شاذة مزالة	Stream function	دالة التيار أو دالة السريان
Residue theorem	نظرية الباقي	Stream lines	خطوط التيار أو خطوط السريان
Residues	البواقي	Successive transformations	تحويلات متتالية
Applications of at poles	تطبيقات ... ... عند الأقطاب	Table of transformations	جدول التحويلات
Riemann, G.F.B	ريمان ، جي . أف . ب	Taylor series	متسلسلة تايلور
Riemann sphere	كرة ريمان	Temperatures, steady	درجات الحرارة المستقرة
Riemann surfaces	سطوح ريمان	in cylindrical wedge	... في وتد اسطواني
Riemann's theorem	نظرية ريمان	in elliptical plate	... في صفحة ناقصية
Roots of numbers	جذور الأعداد	in half plane	... في نصف مستوى
Rotation	دوران	in infinite plate	... في صفحة لانهائية
Angle of of fluid	زاوية الـ ... ... سائل	in quadrant	... في ربع مستوى
Rouche's theorem	نظرية روشيه	in semi-circular plate	... في صفحة نصف دائرية
Scale factor	معامل قياسي	in semi-infinite plate	... في صفحة نصف لانهائية
Schwarz, H.A.	شفارتر ، إتش . إيه	in strip	... في شريحة
Schwarz-Christoffel transformation	تحويلة شفارتر - كريستوفل	Thermal conductivity	التوصيل الحرارى
on degenerate polygon	... على مضلع متحلل	Transformation	تحويلة
onto infinite strip	... فوق شريحة لانهائية	Bilinear	... ثنائية الخطية
onto rectangle	... فوق مستطيل	Conformal	... محافظة للزوايا الموجهة
onto triangle	... فوق مثلث	Critical points of	النقط الحرجة لـ ...
Schwarz integral formula	صيغة تكامل شفارتر	Integral	... تكامل
Schwarz interal transform	تحويلة تكامل شفارتر	Linear	... خطية
Sectionally continuous function	دالة متصلة اتصالا قطعيا	linear fractional	... خطية كسرية
Sequence	متابعة	Schwarz-Christoffel	... شفارتر - كريستوفل
Series	متسلسلة	Transformations	تحويلات
Geometric	... هندسية	Successive	... متتالية
Laurent	... لوران	Table of	جدول الـ ...
Maclaurin	... ماكلورين	Translation	انتقال
Power	... أسية ( أو ... قوى )	Triangle inequality	المتباينة المثلثية
Taylor	... تايلور	Trigonometric functions	دوال مثلثية
Simple closed contour	كفاف مغلق بسيط	Identities for	متطابقات لـ ...
Simple closed curve	منحنى مغلق بسيط	Inverses of	معكوسات الـ ...
Simple pole	قطب بسيط	Mapping by	الرسم بـ ...
Simply connected domain	نطاق بسيط الترابط	Zeros of	أصفار الـ ...
Singular point	نقطة شاذة	Unbounded set	فئة غير محدودة
Essential	... أساسية	Uniform continuity	اتصال منتظم
Isolated	... معزولة	Uniform convergence	تقارب منتظم
Removable	... مزالة	Union of domains	اتحاد النطاقات
Sink	مصرف أو مصب	Unity, roots of	جذور الوحدة
Source	منبع أو مصدر	Vector field	مجال اتجاهي
		Vectors	متجهات
		Velocity of fluid	سرعة السائل
		Velocity potential	جهد السرعة
		Weierstrass, theorem of	نظرية فايرشتراس

Zeros of functions  
Isolated

أصفار الدوال  
أصفار منعزلة للدوال

Number of  
Order of

عدد ...  
رتبة ...

هنا يوسف اللبيني

متاح للتحميل ضمن مجموعة كبيرة من المطبوعات من صفحة

مكتبتي الخاصة

على موقع ارشيف الانترنت

الرابط

[https://archive.org/details/@hassan\\_ibrahem](https://archive.org/details/@hassan_ibrahem)

© 2017 Hassan Ibrahim

رقم الإيداع ٨٣/١٧٧٦



المعجزات المركبة والكشافات

ماجى

يحيى بن جرير  
روجر و فيلى

أفاده الرأىات باسبب



مطابع المكتب المصرى الحديث

084276.0